

N° d'ordre : 5344

# THÈSE

présentée par

**Pascal Tran-Ngoc-Bich**

pour obtenir le titre de

Docteur en Sciences de l'Université d'Orsay (Paris 11)

Spécialité : Physique Théorique

---

## Résolution exacte de certains modèles sigma en théorie quantique des champs

---

Soutenue le 6 juillet 1998

### Jury

Olivier Babelon	
Denis Bernard	Rapporteur
Pierre Binétruy	Président
Michel Dubois-Violette	
Benjamin Enriquez	Rapporteur
Krzysztof Gawędzki	Directeur de thèse

arXiv:hep-th/9807105v1 15 Jul 1998



PASCAL TRAN-NGOC-BICH

**Résolution exacte de certains modèles sigma  
en théorie quantique des champs**

UNIVERSITÉ D'ORSAY

...

Elle a l'aspect charmant  
D'une adorable rousse

Ses cheveux sont d'or on dirait  
Un bel éclair qui durerait  
Ou ces flammes qui se pavanent  
Dans les roses-thé qui se fanent  
Mais riez riez de moi  
Hommes de partout surtout gens d'ici  
Car il y a tant de choses que je n'ose vous dire  
Tant de choses que vous ne me laisseriez pas dire  
Ayez pitié de moi

Fragment d'un Calligramme «La jolie rousse»  
GUILLAUME APPOLINAIRE

## Remerciements

C'est un réel plaisir de saisir l'occasion qui m'est donnée d'exprimer toute ma gratitude envers Krzysztof Gawędzki pour avoir accepté de me faire partager son activité scientifique. Au cours de ces années, Krzysztof a toujours répondu avec gentillesse à toutes mes questions, même les plus stupides. Sa confiance et son soutien permanents, malgré mon absence prolongée, m'ont été d'un grand secours. Je le remercie sincèrement pour tout cela.

Alors que j'étais encore étudiant en maîtrise, Pascal Degiovanni a guidé mes premiers pas en physique théorique. Je lui dois en partie d'être ici maintenant.

Je remercie Denis Bernard et Benjamin Enriquez d'avoir accepté la tâche de rapporteur, Olivier Babelon et Michel Dubois-Violette d'avoir accepté de faire partie du jury et Pierre Binétruy d'en être le président.

Je remercie l'I.H.É.S. pour son hospitalité et les membres du personnel pour leur accueil irréprochable, tout particulièrement Madame Vergne qui a réalisé les figures de cette thèse. Je remercie le laboratoire de physique de l'É.N.S. Lyon de m'avoir offert l'opportunité d'exposer mon travail.

Je voudrais dédier cette thèse à ma famille, mes parents et mon frère, qui m'ont toujours soutenu alors qu'ils sont les premiers à supporter mon sale caractère.

Beaucoup de temps a passé depuis le début de cette thèse, j'ai eu le privilège de lier de nombreuses amitiés, parfois courtes parfois intenses, mais toutes me tiennent à coeur. Un chaleureux merci à Magali et I avec qui j'ai formé un trio musical des plus folklorique. Merci à Christine, Émeline, Estelle, Ida, Sylvie, Anne, Pascale mais aussi les Seb, les Vincent, Marc, Bruno, les compagnons de galère Richard, Michel et Vincent et, toutes et tous les autres auxquels je pense. Estelle a accepté spontanément de parcourir ma thèse à la recherche des fautes d'orthographe. Je l'en remercie. Peut-être de manière inhabituelle, je remerciais aussi mes élèves de m'avoir communiqué leur bonne humeur.



# SOMMAIRE

<b>Introduction</b>	<b>1</b>
<b>1 Mécanique quantique d'un modèle sigma</b>	<b>6</b>
§1. Éléments de la théorie des représentations . . . . .	6
§2. Algèbres de Lie simples . . . . .	10
§3. Mouvement géodésique d'une particule sur un groupe . . . . .	15
§4. Quantification . . . . .	17
§5. Mécanique quantique quotient . . . . .	19
<b>2 Modèle de Wess-Zumino-Novikov-Witten</b>	<b>21</b>
§1. Action de WZNW . . . . .	21
§2. Structure symplectique sur l'espace des phases . . . . .	24
§3. Modèle de WZNW sur une surface à bord . . . . .	29
§4. Fonctions de Green et leurs symétries . . . . .	33
§5. D'Euclide à Hilbert . . . . .	46
§6. Développements algébriques . . . . .	56
§7. Algèbre de Virasoro. Algèbres de Kac-Moody affines . . . . .	59
§8. Espace des états de WZNW . . . . .	65
<b>3 États de Chern-Simons</b>	<b>67</b>
§1. Espace des modules $\mathcal{N} = \mathcal{A}^{01}/\mathcal{G}^{\mathbb{C}}$ . . . . .	67
§2. États de Chern-Simons . . . . .	73
§3. Surfaces de Riemann et courbes algébriques . . . . .	75
§4. Thêta dans tous ses états . . . . .	82
§5. États de Chern-Simons sphériques . . . . .	86
§6. États de Chern-Simons elliptiques . . . . .	90
§7. États de Chern-Simons en genre supérieur . . . . .	91
§8. Formule de Verlinde . . . . .	96

§9.	Factorisation holomorphe . . . . .	98
§10.	Modèle de WZNW hyperbolique . . . . .	100
§11.	Représentation en gaz de Coulomb . . . . .	104
<b>4</b>	<b>Systèmes de Hitchin. Connexion de KZB</b>	<b>108</b>
§1.	Géométrie symplectique . . . . .	108
§2.	Moments . . . . .	109
§3.	Systèmes de Hitchin . . . . .	114
§4.	Espace des modules des surfaces de Riemann . . . . .	116
§5.	Connexion de KZB . . . . .	119
§6.	Formules basses . . . . .	129
§7.	Connexion de KZB sphérique . . . . .	137
§8.	Systèmes de Hitchin sphériques . . . . .	137
§9.	Connexion de KZB elliptique . . . . .	139
§10.	Systèmes de Hitchin elliptiques . . . . .	145
<b>5</b>	<b>Systèmes de Hitchin (articles)</b>	<b>148</b>
	Résumé . . . . .	148
	<b>Self-duality of the <math>SL_2</math> Hitchin integrable system at genus 2</b> . . . . .	<b>154</b>
§1.	Introduction . . . . .	154
§2.	Hitchin's construction . . . . .	158
§3.	$SL_2$ moduli space at genus 2 . . . . .	159
§4.	Cotangent bundle . . . . .	163
§5.	Hitchin Hamiltonians . . . . .	166
§6.	Self-duality . . . . .	170
§7.	van Geemen-Previato's result and beyond . . . . .	172
§8.	Conclusions . . . . .	177
	<b>Hitchin systems at low genera</b> . . . . .	<b>183</b>
§1.	Hitchin systems . . . . .	183
§2.	Knizhnik-Zamolodchikov-Bernard connection . . . . .	185
§3.	Genus zero . . . . .	186
§4.	Genus one . . . . .	188
§5.	Genus two . . . . .	191
§6.	Conclusions . . . . .	201
	<b>Bibliographie</b>	<b>202</b>



# INTRODUCTION

Dans cette thèse, on s'attache à l'étude de certaines théories des champs bidimensionnelles connues sous le nom de modèles de Wess-Zumino-Novikov-Witten (WZNW). On essaye de résoudre explicitement ces modèles au niveau quantique. Il s'agit de trouver les fonctions de Green qui donnent les valeurs moyennes des opérateurs de ces théories sur le vide. Un modèle de WZNW est un modèle sigma dont les champs classiques sont des applications de l'espace-temps bidimensionnel (une surface de Riemann  $\Sigma$  dans le cas euclidien) dans un groupe de Lie  $G$ , l'espace cible. C'est une généralisation de la mécanique quantique d'une particule sur le groupe  $G$ , quantifiant le mouvement géodésique sur  $G$ . La dynamique de cette particule peut être complètement résolue grâce au large groupe des symétries que forme le groupe  $G \times G$ . Witten [146] a montré que cette propriété peut être reproduite dans la théorie des champs bidimensionnelle si on ajoute à l'action standard du modèle sigma un terme de nature topologique : l'action de Wess-Zumino. En plus, on obtient de cette manière une théorie des champs invariante conforme. Outre la grande richesse mathématique du modèle de WZNW, l'un des faits les plus importants est la possibilité de reproduire, par construction quotient, d'autres théories conformes des champs. Ces théories décrivent les différentes classes d'universalité de comportement critique en mécanique statistique des systèmes bidimensionnels. Elles sont aussi employées en théorie des cordes comme des vides classiques autour desquels on quantifie la corde de façon perturbative.

Au niveau classique, le groupe des symétries du modèle de WZNW est donné par deux copies du groupe des lacets  $LG \times LG$ , auxquels s'ajoutent les symétries conformes. Pour quantifier le modèle de WZNW on peut utiliser soit la théorie des représentations des groupes des lacets soit une quantification à la Feynman. Dans cette dernière approche, il est bien de coupler le modèle aux champs de jauge externes  $A$ . La symétrie  $LG \times LG$  s'étend alors à la symétrie chirale de jauge. Cette symétrie de jauge permet d'écrire des expressions pour les fonctions de Green qui factorisent leur dépendance en  $A$  en composantes chirales  $A^{10}$  et  $A^{01}$  du champ de jauge. Ainsi fait, l'étude du modèle de WZNW se réduit à l'étude d'une théorie chirale (ou holomorphe dans l'espace-temps euclidien).

La dépendance holomorphe des fonctions de Green à composante chirale fixée coïncide avec celle des états quantiques d'une théorie topologique de jauge tridimensionnelle connue sous le nom de théorie de Chern-Simons (CS) [36, 147]. On montre formellement que les fonctions de Green du modèle de WZNW sont déterminées par le produit scalaire (à la Bargmann) des états quantiques de CS permettant de mettre ensemble les deux parties chirales de la théorie. Les calculs sont menés à un niveau de rigueur ne satisfaisant pas les critères des mathématiciens. Le processus de quantification à la Feynman utilise l'intégrale fonctionnelle qu'on ne sait pas définir ; initialement, le produit scalaire des états CS est aussi exprimé par une telle intégrale. Ayant mené les calculs le plus loin possible, on utilise les résultats pour redéfinir *a posteriori* les objets de la théorie. On doit alors vérifier que ceux-ci ont un sens mathématique — par exemple, on regarde la convergence d'intégrales — et qu'ils satisfont

aux divers critères physiques de la théorie qu'on a pu observer sur les expressions formelles.

En pratique, on doit donc comprendre la structure de l'espace des états de CS et calculer le produit scalaire. Les difficultés rencontrées dans la mise en œuvre de ce programme sont principalement contenues dans l'espace des orbites  $\mathcal{N} = \mathcal{A}^{01}/\mathcal{G}^{\mathbb{C}}$  des champs de jauge chiraux  $A^{01}$  modulo les transformations de jauge chirales. L'espace  $\mathcal{N}$  peut aussi être interprété comme l'espace des modules des  $G^{\mathbb{C}}$ -fibrés principaux holomorphes au-dessus de la surface de Riemann  $\Sigma$ . On définit un état de CS sur un ouvert dense dans  $\mathcal{A}^{01}$  composé des orbites du groupe  $\mathcal{G}^{\mathbb{C}}$  et on essaye de déterminer sous quelles conditions on peut étendre (holomorphiquement) cet état à tout  $\mathcal{A}^{01}$ . On obtient de cette manière des règles de fusion (généralisées) qui déterminent complètement l'espace des états de CS.

Le calcul du produit scalaire est réduit, par un changement de variables, à une intégrale sur  $\mathcal{G}^{\mathbb{C}}$ , et en une intégrale sur l'espace des modules  $\mathcal{N}$ . L'espace  $\mathcal{N}$  n'est explicitement décrit que dans un petit nombre de cas, ce qui laisse présager de nombreuses difficultés. En genre zéro et un, les grandes étapes ont été menées à bien [43, 44]. Par contre, la convergence du produit scalaire n'a été montrée que dans un petit nombre de cas [42, 62]. On conjecture [61] que l'intégrale donnant le produit scalaire à la Bargmann converge si et seulement si on la calcule sur les états de CS qui satisfont les règles de fusion. Nous parcourons dans la thèse ces thèmes en restant près des travaux originaux.

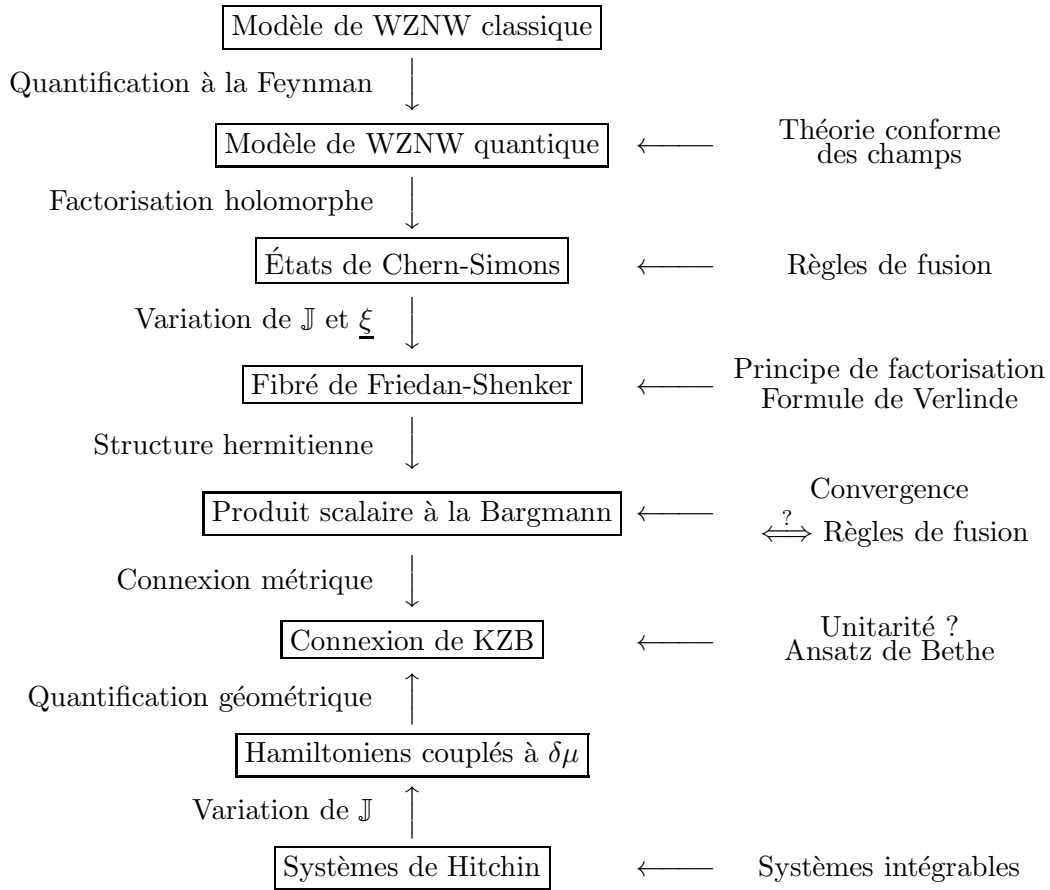
L'un des principaux objectifs est l'étude de l'espace des états de CS quand on fait varier la structure complexe  $\mathbb{J}$  de  $\Sigma$  et les coordonnées des points où on insère des champs. On note  $\underline{\xi}$  la séquence de ces points. L'objet mathématique qui contient l'information cherchée est la connexion de Knizhnik-Zamolodchikov-Bernard (KZB). En genre zéro, il s'agit d'un ensemble d'équations différentielles satisfaites par les parties chirales des fonctions de Green du modèle de WZNW, obtenues pour la première fois par Knizhnik et Zamolodchikov [99]. La généralisation en genre supérieur est le fait de Bernard [22, 23]. On propose une construction générale de la connexion de KZB dans un esprit proche de la philosophie développée par Axelrod, Della Pietra et Witten [12]. Cette façon de procéder permet de retrouver les résultats connus en genre zéro et un. En termes plus abstraits, l'ensemble des espaces des états devrait former un fibré vectoriel holomorphe, appelé fibré de Friedan-Shenker [55], au-dessus de l'espace des modules des surfaces de Riemann avec points marqués — les  $\underline{\xi}$ . Le produit scalaire à la Bargmann permet d'implémenter une structure hermitienne sur ce fibré. La connexion de KZB est la connexion métrique (ou unitaire) sur le fibré de Friedan-Shenker, *i.e.* la connexion qui respecte les structures holomorphe et hermitienne. Nous utilisons les expressions formelles donnant la structure hermitienne pour dériver la connexion de KZB. On représente la connexion soit dans le langage de l'espace  $\mathcal{A}^{01}$  des champs chiraux de jauge soit dans le langage de l'espace des modules  $\mathcal{N}$ , cette dernière représentation permettant d'obtenir des formules explicites pour une surface de Riemann  $\Sigma$  de genre zéro ou un. Un problème important est de montrer, que les expressions finales donnent bien la connexion avec les propriétés voulues (par exemple que la connexion est projectivement plate). L'unitarité de la connexion, qui a été obtenue en utilisant cette propriété au niveau formel, reste le problème ouvert sauf dans des cas spéciaux.

La partie chirale (holomorphe) de la théorie WZNW, liée à la théorie tridimensionnelle de CS peut être aussi vue comme une quantification d'une théorie chirale de jauge bidimensionnelle. C'est une théorie proposée par Hitchin [88] comme une usine à systèmes intégrables. Un système de Hitchin a pour espace des configurations l'espace des modules  $\mathcal{N}$  et pour

espace des phases le fibré cotangent (holomorphe)  $T^*\mathcal{N}$ . L'approche de Hitchin peut être aussi généralisée aux cas des surfaces de Riemann avec points marqués. On essaye en ce qui nous concerne de trouver explicitement un ensemble complet de Hamiltoniens en involution pour le système de Hitchin. En genre zéro et un ce n'est pas difficile. La discussion du cas de genre deux, pour  $G^{\mathbb{C}} = \mathrm{SL}_2$ , est, certainement, la partie la plus originale de cette thèse. On utilise la description de l'espace des modules déterminée par Narasimhan et Ramanan [115]. Les premières étapes vers la détermination des Hamiltoniens sont le fruit d'un travail de van Geemen et Previato [73]. Notre principal résultat est la propriété d'auto-dualité du système de Hitchin en genre deux, c.-à-d. l'invariance de ses Hamiltoniens par échange des positions et moments de l'espace des phases. Elle a été démontrée en utilisant une formule explicite pour les valeurs des Hamiltoniens de Hitchin en points génériques de  $T^*\mathcal{N}$  — van Geemen et Previato ont trouvé seulement l'expression sur des quartiques (de Kummer) dans les fibres de  $T^*\mathcal{N}$ . L'auto-dualité des Hamiltoniens nous a permis de compléter le travail [73] et de démontrer la conjecture des ses auteurs sur la forme des Hamiltoniens de Hitchin. Nous avons aussi découvert le lien entre le modèle de Hitchin  $\mathrm{SL}_2$  en genre deux et les systèmes intégrables de Neumann. La technique de la matrice de Lax développée pour ces derniers nous a permis de trouver les variables d'action-angle pour notre modèle. Ces résultats ont été exposés dans des articles originaux (soumis aux journaux scientifiques) qui sont joints à la thèse.

La quantification (géométrique) des systèmes de Hitchin reproduit essentiellement la partie chirale de la théorie WZNW. On fait varier la structure complexe sur  $\Sigma$ , variation mesurée par une différentielle de Beltrami. On peut alors coupler les Hamiltoniens quadratiques de Hitchin avec les différentielles de Beltrami  $\delta\mu$ . On a encore des Hamiltoniens en involution sur l'espace des phases. L'espace des états quantiques devient l'espace des sections holomorphes d'une puissance d'un fibré vectoriel holomorphe (du fibré en droites déterminant pour les cas sans insertions des points) au-dessus de  $\mathcal{N}$ . Il coïncide avec l'espace des états de CS. La quantification des Hamiltoniens quadratiques donne alors la connexion de KZB. Nous décrivons une telle construction en genre zéro, un et deux, dans le dernier cas uniquement pour  $G = \mathrm{SU}_2$ .

## SCHÉMA GÉNÉRAL



## PLAN DE LA THÈSE

- Chapitre 1** le premier chapitre traite sommairement l'action gouvernant le mouvement géodésique d'une particule sur un groupe de Lie et sa quantification ;
- Chapitre 2** on aborde divers aspects du modèle de WZNW. On commence par la construction du modèle classique et la description du formalisme canonique sur l'espace des phases. Ensuite, on quantifie le modèle et on donne les diverses façons de représenter le groupe des symétries. On en déduit la forme générale de l'espace des états ;
- Chapitre 3** on explique comment les états de Chern-Simons rentrent en jeu. On étudie l'espace et le produit scalaire des états de Chern-Simons en genre zéro et un. On dit quelques mots sur le genre supérieur pour le groupe  $G = \text{SU}_2$  ;
- Chapitre 4** on construit la connexion de KZB. On en déduit des expressions explicites en genre zéro et un. On étudie également les systèmes de Hitchin en genre zéro et un ;
- Chapitre 5** ce chapitre reproduit les articles écrits avec K. Gawędzki : «Self-duality of the  $\text{SL}_2$  Hitchin integrable system at genus 2», à paraître dans *Communications in Mathematical Physics*, et «Hitchin systems at low genera». Le début est un résumé en français.

Un petit commentaire sur les notations. Lorsqu'on se réfère à la section 1.1.1, il s'agit de la sous-section 1 de la section 1 du chapitre 1 ! Quand on se réfère à l'équation (1.1), il s'agit de l'équation 1 du chapitre 1, et quand on se réfère à l'équation (1) il s'agit de la première équation du chapitre courant. On utilise à l'envi les abréviations CS, KZB et WZNW pour respectivement Chern-Simons, Knizhnik-Zamolodchikov-Bernard et Wess-Zumino-Novikov-Witten.

## MÉCANIQUE QUANTIQUE D'UN MODÈLE SIGMA

### §1. Éléments de la théorie des représentations

Soit  $V$  un espace vectoriel complexe non réduit à zéro. Une **représentation**  $R$  d'un groupe de Lie  $G$  dans  $V$  est un homomorphisme  $\Phi_R$  de  $G$  dans  $\text{Aut } V$ , groupe des isomorphismes de  $V$  dans lui-même. L'espace  $V$  est appelé l'espace de représentation de  $R$ . Pour simplifier, si  $g \in G$  et  $v \in V$ , on note  $g_R v \equiv \Phi_R(g)(v)$ . Si  $V$  est de dimension finie  $n$ , on dit que la représentation est de dimension finie  $n$ . Si  $V = \mathbb{C}^n$ , la représentation est dite matricielle. Si  $V = L^2(G, d_\ell g)$  où  $d_\ell g$  est une mesure invariante à gauche, la représentation régulière à gauche, notée  $\mathcal{L}$ , est définie par :  $(g_{\mathcal{L}} f)(x) = f(g^{-1}x)$ . On définit aussi une représentation régulière à droite, notée  $\mathcal{R} : V = L^2(G, d_r g)$  et  $(g_{\mathcal{R}} f)(x) = f(xg)$ .

Une représentation est dite fidèle si  $\Phi_R$  est injective. Un sous-espace invariant est un sous-espace vectoriel  $U$  tel que  $g_R(U) \subset U$ , pour tout  $g \in G$ . Une représentation est dite **irréductible** si  $V$  et  $0$  sont ses seuls sous-espaces invariants. Si  $V$  est muni d'un produit scalaire hermitien, pour lequel tout  $g_R$  est unitaire, c.-à-d.  $g_R^\dagger g_R = g_R g_R^\dagger = \text{id}$ , la représentation est dite **unitaire**. Deux représentations  $R$  et  $R'$  de  $G$ , respectivement dans  $V$  et  $V'$ , sont dites **équivalentes** s'il existe une application linéaire inversible  $E : V \rightarrow V'$  telle que  $g_{R'} E = E g_R$ , pour tout  $g \in G$ . L'application  $E$  est appelée un opérateur d'entrelacement. Cette notion d'équivalence induit naturellement une relation d'équivalence sur l'ensemble des représentations. Suivant le **lemme de Schur**, si  $R$  est une représentation irréductible de  $G$  dans l'espace  $V$ , un endomorphisme  $L$  de  $V$  tel que, pour tout  $g \in G$ ,  $g_R L = L g_R$ , est scalaire, i.e. il existe un  $\lambda \in \mathbb{C}$  tel que  $L = \lambda \text{id}$ .

On peut effectuer sur les représentations les opérations usuelles de dualité, conjugaison, somme directe ou produit tensoriel. Soient  $R$  et  $R'$  deux représentations de  $G$  agissant respectivement dans  $V$  et  $V'$  :

— la représentation duale  $R^*$  (ou contragradiante) de  $R$  est donnée par les endomorphismes transposés  $(g_R^{-1})^t$  agissant dans l'espace dual  $V^*$  ;

— la représentation conjuguée  $\bar{R}$  est donnée par les applications  $g_R$  vues comme endomorphismes de l'espace conjugué complexe  $\bar{V}$ . Ce dernier est l'espace  $V$  muni de la multiplication scalaire par les nombres complexes conjugués. On notera  $\bar{v}$  un élément  $v$  de  $V$  mais vu comme élément de  $\bar{V}$ . Pour  $R$  unitaire, les représentations  $R^*$  et  $\bar{R}$  sont équivalentes par l'isomorphisme naturel entre  $V^*$  et  $\bar{V}$  induit par le produit scalaire sur  $V$  ;

— la somme (resp. le produit) de deux représentations, notée  $R \oplus R'$  (resp.  $R \otimes R'$ ) agit dans l'espace  $V \oplus V'$  (resp.  $V \otimes V'$ ) comme suit :

$$g_{R \oplus R'} = g_R \oplus g_{R'} \quad (\text{resp. } g_{R \otimes R'} = g_R \otimes g_{R'}).$$

Dans la suite nous considérerons des représentations où  $V$  est muni d'une structure d'espace vectoriel topologique. On supposera alors que, pour tout  $v \in V$ , l'application  $G \ni g \mapsto g_R v \in V$  est continue.

### 1.1. Groupes compacts

On suppose ici que  $G$  est un groupe compact. Soit  $dg$  la mesure de Haar sur  $G$  (bi-invariante) normalisée par  $\int_G dg = 1$ . Si l'espace de représentation  $V$  est de dimension finie — les représentations irréductibles d'un groupe compact le sont automatiquement — on peut munir  $V$  d'un produit scalaire hermitien rendant  $R$  unitaire. Pour cela, il suffit de prendre

$$(u, v) = \int_G \langle g_R u \mid g_R v \rangle dg$$

où  $\langle \cdot, \cdot \rangle$  est un produit hermitien quelconque sur  $V$ .

Soit  $R_\alpha$  une représentation unitaire et irréductible de  $G$  dans l'espace  $V_\alpha$ . On se donne une base orthonormée  $\{e_j^\alpha\}$  de  $V_\alpha$ . On note  $g_{\alpha; i, j}$  le  $(i, j)$ -ème élément matriciel, soit  $(e_i^\alpha, g_{R_\alpha} e_j^\alpha)$ . On connaît le produit scalaire des fonctions  $g_{\alpha; i, j}$  grâce aux **relations d'orthogonalité de Schur**. Si  $R_\alpha$  et  $R_\beta$  sont deux représentations irréductibles inéquivalentes, alors

$$\int_G \overline{g_{\alpha; i, j}} g_{\beta; k, l} dg = 0.$$

Pour une seule représentation,

$$\int_G \overline{g_{\alpha; i, j}} g_{\alpha; k, l} dg = \frac{\delta_{i, k} \delta_{j, l}}{d_\alpha}$$

où  $d_\alpha$  est la dimension de  $V_\alpha$ . Autrement dit, les fonctions  $g_{\alpha; i, j}$  sont orthogonales pour le produit scalaire standard sur  $L^2(G, dg)$ .

Soit  $\{R_\alpha\}$  un ensemble maximal de représentations irréductibles, unitaires et deux à deux inéquivalentes. D'après le **théorème de Peter-Weyl**, la famille  $\{d_\alpha^{1/2} g_{\alpha; i, j}\}$  forme une base orthonormée de  $L^2(G, dg)$ . La représentation  $R_\alpha$  définit une application linéaire  $\rho_\alpha : \overline{V}_\alpha \otimes V_\alpha \rightarrow L^2(G, dg)$  par la formule

$$\rho_\alpha(\overline{v} \otimes v') = d_\alpha^{1/2} (v, g_{R_\alpha} v').$$

L'image de  $\rho_\alpha$  est engendrée par les éléments matriciels  $g_{\alpha; i, j}$ . D'après les relations d'orthogonalité de Schur,  $\rho_\alpha$  préserve le produit scalaire. Le théorème de Peter-Weyl implique que  $\bigoplus_\alpha \rho_\alpha$  est un isomorphisme unitaire, soit

$$\bigoplus_\alpha \overline{V}_\alpha \otimes V_\alpha \cong L^2(G, dg). \quad (1)$$

Un calcul rapide donne

$$\begin{cases} g_{\mathcal{L}} \rho_\alpha(\overline{v} \otimes v') &= \rho_\alpha(\overline{g_{R_\alpha}} \overline{v} \otimes v'), \\ g_{\mathcal{R}} \rho_\alpha(\overline{v} \otimes v') &= \rho_\alpha(\overline{v} \otimes g_{R_\alpha} v'). \end{cases}$$

Ainsi, l'application  $\oplus_\alpha \rho_\alpha$  entrelace la représentation régulière gauche (resp. droite) dans  $L^2(G, dg)$  avec l'action naturelle de  $G$  sur les facteurs de gauche (\*) (resp. droite) dans  $\oplus_\alpha \bar{V}_\alpha \otimes V_\alpha$ .

Soit  $f$  un élément de  $L^2(G, dg)$ . D'après le théorème précédent,  $f$  se décompose de manière unique sur  $\{g_{\alpha; i, j}\}$  :

$$f(g) = \sum_\alpha \sum_{i, j} N_{\alpha; i, j} d_\alpha^{1/2} g_{\alpha; i, j} \quad (2)$$

où

$$N_{\alpha; i, j} = d_\alpha^{1/2} \int_G \overline{h_{\alpha; i, j}} f(h) dh$$

et la somme dans (2) converge dans  $L^2(G, dg)$ . Posons

$$f_{R_\alpha} = d_\alpha^{1/2} \int_G f(h^{-1}) h_{R_\alpha} dh.$$

On a donc  $N_{\alpha; i, j} = (e_j^\alpha, f_{R_\alpha} e_i^\alpha)$ .

L'isomorphisme  $(\dagger) \iota : \bar{V}_\alpha \otimes V_\alpha \rightarrow \text{End}(V_\alpha)$  tel que

$$\iota(\bar{v} \otimes v')(w) = (v, w) v'$$

identifie canoniquement les espaces  $\bar{V}_\alpha \otimes V_\alpha$  et  $\text{End}(V_\alpha)$ , identification admise une fois pour toutes. On peut composer l'application

$$L^2(G, dg) \ni f \longmapsto f_{R_\alpha} \in \text{End}(V_\alpha) \cong \bar{V}_\alpha \otimes V_\alpha$$

avec  $\rho_\alpha$ . D'une part,  $\bar{V}_\alpha \otimes V_\alpha \xrightarrow{\rho_\alpha} L^2(G, dg) \rightarrow \text{End}(V_\alpha) \cong \bar{V}_\alpha \otimes V_\alpha$  donne l'identité de  $\bar{V}_\alpha \otimes V_\alpha$ . D'autre part,  $L^2(G, dg) \rightarrow \text{End}(V_\alpha) \cong \bar{V}_\alpha \otimes V_\alpha \xrightarrow{\rho_\alpha} L^2(G, dg)$  projette sur le composant  $\bar{V}_\alpha \otimes V_\alpha$  de la décomposition (1). La formule (2) peut être mise sous forme de transformée de Fourier :

$$f(g) = \sum_\alpha d_\alpha^{1/2} \text{tr} f_{R_\alpha} g_{R_\alpha}$$

exprimant la décomposition (1) des représentations régulières de  $G$  en représentations irréductibles. L'unitarité de cette décomposition conduit à la formule de Parseval-Plancherel

$$\|f\|_{L^2(G)}^2 = \int_G |f(g)|^2 dg = \sum_\alpha \|f_{R_\alpha}\|_{\text{HS}}^2$$

où la norme de Hilbert-Schmidt d'une application linéaire  $A$  est définie par  $\|A\|_{\text{HS}}^2 = \text{tr} A^\dagger A$ .

Enfin, chaque représentation unitaire de dimension finie est équivalente à une somme de représentations irréductibles  $(\ddagger)$  — le complément orthogonal de chaque sous-espace invariant reste invariant.

\*L'action à gauche de  $g \in G$  sur  $\oplus_\alpha (\bar{v}_\alpha \otimes v'_\alpha)$  conduit à :  $\oplus (\bar{g}_{R_\alpha} \bar{v}_\alpha \otimes v'_\alpha)$ .

$\dagger$ L'inverse de  $\iota$  est l'application  $\iota^{-1} : \text{End}(V_\alpha) \ni \phi \rightarrow \sum_i \bar{e}_i^\alpha \otimes \phi(e_i^\alpha) \in \bar{V}_\alpha \otimes V_\alpha$ .

$\ddagger$ L'assertion reste vraie pour des représentations de dimension infinie dans la catégorie hilbertienne.



Le *caractère* d'une représentation  $R$  de dimension finie est la fonction  $\chi_R : G \rightarrow \mathbb{C}$  telle que

$$\chi_R(g) = \text{tr } g_R.$$

Pour les représentations irréductibles  $R_\alpha$ ,  $\chi_{R_\alpha}(g) = \sum_i g_{\alpha;i,i}$ . Les caractères révèlent des propriétés intéressantes. La plus importante est l'invariance sur les classes de conjugaison, soit

$$\chi_R(hgh^{-1}) = \chi_R(g).$$

On dit alors que le caractère de  $R$  est une fonction de classe. Au niveau des caractères, l'équivalence entre représentations duale et conjuguée se traduit par :

$$\chi_{R^*}(g) = \overline{\chi_R(g^{-1})} = \chi_{\overline{R}}(g^{-1}).$$

Si  $R$  et  $R'$  sont deux représentations quelconques de  $G$  :

$$\begin{aligned} \chi_{R \oplus R'} &= \chi_R + \chi_{R'}, \\ \chi_{R \otimes R'} &= \chi_R \chi_{R'}. \end{aligned}$$

Ces deux propriétés justifient en partie le paragraphe suivant consacré à l'anneau des représentations.

Les relations d'orthogonalité de Schur impliquent des relations d'orthogonalité de caractères. Si  $R_\alpha$  et  $R_\beta$  sont deux représentations irréductibles inéquivalentes de  $G$ , alors

$$\int_G \overline{\chi_{R_\alpha}(g)} \chi_{R_\beta}(g) dg = 0$$

et pour une seule représentation

$$\int_G |\chi_{R_\alpha}(g)|^2 dg = 1.$$

Les caractères  $\chi_{R_\alpha}$  forment une base orthonormale dans le sous-espace des fonctions de classe de  $L^2(G, dg)$ .

La notion de caractère est importante, car elle permet de déterminer les représentations à équivalence près. En effet, si  $R$  et  $R'$  sont équivalentes alors  $\chi_R = \chi_{R'}$ . L'inverse est aussi vrai : si  $R = \oplus_\beta R_\beta$  alors  $\int_G \overline{\chi_{R_\alpha}(g)} \chi_R(g) dg$  donne la multiplicité de la représentation irréductible  $R_\alpha$  dans la somme  $\oplus_\beta R_\beta$ . On peut ainsi reconstruire  $R$  de  $\chi_R$  à équivalence près.

## 1.2. Anneau des représentations $\mathbf{K}(G)$

Il est naturel de considérer l'ensemble  $\mathbf{C}(G)$  des classes d'équivalence de représentations de dimensions finies de  $G$  et d'essayer de lui adjoindre une structure d'anneau ; la construction suivante reste valable pour un groupe non-compact.

Notons  $[R]$  la classe d'équivalence de la représentation  $R$ . On définit les opérations produit et somme sur les classes d'équivalence comme prolongement des opérations sur les représentations :

$$\begin{cases} [R] + [R'] = [R \oplus R'] = [R'] + [R] \\ [R] \cdot [R'] = [R \otimes R'] = [R'] \cdot [R]. \end{cases}$$

À ce stade,  $\mathbf{C}(G)$  est un semi-groupe. Pour obtenir un anneau, il nous faut construire l'inverse pour l'addition. Suivant Grothendieck, on définit une relation d'équivalence sur  $\mathbf{C}(G) \times \mathbf{C}(G)$  par

$$([R_1], [R_2]) \sim ([R'_1], [R'_2]) \iff [R_1] + [R'_2] = [R'_1] + [R_2].$$

La transitivité est une conséquence de la règle d'annulation pour la loi  $+$  sur  $\mathbf{C}(G)$  :

$$[R] + [Q] = [R'] + [Q] \implies [R] = [R'].$$

Soit  $\mathbf{K}(G)$  l'ensemble des classes d'équivalence de  $\mathbf{C}(G) \times \mathbf{C}(G)$  vis à vis de  $\sim$ . Les opérations somme et produit dans  $\mathbf{C}(G)$  descendent à  $\mathbf{K}(G)$ . On vérifie aisément que  $-([R_1], [R_2]) \sim ([R_2], [R_1])$ . Pour simplifier, on notera  $[R_1] - [R_2]$  la classe d'équivalence  $([R_1], [R_2]) \sim$ . Un élément de  $\mathbf{K}(G)$  est appelé une **représentation virtuelle** de  $G$ . Le triplet  $(\mathbf{K}(G), +, \cdot)$  est alors un anneau commutatif, l'**anneau des représentations**.

On a défini précédemment les notions de représentations duale et conjuguée ; ces dernières s'étendent à  $\mathbf{K}(G)$ . Il est clair que ces deux opérations sont des involutions de  $\mathbf{K}(G)$ . De plus, pour les groupes compacts, la dualité et la conjugaison dans  $\mathbf{K}(G)$  coïncident.

Pour un groupe de Lie compact, simple, connexe et simplement connexe il existe une correspondance bijective entre poids dominants et représentations irréductibles (cf. section 2). On note  $\rho_i$  la classe d'équivalence de la représentation irréductible unitaire correspondante au poids fondamental  $\lambda_i$ . On montre alors [2, p. 164]

PROPOSITION. — *L'anneau des représentations est isomorphe à l'ensemble des polynômes à coefficients dans  $\mathbb{Z}$  sur les classes d'équivalence de représentations de plus hauts poids fondamentaux, i.e.*

$$\mathbf{K}(G) \cong \mathbb{Z}[\rho_1, \dots, \rho_r].$$

## §2. Algèbres de Lie simples

Soit  $G$  un groupe de Lie compact, simple, connexe et simplement connexe. On note  $\mathfrak{g}$  l'algèbre de Lie de  $G$  et  $\mathfrak{g}^{\mathbb{C}}$  l'algèbre de Lie complexifiée de  $\mathfrak{g}$ , c.-à-d.  $\mathfrak{g}^{\mathbb{C}} = \mathfrak{g} \oplus i\mathfrak{g}$ . Le groupe de Lie complexifié  $G^{\mathbb{C}}$  est le groupe connexe, simplement connexe (unique à isomorphisme près) ayant pour algèbre de Lie  $\mathfrak{g}^{\mathbb{C}}$ . L'algèbre  $\mathfrak{g}$  est fixée par l'involution anti-linéaire  $X \mapsto X^\dagger$  de  $\mathfrak{g}^{\mathbb{C}}$ . Nous utilisons la convention des physiciens pour laquelle l'application exponentielle qui envoie  $\mathfrak{g}$  dans le groupe  $G$  est  $\mathfrak{g} \ni X \mapsto \exp iX$ . Le groupe  $G$  est un sous-groupe compact maximal de  $G^{\mathbb{C}}$  fixé par  $gg^\dagger = 1$ , i.e.  $(\exp iX)^\dagger = \exp -iX$ . Une excellente référence pour tout ce qui suit est [97].

On décompose  $\mathfrak{g}^{\mathbb{C}}$  relativement à une **sous-algèbre de Cartan**  $\mathfrak{t}$ , soit une sous-algèbre abélienne maximale dans  $\mathfrak{g}$ ,

$$\mathfrak{g}^{\mathbb{C}} = \mathfrak{t}^{\mathbb{C}} \oplus \bigoplus_{\alpha \in \Delta} \mathbb{C}e_\alpha$$

où  $e_\alpha$  est un vecteur propre dans  $\mathfrak{g}^{\mathbb{C}}$  pour l'action adjointe de  $\mathfrak{t}$  :

$$[X, e_\alpha] = \alpha(X) e_\alpha, \quad \forall X \in \mathfrak{t}.$$

Par construction, les  $\alpha$  sont des éléments de  $\mathfrak{t}^*$ , appelés **racines** de  $\mathfrak{g}^{\mathbb{C}}$ . On note  $\Delta$  l'ensemble des racines. Il est possible de choisir les vecteurs  $e_\alpha$  de telle sorte que  $e_\alpha^\dagger = e_{-\alpha}$  et le commutateur

$$[e_\alpha, e_{-\alpha}] \equiv \alpha^\vee,$$

qui appartient à l'algèbre de Cartan  $\mathfrak{t}$ , satisfait

$$\alpha(\alpha^\vee) = 2.$$

On appelle  $\alpha^\vee$  la **coracine** associée à la racine  $\alpha$  ; on note  $\Delta^\vee$  l'ensemble des coracines. Par contre, si  $\alpha, \beta \in \Delta$ ,  $\alpha \neq -\beta$ , on a

$$[e_\alpha, e_\beta] = N_{\alpha\beta} e_{\alpha+\beta}$$

et  $N_{\alpha\beta} = 0$  si  $\alpha + \beta \notin \Delta$ .

La **forme de Killing** de  $\mathfrak{g}$  est la forme bilinéaire non dégénérée  $K(X, Y) \equiv \text{tr ad}_X \circ \text{ad}_Y$  sur  $\mathfrak{g} \times \mathfrak{g}$ , où  $\text{tr}$  est la trace linéaire. On préfère renormaliser la forme de Killing en posant  $\text{tr } XY = K(X, Y)/I_\phi$ . On fixe le coefficient  $I_\phi$  plus loin. La forme de Killing est invariante dans l'action adjointe, *i.e.*  $\text{tr } [X, Y] Z + \text{tr } Y [X, Z] = 0$ , mais aussi par tout automorphisme de l'algèbre. Elle est unique à normalisation près et s'étend naturellement à  $\mathfrak{g}^{\mathbb{C}}$ . Avec nos hypothèses sur  $G$ , sa restriction  $\text{tr}|_{\mathfrak{t} \times \mathfrak{t}}$  est non dégénérée, donc  $\forall \lambda \in \mathfrak{t}^*$ , il existe un unique  $X_\lambda \in \mathfrak{t}$  tel que  $\lambda(X) = \text{tr } X_\lambda X$  pour tout  $X \in \mathfrak{t}$  et  $\text{tr } \lambda \mu \equiv \text{tr } X_\lambda X_\mu = \lambda(X_\mu) = \mu(X_\lambda)$ , pour  $\lambda$  et  $\mu$  dans  $\mathfrak{t}^*$ . On a

$$\lambda(\alpha^\vee) = \text{tr } [e_\alpha, e_{-\alpha}] X_\lambda = \text{tr } e_{-\alpha} [X_\lambda, e_\alpha] = \text{tr } \lambda \alpha \text{tr } e_{-\alpha} e_\alpha.$$

Pour  $\lambda = \alpha$ , on obtient  $2 = \text{tr } \alpha^2 \text{tr } e_{-\alpha} e_\alpha$ . Il suit donc que

$$\alpha^\vee = \frac{2}{\text{tr } \alpha^2} X_\alpha, \quad \text{tr } (\alpha^\vee)^2 = \frac{4}{\text{tr } \alpha^2}, \quad X_\alpha = \frac{2}{\text{tr } (\alpha^\vee)^2} \alpha^\vee.$$

On peut toujours choisir  $(h^j)_{j=1, \dots, r}$  une base orthonormée de la sous-algèbre de Cartan  $\mathfrak{t}^{\mathbb{C}}$ , avec  $(h^j)^\dagger = h^j$ . On montre que  $\text{tr } e_\alpha h^j = 0 = \text{tr } e_\alpha e_\beta$ ,  $\alpha + \beta \neq 0$ . L'ensemble des  $e_\alpha$  et des  $h^j$  forme une **base de Cartan-Weyl** pour  $\mathfrak{g}^{\mathbb{C}}$ . Une base de la forme compacte  $\mathfrak{g}$  est donnée par  $h^j, i(e_\alpha - e_{-\alpha}), e_\alpha + e_{-\alpha}$ . Dans les applications, on privilégie souvent l'usage d'une **base orthogonale** ( $t^a$ ) avec

$$\text{tr } t^a t^b = \delta^{ab}/2, \quad [t^a, t^b] = i f^{abc} t^c$$

(somme sur  $c$  !). Les  $f^{abc}$  sont les constantes de structure de l'algèbre de Lie. Ces conventions sont en accord avec la base utilisée pour l'algèbre  $\mathfrak{sl}_2$ , c.-à-d.  $t^a = \sigma^a/2$  où les  $\sigma^a$  sont les matrices de Pauli. En ce qui concerne la base de Cartan-Weyl de  $\mathfrak{sl}_2$  :  $e_{\pm\alpha} = \sigma^\pm$  et  $h = \sigma^3/\sqrt{2}$ . On a deux racines  $\pm\alpha$  avec  $\alpha(h) = \sqrt{2}$ .

Les algèbres  $\mathfrak{n}_\pm = \bigoplus_{\alpha>0} \mathbb{C} e_{\pm\alpha}$  sont deux sous-algèbres nilpotentes maximales dans  $\mathfrak{g}^{\mathbb{C}}$ . On a  $\mathfrak{g}^{\mathbb{C}} = \mathfrak{n}_+ \oplus \mathfrak{t}^{\mathbb{C}} \oplus \mathfrak{n}_-$ . On appelle traditionnellement sous-algèbres de Borel les sous-algèbres  $\mathfrak{b}_\pm = \mathfrak{t}^{\mathbb{C}} \oplus \mathfrak{n}_\pm$ . Ici, on va utiliser aussi la sous-algèbre  $\mathfrak{b} = i\mathfrak{t} \oplus \mathfrak{n}_+$ . La **décomposition d'Iwasawa** certifie que  $\mathfrak{g}^{\mathbb{C}} = \mathfrak{g} \oplus \mathfrak{b}$ . Au niveau des groupes de Lie, cela donne une décomposition de  $G^{\mathbb{C}}$  par rapport au groupe  $B$  d'algèbre  $\mathfrak{b}$ . Ainsi, tout élément  $h$  de  $G^{\mathbb{C}}$  se décompose de manière unique en

$$h = e^{\sum_{\alpha>0} v_\alpha e_\alpha} e^{\varphi/2} g$$

avec  $g$  dans le groupe compact  $G$ , c.-à-d.  $gg^\dagger = 1$ ,  $v_\alpha \in \mathbb{C}$  et  $\varphi \in \mathfrak{t}$ . Pour rappel,  $e^{\varphi/2}$  n'est pas dans le groupe compact, avec nos conventions sur l'application exponentielle.

L'ensemble des racines engendre  $\mathfrak{t}^*$  mais ce n'est pas une base de  $\mathfrak{t}^*$ . Une sous-famille  $(\alpha_1, \dots, \alpha_r)$  de  $\Delta$  est appelée une base de  $\Delta$  si  $B$  est une base de  $\mathfrak{t}^*$  et toute racine  $\alpha$  de  $\mathfrak{g}^{\mathbb{C}}$  est une combinaison linéaire des  $\alpha_i \in B$ , à coefficients entiers tous  $\geq 0$  (pour  $\alpha \in \Delta_+ \subset \Delta$ ) ou tous  $\leq 0$  (pour  $\alpha \in \Delta_- \subset \Delta$ ). Le **rang** de  $\mathfrak{g}^{\mathbb{C}}$ , noté  $r$ , est égal à la dimension de  $\mathfrak{t}$ . Les  $\alpha_i$ ,  $i = 1, \dots, r$ , sont appelées les **racines simples**. Les racines de  $\mathfrak{g}^{\mathbb{C}}$  appartenant à  $\Delta_+$  sont les racines positives, et celles appartenant à  $\Delta_-$  les racines négatives.

Parmi toutes les racines positives, il existe une racine privilégiée, la **racine la plus grande**  $\phi$ . C'est l'unique racine telle que  $\phi + \alpha \notin \Delta$ , pour tout  $\alpha \in \Delta_+$ . On normalise alors la forme de Killing  $\text{tr}$  par  $\text{tr} \phi^2 = 2$ . Ceci fixe complètement le coefficient  $I_\phi$ . Si on décompose  $\phi$  et  $\phi^\vee$ , la coracine de  $\phi$ , sur une base avec  $\phi = \sum_i k_i \alpha_i$  et  $\phi^\vee = \sum_i k_i^\vee \alpha_i^\vee$  — les coefficients  $k_i$  ( $k_i^\vee$ ) sont les labels de Kac (duaux) — le nombre de Coxeter et le **nombre de Coxeter dual** sont respectivement

$$g = 1 + \sum_i k_i, \quad g^\vee = 1 + \sum_i k_i^\vee.$$

À la fin de la section, on montre que la normalisation choisie pour la forme de Killing conduit à  $I_\phi = 2g^\vee$ . En particulier, on obtient : dans la base orthogonale,

$$f^{abc} f^{bcd} = g^\vee \delta^{ad}.$$

La table suivante présente la **classification de Cartan** des algèbres simples. L'indice  $r$  indique le rang de l'algèbre,  $d$  la dimension et  $g^\vee$  le nombre de Coxeter dual :

$\mathfrak{g}^{\mathbb{C}}$	$\mathfrak{g}$	$d$	$r$	$g^\vee$	$\mathfrak{g}^{\mathbb{C}}$	$d$	$g^\vee$
$A_r$	$\mathfrak{su}(r+1)$	$r^2 + 2r$	$1, 2, \dots$	$r+1$	$E_6$	78	12
$B_r$	$\mathfrak{so}(2r+1)$	$2r^2 + r$	$2, 3, \dots$	$2r-1$	$E_7$	133	18
$C_r$	$\mathfrak{sp}(2r)$	$2r^2 + r$	$3, 4, \dots$	$r+1$	$E_8$	248	30
$D_r$	$\mathfrak{so}(2r)$	$2r^2 - r$	$4, 5, \dots$	$2r-2$	$F_4$	52	9
					$G_2$	14	4

Le **groupe de Weyl**  $W$  est le sous-groupe de  $\text{GL}(\mathfrak{t}^*)$  engendré par les réflexions par rapport aux hyperplans  $L_\alpha = \{\beta \in \mathfrak{t}^* \mid \text{tr} \beta \alpha = 0\}$ ,  $r_\alpha : \mathfrak{t}^* \ni \mu \mapsto \mu - \mu(\alpha^\vee) \alpha \in \mathfrak{t}^*$ . On appelle **chambre de Weyl** une des composantes connexes de  $\mathfrak{t}^* \setminus \bigcup_{\alpha \in \Delta} L_\alpha$ . Le groupe de Weyl satisfait les propriétés suivantes :

- $W$  est fini,  $W$  préserve la forme de Killing ;
- l'action de  $W$  sur l'ensemble des chambres de Weyl est simplement transitive, *i.e.* il existe un unique élément  $w \in W$  tel que  $w(C) = C'$ , si  $C$  et  $C'$  sont deux chambres de Weyl ;
- si  $B$  est une base de  $\Delta$ ,  $W$  est engendré par les  $r_{\alpha_i}$  ( $\alpha_i \in B$ ), appelées réflexions simples ;
- l'adhérence  $\overline{C}$  d'une chambre de Weyl  $C$  est un domaine fondamental pour  $W$  : toute orbite de  $W$  dans  $\mathfrak{t}^*$  intersecte  $\overline{C}$  en un seul point.

Soit  $T$  un tore maximal dans  $G$ , c.-à-d. un sous-groupe de Cartan d'algèbre de Lie  $\mathfrak{g}$ . On peut identifier  $W$  et  $N(T)/T$  où  $N(T)$  est le normalisateur de  $T$  dans  $G$ , *i.e.*  $N(T) = \{g \in$

$G \mid gTg^{-1} = T$ . Le quotient  $N(T)/T$  est juste l'ensemble des automorphismes de  $T$  induits par les automorphismes intérieurs de  $G$ . Ainsi, si  $w \in N(T)/T$ , il existe  $g \in N(T) \subset G$  tel que  $w(t) = gtg^{-1}$ , pour tout  $t \in T$ . L'élément  $w$  induit un automorphisme linéaire de  $\mathfrak{t}$  et donc de  $\mathfrak{t}^*$ . Dans ce langage, les réflexions simples  $r_{\alpha_i}$  sont données par  $\exp[\pi i (e_{\alpha_i} + e_{-\alpha_i})/2] \in G$ .

La **matrice de Cartan**  $A$  est la matrice ayant pour élément  $(i, j) : a_{ij} \equiv 2 \operatorname{tr} \alpha_i \alpha_j / \operatorname{tr} \alpha_j^2$ . La matrice  $A$  vérifie les propriétés suivantes

$$\begin{cases} a_{ii} = 2, & \text{si } i, j = 1, \dots, r \\ a_{ij} = 0 \Leftrightarrow a_{ji} = 0, & \text{si } i, j = 1, \dots, r \\ a_{ij} \in \mathbb{Z}_-, & \text{si } i, j = 1, \dots, r, i \neq j \end{cases} \quad (3)$$

$$A \text{ est définie positive,} \quad (4)$$

c.-à-d. tous les mineurs principaux de  $A$  sont strictement positifs. En particulier,  $A$  est une matrice de rang  $r$ . Cette matrice caractérise complètement l'algèbre  $\mathfrak{g}^{\mathbb{C}}$ . Ainsi la classification des algèbres de Lie simples se réduit à la classification des matrices de Cartan.

Le sous-groupe additif de  $\mathfrak{t}^*$  engendré par  $\Delta$  est un réseau, appelé réseau des racines et noté  $Q$ . Les coracines engendrent également un réseau dans  $\mathfrak{t}$ , appelé réseau des coracines et noté  $Q^{\vee}$ . Un **poïds**  $\lambda$  est un élément de  $\mathfrak{t}^*$  tel que  $\lambda(q^{\vee}) \in \mathbb{Z}$ , pour tout  $q^{\vee} \in Q^{\vee}$ . L'ensemble des poïds forme un réseau  $P \subset \mathfrak{t}^*$ , appelé réseau des poïds. Par construction,  $P = (Q^{\vee})^*$  est le réseau dual à  $Q^{\vee}$  et  $Q \subset P \subset \mathfrak{t}^*$ . Le réseau dual à  $Q$ , noté  $P^{\vee}$ , est le réseau des **copoïds** ;  $Q^{\vee} \subset P^{\vee} \subset \mathfrak{t}$ . Si  $\exp : \mathfrak{g} \rightarrow G$  est l'application exponentielle,  $Q^{\vee} = \{X \in \mathfrak{t} \mid \exp(2\pi i X) = 1\}$  et  $P^{\vee} = \{X \in \mathfrak{t} \mid \exp(2\pi i X) \in Z(G)\}$ , où  $Z(G)$  est le centre de  $G$ .  $Z(G) \cong P^{\vee} / Q^{\vee} \cong P / Q$  et  $|Z(G)| = \det A$ . Les poïds tels que  $\lambda_i(\alpha_i^{\vee}) = \delta_{ij}$  sont les poïds **fondamentaux**. Les poïds fondamentaux forment une base de  $P$  : tout poïds  $\lambda$  s'écrit de manière unique  $\lambda = \sum_i n_i \lambda_i$ , avec  $n_i \in \mathbb{Z}$ . On note  $P_+$  l'ensemble des **poïds dominants**, pour lesquels  $n_i \geq 0$ .

Une représentation (de dimension finie) de  $\mathfrak{g}^{\mathbb{C}}$  dans un espace vectoriel ( $V$  de dimension finie) est un homomorphisme d'algèbres de Lie  $\mathfrak{g}^{\mathbb{C}} \rightarrow \mathfrak{gl}(V)$ . On utilise à l'envi le terme **module** pour parler de représentation. Un module  $M$  est un espace vectoriel plus une action de l'algèbre. Clairement, il s'agit juste de deux manières de considérer le même objet. Comme on s'y attend, on échange représentations d'algèbres et de groupes par intégration ou dérivation. Un **module**  $M_{\lambda}$  est dit **de plus haut poïds** s'il existe  $\lambda \in \mathfrak{t}^*$  et un vecteur  $v_{\lambda} \in M_{\lambda}$ , tels que

$$e_{\alpha} v_{\lambda} = 0 \quad \forall \alpha \in \Delta_+, \quad X v_{\lambda} = \lambda(X) v_{\lambda} \quad \forall X \in \mathfrak{t}, \quad \text{et} \quad M_{\lambda} = \mathcal{U}(\mathfrak{g}^{\mathbb{C}}) v_{\lambda}$$

où  $\mathcal{U}(\mathfrak{g}^{\mathbb{C}})$  est l'algèbre enveloppante de  $\mathfrak{g}^{\mathbb{C}}$ . On dit que  $\lambda$  est le plus haut poïds de la représentation — même si rien ne nous dit que  $\lambda$  est un poïds dans le sens donné auparavant — et  $v_{\lambda}$  est un vecteur de plus haut poïds. Tout vecteur de  $M_{\lambda}$  appartient à  $\mathcal{U}(\mathfrak{n}_-) v_{\lambda}$ . Une représentation est dite unitaire s'il existe un produit scalaire sur  $M$  tel que la conjugaison hermitienne correspondante envoie  $X \in \mathfrak{g}^{\mathbb{C}}$  vers  $X^{\dagger}$ .

Parmi toutes les représentations de plus haut poïds  $\lambda$  fixé, il existe une représentation plus grande que toutes les autres, le **module de Verma**  $V_{\lambda}$  à partir duquel on obtient n'importe quel autre module de plus haut poïds  $\lambda$  en quotientant par un sous-espace invariant, et une plus petite, la représentation irréductible  $H_{\lambda}$ , obtenue en quotientant par le plus grand sous-espace propre invariant. Le module de Verma admet une unique forme hermitienne, la **forme de Shapovalov**, telle que  $X^{\dagger} = X$  et  $\langle v_{\lambda}, v_{\lambda} \rangle = 1$ . Le plus grand sous-espace propre invariant

est alors le sous-espace des vecteurs orthogonaux à tous les autres. La forme de Shapovalov descend donc sur  $H_\lambda$  pour donner une forme hermitienne non-dégénérée sur  $H_\lambda$ .

Les représentations unitaires de plus haut poids sont celles pour lesquelles la forme de Shapovalov sur  $H_\lambda$  est positive. C'est le cas si, et seulement si,  $\lambda \in P_+$ . Ainsi, le **théorème du plus haut poids** dit que les représentations de  $\mathfrak{g}^{\mathbb{C}}$  irréductibles, unitaires de plus haut poids sont énumérées par les plus hauts poids  $\lambda \in P_+$ . Elles sont toutes de dimension finie, et s'intègrent en des représentations irréductibles, unitaires de  $G$ . Réciproquement, toute représentation irréductible, unitaire de  $G$  se dérive en une représentation de  $\mathfrak{g}^{\mathbb{C}}$ , irréductible, unitaire, de plus haut poids. Ainsi, on peut également énumérer les classes d'équivalence de représentations de  $G$  irréductibles et unitaires par les poids dominants. En plus, l'action de  $\mathfrak{t}$  sur  $M_\lambda$  est diagonale, on peut donc décomposer l'espace de représentation en une somme directe

$$M_\lambda = \bigoplus_{\mu \in \mathfrak{t}^*} M_\lambda(\mu), \quad M_\lambda(\mu) = \{v \in M_\lambda \mid Xv = \mu(X)v, \forall X \in \mathfrak{t}\},$$

éventuellement vide. Si  $M_\lambda(\mu) \neq \emptyset$ ,  $\mu$  est un poids de l'algèbre de Lie et  $\mu = \lambda - \sum_\ell \alpha_\ell$ , où  $\alpha_\ell \in \Delta_+$ .

Le **Casimir quadratique** est l'élément de l'algèbre enveloppante

$$C = \frac{1}{2} \sum_{i,j} (\text{tr } e_i e_j)^{-1} e_i e_j$$

où  $(e_i)$  est une base quelconque de  $\mathfrak{g}^{\mathbb{C}}$ , dont le choix ne change pas  $C$ . Mieux encore, le Casimir est dans le centre de l'algèbre enveloppante. Dans la base orthogonale et dans la base de Cartan-Weyl,

$$C = t^a t^a = \sum_{\alpha > 0} \frac{\text{tr } \alpha^2}{2} (e_\alpha e_{-\alpha} + e_{-\alpha} e_\alpha) + \frac{1}{2} \sum_{j=1}^r h^j h^j.$$

Le Casimir quadratique dans une représentation  $R$  de plus haut poids  $\lambda$  est obtenu en remplaçant les  $e_i$  par les  $(e_i)_R$  dans  $C$ . Suivant le lemme de Schur, ce Casimir agit scalairement. On note  $C_\lambda$  ce scalaire. On trouve aisément que  $C_\lambda = \frac{1}{2} \text{tr } \lambda(\lambda + 2\rho)$ , où  $\rho$  est le vecteur de Weyl :  $\rho \equiv \frac{1}{2} \sum_{\alpha > 0} \alpha = \sum_i \lambda_i$ . En particulier, la racine la plus grande  $\phi$  est le plus haut poids de la représentation adjointe. On constate que le Casimir  $C_\phi$  dans la représentation adjointe est  $\frac{1}{2} \text{tr } \phi^2 + g^\vee - 1$ . D'autre part, en utilisant la base orthogonale, on trouve  $C_\phi = I_\phi/2$ . Au total,

$$I_\phi = 2g^\vee + \text{tr } \phi^2 - 2.$$

En convenant, comme on le fera toujours, que  $\text{tr } \phi^2 = 2$  on voit que  $I_\phi = 2g^\vee$  et que le nombre de Coxeter dual est aussi le Casimir quadratique de la représentation adjointe.

Soit  $R$  une représentation de  $G$  de dimension finie. Le caractère de  $G$  est une fonction de classe. Or, tout élément de  $G$  est conjugué à un élément du tore maximal  $T$ , donc le caractère est complètement déterminé par ses valeurs sur  $T$ . On peut poser

$$\chi_R(u) = \text{tr}_R e^{iu}$$

pour  $u \in \mathfrak{t}$  et  $\text{tr}_R$  représente la trace dans la représentation  $R$ . Le caractère dans une représentation irréductible unitaire de plus haut poids  $\lambda$  est donné par

$$\chi_\lambda(u) = \sum_{\mu} \dim M_\lambda(\mu) e^{i\mu(u)},$$

ou plus explicitement par la **formule des caractères de Weyl** :

$$\chi_\lambda(u) = \Pi(u)^{-1} \sum_{w \in W} (-1)^{\ell(w)} e^{iw(\lambda+\rho)(u)}$$

où  $\ell(w)$  est le nombre de racines positives transformées par  $w$  en racines négatives et  $\Pi(u)$  est le **dénominateur de Weyl**

$$\Pi(u) = \sum_{w \in W} (-1)^{\ell(w)} e^{iw\rho(u)} = e^{i\rho(u)} \prod_{\alpha > 0} (1 - e^{-i\alpha(u)}).$$

On obtient la **formule de la dimension de Weyl** donnant la dimension de  $M_\lambda$  en évaluant  $\chi_\lambda$  en 0,

$$d_\lambda = \prod_{\alpha > 0} \frac{\text{tr}(\lambda + \rho)\alpha}{\text{tr} \rho\alpha}.$$

### §3. Mouvement géodésique d'une particule sur un groupe

Le **mouvement géodésique** d'une particule sur une surface riemannienne  $M$  munie d'une métrique  $\gamma = \gamma_{\mu\nu} dx^\mu dx^\nu$  est habituellement gouverné par l'action donnée par la longueur géodésique :

$$S_{l.g.}(x(\cdot)) = \int ds = \int_0^T \left( \gamma_{\mu\nu}(x) \frac{dx^\mu}{d\tau} \frac{dx^\nu}{d\tau} \right)^{1/2} d\tau$$

où  $x : [0, T] \ni \tau \rightarrow x(\tau) \in M$  est la trajectoire de la particule. L'équation  $\delta S_{l.g.}(x(\cdot)) = 0$  d'une géodésique est

$$\frac{d^2 x^\mu}{d\tau^2} + \Gamma_{\nu\lambda}^\mu(x) \frac{dx^\nu}{d\tau} \frac{dx^\lambda}{d\tau} = 0$$

où  $\Gamma$  est le symbole de Christoffel. La longueur géodésique est invariante par reparamétrisation — c'est un objet purement géométrique. La présence de la racine carrée préfigure des difficultés techniques. C'est pourquoi on préfère utiliser une autre action classiquement équivalente :

$$S(x(\cdot)) = \frac{1}{2} \int_0^T \gamma_{\mu\nu}(x) \frac{dx^\mu}{d\tau} \frac{dx^\nu}{d\tau} d\tau. \quad (5)$$

La nouvelle action n'est plus invariante par reparamétrisation. L'**action de Polyakov**

$$S_P(x(\cdot), h(\cdot)) = \frac{1}{2} \int \gamma_{\mu\nu}(x) \frac{dx^\mu}{d\tau} \frac{dx^\nu}{d\tau} h^{-1/2} d\tau + \frac{1}{2} \int h^{1/2} d\tau$$

permet de retrouver la longueur géodésique en minimisant  $h(\cdot)$ . Quand on fixe la «jauge» à  $h \equiv 1$ , on trouve l'action (5) (à une constante près) mais on brise l'invariance par reparamétrisation.

On s'intéresse au mouvement d'une particule sur un groupe de Lie  $G$  compact, simple. La forme de Killing fournit une métrique riemannienne sur  $G$ . La mécanique de la particule  $\tau \mapsto g(\tau)$  est gouvernée par l'action

$$S(g(\cdot)) = -\frac{k}{4} \int \text{tr}(g^{-1} \partial_\tau g)^2 d\tau$$

où  $k$  est une constante de couplage strictement positive. L'action se transforme simplement dans la multiplication point par point

$$S(g_1 g_2) = S(g_1) + S(g_2) + \frac{k}{2} \int \text{tr} (g_1^{-1} \partial_\tau g_1) (g_2 \partial_\tau g_2^{-1}) d\tau$$

La variation de l'action suivant la transformation  $g \mapsto g + \delta g$ , fixée sur le bord, est

$$\delta S(g) = \frac{k}{2} \int \text{tr} ((g^{-1} \delta g) \partial_\tau (g^{-1} \partial_\tau g)) d\tau.$$

Par conséquent, l'équation classique du mouvement  $\delta S(g) = 0$  conduit à

$$\partial_\tau (g^{-1} \partial_\tau g) = 0. \quad (6)$$

L'équation (6) est invariante par les transformations

$$g \rightarrow g_1 g g_2^{-1}$$

où  $g_1$  et  $g_2$  sont deux éléments quelconques fixés de  $G$ . Comme tout élément de  $G$  est conjugué à un élément du sous-groupe de Cartan, on peut utiliser cette invariance chirale de sorte que l'espace des solutions soit paramétrisé par

$$g(\tau) = g_{\mathcal{L}} e^{i\tau v} g_{\mathcal{R}}^{-1} \quad (7)$$

où  $(g_{\mathcal{L}}, g_{\mathcal{R}}) \in G \times G$  et  $v \in \mathfrak{t}$ .

L'ensemble des configurations instantanées du système forme l'espace des configurations  $G$ . L'espace cinématique est le fibré tangent à  $G$ , noté  $TG$ . On peut identifier  $TG$  à  $G \times \mathfrak{g}$ , ainsi on paramétrise  $TG$  par les données de Cauchy  $(g(0), \frac{1}{i} (g^{-1} \partial_\tau g)(0))$ , soit  $(g_{\mathcal{L}} g_{\mathcal{R}}^{-1}, g_{\mathcal{R}} v g_{\mathcal{R}}^{-1})$ . L'espace des phases est le fibré cotangent à  $G$ , noté  $T^*G$ . Il peut être aussi identifié à  $G \times \mathfrak{g}$  où l'action d'un covecteur sur un vecteur tangent devient

$$\langle (g, X) | (g, Y) \rangle \equiv \langle X, Y \rangle = \text{tr} XY.$$

Soit  $g^{-1} dg$  la 1-forme sur  $G$  à valeurs dans  $i\mathfrak{g}$  définie par

$$\langle (g, X) | g^{-1} dg \rangle = i X.$$

Le covecteur  $(g, Y)$  coïncide alors avec  $\frac{1}{i} \text{tr} Y g^{-1} dg(g)$ . Le passage de  $TG$  à  $T^*G$  se fait par la transformation de Legendre  $\Lambda$ , c.-à-d. l'application  $\Lambda : TG \ni (g, X) \mapsto (g, \Lambda_g(X)) \in T^*G$ , avec

$$\langle W, \Lambda_g(X) \rangle \equiv \left. \frac{d}{d\epsilon} \right|_{\epsilon=0} L(g, X + \epsilon W),$$

$L$  étant le Lagrangien du système :  $L(g, X) = \frac{k}{4} \text{tr} X^2$ . On obtient  $\langle W, \Lambda_g(X) \rangle = \frac{k}{2} \text{tr} XW$ , d'où

$$\Lambda_g(X) = \frac{k}{2} X.$$

Le Hamiltonien du système est défini par  $H(g, \Lambda_g(X)) = -L(g, X) + \text{tr} X \Lambda_g(X)$  d'où

$$H(g, Y) = \frac{1}{k} \text{tr} Y^2.$$



L'espace des phases est un espace symplectique, c.-à-d. une variété équipée d'une 2-forme fermée non dégénérée. Considérons la 1-forme sur  $T^*G$

$$\omega(g, Y) = \frac{1}{i} \operatorname{tr} (Y g^{-1} dg) \circ T_{(g, Y)} \pi$$

où  $T\pi$  est l'application tangente à la projection canonique  $\pi : T^*G \rightarrow G$  — omise dans la suite. La 2-forme  $\Omega = d\omega$  est la forme symplectique canonique sur  $T^*G$ .

Nous pouvons paramétriser l'espace de phase  $T^*G$  par la transformation de Legendre des données de Cauchy :

$$(g, Y) = (g_{\mathcal{L}} g_{\mathcal{R}}^{-1}, \frac{k}{2} g_{\mathcal{R}} v g_{\mathcal{R}}^{-1}).$$

Avec cette paramétrisation

$$\omega = \frac{k}{2i} \operatorname{tr} v (g_{\mathcal{L}}^{-1} dg_{\mathcal{L}} - g_{\mathcal{R}}^{-1} dg_{\mathcal{R}}).$$

La forme symplectique  $\Omega$  se scinde alors en deux composantes

$$\Omega = d\omega = \Omega_{\mathcal{L}} - \Omega_{\mathcal{R}}$$

où

$$\Omega_{\mathcal{L}} = \frac{ki}{2} \operatorname{tr} (v (g_{\mathcal{L}}^{-1} dg_{\mathcal{L}})^{\wedge 2} - dv \wedge g_{\mathcal{L}}^{-1} dg_{\mathcal{L}})$$

et la même expression pour  $\Omega_{\mathcal{R}}$  mais en remplaçant  $g_{\mathcal{L}}$  par  $g_{\mathcal{R}}$ . Le Hamiltonien devient

$$H(g_{\mathcal{L}}, g_{\mathcal{R}}, v) = \frac{k}{4} \operatorname{tr} v^2.$$

## §4. Quantification

Une quantification naturelle consiste à prendre, comme *espace des états quantiques*, l'espace de Hilbert des fonctions de carré sommable  $\mathbf{H} = L^2(G, dg)$  — pour une variété riemannienne quelconque, on aurait pris  $\mathbf{H} = L^2(M, \Omega_{\gamma})$ ,  $\Omega_{\gamma}$  étant le volume riemannien. On normalise la mesure de Haar par  $\int_G dg = 1$ . D'après le théorème de Peter-Weyl,

$$\mathbf{H} \cong \bigoplus_{\alpha} \bar{V}_{\lambda_{\alpha}} \otimes V_{\lambda_{\alpha}}$$

où les  $R_{\alpha}$  forment un ensemble maximal de représentations irréductibles, unitaires de  $G$  agissant dans les espaces vectoriels (de dimension finie)  $V_{\lambda_{\alpha}}$ ,  $\lambda_{\alpha}$  étant le plus haut poids de la représentation  $R_{\alpha}$ .

Soit  $(t^a)$ , comme auparavant, une base orthogonale de l'algèbre de Lie  $\mathfrak{g}$  de  $G$  telle que  $\operatorname{tr} t^a t^b = \delta^{ab}/2$  et  $[t^a, t^b] = i f^{abc} t^c$ . Pour décrire l'action infinitésimale de l'algèbre, on introduit deux opérateurs  $J^a \equiv \frac{1}{i} d\mathcal{L}(t^a)$  et  $\bar{J}^a \equiv \frac{1}{i} d\mathcal{R}(t^a)$ , c.-à-d.

$$(J^a f)(g) = \frac{1}{i} \left. \frac{d}{d\epsilon} \right|_{\epsilon=0} f(e^{-i\epsilon t^a} g), \quad (\bar{J}^a f)(g) = \frac{1}{i} \left. \frac{d}{d\epsilon} \right|_{\epsilon=0} f(g e^{i\epsilon t^a}).$$

On vérifie que ces opérateurs satisfont les relations de commutation suivantes

$$[J^a, J^b] = if^{abc} J^c, \quad [\bar{J}^a, \bar{J}^b] = if^{abc} \bar{J}^c.$$

Pour définir le Hamiltonien du système, on introduit l'opérateur de Laplace-Beltrami. Si  $M$  est une variété riemannienne, on pose

$$(\Psi, -\Delta_{\text{LB}}\Phi) = \int \gamma^{\mu\nu} \partial_\mu \Psi \partial_\nu \Phi \Omega_\gamma$$

où  $(., .)$  est le produit scalaire  $L^2$ . Pour  $M = G$ , l'opérateur de Laplace-Beltrami, noté  $\Delta_G$ , est un opérateur symétrique, auto-adjoint, positif. Restreint à  $\bar{V}_{\lambda_\alpha} \otimes V_{\lambda_\alpha}$ , il agit comme  $-C_{\lambda_\alpha} \mathbf{1}$ ,  $C_{\lambda_\alpha}$  étant le Casimir quadratique de la représentation  $R_\alpha$ . Le **Hamiltonien** est alors  $\mathcal{H} = -\frac{1}{2} \Delta_{\text{LB}}$ , c.-à-d.

$$\mathcal{H} = \frac{2}{k} J^a J^a = \frac{2}{k} \bar{J}^a \bar{J}^a = -\frac{2}{k} \Delta_G.$$

Comme toujours, on peut aussi utiliser une quantification à la Feynman. Il est bien connu qu'en mécanique quantique les deux approches sont équivalentes. Considérons le noyau de l'opérateur  $e^{-\tau \mathcal{H}}$ , i.e.

$$(e^{-\tau \mathcal{H}} \Psi)(g_1) = \int (e^{-\tau \mathcal{H}})(g_1, g_2) \Psi(g_2) Dg_2$$

pour  $\Psi \in \mathcal{H}$ . On peut exprimer ce noyau par l'intégrale fonctionnelle sur tous les chemins  $\tau \rightarrow g(\tau)$  fixés sur le bord :

$$(e^{-(t'-t) \mathcal{H}})(g_1, g_2) = \int_{\substack{g(t)=g_1 \\ g(t')=g_2}} e^{-S(g)} Dg$$

où la mesure  $Dg$  est le produit formel des mesures de Haar  $\prod_{0 \leq \tau \leq T} dg(\tau)$  sur le groupe  $G$  et l'intégration sur le temps dans  $S(g)$  est limitée à l'intervalle  $[t, t']$ .

Une conséquence de cette représentation est la **formule de Feynman-Kac** (version euclidienne) [77] : pour  $0 \leq t_1 \leq \dots \leq t_N \leq T$ ,

$$\begin{aligned} & \int \overline{\Psi_2(g(T))} \otimes_{\ell} g(t_\ell)_{R_\ell} \Psi_1(g(0)) e^{-S(g)} Dg \\ &= \langle \Psi_2 | e^{-(T-t_N) \mathcal{H}} g_{R_N} e^{-(t_N-t_{N-1}) \mathcal{H}} \dots e^{-(t_2-t_1) \mathcal{H}} g_{R_1} e^{-t_1 \mathcal{H}} \Psi_1 \rangle \end{aligned}$$

où les deux côtés appartiennent à  $\otimes_{\ell} \text{End } V_{\lambda_\ell} \cong \otimes_{\ell} (\bar{V}_{\lambda_\ell} \otimes V_{\lambda_\ell})$ . A droite,  $g_{R_\ell}$  doit être interprété comme la matrice des opérateurs (bornés) de multiplication dans  $\mathbf{H}$  par les éléments matriciels de  $g_{R_\ell}$ . L'intégrale sur les chemins à droite peut être définie rigoureusement comme celle d'un **mouvement brownien** sur  $G$ . En intégrant sur les chemins périodiques  $[0, T] \ni \tau \rightarrow G, g(0) = g(T)$ , on obtient une autre version de la formule de Feynman-Kac :

$$\begin{aligned} \Gamma &\equiv \int_{g \text{ périodiques}} \otimes_{\ell} g(t_\ell)_{R_\ell} e^{-S(g)} Dg \\ &= \text{tr}_{\mathbf{H}} (e^{-(T-t_N) \mathcal{H}} g_{R_N} e^{-(t_N-t_{N-1}) \mathcal{H}} \dots e^{-(t_2-t_1) \mathcal{H}} g_{R_1} e^{-t_1 \mathcal{H}}) \end{aligned}$$

où la trace  $\text{tr}_{\mathbf{H}}$  est prise sur  $\mathbf{H}$ . Nous allons appeler  $\Gamma$  la **fonction de Green**. Bien que sous-entendues, les fonctions de Green dépendent de  $\underline{t}$  et de  $\underline{R}$ .

## §5. Mécanique quantique quotient

La construction quotient — en anglais «coset construction» — prend ses racines dans la théorie conforme des champs. On peut faire agir sur l'espace  $\mathbf{H} = L^2(G, dg)$  le groupe  $G \times G \equiv G_{\mathcal{L}} \times G_{\mathcal{R}}$ , produit des actions à gauche et à droite. Soient  $H$  un sous-groupe de  $G \times G$  et  $L^2(G, dg)_H$  le sous-espace de  $\mathbf{H}$  formé des fonctions invariantes par  $H$ . Si  $H$  est un sous-groupe de  $G_{\mathcal{L}}$  ou de  $G_{\mathcal{R}}$  ou un produit de tels sous-groupes, on obtient des fonctions invariantes sur les espaces quotients correspondants. Ici, on choisit un sous-groupe dans la partie diagonale  $G_{\text{diag}} \subset G_{\mathcal{L}} \times G_{\mathcal{R}}$ , c.-à-d.  $H \subset G_{\text{diag}}$ ; on obtient alors des fonctions invariantes par l'action adjointe de  $H$ , c.-à-d. des fonctions définies sur  $G/\text{Ad}(H)$ . On peut décomposer les représentations irréductibles de  $G$  par rapport à  $H$  :

$$V_{\lambda_G} \cong \bigoplus_{\lambda_H} M_{\lambda_H}^{\lambda_G} \otimes V_{\lambda_H}$$

où  $\lambda_H$  fait référence au plus haut poids d'une représentation irréductible de  $H$ . Les espaces intermédiaires  $M_{\lambda_H}^{\lambda_G}$  sont canoniquement isomorphes à  $\text{Hom}(V_{\lambda_H}, V_{\lambda_G})^H$ . Il suit

$$L^2(G, dg) \cong \bigoplus_{\lambda_G, \lambda_H, \lambda'_H} \overline{M}_{\lambda_H}^{\lambda_G} \otimes \overline{V}_{\lambda_H} \otimes M_{\lambda'_H}^{\lambda_G} \otimes V_{\lambda'_H}.$$

Or, d'après le lemme de Schur, l'espace des vecteurs de  $V_{\lambda_H} \otimes \overline{V}_{\lambda'_H}$  invariants par l'action diagonale de  $H$  est simplement  $\delta_{\lambda_H, \lambda'_H} \mathbb{C}$ , donc

$$L^2(G, dg)_H \cong \bigoplus_{\lambda_G, \lambda_H} \overline{M}_{\lambda_H}^{\lambda_G} \otimes M_{\lambda_H}^{\lambda_G}.$$

Soit  $\mathfrak{h}^\perp$  le complément orthogonal de l'algèbre de Lie  $\mathfrak{h}$  de  $H$ . On décompose la base  $(t^a)$  en une base  $(t^a)$  de  $\mathfrak{h}$  et une base  $(t^\alpha)$  de  $\mathfrak{h}^\perp$ . Les Laplaciens  $\Delta_G$ ,  $\Delta_H = -J^a J^a$  et  $\overline{\Delta}_H = -\overline{J}^a \overline{J}^a$  commutent avec l'action (infinitésimale) à gauche et à droite de  $\mathfrak{h}$ . On peut donc prendre

$$-\frac{2}{k} (\Delta_G - \Delta_H) = -\frac{2}{k} (\Delta_G - \overline{\Delta}_H) \equiv \mathcal{H}$$

comme Hamiltonien sur  $L^2(G, dg)_H$ . Notons que le Hamiltonien trouvé n'est pas l'opérateur de Laplace-Beltrami pour la métrique projetée sur  $G/\text{Ad}(H)$ . Les fonctions de Green de la mécanique quantique correspondante, qu'on va appeler pour des raisons historiques « $G/H$ », peuvent être définies comme

$$\Gamma_{G/H} \equiv \text{Tr} \left( e^{-(T-t_N) \mathcal{H}} f_N e^{-(t_N-t_{N-1}) \mathcal{H}} \dots e^{-(t_2-t_1) \mathcal{H}} f_1 e^{-t_1 \mathcal{H}} \right)$$

où  $f_\ell \in L^2(G, dg)_H$ . Elles sont à valeurs numériques. Dans le cas particulier où  $H = G$ , l'espace  $L^2(G, dg)_G$  est composé de fonctions de classes et les caractères des représentations irréductible forment sa base orthonormale. Dans ce cas, le Hamiltonien  $\mathcal{H}$  s'annule et les fonctions de Green  $\Gamma_{G/G}$  divergent.

On peut réobtenir le système quotient « $G/H$ » en couplant le mouvement géodésique sur le groupe  $G$  à un champ de jauge  $A_\pm$  à valeurs dans  $\mathfrak{h}^\mathbb{C}$ . L'action couplée est

$$S(g, A_+, A_-) \equiv S(g) + \frac{k}{2} \int \text{tr} \left( A_+ g^{-1} \partial_\tau g + g \partial_\tau g^{-1} A_- + g A_+ g^{-1} A_- - A_+ A_- \right) d\tau$$

où, plus généralement, on peut prendre  $g$  à valeurs dans  $G^{\mathbb{C}}$ . La nouvelle action est laissée invariante par la transformation de jauge

$${}^h g \equiv h g h^{-1}, \quad {}^h A_{\pm} \equiv h A_{\pm} h^{-1} + h \partial_{\tau} h^{-1}$$

où  $\tau \mapsto h(\tau)$  est à valeurs dans  $H$ . Si on découple les actions à gauche et à droite, on trouve

$$\begin{aligned} S(h_1 g h_2, {}^{h_2} A_+, {}^{h_1} A_-) &= S(g, A_+, A_-) - S(h_1^{-1} h_2, A_+, A_-), \\ &= S(g, A_+, A_-) + S(h_1 h_2^{-1}, {}^{h_2} A_+, {}^{h_1} A_-). \end{aligned}$$

Les fonctions de Green  $\Gamma(A_+, A_-)$  obtenues en remplaçant l'action  $S$  par l'action couplée changent dans une transformation de jauge comme

$$\Gamma({}^{h_2} A_+, {}^{h_1} A_-) = e^{S(h_1^{-1} h_2, A_+, A_-)} \otimes_{\ell} h_1(\tau_{\ell})_{R_{\ell}} \Gamma(A_+, A_-) \otimes_{\ell} h_2(\tau_{\ell})_{R_{\ell}}^{-1}.$$

Afin de découpler les actions de gauche et de droite, on peut changer un tout petit peu l'action en posant  $\tilde{S}(g, A_+, A_-) = S(g, A_+, A_-) + \frac{k}{2} \int \text{tr} A_+ A_- d\tau$ . Les fonctions de Green  $\tilde{\Gamma}$  qui en résultent changent donc comme (\*)

$$\tilde{\Gamma}({}^{h_2} A_+, {}^{h_1} A_-) = e^{S(h_1^{-1}, A_-) + S(h_2, A_+)} \otimes_{\ell} h_1(\tau_{\ell})_{R_{\ell}} \tilde{\Gamma}(A_+, A_-) \otimes_{\ell} h_2(\tau_{\ell})_{R_{\ell}}^{-1}.$$

Pour les fonctions de Green normalisées  $\langle \otimes_{\ell} g(\tau_{\ell})_{R_{\ell}} \rangle_{A_+, A_-} \equiv Z(A_+, A_-)^{-1} \Gamma(A_+, A_-)$ , où  $Z$  est la fonction de partition pour l'action jaugée  $Z(A_+, A_-) = \int e^{-S(g, A_+, A_-)} Dg$ , on obtient :

$$\langle \otimes_{\ell} g(\tau_{\ell})_{R_{\ell}} \rangle_{A_+, A_-} = \otimes_{\ell} h_1(\tau_{\ell})_{R_{\ell}} \langle \otimes_{\ell} g(\tau_{\ell})_{R_{\ell}} \rangle_{{}^{h_2} A_+, {}^{h_1} A_-} \otimes_{\ell} h_2(\tau_{\ell})_{R_{\ell}}^{-1}.$$

Que l'on prenne  $S$  ou  $\tilde{S}$ , cela ne change rien à l'affaire.

Les fonctions de Green  $\Gamma_{G/H}$  du modèle « $G/H$ » sont obtenues en intégrant sur des chemins périodiques  $g(\tau)$  et sur les champs de jauge  $A_- = -A_+^{\dagger}$  :

$$\Gamma_{G/H} = \int \prod_{\ell} f_{\ell}(g) e^{-S(g, A_+, A_-)} Dg DA_+ DA_-.$$

Notons que l'intégrale sur  $g$  peut être exprimée par la fonction de Green  $\Gamma(A_+, A_-)$ . Les champs de jauge apparaissent quadratiquement dans l'action et on peut d'abord intégrer sur eux comme l'intégration est gaussienne. On reste alors avec l'intégrale sur  $g$  avec l'action effective

$$S_{\text{eff}}(g) = -\frac{k}{4} \int \text{tr} \left( (g^{-1} \partial_{\tau} g)^2 + 2(g^{-1} \partial_{\tau} g) (1 - E \text{Ad}_g E)^{-1} E \text{Ad}_g (g^{-1} \partial_{\tau} g) \right) d\tau$$

où  $E$  est le projecteur orthogonal de  $\mathfrak{g}$  sur  $\mathfrak{h}$ . Comme pour le mouvement géodésique sur  $G$  quantifié, les fonctions de Green de la mécanique quantique « $G/H$ » peuvent être calculées par l'analyse harmonique sur  $G$  (et sur  $H$ ).

---

\* Pour l'action modifiée,

$$\begin{aligned} \tilde{S}(h_1 g h_2, {}^{h_2} A_+, {}^{h_1} A_-) &= \tilde{S}(g, A_+, A_-) - \tilde{S}(h_1^{-1}, A_-) - \tilde{S}(h_2, A_+), \\ &= \tilde{S}(g, A_+, A_-) + \tilde{S}(h_1 h_2^{-1}, {}^{h_2} A_+, {}^{h_1} A_-). \end{aligned}$$

## MODÈLE DE WESS-ZUMINO-NOVIKOV-WITTEN

### §1. Action de WZNW

#### 1.1. Modèle sigma bidimensionnel

Au cours du précédent chapitre, on s'est intéressé au mouvement géodésique d'une particule sur un groupe compact  $G$ . Maintenant, on étudie une action analogue définie pour des applications  $\Sigma \ni \xi \mapsto g(\xi) \in G$ ,  $\Sigma$  étant une variété réelle  $\mathcal{C}^\infty$ , bidimensionnelle, compacte, munie d'une orientation et d'une métrique riemannienne  $\gamma = \gamma_{\mu\nu} dx^\mu dx^\nu$ . On obtient (la version euclidienne d') un **modèle sigma bidimensionnel** d'espace cible un groupe compact  $G$  défini par l'action

$$k S_\sigma(g) = -\frac{k}{8\pi} \int_\Sigma \text{tr} \gamma(g^{-1}dg, g^{-1}dg) \Omega_\gamma$$

où  $\Omega_\gamma$  est le volume riemannien et  $k$  est une constante de couplage positive. Si on se donne un système de coordonnées locales  $(x, y)$  compatible avec l'orientation donnée, l'action devient

$$k S_\sigma(g) = -\frac{k}{8\pi} \int_\Sigma \text{tr} \gamma^{\mu\nu} g^{-1} \partial_\mu g g^{-1} \partial_\nu g \sqrt{\gamma} d^2\sigma \quad (1)$$

où  $d^2\sigma$  est la mesure associée à la forme  $dx \wedge dy$ ,  $\partial_\mu = \partial/\partial x^\mu$ ,  $(\gamma^{\mu\nu})$  est l'inverse de la matrice  $(\gamma_{\mu\nu})$  et  $\sqrt{\gamma} = \sqrt{\det(\gamma_{\mu\nu})}$ .

Deux métriques riemanniennes  $\gamma$  et  $\gamma'$  sont conformément équivalentes s'il existe une fonction  $\sigma \in \mathcal{C}^\infty(\Sigma, \mathbb{R})$ , telle que  $\gamma = e^\sigma \gamma'$ , *i.e.* si  $\gamma$  et  $\gamma'$  sont dans la même orbite des transformations de Weyl  $\gamma \mapsto e^\sigma \gamma$ . Produire une **classe conforme** de métriques est équivalent à la donnée d'une **structure complexe** sur  $\Sigma$ , *c.-à-d.* d'une classe d'équivalence d'atlas analytiques. La variété  $\Sigma$  munie d'une structure complexe devient une surface de Riemann. Les coordonnées locales réelles  $(x, y)$ , induites par les coordonnées complexes  $z = x + iy$  de la structure complexe correspondante à la classe conforme de  $\gamma$ , sont des coordonnées isothermes pour  $\gamma$ , soit  $\gamma = \rho(dx^2 + dy^2)$  où  $\rho$  est une fonction  $\mathcal{C}^\infty$  à valeurs réelles sur la carte correspondante. Les formes  $dx \wedge dy$  définissent l'orientation de  $\Sigma$ . On dit que la structure complexe sur  $\Sigma$  correspondante à une classe conforme de métriques est compatible avec les métriques de la classe.

Une **structure presque complexe** sur une variété bidimensionnelle réelle  $\Sigma$  est la donnée d'un automorphisme  $\mathbb{J}$  du fibré tangent  $T\Sigma$  tel que  $\mathbb{J}^2 = -1$ , où 1 est l'identité de  $T\Sigma$ . L'application  $\mathbb{J}$  s'étend en un automorphisme du fibré complexifié  $T^{\mathbb{C}}\Sigma = T\Sigma \otimes \mathbb{C}$  (noté encore par  $\mathbb{J}$ ). Comme tel,  $\mathbb{J}$  a deux valeurs propres  $\pm i$ . On décompose  $T^{\mathbb{C}}\Sigma$  en  $T^{1,0}\Sigma \oplus T^{0,1}\Sigma$  avec

$$T^{1,0}\Sigma = \{\pi_{1,0}X, X \in T^{\mathbb{C}}\Sigma\}, \quad T^{0,1}\Sigma = \{\pi_{0,1}X, X \in T^{\mathbb{C}}\Sigma\}$$

où  $\pi_{1,0} = \frac{1}{2}(1 + i\mathbb{J})$ ,  $\pi_{0,1} = \frac{1}{2}(1 - i\mathbb{J})$  sont les projecteurs sur les valeurs propres de  $\mathbb{J}$ . De même,  $T^{*\mathbb{C}}\Sigma = T^{*1,0}\Sigma \oplus T^{*0,1}\Sigma$  où  $T^{*1,0}\Sigma = \pi_{1,0}^* T^{*\mathbb{C}}\Sigma$  et  $T^{*0,1}\Sigma = \pi_{0,1}^* T^{*\mathbb{C}}\Sigma$ , pour les projecteurs transposés  $\pi_{1,0}^*$  et  $\pi_{0,1}^*$ . Les deux opérateurs  $\partial = \pi_{1,0}^* \circ d$  et  $\bar{\partial} = \pi_{0,1}^* \circ d$  satisfont  $d = \partial + \bar{\partial}$ . On dit qu'une structure presque complexe est intégrable si le commutateur de champs vectoriels de type  $(1,0)$  (c.-à-d. à valeurs dans  $T^{1,0}\Sigma$ ) est aussi de type  $(1,0)$ . De façon générale, une structure complexe induit une structure presque complexe intégrable sur la variété différentielle sous-jacente telle que

$$\partial = dz \frac{\partial}{\partial z} \quad \text{et} \quad \bar{\partial} = d\bar{z} \frac{\partial}{\partial \bar{z}} .$$

Le *théorème de Newlander et Nirenberg* montre que toutes les structures presque complexes intégrables sont de ce type. La dimension 2 est spéciale puisque toute structure presque complexe est intégrable. On dit qu'une métrique riemannienne  $\gamma$  est compatible avec une structure presque complexe si pour tous vecteurs  $X$  et  $Y$ , on a  $\gamma(\mathbb{J}X, \mathbb{J}Y) = \gamma(X, Y)$ . Cette notion coïncide avec celle définie plus haut pour une structure complexe. On vient donc de voir que les notions de structure complexe ou presque complexe et de classe conforme de métriques coïncident pour une variété différentielle  $\mathcal{C}^\infty$  bidimensionnelle orientée. On note  $\bar{\Sigma}$  la variété différentielle  $\Sigma$  munie de la structure (presque) complexe opposée  $-\mathbb{J}$ . La surface  $\bar{\Sigma}$  hérite de l'orientation opposée à celle de  $\Sigma$ . Plus tard, on fera varier la structure complexe. Concrètement, on utilisera des variations infinitésimales  $\delta\mathbb{J}$  de  $\mathbb{J}$ . On reliera alors  $\delta\mathbb{J}$  à la différentielle de Beltrami, qui apparaît naturellement dans le contexte des classes conformes de métriques.

Maintenant,  $\Sigma$  est une surface de Riemann compacte dont la structure complexe est compatible avec la métrique riemannienne  $\gamma$ . La métrique est de la forme

$$\gamma = 2\gamma_{z\bar{z}} dz d\bar{z}.$$

L'orientation est donnée par  $i dz \wedge d\bar{z}$ . Le volume riemannien est  $\Omega_\gamma = i \gamma_{z\bar{z}} dz \wedge d\bar{z}$ . La forme de courbure est la 2-forme (imaginaire)  $R_\gamma = \bar{\partial}\partial \ln \gamma_{z\bar{z}}$ . On a  $i R_\gamma = K_\gamma \Omega_\gamma$  où  $K_\gamma$  est la courbure gaussienne ou courbure scalaire. Le théorème de Gauss-Bonnet nous apprend que

$$\int_{\Sigma} R_\gamma = 4\pi i (g - 1) = -2\pi i \chi(\Sigma)$$

où  $g$  est le genre de la surface de  $\Sigma$  et  $\chi(\Sigma) = 2 - 2g$  est la caractéristique d'Euler.

Avec l'équation (1), on a souligné la dépendance du modèle vis-à-vis de la métrique. Dorénavant, on préfère rendre la structure complexe explicite

$$k S_\sigma(g) = -\frac{k}{8\pi} \int_{\Sigma} \text{tr } g^{-1} dg \wedge *g^{-1} dg$$

où  $*$  est l'opérateur de dualité de Hodge qui, en dimension deux, coïncide avec l'opérateur  $\mathbb{J}$  transposé. En fonction de  $\partial$  et  $\bar{\partial}$ , l'action est

$$k S_\sigma(g) = -\frac{ik}{4\pi} \int_{\Sigma} \text{tr } (g^{-1} \partial g) \wedge (g^{-1} \bar{\partial} g).$$

## 1.2. Action de Wess-Zumino

En l'état, il est difficile de quantifier ce modèle. Néanmoins, Witten [146] a montré qu'on peut modifier le modèle en rajoutant un terme topologique à l'action pour obtenir un modèle facilement quantifiable, tout en préservant ses symétries classiques. Précisément, on rajoute l'*action topologique de Wess-Zumino* :

$$k S_{\text{top}}(g) = \frac{ik}{4\pi} \int_{\Sigma} \text{tr}(g^* \omega) \quad (2)$$

où  $\omega$  est une 2-forme telle que  $d\omega = -\frac{1}{3}(g^{-1}dg)^{\wedge 3} \equiv \beta$ . La 3-forme  $\beta$  sur  $G$  est fermée mais elle n'est pas exacte, ainsi  $\beta \in H^3(G, \mathbb{R})$ , et  $\omega$  n'existe que localement. Si  $B$  est une variété tridimensionnelle de bord  $\partial B = \Sigma$ , on utilise le théorème de Stokes pour réécrire  $S_{\text{top}}$

$$k S_{\text{top}}(g) = -\frac{ik}{12\pi} \int_B \text{tr}(\tilde{g}^{-1}d\tilde{g})^{\wedge 3}$$

où  $\tilde{g} : B \rightarrow G$  est une extension de  $g$  à  $B$ . Bien entendu, cette extension peut ne pas exister (si le groupe  $G$  n'est pas simplement connexe) et a priori le résultat dépend du choix de  $\tilde{g}$ .

Pour simplifier, on va supposer que le groupe  $G$  est connexe, simplement connexe et simple. En particulier,  $\pi_1(G)$  est trivial et  $H_1(G, \mathbb{Z}) \cong \pi_1(G) / [\pi_1(G), \pi_1(G)] = 0$ . D'après l'isomorphisme de Hurewicz [131],  $H_2(G, \mathbb{Z}) \cong \pi_2(G)$ . Or  $\pi_2(G) = 0$  dès que  $G$  est compact [125, p. 142], donc  $H_2(G, \mathbb{Z}) = 0$ . Ainsi, il est toujours possible de trouver une extension  $\tilde{g}$  de  $g$ .

Soient  $\tilde{g}' : B' \rightarrow G$  et  $\tilde{g}'' : B'' \rightarrow G$  deux extensions de  $g$ . Soit  $B$  la 3-variété obtenue en collant, suivant leur bord  $\Sigma$ ,  $B'$  et  $-B''$ , la variété  $B''$  avec l'orientation opposée. On a

$$-\frac{ik}{12\pi} \int_{B'} \text{tr}(\tilde{g}'^{-1}d\tilde{g}')^{\wedge 3} + \frac{ik}{12\pi} \int_{B''} \text{tr}(\tilde{g}^{-1}d\tilde{g})^{\wedge 3} = -\frac{ik}{12\pi} \int_B \text{tr}(\tilde{g}^{-1}d\tilde{g})^{\wedge 3}$$

où  $\tilde{g}$  coïncide avec  $\tilde{g}'$  (resp.  $\tilde{g}''$ ) sur  $B'$  (resp.  $B''$ ). Comme  $\partial B = \emptyset$ , l'ambiguïté dans la définition du terme topologique réside dans les périodes de la forme  $\beta$ . On montre que  $H_3(G, \mathbb{Z}) \cong \mathbb{Z}$  est engendré par la classe d'homologie de  $\tilde{g}_\phi$  : le relèvement de l'homomorphisme d'algèbres de Lie  $g_\phi : \mathfrak{su}_2 \rightarrow \mathfrak{g}$ ,  $\phi$  étant la racine la plus grande de  $\mathfrak{g}^{\mathbb{C}}$ ,

$$\sigma^\pm \mapsto e_{\pm\phi}, \quad \sigma^3 \mapsto \phi^\vee$$

en un homomorphisme de groupe  $\tilde{g}_\phi : \text{SU}_2 \rightarrow G$ . Il suit

$$-\frac{ik}{12\pi} \int_{\text{SU}_2} \text{tr}(\tilde{g}_\phi^{-1}d\tilde{g}_\phi)^{\wedge 3} = -\frac{ik}{12\pi} \int_{\text{SU}_2} \text{tr}(g^{-1}dg)^{\wedge 3} = -\frac{ik}{12\pi} 24\pi^2 = -2\pi ik.$$

Au passage, on montre que  $-\frac{1}{8\pi^2}\beta$  est dans l'image de l'application  $H^3(G, \mathbb{Z}) \rightarrow H^3(G, \mathbb{R})$ . Le terme topologique est donc défini modulo  $2\pi ik\mathbb{Z}$ . Les quantités  $e^{-k S_{\text{top}}(g)}$ , que nous appellerons *amplitudes* ou, par analogie avec la physique statistique, *facteurs de Boltzmann*, sont donc correctement définies dès que  $k \in \mathbb{N}$ .

Dans la suite, on sous-entend souvent le produit alterné  $\wedge$ . L'action complète

$$k S(g) = -\frac{ik}{4\pi} \int_{\Sigma} \text{tr}(g^{-1}\partial g)(g^{-1}\bar{\partial} g) - \frac{ik}{12\pi} \int_B \text{tr}(\tilde{g}^{-1}d\tilde{g})^3 \pmod{2\pi i}$$

définit le *modèle de Wess-Zumino-Novikov-Witten* (WZNW) de niveau  $k$ , une définition correcte des facteurs de Boltzmann imposant la «quantification» du niveau  $k : k \in \mathbb{N}$ . Il est aussi possible de construire une action de WZNW dans des situations topologiques plus compliquées [60] comme par exemple pour des groupes non simplement connexes [48, 49].

### 1.3. Symétries classiques

Dorénavant, on admet les champs prenant leurs valeurs dans le groupe complexifié  $G^{\mathbb{C}}$ . L'analyse effectuée dans la section précédente reste valable. Afin de trouver les points stationnaires de l'action de WZNW, on s'intéresse aux variations de l'action dans la transformation  $g \rightarrow g + \delta g$ . Un calcul rapide conduit à

$$\begin{aligned}\delta S_{\sigma}(g) &= -\frac{i}{4\pi} \int_{\Sigma} \text{tr} (g^{-1} \delta g) (\bar{\partial}(g^{-1} \partial g) - \partial(g^{-1} \bar{\partial} g)), \\ \delta S_{\text{top}}(g) &= -\frac{i}{4\pi} \int_{\Sigma} \text{tr} (g^{-1} \delta g) (g^{-1} dg)^2.\end{aligned}$$

Par suite,

$$\delta S(g) = \frac{i}{2\pi} \int_{\Sigma} \text{tr} (g^{-1} \delta g) \partial(g^{-1} \bar{\partial} g). \quad (3)$$

L'équation classique (euclidienne) du mouvement satisfaite par les points stationnaires est donc

$$\partial(g^{-1} \bar{\partial} g) = 0$$

ou encore  $\bar{\partial}(g \partial g^{-1}) = 0$ . Localement, les solutions se décomposent en un produit d'une fonction holomorphe et d'une fonction antiholomorphe, toutes deux à valeurs dans  $G^{\mathbb{C}}$ . Les solutions classiques sont invariantes par les transformations suivantes

— **symétrie conforme**,  $g \rightarrow g \circ f$ ,  $g \rightarrow (g \circ \bar{f})^{-1}$ , où  $f$  est une transformation locale holomorphe de  $\Sigma$  ;

— **symétrie chirale**,  $g \rightarrow g_1 g g_2^{\dagger}$ , où  $g_1$  et  $g_2$  sont deux transformations locales holomorphes de  $\Sigma$  dans  $G^{\mathbb{C}}$ .

La propriété fondamentale de l'action de WZNW est son comportement dans la multiplication point par point des champs, donné par la **formule de Polyakov-Wiegmann** [124] :

$$S(g_1 g_2) = S(g_1) + S(g_2) - \Gamma_{\Sigma}(g_1, g_2) \pmod{2\pi i} \quad (4)$$

où

$$\Gamma_{\Sigma}(g_1, g_2) \equiv \frac{i}{2\pi} \int_{\Sigma} \text{tr} (g_1^{-1} \bar{\partial} g_1) (g_2 \partial g_2^{-1}).$$

## §2. Structure symplectique sur l'espace des phases

Suivant un schéma très général [96] — on peut également consulter les références bibliographiques dans [64] — on explique comment obtenir un **formalisme canonique** pour une théorie des champs bidimensionnelle. Notre théorie est gouvernée par une action du type

$$S(\phi) = \int_{\Sigma} \mathcal{L}(x^{\mu}, \phi^a, \partial_{\nu} \phi^a) dx$$

où  $\mathcal{L}$  est la densité de Lagrangien définie sur l'espace  $\mathbf{P}$ , l'ensemble des  $(x^{\mu}, \phi^a, \xi_{\nu}^a)$ . Ici,  $x^{\mu}$  ( $\mu = 0, 1$ ) est un système de coordonnées locales sur l'espace-temps  $\Sigma$ . Géométriquement,



$\mathbf{P}$  est l'espace des 1-jets de sections d'un fibré  $\mathcal{B}$  sur  $\Sigma$  de coordonnées  $(\phi^a)$  le long des fibres. Ainsi, on peut voir  $\mathbf{P}$  comme un fibré sur  $\mathcal{B}$  ou sur  $\Sigma$ . Le moment conjugué à  $\xi_\nu$  est  $\pi^{\nu a} = \partial \mathcal{L} / \partial \xi_\nu^a$ . Considérons la 2-forme suivante sur  $\mathbf{P}$

$$\alpha = \mathcal{L} dx^0 \wedge dx^1 + \pi^{0a} (d\phi^a - \xi_0^a dx^0) \wedge dx^1 + \pi^{1a} dx^0 \wedge (d\phi^a - \xi_1^a dx^1)$$

et  $\omega = d\alpha$ , la 3-forme fermée sur  $\mathbf{P}$ . Un état classique  $\Phi$  est une section de  $\mathbf{P}$  sur  $\Sigma$  telle que  $\Phi^*(i(X)\omega) = 0$ , où  $i(X)$  est l'opérateur de contraction avec  $X$ , pour tout champ de vecteur  $X$  tangent à  $\mathbf{P}$  et défini sur l'image de  $\Phi$ . Cette égalité code les équations d'Euler-Lagrange pour  $\phi^a(x)$  ainsi que les relations  $\xi_\nu^a = \partial_\nu \phi^a$ . L'espace des états classiques, noté  $\mathcal{P}$ , correspond donc bien aux solutions du problème variationnel  $\delta \int \mathcal{L}$ . Dans des cas intéressants, on peut paramétriser les solutions par des données de Cauchy, c.-à-d. par les restrictions de  $\Phi$  à une hypersurface  $\Sigma_0$  dans  $\Sigma$ . L'espace  $\mathcal{P}$  hérite alors d'une structure de variété (de dimension infinie). Ensuite, l'espace tangent  $T_\Phi \mathcal{P}$  à  $\mathcal{P}$  est l'espace des champs de vecteurs  $X$  tangents à  $\mathbf{P}$ , définis sur l'image de  $\Phi$  et satisfaisant aux contraintes provenant de la linéarisation des équations classiques autour de  $\Phi$ . La 2-forme  $\Omega$  sur  $\mathbf{P}$ , donnée par la formule

$$\Omega_\Phi(X, X') \equiv \int_{\Sigma_0} \Phi^*(i(X \wedge X')\omega), \quad (5)$$

est fermée. Cette forme ne dépend que de la classe d'homologie de l'hypersurface  $\Sigma_0$ . Si  $\Omega$  n'est pas dégénérée, elle définit une forme symplectique sur  $\mathcal{P}$ , appelé alors espace des phases de la théorie — si  $\Omega$  est dégénérée, on réduit d'abord par dégénérescence l'espace des solutions classiques pour obtenir l'espace des phases. À toute fonction  $\varphi$  sur l'espace des phases on associe un champ de vecteurs hamiltonien  $X_\varphi$  défini par la relation  $d\varphi = i(X_\varphi)\Omega$ . L'espace des phases est alors une variété de Poisson, dont le crochet de Poisson est donné par

$$\{\varphi, \varphi'\} \equiv X_\varphi(\varphi').$$

Appliquons cette construction au modèle de WZNW en prenant pour  $\Sigma$  un cylindre muni d'une métrique euclidienne ou minkowskienne. Soit  $y^0, y^1$  un système de coordonnées locales sur  $\Sigma$ , avec  $y^1$  définie modulo  $2\pi$  et  $y^0$  appartenant à un intervalle donné. On munit  $\Sigma$  de la métrique euclidienne  $\gamma$  plate, soit  $\gamma = (dy^0)^2 + (dy^1)^2$ . L'action euclidienne de WZNW est

$$k S(g) = -\frac{k}{8\pi} \int_{\Sigma} \text{tr} (g^{-1} \partial_\mu g) (g^{-1} \partial^\mu g) dy^0 dy^1 - \frac{ik}{12\pi} \int_{\Sigma} d^{-1} \text{tr} (g^{-1} dg)^{\wedge 3}$$

où, pour la partie topologique, on a utilisé l'équation (2), après avoir remarqué que localement  $\omega = d^{-1}\beta$ . Pour obtenir le modèle minkowskien, on transforme  $\Sigma$  par (l'inverse de) la rotation de Wick :  $y^0 \rightarrow -iy^0 \equiv x^0$  et  $x^1 = y^1$ . La surface est alors munie de la métrique habituelle  $\gamma_{\text{Mink.}} = (dx^0)^2 - (dx^1)^2$ . L'action minkowskienne est égale à  $i$  fois l'action euclidienne (écrite après rotation), c.-à-d.

$$k S_{\text{Mink.}}(g) = -\frac{k}{8\pi} \int_{\Sigma} \text{tr} (g^{-1} \partial_\mu g) (g^{-1} \partial^\mu g) dx^0 dx^1 + \frac{k}{12\pi} \int_{\Sigma} d^{-1} \text{tr} (g^{-1} dg)^{\wedge 3}.$$

Cette action vérifie la contrainte de réalité, c.-à-d.  $k S_{\text{Mink.}}(g) \in \mathbb{R}$  pour  $g$  à valeurs dans le groupe compact  $G$ , contrainte nécessaire quand on considère un système physiquement cohérent [143, p. 300].

Commençons par l'étude du cas minkowskien. La partie «sigma» de l'action produit le Lagrangien

$$\mathcal{L}_\sigma(x^\mu, g, \xi_\mu) = -\frac{k}{8\pi} \operatorname{tr} \xi_\mu \xi^\mu, \quad \xi_\mu \xi^\mu = (\xi_0)^2 - (\xi_1)^2.$$

On peut lui appliquer la construction précédente. Soit  $\mathbf{P}$  l'espace formé des triplets  $(x^\mu, g, \xi_\mu)$ , où chaque  $\xi_\mu$  prend ses valeurs dans l'algèbre de Lie  $\mathfrak{g}$ . Les moments associés à  $\xi_0^a$  et  $\xi_1^a$  sont donnés par

$$\pi^{0a} = -\frac{k}{8\pi} \xi^{0a}, \quad \pi^{1a} = -\frac{k}{8\pi} \xi^{1a}.$$

La 2-forme canonique  $\alpha_\sigma$  déduite du Lagrangien  $\mathcal{L}_\sigma$  est

$$\alpha_\sigma = \frac{k}{8\pi} \operatorname{tr} \xi_\mu \xi^\mu dx^0 \wedge dx^1 - \frac{k}{4\pi} \operatorname{tr} \xi^0 (g^{-1} dg) \wedge dx^1 - \frac{k}{4\pi} \operatorname{tr} \xi^1 dx^0 \wedge (g^{-1} dg).$$

Une manière simple de prendre en compte le terme de Wess-Zumino consiste à rajouter à  $\omega_\sigma = d\alpha_\sigma$  la 3-forme  $\frac{k}{12\pi} \operatorname{tr} (g^{-1} dg)^{\wedge 3}$ . On obtient

$$\begin{aligned} \omega = & \frac{k}{4\pi} \operatorname{tr} \xi_\mu d\xi^\mu \wedge dx^0 \wedge dx^1 - \frac{k}{4\pi} \operatorname{tr} d\xi^0 \wedge (g^{-1} dg) \wedge dx^1 - \frac{k}{4\pi} \operatorname{tr} d\xi^1 \wedge dx^0 \wedge (g^{-1} dg) \\ & + \frac{k}{4\pi} \operatorname{tr} \xi^0 (g^{-1} dg)^{\wedge 2} \wedge dx^1 - \frac{k}{4\pi} \operatorname{tr} \xi^1 (g^{-1} dg)^{\wedge 2} \wedge dx^0 + \frac{k}{12\pi} \operatorname{tr} (g^{-1} dg)^{\wedge 3}. \end{aligned}$$

En coordonnées  $x^\pm = x^1 \pm x^0$ , les états classiques correspondent aux solutions des équations

$$\xi_\mu = g^{-1} \partial_\mu g \quad \text{et} \quad \partial_{x^+} (g^{-1} \partial_{x^-} g) = 0.$$

Les solutions générales sur le cylindre se factorisent localement en

$$g(x^0, x^1) = g_{\mathcal{L}}(x^+) g_{\mathcal{R}}(x^-)^{-1}.$$

Globalement, la condition de périodicité :  $g(x^0, x^1 + 2\pi) = g(x^0, x^1)$  se traduit par

$$g_{\mathcal{L}, \mathcal{R}}(x^\pm + 2\pi) = g_{\mathcal{L}, \mathcal{R}}(x^\pm) \mu$$

où  $\mu \in G$  est la monodromie. Si  $\mathcal{P}_{\mathcal{L}, \mathcal{R}} \equiv \{g_{\mathcal{L}, \mathcal{R}} : \mathbb{R} \rightarrow G \mid g_{\mathcal{L}, \mathcal{R}}(x + 2\pi) = g_{\mathcal{L}, \mathcal{R}}(x) \mu_{\mathcal{L}, \mathcal{R}}\}$ , l'espace des phases devient  $\mathcal{P} = \Delta/G$ , où  $\Delta$  est la sous-variété de  $\mathcal{P}_{\mathcal{L}} \times \mathcal{P}_{\mathcal{R}}$  pour laquelle les monodromies de gauche et de droite sont égales, soit  $\mu_{\mathcal{L}} = \mu_{\mathcal{R}}$  (\*). Si on paramétrise l'espace des phases  $\mathcal{P}$  par les conditions initiales  $g(0, x)$  et  $g^{-1} \partial_0 g(0, x)$ , la 2-forme déduite de  $\omega$  par la formule (5) est

$$\Omega = \frac{k}{4\pi} \int_0^{2\pi} \operatorname{tr} \left( -d\xi_0 \wedge (g^{-1} dg) + (\xi_0 + g^{-1} \partial_{x^1} g) (g^{-1} dg)^{\wedge 2} \right) \Big|_{(0,x)} dx.$$

On vérifie que  $\Omega$  n'est pas dégénérée. Les crochets de Poisson sur  $\mathcal{P}$  sont alors

$$\begin{aligned} \{g(x)_1, g(y)_2\} &= 0, \\ \{g(x)_1, \xi_0(y)_2\} &= -\frac{8\pi}{k} g(x)_1 C_{12} \delta(x-y), \\ \{\xi_0(x)_1, \xi_0(y)_2\} &= \frac{8\pi}{k} [C_{12}, \xi_0(x)_1 + (g^{-1} \partial_x g)(x)_1] \delta(x-y) \end{aligned}$$

---

\* L'action de  $g \in G$  sur  $\mathcal{P}_{\mathcal{L}} \times \mathcal{P}_{\mathcal{R}}$  est simplement  $(g_{\mathcal{L}}, g_{\mathcal{R}}) \rightarrow (g_{\mathcal{L}} g, g_{\mathcal{R}} g)$ .

où on a utilisé les notations habituelles  $F_1 \equiv F \otimes 1$ ,  $F_2 \equiv 1 \otimes F$  et  $C_{12} = t^a \otimes t^a$  (somme sur  $a$ ).

Si on réécrit  $\Omega$  en séparant les parties gauche et droite  $g_{\mathcal{L}}$  et  $g_{\mathcal{R}}$ , on obtient

$$\Omega = \Omega_{\mathcal{L}} + \Omega_{\mathcal{R}}$$

où

$$\Omega_{\mathcal{L}} = \frac{k}{4\pi} \int_0^{2\pi} \text{tr} \left[ (g_{\mathcal{L}}^{-1} dg_{\mathcal{L}}) \wedge \partial_x (g_{\mathcal{L}}^{-1} dg_{\mathcal{L}}) + (g_{\mathcal{L}}^{-1} dg_{\mathcal{L}})(0) \wedge (d\mu_{\mathcal{L}}) \mu_{\mathcal{L}}^{-1} \right] - \frac{k}{4\pi} \rho(\mu_{\mathcal{L}})$$

et  $\Omega_{\mathcal{R}}$  est donnée par la même formule mais avec  $g_{\mathcal{R}}$  et  $\mu_{\mathcal{R}}$  à la place de  $g_{\mathcal{L}}$  et  $\mu_{\mathcal{L}}$ . Quand à  $\rho$ , c'est une 2-forme sur  $G$  ne dépendant que de  $\mu_{\mathcal{L}, \mathcal{R}}$ . La présence de  $\rho$  vient de ce que l'on ne connaît  $\Omega$  que sur la diagonale  $\Delta$  dans  $\mathcal{P}_{\mathcal{L}} \times \mathcal{P}_{\mathcal{R}}$ . Il semble naturel de choisir  $\Omega_{\mathcal{L}}$  pour obtenir une forme symplectique sur  $\mathcal{P}_{\mathcal{L}}$ . Hélas, comme

$$d\Omega_{\mathcal{L}} = \frac{k}{2\pi} \text{tr} (\mu_{\mathcal{L}}^{-1} d\mu_{\mathcal{L}})^{\wedge 3} - \frac{k}{4\pi} d\rho(\mu_{\mathcal{L}}),$$

$d\Omega_{\mathcal{L}}$  n'est pas fermée —  $\text{tr} (\mu_{\mathcal{L}}^{-1} d\mu_{\mathcal{L}})^{\wedge 3}$  est une forme fermée mais elle n'est pas exacte sur  $G$ . Il existe plusieurs manières de contourner cette difficulté. Par exemple [39, 40], on peut choisir un  $\rho$  tel que  $d\Omega_{\mathcal{L}}$  soit nulle sur un sous-espace dense de  $G$ . On montre alors que les solutions locales de notre problème sont en correspondance bijective avec une paire de solutions  $r^{\pm}$  de l'équation de Yang-Baxter classique. Les crochets de Poisson sur  $\mathcal{P}_{\mathcal{L}}$  sont alors donnés par

$$\begin{aligned} \{g_{\mathcal{L}}(x)_1, g_{\mathcal{L}}(y)_2\} &= g_{\mathcal{L}}(x)_1 g_{\mathcal{L}}(y)_2 r^{\pm}, \\ \{g_{\mathcal{L}}(x)_1, (\mu_{\mathcal{L}})_2\} &= g_{\mathcal{L}}(x)_1 (\mu_{\mathcal{L}})_2 r^- - g_{\mathcal{L}}(x)_1 r^+ (\mu_{\mathcal{L}})_2, \\ \{(\mu_{\mathcal{L}})_1, (\mu_{\mathcal{L}})_2\} &= r^+ (\mu_{\mathcal{L}})_1 (\mu_{\mathcal{L}})_2 - (\mu_{\mathcal{L}})_1 r^+ (\mu_{\mathcal{L}})_2 - (\mu_{\mathcal{L}})_2 r^- (\mu_{\mathcal{L}})_1 + (\mu_{\mathcal{L}})_1 (\mu_{\mathcal{L}})_2 r^- \end{aligned}$$

où, dans la première équation, on choisit le signe suivant que  $x < y$  ou  $x > y$ ,  $|x - y| < 2\pi$ .

Dans le cas euclidien, on peut répéter les constructions précédentes à condition de considérer des solutions classiques à valeurs dans  $G^{\mathbb{C}}$ . Localement, ces solutions sont de la forme  $g(y_0, y_1) = g_{\mathcal{L}}(w) g_{\mathcal{R}}(\bar{w})^{-1}$ , où  $w = y^0 + iy^1$  et  $g_{\mathcal{L}}(w)$  (resp.  $g_{\mathcal{R}}(\bar{w})$ ) est une fonction holomorphe (resp. antiholomorphe) à valeurs dans  $G^{\mathbb{C}}$ . Pour  $\Sigma$  un cylindre euclidien, on obtient l'espace des phases  $\mathcal{P}_E$ , paramétrisé par les données de Cauchy  $g(0, y)$  et  $\xi_0(0, y) = (g^{-1} \partial_y g)(0, y)$ , chacune prenant ses valeurs dans  $G^{\mathbb{C}}$  et dans  $\mathfrak{g}^{\mathbb{C}}$ . De façon naturelle,  $\mathcal{P}_E$  devient une variété complexe (de dimension infinie). La formule

$$\Omega_E = \frac{k}{4\pi} \int_0^{2\pi} \text{tr} (-i d\xi_0 \wedge (g^{-1} dg) + (i\xi_0 + g^{-1} \partial_y g) (g^{-1} dg)^{\wedge 2}) \Big|_{(0, y)} dy$$

définit une 2-forme symplectique holomorphe sur  $\mathcal{P}_E$ .

Considérons maintenant une surface de Riemann  $\Sigma$  à bord  $\partial\Sigma$ , formé de composantes connexes notées  $(\partial\Sigma)_i$ ,  $i \in I$  (cf. figure 1). Nous supposons que les composantes du bord sont paramétrisées par des applications analytiques réelles  $p_i : S^1 \rightarrow (\partial\Sigma)_i$ . On distingue les bords «sortants» et «entrants» suivant que la paramétrisation correspondante respecte ou non l'orientation de  $(\partial\Sigma)_i$ . On scinde l'ensemble  $I$  en deux sous-ensembles  $I_{\pm}$ , où  $I_-$  énumère les bords entrants et  $I_+$  les bords sortants. Les applications  $p_i$  pour  $i \in I_+$  ( $i \in I_-$ ) s'étendent en des applications holomorphes sur les petits anneaux  $\{z \mid 1 - \epsilon < |z| \leq 1\}$

(ou  $\{z \mid 1 \leq |z| < 1 + \epsilon\}$ ), c.-à-d. les cylindres (euclidiens) obtenus des anneaux par le changement de variables  $z = e^w = e^{y^0 + iy^1}$ . On garde la même notation pour désigner les  $p_i$  et les extensions.

Considérons la variété complexe symplectique suivante

$$\mathcal{P}_\Sigma = \left( \prod_{i \in I_-} -\mathcal{P}_E \right) \times \left( \prod_{i \in I_+} \mathcal{P}_E \right)$$

où  $-\mathcal{P}_E$  est l'espace  $\mathcal{P}_E$  muni de la forme symplectique  $-\Omega_E$ . Chaque application  $g : \Sigma \rightarrow G^\mathbb{C}$ , solution de l'équation classique  $\partial(g^{-1}\bar{\partial}g) = 0$ , définit un élément  $\tilde{g} \in \mathcal{P}_\Sigma$  dont la composante d'indice  $i$  correspond à l'état classique  $g \circ p_i$  sur un cylindre. On peut montrer que l'ensemble des  $\tilde{g}$  forme une sous-variété lagrangienne complexe  $\mathcal{A}_\Sigma$  de la variété symplectique complexe  $\mathcal{P}_\Sigma$ . Notons la symétrie de  $\mathcal{A}_\Sigma$  :

$$\text{si } g_{1,2} : \Sigma \rightarrow G^\mathbb{C} \text{ sont holomorphes alors } g_1 \mathcal{A}_\Sigma g_2^\dagger = \mathcal{A}_\Sigma.$$

Nous décrirons plus tard la version quantique de cette construction.

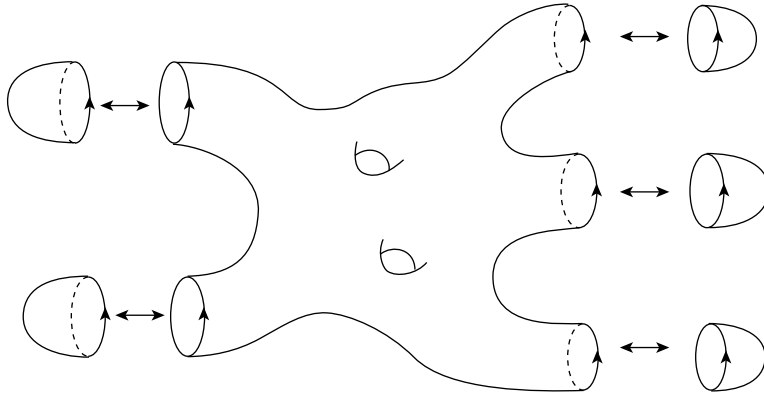


Figure 1.— Surface de Riemann à bords

### §3. Modèle de WZNW sur une surface à bord

On se propose d'étendre la définition de l'action de WZNW à des champs  $g$  définis sur une surface de Riemann  $\Sigma$  à bord. On verra que les amplitudes ne sont plus des nombres complexes mais les éléments d'un fibré. On commence par considérer le cas où  $\Sigma$  est le disque fermé  $D = \{z \in \mathbb{C} \mid |z| \leq 1\}$ .

#### 3.1. $\Sigma = D$

On étend les champs  $g : D \rightarrow G^{\mathbb{C}}$  à  $\mathbb{C}P^1 = D \cup D'$ , où  $D' = \{z \in \mathbb{C} \mid |z| \geq 1\} \cup \{\infty\}$ . Une extension de  $g$  est entièrement déterminée par la donnée d'un champ  $g' : D' \rightarrow G^{\mathbb{C}}$  tel que  $g'|_{S^1} = g|_{S^1}$ . Une extension est donc une application  $g \# g' : \mathbb{C}P^1 \rightarrow G^{\mathbb{C}}$  définie par

$$g \# g' = \begin{cases} g, & \text{sur } D \\ g', & \text{sur } D'. \end{cases}$$

On sait alors correctement définir  $e^{-k S_{\mathbb{C}P^1}(g \# g')}$ , néanmoins cette quantité dépend de l'extension choisie. Considérons une autre extension, soit  $g \# (g' \mu')$  où  $\mu' \in \mathcal{C}_1^\infty(D', G^{\mathbb{C}})$ , l'ensemble des applications  $\mathcal{C}^\infty$  de  $D'$  dans  $G^{\mathbb{C}}$  qui se prolongent continûment à  $\mathbb{C}P^1$  par 1. D'après la formule de Polyakov-Wiegmann,

$$S_{\mathbb{C}P^1}(g \# (g' \mu')) = S_{\mathbb{C}P^1}(g \# g') + S_{\mathbb{C}P^1}(1 \# \mu') - \Gamma_{\mathbb{C}P^1}(g \# g', 1 \# \mu') \pmod{2\pi i}$$

et  $\Gamma_{\mathbb{C}P^1}(g \# g', 1 \# \mu') = \Gamma_{D'}(g', \mu')$ .

On utilise cette règle pour définir un fibré holomorphe en droites  $\mathcal{L}^k$  au-dessus du groupe de lacets  $LG^{\mathbb{C}} \equiv \mathcal{C}^\infty(S^1, G^{\mathbb{C}}) \cong \mathcal{C}^\infty(D', G^{\mathbb{C}}) / \mathcal{C}_1^\infty(D', G^{\mathbb{C}})$ .

$$\mathcal{L}^k \equiv \left( \mathcal{C}^\infty(D', G^{\mathbb{C}}) \times \mathbb{C} \right) / \sim'$$

où

$$(g', z') \sim' (g' \mu', z' e^{-k S_{\mathbb{C}P^1}(1 \# \mu') + k \Gamma_{D'}(g', \mu')})$$

pour  $\mu' \in \mathcal{C}_1^\infty(D', G^{\mathbb{C}})$ . On vérifie que  $\sim'$  est bien une relation d'équivalence. La projection est simplement  $\pi' : \mathcal{L}^k \ni [(g', z')]_{\sim'} \rightarrow g'|_{S^1} \in LG^{\mathbb{C}}$ . Le fibré  $\mathcal{L}^k$  est la  $k$ -ième puissance du fibré  $\mathcal{L}$ , obtenu en prenant  $k = 1$ . On peut reformuler la relation d'équivalence  $\sim'$  de 3 autres façons :

$$\begin{aligned} (g', z') \sim' (g' \mu', z' e^{-k S_{\mathbb{C}P^1}(1 \# \mu') + k \Gamma_{D'}(g', \mu')}) &= (g' \mu', z' e^{-k S_{\mathbb{C}P^1}(1 \# \mu', 0 \# (g'^{-1} \bar{\partial} g'))}), \\ \sim' (\mu' g', z' e^{-k S_{\mathbb{C}P^1}(1 \# \mu') + k \Gamma_{D'}(\mu', g')}) &= (\mu' g', z' e^{-k S_{\mathbb{C}P^1}(1 \# \mu', 0 \# (g' \partial g'^{-1}))}). \end{aligned}$$

Soit  $g : D \rightarrow G^{\mathbb{C}}$ . On note  $\gamma = g|_{S^1} \in LG^{\mathbb{C}}$  et on définit

$$e^{-k S_D(g)} \equiv [(g', e^{-k S_{\mathbb{C}P^1}(g \# g')}]_{\sim'} \in \pi'^{-1}(\gamma) = (\mathcal{L}^k)_\gamma$$

où  $g'$  est un élément de  $\mathcal{C}^\infty(D', G^{\mathbb{C}})$  coïncidant avec  $\gamma$  sur  $S^1$ . Ainsi l'amplitude (ou facteur de Boltzman) devient un élément du fibré  $\mathcal{L}^k$ .

On peut décrire le fibré dual à  $\mathcal{L}^k$  par

$$\mathcal{L}^{-k} \equiv \left( \mathcal{C}^\infty(D, G^{\mathbb{C}}) \times \mathbb{C} \right) / \sim$$

où

$$(g, z) \sim (g\mu, z e^{-k S_{\mathbb{C}P^1}(\mu \# 1) + k \Gamma_D(g, \mu)})$$

pour  $\mu \in \mathcal{C}_1^\infty(D, G^{\mathbb{C}})$  et  $\pi : \mathcal{L}^{-k} \ni [(g, z)]_\sim \rightarrow g|_{S^1} \in LG^{\mathbb{C}}$ . Là encore, on peut définir  $\mathcal{L}^{-k}$  de plusieurs manières équivalentes :

$$\begin{aligned} (g, z) &\sim (g\mu, z e^{-k S_{\mathbb{C}P^1}(\mu \# 1) + k \Gamma_D(g, \mu)}) = (g\mu, z e^{-k S_{\mathbb{C}P^1}(\mu \# 1, 0 \# (g^{-1} \bar{\partial} g))}), \\ &\sim (\mu g, z e^{-k S_{\mathbb{C}P^1}(\mu \# 1) + k \Gamma_D(\mu, g)}) = (\mu g, z e^{-k S_{\mathbb{C}P^1}(\mu \# 1, 0 \# (g \partial g^{-1}))}). \end{aligned}$$

La dualité entre  $\mathcal{L}^k$  et  $\mathcal{L}^{-k}$  est simplement

$$\langle [(g', z')]_{\sim}, [(g, z)]_{\sim} \rangle \equiv z' z e^{k S_{\mathbb{C}P^1}(g \# g')}.$$

L'amplitude du champ  $g' : D' \rightarrow G^{\mathbb{C}}$  est

$$e^{-k S_{D'}(g')} \equiv [(g, e^{-k S_{\mathbb{C}P^1}(g \# g')}]_{\sim} \in \pi^{-1}(\gamma') = (\mathcal{L}^{-k})_{\gamma'}$$

si  $\gamma' = g|_{S^1} \in LG^{\mathbb{C}}$ .

On peut utiliser  $z e^{-k S_D(g)}$  (resp.  $z' e^{-k S_{D'}(g')}$ ) pour représenter les éléments de  $\mathcal{L}^k$  (resp.  $\mathcal{L}^{-k}$ ). Dans ce langage, la dualité est donnée par

$$\langle z e^{-k S_D(g)}, z' e^{-k S_{D'}(g')} \rangle = z z' e^{-k S_{\mathbb{C}P^1}(g \# g')}.$$

### 3.2. Surface de Riemann générale

On considère maintenant une surface de Riemann  $\Sigma$  à bord, comme à la fin de la section 2. On peut compléter  $\Sigma$  pour former une surface de Riemann compacte  $\tilde{\Sigma}$ . À cet effet, on « colle » continûment une copie  $D_i$  de  $D$  suivant  $(\partial\Sigma)_i$ ,  $i \in I_-$ , et une copie  $D'_i$  de  $D'$  si  $i \in I_+$ .

Soient  $g : \Sigma \rightarrow G^{\mathbb{C}}$  et  $\tilde{g} : \tilde{\Sigma} \rightarrow G^{\mathbb{C}}$  une extension de  $g$ . L'amplitude  $e^{-k S_\Sigma(g)}$  est l'unique élément de  $(\bigotimes_{i \in I_-} \mathcal{L}_{g_i}^{-k}) \otimes (\bigotimes_{i \in I_+} \mathcal{L}_{g_i}^k) - g_i = g \circ p_i -$  tel que

$$\langle e^{-k S_\Sigma(g)}, \left( \bigotimes_{i \in I_-} e^{-k S_D(\tilde{g}|_{D_i})} \right) \otimes \left( \bigotimes_{i \in I_+} e^{-k S_{D'}(\tilde{g}|_{D'_i})} \right) \rangle = e^{-k S_{\tilde{\Sigma}}(\tilde{g})}.$$

Les *amplitudes quantiques* du modèle de WZNW sont données par les intégrales fonctionnelles formelles

$$\mathbf{A}_\Sigma((\gamma_i)_{i \in I}) \equiv \int_{\substack{g: \Sigma \rightarrow G \\ g_i = \gamma_i}} e^{-k S_\Sigma(g)} Dg = \int_{\substack{g: \Sigma \rightarrow G \\ g_i = 1}} e^{-k S_\Sigma(\gamma g)} Dg \in \left( \bigotimes_{i \in I_-} \mathcal{L}_{\gamma_i}^{-k} \right) \otimes \left( \bigotimes_{i \in I_+} \mathcal{L}_{\gamma_i}^k \right) \quad (6)$$

où  $\gamma_i \in LG$  et  $\gamma : \Sigma \rightarrow G$  telle que  $\gamma \circ p_i = \gamma_i$ , sont fixées. Par invariance de la mesure de Haar, la définition précédente ne dépend pas des valeurs de  $\gamma$  à l'intérieur de  $\Sigma$ , même si  $\gamma$  prend ses valeurs dans  $G^{\mathbb{C}}$  — ceci à condition que l'intégrande soit holomorphe. Ainsi, les intégrales

peuvent être aussi définies pour  $\gamma_i \in LG^{\mathbb{C}}$  et on peut assimiler les amplitudes quantiques aux sections holomorphes (formelles) d'un fibré :

$$\mathbf{A}_{\Sigma} \in \left( \bigotimes_{i \in I_-} H^0(\mathcal{L}^{-k}) \right) \otimes \left( \bigotimes_{i \in I_+} H^0(\mathcal{L}^k) \right).$$

Il apparaît que  $H^0(\mathcal{L}^k)$  est l'espace naturel des états quantiques du modèle de WZNW. Les amplitudes  $\mathbf{A}_{\Sigma}$  quantifient les sous-variétés lagrangiennes  $\mathcal{A}_{\Sigma}$  de la section **2**.

### 3.3. Symétrie de Kac-Moody

On définit un produit sur  $(\mathcal{L}^k)^{\times} = \mathcal{L}^k \setminus \{\text{section zéro}\}$  :

$$[(g'_1, z'_1)]_{\sim'} \bullet [(g'_2, z'_2)]_{\sim'} \equiv [(g'_1 g'_2, z'_1 z'_2 e^{k \Gamma_{D'}(g'_1, g'_2)})]_{\sim'}.$$

On vérifie que l'opération  $\bullet$  est bien définie et induit une structure de groupe sur  $(\mathcal{L}^k)^{\times}$ . Si on utilise  $z e^{-k S_D(g)}$  pour représenter les éléments de  $((\mathcal{L}^k)^{\times}, \bullet)$ , l'élément neutre est  $e^{-k S_D(1)}$ , l'inverse est

$$(z e^{-k S_D(g)})^{-1} = z^{-1} e^{-k \Gamma_D(g, g^{-1})} e^{-k S_D(g^{-1})}$$

et l'opération  $\bullet$  devient

$$(z_1 e^{-k S_D(g_2)}) \bullet (z_2 e^{-k S_D(g_2)}) = z_1 z_2 e^{-k \Gamma_D(g_1, g_2)} e^{-k S_D(g_1 g_2)}.$$

En particulier, on obtient une généralisation de la formule de Polyakov-Wiegmann pour une surface de Riemann à bord

$$e^{-k S_{\Sigma}(g_1 g_2)} = e^{k \Gamma_{\Sigma}(g_1, g_2)} e^{-k S_{\Sigma}(g_1)} \bullet e^{-k S_{\Sigma}(g_2)}$$

Muni de l'opération  $\bullet$ ,  $(\mathcal{L}^k)^{\times}$  est le **groupe de Kac-Moody**  $\widehat{LG}_k^{\mathbb{C}}$  **de niveau**  $k$  [125] qui est l'extension centrale du groupe des lacets  $LG^{\mathbb{C}}$ , *i.e.* il existe une suite exacte d'homomorphismes

$$1 \rightarrow \mathbb{C}^{\times} \xrightarrow{i_k} \widehat{LG}_k^{\mathbb{C}} \rightarrow LG^{\mathbb{C}} \rightarrow 1.$$

La première flèche envoie  $z \in \mathbb{C}^{\times}$  sur  $z e^{-k S_D(1)}$  et la seconde est la projection  $\pi'$  induite par la structure de fibré. À partir de l'extension centrale satisfaite par  $\widehat{LG}_1^{\mathbb{C}}$ , on obtient une extension centrale de  $\widehat{LG}_k^{\mathbb{C}}$  en divisant  $\widehat{LG}_1^{\mathbb{C}}$  par  $i_1(\{\sqrt[k]{1}\})$ . On peut également relever l'involution  $g \mapsto g^{\dagger}$  sur le fibré  $\mathcal{L}^k$ . On pose  $\dashv$  et on vérifie que c'est bien défini  $\dashv : [(g', z')]_{\sim'}^{\dagger} = [(g'^{\dagger}, \bar{z}')]_{\sim'}$  soit encore

$$(z e^{-k S_D(g)})^{\dagger} = \bar{z} e^{-k S_D(g^{\dagger})}.$$

On vérifie aussi que  $(\widehat{h}_1 \bullet \widehat{h}_2)^{\dagger} = \widehat{h}_2^{\dagger} \bullet \widehat{h}_1^{\dagger}$ . On dit qu'un élément  $\widehat{h}$  de  $\widehat{LG}_k^{\mathbb{C}}$  est **unitaire** si  $\widehat{h}^{\dagger} = \widehat{h}^{-1}$  ; comme pour le groupe  $LG^{\mathbb{C}}$ . Explicitement, cela donne pour  $h = z e^{-k S_D(g)}$

$$g g^{\dagger} = 1, \quad |z|^2 = e^{k \Gamma_D(g, g^{-1})}.$$

On note  $\widehat{LG}_k$  le sous-groupe de  $\widehat{LG}_k^{\mathbb{C}}$  formé des éléments unitaires. Le fibré en droite  $\mathcal{L}^k \rightarrow LG$  est muni d'une **structure hermitienne** donnée par

$$|z e^{-k S_D(g)}|^2 = |z|^2 e^{-k \Gamma_D(g, g^{-1})}.$$

On peut donc dire que  $\widehat{LG}$  est l'ensemble des vecteurs de  $\mathcal{L}^k \rightarrow LG$  de longueur 1. Cette fois,  $\widehat{LG}_k$  est une extension centrale de  $LG$  :

$$1 \rightarrow S^1 \rightarrow \widehat{LG}_k \rightarrow LG \rightarrow 1.$$

Le groupe  $\widehat{LG}_k^{\mathbb{C}}$  agit à gauche et à droite sur  $H^0(\mathcal{L}^k)$  par

$$(\ell(\widehat{h})\psi)(\gamma) = \widehat{h} \bullet \psi(h^{-1}\gamma), \quad (\mathbf{r}(\widehat{h})\psi)(\gamma) = \psi(\gamma h) \bullet \widehat{h}$$

où  $\widehat{h} \in \widehat{LG}_k^{\mathbb{C}}$  et  $\psi \in H^0(\mathcal{L}^k)$ . Les amplitudes  $\mathbf{A}_{\Sigma}$  possèdent (formellement) les propriétés d'invariance

$$\ell(e^{-k S_{\Sigma}(g_1)}) \mathbf{r}(e^{-k S_{\Sigma}(g_2^{\dagger})}) \mathbf{A}_{\Sigma} = \mathbf{A}_{\Sigma}$$

pour des applications holomorphes  $g_{1,2} : \Sigma \rightarrow G^{\mathbb{C}}$ . C'est la version quantique des propriétés de symétrie des sous-variétés lagrangiennes  $\mathcal{A}_{\Sigma}$  de la section 2. En effet, si  $g_{1,2i} = g_{1,2} \circ p_i$ ,

$$\begin{aligned} & e^{-k S_{\Sigma}(g_1)} \bullet \mathbf{A}_{\Sigma}((\gamma_i)_{i \in I}) \bullet e^{-k S_{\Sigma}(g_2^{\dagger})} \\ &= \int_{\substack{g: \Sigma \rightarrow G \\ g_i = \gamma_i}} e^{-k S_{\Sigma}(g_1)} \bullet e^{-k S_{\Sigma}(g)} \bullet e^{-k S_{\Sigma}(g_2^{\dagger})} Dg = \int_{\substack{g: \Sigma \rightarrow G \\ g_i = \gamma_i}} e^{-k S_{\Sigma}(g_1 g g_2^{\dagger})} Dg \\ &= \int_{\substack{g: \Sigma \rightarrow G \\ g_i = g_{1i} \gamma_i g_{2i}^{\dagger}}} e^{-k S_{\Sigma}(g)} Dg = \mathbf{A}_{\Sigma}((g_{1i} \gamma_i g_{2i}^{\dagger})_{i \in I}). \end{aligned}$$

Cette invariance est une réminiscence au niveau quantique de la symétrie chirale notée précédemment au niveau classique. La symétrie classique  $LG^{\mathbb{C}} \times LG^{\mathbb{C}}$  se traduit par une action projective de  $LG^{\mathbb{C}} \times LG^{\mathbb{C}}$  sur l'espace des états.

Au niveau infinitésimal, on décrit cette symétrie par les générateurs

$$\begin{aligned} J_n^a &\equiv \frac{1}{i} \left. \frac{d}{d\epsilon} \right|_{\epsilon=0} \ell(e^{-k S_D(e^{i\epsilon} t^a z^n)}), \quad \text{si } n \geq 0, \\ J_n^a &\equiv \frac{1}{i} \left. \frac{d}{d\epsilon} \right|_{\epsilon=0} \ell(e^{-k S_D(e^{i\epsilon} t^a \bar{z}^{-n})}), \quad \text{si } n \leq 0 \end{aligned}$$

ainsi que les  $\overline{J}_n^a$  obtenus de la même manière mais en remplaçant  $\ell$  par  $\mathbf{r}$ . On montre alors [60] que

$$[J_n^a, J_m^b] = i f^{abc} J_{n+m}^c + \frac{kn}{2} \delta^{ab} \delta_{n+m,0}$$

ainsi que pour les  $\overline{J}_n^a$ . Les  $J_n^a$  et les  $\overline{J}_n^a$  commutent entre eux. Ces relations de commutation définissent l'algèbre de Kac-Moody affine  $\widehat{Lg}^{\mathbb{C}}$  (cf. section 7.2). L'espace  $H^0(\mathcal{L}^k)$  est donc accompagné d'une représentation de  $\widehat{Lg}^{\mathbb{C}} \oplus \widehat{Lg}^{\mathbb{C}}$ . Dans le restant de cette thèse, on abandonne ce point de vue pour ne plus considérer que des surfaces de Riemann compactes — sans bord — le lecteur intéressé pourra consulter les articles [27, 60, 63] (cf. aussi la section 5.4).



## §4. Fonctions de Green et leurs symétries

*Stratégie générale.* — On se propose de quantifier le modèle de WZNW. Pour cela, on utilise une quantification à la Feynman. Les fonctions de Green de la théorie sont données par des intégrales fonctionnelles formelles. On ne donne pas un sens mathématiquement rigoureux à de tels objets et les manipulations effectuées sur les intégrales fonctionnelles restent formelles. En particulier, les fonctions de Green nécessitent sans doute d'être renormalisées. Néanmoins, le modèle possédant des propriétés de symétrie très riches, on espère trouver des expressions explicites pour les fonctions de Green, c.-à-d. arriver à la «quadrature des théories conformes» [62]. Une fois ce travail effectué, il s'agira de remonter le chemin en sens inverse, soit utiliser les résultats pour définir les fonctions de Green et ensuite vérifier qu'elles répondent aux divers critères requis par notre modèle.

### 4.1. Couplage à un champ de jauge

On désire jauger la symétrie  $G \times G$  du modèle WZNW. Soit  $A$  une 1-forme sur  $\Sigma$  à valeurs dans  $\mathfrak{g}^{\mathbb{C}}$  ;  $A = A^{10} + A^{01}$ , si on sépare les composantes  $(1, 0)$  et  $(0, 1)$ . En physique, on dit que  $A$  est un champ de jauge (complexe). Localement,  $A^{10} = A_z dz$  et  $A^{01} = A_{\bar{z}} d\bar{z}$ . On peut alors définir [57] l'*action de WZNW couplée à un champ de jauge* :

$$S(g, A) = S(g) + \frac{i}{2\pi} \int_{\Sigma} \text{tr} [A^{10} (g^{-1} \bar{\partial} g) + (g \partial g^{-1}) A^{01} + g A^{10} g^{-1} A^{01} - A^{10} A^{01}].$$

Géométriquement,  $g$  devrait être vu comme une section du fibré associé à la représentation adjointe du  $G^{\mathbb{C}}$ -fibré principal trivial  $P = \Sigma \times G^{\mathbb{C}}$ . Dans ce langage, le champ  $A$  est une connexion sur  $P$ . Comme le fibré est trivial, utiliser le langage géométrique n'est pas très intéressant. On découple les transformations de jauge chirales de gauche et droite. Si  $h_{1,2} : \Sigma \rightarrow G^{\mathbb{C}}$ ,

$$\begin{aligned} g \mapsto h_2 g, & \quad \begin{cases} A^{10} \mapsto A^{10} \\ A^{01} \mapsto h_2 A^{01} \equiv h_2 A^{01} h_2^{-1} + h_2 \bar{\partial} h_2^{-1} \end{cases} , \\ g \mapsto g h_1^{-1}, & \quad \begin{cases} A^{10} \mapsto h_1 A^{10} \equiv h_1 A^{10} h_1^{-1} + h_1 \partial h_1^{-1} \\ A^{01} \mapsto A^{01} \end{cases} . \end{aligned}$$

Les relations suivantes traduisent le comportement de l'action jaugée dans les transformations chirales

$$S(h_2 g h_1^{-1}, h_1 A^{10} + h_2 A^{01}) = \begin{cases} S(g, A) - S(h_2^{-1} h_1, A) \\ S(g, A) + S(h_2 h_1^{-1}, h_1 A^{10} + h_2 A^{01}) \end{cases} \pmod{2\pi i}. \quad (7)$$

La deuxième égalité se déduit immédiatement de la première. La première est une conséquence de la formule de Polyakov-Wiegmann. On constate que l'action de WZNW n'est pas préservée dans une transformation de jauge chirale. Par contre, si  $h_1 = h = h_2$ , on obtient  $S(h g h^{-1}, h A) = S(g, A)$ . Le modèle jaugé est donc invariant par cette transformation non chirale.

Un champ de jauge unitaire est défini par les relations  $A = -A^\dagger$ , ou encore  $A^{10} = -(A^{01})^\dagger$ . Ces conditions sont préservées par les transformations de jauge chirales avec  $h_1 = (h^\dagger)^{-1}$ ,

$h_2 = h$ , c.-à-d.

$$\begin{aligned} A^{10} \mapsto^{h^\dagger^{-1}} A^{10} &\equiv (h^\dagger)^{-1} A^{10} h^\dagger + (h^\dagger)^{-1} \partial h^\dagger \\ A^{01} \mapsto^h A^{01} &\equiv h A^{01} h^{-1} + h \bar{\partial} h^{-1}. \end{aligned}$$

Les équations (7) deviennent

$$S(hgh^\dagger, {}^{h^\dagger^{-1}}A^{10} + {}^hA^{01}) = \begin{cases} S(g, A) - S(h^{-1}(h^\dagger)^{-1}, A) \\ S(g, A) + S(hh^\dagger, {}^{h^\dagger^{-1}}A^{10} + {}^hA^{01}) \end{cases} \pmod{2\pi i}.$$

En particulier, pour  $hh^\dagger = 1$ , *i.e.* pour une transformation de jauge unitaire (à valeurs dans le groupe compact  $G \subset G^{\mathbb{C}}$ ), on a  $S(hgh^\dagger, {}^hA) = S(g, A)$ .

## 4.2. Fonctions de Green

Soit  $\xi_1, \dots, \xi_N$  une séquence  $\underline{\xi}$  de  $N$  points distincts de  $\Sigma$  (\*). À chaque point  $\xi_\ell$ , on associe une coordonnée locale  $z_\ell$ . Soit  $R_1, \dots, R_N$  une séquence  $\underline{R}$  de  $N$  représentations irréductibles de  $G$ , chacune agissant dans un espace de Hilbert noté  $V_{\lambda_\ell}$ . On note  $V_{\underline{\lambda}} = \otimes_{\ell} V_{\lambda_\ell}$  où  $\underline{\lambda}$  est la séquence de plus hauts poids. Ces représentations s'étendent naturellement en des représentations holomorphes de  $G^{\mathbb{C}}$ . Les **fonctions de Green** (euclidiennes) sont formellement définies par l'intégrale fonctionnelle suivante

$$\Gamma(\underline{\xi}, \underline{R}, A) \equiv \int_{\ell} \otimes g(\xi_\ell)_{R_\ell} e^{-kS(g,A)} Dg \in \otimes_{\ell} \text{End}(V_{\lambda_\ell}) \cong \bar{V}_{\underline{\lambda}} \otimes V_{\underline{\lambda}}$$

où  $Dg$  est le produit formel  $\prod_{\xi \in \Sigma} dg(\xi)$  des mesures de Haar sur  $G$ . Bien qu'on ait étendu les champs au groupe complexifié  $G^{\mathbb{C}}$ , l'intégration porte uniquement sur les champs à valeurs dans le groupe compact  $G$ . On utilise aussi les **fonctions de Green normalisées**

$$\langle \otimes_{\ell} g(\xi_\ell)_{R_\ell} \rangle_A \equiv Z_A^{-1} \int_{\ell} \otimes g(\xi_\ell)_{R_\ell} e^{-kS(g,A)} Dg = Z_A^{-1} \Gamma(\underline{\xi}, \underline{R}, A)$$

où

$$Z_A \equiv \int e^{-kS(g,A)} Dg$$

est la **fonction de partition**. On oublie l'indice  $A$  en champ de jauge nul.

## 4.3. Identité de Ward chirale — version globale

Soient  $h_{1,2} : \Sigma \rightarrow G^{\mathbb{C}}$  des transformations de jauge chirales de gauche et de droite. D'après l'invariance formelle des mesures de Haar dans l'intégrale fonctionnelle et suivant la formule de Polyakov-Wiegmann jaugée (7), les fonctions de Green se transforment simplement :

$$\begin{aligned} \Gamma(\underline{\xi}, \underline{R}, {}^{h_1}A^{10} + {}^{h_2}A^{01}) &= \int_{\ell} \otimes (h_2 g h_1^{-1})(\xi_\ell)_{R_\ell} e^{-kS(h_2 g h_1^{-1}, {}^{h_1}A^{10} + {}^{h_2}A^{01})} Dg \\ &= e^{kS(h_2^{-1} h_1, A)} \otimes_{\ell} h_2(\xi_\ell)_{R_\ell} \Gamma(\underline{\xi}, \underline{R}, A) \otimes_{\ell} h_1(\xi_\ell)_{R_\ell}^{-1}. \end{aligned}$$

---

\* Quel que soit le type d'insertion effectué, on suppose que les points où on insère les champs sont deux à deux distincts.

En théorie des champs, on appelle une telle relation une **identité de Ward** (chirale, globale). Elles peuvent aussi être écrites comme

$$\begin{aligned} Z_{h_1 A^{10} + h_2 A^{01}} &= e^{k S(h_2^{-1} h_1, A)} Z_A, \\ \langle \otimes g(\xi_\ell)_{R_\ell} \rangle_{h_1 A^{10} + h_2 A^{01}} &= \otimes_\ell h_2(\xi_\ell)_{R_\ell} \langle \otimes_\ell g(\xi_\ell)_{R_\ell} \rangle_A \otimes_\ell h_1(\xi_\ell)_{R_\ell}^{-1}, \end{aligned}$$

exprimant ainsi la covariance des fonctions de Green normalisées et la loi de transformation non-triviale de la fonction de partition sous l'action des transformation de jauge chirales.

Il est souvent plus commode de travailler avec des lois de transformation factorisées, découplant ainsi les actions de gauche et de droite. Pour cela, il suffit de modifier l'action jaugée comme suit

$$\tilde{S}(g, A) \equiv S(g, A) + \frac{i}{2\pi} \int \text{tr}(A^{10} A^{01}).$$

Pour la nouvelle action, l'équation (7) devient

$$\tilde{S}(h_2 g h_1^{-1}, h_1 A^{10} + h_2 A^{01}) = \tilde{S}(g, A) - S(h_1, A^{10}) - S(h_2^{-1}, A^{01}).$$

Si  $\tilde{Z}_A$  et  $\tilde{\Gamma}(\underline{\xi}, \underline{R}, A)$  sont les quantités obtenues en remplaçant  $S$  par  $\tilde{S}$ , on a

$$\tilde{Z}_{h_1 A^{10} + h_2 A^{01}} = e^{k S(h_1, A^{10}) + k S(h_2^{-1}, A^{01})} \tilde{Z}_A.$$

Par conséquent, les fonctions de Green modifiées  $\tilde{\Gamma}(\underline{\xi}, \underline{R}, A) = \tilde{Z}_A \langle \otimes_\ell g(\xi_\ell)_{R_\ell} \rangle_A$  vérifient l'identité de Ward chirale, globale, découplée

$$\begin{aligned} \tilde{\Gamma}(\underline{\xi}, \underline{R}, h_1 A^{10} + h_2 A^{01}) \\ = e^{k S(h_1, A^{10}) + k S(h_2^{-1}, A^{01})} \otimes_\ell h_2(\xi_\ell)_{R_\ell} \tilde{\Gamma}(\{\xi_\ell\}, \{R_\ell\}, A) \otimes_\ell h_1(\xi_\ell)_{R_\ell}^{-1}. \end{aligned} \quad (8)$$

#### 4.4. Identités de Ward chirales — version infinitésimale

À partir des identités de Ward globales, il est naturel de vouloir dériver des identités de Ward infinitésimales. On suppose que les fonctions de Green dépendent de manière  $\mathcal{C}^\infty$  (au sens de Fréchet) du champ de jauge  $A$ . En particulier, toutes les dérivées fonctionnelles existent au sens des distributions. Introduisons les **fonctions de Green avec insertions de courants**

$$\langle \prod_{j=1}^M J_{z_j}^{a_j} \prod_{\bar{j}=1}^{\bar{M}} J_{\bar{z}_{\bar{j}}}^{b_{\bar{j}}} \otimes_\ell g(\xi_\ell)_{R_\ell} \rangle_A \equiv \tilde{Z}_A^{-1} \frac{(-\pi\delta)^{M+\bar{M}}}{\prod_j \delta A_{z_j}^{a_j} \prod_{\bar{j}} \delta A_{\bar{z}_{\bar{j}}}^{b_{\bar{j}}}} \left( \tilde{Z}_A \langle \otimes_\ell g(\xi_\ell)_{R_\ell} \rangle_A \right).$$

Les exposants  $a_j$  et  $b_{\bar{j}}$  désignent des composantes dans l'algèbre de Lie. Les indices  $z_j$  et  $\bar{z}_{\bar{j}}$  sont des coordonnées locales pour les points où on insère les courants — on fera bien attention à ne pas confondre ces coordonnées avec celles des points  $\xi_\ell$ . On a simplement noté  $A^{10}(\zeta) = A_z^a(\zeta) t^a dz$  et  $A^{01}(\zeta) = A_{\bar{z}}^a(\zeta) t^a d\bar{z}$ , si  $z$  est une coordonnée locale pour le point  $\zeta$  où on insère le courant. Posons  $h_1 \equiv 1$  et  $h_2 = e^{\delta\Lambda}$ . D'après l'identité de Ward globale (8),

$$\tilde{\Gamma}(A^{10} + e^{\delta\Lambda} A^{01}) = e^{k S(e^{-\delta\Lambda}, A^{01})} \otimes_\ell (e^{\delta\Lambda})(\xi_\ell)_{R_\ell} \tilde{\Gamma}(A).$$

Pour ne pas alourdir le calcul, on sous-entend  $\underline{\xi}, \underline{R}$ . On réécrit cette équation au premier ordre en  $\delta\Lambda$  — dans ce qui suit, l'égalité  $\simeq$  signifie «à des termes du second ordre en  $\delta\Lambda$  près». Le terme de gauche donne

$$\tilde{\Gamma}(A^{10} + e^{\delta\Lambda} A^{01}) \simeq \tilde{\Gamma}(A) + \int_{\Sigma} \frac{\delta\tilde{\Gamma}}{\delta A_z^a}(A) \delta A_z^a d^2 z + \int_{\Sigma} \frac{\delta\tilde{\Gamma}}{\delta A_{\bar{z}}^a}(A) \delta A_{\bar{z}}^a d^2 z.$$

La variation du champ de jauge est :  $\delta A^{10} = 0$  et  $\delta A^{01} = e^{\delta\Lambda} A^{01} - A^{01}$ , soit  $\delta A_{\bar{z}}^a = i f^{abc} \delta\Lambda^b A_{\bar{z}}^c - \partial_{\bar{z}}(\delta\Lambda^a)$ . On a donc

$$\tilde{\Gamma}(A^{10} + e^{\delta\Lambda} A^{01}) \simeq \tilde{\Gamma}(A) + \int_{\Sigma} \frac{-\delta}{\delta A_{\bar{z}}^a} \tilde{\Gamma}(A) \left( \partial_{\bar{z}}(\delta\Lambda^a) - i f^{abc} \delta\Lambda^b A_{\bar{z}}^c \right) d^2 z.$$

Un calcul rapide utilisant l'équation (3) donne  $e^{kS(e^{-\delta\Lambda}, A^{01})} \simeq 1 + \frac{k}{2\pi} \int_{\Sigma} \partial_z(\delta\Lambda^a) A_{\bar{z}}^a d^2 z$ . On a aussi  $\otimes_{\ell}(e^{\delta\Lambda})(\xi_{\ell})_{R_{\ell}} \simeq 1 + \sum_{\ell} \delta\Lambda^a(\xi_{\ell}) t_{\ell}^a$ , où  $t_{\ell}^a = 1 \otimes \cdots \otimes \underbrace{dR_{\ell}(t_{\ell}^a)}_{\ell} \otimes \cdots \otimes 1$ . On aboutit finalement à

$$\begin{aligned} \int_{\Sigma} \langle J_z^a \otimes_{\ell} g(\xi_{\ell})_{R_{\ell}} \rangle_A \left( \partial_{\bar{z}}(\delta\Lambda^a) - i f^{abc} \delta\Lambda^b A_{\bar{z}}^c \right) d^2 z \\ \simeq \left( \frac{k}{2} \int_{\Sigma} \partial_z(\delta\Lambda^a) A_{\bar{z}}^a d^2 z + \pi \sum_{\ell} \delta\Lambda^a(\xi_{\ell}) t_{\ell}^a \right) \langle \otimes_{\ell} g(\xi_{\ell})_{R_{\ell}} \rangle_A. \end{aligned} \quad (9.a)$$

De même, en utilisant  $h_1 = e^{\delta\Lambda}$  et  $h_2 \equiv 1$ , on trouve

$$\begin{aligned} \int_{\Sigma} \langle J_{\bar{z}}^a \otimes_{\ell} g(\xi_{\ell})_{R_{\ell}} \rangle_A \left( \partial_z(\delta\Lambda^a) - i f^{abc} \delta\Lambda^b A_z^c \right) d^2 z \\ \simeq \langle \otimes_{\ell} g(\xi_{\ell})_{R_{\ell}} \rangle_A \left( \frac{k}{2} \int_{\Sigma} \partial_{\bar{z}}(\delta\Lambda^a) A_z^a d^2 z - \pi \sum_{\ell} \delta\Lambda^a(\xi_{\ell}) t_{\ell}^a \right). \end{aligned} \quad (9.b)$$

Après intégration par parties dans les équations (9.a-b), si on observe que  $\delta\Lambda$  a été choisi quelconque, on obtient

$$\begin{aligned} \partial_{\bar{z}} \langle J_z^a \otimes_{\ell} g(\xi_{\ell})_{R_{\ell}} \rangle_A + i f^{abc} A_{\bar{z}}^b \langle J_z^c \otimes_{\ell} g(\xi_{\ell})_{R_{\ell}} \rangle_A \\ = \left( \frac{k}{2} \partial_z A_{\bar{z}}^a - \pi \sum_{\ell} \delta^{(2)}(z - z_{\ell}) t_{\ell}^a \right) \langle \otimes_{\ell} g(\xi_{\ell})_{R_{\ell}} \rangle_A, \end{aligned} \quad (10.a)$$

$$\begin{aligned} \partial_z \langle J_{\bar{z}}^a \otimes_{\ell} g(\xi_{\ell})_{R_{\ell}} \rangle_A + i f^{abc} A_z^b \langle J_{\bar{z}}^c \otimes_{\ell} g(\xi_{\ell})_{R_{\ell}} \rangle_A \\ = \langle \otimes_{\ell} g(\xi_{\ell})_{R_{\ell}} \rangle_A \left( \frac{k}{2} \partial_{\bar{z}} A_z^a + \pi \sum_{\ell} \delta^{(2)}(z - z_{\ell}) t_{\ell}^a \right). \end{aligned} \quad (10.b)$$

Nous appellerons ces deux égalités les *identités de Ward chirales locales*. Derrière ces équations se cachent des «armes» particulièrement redoutables. Tout de suite, elle permettent de déterminer le comportement à courtes distances des fonctions de Green à une ou deux insertions de courants.

#### 4.5. Développements à courtes distances I

On reprend l'équation (10.a) en champ de jauge nul (\*),

$$\partial_{\bar{z}} \langle J_z^a \otimes_{\ell} g(\xi_{\ell})_{R_{\ell}} \rangle = -\pi \sum_{\ell} \delta^{(2)}(z - z_{\ell}) t_{\ell}^a \langle \otimes_{\ell} g(\xi_{\ell})_{R_{\ell}} \rangle. \quad (11)$$

Déjà, on constate que  $\langle J_z^a \otimes_{\ell} g(\xi_{\ell})_{R_{\ell}} \rangle$  est analytique en  $z$  dans tout domaine ne contenant pas les points d'insertion. De même, l'insertion de  $J_{\bar{z}}^a$  conduit à une fonction de Green analytique en  $\bar{z}$  sauf aux points d'insertion. Utilisons les relations  $\pi \delta^{(2)}(z-w) = \partial_{\bar{z}}(z-w)^{-1}$  et  $\pi \delta^{(2)}(z-w) = \partial_z(\bar{z}-\bar{w})^{-1}$ , prises au sens des distributions. On obtient des **développements à courtes distances**

$$\langle J_z^a \otimes_{\ell} g(\xi_{\ell})_{R_{\ell}} \rangle = - \sum_{\ell} \frac{t_{\ell}^a}{z-z_{\ell}} \langle \otimes_{\ell} g(\xi_{\ell})_{R_{\ell}} \rangle + \dots, \quad (12.a)$$

$$\langle J_{\bar{z}}^a \otimes_{\ell} g(\xi_{\ell})_{R_{\ell}} \rangle = \langle \otimes_{\ell} g(\xi_{\ell})_{R_{\ell}} \rangle \sum_{\ell} \frac{t_{\ell}^a}{\bar{z}-\bar{z}_{\ell}} + \dots. \quad (12.b)$$

Dans l'équation (12.a), les pointillés  $\dots$  symbolisent des termes analytiques en  $z$  autour des points d'insertion et, dans l'équation (12.b), ils représentent des termes analytiques en  $\bar{z}$  autour des points d'insertion. Notons  $J(z)$  (resp.  $\bar{J}(\bar{z})$ ) l'insertion de  $J_z$  (resp.  $J_{\bar{z}}$ ) à l'intérieur des fonctions de Green, en champ de jauge (localement) nul. On réécrit alors les égalités (12.a-b) sous la forme plus compacte :

$$J^a(z) g(\xi_{\ell})_{R_{\ell}} = - \frac{t_{\ell}^a}{z-z_{\ell}} g(\xi_{\ell})_{R_{\ell}} + \dots, \quad (13.a)$$

$$\bar{J}^a(\bar{z}) g(\xi_{\ell})_{R_{\ell}} = g(\xi_{\ell})_{R_{\ell}} \frac{t_{\ell}^a}{\bar{z}-\bar{z}_{\ell}} + \dots \quad (13.b)$$

à l'intérieur des fonctions de Green. Dans la suite, il faudra toujours garder à l'esprit qu'on s'intéresse au comportement d'insertions à l'intérieur des fonctions de Green, même si cela n'apparaît pas explicitement. Plus généralement, on conviendra que dans un développement à courtes distances du type  $\varphi(\zeta) \varphi(\zeta')$  les pointillés désigneront des termes réguliers en  $\zeta$  autour de  $\zeta'$ .

Pour obtenir les développements à courtes distances à deux courants, on commence par dériver l'équation (10.a) par rapport à  $A_w^b$  ; précisément, appliquons l'opérateur  $\tilde{Z}_A^{-1} \frac{-\pi \delta}{\delta A_w^b} \tilde{Z}_A$  à l'équation en question,

$$\begin{aligned} \partial_{\bar{z}} \langle J_z^a J_w^b \otimes_{\ell} g(\xi_{\ell})_{R_{\ell}} \rangle_A - i\pi f^{ab\beta} \delta^{(2)}(z-w) \langle J_z^{\beta} \otimes_{\ell} g(\xi_{\ell})_{R_{\ell}} \rangle_A \\ + i f^{a\alpha\beta} A_{\bar{z}}^{\alpha} \langle J_z^{\beta} J_w^b \otimes_{\ell} g(\xi_{\ell})_{R_{\ell}} \rangle_A = -\frac{k}{2} \pi \delta^{ab} \partial_z \delta^{(2)}(z-w) \langle \otimes_{\ell} g(\xi_{\ell})_{R_{\ell}} \rangle_A \\ + \left( \frac{k}{2} \partial_z A_{\bar{z}}^a - \pi \sum_{\ell} \delta^{(2)}(z-z_{\ell}) t_{\ell}^a \right) \langle J_w^b \otimes_{\ell} g(\xi_{\ell})_{R_{\ell}} \rangle_A. \end{aligned} \quad (14)$$

En  $A = 0$ ,

$$\begin{aligned} \partial_{\bar{z}} \langle J_z^a J_w^b \otimes_{\ell} g(\xi_{\ell})_{R_{\ell}} \rangle - i\pi f^{abc} \delta^{(2)}(z-w) \langle J_z^c \otimes_{\ell} g(\xi_{\ell})_{R_{\ell}} \rangle = \\ - \frac{k}{2} \pi \delta^{ab} \partial_z \delta^{(2)}(z-w) \langle \otimes_{\ell} g(\xi_{\ell})_{R_{\ell}} \rangle - \pi \sum_{\ell} \delta^{(2)}(z-z_{\ell}) t_{\ell}^a \langle J_w^b \otimes_{\ell} g(\xi_{\ell})_{R_{\ell}} \rangle_A. \end{aligned}$$

---

\*Il suffit que  $A$  soit localement nul, c.-à-d. qu'il s'annule autour des points d'insertion.

Au passage, la fonction  $\delta^{(2)}(z-w)$  dans le second terme permet de remplacer  $J_z^c$  par  $J_w^c$ . Cela implique que

$$\begin{aligned} \langle J_z^a J_w^b \otimes_\ell g(\xi_\ell)_{R_\ell} \rangle &= \frac{k \delta^{ab}/2}{(z-w)^2} \langle \otimes_\ell g(\xi_\ell)_{R_\ell} \rangle + \frac{if^{abc}}{z-w} \langle J_w^c \otimes_\ell g(\xi_\ell)_{R_\ell} \rangle \\ &\quad - \sum_\ell \frac{t_\ell^a}{z-z_\ell} \langle J_w^b \otimes_\ell g(\xi_\ell)_{R_\ell} \rangle + \dots \end{aligned} \quad (15)$$

à des termes analytiques près en  $z$  autour de  $w$  et  $z_\ell$ . Pour  $z$  et  $w$  différents des  $z_\ell$ ,

$$J^a(z) J^b(w) = \frac{k \delta^{ab}/2}{(z-w)^2} + \frac{if^{abc}}{z-w} J^c(w) + \dots, \quad (16.a)$$

$$\bar{J}^a(\bar{z}) \bar{J}^b(\bar{w}) = \frac{k \delta^{ab}/2}{(\bar{z}-\bar{w})^2} + \frac{if^{abc}}{\bar{z}-\bar{w}} \bar{J}^c(\bar{w}) + \dots. \quad (16.b)$$

Le développement à courtes distances pour les courants anti-holomorphes s'obtient de la même façon, en utilisant l'équation (10.b). Il est clair que l'équation (16.a) peut être reprise sous une forme plus symétrique :

$$J^a(z) J^b(w) = \frac{k \delta^{ab}/2}{(z-w)^2} + \frac{if^{abc}/2}{z-w} (J^c(z) + J^c(w)) + \dots, \quad (17)$$

cette fois les termes restants sont analytiques en  $z$  et  $w$  différents des  $z_\ell$ . Un calcul similaire nous donnerait

$$\langle J_z^a \bar{J}_w^b \otimes_\ell g(\xi_\ell)_{R_\ell} \rangle = - \sum_\ell \frac{t_\ell^a}{z-z_\ell} \langle \bar{J}_w^b \otimes_\ell g(\xi_\ell)_{R_\ell} \rangle + \dots.$$

Il suit  $J^a(z) \bar{J}^b(\bar{w}) = \dots$ .

#### 4.6. Tenseur d'énergie-impulsion

Bien que jusque-là on n'ait pas écrit explicitement la dépendance des fonctions de Green vis-à-vis de la métrique  $\gamma$ , celle-ci est essentielle. Le tenseur d'énergie-impulsion est justement l'objet qui va « mesurer » pour nous le comportement du système dans un changement de métrique. On munit l'espace des métriques de la topologie  $\mathcal{C}^\infty$  et on suppose que les fonctions de Green dépendent de manière  $\mathcal{C}^\infty$  (au sens de Fréchet) de la métrique. Soient  $M$  points distincts  $\varsigma_1, \dots, \varsigma_M$  pris sur la surface de Riemann. Par définition, l'insertion de **tenseurs d'énergie-impulsion** dans les fonctions de Green est

$$\langle \prod_{k=1}^M T_{\mu_k \nu_k}(\varsigma_k) \otimes_\ell g(\xi_\ell)_{R_\ell} \rangle_{A, \gamma} \equiv \tilde{Z}_{A, \gamma}^{-1} \frac{(4\pi\delta)^M}{\prod_k \delta\gamma^{\mu_k \nu_k}(\varsigma_k)} \left( \tilde{Z}_{A, \gamma} \langle \otimes_\ell g(\xi_\ell)_{R_\ell} \rangle_{A, \gamma} \right)$$

où on a rétabli la dépendance explicite dans la métrique. Si  $z$  et  $\bar{z}$  sont des coordonnées locales en un point d'insertion  $\varsigma$ , le tenseur d'énergie-impulsion a quatre composantes  $T_{zz}$ ,  $T_{z\bar{z}}$ ,  $T_{\bar{z}z}$  et  $T_{\bar{z}\bar{z}}$ . Notons qu'à l'intérieur des fonctions de Green,  $T_{z\bar{z}} = T_{\bar{z}z}$  de part les symétries de la métrique.

La fonction de partition et les fonctions de Green sont contraintes par la covariance par rapport aux difféomorphismes  $D : \Sigma \rightarrow \Sigma$  préservant l'orientation :

$$\begin{aligned} Z_{A, \gamma} &= Z_{D^*A, D^*\gamma}, & \tilde{Z}_{A, \gamma} &= \tilde{Z}_{D^*A, D^*\gamma}, \\ \langle \otimes_\ell g(D(\xi_\ell))_{R_\ell} \rangle_{A, \gamma} &= \langle \otimes_\ell g(\xi_\ell)_{R_\ell} \rangle_{D^*A, D^*\gamma}. \end{aligned}$$

Si on change la métrique par une **transformation de Weyl**  $\gamma \rightarrow e^\sigma \gamma$ , la fonction de partition et les fonctions de Green changent. Pour la fonction de partition, le changement est donné par l'équation

$$Z_{A, e^\sigma \gamma} = e^{\frac{ic}{24\pi} S_L(\sigma)} Z_{A, \gamma} \quad (18)$$

où  $S_L$  est l'action de Liouville

$$S_L(\sigma) = \int_{\Sigma} \left( \frac{1}{2} \partial \sigma \bar{\partial} \sigma + \sigma R_{\gamma} \right)$$

et le nombre  $c = k \dim G / (k + g^{\vee})$  est la **charge centrale**. Les fonctions de Green ont le comportement suivant sous les transformations de Weyl :

$$\langle \otimes_{\ell} g(\xi_{\ell})_{R_{\ell}} \rangle_{A, e^\sigma \gamma} = \prod_l e^{-\Delta_{\ell} \sigma(\xi_{\ell})} \langle \otimes_{\ell} g(\xi_{\ell})_{R_{\ell}} \rangle_{A, \gamma} \quad (19)$$

où  $\Delta_{\ell} = C_{\ell} / (k + g^{\vee})$  est le **poids conforme** —  $C_{\ell}$  est le Casimir quadratique dans la représentation  $R_{\ell}$ . Le contenu de ces équations, exprimant **l'anomalie conforme**, n'est pas élémentaire. On reporte leur démonstration à des chapitres ultérieurs.

Si on effectue une transformation de Weyl  $\gamma \mapsto e^\sigma \gamma$ , avec  $\sigma$  nulle autour des points d'insertion, les fonctions de Green ne changent pas. On dira qu'une métrique est **localement plate** si elle est compatible avec la structure complexe donnée sur  $\Sigma$  et si elle est plate autour des points d'insertion, *i.e.* de la forme  $|dz|^2$ . Dans ce cas, on supprimera l'indice  $\gamma$  dans les fonctions de Green. Grâce aux propriétés (18) et (19), on pourra retrouver les fonctions de Green en métrique quelconque. Si on reprend la définition du tenseur d'énergie-impulsion et si on utilise l'équation (18), on obtient

$$4\pi \left. \frac{\delta}{\delta \sigma} \right|_{\sigma=0} \tilde{Z}_{A, e^\sigma \gamma}^{-1} = -\gamma^{zz} \langle T_{zz} \rangle_{A, \gamma} - 2\gamma^{z\bar{z}} \langle T_{z\bar{z}} \rangle_{A, \gamma} - \gamma^{\bar{z}\bar{z}} \langle T_{\bar{z}\bar{z}} \rangle_{A, \gamma} = \frac{c}{6} R_{\gamma}.$$

Par conséquent, comme  $R_{\gamma} = 0$  en métrique localement plate, on trouve

$$\langle T_{z\bar{z}} \rangle_A = 0 = \langle T_{\bar{z}z} \rangle_A.$$

La covariance des fonctions de Green par rapport aux difféomorphismes infinitésimaux implique, si on travaille un peu plus [58], que

$$\partial_{\bar{z}} \langle T_{zz} \rangle_A = 0 = \partial_z \langle T_{\bar{z}\bar{z}} \rangle_A.$$

Les égalités  $T_{z\bar{z}} = 0 = T_{\bar{z}z}$ ,  $\partial_{\bar{z}} T_{zz} = 0 = \partial_z T_{\bar{z}\bar{z}}$ , en métrique localement plate, tiennent aussi dans des fonctions de Green plus générales loin des autres points d'insertion.

Une **transformation PCT** envoie la surface  $\Sigma$  vers la surface conjuguée  $\bar{\Sigma}$ , munie de la structure complexe conjuguée. Si  $(z, \bar{z})$  est un système de coordonnées complexes induites par la structure complexe  $\mathbb{J}$ , on notera encore par  $(z, \bar{z})$  les coordonnées complexes pour  $-\mathbb{J}$ . La coordonnée «holomorphe» sera donc  $z$  pour  $\Sigma$  et  $\bar{z}$  pour  $\bar{\Sigma}$ , et inversement pour la coordonnée

anti-holomorphe. Au niveau de l'action classique, le passage de  $\Sigma$  à  $\bar{\Sigma}$  se traduit par (\*)

$$\overline{S_\Sigma(g, A)} = S_\Sigma(g^\dagger, -A^\dagger), \quad S_{\bar{\Sigma}}(g^{-1}, A) = S_\Sigma(g, A).$$

Si on reproduit la même opération sur les intégrales fonctionnelles, on constate que

$$\overline{Z}_{A, \Sigma} = Z_{-A^\dagger, \bar{\Sigma}}, \quad \overline{\langle \otimes_\ell g(\xi_\ell)_{R_\ell} \rangle_{A, \Sigma}} = \langle \otimes_\ell g(\xi_\ell)_{\bar{R}_\ell} \rangle_{-A^\dagger, \bar{\Sigma}}.$$

Ce résultat repose sur deux points fondamentaux : d'abord, on intègre uniquement sur les champs à valeurs dans le groupe compact, ensuite,  $g(\xi_\ell)_{R_\ell} = g(\xi_\ell)_{\bar{R}_\ell}$  où  $g(\xi_\ell)_{R_\ell}$  est élément de  $\overline{\text{End}(V_{\lambda_\ell})} \cong \text{End}(\bar{V}_{\lambda_\ell})$ . Si on considère des fonctions de Green où on a éventuellement inséré des courants ou le tenseur d'énergie-impulsion, le phénomène persiste. En clair,

$$\begin{aligned} \overline{\langle J_z^a \otimes_\ell g(\xi_\ell)_{R_\ell} \rangle_{A, \Sigma}} &= - \langle J_{\bar{z}}^a \otimes_\ell g(\xi_\ell)_{\bar{R}_\ell} \rangle_{-A^\dagger, \bar{\Sigma}}, & \overline{\langle J_{\bar{z}}^a \otimes_\ell g(\xi_\ell)_{R_\ell} \rangle_{A, \Sigma}} &= - \langle J_z^a \otimes_\ell g(\xi_\ell)_{\bar{R}_\ell} \rangle_{-A^\dagger, \bar{\Sigma}}, \\ \overline{\langle T_{zz} \otimes_\ell g(\xi_\ell)_{R_\ell} \rangle_{A, \Sigma}} &= \langle T_{\bar{z}\bar{z}} \otimes_\ell g(\xi_\ell)_{\bar{R}_\ell} \rangle_{-A^\dagger, \bar{\Sigma}}, & \overline{\langle T_{\bar{z}\bar{z}} \otimes_\ell g(\xi_\ell)_{R_\ell} \rangle_{A, \Sigma}} &= \langle T_{zz} \otimes_\ell g(\xi_\ell)_{\bar{R}_\ell} \rangle_{-A^\dagger, \bar{\Sigma}}, \\ \overline{\langle T_{z\bar{z}} \otimes_\ell g(\xi_\ell)_{R_\ell} \rangle_{A, \Sigma}} &= \langle T_{\bar{z}z} \otimes_\ell g(\xi_\ell)_{\bar{R}_\ell} \rangle_{-A^\dagger, \bar{\Sigma}}. \end{aligned}$$

La covariance par rapport aux difféomorphismes et aux transformations de Weyl ainsi que la symétrie PCT traduisent les propriétés conformes de la théorie quantique.

Dans la suite, on notera par  $T(z)$  (resp.  $\bar{T}(\bar{z})$ ) l'insertion de  $T_{zz}$  (resp.  $T_{\bar{z}\bar{z}}$ ) dans les fonctions de Green, en métrique localement plate et en champ de jauge (localement) nul. En fait, le tenseur d'énergie-impulsion n'est pas indépendant des courants. Ainsi, on verra plus tard que  $T$  et  $\bar{T}$  peuvent être obtenus grâce à la **construction de Sugawara** [138]

$$T(z) \equiv \frac{2}{k+g^\vee} \lim_{w \rightarrow z} \left( \text{tr } J(w) J(z) - \frac{k \dim G}{4(w-z)^2} \right), \quad (20.a)$$

$$\bar{T}(\bar{z}) \equiv \frac{2}{k+g^\vee} \lim_{\bar{w} \rightarrow \bar{z}} \left( \text{tr } \bar{J}(\bar{w}) \bar{J}(\bar{z}) - \frac{k \dim G}{4(\bar{w}-\bar{z})^2} \right). \quad (20.b)$$

On peut interpréter ce résultat comme le versant quantique de l'égalité classique  $T_{zz}|^{\text{class.}} = \frac{2}{k} \text{tr} (J_z|^{\text{class.}})^2$  et idem avec  $\bar{z}$ . Au niveau classique, on définit et on calcule :

$$\begin{aligned} J_z|^{\text{class.}} &\equiv \frac{\pi k \delta}{\delta A_z} S(g, A) = -\frac{k}{2} (\partial_z g + [A_z, g]) g^{-1}, \\ J_{\bar{z}}|^{\text{class.}} &\equiv \frac{\pi k \delta}{\delta A_{\bar{z}}} S(g, A) = \frac{k}{2} g^{-1} (\partial_{\bar{z}} g + [A_{\bar{z}}, g]), \\ T_{\mu\nu}|^{\text{class.}} &\equiv -\frac{4\pi k \delta}{\delta \gamma^{\mu\nu}} S(g, A), \\ T_{zz}|^{\text{class.}} &= \frac{k}{2} \sqrt{\gamma} \text{tr} (g^{-1} (\partial_z g + [A_z, g]))^2, \\ T_{\bar{z}\bar{z}}|^{\text{class.}} &= \frac{k}{2} \sqrt{\gamma} \text{tr} (g^{-1} (\partial_{\bar{z}} g + [A_{\bar{z}}, g]))^2, \\ T_{z\bar{z}} &= 0 = T_{\bar{z}z}. \end{aligned}$$

---

\*L'action de WZNW définie sur la surface conjuguée à  $\Sigma$  est

$$k S_{\bar{\Sigma}}(g) = -\frac{ik}{4\pi} \int_\Sigma \text{tr} (g^{-1} \partial g) (g^{-1} \bar{\partial} g) + \frac{ik}{12\pi} \int_B \text{tr} (\tilde{g}^{-1} d\tilde{g})^3 \pmod{2\pi i}.$$

La partie sigma ne voit pas de différence entre  $\Sigma$  et  $\bar{\Sigma}$  car l'échange  $z \leftrightarrow \bar{z}$  est compensé par le changement d'orientation entre  $\Sigma$  et  $\bar{\Sigma}$ .



En métrique localement plate, on a  $\sqrt{\gamma} = 1$ , d'où le résultat. Au niveau classique, la construction de Sugawara reste vraie en champ de jauge non-nul.

L'introduction du tenseur d'énergie-impulsion permet d'expliciter deux termes supplémentaires dans le développement à courtes distances (16.a) restreint à  $a = b$  et sommé sur  $a$ ,

$$J^a(z)J^a(w) = \frac{k \dim G}{2(z-w)^2} + (k + g^\vee)T(w) + \frac{k+g^\vee}{2}(z-w)\partial_w T(w) + \dots \quad (21)$$

où les termes restants sont analytiques en  $z$  et  $w$ . La démonstration repose sur la symétrie en  $z$  et  $w$ . En effet, si on reprend ce développement en échangeant  $z$  et  $w$ , on doit trouver le même résultat. Déjà, le terme constant est trivialement donné par la construction de Sugawara. On a donc  $J^a(z)J^a(w) = \frac{k \dim G}{2(z-w)^2} + (k + g^\vee)T(w) + (z-w)\mathcal{F}(w) + \dots$ , où  $\mathcal{F}$  est une fonction analytique. La différence entre cette équation et sa symétrisée donne :  $0 = (k + g^\vee)(T(w) - T(z)) + (z-w)(\mathcal{F}(z) + \mathcal{F}(w)) + \dots$ . On conclut facilement après avoir développé  $T(w)$  et  $\mathcal{F}(w)$  autour de  $z$ .

#### 4.7. Développements à courtes distances II

On peut déduire les développements à courtes distances faisant intervenir le tenseur énergie-impulsion à partir des propriétés conformes des fonctions de Green, néanmoins, on va plutôt partir de la construction de Sugawara. Avant, fixons quelques termes propres au jargon conforme [21].

Une **transformation conforme locale** dans l'espace muni d'une métrique riemannienne ou pseudo-riemannienne est un changement de coordonnées locales qui ne change pas la classe conforme de la métrique. Une telle transformation conserve les angles. La particularité de la dimension 2 est que toute transformation analytique locale du plan complexe muni de la métrique  $|dz|^2$  est conforme. L'inverse est aussi vrai pour les transformations qui préservent l'orientation. Si on compactifie le plan passant au  $\mathbb{C}P^1$ , les seules transformations conformes globales qui préservent l'orientation sont les transformations projectives  $z \mapsto \frac{az+b}{cz+d}$  de  $\mathbb{C}P^1$ . Ces dernières forment le **groupe conforme global** (ou projectif), noté  $\text{PSL}_2 = \text{SL}_2/\mathbb{Z}_2$ .

Reprenons l'étude pour une surface de Riemann compacte. On dit qu'un champ  $\varphi(z, \bar{z})$  est **primaire**, de poids conforme  $(\Delta, \bar{\Delta})$ , si toute transformation conforme locale laisse invariante la forme  $\varphi(z, \bar{z}) dz^\Delta d\bar{z}^{\bar{\Delta}}$ . Les quantités  $\Delta$  et  $\bar{\Delta}$  sont réelles et indépendantes. La différence  $s \equiv \Delta - \bar{\Delta}$  représente le **spin** du champ ; on suppose que  $s$  est entier ou demi-entier. La somme  $d \equiv \Delta + \bar{\Delta}$  est la **dimension** du champ. Géométriquement, on peut voir un champ primaire comme une section de  $K^\Delta \otimes \bar{K}^{\bar{\Delta}}$  ou de  $K^s$ , où  $K$  est le fibré canonique, c.-à-d. le fibré cotangent holomorphe, au-dessus de  $\Sigma$ . En effet, grâce à la métrique riemannienne  $\gamma$ , on peut identifier le fibré cotangent anti-holomorphe  $\bar{K}$  avec le fibré en droite dual  $K^{-1}$ . Un champ **quasi-primaire** est un champ qui ne possède la propriété précédente que pour les changements de coordonnées appartenant à  $\text{PSL}_2$ . Enfin, un champ **secondaire** (ou **descendant**) est un champ qui n'est ni primaire, ni quasi-primaire. Pour ce qui nous intéresse ici, les champs  $g(\xi_\ell)_{R_\ell}$  sont des champs primaires de poids conforme  $(\Delta_\ell, \Delta_\ell)$ . On en reporte la démonstration au chapitre 4. Néanmoins, remarquons déjà que l'équation (19) indique que

—  $g(\xi_\ell)_{R_\ell}$  est un champ primaire de poids  $(\Delta_\ell, \Delta_\ell)$ . En effet, si on fixe des coordonnées locales  $(z_\ell, \bar{z}_\ell)$  au point  $\xi_\ell$ , on a

$$\langle g(z'_\ell, \bar{z}'_\ell)_{R_\ell} \rangle_A = \langle g(z_\ell, \bar{z}_\ell)_{R_\ell} \rangle_{A, |dz'_\ell/dz_\ell|^2 dz_\ell d\bar{z}_\ell} = \left| \frac{dz'_\ell}{dz_\ell} \right|^{-2\Delta_\ell} \langle g(z_\ell, \bar{z}_\ell)_{R_\ell} \rangle_A$$

dans un changement de coordonnées locales  $z_\ell \rightarrow z'_\ell$  ;

— les courants  $J^a(z)$  et  $\bar{J}^a(\bar{z})$  sont des champs primaires de poids conformes respectifs  $(1, 0)$  et  $(0, 1)$ . Cette assertion signifie juste que  $J^a(z) dz$  (resp.  $\bar{J}^a(\bar{z}) d\bar{z}$ ) est une  $(1, 0)$ -forme (resp.  $(0, 1)$ -forme). Ceci provient de la définition même des courants ;

— les tenseurs  $T(z)$  et  $\bar{T}(\bar{z})$  sont des champs quasi-primaires de poids conformes respectifs  $(2, 0)$  et  $(0, 2)$ . Si on effectue un changement de coordonnées dans la construction de Sugawara, on obtient facilement que

$$\begin{aligned} T(z') dz'^2 &= T(z) dz^2 - \frac{c}{12} \{z'; z\} dz^2 \\ \bar{T}(\bar{z}') d\bar{z}'^2 &= \bar{T}(\bar{z}) d\bar{z}^2 - \frac{c}{12} \{\bar{z}'; \bar{z}\} d\bar{z}^2 \end{aligned}$$

où

$$\{z'; z\} \equiv \frac{d^3 z' / dz^3}{dz' / dz} - \frac{3}{2} \left( \frac{d^2 z' / dz^2}{dz' / dz} \right)^2$$

est la *dérivée de Schwarz* d'un changement de variable. La dérivée de Schwarz est nulle si, et seulement si, le changement de coordonnées appartient à  $\text{PSL}_2$ . La loi de transformation du tenseur d'énergie-impulsion définit une *connexion projective* sur la surface  $\Sigma$ . Géométriquement, la donnée d'une connexion projective est équivalente à la donnée d'une structure projective sur la surface spécifiée par un atlas des coordonnées qui s'accordent modulo transformations projectives [141].

On consacre la fin de cette section à démontrer les développements à courtes distances faisant intervenir le tenseur d'énergie-impulsion. Le procédé utilise la construction de Sugawara et les développements à courtes distances obtenus pour les courants. Il n'est pas inutile de dire qu'il est possible d'obtenir tous les développements qui suivent uniquement à partir des propriétés conformes de la théorie [58]. Les démonstrations n'en sont que plus claires. En fait, la méthode choisie ici ne permet pas de trouver le développement (26). Pour cela il faudrait d'abord généraliser la construction de Sugawara en champ de jauge non-nul. C'est possible mais un peu inutile puisqu'on peut démontrer le développement directement.

$$T(z) g(\xi_\ell)_{R_\ell} = \frac{\Delta_\ell}{(z-z_\ell)^2} g(\xi_\ell)_{R_\ell} + \frac{1}{z-z_\ell} \partial_{z_\ell} g(\xi_\ell)_{R_\ell} + \dots, \quad (22.a)$$

$$\bar{T}(\bar{z}) g(\xi_\ell)_{R_\ell} = \frac{\Delta_\ell}{(\bar{z}-\bar{z}_\ell)^2} g(\xi_\ell)_{R_\ell} + \frac{1}{\bar{z}-\bar{z}_\ell} \partial_{\bar{z}_\ell} g(\xi_\ell)_{R_\ell} + \dots, \quad (22.b)$$

$$T(z) J^a(w) = \frac{1}{(z-w)^2} J^a(w) + \frac{1}{z-w} \partial_w J^a(w) + \dots, \quad (23.a)$$

$$\bar{T}(\bar{z}) \bar{J}^a(w) = \frac{1}{(\bar{z}-\bar{w})^2} \bar{J}^a(\bar{w}) + \frac{1}{\bar{z}-\bar{w}} \partial_{\bar{w}} \bar{J}^a(\bar{w}) + \dots, \quad (23.b)$$

$$T(z) \bar{J}^a(w) = \dots, \quad (24.a)$$

$$\bar{T}(\bar{z}) J^a(w) = \dots, \quad (24.b)$$

$$T(z) T(w) = \frac{c/2}{(z-w)^4} + \frac{2}{(z-w)^2} T(w) + \frac{1}{z-w} \partial_w T(w) + \dots, \quad (25.a)$$

$$\bar{T}(\bar{z}) \bar{T}(\bar{w}) = \frac{c/2}{(\bar{z}-\bar{w})^4} + \frac{2}{(\bar{z}-\bar{w})^2} \bar{T}(\bar{w}) + \frac{1}{\bar{z}-\bar{w}} \partial_{\bar{w}} \bar{T}(\bar{w}) + \dots, \quad (25.b)$$

$$T(z) \bar{T}(\bar{w}) = -\frac{\pi c}{12} \partial_z \partial_{\bar{z}} \delta^{(2)}(z-w) + \dots. \quad (26)$$

Pour connaître le comportement des fonctions de Green où on insère trois courants, on

commence par dériver l'équation (14) par rapport à  $A_{\bar{y}}^c$ ,

$$\begin{aligned}
 & \partial_{\bar{z}} \langle J_z^a J_w^b J_y^c \otimes g(\xi_\ell)_{R_\ell} \rangle_A - i\pi f^{ab\mu} \delta^{(2)}(z-w) \langle J_z^\mu J_y^c \otimes g(\xi_\ell)_{R_\ell} \rangle_A \\
 & \quad - i\pi f^{ac\mu} \delta^{(2)}(z-y) \langle J_z^\mu J_w^b \otimes g(\xi_\ell)_{R_\ell} \rangle_A + i f^{a\nu\mu} A_{\bar{z}}^\nu \langle J_z^\mu J_w^b J_y^c \otimes g(\xi_\ell)_{R_\ell} \rangle_A \\
 & = -\frac{k}{2} \pi \delta^{ab} \partial_z \delta^{(2)}(z-w) \langle J_y^c \otimes g(\xi_\ell)_{R_\ell} \rangle_A - \frac{k}{2} \pi \delta^{ac} \partial_z \delta^{(2)}(z-y) \langle J_w^b \otimes g(\xi_\ell)_{R_\ell} \rangle_A \\
 & \quad + \left( \frac{k}{2} \partial_z A_{\bar{z}}^a - \pi \sum_\ell \delta^{(2)}(z-z_\ell) t_\ell^a \right) \langle J_w^b J_y^c \otimes g(\xi_\ell)_{R_\ell} \rangle_A.
 \end{aligned} \tag{27}$$

Grâce aux distributions de Dirac, on remplace  $J_z^\mu$  par  $J_w^\mu$ , dans le seconde terme, et par  $J_y^\mu$ , dans le troisième. En champ de jauge nul, on intègre cette équation par rapport à  $\bar{z}$

$$\begin{aligned}
 \langle J_z^a J_w^b J_y^c \otimes g(\xi_\ell)_{R_\ell} \rangle & = \frac{k \delta^{ab}/2}{(z-w)^2} \langle J_y^c \otimes g(\xi_\ell)_{R_\ell} \rangle + \frac{k \delta^{ac}/2}{(z-y)^2} \langle J_w^b \otimes g(\xi_\ell)_{R_\ell} \rangle \\
 & \quad + \frac{i f^{ab\mu}}{z-w} \langle J_w^\mu J_y^c \otimes g(\xi_\ell)_{R_\ell} \rangle + \frac{i f^{ac\mu}}{z-y} \langle J_y^\mu J_w^b \otimes g(\xi_\ell)_{R_\ell} \rangle \\
 & \quad - \sum_\ell \frac{t_\ell^a}{z-z_\ell} \langle J_w^b J_y^c \otimes g(\xi_\ell)_{R_\ell} \rangle + \dots,
 \end{aligned} \tag{28}$$

à des termes analytiques près en  $z$  autour de  $w$ ,  $y$  et  $z_\ell$ . Le comportement en  $z_\ell$  ne nous intéresse pas, on ne tient pas compte des termes en  $1/(z-z_\ell)$ . Par contre, on a aussi besoin du comportement des fonctions de Green par rapport à  $w$  et  $y$ . On peut aussi calculer les dérivées partielles par rapport à  $\bar{w}$  et  $\bar{y}$ . On connaît donc le comportement des fonctions  $J^a(z) J^b(w) J^c(y)$  par rapport à  $z$ ,  $y$  et  $w$ . Néanmoins, on ne peut pas directement «symétriser» l'équation (28). Pour le moment, on peut juste dire qu'il existe deux fonctions  $\varrho^{abc}$  et  $\chi^{abc}$ , ne dépendant pas de  $w$ , telles que

$$\begin{aligned}
 J^a(z) J^b(w) J^c(y) & = \frac{k \delta^{ab}/2}{(z-w)^2} J^c(y) + \frac{k \delta^{ac}/2}{(z-y)^2} J^b(w) + \frac{1}{(w-y)^2} \varrho^{abc}(z, y) \\
 & \quad + \frac{i f^{ab\mu}}{z-w} J^\mu(w) J^c(y) + \frac{i f^{ac\mu}}{z-y} J^\mu(y) J^b(w) + \frac{1}{w-y} \chi^{abc}(z, y) + \dots,
 \end{aligned} \tag{29}$$

à des termes analytiques près en  $z$ ,  $w$  et  $y$ , différents des  $z_\ell$ . On commence par calculer la limite, quand  $w$  tend vers  $y$ , de  $(w-y)^2 J^a(z) J^b(w) J^c(y)$  d'une part grâce à l'équation (29), d'autre part grâce à l'égalité analogue à l'équation (28) et donnant le comportement vis à vis de  $w$ . Si on compare les résultats, on trouve  $\varrho^{abc}$ . Pour déterminer  $\chi^{abc}$ , on procède de la même manière, mais avec  $\lim_{w \rightarrow y} (w-y) (J^a(z) J^b(w) J^c(y) - \frac{1}{(w-y)^2} \varrho^{abc}(z, y))$ . Finalement,

$$\begin{aligned}
 J^a(z) J^b(w) J^c(y) & = \frac{k \delta^{ab}/2}{(z-w)^2} J^c(y) + \frac{k \delta^{ac}/2}{(z-y)^2} J^b(w) + \frac{k \delta^{bc}/2}{(w-y)^2} J^a(z) \\
 & \quad + \frac{i f^{ab\mu}}{z-w} J^\mu(w) J^c(y) + \frac{i f^{ac\mu}}{z-y} J^\mu(y) J^b(w) + \frac{i f^{bc\mu}}{w-y} J^\mu(y) J^a(z) \\
 & \quad - \frac{ik f^{abc}/2}{(w-y)(z-y)^2} + \frac{f^{bc\mu} f^{a\mu\nu}}{(w-y)(z-y)} J^\nu(y) + \dots,
 \end{aligned} \tag{30}$$

à des termes analytiques près en  $z$ ,  $w$ ,  $y$  différents des  $z_\ell$ . À première vue, cette équation n'est pas symétrique en  $z$ ,  $w$  et  $y$ . En fait, cette symétrie est cachée. Par exemple, si on échange les rôles tenus par  $(a, z)$  et  $(b, w)$ , on vérifie aisément que la différence entre le résultat obtenu et l'équation (30) est analytique dans les trois variables. Au départ, pour symétriser

l'équation (28), on devait rajouter des termes analytiques en  $z$  exhibant le pôle d'ordre 2 en  $w = y$ . Quand on regarde de plus près l'équation (30), on constate qu'on a justement rajouté les termes «évidents» provenant du troisième pôle, mais sans les termes singuliers en  $z$ . En  $b = c$ , on obtient

$$\begin{aligned} J^a(z) \left( J^b(w) J^b(y) - \frac{k \dim G}{2(w-y)^2} \right) &= \frac{k/2}{(z-w)^2} J^a(y) + \frac{k/2}{(z-y)^2} J^a(w) \\ &+ \frac{if^{ab\mu}}{z-w} J^\mu(w) J^b(y) + \frac{if^{ab\mu}}{z-y} J^\mu(y) J^b(w) + \dots \end{aligned}$$

Si on utilise les propriétés de symétrie des constantes de structure de l'algèbre de Lie, on constate qu'il n'y a réellement qu'une fonction à deux points, soit  $J^b(y) J^c(w)$ , pondérée par

$$if^{abc} \left( \frac{1}{z-w} - \frac{1}{z-y} \right) = -if^{abc} \frac{1}{z-w} \left( \frac{y-w}{z-w} + \dots \right).$$

Ensuite, on introduit le développement (16.a) et on prend la limite quand  $y \rightarrow w$

$$(k + g^\vee) J^a(z) T(w) = \frac{f^{abc} f^{bcd}}{(z-w)^2} J^d(w) + \frac{k}{(z-w)^2} J^a(w) + \dots$$

Or  $f^{abc} f^{bcd} = g^\vee \delta^{ad}$ , donc  $J^a(z) T(w) = \frac{1}{(z-w)^2} J^a(w) + \dots$ . Cette équation exprime le comportement de  $J^a(z) T(w)$  quand  $z$  tend vers  $w$ ; nous, c'est l'inverse qui nous intéresse. Pour conclure, il suffit de remplacer  $J^a(w)$  par  $J^a(z) + (w-z) \partial_z J^a(z) + \dots$ . Démontrer le développement (23.b) ne suscite aucune difficulté supplémentaire; quant aux équations (24.a-b), elles suivent des égalités

$$J^a(z) J^b(w) \bar{J}^c(\bar{y}) = \frac{if^{ab\mu}}{z-w} J^\mu(w) \bar{J}^c(\bar{y}) + \frac{k \delta^{ab}/2}{(z-w)^2} \bar{J}^c(\bar{y}) + \dots, \quad (31.a)$$

$$\bar{J}^a(\bar{z}) \bar{J}^b(\bar{w}) J^c(y) = \frac{if^{ab\mu}}{\bar{z}-\bar{w}} \bar{J}^\mu(\bar{w}) J^c(y) + \frac{k \delta^{ab}/2}{(\bar{z}-\bar{w})^2} J^c(y) + \dots, \quad (31.b)$$

où les termes résiduels, dans l'équation (31.a) (resp. (31.b)), sont analytiques en  $z$ ,  $w$  et  $\bar{y}$  (resp.  $\bar{z}$ ,  $\bar{w}$  et  $y$ ), loin des points  $\xi_\ell$ .

Lorsqu'on désire insérer deux tenseurs d'énergie-impulsion, comme dans les équations (25.a-b), on doit d'abord dériver l'équation (27) par rapport à  $A_{\bar{v}}^d$ ,

$$\begin{aligned} \partial_{\bar{z}} \langle J_z^a J_w^b J_y^c J_v^d \otimes_\ell g(\xi_\ell)_{R_\ell} \rangle_A - i\pi f^{ab\mu} \delta^{(2)}(z-w) \langle J_z^\mu J_y^c J_v^d \otimes_\ell g(\xi_\ell)_{R_\ell} \rangle_A \\ - i\pi f^{ac\mu} \delta^{(2)}(z-y) \langle J_z^\mu J_w^b J_v^d \otimes_\ell g(\xi_\ell)_{R_\ell} \rangle_A - i\pi f^{ad\mu} \delta^{(2)}(z-v) \langle J_z^\mu J_w^b J_y^c \otimes_\ell g(\xi_\ell)_{R_\ell} \rangle_A \\ + i f^{a\nu\mu} A_{\bar{z}}^\nu \langle J_z^\beta J_w^b J_y^c J_v^d \otimes_\ell g(\xi_\ell)_{R_\ell} \rangle_A = -\frac{k}{2} \pi \delta^{ab} \partial_z \delta^{(2)}(z-w) \langle J_y^c J_v^d \otimes_\ell g(\xi_\ell)_{R_\ell} \rangle_A \\ - \frac{k}{2} \pi \delta^{ac} \partial_z \delta^{(2)}(z-y) \langle J_w^b J_v^d \otimes_\ell g(\xi_\ell)_{R_\ell} \rangle_A - \frac{k}{2} \pi \delta^{ad} \partial_z \delta^{(2)}(z-v) \langle J_w^b J_y^c \otimes_\ell g(\xi_\ell)_{R_\ell} \rangle_A \\ + \left( \frac{k}{2} \partial_z A_{\bar{z}}^a - \pi \sum_\ell \delta^{(2)}(z-z_\ell) t_\ell^a \right) \langle J_w^b J_y^c J_v^d \otimes_\ell g(\xi_\ell)_{R_\ell} \rangle_A. \end{aligned}$$

Comme précédemment, on intègre cette équation, en champ de jauge nul, par rapport à  $\bar{z}$ ,

$$\begin{aligned} J^a(z) J^b(w) J^c(y) J^d(v) &= \frac{k \delta^{ab}/2}{(z-w)^2} J^c(y) J^d(v) + \frac{k \delta^{ac}/2}{(z-y)^2} J^b(w) J^d(v) + \frac{k \delta^{ad}/2}{(z-v)^2} J^b(w) J^c(y) \\ &+ \frac{if^{ab\mu}}{z-w} J^\mu(w) J^c(y) J^d(v) + \frac{if^{ac\mu}}{z-y} J^\mu(y) J^b(w) J^d(v) + \frac{if^{ad\mu}}{z-v} J^\mu(v) J^b(w) J^c(y) + \dots, \end{aligned}$$

à des termes analytiques près en  $z$  autour de  $w$ ,  $y$  et  $v$  et loin des points  $\xi_\ell$ . Un calcul similaire à celui qui nous conduisait vers l'équation (30) — mais beaucoup plus long — permet d'explicitier complètement le comportement de  $J^a(z) J^b(w) J^c(y) J^d(v)$  par rapport à  $z$ ,  $w$ ,  $y$  et  $v$  :

$$\begin{aligned}
 J^a(z) J^b(w) J^c(y) J^d(v) &= \frac{k \delta^{ab}/2}{(z-w)^2} J^c(y) J^d(v) + \frac{k \delta^{ac}/2}{(z-y)^2} J^b(w) J^d(v) + \frac{k \delta^{ad}/2}{(z-v)^2} J^b(w) J^c(y) \\
 &+ \frac{i f^{ab\mu}}{z-w} J^\mu(w) J^c(y) J^d(v) + \frac{i f^{ac\mu}}{z-y} J^\mu(y) J^b(w) J^d(v) + \frac{i f^{ad\mu}}{z-v} J^\mu(v) J^b(w) J^c(y) \\
 &+ \frac{1}{(w-y)^2} \varrho_1^{abcd}(z, y, v) + \frac{1}{(w-v)^2} \varrho_2^{abcd}(z, y, v) + \frac{1}{(y-v)^2} \varrho_3^{abcd}(z, w, v) \\
 &+ \frac{1}{w-y} \chi_1^{abcd}(z, y, v) + \frac{1}{w-v} \chi_2^{abcd}(z, y, v) + \frac{1}{y-v} \chi_3^{abcd}(z, w, v) + \dots
 \end{aligned} \tag{32}$$

à des termes analytiques près en  $z$ ,  $w$ ,  $y$  et  $v$ , différents des  $z_\ell$ . Les fonctions  $\varrho_\bullet^{abcd}$  et  $\chi_\bullet^{abcd}$  sont données par

$$\begin{aligned}
 \varrho_1^{abcd}(z, y, v) &= k \delta^{bc}/2 J^a(z) J^d(v) - \frac{ik \delta^{bc} f^{ad\mu}/2}{z-v} J^\mu(v) - \frac{k^2 \delta^{ad} \delta^{bc}/4}{(z-v)^2}, \\
 \varrho_2^{abcd}(z, y, v) &= k \delta^{bd}/2 J^a(z) J^c(y) - \frac{ik \delta^{bd} f^{ac\mu}/2}{z-y} J^\mu(y) - \frac{k^2 \delta^{ac} \delta^{bd}/4}{(z-y)^2}, \\
 \varrho_3^{abcd}(z, w, v) &= k \delta^{cd}/2 J^b(w) J^a(z) - \frac{ik \delta^{cd} f^{ab\mu}/2}{z-w} J^\mu(w) - \frac{k^2 \delta^{ab} \delta^{cd}/4}{(z-w)^2}, \\
 \chi_1^{abcd}(z, y, v) &= i f^{bc\mu} J^\mu(y) J^a(z) J^d(v) + \frac{f^{bc\mu} f^{a\mu\nu}}{z-y} J^\nu(y) J^d(v) + \frac{f^{ad\mu} f^{bc\nu}}{z-v} J^\nu(y) J^\mu(v) \\
 &\quad - \frac{ik f^{abc}/2}{(z-y)^2} J^d(v) - \frac{ik \delta^{ad} f^{bc\mu}/2}{(z-v)^2} J^\mu(y), \\
 \chi_2^{abcd}(z, y, v) &= i f^{bd\mu} J^\mu(v) J^a(z) J^c(y) + \frac{f^{bd\mu} f^{a\mu\nu}}{z-v} J^\nu(v) J^c(y) + \frac{f^{ac\mu} f^{bd\nu}}{z-y} J^\nu(v) J^\mu(y) \\
 &\quad - \frac{ik f^{abd}/2}{(z-v)^2} J^c(y) - \frac{ik \delta^{ac} f^{bd\mu}/2}{(z-y)^2} J^\mu(v), \\
 \chi_3^{abcd}(z, w, v) &= i f^{cd\mu} J^\mu(v) J^b(w) J^a(z) + \frac{f^{cd\mu} f^{a\mu\nu}}{z-v} J^\nu(v) J^b(w) + \frac{f^{ab\mu} f^{cd\nu}}{z-w} J^\nu(v) J^\mu(w) \\
 &\quad - \frac{ik f^{acd}/2}{(z-v)^2} J^b(w) - \frac{ik \delta^{ac} f^{cd\mu}/2}{(z-w)^2} J^\mu(v).
 \end{aligned}$$

Là encore, ce n'est pas la seule solution au problème posé. Comme pour les fonctions de Green à trois courants les autres solutions s'obtiennent en symétrisant l'équation (32). On vérifie alors que la différence entre deux solutions est analytique dans les quatres variables. Quand on reprend cette équation avec  $a = b$  et  $c = d$ , presque tous les termes disparaissent. On obtient alors l'équation (25.a) en faisant tendre  $y$  vers  $v$ , puis  $z$  vers  $w$ . Au passage, notons qu'on doit utiliser le développement à courtes distances (21). On procède de même pour arriver à l'équation (25.b).

#### 4.8. Équation de Knizhnik-Zamolodchikov

Momentanément, on suppose que  $\Sigma$  est la sphère de Riemann  $\mathbb{C}P^1$ . Lorsqu'on intègre l'équation (11), on obtient

$$\langle J_z^a \otimes_\ell g(\xi_\ell)_{R_\ell} \rangle = - \sum_\ell \frac{t_\ell^a}{z-z_\ell} \langle \otimes_\ell g(\xi_\ell)_{R_\ell} \rangle.$$

Par rapport à l'équation (12.a), il n'y a pas de termes résiduels parce que sur  $\mathbb{C}P^1$  il n'y a pas de  $(1,0)$ -forme globale holomorphe. De la même façon, si on reprend l'équation (15), avec  $b = a$  :

$$\langle T(z) \otimes_{\ell} g(\xi_{\ell})_{R_{\ell}} \rangle = \frac{1}{k+g^{\vee}} \sum_{\ell, m} \frac{t_{\ell}^a}{z-z_{\ell}} \frac{t_m^a}{z-z_m} \langle \otimes_{\ell} g(\xi_{\ell})_{R_{\ell}} \rangle \quad (33)$$

où on a directement pris la limite  $w \rightarrow z$ . D'après l'équation (22.a), le terme apparaissant à gauche dans l'équation précédente est analytique sauf aux points  $\xi_{\ell}$  où il présente un pôle d'ordre 2. Si on compare les coefficients devant  $\frac{1}{(z-z_{\ell})^2}$  et les résidus provenant des équations (22.a) et (33), on retrouve l'expression  $\Delta_{\ell} = C_{\ell}/(k+g^{\vee})$  et on obtient l'**équation de Knizhnik-Zamolodchikov** [99] :

$$\left( \partial_{z_{\ell}} - \frac{2}{k+g^{\vee}} \sum_{m \neq \ell} \frac{t_{\ell}^a t_m^a}{z_{\ell} - z_m} \right) \langle \otimes_{\ell} g(\xi_{\ell})_{R_{\ell}} \rangle = 0. \quad (34)$$

On associe à ce système différentiel la connexion

$$\nabla \equiv d - \frac{2}{k+g^{\vee}} \sum_{\ell} H_{\ell}(\underline{\xi}) dz_{\ell},$$

où  $H_{\ell} \in \text{End}(V_{\underline{\lambda}})$  est le **Hamiltonien de Gaudin**

$$H_{\ell}(\underline{\xi}) = \sum_{m \neq \ell} \frac{t_{\ell}^a t_m^a}{z_{\ell} - z_m},$$

sur le fibré trivial  $Y_N \times V_{\underline{\lambda}}$  au-dessus de  $Y_N$ , l'ensemble des séquences  $\underline{\xi}$  de points deux à deux différents dans le plan complexe. Comme les Hamiltoniens de Gaudin commutent pour des  $\ell$  différents, la connexion  $\nabla$  est plate. Son holonomie définit une représentation du groupe  $P_N$  des tresses pures, *i.e.* le groupe fondamental de  $Y_N$ , dans l'espace  $V_{\underline{\lambda}}$  [95]. Au chapitre 4, on construit une équation différentielle analogue pour  $\Sigma$  de genre quelconque.

## §5. D'Euclide à Hilbert

Pour le moment, nous avons focalisé notre attention sur le formalisme euclidien. On explore maintenant un point de vue plus «traditionnel» de la théorie des champs, car plus proche du formalisme originel de la mécanique quantique. Dans ce formalisme, dit opératoire, les fondations de la théorie reposent sur trois entités

- l'espace de Hilbert des états ;
- une représentation du groupe de symétrie ;
- une certaine famille d'opérateurs.

En théorie des champs, on sait qu'il est possible de jongler entre ces deux approches. Dans cette section, on extrait concrètement le formalisme opératoire du formalisme euclidien. Notre discussion repose sur une condition physique (dite d'**Osterwalder-Schrader** [121, 122]) de positivité sur les fonctions de Green sur la sphère de Riemann  $\mathbb{C}P^1$ . On calque la présentation de [58], mais adaptée au modèle de WZNW.

### 5.1. Condition physique de positivité

Dans cette section,  $\Sigma$  est la sphère de Riemann  $\mathbb{C}P^1$ . Soit  $\vartheta : \mathbb{C}P^1 \ni z \mapsto \bar{z}^{-1} \in \mathbb{C}P^1$ . Cette application envoie  $D$  sur son complémentaire  $D'$  dans  $\mathbb{C}P^1$  (et vice versa) et laisse le cercle  $S^1$  globalement invariant. Soit  $\gamma_D$  une métrique riemannienne sur  $D$  compatible avec la structure complexe, de la forme  $|z|^{-2}|dz|^2$  au voisinage de  $\partial D = S^1$  — on dira qu'une telle métrique est plate le long du bord. On « colle » (régulièrement) la métrique  $\vartheta^*\gamma_D$  sur  $D'$  et la métrique  $\gamma_D$  pour obtenir une métrique régulière  $\vartheta^*\gamma_D \# \gamma_D$  sur  $\mathbb{C}P^1$ . Définissons l'opération  $\Theta$  de *réflexion en temps* sur les champs (quasi-)primaires  $\varphi$  de poids conformes  $(\Delta, \bar{\Delta})$  : soit  $z \in D$ , on pose

$$\Theta\varphi(z, \bar{z}) \equiv (-\bar{z}^{-2})^\Delta (-z^{-2})^{\bar{\Delta}} \varphi^{\text{PCT}}(\bar{z}^{-1}, z^{-1}).$$

Le champ  $\varphi^{\text{PCT}}$  est le champ obtenu par transformation PCT à partir de  $\varphi$  :

$$\overline{\langle \varphi(z, \bar{z}) \dots \rangle_{\mathbb{C}P^1}} = \langle \varphi^{\text{PCT}}(\bar{z}, z) \dots \rangle_{\overline{\mathbb{C}P^1}}.$$

Pour l'ensemble des champs (quasi-)primaires mis en évidence dans la section précédente, on a vu que

$$\begin{aligned} J^a(z) &\xrightarrow{\text{PCT}} -J^a(z), & \bar{J}^a(\bar{z}) &\xrightarrow{\text{PCT}} -\bar{J}^a(\bar{z}), \\ T(z) &\xrightarrow{\text{PCT}} T(z), & \bar{T}(\bar{z}) &\xrightarrow{\text{PCT}} \bar{T}(\bar{z}), \\ g(z, \bar{z})_R &\xrightarrow{\text{PCT}} g(z, \bar{z})_{\bar{R}} \end{aligned}$$

Notons que le champ  $\varphi^{\text{PCT}}$  est de même nature que le champ original  $\varphi$ , *i.e.* il est également (quasi-)primaire de poids conformes  $(\Delta, \bar{\Delta})$  mais pour  $\overline{\mathbb{C}P^1}$ . On a donc :

$$\begin{aligned} \Theta J^a(z) &= \bar{z}^{-2} J^a(\bar{z}^{-1}), & \Theta \bar{J}^a(\bar{z}) &= z^{-2} \bar{J}^a(z^{-1}), \\ \Theta T(z) &= \bar{z}^{-4} T(\bar{z}^{-1}), & \Theta \bar{T}(\bar{z}) &= z^{-4} \bar{T}(z^{-1}), \\ \Theta g(z, \bar{z})_R &= |z|^{-4\Delta} g(\bar{z}^{-1}, z^{-1})_{\bar{R}} \end{aligned}$$

et  $\Theta$  agit sur les constantes par conjugaison complexe. Considérons la combinaison formelle (éventuellement vide)

$$X = \prod_k T(z_k) \prod_{\bar{k}} \bar{T}(\bar{z}_{\bar{k}}) \prod_j J^{a_j}(z_j) \prod_{\bar{j}} \bar{J}^{a_{\bar{j}}}(\bar{z}_{\bar{j}}) \prod_{\ell} \prod_{[\ell]} g(z_\ell, \bar{z}_\ell)_{R_\ell}^{[\ell]}. \quad (35)$$

On a noté par  $g(z_\ell, \bar{z}_\ell)_{R_\ell}^{[\ell]}$  un élément « matriciel ». Dans la suite, on utilise  $\vec{\ell}$  pour signifier le choix d'un  $\ell$  et d'un élément matriciel  $[\ell]$ . Par définition, le support de  $X$  est l'ensemble  $\text{Supp } X \equiv \{z_k, \bar{z}_{\bar{k}}, z_j, \bar{z}_{\bar{j}}, z_\ell\}$ . On exige que  $\text{Supp } X \subset D$ . On étend le domaine d'action de  $\Theta$  aux expressions  $X$  :

$$\Theta X = \prod_k \Theta T(z_k) \prod_{\bar{k}} \Theta \bar{T}(\bar{z}_{\bar{k}}) \prod_j \Theta J^{a_j}(z_j) \prod_{\bar{j}} \Theta \bar{J}^{a_{\bar{j}}}(\bar{z}_{\bar{j}}) \prod_{\vec{\ell}} \Theta g(z_\ell, \bar{z}_\ell)_{R_\ell}^{[\ell]}.$$

Soient  $\{\lambda_\alpha\}$  une famille de nombres complexes,  $\{\gamma_{D, \alpha}\}$  une famille de métriques sur  $D$  (plates le long du bord) et  $\{Y_\alpha\}$  une famille d'expressions uniquement composées à partir de champs primaires. La *condition physique de positivité* impose l'inégalité

$$\sum_{\alpha_1, \alpha_2} \bar{\lambda}_{\alpha_2} \lambda_{\alpha_1} Z_{\vartheta^*\gamma_{D, \alpha_2} \# \gamma_{D, \alpha_1}} \langle (\Theta Y_{\alpha_2}) Y_{\alpha_1} \rangle_{\vartheta^*\gamma_{D, \alpha_2} \# \gamma_{D, \alpha_1}} \geq 0.$$

En particulier,  $Z_{\theta^* \gamma_D \# \gamma_D} \geq 0$ . Par convention, la fonction de Green du produit vide vaut 1. Cette inégalité entraîne que, pour toute expression du type (35),

$$\sum_{\alpha_1, \alpha_2} \bar{\lambda}_{\alpha_2} \lambda_{\alpha_1} \langle (\Theta X_{\alpha_2}) X_{\alpha_1} \rangle \geq 0$$

où les fonctions de Green sont prises en champ de jauge localement nul et en métrique localement plate. Une fois cette condition assurée sur les fonctions de Green, la quantité

$$\sum_{\beta, \alpha} \bar{\lambda}'_{\beta} \lambda_{\alpha} \langle (\Theta X'_{\beta}) X_{\alpha} \rangle$$

définit une forme hermitienne sur l'espace vectoriel  $V_D$  engendré par les expressions du type (35) avec  $\text{Supp } X \subset D$ . L'hermiticité de la forme, c.-à-d.  $\langle (\Theta X') X \rangle = \langle (\Theta X) X' \rangle$ , est une conséquence des propriétés conformes des fonctions de Green. Il suffit de montrer que  $\langle \overline{X} \rangle = \langle \Theta X \rangle$ . Par construction,

$$\langle \overline{\varphi(z, \bar{z}) \dots} \rangle_{\mathbb{C}P^1} = \langle \varphi^{\text{PCT}}(\bar{z}, z) \dots \rangle_{\overline{\mathbb{C}P^1}}.$$

On effectue le changement de coordonnées  $\overline{\mathbb{C}P^1} \ni (z, \bar{z}) \mapsto (w, \bar{w}) = (\frac{1}{\bar{z}}, \frac{1}{z}) \in \mathbb{C}P^1$ . À gauche, la coordonnée  $\bar{z}$  est la coordonnée analytique, par conséquent  $\varphi$  est un changement de coordonnées analytiques. On sait alors que

$$\begin{aligned} \langle \varphi^{\text{PCT}}(\bar{z}, z) \dots \rangle_{\overline{\mathbb{C}P^1}} &= \langle \left(\frac{dw}{d\bar{z}}\right)^{\Delta} \left(\frac{d\bar{w}}{dz}\right)^{\bar{\Delta}} \varphi^{\text{PCT}}(w, \bar{w}) \dots \rangle_{\mathbb{C}P^1} \\ &= \langle (-\bar{z}^{-2})^{\Delta} (-z^{-2})^{\bar{\Delta}} \varphi^{\text{PCT}}(\bar{z}^{-1}, z^{-1}) \dots \rangle_{\mathbb{C}P^1}, \end{aligned}$$

ce qu'il fallait démontrer.

Soit

$$\mathbf{H} \equiv \overline{V_D / V_D^{\text{nul}}}$$

la complétion de l'espace  $V_D$ , muni de la semi-norme provenant de la forme hermitienne positive définie ci-dessus. Par construction,  $V_D^{\text{nul}}$  est l'ensemble des vecteurs de  $V_D$  qui annulent la semi-norme. On note  $\iota$  l'injection canonique qui envoie  $V_D$  dans  $\mathbf{H}$ . On montre [104] que l'image de  $V_D$  par  $\iota$ , notée  $\mathbf{H}_0$ , est dense dans  $\mathbf{H}$ . Le produit scalaire sur  $\mathbf{H}$  est simplement

$$(\iota(X'), \iota(X)) = \langle (\Theta X') X \rangle.$$

On convient de noter  $\Omega$  le *vecteur vide*, image du produit vide par  $\iota$ . L'espace  $\mathbf{H}$  est muni d'une *involution anti-unitaire* (\*), notée  $\mathcal{I}$ , qui envoie un vecteur  $\iota(X)$  sur le vecteur  $\overline{\iota(X)}$ , image par  $\iota$  de

$$\overline{X} \equiv \prod_k T(\bar{z}_k) \prod_{\bar{k}} \bar{T}(z_{\bar{k}}) \prod_j J^{a_j}(\bar{z}_j) \prod_{\bar{j}} \bar{J}^{a_{\bar{j}}}(\bar{z}_{\bar{j}}) \prod_{\bar{\ell}} g(\bar{z}_{\bar{\ell}}, z_{\bar{\ell}})_{\bar{R}_{\bar{\ell}}}^{[\bar{\ell}]}$$

---

\* Une involution anti-unitaire est une involution anti-linéaire préservant le produit scalaire.



## 5.2. Opérateurs

Définissons une **opération de dilatation**  $S_q$  de paramètre  $q \in \mathbb{C}$ ,  $0 < |q| \leq 1$ , sur les champs (quasi-)primaires par  $S_q \varphi(z, \bar{z}) = q^\Delta \bar{q}^{\bar{\Delta}} \varphi(qz, \bar{q}\bar{z})$ . Par conséquent,

$$\begin{aligned} S_q T(z) &= q^2 T(qz), & S_q \bar{T}(\bar{z}) &= \bar{q}^2 \bar{T}(\bar{q}\bar{z}), \\ S_q J^a(z) &= q J^a(qz), & S_q \bar{J}^a(\bar{z}) &= \bar{q} \bar{J}^a(\bar{q}\bar{z}), \\ S_q g(z, \bar{z})_R &= |q|^{2\Delta} g(qz, \bar{q}\bar{z})_R. \end{aligned}$$

Comme pour  $\Theta$ , on étend l'action de  $S_q$  aux éléments de  $V_D$ ,

$$S_q X = \prod_k S_q T(z_k) \prod_{\bar{k}} S_q \bar{T}(\bar{z}_{\bar{k}}) \prod_j S_q J^{a_j}(z_j) \prod_{\bar{j}} S_q \bar{J}^{a_{\bar{j}}}(\bar{z}_{\bar{j}}) \prod_{\bar{\ell}} S_q g(z_{\ell}, \bar{z}_{\ell})_{R_{\ell}}^{[\ell]}.$$

À partir de  $S_q$ , on peut construire une opération de dilatation agissant dans  $\mathbf{H}$  :

$$\mathcal{S}_q \iota(X) \equiv \iota(S_q X).$$

L'opération est bien définie à condition que  $V_D^{\text{nul}}$  soit stable par  $\mathcal{S}_q$ . Comme la forme sur  $V_D$  est hermitienne,  $V_D^{\text{nul}}$  est l'ensemble des vecteurs  $X$  de  $V_D$  tels que  $\langle (\Theta Y) X \rangle = 0$ , pour tout  $Y \in V_D$ . Il suffit donc de vérifier l'égalité

$$\langle (\Theta X') S_q X \rangle = \langle (\Theta S_{\bar{q}} X') X \rangle. \quad (36)$$

Comme pour l'hermiticité de la forme, cette égalité est une conséquence des propriétés conformes des fonctions de Green. En effet, on a

$$\langle (\Theta S_{\bar{q}} \varphi) \varphi' \dots \rangle = \langle \left(\frac{-1}{\bar{q}z}\right)^\Delta \left(\frac{-1}{q\bar{z}}\right)^{\bar{\Delta}} \varphi^{\text{PCT}}\left(\frac{1}{\bar{q}\bar{z}}, \frac{1}{qz}\right) \varphi'(z, \bar{z}) \dots \rangle.$$

On effectue le changement de coordonnées analytique qui envoie  $(z, \bar{z})$  vers  $(qz, \bar{q}\bar{z})$  et on trouve exactement  $\langle (\Theta \varphi') S_q \varphi \dots \rangle$ . On fera attention que pour le premier champ, la coordonnée holomorphe est  $\frac{1}{\bar{q}\bar{z}}$  qui va donc vers  $q/(q\bar{z}) = \frac{1}{\bar{z}}$ . L'opérateur dilatation  $\mathcal{S}_q$  est donc bien défini de domaine  $\mathbf{H}_0$  dense invariant dans  $\mathbf{H}$ . En fait, on peut extraire plus d'information de l'équation (36). La famille  $\{\mathcal{S}_q\}$  forme un semi-groupe :  $\mathcal{S}_{q_1} \mathcal{S}_{q_2} = \mathcal{S}_{q_1 q_2}$ . Ensuite, après application itérative de l'inégalité de Schwarz et d'après la propriété de semi-groupe,

$$\begin{aligned} |(\iota(X'), \mathcal{S}_q \iota(X))| &\leq \|\iota(X')\| \|\mathcal{S}_q \iota(X)\| = \|\iota(X')\| (\iota(X), \mathcal{S}_{\bar{q}} \iota(X))^{1/2} \\ &\leq \dots \leq \|\iota(X')\| \|\iota(X)\|^{\frac{1}{2} + \dots + \frac{1}{2^{n-1}}} (\iota(X), \mathcal{S}_{(q\bar{q})^{2^{n-1}}} \iota(X))^{1/2^n}. \end{aligned} \quad (37)$$

Supposons que, pour tout  $\epsilon > 0$ , il existe une constante  $C_\epsilon$  telle que

$$|\langle (\Theta X') S_t X \rangle| \leq C_\epsilon t^{-\epsilon}$$

quand  $t \rightarrow 0$ . Cette propriété nous permet de majorer le terme de droite de l'inégalité (37). On prend alors la limite quand  $n$  tend vers l'infini ; on trouve

$$|(\iota(X'), \mathcal{S}_q \iota(X))| \leq \|\iota(X')\| \|\iota(X)\|.$$

Ainsi, le semi-groupe des dilatations contient uniquement des contractions de  $\mathbf{H}$ . Qui plus est, d'après l'équation (36),  $\mathcal{S}_q^\dagger = \mathcal{S}_{\bar{q}}$ . Enfin, les opérateurs  $\mathcal{S}_q$  sont faiblement continus sur  $\mathbf{H}$ , propriété assurée par la continuité faible sur  $\mathbf{H}_0$ . On sait alors que les éléments du semi-groupe  $\{\mathcal{S}_q\}$  possèdent la représentation suivante [129]

$$\mathcal{S}_q = q^{L_0} \bar{q}^{\bar{L}_0}$$

où  $L_0$  et  $\bar{L}_0$  sont des opérateurs auto-adjoints fortement commutants tels que  $L_0 + \bar{L}_0 \geq 0$ . En plus, leurs domaines respectifs contiennent  $\mathbf{H}_0$  où

$$L_0 \iota(X) = \partial_q |_{q=1} \mathcal{S}_q \iota(X), \quad \bar{L}_0 \iota(X) = \partial_{\bar{q}} |_{\bar{q}=1} \mathcal{S}_q \iota(X).$$

Notons que  $\mathcal{S}_q \mathbf{H}_0$  est dense dans  $\mathbf{H}$ , pour tout  $q$ .

Soit  $z \in \mathbb{C}$ ,  $0 < |z| < 1$  ; on extrait des champs de la théorie un ensemble d'opérateurs  $\mathcal{T}(z)$ ,  $\overline{\mathcal{T}}(\bar{z})$ ,  $\mathcal{J}^a(z)$ ,  $\overline{\mathcal{J}}^a(\bar{z})$  et  $\hat{g}(z, \bar{z})_R$  agissant dans l'espace  $\mathcal{S}_z \mathbf{H}_0$  dense dans  $\mathbf{H}$  :

$$\begin{aligned} \mathcal{T}(z) \iota(X) &\equiv \iota(T(z)X), & \overline{\mathcal{T}}(\bar{z}) \iota(X) &\equiv \iota(\bar{T}(\bar{z})X), \\ \mathcal{J}^a(z) \iota(X) &\equiv \iota(J^a(z)X), & \overline{\mathcal{J}}^a(\bar{z}) \iota(X) &\equiv \iota(\bar{J}^a(\bar{z})X), \\ \hat{g}(z, \bar{z})_R \iota(X) &\equiv \iota(g(z, \bar{z})_R X). \end{aligned}$$

Sauf indication contraire, on notera toujours les opérateurs par des lettres calligraphiques. En prenant  $\iota(X)$  dans  $\mathcal{S}_z \mathbf{H}_0$  — c.-à-d.  $\text{Supp } X \subset \{z' \mid |z'| < |z| < 1\}$ , on évite toute ambiguïté. En effet, ces opérateurs sont correctement définis s'ils laissent  $V_D^{\text{nul}}$  globalement invariant ; conséquence de l'équation (36). On conviendra que  $\mathcal{J}(z) \equiv \mathcal{J}^a(z) t^a$  et de même pour  $\overline{\mathcal{J}}(\bar{z})$ . Il suit de la définition précédente qu'un vecteur  $X \in V_D$ , donné par l'équation (35) où les points d'insertion sont tous de modules différents, vérifie

$$\mathcal{X} = R \left( \prod_k \mathcal{T}(z_k) \prod_{\bar{k}} \overline{\mathcal{T}}(\bar{z}_{\bar{k}}) \prod_j \mathcal{J}^{a_j}(z_j) \prod_{\bar{j}} \overline{\mathcal{J}}^{a_{\bar{j}}}(\bar{z}_{\bar{j}}) \prod_{\bar{\ell}} \hat{g}(z_{\ell}, \bar{z}_{\ell})_{R_{\ell}}^{[\ell]} \right) \Omega \quad (38)$$

où  $R$  réordonne les opérateurs de telle sorte qu'ils agissent dans l'ordre croissant en  $|z|$ . En physique, ce processus apparaît sous le nom de **quantification radiale**. Enfin, si on conjugue les opérateurs par l'involution  $\mathcal{I}$ , on a

$$\begin{aligned} \mathcal{I} \mathcal{T}(z) \mathcal{I} &= \overline{\mathcal{T}}(\bar{z}), & \mathcal{I} \overline{\mathcal{T}}(\bar{z}) \mathcal{I} &= \mathcal{T}(z), \\ \mathcal{I} \mathcal{J}^a(z) \mathcal{I} &= \overline{\mathcal{J}}^a(\bar{z}), & \mathcal{I} \overline{\mathcal{J}}^a(\bar{z}) \mathcal{I} &= \mathcal{J}^a(z), \\ \mathcal{I} \hat{g}(z, \bar{z})_R \mathcal{I} &= \hat{g}(\bar{z}, z)_{\bar{R}}. \end{aligned}$$

### 5.3. Unitarité

Développons en série de Laurent les opérateurs  $\mathcal{J}(z)$ ,  $\overline{\mathcal{J}}(\bar{z})$ ,  $\mathcal{T}(z)$  et  $\overline{\mathcal{T}}(\bar{z})$  :

$$\begin{aligned} \mathcal{J}(z) &= \sum_{n \in \mathbb{Z}} J_n z^{-n-1}, & \overline{\mathcal{J}}(\bar{z}) &= \sum_{n \in \mathbb{Z}} \bar{J}_n \bar{z}^{-n-1}, \\ \mathcal{T}(z) &= \sum_{n \in \mathbb{Z}} L_n z^{-n-2}, & \overline{\mathcal{T}}(\bar{z}) &= \sum_{n \in \mathbb{Z}} \bar{L}_n \bar{z}^{-n-2}, \end{aligned}$$

où les modes sont donnés par les intégrales

$$\begin{aligned} J_n &= \frac{1}{2\pi i} \oint_{|z|=r<1} dz z^n \mathcal{J}(z), & \bar{J}_n &= -\frac{1}{2\pi i} \oint_{|z|=r<1} d\bar{z} \bar{z}^n \overline{\mathcal{J}}(\bar{z}), \\ L_n &= \frac{1}{2\pi i} \oint_{|z|=r<1} dz z^{n+1} \mathcal{T}(z), & \bar{L}_n &= -\frac{1}{2\pi i} \oint_{|z|=r<1} d\bar{z} \bar{z}^{n+1} \overline{\mathcal{T}}(\bar{z}). \end{aligned}$$

On a vu que l'insertion des champs  $J(z)$ ,  $\bar{J}(\bar{z})$ ,  $T(z)$  et  $\bar{T}(\bar{z})$  produit des fonctions de Green analytiques sauf aux points d'insertion, où on obtient une singularité. La quantité  $(\iota(X'), L_n \iota(X))$  ne dépend donc pas du contour choisi, tant que ce dernier encercle les points d'insertion de  $\iota(X) \in \mathcal{S}_r \mathbf{H}_0$  — idem avec les autres modes. Ainsi, contrairement aux conventions adoptées jusque-là, les modes, bien que notés par des lettres droites, sont des opérateurs de domaine  $\mathbf{H}_0$  dense dans  $\mathbf{H}$ .

Soit  $\epsilon > 0$ , choisi pour que, dans les calculs suivants, les contours soient adaptés aux vecteurs  $\iota(X)$  et  $\iota(X')$  :

$$\begin{aligned} (\iota(X'), L_n \iota(X)) &= \frac{1}{2\pi i} \oint_{|z|=1-\epsilon} dz z^{n+1} \langle (\Theta X') T(z) X \rangle \\ &= \frac{1}{2\pi i} \oint_{|z|=1+\epsilon} dz z^{n-3} \langle \Theta(X' T(\frac{1}{z})) X \rangle \end{aligned}$$

où on a déformé le contour d'intégration, puis on a remplacé  $T(z)$ , pour  $|z| = 1 + \epsilon$ , par  $z^{-4} \Theta T(\frac{1}{z})$ . Il vient

$$\begin{aligned} (\iota(X'), L_n \iota(X)) &= \left( -\frac{1}{2\pi i} \oint_{|z|=1+\epsilon} d\bar{z} \bar{z}^{n-3} \mathcal{T}(\frac{1}{z}) \iota(X'), \iota(X) \right) \\ &= \left( \frac{1}{2\pi i} \oint_{|w|=(1+\epsilon)^{-1}} dw w^{-n+1} \mathcal{T}(w) \iota(X'), \iota(X) \right) = (L_{-n} \iota(X'), \iota(X)). \end{aligned}$$

Par conséquent, l'opérateur  $L_n$  est fermable (\*), d'adjoint  $L_n^\dagger = L_{-n}$ . On procède de la même manière avec les autres modes ; les opérateurs  $L_n$ ,  $\bar{L}_n$ ,  $J_n^a$  et  $\bar{J}_n^a$  sont fermables et

$$L_n^\dagger = L_{-n}, \quad \bar{L}_n^\dagger = \bar{L}_{-n}, \quad J_n^{a\dagger} = J_{-n}^a, \quad \bar{J}_n^{a\dagger} = \bar{J}_{-n}^a. \quad (39)$$

En pratique, on étend le domaine des opérateurs. On autorise la présence de modes dans les expressions données par l'équation (35). Soit  $\mathbf{H}_1$  l'espace ainsi obtenu ;  $\mathbf{H}_0 \subset \mathbf{H}_1 \subset \mathbf{H}$  et  $\mathbf{H}_1$  est invariant sous l'action des modes. On étend les opérateurs  $\mathcal{T}(z)$ ,  $\overline{\mathcal{T}}(\bar{z})$ ,  $\mathcal{J}(z)$ ,  $\overline{\mathcal{J}}(\bar{z})$  et  $\hat{g}(z, \bar{z})_R$  à  $\mathcal{S}_z \mathbf{H}_1$  et les modes à  $\mathbf{H}_1$ . Notons que ces opérateurs ne sont pas fermables. Il faut donc regarder leurs domaines respectifs avec attention.

#### 5.4. Axiomes de Segal pour une théorie conforme réelle

Dans cette section, on retourne à l'étude du modèle défini sur une surface de Riemann  $\Sigma$  de bord  $\partial\Sigma$  (cf. p.27). Notons  $\theta : S^1 \ni z \rightarrow z^{-1} \in S^1$  ; cette application renverse l'orientation

---

\*Pour qu'un opérateur  $\mathcal{A}$  soit fermable, il suffit de montrer [77] que pour toute suite  $(\mathcal{X}_n)$  de vecteurs de  $\mathbf{H}_0$ , telle que  $\mathcal{X}_n \rightarrow 0$  et  $\mathcal{A} \mathcal{X}_n \rightarrow \mathcal{Z} \in \mathbf{H}$ , alors  $\mathcal{Z} = 0$ . On garde la même notation pour un opérateur et sa fermeture.

de la composante  $(\partial\Sigma)_i$  via la paramétrisation  $p_i^\vee \equiv p_i \circ \theta$ . On peut compléter  $\Sigma$  (de manière unique) pour former une surface de Riemann compacte  $\tilde{\Sigma}$ . À cet effet, on « colle » une copie  $D_i$  de  $D$  suivant  $(\partial\Sigma)_i$ ,  $i \in I_-$ , et une copie  $D'_i$  de  $D'$  si  $i \in I_+$ . On peut voir [3] que la surface  $\tilde{\Sigma}$  hérite d'une structure complexe. Inversement, si on dispose d'une surface de Riemann compacte  $\tilde{\Sigma}$  avec de paramètres locaux, c.-à-d. avec un certain nombre de disques fermés  $\overline{D}$  et  $\overline{D}'$  disjoints plongés holomorphiquement dans  $\tilde{\Sigma}$ , on construit une surface  $\Sigma$  à bord, dont les composantes connexes sont paramétrisées par le cercle  $S^1$ . Il suffit pour cela d'« enlever » l'intérieur des disques plongés.

On dit qu'une métrique  $\gamma$  (compatible avec la structure complexe) est **plate le long du bord** si, pour tout  $i$ , on a  $p_i^* \gamma = |z|^{-2} |dz|^2$  au voisinage de chaque composante du bord (après continuation analytique de  $p_i$  à un voisinage de  $S^1$ ). Soient  $\gamma$  une métrique sur  $\Sigma$  et  $\gamma_D$  une métrique sur  $D$  — toutes deux plates le long du bord. Notons  $z_i$  le plongement de la  $i$ -ème copie de  $D$  (ou  $D'$ ) dans  $\tilde{\Sigma}$ . Si  $i \in I_+$ ,  $\gamma_i = z_i^* \gamma_D$  est une métrique riemannienne sur  $D_i$  ; si  $i \in I_-$ ,  $(z_i \circ \vartheta)^* \gamma_D = \vartheta^* \gamma_i$  est une métrique riemannienne sur  $D_i$ . On obtient une métrique sur  $\tilde{\Sigma}$  :

$$\tilde{\gamma} \equiv \left( \#_{i \in I_-} \gamma_i \right) \# \gamma \# \left( \#_{i \in I_+} \vartheta^* \gamma_i \right).$$

D'après la propriété (18), la quantité suivante

$$Z_\gamma \equiv Z_{\tilde{\gamma}} \prod_{i \in I} (Z_{\vartheta^* \gamma_i \# \gamma_i})^{-1/2}$$

ne dépend pas du choix de  $\gamma_D$  (dans la classe conforme). De plus, toujours grâce à l'anomalie conforme,  $Z_\gamma$  change suivant l'équation (18) dans une transformation de Weyl triviale au voisinage du bord. On appellera  $Z_\gamma$  la fonction de partition pour une surface de Riemann à bord. Soient  $\iota(X_i) \in \mathbf{H}_0$ ,  $i \in I$ . À tout surface  $\Sigma$  à bord, on associe un opérateur (appelé aussi amplitude)  $\mathbf{A}_{\Sigma, (p_i), \gamma}$  défini par ses éléments matriciels

$$\left( \bigotimes_{i \in I_+} \iota(X_i), \mathbf{A}_{\Sigma, (p_i), \gamma} \bigotimes_{i \in I_-} \iota(X_i) \right) = Z_\gamma \left\langle \prod_{i \in I_+} (\Theta X_i) \prod_{i \in I_-} X_i \right\rangle. \quad (40)$$

Si on considère une surface compacte, on trouve  $\mathbf{A}_{\Sigma, \gamma} = Z_\gamma$ . L'idée de Segal est de prendre ces amplitudes pour fondations de l'immeuble de la **théorie conforme des champs**.

On suppose donné un espace de Hilbert  $\mathbf{H}$  accompagné d'une involution anti-unitaire  $\mathcal{I}$ , telle que, pour toute surface  $\Sigma$  du type défini ci-dessus — *i.e.*  $\Sigma$  est décorée par un ensemble de paramétrisations  $p_i$ ,  $i \in I_- \cup I_+$ , et par une métrique  $\gamma$  plate le long du bord — il existe un opérateur traçable

$$\mathbf{A}_{\Sigma, (p_i), \gamma} : \bigotimes_{i \in I_-} \mathbf{H} \rightarrow \bigotimes_{i \in I_+} \mathbf{H}.$$

On convient que le produit tensoriel vide donne  $\mathbb{C}$ . Ces opérateurs doivent vérifier les axiomes suivants

**A) Localité.** Si  $\Sigma$  est la réunion disjointe de  $(\Sigma_1, (p_{1i}), \gamma_1)$  et  $(\Sigma_2, (p_{2i}), \gamma_2)$

$$\mathbf{A}_{\Sigma, (p_i), \gamma} = \mathbf{A}_{\Sigma_1, (p_{1i}), \gamma_1} \otimes \mathbf{A}_{\Sigma_2, (p_{2i}), \gamma_2};$$

**B) Covariance générale.** Si  $D : \Sigma_1 \rightarrow \Sigma_2$  est un difféomorphisme holomorphe égal à l'identité dans les paramétrisations autour du bord, alors

$$\mathbf{A}_{\Sigma_1, (p_i), \gamma} = \mathbf{A}_{\Sigma_2, (D \circ p_i), D^* \gamma};$$

**C) Invariance PCT.**

$$\mathbf{A}_{\bar{\Sigma}, (p_i), \gamma} = \mathbf{A}_{\Sigma, (p_i), \gamma}^\dagger;$$

**D)** Soit  $i_0 \in I_+$ ,

$$(\iota(X'), \mathbf{A}_{\Sigma, p_{i_0}^\vee, (p_{i'})}, \gamma \iota(X_0) \otimes \iota(X)) = ((\mathcal{I} \iota(X_0)) \otimes \iota(X'), \mathbf{A}_{\Sigma, p_i}, \gamma \iota(X))$$

où  $i' \neq i_0$ ,  $\iota(X') \in \bigotimes_{i' \in I_+} \mathbf{H}$ ,  $\iota(X) \in \bigotimes_{i \in I_-} \mathbf{H}$ , et  $\iota(X_0)$  est un élément de  $\mathbf{H}$  ;

**E) Unitarité.** (cf. figure 2) Si  $\Sigma'$  est obtenue en identifiant les bords  $i_1 \in I_-$  et  $i_2 \in I_+$ , via  $p_{i_2} \circ p_{i_1}^{-1}$ , alors

$$\mathbf{A}_{\Sigma', (p_{i'}), \gamma} = \text{tr}_{i_1, i_2} \mathbf{A}_{\Sigma, (p_i), \gamma}$$

où  $i' \neq i_1, i_2$  et la  $\text{tr}_{i_1, i_2}$  porte sur les facteurs  $i_1$  et  $i_2$  dans le produit tensoriel ;

**F) Invariance conforme.** Si  $\sigma \in \mathcal{C}^\infty(\Sigma, \mathbb{R})$  est nulle dans un voisinage de  $\partial\Sigma$ , alors

$$\mathbf{A}_{\Sigma, (p_i), e^\sigma \gamma} = e^{\frac{i\epsilon}{24\pi} S_L(\sigma)} \mathbf{A}_{\Sigma, (p_i), \gamma}.$$

Des versions des axiomes de Segal sont présentées dans un article non publié [132] et dans les compte-rendus [133, 134]. Avec un langage similaire à celui utilisé dans cette thèse, on trouvera dans [59] les axiomes pour une théorie conforme (complexe), ainsi qu'une description de la notion de foncteur modulaire (les blocs conformes du physicien). Ces axiomes et ses variantes cachent une structure particulièrement riche — équations de Moore et Seiberg [28], opérateurs de vertex [90, 94], ... — dont on ne donnera qu'un timide aperçu.

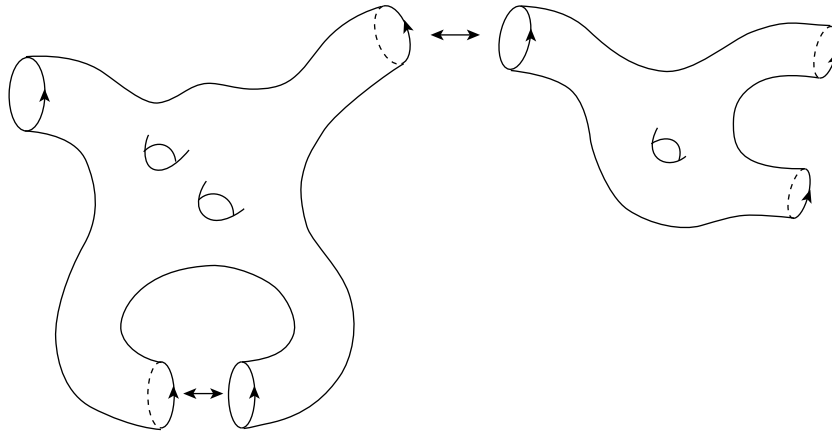


Figure 2. — Unitarité

Regardons de plus près la signification des axiomes de Segal, tout particulièrement à la lumière de l'intégrale fonctionnelle. L'existence de la famille d'opérateurs traçables impose des conditions de régularité sur les fonctions de Green. La propriété **A**) définit les opérateurs pour les surfaces non connexes. L'axiome **D**) explique le comportement des opérateurs quand on renverse l'orientation d'une composante du bord. Globalement, mise à part l'axiome **E**), ces propriétés découlent des symétries des fonctions de Green expliquées dans le paragraphe consacré au tenseur d'énergie-impulsion. Par contre la condition **E**) est nouvelle. En effet, l'opération de recollement entre deux surfaces permet de relier les opérateurs issus de surfaces de topologies a priori différentes.

On a vu, dans la section **3.2**, comment écrire l'intégrale fonctionnelle pour des champs à valeurs fixées sur le bord. On avait alors interprété les amplitudes quantiques pour le modèle de WZNW comme les sections d'un fibré en droite au-dessus du groupe des lacets. L'amplitude  $\mathbf{A}_{\Sigma, (p_i), \gamma}((g_i)_{i \in I})$ , où  $g_i \in LG$ , devient le noyau de l'opérateur  $\mathbf{A}_{\Sigma, (p_i), \gamma}$  dans le langage de Segal. Formellement, la traduction de l'axiome **E**) en terme d'intégrale fonctionnelle est

$$\mathbf{A}_{\Sigma, (p_i), \gamma}((g_i)_{i \in I}) = \int_{\substack{g: \Sigma \rightarrow G \\ g \circ p_i = g_i, i \neq i_1, i_2}} e^{-k S_{\Sigma}(g)} Dg = \int_{LG} Dg_0 \int_{\substack{g: \Sigma \rightarrow G \\ g \circ p_i = g_i, i \neq i_1, i_2, \\ g \circ p_i = g_0, i = i_1, i_2}} e^{-k S_{\Sigma}(g)} Dg.$$

Supposons que  $\Sigma$  est la sphère de Riemann et que la métrique  $\gamma_D$  est localement plate. L'espace de Hilbert de Segal  $\mathbf{H}_F$  sera l'espace  $\mathcal{F}$  des sections du fibré  $\pi : \mathcal{L}^k \rightarrow LG$ . On munit  $\mathbf{H}_F$  de la norme (formelle)  $L^2$  induite par la structure hermitienne sur  $\mathcal{L}^k \rightarrow LG$  :

$$|\mathcal{F}|_{L^2}^2 = \int_{LG} |\mathcal{F}(g_0)|_{\mathcal{L}_{g_0}^k}^2 Dg_0.$$

Expliquons le lien entre l'espace des états  $\mathbf{H}$  construit dans la section **5.1** et l'espace  $\mathbf{H}_F$ . Soit  $X \in V_D$ . On peut lui associer un vecteur  $\iota(X) \in \mathbf{H}$ . D'autre part, on lui adjoint une section (formelle)  $\mathcal{F}_X$  de  $\mathcal{L}^k$  de  $\mathbf{H}_F$  par

$$\mathcal{F}_X(g_0) = (Z_{\vartheta^* \gamma_D \# \gamma_D})^{-1/2} \int_{g|_{S^1} = g_0} X e^{-k S_D(g)} Dg \in (\mathcal{L}^k)_{g_0}.$$

On peut montrer que

$$\begin{aligned} |\mathcal{F}_X|_{L^2}^2 &= (Z_{\vartheta^* \gamma_D \# \gamma_D})^{-1} \int_{g \# g' : \mathbb{C}P^1 \rightarrow G} (\Theta X) X e^{-k S_{\mathbb{C}P^1}(g \# g')} D(g \# g') \\ &= \langle (\Theta X) X \rangle = (\iota(X), \iota(X)). \end{aligned}$$

On a donc construit deux réalisations isométriques de l'espace des états, pour l'instant toutes les deux basées sur l'intégrale fonctionnelle.

À partir de l'équation (6) et de son interprétation en termes de noyau, on peut dériver la formule (40), en utilisant

$$Z_{\tilde{\gamma}} \langle \prod_{i \in I_+} (\Theta X_i) \prod_{i \in I_-} X_i \rangle = \int \prod_{i \in I_+} (\Theta X_i) \prod_{i \in I_-} X_i e^{-k S_{\tilde{\Sigma}}(g)} Dg.$$

Le principe est d'abord de fixer des valeurs  $(g_i)$  de  $g$  sur le bord de  $\partial\Sigma$ , puis d'intégrer itérativement sur celles-ci.

La démarche de Segal repose sur le constatation suivante : on peut extraire de l'ensemble des opérateurs le reste de la structure, c.-à-d. l'action de l'algèbre de Virasoro, les champs primaires, etc... Pour une explication complète de cette remarque, je renvoie au cours [58].

Si on s'intéresse au disque  $D$ , muni d'une métrique  $\gamma$  et de bord paramétrisé par  $p : S^1 \ni z \mapsto z \in \partial D$ ,  $Z_\gamma^{-1} \mathbf{A}_{D,\gamma}$  est un vecteur de  $\mathbf{H}$  indépendant de la métrique. D'après l'équation (40), c'est le vecteur vide. Pour  $D'$  muni de la métrique  $\vartheta^* \gamma$ , on trouve l'application linéaire  $(\Omega, \cdot)$ . Les propriétés **C)** et **D)** entraînent que  $\mathcal{S} \Omega = \Omega$ .

Les anneaux sont les surfaces derrière lesquelles se cache le semi-groupe  $\mathcal{S}_q$  — leurs amplitudes forment bien un semi-groupe vu **E)**. Soit  $N_q$  l'anneau  $|q| \leq |z| \leq 1$ ,  $0 < |q| < 1$ , le bord entrant étant paramétrisé par  $z \mapsto qz$  et le bord sortant par  $z \mapsto z$ . On utilise la métrique  $|dz|^2/|z|^2$ . D'après la correspondance (40),

$$(\iota(X'), \mathbf{A}_{N_q, |dz|^2/|z|^2} \iota(X)) = Z_{|dz|^2/|z|^2} (\iota(X'), \mathcal{S}_q \iota(X)).$$

Comme on peut voir que  $Z_{|dz|^2/|z|^2} = (q\bar{q})^{-c/24}$ , il suit

$$\mathbf{A}_{N_q, |dz|^2/|z|^2} = q^{L_0 - c/24} \bar{q}^{\bar{L}_0 - c/24}.$$

L'application  $z \mapsto e^{iz}$  est un difféomorphisme analytique entre le cylindre  $C_\tau = \{z \bmod 2\pi \mid 0 \leq \text{Im } z \leq 2\pi\tau_2\}$ , le bord sortant étant paramétrisé par  $z \mapsto \frac{1}{i} \log z$  et le bord entrant par  $z \mapsto \tau + \frac{1}{i} \log z$  et l'anneau  $N_q$ . Ici,  $\tau = \tau_1 + i\tau_2$ ,  $\tau_1 \in \mathbb{R}$  et  $q = e^{2\pi i \tau}$ . Cette transformation induit la métrique  $|dz|^2$  sur  $C_\tau$ . L'amplitude du cylindre est alors

$$\mathbf{A}_{C_\tau, |dz|^2} = e^{-2\pi\tau_2 H} e^{2\pi i \tau_1 P}$$

où  $H$  est le Hamiltonien quantique et  $P$  est l'opérateur moment (\*). En comparant les deux amplitudes, on trouve

$$H = L_0 + \bar{L}_0 - \frac{c}{12}, \quad P = L_0 - \bar{L}_0.$$

Les opérateurs devant être traçables,  $L_0$  et  $\bar{L}_0$  doivent avoir un spectre discret avec des multiplicités finies. En plus  $L_0 \Omega = 0 = \bar{L}_0 \Omega$ , donc la valeur propre 0 est isolée. L'énergie du vecteur vide est  $c/12$ . En collant les bords de  $C_\tau$ , on obtient la courbe elliptique  $E_\tau = \mathbb{C}/(\mathbb{Z} + \tau\mathbb{Z})$ . Les axiomes **C)** et **E)** permettent de déterminer la **fonction de partition toroïdale** :

$$Z(\tau) = \mathbf{A}_{E_\tau, |dz|^2} = \text{tr } q^{L_0 - c/24} \bar{q}^{\bar{L}_0 - c/24}.$$

La fonction de partition  $Z(\tau)$  est un invariant modulaire :

$$Z(\tau) = Z\left(\frac{a\tau+b}{c\tau+d}\right)$$

---

\* Anticipons un petit peu sur ce qui va suivre. L'ensemble des  $L_n$  — comme celui des  $\bar{L}_n$  — forme l'algèbre de Virasoro  $\text{Vir}$ . On obtient ainsi une action de  $\text{Vir} \times \text{Vir}$  dans  $\mathbf{H}$  qui reproduit les symétries conformes de la théorie. L'algèbre de Virasoro est une extension centrale de  $\text{Vect } S^1$ . En fait, on peut identifier  $\text{Vect } S^1 \times \text{Vect } S^1$  et l'algèbre de Lie des champs de vecteurs conformes sur le cylindre minkowskien  $\{(x_0, x_1) \mid x_1 \bmod 2\pi\}$  avec la métrique  $dx_0^2 - dx_1^2$ . On voit que  $H = L_0 + \bar{L}_0$  est le Hamiltonien quantique — quantification de la translation en temps  $x_0$  — et  $P = L_0 - \bar{L}_0$  est l'opérateur moment — quantification de la translation en espace  $x_1$ .

parce que les courbes elliptiques  $E_\tau$  et  $E_{\tau'}$  où  $\tau' = \frac{a\tau+b}{c\tau+d}$  sont reliées par un difféomorphisme holomorphe  $z \mapsto z/(c\tau + d)$  qui multiplie la métrique  $|dz|^2$  par une constante (\*).

Enfin, on peut trouver les autres générateurs de l'algèbre de Virasoro en considérant les anneaux  $N_f = D \setminus f(D)$  où  $f$  est un plongement holomorphe du disque dans son intérieur.

## §6. Développements algébriques

Dans cette section, on traduit sous forme algébrique les symétries de la théorie, codées par les développements à courtes distances de la section 4.

Montrons que les modes de l'algèbre des courants vérifient

$$[J_n^a, J_m^b] = i f^{abc} J_{n+m}^a + \frac{kn}{2} \delta^{ab} \delta_{n+m,0}, \quad (41.a)$$

$$[\bar{J}_n^a, \bar{J}_m^b] = i f^{abc} \bar{J}_{n+m}^a + \frac{kn}{2} \delta^{ab} \delta_{n+m,0}, \quad (41.b)$$

$$[J_n^a, \bar{J}_m^b] = 0. \quad (42)$$

Ces relations de commutation — valables sur  $\mathbf{H}_1$  —, avec  $k$  remplacé par un élément abstrait  $\mathcal{K}$  commutant avec tous les  $J_n^a$ , définissent l'*algèbre de Kac-Moody affine*  $\widehat{\mathbf{Lg}}^{\mathbf{C}}$  engendrée par les éléments  $J_n^a$  et  $\mathcal{K}$ .

Soient  $\iota(X)$  et  $\iota(X')$ , deux vecteurs de  $\mathcal{S}_w \mathbf{H}_1$ ,

$$(\iota(X'), [J_n^a, \mathcal{J}^b(w)] \iota(X)) = \left( \frac{1}{2\pi i} \oint_{|z|=|w|+\epsilon} dz - \frac{1}{2\pi i} \oint_{|z|=|w|-\epsilon} dz \right) z^n \langle (\Theta X') J^a(z) J^b(w) X \rangle$$

où l'ordre sur les opérateurs est dicté par la règle (38). Ensuite, on déforme le contour pour obtenir une intégrale sur  $\{z \in \mathbf{C} \mid |z - w| = \epsilon\}$  et on utilise l'équation (16.a)

$$(\iota(X'), [J_n^a, \mathcal{J}^b(w)] \iota(X)) = \frac{1}{2\pi i} \oint_{|z-w|=\epsilon} dz z^n \langle (\Theta X') \left( \frac{k \delta^{ab}/2}{(z-w)^2} + \frac{i f^{abc}}{z-w} J^c(w) + \dots \right) X \rangle.$$

Enfin, on développe  $z^n$  autour de  $z = w$ , soit  $z^n = w^n + n(z-w)w^{n-1} + \dots$  pour obtenir

$$(\iota(X'), [J_n^a, \mathcal{J}^b(w)] \iota(X)) = \langle (\Theta X') \left( i f^{abc} w^n J^c(w) + \frac{kn}{2} \delta^{ab} w^{n-1} \right) X \rangle,$$

soit

$$[J_n^a, \mathcal{J}^b(w)] = i f^{abc} w^n \mathcal{J}^c(w) + \frac{kn}{2} \delta^{ab} w^{n-1}.$$

Après intégration sur  $w$ , on obtient le bon commutateur (41.a). La traduction de tous les autres développements à courtes distances se fait exactement de la même manière ; je ne répéterai donc pas le calcul. Ainsi, à partir de l'équation (16.b), on trouve

$$[\bar{J}_n^a, \bar{\mathcal{J}}^b(w)] = i f^{abc} \bar{w}^n \bar{\mathcal{J}}^c(w) + \frac{kn}{2} \delta^{ab} \bar{w}^{n-1}$$

---

\*La multiplication de la métrique par une constante ne change pas  $Z(\tau)$  car l'action de Liouville en  $\sigma = \text{cste}$ . s'annule pour un tore.



et  $[\overline{J}_n^a, \mathcal{J}^b(w)] = 0 = [J_n^a, \overline{\mathcal{J}}^b(w)]$  ; d'où les commutateurs (41.b) et (42).

À partir des développements à courtes distances (13.a-b), on obtient les relations caractérisant l'algèbre des **champs primaires pour l'algèbre de Kac-Moody affine** :

$$\begin{aligned} [J_n^a, \widehat{g}(z_\ell, \overline{z}_\ell)_{R_\ell}] &= -z_\ell^n t_\ell^a \widehat{g}(z_\ell, \overline{z}_\ell)_{R_\ell}, \\ [\overline{J}_n^a, \widehat{g}(z_\ell, \overline{z}_\ell)_{R_\ell}] &= \overline{z}_\ell^n \widehat{g}(z_\ell, \overline{z}_\ell)_{R_\ell} t_\ell^a. \end{aligned}$$

Ces relations imposent des contraintes sur le vecteur vide  $\Omega$  :

$$\begin{aligned} J_n^a \Omega &= 0, & \overline{J}_n^a \Omega &= 0, & \text{si } n \geq 0, \\ J_0^a \widehat{g}(0)_{R_\ell} \Omega &= -t_\ell^a \widehat{g}(0)_{R_\ell} \Omega, & \overline{J}_0^a \widehat{g}(0)_{R_\ell} \Omega &= \widehat{g}(0)_{R_\ell} t_\ell^a \Omega, \\ J_n^a \widehat{g}(0)_{R_\ell} \Omega &= 0, & \overline{J}_n^a \widehat{g}(0)_{R_\ell} \Omega &= 0, & \text{si } n > 0 \end{aligned}$$

où  $\widehat{g}(0)_{R_\ell} \Omega = \lim_{z_\ell \rightarrow 0} \widehat{g}(z_\ell, \overline{z}_\ell)_{R_\ell} \Omega$ . Pour obtenir les deux premières relations, il faut se rappeler que l'insertion de courants est analytique. Il apparaît que le sous-espace engendré par le vecteur vide correspond à la représentation triviale, tandis que le sous-espace engendré par les éléments matriciels de  $\widehat{g}(0)_{R_\ell} \Omega$  correspond à la représentation  $(R_\ell, \overline{R}_\ell)$  de l'algèbre de Lie  $\mathfrak{g}^{\mathbb{C}} \oplus \mathfrak{g}^{\mathbb{C}}$  engendrée par les  $J_0^a$  et les  $\overline{J}_0^a$ .

Maintenant, on utilise les développements à courtes distances faisant intervenir le tenseur d'énergie-impulsion. En modes, la propriété (20.a) sur le tenseur énergie-impulsion devient

$$L_n = \frac{2}{k+g^\vee} \sum_{m \in \mathbb{Z}} \text{tr} : J_{n-m} J_m : \quad (43)$$

où on utilise l'**ordre normal** (ou ordre de Wick) sur les modes de Laurent

$$: J_p J_q := \begin{cases} J_p J_q, & \text{si } p < 0 \\ J_q J_p, & \text{si } p \geq 0. \end{cases}$$

Bien entendu, on a une égalité similaire pour  $\overline{L}_n$ . On reconnaît la forme habituelle de la construction de Sugawara. Commençons par réécrire  $T(z)$  sous forme intégrale

$$T(z) = \frac{2}{k+g^\vee} \oint_{|w-z|=\epsilon} dw \frac{1}{w-z} \text{tr} J(w) J(z).$$

On déforme le contour d'intégration afin que l'ordre sur les champs soit compatible avec l'ordre radial sur les opérateurs. Il vient

$$\begin{aligned} L_n = \frac{2}{k+g^\vee} \text{tr} \frac{1}{2\pi i} \oint_{|z|<1} dz z^{n+1} & \left( \frac{1}{2\pi i} \oint_{|w|=|z|+\epsilon} dw \frac{1}{w-z} \mathcal{J}(w) \mathcal{J}(z) \right. \\ & \left. - \frac{1}{2\pi i} \oint_{|w|=|z|-\epsilon} dw \frac{1}{w-z} \mathcal{J}(z) \mathcal{J}(w) \right). \end{aligned}$$

La suite est standard, on développe  $1/(w-z)$  en série,  $\mathcal{J}(z)$  et  $\mathcal{J}(w)$  en séries de Laurent, on obtient alors des intégrales connues et

$$L_n = \frac{2}{k+g^\vee} \left( \sum_{q < 0} \text{tr} J_q J_{n-q} + \sum_{q \geq 0} \text{tr} J_{n-q} J_q \right).$$

Les modes satisfont également des relations de commutation

$$[L_n, L_m] = (n - m) L_{n+m} + \frac{c}{12} (n^3 - n) \delta_{n+m,0}, \quad (44.a)$$

$$[\bar{L}_n, \bar{L}_m] = (n - m) \bar{L}_{n+m} + \frac{c}{12} (n^3 - n) \delta_{n+m,0}, \quad (44.b)$$

$$[L_n, \bar{L}_m] = 0. \quad (45)$$

Si on représente la charge centrale  $c$  par un élément abstrait  $\mathcal{C}$  commutant avec les  $L_n$ , ces relations de commutation définissent l'**algèbre de Virasoro**, notée  $\text{Vir}$ , engendrée par les éléments  $L_n$  et  $\mathcal{C}$ . L'espace des états est donc muni d'une représentation unitaire (cf. section 5.3) de  $\text{Vir} \times \text{Vir}$ , définie sur un sous-espace dense, et de charge centrale agissant par  $c$ . Pour démontrer les trois équations, on procède comme pour l'algèbre des courants, mais avec les développements à courtes distances (25.a-b) et (26). On trouve d'abord

$$[L_n, \mathcal{F}(w)] = \frac{c}{12} (n^3 - n) w^{n-2} + 2(n+1) w^n \mathcal{F}(w) + w^{n+1} \partial_w \mathcal{F}(w), \quad (46.a)$$

$$[\bar{L}_n, \overline{\mathcal{F}}(\bar{w})] = \frac{c}{12} (n^3 - n) \bar{w}^{n-2} + 2(n+1) \bar{w}^n \overline{\mathcal{F}}(\bar{w}) + \bar{w}^{n+1} \partial_{\bar{w}} \overline{\mathcal{F}}(\bar{w}), \quad (46.b)$$

$$[L_n, \overline{\mathcal{F}}(\bar{w})] = 0 = [\bar{L}_n, \mathcal{F}(w)], \quad (47)$$

puis les commutateurs après intégration sur  $w$  ou  $\bar{w}$ . On pourrait aussi utiliser les propriétés de l'ordre normal et la relation (43).

À partir des développements (22.a-b), (23.a-b) et (24.a-b), on montre que

$$[L_n, \hat{g}(z_\ell, \bar{z}_\ell)_{R_\ell}] = \Delta_\ell (n+1) z_\ell^n \hat{g}(z_\ell, \bar{z}_\ell)_{R_\ell} + z_\ell^{n+1} \partial_{z_\ell} \hat{g}(z_\ell, \bar{z}_\ell)_{R_\ell}, \quad (48.a)$$

$$[\bar{L}_n, \hat{g}(z_\ell, \bar{z}_\ell)_{R_\ell}] = \Delta_\ell (n+1) \bar{z}_\ell^n \hat{g}(z_\ell, \bar{z}_\ell)_{R_\ell} + \bar{z}_\ell^{n+1} \partial_{\bar{z}_\ell} \hat{g}(z_\ell, \bar{z}_\ell)_{R_\ell}, \quad (48.b)$$

$$[L_n, \mathcal{J}^a(w)] = (n+1) w^n \mathcal{J}^a(w) + w^{n+1} \partial_w \mathcal{J}^a(w), \quad (49.a)$$

$$[\bar{L}_n, \overline{\mathcal{J}}^a(\bar{w})] = (n+1) \bar{w}^n \overline{\mathcal{J}}^a(\bar{w}) + \bar{w}^{n+1} \partial_{\bar{w}} \overline{\mathcal{J}}^a(\bar{w}), \quad (49.b)$$

$$[L_n, \overline{\mathcal{J}}^a(\bar{w})] = 0 = [\bar{L}_n, \mathcal{J}^a(w)]. \quad (50)$$

Ces relations redisent, au niveau opératoire, que  $\hat{g}(z, \bar{z})_{R_\ell}$  et  $\mathcal{J}^a(z), \overline{\mathcal{J}}^a(\bar{z})$  sont des **champs primaires** (pour l'algèbre de Virasoro). On retrouve aussi que les tenseurs d'énergie-impulsion ne sont pas des champs primaires — à cause du terme en  $c$ . Après intégration sur  $w$  ou  $\bar{w}$  dans les équations (49.a-b), on obtient

$$\begin{aligned} [L_n, J_m^a] &= -m J_{n+m}^a, & [\bar{L}_n, \bar{J}_m^a] &= -m \bar{J}_{n+m}^a, \\ [L_n, \bar{J}_m^a] &= 0, & [\bar{L}_n, J_m^a] &= 0. \end{aligned} \quad (51)$$

À partir de ces relations, on peut montrer facilement que les générateurs du semi-groupe  $\{\mathcal{S}_q\}$  coïncident avec les modes zéro de l'opérateur d'énergie-impulsion.

Lorsqu'on a construit  $L_0$  et  $\bar{L}_0$ , on a vu que  $H = L_0 + \bar{L}_0 \geq 0$ . Si on utilise le fait que ces deux opérateurs ne sont qu'un petit bout de l'algèbre de Virasoro, on peut voir [58] que les deux opérateurs sont positifs séparément, *i.e.*  $L_0 \geq 0$  et  $\bar{L}_0 \geq 0$ . Ainsi, seules les **représentations à énergie positive** de l'algèbre de Virasoro interviennent.

Enfin, les relations (48-50) imposent des contraintes sur le vecteur vide  $\Omega$  :

$$\begin{aligned}
 L_n \Omega &= 0, & \bar{L}_n \Omega &= 0, & \text{si } n \geq -1, \\
 L_n \hat{g}(0)_{R_\ell} \Omega &= 0, & \bar{L}_n \hat{g}(0)_{R_\ell} \Omega &= 0, & \text{si } n > 0, \\
 L_0 \hat{g}(0)_{R_\ell} \Omega &= \Delta_\ell \hat{g}(0)_{R_\ell} \Omega, & \bar{L}_0 \hat{g}(0)_{R_\ell} \Omega &= \Delta_\ell \hat{g}(0)_{R_\ell} \Omega, \\
 L_{-1} \hat{g}(0)_{R_\ell} \Omega &= \partial_{z_\ell} \hat{g}(0)_{R_\ell} \Omega, & \bar{L}_{-1} \hat{g}(0)_{R_\ell} \Omega &= \partial_{\bar{z}_\ell} \hat{g}(0)_{R_\ell} \Omega, \\
 L_n \mathcal{J}^a(0) \Omega &= 0, & \bar{L}_n \overline{\mathcal{J}^a}(0) \Omega &= 0, & \text{si } n > 0, \\
 \bar{L}_n \mathcal{J}^a(0) \Omega &= 0, & L_n \overline{\mathcal{J}^a}(0) \Omega &= 0, & \text{si } n \geq -1, \\
 L_0 \mathcal{J}^a(0) \Omega &= \mathcal{J}^a(0) \Omega, & \bar{L}_0 \overline{\mathcal{J}^a}(0) \Omega &= \overline{\mathcal{J}^a}(0) \Omega, \\
 L_{-1} \mathcal{J}^a(0) \Omega &= \partial_w \mathcal{J}^a(0) \Omega, & \bar{L}_{-1} \overline{\mathcal{J}^a}(0) \Omega &= \partial_{\bar{w}} \overline{\mathcal{J}^a}(0) \Omega,
 \end{aligned} \tag{52}$$

où  $\mathcal{J}^a(0) \Omega = \lim_{w \rightarrow 0} \mathcal{J}^a(w) \Omega$  et idem avec  $\overline{\mathcal{J}^a}(0)$ . En particulier, le vecteur vide est un vecteur propre pour  $L_0$  et  $\bar{L}_0$  de plus petite valeur propre 0. On admet qu'il n'existe qu'un seul vecteur de cette nature. On a un peu plus, puisque  $\Omega$  est tué par la sous-algèbre  $\mathfrak{sl}_2 \times \mathfrak{sl}_2$  de  $\text{Vir} \times \text{Vir}$ , engendrée par les  $L_0, L_{\pm 1}$  et les  $\bar{L}_0, \bar{L}_{\pm 1}$ . Par contre,  $\Omega$  ne l'est pas par toute l'algèbre  $\text{Vir} \times \text{Vir}$  ; on dit que la *symétrie conforme* est *brisée*.

Les vecteurs  $\hat{g}(0)_{R_\ell} \Omega$  sont aussi des vecteurs propres pour  $L_0$  et  $\bar{L}_0$ , mais de valeurs propres  $(\Delta_\ell, \Delta_\ell)$ . Comme  $L_0$  et  $\bar{L}_0$  sont des opérateurs positifs, on a en particulier  $\Delta_\ell > 0$ . D'après les relations (52), les vecteurs  $\hat{g}(0)_{R_\ell} \Omega, \mathcal{J}^a(0) \Omega$  et  $\overline{\mathcal{J}^a}(0) \Omega$  sont annulés par tous les générateurs  $L_n$  et  $\bar{L}_n$  avec  $n > 0$ . On dit que ce sont des vecteurs de plus haut poids pour  $\text{Vir} \times \text{Vir}$ . Ainsi, quand on fait tendre les coordonnées des points d'insertion vers 0, les opérateurs issus de champs primaires appliqués au vecteur vide donnent des vecteurs de plus haut poids.

## §7. Algèbre de Virasoro. Algèbres de Kac-Moody affines

On vient de constater que les symétries de la théorie sont codées dans les représentations de deux algèbres de dimension infinie : l'algèbre de Virasoro et l'algèbre des courants, *i.e.* l'algèbre de Kac-Moody affine. La discussion qui suit est à mettre en parallèle avec celle du premier chapitre sur les représentations des algèbres de Lie de dimension finie.

### 7.1. Algèbre de Virasoro

L'algèbre de Virasoro est un proche cousin de l'algèbre de Witt. Le groupe des difféomorphismes  $\text{Diff}_+ S^1$  du cercle, préservant l'orientation, est un groupe de Lie [108] — au sens de Fréchet [86] — ayant pour algèbre de Lie l'algèbre des champs de vecteurs  $\mathcal{C}^\infty$  sur le cercle :  $\text{Vect } S^1$ . Le crochet de Lie pour  $\text{Vect } S^1$  est

$$\left[ v_1(\theta) \frac{d}{d\theta}, v_2(\theta) \frac{d}{d\theta} \right] = (v_1(\theta)v_2'(\theta) - v_1'(\theta)v_2(\theta)) \frac{d}{d\theta}.$$

L'*algèbre de Witt* est l'algèbre complexifiée  $\text{Vect}^{\mathbb{C}} S^1$  engendrée par les générateurs et relations :

$$\ell_n = i e^{in\theta} \frac{d}{d\theta}, \quad [\ell_n, \ell_m] = (n - m) \ell_{n+m}.$$

Les extensions centrales de  $\text{Vect } S^1$  par  $\mathbb{R}$  sont toutes obtenues à partir de l'extension centrale universelle [74]  $\widehat{\text{Vect } S^1} = \text{Vect } S^1 \oplus \mathbb{R}\mathcal{Z}$  munie du crochet

$$\left[ v_1 \frac{d}{d\theta}, v_2 \frac{d}{d\theta} \right] = (v_1 v_2' - v_1' v_2) \frac{d}{d\theta} + \frac{1}{24\pi} \int_0^{2\pi} d\theta (v_1' + v_1''') v_2 \mathcal{Z}, \quad \left[ \mathcal{Z}, v_1 \frac{d}{d\theta} \right] = 0.$$

Les autres cocycles sont  $\mathbb{R}$ -proportionnels au cocycle précédent — en termes plus formels,  $\dim H^2(\text{Vect } S^1, \mathbb{R}) = 1$ . Pour le groupe  $\text{Diff}_+ S^1$ , on a une construction similaire qui conduit au groupe de Virasoro-Bott, extension centrale de  $\text{Diff}_+ S^1$  par le cocycle de Bott. L'extension centrale complexifiée est l'algèbre de **Virasoro**. Ainsi,  $\text{Vir}$  est l'extension centrale universelle de l'algèbre de Witt par  $\mathbb{C}$  :

$$0 \rightarrow \mathbb{C} \rightarrow \text{Vir} \rightarrow \text{Vect}^{\mathbb{C}} S^1 \rightarrow 0$$

où la seconde flèche envoie 1 sur  $\mathcal{C}$  ( $= i\mathcal{Z}$ ) et la troisième envoie  $L_n$  sur  $\ell_n$ . On introduit la décomposition triangulaire de l'algèbre :  $\mathcal{T} = \mathbb{C}\mathcal{C} \oplus \mathbb{C}L_0$  la sous-algèbre de Cartan,  $\mathcal{N}_+ = \bigoplus_{n \geq 1} \mathbb{C}L_n$  et  $\mathcal{N}_- = \bigoplus_{n \geq 1} \mathbb{C}L_{-n}$ , de sorte que  $\text{Vir} = \mathcal{N}_- \oplus \mathcal{T} \oplus \mathcal{N}_+$ . Soit  $\lambda$  un élément de  $\mathcal{T}^*$ , l'algèbre duale à  $\mathcal{T}$  ; on note  $\lambda(\mathcal{C}) = c$ ,  $\lambda(L_0) = \Delta$ .

On est particulièrement intéressé par les représentations unitaires de plus haut poids de l'algèbre de Virasoro. Un module  $M_{c,\Delta}$  pour l'algèbre de Virasoro — comme on l'a déjà remarqué, c'est juste une autre façon de parler de représentation — est un **module de plus haut poids**  $\lambda$ , soit  $(c, \Delta)$ , s'il existe un vecteur  $v_{c,\Delta}$  tel que

$$\mathcal{N}_+ v_{c,\Delta} = 0, \quad \mathcal{U}(\mathcal{N}_-) v_{c,\Delta} = M_{c,\Delta}, \quad \mathcal{C} v_{c,\Delta} = c v_{c,\Delta}, \quad L_0 v_{c,\Delta} = \Delta v_{c,\Delta}.$$

On dit que  $v_{c,\Delta}$  est un **vecteur de plus haut poids**,  $c$  est la **charge centrale** et  $\Delta$  est le **poids conforme** de la représentation. En particulier,  $M_{c,\Delta}$  est engendré par les vecteurs  $L_{-n_r} L_{-n_{r-1}} \cdots L_{-n_1} v_{c,\Delta}$ , avec  $0 < n_1 \leq n_2 \leq \cdots \leq n_r$ . Ces vecteurs ne sont pas nécessairement indépendants. On dit que  $\ell = \sum_i n_i$  est le **niveau** du vecteur  $L_{-n_r} L_{-n_{r-1}} \cdots L_{-n_1} v_{c,\Delta}$ . On voit qu'un vecteur de niveau  $\ell$  est un vecteur propre pour  $L_0$  de valeur propre  $\Delta + \ell$  et pour  $\mathcal{C}$  de valeur propre  $c$ . En particulier, le vecteur de plus haut poids est le vecteur ayant la plus petite valeur propre pour  $L_0$ . On obtient une décomposition du module  $M_{c,\Delta}$  :

$$M_{c,\Delta} = \bigoplus_{\ell=1}^{\infty} M(\ell)_{c,\Delta}$$

où  $M(\ell)_{c,\Delta}$  est le sous-espace des vecteurs de niveau  $\ell$  — les vecteurs de niveaux différents sont clairement indépendants — avec  $\dim M(\ell)_{c,\Delta} \leq p(\ell)$ , le nombre de partitions de  $\ell$ . Un module de plus haut poids pour lequel tous les vecteurs  $L_{-n_r} L_{-n_{r-1}} \cdots L_{-n_1} v_{c,\Delta}$  sont indépendants est appelé un **module de Verma**  $V_{c,\Delta}$ , c.-à-d.  $\dim V(\ell)_{c,\Delta} = p(\ell)$ . Son existence est garantie pour tout couple  $(c, \Delta)$  et il est unique à isomorphisme près.

Parmi les vecteurs de niveau  $\ell$ , on isole les **vecteurs singuliers**, c.-à-d. les vecteurs tués par  $\mathcal{N}_+$ . Tout vecteur  $v_s$  tué par  $\mathcal{N}_+$  est la somme de vecteurs singuliers. Les vecteurs singuliers de niveau  $\ell$  engendrent un sous-module de  $V_{c,\Delta}$  isomorphe à  $V_{c,\Delta+\ell}$ . On montre que

- tout sous-module de  $V_{c,\Delta}$  est engendré par ses vecteurs singuliers ;
- tout module de plus haut poids  $(c, \Delta)$  est isomorphe à un quotient du module de Verma ;

— à isomorphisme près, le quotient de  $V_{c,\Delta}$  par son sous-module maximal propre est l'unique module  $H_{c,\Delta}$  irréductible de plus haut poids  $(c, \Delta)$ .

Pour paraphraser,  $H_{c,\Delta}$  est le module, de plus haut poids, le plus petit et  $V_{c,\Delta}$  est le plus grand.

Un module  $M$  pour l'algèbre de Virasoro est dit *unitaire* s'il existe une forme  $(\cdot, \cdot)$  hermitienne positive sur  $M$  telle que

$$(v, L_n w) = (L_{-n} v, w) \quad \text{et} \quad (v, \mathcal{C} w) = (\mathcal{C} v, w)$$

pour tout  $v, w \in M$ . Dans ce cas les valeurs propres de  $\mathcal{C}$  et  $L_0$  sont réelles. Si  $c$  et  $\Delta$  sont réels, il existe une unique forme hermitienne  $\langle \cdot, \cdot \rangle$ , **la forme de Shapovalov**, sur le module de Verma  $V_{c,\Delta}$ , telle que  $\langle v, L_n w \rangle = \langle L_{-n} v, w \rangle$  pour tout  $v, w \in V_{c,\Delta}$  et telle que  $\langle v_{c,\Delta}, v_{c,\Delta} \rangle = 1$ . Cette forme peut être dégénérée. On introduit  $\text{Nul}_{c,\Delta}$  le sous-espace invariant des vecteurs orthogonaux à tous les autres vecteurs de  $V_{c,\Delta}$ . On a alors

- si  $v^{(\ell)}$  et  $v^{(\ell')}$  sont des vecteurs de niveau  $\ell$  et  $\ell'$  différents, on a  $\langle v^{(\ell)}, v^{(\ell')} \rangle = 0$  ;
- tout vecteur singulier de niveau positif appartient à  $\text{Nul}_{c,\Delta}$  ;
- $\text{Nul}_{c,\Delta}$  est le sous-module maximal propre de  $V_{c,\Delta}$ , d'où  $H_{c,\Delta} = V_{c,\Delta}/\text{Nul}_{c,\Delta}$ .

Il reste un problème important, celui de l'unitarité de  $H_{c,\Delta}$ . La question est donc de savoir si la forme hermitienne induite sur  $H_{c,\Delta}$  par la forme de Shapovalov est une forme positive. Déjà, si  $n > 0$ ,  $\langle L_{-n} v_{c,\Delta}, L_{-n} v_{c,\Delta} \rangle = 2n\Delta + \frac{c}{12}(n^3 - n)$ . On a donc la condition nécessaire :  $c, \Delta \geq 0$ . Regardons l'extension triviale, *i.e.*  $c = 0$ . Si  $v = L_{-n} L_{-n} v_{0,\Delta}$  et  $w = L_{-2n} v_{0,\Delta}$ , le déterminant de Gram donne  $-20n^4 \Delta^2 + 32n^3 \Delta^3$ . Donc la seule possibilité restante est  $\Delta = 0$ , *c.-à-d.* la représentation triviale. Ainsi, il n'existe pas de représentation unitaire non-triviale de l'algèbre  $\text{Vect}^{\mathbb{C}} S^1$ . Pour obtenir une information plus complète, il suffit d'étudier le signe de la forme de Shapovalov sur le sous-espace  $H_{c,\Delta}$  des vecteurs de niveau  $\ell$ . Soit  $D_\ell(c, \Delta)$  le déterminant de la matrice  $m_\ell(c, \Delta)$ , de taille  $p(\ell) \times p(\ell)$  et d'éléments  $\langle L_{-n_r} L_{-n_{r-1}} \cdots L_{-n_1} v_{c,\Delta}, L_{-n'_r} L_{-n'_{r-1}} \cdots L_{-n'_1} v_{c,\Delta} \rangle$  avec  $\sum n_i = \sum n'_i = \ell$ . En clair,  $H_{c,\Delta}$  est unitaire si, et seulement si, la matrice  $m_\ell(c, \Delta)$  est positive pour tout  $\ell$ . En particulier,  $D_\ell(c, \Delta) \geq 0$ . Ce déterminant est donné par la **formule de Kac** — formule prouvée par Feigin et Fuchs — :

$$D_\ell(c, \Delta) = \kappa_\ell \prod_{\substack{1 \leq r, s \leq \ell \\ r, s \in \mathbb{N}}} (\Delta - \Delta_{r,s}(m))^{p(\ell-rs)}$$

où  $m$  est la racine de l'équation

$$c = c_m = 1 - \frac{6}{m(m+1)},$$

$$\Delta_{r,s}(m) = \frac{((m+1)r - ms)^2 - 1}{4m(m+1)}, \quad \kappa_\ell = \prod_{\substack{1 \leq r, s \leq \ell \\ r, s \in \mathbb{N}}} ((2r)^s s!)^{n(r,s)}$$

avec  $n(r, s)$  le nombre de partitions de  $\ell$  dans lesquelles  $r$  apparaît  $s$  fois.

Quand  $\Delta \mapsto \infty$ ,  $m_\ell(c, \Delta)$  devient une matrice diagonale d'éléments positifs. Il suit de la formule de Kac que  $D_\ell(c, \Delta)$  est  $> 0$  pour  $c > 1$  et  $\Delta > 0$ . Par conséquent,  $m_\ell(c, \Delta)$  est non-dégénérée et positive pour  $c > 1$  et  $\Delta > 0$  et positive pour  $c \geq 1$  et  $\Delta \geq 0$ . Le module

de Verma  $V_{c,\Delta}$  est donc irréductible pour  $c > 1$  et  $\Delta > 0$  et les représentations irréductibles  $H_{c,\Delta}$  sont unitaires si  $c \geq 1$  et  $\Delta \geq 0$ . Pour  $c = 1$ , on a

$$D_\ell(1, \Delta) = \kappa_\ell \prod_{\substack{1 \leq r, s \leq \ell \\ r, s \in \mathbb{N}}} \left( \Delta - \frac{(r-s)^2}{4} \right)^{p(\ell-rs)}$$

donc  $V_{1,\Delta}$  est irréductible si, et seulement si,  $\Delta \neq \frac{n^2}{4}$  pour  $n \in \mathbb{Z}$ . Ainsi,  $H_{c,\Delta}$  coïncide avec le module de Verma si, et seulement si,  $c > 1$  ou  $c = 1$  et  $\Delta \neq \frac{n^2}{4}$  pour  $n \in \mathbb{Z}$ .

Le cas le plus intéressant est :  $0 \leq c \leq 1$  et  $\Delta \geq 0$ . Dans ce contexte, une représentation  $H_{c,\Delta}$ , irréductible de plus haut poids  $(c, \Delta)$ , est unitaire si, et seulement si, le plus haut poids appartient à la série discrète

$$\begin{cases} c = c_m, & m = 2, 3, \dots, \\ \Delta = \Delta_{r,s}(m), & 1 \leq r \leq m-1, 1 \leq s \leq r. \end{cases}$$

La partie directe est un travail de Friedan, Qiu et Shenker [53, 54]. La réciproque est donnée par Goddard, Kent et Olive dans [78, 79], où les auteurs construisent explicitement les représentations irréductibles unitaires de plus haut poids, par *construction quotient*. La construction quotient peut être reproduite par intégration fonctionnelle en jaugeant le modèle de WZNW par un sous-groupe de  $G$  [68] (cf. chapitre 1).

Toute représentation unitaire de plus haut poids de Vir s'intègre en une représentation unitaire projective de  $\text{Diff}_+ S^1$  dans la complétion de l'espace  $H_{c,\Delta}$  [81].

## 7.2. Algèbre de Kac-Moody affine

Soit  $G$  un groupe de Lie vérifiant les mêmes hypothèses que dans la section 2 du chapitre 1. L'algèbre de Lie du groupe des lacets  $LG$  —  $LG$  est un groupe de Lie de dimension infinie [125] — est  $L^\infty \mathfrak{g} = \mathcal{C}^\infty(S^1, \mathfrak{g})$  (\*). On a également les versions complexifiées :  $LG^\mathbb{C}$  et  $L^\infty \mathfrak{g}^\mathbb{C}$ . Soit  $\widehat{L^\infty \mathfrak{g}} = L^\infty \mathfrak{g} \oplus \mathbb{R}\mathcal{Z}$  l'extension centrale de  $L^\infty \mathfrak{g}$  par  $\mathbb{R}$  par le cocycle

$$\omega(\eta, \xi) = \frac{1}{2\pi} \int_0^{2\pi} d\theta \operatorname{tr} \eta'(\theta) \xi(\theta),$$

pour  $\eta$  et  $\xi$  dans  $L^\infty \mathfrak{g}$ . Si  $(t^a)$  est une base orthogonale de l'algèbre de Lie complexifiée, on note  $J_n^a = t^a z^n$ . Les  $J_n^a$  engendrent l'*algèbre de Kac-Moody affine*

$$\widehat{L\mathfrak{g}}^\mathbb{C} = \left( \bigoplus_{a; n \in \mathbb{Z}} \mathbb{C} J_n^a \right) \oplus \mathbb{C}\mathcal{K} \subset \widehat{L^\infty \mathfrak{g}}^\mathbb{C},$$

avec  $\mathcal{K} = i\mathcal{Z}$ . C'est une extension centrale de l'algèbre  $L\mathfrak{g}^\mathbb{C}$  des lacets polynomiaux à valeurs dans  $\mathfrak{g}^\mathbb{C}$  par  $\mathbb{C}$  :

$$0 \rightarrow \mathbb{C} \rightarrow \widehat{L\mathfrak{g}}^\mathbb{C} \rightarrow L\mathfrak{g}^\mathbb{C} \rightarrow 0$$

où la seconde flèche envoie 1 sur  $\mathcal{K}$  et la troisième envoie les  $J_n^a$  sur les  $j_n^a = t^a z^n$  qui satisfont les relations  $[j_n^a, j_m^b] = i f^{abc} j_{n+m}^c$ .

---

\*Habituellement, on note plutôt  $L\mathfrak{g}$  ce que l'on appelle  $L^\infty \mathfrak{g}$  et  $L_{\text{pol}} \mathfrak{g}$  l'algèbre des lacets polynomiaux à valeurs dans  $\mathfrak{g}$ , notée ici  $L\mathfrak{g}$ .

On étudie plutôt l'algèbre  $\widetilde{Lg}^{\mathbb{C}}$ , obtenue à partir de l'algèbre de Kac-Moody affine en ajoutant un générateur  $\mathcal{D}$  tel que  $[\mathcal{D}, J_n^a] = n J_n^a$  et  $[\mathcal{D}, \mathcal{K}] = 0$ . On peut alors développer des techniques reproduisant les objets connus pour les algèbres de Lie simples [93]. On peut ainsi construire des hyperplans affines, des chambres, etc... On restera néanmoins plus terre à terre. L'algèbre  $\widetilde{\mathfrak{t}} = \mathbb{R}\mathcal{D} \oplus \mathfrak{t} \oplus \mathbb{R}\mathcal{K}$  sera la **sous-algèbre de Cartan** de  $\widetilde{Lg}^{\mathbb{C}}$ . On munit  $\widetilde{\mathfrak{t}}$  du produit scalaire lorentzien :

$$\langle a\mathcal{D} + X + b\mathcal{K}, a'\mathcal{D} + Y + b'\mathcal{K} \rangle = \text{tr } XY + ab' + a'b.$$

L'espace dual  $\widetilde{\mathfrak{t}}^*$  est égal à  $\mathbb{R}\mathcal{D}^* \oplus \mathfrak{t}^* \oplus \mathbb{R}\mathcal{K}^*$ , avec  $\mathcal{D}^*(a\mathcal{D} + Z + b\mathcal{K}) = a$ ,  $\mathcal{K}^*(a\mathcal{D} + X + b\mathcal{K}) = b$  et  $\mu(a\mathcal{D} + X + b\mathcal{K}) = \mu(X)$ , pour  $\mu \in \mathfrak{t}^*$  et  $X \in \mathfrak{t}$ . Les **racines affines**  $\tilde{\alpha}$  de  $\widetilde{Lg}^{\mathbb{C}}$  sont, par définition, les éléments de  $\widetilde{\mathfrak{t}}^*$  de la forme  $n\mathcal{D}^* + \alpha$ , avec  $n \in \mathbb{Z}$ ,  $\alpha \in \Delta \cup \{0\}$  et  $(n, \alpha) \neq (0, 0)$ . On note  $e_{-\tilde{\alpha}} = e_{\alpha} z^n$ , si  $n \neq 0$ , et  $J_n^j = h^j z^n$ , si  $\alpha = 0$ . Les  $e_{-\tilde{\alpha}}$  jouent le rôle des  $e_{\alpha}$  pour  $\widetilde{Lg}^{\mathbb{C}}$ . On dit qu'une racine affine est **positive** si  $n = 0$  et  $\alpha > 0$ , ou  $n > 0$  et  $\alpha \in \Delta \cup \{0\}$ . Les racines affines **simples** sont les  $\tilde{\alpha}_i = \alpha_i$ ,  $i = 1, \dots, r$ , et  $\tilde{\alpha}_0 = \mathcal{D}^* - \phi$ , où  $\phi$  est la racine la plus grande. La **coracine** d'une racine affine  $\tilde{\alpha} = n\mathcal{D}^* + \alpha$  est  $\tilde{\alpha}^{\vee} = \alpha^{\vee} + \frac{n}{2} \text{tr}(\alpha^{\vee})^2 \mathcal{K}$ . Les réflexions  $r_{\tilde{\alpha}}$ , données par  $\tilde{\mathfrak{t}}^* \ni \tilde{\mu} \mapsto \tilde{\mu} - \tilde{\mu}(\tilde{\alpha}^{\vee}) \tilde{\alpha} \in \tilde{\mathfrak{t}}^*$ , engendrent le **groupe de Weyl affine**  $\widetilde{W}$ . Le groupe  $\widetilde{W}$  est le produit semi-direct de  $W$  et du réseau des coracines  $Q^{\vee}$ . Un élément  $w$  de  $W$  ( $q^{\vee}$  de  $Q^{\vee}$ ) envoie  $\tilde{\mu} = e\mathcal{D}^* + \mu + k\mathcal{K}^*$  sur  $e\mathcal{D}^* + w(\mu) + k\mathcal{K}^*$  (resp.  $(e - \mu(q^{\vee}) - \frac{k}{2} \text{tr}(q^{\vee})^2) \mathcal{D}^* + \mu + k \text{tr}(q^{\vee}) + k\mathcal{K}^*$ ). La **matrice de Cartan affine**  $\tilde{A}$  est la matrice  $(r+1) \times (r+1)$  d'éléments  $\tilde{a}_{ij} = 2 \langle \tilde{\alpha}_i, \tilde{\alpha}_j \rangle / \langle \tilde{\alpha}_j, \tilde{\alpha}_j \rangle$ . La matrice  $\tilde{A}$  est dégénérée de rang  $r$ . Pour rappel, la matrice de Cartan  $A$  n'est pas dégénérée. En fait, les algèbres de Kac-Moody affines s'incorporent dans un formalisme beaucoup plus général. Il s'agit de comprendre quelles sont les algèbres de Lie que l'on peut obtenir en gardant la propriété (3) des matrices de Cartan, mais en changeant la condition (4). Ce faisant on obtient une matrice de Cartan généralisée ; les algèbres qui s'en déduisent sont appelées des algèbres de Kac-Moody. Les algèbres de Kac-Moody affines sont les algèbres de Kac-Moody ayant une matrice de Cartan généralisée pour laquelle  $\det A = 0$  et tous les mineurs principaux propres sont strictement positifs — bien entendu, on appelle matrice de Cartan affine une telle matrice. Les algèbres de Kac-Moody affines obtenues par extension centrale de  $Lg^{\mathbb{C}}$  sont les algèbres de Kac-Moody affines non-tordues — « untwisted » en anglais. La matrice  $\tilde{A}$  caractérise complètement l'algèbre de Kac-Moody affine. Comme pour les algèbres de Lies simples, on connaît une classification des algèbres de Kac-Moody affines. Il y a ainsi 7 séries infinies et 9 algèbres exceptionnelles. Les algèbres non-tordues sont notées génériquement  $X_r^{(1)}$  : quatre séries infinies,  $A_r^{(1)}$  ( $r \geq 2$ ),  $B_r^{(1)}$  ( $r \geq 3$ ),  $C_r^{(1)}$  ( $r \geq 2$ ),  $D_r^{(1)}$  ( $r \geq 4$ ) et 6 cas exceptionnels,  $A_1^{(1)}$ ,  $E_6^{(1)}$ ,  $E_7^{(1)}$ ,  $E_8^{(1)}$ ,  $F_4^{(1)}$  et  $G_2^{(1)}$ .

Un élément  $\tilde{\lambda} = e\mathcal{D}^* + \lambda + k\mathcal{K}^*$  est un **poids affine** si  $\tilde{\lambda}(\tilde{\alpha}^{\vee}) \in \mathbb{Z}$ , i.e.  $\lambda$  est un poids de  $\mathfrak{g}^{\mathbb{C}}$  et  $k \in \mathbb{Z}$ . Les **poids affines fondamentaux** sont  $\tilde{\lambda}_0 = \mathcal{K}^*$  et  $\tilde{\lambda}_i = \lambda_i + k_i^{\vee} \mathcal{K}^*$ ,  $i = 1, \dots, r$ . Rappelons que les  $k_i^{\vee}$  sont les labels duaux de Kac. En particulier,  $\tilde{\lambda}_i(\tilde{\alpha}_j^{\vee}) = \delta_{ij}$ . Un poids affine est dit **dominant** si  $\tilde{\lambda}(\tilde{\alpha}) \geq 0$ , pour toute racine affine positive ( $\alpha \neq 0$ ). Un poids affine est dominant si, et seulement si,  $k \in \mathbb{N}$  et  $\lambda$  est un poids dominant de  $\mathfrak{g}^{\mathbb{C}}$  avec en plus la **condition d'intégrabilité** :

$$\lambda(\phi^{\vee}) \leq k.$$

À  $k$  fixé, il n'y a qu'un nombre fini de poids dominants satisfaisant cette condition, qui d'ailleurs ne fait pas intervenir la composante  $\mathcal{D}^*$ .

Un module  $M$  pour l'algèbre  $\widetilde{Lg}^{\mathbb{C}}$  est un **module de plus haut poids**  $\widetilde{\lambda}$  s'il existe un vecteur  $v_{\widetilde{\lambda}}$  tel que

$$e_{\widetilde{\alpha}} v_{\widetilde{\lambda}} = 0, \quad \forall \widetilde{\alpha} > 0, \quad \widetilde{X} v_{\widetilde{\lambda}} = \widetilde{\lambda}(\widetilde{X}) v_{\widetilde{\lambda}}, \quad \forall \widetilde{X} \in \widetilde{\mathfrak{t}} \quad \text{et} \quad M = \mathcal{U}(\widetilde{Lg}^{\mathbb{C}}) v_{\widetilde{\lambda}}.$$

On dit que  $v_{\widetilde{\lambda}}$  est un **vecteur de plus haut poids**,  $\widetilde{\lambda} = e\mathcal{D}^* + \lambda + k\mathcal{K}^*$  est le **plus haut poids affine**,  $-e$  est l'**énergie**,  $\lambda$  est le **plus haut poids**,  $k$  est le **niveau** de la représentation. Un module est dit **unitaire** s'il existe une forme hermitienne positive sur  $M$  pour laquelle

$$(J_n^a)^\dagger = J_{-n}^a, \quad \mathcal{K}^\dagger = \mathcal{K}, \quad \mathcal{D}^\dagger = \mathcal{D}.$$

Les mêmes définitions s'appliquent à l'algèbre de Kac-Moody affine  $\widehat{Lg}^{\mathbb{C}}$ , en oubliant tout ce qui concerne  $\mathcal{D}$ . Si on a un module de plus haut poids pour l'algèbre de Kac-Moody affine, on peut définir une action de l'algèbre de Virasoro grâce à la construction de Sugawara (43). Cette action est une réminiscence de l'action de  $\text{Diff}_+ S^1$  sur le groupe des lacets  $LG$ . Si le module pour  $\widehat{Lg}^{\mathbb{C}}$  est unitaire, celui de l'algèbre de Virasoro est aussi unitaire, de charge centrale  $c_k = k \dim G / (k + g^\vee)$  et  $[L_n, J_m^a] = -m J_{n+m}^a$ . On peut donc étendre le module de plus haut poids pour  $\widehat{Lg}^{\mathbb{C}}$  en un module de plus haut poids pour  $\widetilde{Lg}^{\mathbb{C}}$ , en prenant pour  $\mathcal{D}$  :  $-L_0 + \frac{c_k}{24}$ . Comme  $L_0 v_{\widetilde{\lambda}} = \frac{C_\lambda}{k+g^\vee} v_{\widetilde{\lambda}} - C_\lambda$  est le Casimir quadratique — le vecteur de plus haut poids affine pour le nouveau module est

$$\widetilde{\lambda}' = \left( -\frac{C_\lambda}{k+g^\vee} + \frac{c_k}{24} \right) \mathcal{D}^* + \widetilde{\lambda}.$$

Encore une fois, parmi toutes les représentations de même plus haut poids de  $\widetilde{Lg}^{\mathbb{C}}$  ou  $\widehat{Lg}^{\mathbb{C}}$ , on a la plus grande, le module de Verma, et la plus petite, l'irréductible. La forme de Shapovalov est la forme hermitienne sur le module de Verma telle que  $(J_n^a)^\dagger = J_{-n}^a$ ,  $\mathcal{K}^\dagger = \mathcal{K}$ ,  $\mathcal{D}^\dagger = \mathcal{D}$  et  $\langle v_{\widetilde{\lambda}}, v_{\widetilde{\lambda}} \rangle = 1$ . Le sous-espace Nul est le plus grand sous-espace propre invariant ; la forme de Shapovalov descend alors en une forme hermitienne non-dégénérée sur le quotient irréductible du module de Verma, celle-ci étant positive si, et seulement si, le plus haut poids est un poids affine dominant.

Les classes d'équivalence de représentations irréductibles, unitaires, de plus haut poids de  $\widetilde{Lg}^{\mathbb{C}}$ , ou  $\widehat{Lg}^{\mathbb{C}}$  sont donc en correspondance bijective avec l'ensemble des poids affines dominants et donc énumérées par leur niveau  $k \in \mathbb{N}$  et leur poids intégrable  $\lambda$ , *i.e.*  $\lambda(\phi^\vee) \leq k$  [56]. Les représentations de plus haut poids ne différant que par leur composante  $\mathcal{D}^*$  sont reliées par une translation de  $\mathcal{D}$  ; on peut donc toujours supposer que  $\mathcal{D}$  est donné par la construction de Sugawara. Les représentations unitaires de plus haut poids de  $\widehat{Lg}^{\mathbb{C}}$  s'intègrent en des représentations unitaires projectives de  $LG$  dans la complétion de  $M$  [80].

Les **caractères affines** d'une représentation de  $\widetilde{Lg}^{\mathbb{C}}$  sont

$$\chi(\widetilde{u}) = \text{tr} e^{i\widetilde{u}}$$

pour  $\widetilde{u} \in \widetilde{\mathfrak{t}}$ . L'espace de représentation étant de dimension infinie, il faut faire un peu attention. Pour une représentation irréductible de plus haut poids, il suffit de considérer les espaces propres de  $\mathcal{D}$ . Les contributions des différentes valeurs propres de  $\mathcal{D}$  mises ensemble convergent à condition que  $\widetilde{u} = -2\pi\tau\mathcal{D} + u + b\mathcal{K}$ , avec  $\tau = \tau_1 + i\tau_2$  et  $\tau_2$  positive. Pour les représentations unitaires de plus haut poids,  $e^{i\widetilde{u}}$  devient un opérateur traçable dans la complétion de l'espace



de représentation, de sorte qu'on peut prendre la tr au sens opératoirel. Les caractères dans une représentation irréductible unitaire de plus haut poids  $\tilde{\lambda}$  sont donnés par la **formule des caractères de Weyl-Kac** :

$$\chi_{\tilde{\lambda}}(\tilde{u}) = \Pi(\tilde{u})^{-1} \sum_{\tilde{w} \in \tilde{W}} (-1)^{\ell(\tilde{w})} e^{i\tilde{w}(\tilde{\lambda} + \tilde{\rho})(\tilde{u})}$$

où  $\tilde{u} \in \tilde{\mathfrak{t}}$ ,  $\tilde{\rho} = \rho + g^\vee \mathcal{K}^*$ ,  $\ell(\tilde{w})$  est le nombre de racines positives transformées par  $\tilde{w}$  en racines négatives et  $\Pi(\tilde{u})$  est le **dénominateur de Weyl-Kac**

$$\Pi(\tilde{u}) = \sum_{\tilde{w} \in \tilde{W}} (-1)^{\ell(\tilde{w})} e^{i\tilde{w} \tilde{\rho}(\tilde{u})} = e^{i\tilde{\rho}(\tilde{u})} \prod_{\tilde{\alpha} > 0} (1 - e^{-i\tilde{\alpha}(\tilde{u})}).$$

Si  $\tilde{\lambda} = (-\frac{C_\lambda}{k+g^\vee} + \frac{c_k}{24}) \mathcal{D}^* + \lambda + k \mathcal{K}^*$ , on utilise aussi les fonctions suivantes :

$$\chi_{\tilde{\lambda}}(\tilde{u}) = e^{ibk} \chi_\lambda^k(u, \tau), \quad \Pi(\tilde{u}) = q^{-d/24} e^{ibg^\vee} \Pi(\frac{u}{2\pi}, \tau)$$

où  $d = \dim \mathfrak{g}$  et  $q = e^{2\pi i \tau}$ . En utilisant la première forme du dénominateur et  $\tilde{W} = W \times Q^\vee$ , on trouve l'identité de Macdonald :

$$\Pi(u, \tau) = \sum_{p^\vee \in Q^\vee} q^{|\rho^\vee + g^\vee p^\vee|^2 / (2g^\vee)} \sum_{w \in W} (-1)^{\ell(w)} e^{2\pi i w(\rho + g^\vee \text{tr}(p^\vee \cdot))u}.$$

La somme sur  $w$  fait apparaître le caractère  $\chi_{g^\vee \text{tr}(p^\vee \cdot)}(2\pi u)$  de l'algèbre de Lie finie  $\mathfrak{g}$ . Le facteur  $q^{-d/24}$  apparaît via la formule étrange de Freudenthal-de Vries :  $\text{tr}(\rho^2) / (\text{tr}(\phi^2) g^\vee) = d/24$ . On voit alors que le dénominateur de Weyl-Kac satisfait une équation du type de la chaleur, c.-à-d.

$$4\pi i g^\vee \Pi^{-1} \partial_\tau \Pi = \Pi^{-1} \Delta_u \Pi$$

où  $\Delta_u$  est le Laplacien  $\sum_{j=1}^r \partial_{u^j}^2$ , si  $u = u^j h^j$ . En utilisant la deuxième forme du dénominateur, on trouve

$$\Pi(u, \tau) = q^{d/24} \prod_{\alpha \in \Delta_+} (e^{\pi i u_\alpha} - e^{-\pi i u_\alpha}) \prod_{\ell=1}^{\infty} \left[ (1 - q^\ell)^r \prod_{\alpha \in \Delta} (1 - q^\ell e^{2\pi i u_\alpha}) \right]$$

où  $r = \dim \mathfrak{t}$ ,  $u_\alpha = \alpha(u)$ .

## §8. Espace des états de WZNW

La décomposition suivante de l'espace des états est compatible avec l'étude menée dans la section 6

$$\mathbf{H} = \bigoplus_{\lambda(\phi^\vee) \leq k} \mathbf{H}_\lambda^k \otimes \mathbf{H}_\lambda^k$$

où  $\mathbf{H}_\lambda^k$  est la complétion de l'espace de représentation  $\mathbf{V}_\lambda^k$  de la représentation irréductible de plus haut poids de  $\widehat{L\mathfrak{g}}^\mathbb{C}$  de niveau  $k$  et de plus haut poids  $\lambda$ . On note  $v_\lambda^k$  le vecteur de plus haut poids. L'espace  $\mathbf{H}_\lambda^k$  correspond à la représentation complexe conjuguée. Le vecteur vide

est donc proportionnel au vecteur  $v_0^k \otimes v_0^k$  et les éléments matriciels de  $\widehat{g}(0)_{R_\ell} \Omega$  engendrent le sous-espace obtenu en appliquant les polynômes en  $J_0^a$  et  $\overline{J}_0^a$  à  $v_\lambda^k \otimes v_\lambda^k$ , où  $\lambda$  est le plus haut poids de la représentation  $R_\ell$ .

Toutes les représentations de  $G$  ne rentrent pas dans la décomposition de l'espace des états. On appelle souvent une représentation de plus haut poids  $\lambda$  telle que  $\lambda(\phi^\vee) \leq k$  une représentation *intégrable*. Il semble ainsi que seules les représentations intégrables puissent intervenir dans le calcul des fonctions de Green (cf. chapitre 3).

## ÉTATS DE CHERN-SIMONS

Notre principal objectif est la résolution du modèle de WZNW quantique ; c'est à ce moment qu'un lien avec la théorie de Chern-Simons (CS) apparaît. Il se trouve que les solutions des identités de Ward chirales pour WZNW sont les états quantiques de la théorie de CS. Ces derniers s'interprètent naturellement comme les sections holomorphes d'un fibré vectoriel complexe, au-dessus de l'espace des modules  $\mathcal{N} = \mathcal{A}^{01}/\mathcal{G}^{\mathbb{C}}$ , muni d'un produit scalaire à la Bargmann. La connaissance des états de CS et du produit scalaire permet alors d'exprimer les fonctions de Green du modèle de WZNW comme combinaisons sesquilinéaires de facteurs holomorphes, ce que nous appelons factorisation holomorphe.

### §1. Espace des modules $\mathcal{N} = \mathcal{A}^{01}/\mathcal{G}^{\mathbb{C}}$

Le langage géométrique naturel des théories de jauge utilise les notions de connexion et de fibrés vectoriels. Au final, on travaille dans la catégorie holomorphe. On souhaite alors réinterpréter l'espace quotient  $\mathcal{N}$  des connexions modulo les transformations de jauge comme l'espace des modules des fibrés vectoriels holomorphes. Une telle reformulation ouvre la porte vers la puissante machinerie de la géométrie. On démarre par des rappels de géométrie différentielle. La littérature sur le sujet est particulièrement riche ; ma petite sélection personnelle se composerait de [102, 117, 144]. Du point de vue de la géométrie différentielle, l'article de référence sur les espaces des modules est celui d'Atiyah-Bott [9]. Les livres [34] et surtout [101] sont des exposés remarquables sur le sujet. Les espaces des modules ont aussi attiré l'attention des géomètres algébristes, surtout Mumford et l'école indienne du Tata Institute. On pourra consulter à ce propos les références [105, 136]. Bien entendu, on peut se reporter aux articles originaux et surtout à ceux écrits dans les années soixantes, qui utilisent un langage plus accessible au commun des mortels.

#### 1.1. Géométrie différentielle

Soit  $E \rightarrow X$  un fibré vectoriel complexe  $\mathcal{C}^{\infty}$  de rang  $r$  au-dessus d'une variété différentielle réelle  $X$ . On note  $\Gamma(E)$  l'ensemble des sections  $\mathcal{C}^{\infty}$  de  $E$  au-dessus de  $X$ ,  $\mathcal{E}^p(E) = \Gamma(\Lambda^p T^* X \otimes E)$  l'espace des  $p$ -formes sur  $X$  à valeurs dans  $E$  et  $\mathcal{C}^{\infty}(X)$  (resp.  $\mathcal{E}^p(X)$ , ...) l'ensemble des fonction  $\mathcal{C}^{\infty}$  (resp.  $p$ -formes, ...) sur  $X$ . Le **groupe de jauge**  $\mathcal{G}$  de  $E$  est le groupe des automorphismes de  $E$ . Localement, une transformation de jauge est une application  $\mathcal{C}^{\infty}$  de  $X$  dans  $\mathrm{GL}_r \mathbb{C}$ . Pour un  $G$ -fibré principal, une transformation de jauge est localement une application  $\mathcal{C}^{\infty}$  de  $X$  dans  $G$ .

Une **connexion**  $\nabla$  sur  $E \rightarrow X$  est un opérateur  $\mathbb{C}$ -linéaire  $\nabla : \Gamma(E) \rightarrow \mathcal{E}^1(E)$  tel que  $\nabla(f\xi) = (df)\xi + f\nabla\xi$ , pour tout  $f \in \mathcal{C}^{\infty}(X)$  et tout  $\xi \in \Gamma(E)$ . Toute connexion s'étend en

une différentielle extérieure, toujours notée  $\nabla$ , agissant sur les formes de degré quelconque sur  $X$  à valeurs dans  $E$  :  $\nabla : \mathcal{E}^*(E) \rightarrow \mathcal{E}^*(E)$  est l'unique opérateur coïncidant avec  $\nabla$  sur  $\Gamma(E)$  et vérifiant l'identité de Leibniz

$$\nabla(\omega \wedge \xi) = d\omega \wedge \xi + (-1)^{\deg \omega} \omega \wedge \nabla \xi,$$

si  $\omega \in \mathcal{E}^*(X)$  et  $\xi \in \mathcal{E}^*(E)$ . Étant donné un ouvert  $U$  de  $X$ , il existe une 1-forme  $A$ , appelée **forme de connexion**, sur  $U$  à valeurs dans  $\mathfrak{gl}(r, \mathbb{C})$  telle que  $\nabla \xi = (d + A \wedge) \xi$ . En effet, soit un repère de  $E$  au-dessus de  $U$ , c.-à-d. une base  $(e_1, \dots, e_r)$  tel que tout élément  $\xi$  de  $\mathcal{E}^p(U, E)$  se décompose en  $\xi = \xi^\mu e_\mu$  où  $\xi^\mu \in \mathcal{E}^p(U)$ . Soit  $A$  la matrice  $r \times r$  de 1-formes telle que  $\nabla e_\mu = A_\nu^\mu e_\nu$ . Pour  $\xi \in \mathcal{E}^p(U, E)$ , un petit calcul matriciel donne  $\nabla \xi = d\xi + A \wedge \xi$ . Soient  $U$  et  $V$  deux ouverts de  $X$ . Dans un changement de coordonnées local  $g : U \cap V \rightarrow \mathrm{GL}_r \mathbb{C}$ , i.e.  $e'_\mu = e_\nu g'_\mu^\nu$  sur  $U \cap V$ , la forme  $A$  se transforme comme  $A \mapsto g^{-1} A g + g^{-1} dg$ . C'est une définition alternative de la notion de connexion qui se transpose bien aux fibrés principaux. Pour un  $G$ -fibré principal  $P$ , une connexion est une famille de 1-formes  $A$  sur  $X$  à valeurs dans  $\mathfrak{ig}$  telle que  $A \mapsto g^{-1} A g + g^{-1} dg$  dans un changement de coordonnées locales  $g : U \cap V \rightarrow G$ .

La **courbure** de la connexion  $\nabla$  est l'opérateur  $\nabla^2 : \mathcal{E}^0(E) \rightarrow \mathcal{E}^2(E)$ . La courbure mesure donc l'exactitude de la suite de de Rham  $\mathcal{E}^0(E) \rightarrow \mathcal{E}^1(E) \rightarrow \mathcal{E}^2(E) \rightarrow \dots$ . La courbure est  $\mathcal{C}^\infty(X)$ -linéaire, donc on peut voir  $\nabla^2$  comme un élément de  $\mathcal{E}^2(\mathrm{End} E)$ , soit une 2-forme à valeurs dans  $\mathrm{End} E$ . Localement,  $\nabla^2 \xi = F \wedge \xi$  où  $F = dA + A \wedge A$  est la **forme de courbure** associée à la connexion  $\nabla$ . Pour un  $G$ -fibré principal  $P$ , il est préférable d'écrire  $F = dA + \frac{1}{2} [A, A]$ .

Une structure plate sur  $E$  est la donnée d'un recouvrement ouvert  $\mathcal{U}$  de  $X$  pour lequel toutes les fonctions de transition sont constantes. Les trois conditions suivantes sont équivalentes :

(1)  $E$  est muni d'une structure plate ; (2)  $E$  admet une connexion plate, c.-à-d.  $F = 0$  ; (3)  $E$  est défini par une représentation  $\rho$  du groupe fondamental  $\pi_1$  de  $X$  dans  $\mathrm{GL}_r \mathbb{C}$  (donnée par l'holonomie de la connexion plate). Cette dernière condition dit que  $E$  est le fibré  $E_\rho = \tilde{X} \times_\rho \mathbb{C}^r$  associé au  $\pi_1$ -fibré principal  $\tilde{X} \rightarrow X$  par la représentation  $\rho : E_\rho$  est le quotient de  $\tilde{X} \times \mathbb{C}^r$  par la relation d'équivalence  $(x, v) \simeq (px, \rho(p)v)$ , si  $p \in \pi_1$  — une section de  $E_\rho$  est une fonction  $s \in \mathcal{C}^\infty$  telle que  $s(px) = \rho(p)s(x)$ . On dit alors que  $E$  est un **fibré plat**. Le résultat est également vrai pour un  $G$ -fibré principal  $P$  en remplaçant l'assertion (3) par :  $P$  est défini par une représentation  $\rho : \pi_1 \rightarrow G$ , i.e.  $P_\rho = \tilde{X} \times_\rho G$ .

Soit  $P$  le  $\mathrm{GL}_r \mathbb{C}$ -fibré principal associé au fibré vectoriel  $E$ . Soit  $\hat{P} = P / \mathbb{C}^* I_r$ , où  $I_r$  est la matrice identité ;  $\hat{P}$  est un  $\mathrm{PGL}_r \mathbb{C}$ -fibré principal, où  $\mathrm{PGL}_r \mathbb{C} = \mathrm{GL}_r \mathbb{C} / \mathbb{C}^* I_r$ . Une structure projectivement plate sur  $E$  est la donnée d'une structure plate sur  $\hat{P}$ . Une connexion est projectivement plate sur  $E$  si la connexion induite sur  $\hat{P}$  est plate. Il y a équivalence entre : (1)  $E$  est muni d'une structure projectivement plate ; (2)  $E$  admet une connexion projectivement plate. On dit alors que  $E$  est un **fibré projectivement plat**. Une connexion est projectivement plate si, et seulement si, il existe une forme  $\lambda \in \mathcal{E}^2(X)$  telle que  $F = \lambda I$ , où  $I$  est l'identité de  $\mathrm{End} E$ .

Si  $F$  est la forme de courbure d'une connexion  $\nabla$  sur un fibré vectoriel complexe  $E$  au-dessus d'une variété complexe  $X$ , on pose

$$c(E, \nabla) \equiv \det \left( I_r + \frac{i}{2\pi} F \right) = 1 + c_1(E, \nabla) + \dots + c_r(E, \nabla)$$

où  $c_k(E, \nabla) \equiv f_k(F)$ ,  $f_k$  étant le polynôme sur  $\mathfrak{gl}(r, \mathbb{C})$  de degré  $k$ ,  $\mathrm{GL}_r \mathbb{C}$ -invariant et tel que  $\det(t I_r + \frac{i}{2\pi} X) = t^r + t^{r-1} f_1(X) + \dots + t^0 f_r(X)$ . Chaque  $c_k(E, \nabla)$  est indépendante du

choix du repère où on a représenté  $\nabla^2$  ; c'est même une  $2k$ -forme fermée. La  $k$ -ième classe de Chern  $c_k(E)$  est la classe de de Rham de  $c_k(E, \nabla)$  dans  $H_{\text{dR}}^{2k}(X, \mathbb{C})$  et la forme de Chern est la classe de de Rham de  $c(E, \nabla)$  dans  $H_{\text{dR}}^*(X, \mathbb{C})$ . En fait,  $c_k(E)$  est une classe de de Rham réelle et même entière qui ne dépend pas de la connexion  $\nabla$ . Seule la première classe de Chern  $c_1(E) = [\frac{i}{2\pi} \text{tr} F]$  nous intéresse vraiment. Entre autres propriétés, on a :  $c_1(E)$  ne dépend que des classes d'isomorphismes de  $E$ , la première classe de Chern d'un fibré trivial est nulle,  $c_1(E^*) = -c_1(E)$  et  $c_1(\Lambda^r E) = c_1(E)$ . Si  $X$  est de dimension 2 et compact, le **degré** de  $E$  est

$$\text{deg } E \equiv \int_X c_1(E).$$

Comme  $c_1(E)$  est une classe entière, oublier la différence (conceptuelle) entre  $\text{deg } E$  et  $c_1(E)$  est pleinement justifié. Notons que si  $E$  est un fibré de déterminant  $\det E \equiv \Lambda^r E$  trivial alors  $\text{deg } E = 0$ .

Supposons que  $X$  est une variété complexe. On note  $\mathcal{E}^{p,q}(E)$  l'espace des  $(p, q)$ -formes à valeurs dans  $E$ . Soit  $E$  un fibré vectoriel holomorphe au-dessus de  $X$  c.-à-d. un fibré topologiquement équivalent à un fibré vectoriel complexe  $E$  tel que la projection  $\pi : E \rightarrow X$  est holomorphe ou encore pouvant être défini par des fonctions de transitions holomorphes. Une différence avec les fibrés vectoriels « ordinaires » est l'existence d'un opérateur privilégié  $\bar{\partial} : \mathcal{E}^{p,q}(E) \rightarrow \mathcal{E}^{p,q+1}(E)$  qui dans un repère holomorphe (local) n'est autre que l'opérateur de Cauchy-Riemann  $\bar{\partial}$ . Une **structure holomorphe** sur un fibré vectoriel complexe sera dorénavant la donnée d'un opérateur  $\bar{\partial}$ . Deux structures holomorphes  $\bar{\partial}$  et  $\bar{\partial}'$  sont dites **équivalentes** s'il existe une transformation de jauge  $h$  telle que  $h^{-1}\bar{\partial}h = \bar{\partial}'$ . Il est facile de voir que cette définition équivaut à dire que les fibrés vectoriels holomorphes sous-jacents à  $\bar{\partial}$  et  $\bar{\partial}'$  sont isomorphes.

La parenté évidente entre un opérateur  $\bar{\partial}$  et une connexion n'est pas innocente. Si  $X$  est une variété complexe, une connexion  $\nabla$  sur un fibré vectoriel complexe  $E$  se décompose naturellement en  $\nabla = \nabla^{10} + \nabla^{01}$  où  $\nabla^{10} : \mathcal{E}^{p,q}(E) \rightarrow \mathcal{E}^{p+1,q}(E)$  et  $\nabla^{01} : \mathcal{E}^{p,q}(E) \rightarrow \mathcal{E}^{p,q+1}(E)$ . De même, on a  $d = \partial + \bar{\partial}$ . La courbure  $\nabla^2$  se scinde en trois parties :

$$\begin{aligned} \nabla^{10} \circ \nabla^{10} &\in \mathcal{E}^{2,0}(\text{End } E), & \nabla^{10} \circ \nabla^{01} + \nabla^{01} \circ \nabla^{10} &\in \mathcal{E}^{1,1}(\text{End } E) \\ \text{et } \nabla^{01} \circ \nabla^{01} &\in \mathcal{E}^{0,2}(\text{End } E). \end{aligned}$$

Suivant le même schéma,  $A = A^{10} + A^{01}$  et  $F = F^{20} + F^{11} + F^{02}$ . On désire un critère permettant de déterminer les connexions provenant d'une structure holomorphe sur  $E$ , i.e. pour lesquelles  $\nabla^{01} = \bar{\partial}$  ; on dit qu'une telle connexion est **intégrable**. Par une variante du théorème de Newlander-Nirenberg, on montre que

PROPOSITION [9, 10]. — Une connexion  $\nabla$  sur un fibré vectoriel complexe au-dessus de  $X$  est intégrable si, et seulement si,  $\nabla^{01} \circ \nabla^{01} = 0$ .

Comme conséquence immédiate, dans un repère holomorphe :  $A^{01} = 0$  et  $F^{02} = 0$ . Si  $X$  est une surface de Riemann  $\Sigma$ , la condition d'intégrabilité est toujours vérifiée, ainsi toute connexion est intégrable. La proposition précédente permet de réinterpréter l'espace quotient  $\mathcal{A}^{01}/\mathcal{G}^{\mathbb{C}}$  des champs de jauge chiraux modulo les transformations de jauge en termes plus géométriques.

## 1.2. Espace des modules

Soit  $E$  un fibré vectoriel complexe  $\mathcal{C}^\infty$  au-dessus d'une surface de Riemann  $\Sigma$ , de rang  $r$  et de degré  $d$ . Une structure complexe sur  $E$  est la donnée d'un opérateur  $\bar{\partial}$ . Le groupe des transformations de jauge (des automorphismes de  $E$ )  $\mathcal{G}^{\mathbb{C}}$  agit sur l'espace des structures complexes sur  $E$ . L'espace quotient  $\mathcal{N}$  est l'ensemble des classes d'isomorphisme de fibrés vectoriels holomorphes au-dessus de  $\Sigma$  de rang  $r$  et de degré  $d$ . En effet, deux fibrés vectoriels holomorphes de rang  $r$  et de degré  $d$  sur  $X$  sont topologiquement équivalents et ils sont isomorphes si, et seulement si, leurs structures complexes respectives sont reliées par une transformation de jauge. L'espace quotient est communément appelé *l'espace des modules de fibrés vectoriels holomorphes de rang  $r$  et de degré  $d$* . Hélas, pour obtenir un espace des modules sympathique on ne doit considérer que les fibrés stables. Un fibré vectoriel holomorphe  $E$  au-dessus de  $\Sigma$  est dit *stable* (resp. *semi-stable*) si, pour tout sous-fibré holomorphe propre  $F$  de  $E$ , on a  $\mu(F) < \mu(E)$  (resp.  $\mu(F) \leq \mu(E)$ ), où la *pente*  $\mu(E)$  de  $E$  est la quantité  $\deg E / \operatorname{rg} E$ . Si  $\deg E$  et  $\operatorname{rg} E$  sont premiers entre eux, il n'y a pas de différence entre stabilité et semi-stabilité.

Sans la condition de stabilité, l'espace quotient  $\mathcal{N}$  n'est même pas Hausdorff. Mumford [111] a pu montrer qu'il existe une variété lisse  $\mathcal{N}_s$  de dimension  $\dim \mathcal{N}_s = r^2(g-1) + 1$ , si  $\mathcal{N}_s$  n'est pas vide et  $g \geq 2$ , paramétrisant l'ensemble des classes d'isomorphisme de fibrés stables de rang  $r$  et de degré  $d$ . Cette variété admet une compactification naturelle [135] notée  $\mathcal{N}_{ss}$ , isomorphe au quotient de l'ensemble des classes d'isomorphismes de fibrés semi-stables par la relation d'équivalence de Seshadri. Si  $E$  est un fibré vectoriel holomorphe semi-stable de pente  $\mu$ ,  $E$  admet une filtration de Jordan-Hölder [135]

$$\{0\} = E_0 \subset E_1 \subset \cdots \subset E_{p-1} \subset E_p = E$$

telle que  $\operatorname{gr}_i \equiv E_i/E_{i-1}$ ,  $i = 1, \dots, p$ , soit stable et  $\mu(\operatorname{gr}_i) = \mu$ . Bien entendu,  $p = 1$  si  $E$  est stable. La graduation associée à  $E$ , c.-à-d. le fibré  $\operatorname{Gr} E \equiv \bigoplus_{i=1}^p \operatorname{gr}_i$ , ne dépend que de la classe d'isomorphisme de  $E$ . On dit que deux fibrés semi-stables  $E$  et  $E'$  sont *S-équivalents* (ou *Seshadri équivalents*) si  $\operatorname{Gr} E \cong \operatorname{Gr} E'$ . En particulier, si  $E$  et  $E'$  sont stables, ils sont S-équivalents si, et seulement si, ils sont isomorphes. Si  $r$  et  $d$  sont premiers entre eux,  $\mathcal{N}_s$  est déjà compacte. L'espace  $\mathcal{N}_s$  est un ouvert de  $\mathcal{N}_{ss}$ . Les points correspondant à des fibrés stables sont des points non-singuliers de  $\mathcal{N}_{ss}$ . L'espace tangent à  $\mathcal{N}_s$  est isomorphe à  $H^1(\operatorname{End} E)$ .

En genre zéro, l'espace  $\mathcal{N}_s$  est vide dès que  $r > 1$  et  $\mathcal{N}_{ss}$  est un point si  $r$  divise  $d$ , vide sinon [84] (cf. section 5 pour plus de détails). En genre un, si  $h$  est le plus grand diviseur commun de  $r$  et  $d$ ,  $\mathcal{N}_{ss}$  est isomorphe au produit symétrique  $\mathfrak{S}^h \Sigma$  [8]. De plus, si  $h = 1$ ,  $\mathcal{N}_s = \mathcal{N}_{ss} = \Sigma$  et, si  $h > 1$ ,  $\mathcal{N}_s = \emptyset$ .

On suppose maintenant que  $g, r \geq 2$ . L'espace des modules  $\mathcal{N}_s$  n'est pas vide et, excepté dans les cas  $r = 2 = g$  et  $d$  pair, l'ensemble des points singuliers de  $\mathcal{N}_{ss}$  est l'ensemble des points semi-stables non-stables  $\mathcal{N}_{ss} \setminus \mathcal{N}_s$  [115]. À ma connaissance, on n'a une description explicite de  $\mathcal{N}_{ss}$  que dans très peu de cas. En fait, les résultats concernent plutôt l'espace des modules des fibrés vectoriels holomorphes de rang  $r$  et de déterminant fixé  $\mathcal{D}$  (de degré  $d$ ). Les notations standards sont  $\mathcal{U}(r, d)$  — notre  $\mathcal{N}_{ss}$  plus haut — et  $\mathcal{S}\mathcal{U}(r, \mathcal{D})$ . L'espace  $\mathcal{S}\mathcal{U}(r, \mathcal{D})$  est la fibre de l'application  $\det : \mathcal{U}(r, d) \rightarrow J^d$ , où  $J^d$  est la Jacobienne de  $\Sigma$  paramétrisant les fibrés holomorphes en droites de degré  $d$ , et  $\det$  est l'application qui associe à la classe d'isomorphisme de  $E$  celle de  $\det E$ . Si  $d = 0$  — déterminant topologiquement trivial —  $\mathcal{U}(r)$  est essentiellement le produit  $\mathcal{S}\mathcal{U}(r) \times J^0$ , donc l'étude de  $\mathcal{U}(r)$  se

ramène complètement à celle de  $\mathcal{S}\mathcal{U}(r)$ . Pour simplifier, on note indifféremment tous les types d'espaces des modules. On connaît  $\mathcal{N}_{ss}$  pour les configurations suivantes :  $r = 2 = g$  et déterminant trivial [115], surfaces hyperelliptiques,  $r = 2$  [30] et surfaces non-hyperelliptiques de genre 3,  $r = 2$ , déterminant trivial [116]. Détaillons un petit peu le cas  $r = 2 = g$  et déterminant trivial puisque c'est celui qui nous intéressera le plus :  $\mathcal{N}_{ss} \setminus \mathcal{N}_s$  est isomorphe à une surface de Kummer — ce qui est également vrai si  $g \geq 3$  — et  $\mathcal{N}_{ss}$  est une variété lisse isomorphe à l'espace projectif des fonctions thêta de degré 2 [115], soit l'espace projectif tridimensionnel  $\mathbb{P}^3$ .

Passons maintenant au cadre plus général des fibrés principaux [103, 127]. On suppose que  $G$  est groupe compact simple, connexe et simplement connexe. Soit  $P$  un  $G$ -fibré principal au-dessus d'une surface de Riemann  $\Sigma$ . Sans perdre la généralité, on peut prendre  $P = \Sigma \times G$ . L'espace de connexions sur  $P$  peut être alors identifié avec l'espace  $\mathcal{A}$  des 1-formes sur  $\Sigma$  à valeurs dans  $\mathfrak{g}$ . On a déjà défini l'action du groupe de jauge sur  $\mathcal{A} : {}^g A \equiv g A g^{-1} + g d g^{-1}$ . Le groupe de jauge est un groupe de Lie de dimension infinie. La structure complexe sur  $\Sigma$  induit une structure complexe sur  $\mathcal{A}$ . Étant donnée une structure complexe  $\mathbb{J}$  sur  $\Sigma$ , on décompose un champ  $A$  (complexifié) en  $A = A^{10} + A^{01}$ , avec (cf. p. 21)

$$A^{10} = A \frac{1+i\mathbb{J}}{2}, \quad A^{01} = A \frac{1-i\mathbb{J}}{2}.$$

La condition d'unitarité :  $A^{10} = -(A^{01})^\dagger$  permet de retrouver le champ original  $A$ . On peut donc identifier  $\mathcal{A}$  et l'espace complexe  $\mathcal{A}^{01}$  des  $(0,1)$ -formes à valeurs dans  $\mathfrak{g}^{\mathbb{C}}$ . On prolonge l'action de  $\mathcal{G}$  sur  $\mathcal{A}$  en une action du groupe de jauge complexifié, noté  $\mathcal{G}^{\mathbb{C}}$  — c'est l'ensemble des applications  $\mathcal{C}^\infty$  de  $\Sigma$  dans  $G^{\mathbb{C}}$ . On définit :  ${}^g A^{01} = g A^{01} g^{-1} + g \bar{\partial} g^{-1}$  (et  ${}^g A^{10} = (g^\dagger)^{-1} A^{10} g^\dagger + (g^\dagger)^{-1} \partial g^\dagger$ ). On retrouve l'action du groupe compact en prenant  $g g^\dagger = 1$ .

Comme pour les fibrés vectoriels, toute connexion sur  $P$  détermine une structure holomorphe sur le  $G^{\mathbb{C}}$ -fibré  $P^{\mathbb{C}}$ , la complexification de  $P$ . Réciproquement, tout  $G^{\mathbb{C}}$ -fibré holomorphe, muni d'une réduction du groupe de structure à  $G$ , détermine une  $G$ -connexion canonique. De plus, deux structures holomorphes sur  $P^{\mathbb{C}}$  produisent des fibrés isomorphes si les connexions sous-jacentes sont dans la même orbite de  $\mathcal{G}^{\mathbb{C}}$ . Ainsi,  $\mathcal{A}^{01}/\mathcal{G}^{\mathbb{C}}$  est l'ensemble des classes d'équivalence de  $G^{\mathbb{C}}$ -fibrés holomorphes. En effet, suivant [9], tout champ de jauge  $A^{01}$  s'écrit localement  $g_\alpha^{-1} \bar{\partial} g_\alpha$ , où  $g_\alpha : U_\alpha \rightarrow G^{\mathbb{C}}$ . La quantité  $g_{\alpha\beta} = g_\alpha g_\beta^{-1}$  donne un cocycle d'un  $G^{\mathbb{C}}$ -fibré holomorphe dont la classe modulo  $(g_{\alpha\beta}) \mapsto (h_\alpha g_{\alpha\beta} h_\beta^{-1})$  détermine, à isomorphisme près, le fibré. D'ailleurs, deux  $A^{01}$  donnent des cocycles équivalents si, et seulement si, ils sont dans la même orbite de  $\mathcal{G}^{\mathbb{C}}$ .

Comme précédemment, on peut définir des notions de stabilité et de semi-stabilité. On construit alors une variété lisse  $\mathcal{N}_s$  paramétrisant les  $G^{\mathbb{C}}$ -fibrés stables. Cette dernière admet une compactification naturelle : l'espace des modules des classes d'équivalence de Seshadri de  $G^{\mathbb{C}}$ -fibrés holomorphes. La dimension (complexe) de  $\mathcal{N}_s$  est :

$$\dim \mathcal{N}_s = \begin{cases} 0, & \text{si } g = 0 \\ \text{rg } G, & \text{si } g = 1 \\ \dim G (g - 1), & \text{si } g > 1 \end{cases} \quad (1)$$

Si  $G = \text{SU}_r \mathbb{C}$  c.-à-d.  $G^{\mathbb{C}} = \text{SL}_r \mathbb{C}$ , on obtient l'espace des modules  $\mathcal{S}\mathcal{U}(r)$  des fibrés de rang  $r$  de déterminant trivial. Le cas  $r = 2$  a été étudié par Narasimhan et Ramanan [115]. On utilisera ce travail au chapitre 5.

Un résultat important dû à Narasimhan et Seshadri dit qu'un fibré vectoriel de degré 0 est stable si, et seulement si, il est défini par une représentation irréductible unitaire du groupe fondamental  $\pi_1$  de  $\Sigma$ , *i.e.* par un  $\rho : \pi_1 \rightarrow U_r$ . En particulier, un fibré stable de degré zéro est nécessairement plat. Plus tard, la démonstration de ce théorème fut considérablement simplifiée par Donaldson [33]. La généralisation aux fibrés principaux est due à Ramanathan [127] : un  $G^{\mathbb{C}}$ -fibré  $P$  est stable si, et seulement si, il provient d'une représentation irréductible unitaire de  $\pi_1$ , c.-à-d. d'une représentation irréductible  $\rho : \pi_1 \rightarrow G^{\mathbb{C}}$  avec  $\text{Im } \rho \subset G$  — en particulier  $P$  est plat.

Pour terminer, on donne quelques détails de la géographie de l'espace des modules [9]. Tout fibré vectoriel holomorphe possède une filtration de Harder-Narasimhan [87]

$$\{0\} = E_0 \subset E_1 \subset \cdots \subset E_{s-1} \subset E_s = E$$

telle que  $D_i \equiv E_i / E_{i-1}$ ,  $i = 1, \dots, s$ , soit semi-stable et  $\mu_1 > \mu_2 > \cdots > \mu_s$ , où  $\mu_i = \mu(D_i)$ . Cette filtration est canonique, *i.e.* unique. Si  $E$  est semi-stable,  $s = 1$ . Notons  $r_i$  (resp.  $d_i$ ) le rang (resp. le degré) de  $D_i$  ;  $\sum r_i = r$  et  $\sum d_i = d$ . La séquence  $\lambda$  de paires  $(r_i, d_i)$ ,  $i = 1, \dots, s$ , définit le **type** de stabilité de  $E$ .

On décompose alors  $\mathcal{A}^{01}$  en sous-variétés  $\mathcal{A}_\lambda^{01}$ , chacune constituée de tous les fibrés de type  $\lambda$ . Comme la filtration de Harder-Narasimhan est canonique, les  $\mathcal{A}_\lambda^{01}$  sont préservées par l'action de  $\mathcal{G}^{\mathbb{C}}$  et par là-même se décomposent en une union d'orbites. Si  $\mathcal{T}$  désigne l'ensemble des types possibles,

$$\mathcal{A}^{01} = \bigcup_{\lambda \in \mathcal{T}} \mathcal{A}_\lambda^{01}.$$

Définissons un ordre partiel sur  $\mathcal{T} : \lambda \preceq \mu$  si  $\mathcal{P}(\lambda) \subset \mathcal{P}(\mu)$  où  $\mathcal{P}(\lambda)$  est la région dans l'espace bidimensionnel des couples  $(r, d)$ , délimitée par l'axe horizontal et le polygône dont les sommets sont les points  $(r_i, d_i)$  et les côtés sont les segments joignant deux côtés pris dans l'ordre croissant en  $r$  (cf. figure 1). On obtient une stratification de  $\mathcal{A}^{01}$  : pour tout  $I \subset \mathcal{T}$ ,

$$\mathcal{S}_I = \bigcup_{\mu \in I} \bigcup_{\lambda \preceq \mu} \mathcal{A}_\lambda^{01}$$

est une sous-variété ouverte de  $\mathcal{A}^{01}$ . La codimension de  $\mathcal{A}_\lambda^{01}$  vaut

$$c_\lambda = \sum_{0 \leq j < i \leq r} [(r_i d_j - r_j d_i) + r_i r_j (g - 1)]$$

où  $g$  désigne le genre de la surface  $\Sigma$ . La strate  $\mathcal{A}_{ss}^{01}$  des fibrés semi-stables correspond au type minimum  $\lambda_{ss} = \{(r, 0)\}$  de  $\mathcal{T}$ . Cette strate est l'unique strate de codimension zéro et elle forme une **orbite dense** dans  $\mathcal{A}^{01}$ . En pratique, on a besoin d'un peu plus d'information sur cette stratification. On souhaite également connaître les strates de codimension 1. On verra cela en détail pour le genre zéro et on esquissera le résultat en genre un. On peut aussi décrire la géographie de l'espace des modules pour des fibrés principaux. Cela revient essentiellement à se ramener au cas précédent en considérant le fibré ad  $P^{\mathbb{C}}$  associé à  $P^{\mathbb{C}}$  par la représentation adjointe de  $G$  [9, section 10]. L'orbite dense dans  $\mathcal{A}^{01}$  est toujours la strate semi-stable.



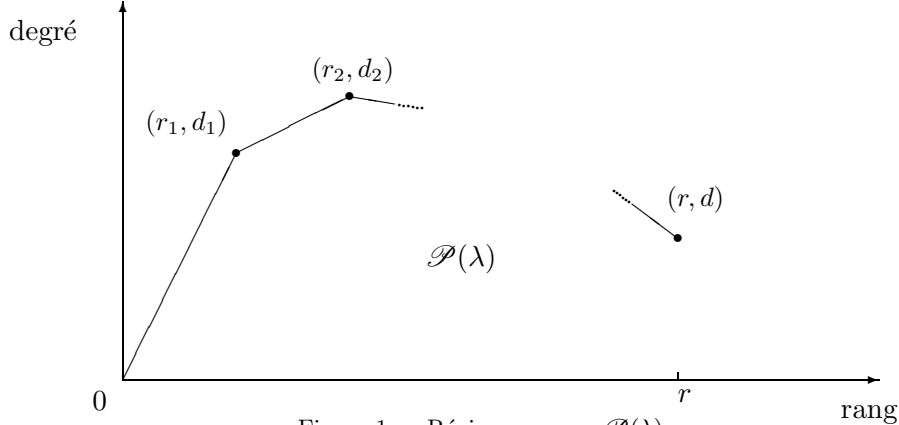


Figure 1.— Région convexe  $\mathcal{P}(\lambda)$ .

## §2. États de Chern-Simons

Soit  $M$  une variété différentielle de dimension 3, l'*action de Chern-Simons* est

$$S_{\text{CS}}(B) = \frac{i}{4\pi} \int_M \text{tr} (B \wedge dB + \frac{2}{3} B \wedge B \wedge B)$$

où  $B$  est une 1-forme sur  $M$  à valeurs dans  $\mathfrak{ig}$ . Les solutions classiques de la théorie de CS sont les connexions plates. Un objet important est l'intégrale fonctionnelle

$$\int \prod_{\ell} W(\mathcal{C}_{\ell})_{R_{\ell}} e^{-k S_{\text{CS}}(B)} DB$$

où  $\mathcal{C}_{\ell}$  est un nœud dans  $M$ , soit un plongement de  $S^1$  dans  $M$ , et  $W(\mathcal{C})_R$  est une **boucle de Wilson** donnée par la trace dans la représentation  $R$  de l'holonomie de la connexion  $A$  le long du lacet  $\mathcal{C}$ , c.-à-d.

$$W(\mathcal{C})_R = \text{tr}_R \text{Pe}^{\int_{\mathcal{C}} A}.$$

L'étude de l'intégrale fonctionnelle précédente a permis à Witten [147] de construire (formellement) des invariants de nœuds pour n'importe quelle variété compacte tridimensionnelle. En particulier, cette construction produit le **polynôme de Jones** en prenant  $M = S^3$ ,  $G = \text{SU}_2$  et  $R_{\ell}$  la représentation de spin  $\frac{1}{2}$ .

Pour comprendre le lien entre le modèle de WZNW et la théorie de CS, on utilise l'équation de Ward chirale locale (2.10.a)

$$\left( \partial_z A_{\bar{z}}^a + \partial_{\bar{z}} \left( \frac{2\pi}{k} \frac{\delta}{\delta A_{\bar{z}}^b} \right) - i f^{abc} \left( \frac{2\pi}{k} \frac{\delta}{\delta A_{\bar{z}}^b} \right) A_{\bar{z}}^c \right. \\ \left. - \frac{2\pi}{k} \sum_{\ell} \delta^{(2)}(z - z_{\ell}) t_{\ell}^a \right) \tilde{Z}_A \langle \otimes_{\ell} g(\xi_{\ell})_{R_{\ell}} \rangle_A = 0.$$

On s'est contenté de remplacer les courants par leur définition. Introduisons deux opérateurs agissant sur les fonctions du champ de jauge  $A$ ,

$$(\mathbf{A}_z^a f)(A) \equiv -\frac{2\pi}{k} \frac{\delta}{\delta A_z^a} f(A), \quad (\mathbf{A}_{\bar{z}}^a f)(A) \equiv A_{\bar{z}}^a f(A).$$

L'identité de Ward locale prend la forme compacte suivante

$$\left( \mathbf{F}^a(z) - \frac{2\pi}{k} \sum_{\ell} \delta^{(2)}(z - z_{\ell}) t_{\ell}^a \right) \tilde{\Gamma}(A) = 0 \quad (2)$$

où  $\tilde{\Gamma}$  est la fonction de Green modifiée introduite dans la section 4.1 et  $\mathbf{F}$  est la courbure de la «connexion quantique»  $\mathbf{A}$ , définie par

$$\mathbf{F}(z) \equiv \partial_z \mathbf{A}_{\bar{z}} - \partial_{\bar{z}} \mathbf{A}_z + [\mathbf{A}_z, \mathbf{A}_{\bar{z}}].$$

C'est cette forme de l'identité de Ward locale qui permet de relier les fonctions de Green du modèle de WZNW aux états quantiques de la théorie de CS, dans l'image de Schrödinger.

On suppose maintenant que  $M = \Sigma \times S^1$ , où  $\Sigma$  est une surface de Riemann compacte. La coordonnée correspondante à  $S^1$  joue le rôle du temps. Le nœud  $\mathcal{C}_{\ell}$  sera le produit  $\{\xi_{\ell}\} \times S^1$ , colorié par une représentation irréductible  $R_{\ell}$  de  $G$ . On choisit la jauge  $B_0 = 0$ , c.-à-d. les connexions nulles dans la direction  $S^1$ . Les solutions classiques sont encore les connexions de courbure nulle. L'espace des phases est alors l'ensemble des connexions plates  $A$  sur le  $G$ -fibré trivial au-dessus de  $\Sigma$ , muni de la structure symplectique héritée de la forme

$$\frac{k}{2\pi} \int \text{tr } \delta A \wedge \delta A.$$

Étant donnée une structure complexe  $\mathbb{J}$  sur  $\Sigma$ , on peut donc identifier  $\mathcal{A}$ , l'espace des  $G$ -connexions, et l'espace  $\mathcal{A}^{01}$  des  $(0, 1)$ -formes à valeurs dans  $\mathfrak{g}^{\mathbb{C}}$ . L'introduction d'une structure complexe sur l'espace des phases nous engage à utiliser une **quantification holomorphe à la Bargmann** de la théorie de CS. Les états quantiques sont des fonctionnelles  $\Psi$  holomorphes sur  $\mathcal{A}^{01}$  à valeurs dans  $\mathbb{C}$ . En plus, on impose la contrainte

$$\mathbf{F}^a(z) \Psi(A^{01}) = 0,$$

c.-à-d. l'analogue quantique de la condition de platitude de la connexion  $A$ . Si on rajoute des boucles de Wilson, les états quantiques sont des fonctionnelles  $\Psi : \mathcal{A}^{01} \rightarrow V_{\underline{\lambda}}$ , holomorphes et satisfaisant la contrainte (quantique)

$$\left( \mathbf{F}^a(z) - \frac{2\pi}{k} \sum_{\ell} \delta^{(2)}(z - z_{\ell}) t_{\ell}^a \right) \Psi(A^{01}) = 0. \quad (3)$$

On note  $\mathcal{W}(\Sigma, \underline{\xi}, \underline{R})$  l'espace des **états de Chern-Simons**, i.e. des états quantiques de la théorie de CS.

Réinterprétons la condition (3). On munit  $\mathcal{A}^{01}$  de la topologie  $\mathcal{C}^{\infty}$ . Les fonctions holomorphes sur  $\mathcal{A}^{01}$  sont des fonctions  $\mathcal{C}^{\infty}$  au sens de Fréchet de dérivées  $\mathbb{C}$ -linéaires [86]. Soit

$\mathcal{G}^{\mathbb{C}}$  le groupe des transformations chirales  $h : \Sigma \rightarrow G^{\mathbb{C}}$ . On définit une action de  $\mathcal{G}^{\mathbb{C}}$  sur les applications holomorphes  $\Psi$

$$({}^h\Psi)(A^{01}) = e^{-kS(h,A^{01})} \otimes_{\ell} h(\xi_{\ell})_{R_{\ell}} \Psi({}^{h^{-1}}A^{01}). \quad (4)$$

La contrainte de platitude quantique (3) est la version locale de la condition d'invariance globale des états de CS sous l'action de  $\mathcal{G}^{\mathbb{C}}$ , c.-à-d.  ${}^h\Psi = \Psi$ , si  $h \in \mathcal{G}^{\mathbb{C}}$ . Elle est équivalente à la condition globale.

La relation (4) décrit le comportement d'un état de CS le long des orbites de  $\mathcal{G}^{\mathbb{C}}$ . En termes plus géométriques, un état de CS est une section holomorphe du fibré vectoriel complexe  $\mathcal{V} = (\mathcal{A}^{01} \times V_{\underline{\lambda}}) / \mathcal{G}^{\mathbb{C}}$  au-dessus de l'espace quotient  $\mathcal{N} = \mathcal{A}^{01} / \mathcal{G}^{\mathbb{C}}$ . L'action de  $\mathcal{G}^{\mathbb{C}}$  sur  $\mathcal{A}^{01} \times V_{\underline{\lambda}}$  est

$$(A^{01}, \mathbf{v}) \sim ({}^hA^{01}, e^{kS(h^{-1},A^{01})} \otimes_{\ell} h(\xi_{\ell})_{R_{\ell}} \mathbf{v}).$$

C'est là qu'entre en jeu l'espace des modules  $\mathcal{N}$ . Après deux sections consacrées à des rappels mathématiques, on va regarder plus en détail l'espace des états de CS. Comme les espaces des modules, les espaces  $\mathcal{W}(\Sigma, \underline{\xi}, \underline{R})$  peuvent être définis de plusieurs manières. La plupart du temps, les constructions utilisent des objets mathématiques difficiles à appréhender pour l'humble physicien. L'intérêt des mathématiciens est sûrement apparu avec la formule de Verlinde [142] qui donne la dimension de  $\mathcal{W}(\Sigma, \underline{\xi}, \underline{R})$ . Les différentes constructions devraient donner des espaces isomorphes même s'il n'y a pas de démonstration complète sur le sujet [18, 45, 103, 137, 140]. Dans la section 5, on décrira l'espace des états de CS en genre zéro [69] et dans la section 6 en genre un [41, 43]. On donnera quelques résultats en genre supérieur [67] dans la section 7.

### §3. Surfaces de Riemann et courbes algébriques

Pour écrire cette section, j'ai utilisé la merveilleuse introduction au sujet donnée par Griffiths [82]. Je me suis également aidé de [83, 109, 118].

Soit  $\Sigma$  une surface de Riemann connexe et  $\tilde{\Sigma}$  son revêtement universel. D'après le théorème d'uniformisation de Riemann, on peut ranger  $\Sigma$  dans l'une des trois catégories suivantes : elliptique (resp. parabolique, resp. hyperbolique) si  $\tilde{\Sigma} \cong \mathbb{C}P^1$  (resp.  $\mathbb{C}$ , resp.  $\mathbb{H}$ ), où  $\mathbb{H}$  est le demi-plan de Poincaré  $\mathbb{H} = \{y = y_1 + iy_2 \in \mathbb{C} \mid y_2 > 0\}$ . Au niveau « conforme », on trouve une classification semblable :  $\Sigma$  est elliptique (resp. parabolique, resp. hyperbolique) si, et seulement si, elle peut être munie d'une métrique riemannienne  $\gamma$  compatible avec la structure complexe et de courbure gaussienne  $K_{\gamma}$  égale à 1 (resp. 0, resp.  $-1$ ). Deux surfaces de Riemann sont dites isomorphes s'il existe une application biholomorphe — *i.e.* holomorphe, inversible, d'inverse holomorphe — entre elles. Le groupe d'automorphisme de  $\mathbb{C}P^1$  est  $\text{PSL}_2$ .

Maintenant et jusqu'à la fin, on considère uniquement des surfaces de Riemann  $\Sigma$  compactes. On sait alors que  $\Sigma$  est homéomorphe à une boule à  $g$  anses —  $g$  est appelé le **genre** de la surface. Le genre est une quantité purement topologique qui permet aussi de reproduire la classification précédente. En genre zéro, toute surface est isomorphe à la sphère de Riemann (cas elliptique). En genre un, toute surface est isomorphe à une courbe elliptique  $E_{\tau} = \mathbb{C}/(\mathbb{Z} + \tau\mathbb{Z})$  (cas parabolique). En genre  $\geq 2$ , toute surface est isomorphe à un  $\mathbb{H}/\Gamma$  où

$\Gamma$  est un sous-groupe discret de  $\mathrm{PSL}_2\mathbb{R}$ , opérant librement sur  $\mathbb{H}$  et tel que l'espace quotient soit compact (cas hyperbolique).

Notons  $\mathbb{P}^n$  le plan projectif complexe de dimension  $n$ . Une **variété algébrique (projective)**  $C$  est un sous-ensemble de  $\mathbb{P}^n$  de la forme

$$C = \{\xi \in \mathbb{P}^n \mid F_1(\xi) = \cdots = F_m(\xi) = 0\}$$

où les  $F_i$  sont des polynômes homogènes de degré donné en  $n + 1$  variables. Si on remplace  $\mathbb{P}^n$  par  $\mathbb{C}^n$  et si les  $F_i$  sont des polynômes à  $n$  variables, on obtient une **variété algébrique affine**. Toute variété algébrique  $C$  détermine une unique variété algébrique affine  $C_0 = C \cap \mathbb{C}^n$  où  $\mathbb{C}^n$  est plongé canoniquement dans  $\mathbb{P}^n$ . Si  $m = 1$ ,  $C$  est une hypersurface algébrique de degré le degré de  $F_1$ . En plus, si  $n = 2$ ,  $C$  est une **courbe algébrique plane**. Une hypersurface algébrique est **irréductible** si  $F_1$  est un polynôme homogène irréductible. Supposons donnée une courbe algébrique plane irréductible  $C$ . Un **point singulier** de  $C$  est un point où toutes les dérivées partielles de  $F$  sont nulles. Il est remarquable que  $C$  n'a qu'un nombre fini de points singuliers. Si  $S$  désigne l'ensemble des points singuliers et  $C^* \equiv C \setminus S$ , alors on montre que  $C$  et  $C^*$  sont connexes et  $C^*$  est une surface de Riemann (non nécessairement compacte). Une **normalisation** (ou **désingularisation**) de  $C$  est une surface de Riemann compacte  $\tilde{C}$  et une application holomorphe  $\sigma : \tilde{C} \rightarrow \mathbb{P}^2$  telles que : (i)  $\sigma(\tilde{C}) = C$ , (ii) la préimage de  $S$  par  $\sigma$  est un ensemble fini, (iii)  $\sigma : \tilde{C} \setminus \sigma^{-1}(S) \rightarrow C \setminus S$  est injective. Le **théorème de normalisation** assure l'existence et l'unicité d'une normalisation. L'unicité signifie : si  $(\tilde{C}, \sigma)$  et  $(\tilde{C}', \sigma')$  sont deux normalisations de  $C$  alors il existe un isomorphisme  $\tau : \tilde{C} \rightarrow \tilde{C}'$  tel que  $\sigma = \sigma' \circ \tau$ .

### 3.1. Diviseurs

Un diviseur  $D$  sur une surface de Riemann  $\Sigma$  est une application  $D : \Sigma \rightarrow \mathbb{Z}$  nulle sauf en un nombre fini de points. On note

$$D = \sum_{P \in \Sigma} D(P) P.$$

Muni de l'opération d'addition évidente, l'ensemble des diviseurs sur  $\Sigma$  forme un groupe abélien appelé groupe des diviseurs de  $\Sigma$  et noté  $\mathrm{Div} \Sigma$ . On dit qu'un diviseur est positif (ou effectif) si  $D(P) \geq 0$ , pour tout  $P \in \Sigma$  ; on note simplement  $D \geq 0$ . On écrit aussi  $D \geq D'$ , dès que  $D - D' \geq 0$ . L'application degré est l'homomorphisme de groupes  $\mathrm{deg} : \mathrm{Div} \Sigma \rightarrow \mathbb{Z}$  qui envoie un diviseur  $D$  sur  $\mathrm{deg} D = \sum_{P \in \Sigma} D(P)$ . Le noyau de l'homomorphisme  $\mathrm{deg}$ , noté  $\mathrm{Div}^0 \Sigma$ , est le groupe des diviseurs de degré zéro. Plus généralement,  $\mathrm{Div}^d \Sigma$  est l'ensemble des diviseurs de degré  $d$ .

Soit  $\mathcal{M}(\Sigma)$  l'ensemble des fonctions méromorphes sur  $\Sigma$ . Soient  $f \in \mathcal{M}(\Sigma)$ , non-identiquement nulle, et  $P$  un point de  $\Sigma$ . Si  $z$  est une coordonnée locale dans un voisinage de  $P$ , centrée en zéro, alors, dans ce voisinage :  $f = z^\nu h(z)$ , où  $h$  est une fonction holomorphe,  $h(0) \neq 0$  et  $\nu \in \mathbb{Z}$ . L'entier  $\nu$  est appelé l'ordre de  $f$  en  $P$ , noté  $\nu_P(f)$ . Si  $f \equiv 0$ , il est commode de poser  $\nu_P(f) = \infty$ . Le diviseur associé à  $f$  est :

$$(f) \equiv \sum_{P \in \Sigma} \nu_P(f) P.$$

Si  $f$  n'est pas constante alors  $\deg(f) = 0$ , i.e.  $f$  a autant de zéros que de pôles. J'en profite pour rappeler que les seules fonctions holomorphes sur une surface de Riemann (compacte) sont les fonctions constantes. Un diviseur est principal s'il est le diviseur d'une fonction méromorphe non-identiquement nulle. Deux diviseurs  $D$  et  $D'$  sont dits linéairement équivalents si  $D - D'$  est un diviseur principal ; on note alors  $D \sim D'$ . Il suit immédiatement des définitions que  $D$  et  $D'$  ont même degré. On note aussi  $D$  la classe du diviseur  $D$ .

Soit  $\mathcal{M}^1(\Sigma)$  l'ensemble des 1,0-formes méromorphes sur  $\Sigma$ . Soit  $\omega \in \mathcal{M}^1(\Sigma)$ , non-identiquement nulle. Au voisinage de  $P$ ,  $\omega$  est de la forme  $f(z) dz$ , où  $f$  est une fonction méromorphe dans ce voisinage. L'ordre de  $\omega$  en  $P$  est :  $\nu_P(\omega) = \nu_P(f)$ . Le résidu de  $\omega$  en  $P$  est

$$\text{Res}_P \omega \equiv \frac{1}{2\pi i} \int_{\gamma} \omega$$

où  $\gamma$  est un petit cercle autour de  $P$  tel que, sur le disque bordé par  $\gamma$ ,  $\omega$  a au plus un pôle, en  $P$ . D'après le théorème de Stokes, cette construction ne dépend pas de  $\gamma$ . Le théorème des résidus dit que  $\sum_{P \in \Sigma} \text{Res}_P \omega = 0$ . Le diviseur de  $\omega$  est, par définition,

$$(\omega) = \sum_{P \in \Sigma} \nu_P(\omega) P.$$

Un diviseur est dit canonique s'il est le diviseur d'une forme méromorphe non-identiquement nulle. Deux diviseurs canoniques sont linéairement équivalents, de degré :  $-\chi(\Sigma) = 2g - 2$  (formule de Poincaré-Hopf). On utilise traditionnellement  $K$  pour désigner la classe d'un diviseur canonique. Ensuite, si  $\Omega^1(\Sigma)$  est l'espace vectoriel des formes holomorphes sur  $\Sigma$ , on a  $\dim \Omega^1(\Sigma) = g$ .

Soit  $D$  un diviseur de  $\Sigma$ , on pose

$$\begin{aligned} \mathcal{L}(D) &= \{f \in \mathcal{M}(\Sigma) \mid (f) + D \geq 0\}, \\ \mathcal{M}^1(D) &= \{\omega \in \mathcal{M}^1(\Sigma) \mid (\omega) \geq D\}. \end{aligned}$$

Concrètement, soit  $P \in \Sigma$ ,  $f \in \mathcal{L}(D)$  et  $\omega \in \mathcal{M}^1(D)$ . Si  $D(P) < 0$  alors  $f$  doit avoir un zéro d'ordre  $\geq -D(P)$  en  $P$  et  $\omega$  peut avoir un pôle d'ordre  $\leq -D(P)$  en  $P$ . Si  $D(P) > 0$  alors  $f$  peut avoir un pôle d'ordre  $\leq D(P)$  en  $P$  et  $\omega$  doit avoir un zéro d'ordre  $\geq D(P)$  en  $P$ . Ce sont des espaces vectoriels de dimensions (finies) respectives  $l(D)$  et  $i(D)$ , appelé indice de spécialité. Si  $D$  et  $D'$  sont linéairement équivalents, on a  $\mathcal{L}(D) \cong \mathcal{L}(D')$  et  $\mathcal{M}^1(D) \cong \mathcal{M}^1(D')$ . La réciproque (réciprocité de Brill-Noether) dit que si  $D + D'$  est un diviseur canonique, alors  $\mathcal{L}(D) \cong \mathcal{M}^1(D')$  et  $\mathcal{L}(D') \cong \mathcal{M}^1(D)$ . En particulier,  $l(K - D) = i(D)$ .

Le **théorème de Riemann-Roch** s'écrit

$$\begin{aligned} l(D) - i(D) &= \deg D + 1 - g, \\ \text{ou } l(D) - l(K - D) &= \deg D + 1 - g. \end{aligned}$$

On dispose aussi de critères d'annulation simples : si  $\deg D < 0$  alors  $l(D) = 0$  et si  $\deg D > 2g - 2$  alors  $i(D) = 0$ .

Soient  $\Sigma$  et  $\Sigma'$  deux surfaces de Riemann. Soient  $f$  une application holomorphe non-constante de  $\Sigma$  dans  $\Sigma'$ ,  $P$  un point de  $\Sigma$  et  $Q$  un point de  $\Sigma'$ . Comme précédemment, on peut choisir une coordonnée locale  $z$  (resp.  $w$ ) en  $P$  (resp.  $Q$ ) centrée en 0, telle que  $f$  soit

de la forme  $w = z^\nu$ , où  $\nu \in \mathbb{N}$ . On note  $\nu_P(f)$  l'ordre de  $f$  en  $P$  — ce dernier ne dépend pas des choix effectués. L'ensemble des points pour lesquels l'ordre de  $f$  est strictement supérieur à 1 est fini ; on appelle ces points des **points de ramification**. On définit

$$f^{-1}(Q) \equiv \sum_{f(P)=Q} \nu_P(f) P.$$

C'est un diviseur de  $\Sigma$  car  $f$  n'est pas constante. Le degré de  $f$  est  $\deg f \equiv \deg f^{-1}(Q)$ . On a bien le droit de parler du degré de  $f$  car,  $\Sigma'$  étant connexe,  $Q$  ne joue qu'un rôle d'intermédiaire. Notons  $n$  le degré de notre application  $f$ . On dit que  $f$  est un **revêtement ramifié (étale) à  $n$  feuillets** (\*). Le diviseur de ramification de  $f$  est le diviseur

$$R = \sum_{P \in \Sigma} (\nu_P(f) - 1) P.$$

La formule de Riemann-Hurwitz donne le degré de  $R$  :  $\deg R = -\chi(\Sigma) + n\chi(\Sigma')$ .

### 3.2. Genre un — courbes elliptiques

En genre zéro, toute surface de Riemann est la normalisation d'une courbe algébrique lisse  $C$  de degré 3 dans  $\mathbb{P}^2$  d'équation affine  $y^2 - (x - a_1)(x - a_2)(x - a_3) = 0$ , où  $a_1, a_2, a_3$  sont deux à deux distincts. L'équation projective de  $C$  est  $x_0(x_2)^2 - (x_1 - a_1x_0)(x_1 - a_2x_0)(x_1 - a_3x_0) = 0$ , pour  $[x_0, x_1, x_2] \in \mathbb{P}^2$ . Quitte à composer  $x$  avec un automorphisme de  $\mathbb{C}P^1$  pour envoyer  $a_1$  sur 0,  $a_2$  sur 1 et l' $\infty$  sur lui-même, on voit que toute surface de genre un est la normalisation d'une courbe algébrique plane  $C_\lambda$  d'équation affine  $y^2 = x(x - 1)(x - \lambda)$ , où  $\lambda \neq 0, 1$ . Deux courbes  $C_\lambda$  et  $C_{\lambda'}$  sont isomorphes si, et seulement si, il existe un automorphisme de  $\mathbb{C}P^1$  qui envoie (globalement)  $\{0, 1, \infty, \lambda\}$  sur  $\{0, 1, \infty, \lambda'\}$ . Les seuls cas possibles sont  $\lambda' = \lambda, 1 - \lambda, 1/\lambda, (\lambda - 1)/\lambda, \lambda/(\lambda - 1), 1/(1 - \lambda)$ . L'expression suivante

$$j(\lambda) = 256 \frac{(\lambda^2 - \lambda + 1)^3}{\lambda^2(\lambda - 1)^2}$$

est invariante par toutes ces transformations. L'application  $j$  établit donc une bijection entre les classes d'isomorphisme de surface de Riemann de genre un et le plan complexe  $\mathbb{C}$ .

Pour les courbes elliptiques : on peut réaliser explicitement  $E_\tau$  comme la normalisation de la courbe algébrique plane d'équation affine  $y^2 = 4x^3 - g_2x - g_3$ , appelée forme normale de Weierstraß. L'application « normalisante »  $\sigma$  envoie le réseau  $\Lambda_\tau = \mathbb{Z} + \tau\mathbb{Z}$  sur  $[0, 0, 1]$  et  $z \in E_\tau \setminus \Lambda_\tau$  sur  $[1, \wp(z), \wp'(z)] \in \mathbb{P}^2$ , où  $\wp$  est la fonction de Weierstraß de période  $2\omega_1 = 1$  et  $2\omega_2 = \tau$  :

$$\wp(z) = \frac{1}{z^2} + \sum' \left( \frac{1}{(z + \omega)^2} - \frac{1}{\omega^2} \right),$$

la somme  $\sum'$  portant sur  $\omega$  dans le réseau  $\Lambda_\tau$  privé de zéro. La fonction  $\wp$  satisfait bien l'équation  $\wp'^2 = 4\wp^3 - g_2\wp - g_3$ . Deux courbes elliptiques  $E_\tau$  et  $E_{\tau'}$  sont isomorphes si, et seulement si, il existe  $\alpha \in \text{PSL}_2\mathbb{Z}$  telle que  $\tau' = \alpha\tau$  ; un élément  $\alpha$  de  $\text{PSL}_2\mathbb{Z}$  agit sur  $\tau \in \mathbb{H}$  par transformation projective. On peut également fabriquer un invariant  $j$ . Définissons

$$g_2(\tau) = 60 \sum' 1/\omega^4, \quad g_3(\tau) = 140 \sum' 1/\omega^6.$$

---

\*On rajoute parfois l'adjectif étale pour faire la différence avec les revêtements (topologiques) du théorème d'uniformisation.

On pose alors

$$j(\tau) = 1728 \frac{g_2^3}{\Delta}$$

où  $\Delta = g_2^3 - 27g_3^2$ . La courbe elliptique  $E_\tau$  n'étant pas singulière, la courbe algébrique correspondante ne l'est pas non plus et  $\Delta \neq 0$ . La fonction  $j : \mathbb{H} \rightarrow \mathbb{C}$  est une forme modulaire de poids 0, holomorphe sur  $\mathbb{H}$  et ayant un pôle simple en  $\infty$ . Elle induit une bijection de  $\mathbb{H}/\mathrm{PSL}_2\mathbb{Z}$  sur  $\mathbb{C}$ , toujours notée  $j$ . Si on développe  $j$  en puissances de  $q = e^{2i\pi\tau}$ , on a

$$j(\tau) = \frac{1}{q} + 744 + 196884q + \dots$$

et tous les autres coefficients sont des entiers positifs. Ceci justifie a posteriori le coefficient 1728 dans  $j(\tau)$ . On montre que, si une courbe elliptique  $E_\tau$  est la normalisation d'une courbe algébrique  $C_\lambda$ , alors  $j(\tau) = j(\lambda)$ .

### 3.3. Courbes hyperelliptiques

Une surface de Riemann  $\Sigma$  compacte de genre  $\geq 2$  est dite hyperelliptique s'il existe une application holomorphe  $x$  de degré 2 de  $\Sigma$  dans  $\mathbb{C}P^1$ . Le diviseur de ramification  $R$  de  $x$  est constitué de  $2g + 2$  points  $P_i$  distincts. Parfois, on dira point de Weierstraß pour point de ramification. Ces deux notions sont généralement différentes mais coïncident justement si  $\Sigma$  est hyperelliptique. On note  $a_i = x(P_i)$  — ils sont deux à deux distincts — et  $x^{-1}(\infty) = \{\infty_1, \infty_2\}$ . On suppose que  $\infty$  n'est pas un « point » de ramification. L'involution hyperelliptique est l'application  $\iota : \Sigma \ni Q_1 \mapsto Q_2 \in \Sigma$ , si  $Q_1$  et  $Q_2$  ont la même image par  $x$ , i.e.  $\iota$  échange les deux feuilles. Cette dernière induit une action sur  $\mathcal{M}(\Sigma)$  par  $\iota(\alpha) \equiv \iota^*\alpha$ . Si  $D = (g + 1)\infty_1 + (g + 1)\infty_2$  alors  $\dim \mathcal{L}(D) = g + 3$ . Comme  $D$  est préservé par  $\iota$ , on peut voir  $\iota$  comme une application linéaire sur  $\mathbb{C}^{g+3}$  de valeurs propres  $\pm 1$ . Si on décompose  $\mathcal{L}(D)$  en sous-espaces propres  $\mathcal{L}(D)^+ \oplus \mathcal{L}(D)^-$  alors  $1, x, \dots, x^{g+1}$  est une base pour  $\mathcal{L}(D)^+$ . En particulier,  $\mathcal{L}(D)^-$  est de dimension 1. On montre alors qu'on peut choisir  $y$  dans  $\mathcal{L}(D)^-$  tel que

$$y^2 = (x - a_1) \cdots (x - a_{2g+2}). \quad (5)$$

Si au départ  $\infty$  est un point de ramification, on ne considère qu'un produit sur  $2g + 1$  points. La surface hyperelliptique  $\Sigma$  de genre  $g$  est alors la normalisation de la courbe algébrique plane  $C$  de degré  $2g + 2$ , d'équation affine (5) et singulière en  $[0, 0, 1]$ . L'application normalisante  $\sigma : \Sigma \rightarrow \mathbb{P}^2$  envoie  $P$  sur  $[1, x(P), y(P)]$  et  $\infty_1, \infty_2$  sur  $[0, 0, 1]$ . La projection  $C \ni (x, y) \mapsto x \in \mathbb{C}P^1$  réalise  $C$  comme un revêtement ramifié de  $\mathbb{C}P^1$  à deux feuillets, avec  $2g + 2$  points de ramification. Il est clair que sur  $C$  l'involution hyperelliptique  $\iota$  envoie  $(x, y)$  sur  $(x, -y)$ . Une base de formes holomorphes sur  $\Sigma$  est donnée par

$$\omega_1 = \frac{dx}{y}, \dots, \omega_g = \frac{x^{g-1} dx}{y}.$$

La démonstration passe très bien en genre zéro ou un, mais on préfère traiter séparément ces deux cas, car la courbe  $C$  est alors lisse.

### 3.4. Fibrés vectoriels holomorphes sur une surface de Riemann

Dans cette section tous les fibrés vectoriels sont des fibrés holomorphes sur  $\Sigma$ , ce que je ne préciserai plus. Soit  $\mathcal{M}^\times$  le faisceau (multiplicatif) des germes de fonctions méromorphes non-identiquement nulles sur  $\Sigma$  et  $\mathcal{O}^\times$  le sous-faisceau des fonctions holomorphes non-nulles. On a  $\text{Div } \Sigma = H^0(\Sigma, \mathcal{M}^\times / \mathcal{O}^\times)$ . En décrivant les fibrés en droites par leurs fonctions de transition, on constate que le groupe des classes d'isomorphismes de fibrés en droites est juste  $H^1(\Sigma, \mathcal{O}^\times)$  : c'est le groupe de Picard de  $\Sigma$ , noté  $\text{Pic } \Sigma$ . Soit  $D$  un diviseur sur  $\Sigma$ . On attache à  $D$  un fibré en droites  $\mathcal{O}(D)$ , je ne vais pas le décrire explicitement car ce n'est pas très instructif. Par contre, on doit retenir que le faisceau des germes de sections holomorphes de  $\mathcal{O}(D)$  est canoniquement identifié avec le faisceau, toujours noté  $\mathcal{O}(D)$ , défini par ses sections au-dessus d'un ouvert  $U$

$$\mathcal{O}(D)(U) \equiv \{f \in \mathcal{M}(U) \mid (f) + D|_U \geq 0\}.$$

Ainsi, je ne ferai pas de différence entre le fibré en droites et le faisceau correspondant. De manière plus générale, je note de la même façon un fibré vectoriel  $E$  et le faisceau des germes de sections holomorphes de  $E$ . La multiplication par une section méromorphe de  $\mathcal{O}(D)$  permet d'identifier  $\mathcal{L}(D)$  et les sections holomorphes (globales) de  $\mathcal{O}(D)$ , *i.e.*  $H^0(\Sigma, \mathcal{O}(D))$ . On note les isomorphismes (holomorphes) suivants

$$\begin{aligned} \mathcal{O}(D) \otimes \mathcal{O}(D') &\cong \mathcal{O}(D + D'), & \mathcal{O}(D)^{-1} &\cong \mathcal{O}(-D), \\ \mathcal{O}(D) &\cong \mathcal{O}(D') & \text{ssi } D &\sim D'. \end{aligned}$$

Soit  $L$  un fibré en droites. On montre que  $L$  possède toujours une section méromorphe non-nulle  $s$ . Si  $D = (s)$ , alors  $L \cong \mathcal{O}(D)$ . En termes cohomologiques, on peut résumer ce qui précède dans la suite exacte  $0 \rightarrow \mathcal{O}^\times \rightarrow \mathcal{M}^\times \rightarrow \mathcal{M}^\times / \mathcal{O}^\times \rightarrow 0$  et la suite cohomologique qui s'en déduit :  $H^0(\Sigma, \mathcal{M}^\times) \rightarrow \text{Div } \Sigma \rightarrow \text{Pic } \Sigma$ . La première flèche associée à une fonction méromorphe sur  $\Sigma$  son diviseur et l'application cobord  $\delta$  est juste  $\delta(D) = \mathcal{O}(D)$ . En particulier,  $\text{Pic } \Sigma \cong \text{Div } \Sigma / \sim$ .

De la suite exacte exponentielle  $0 \rightarrow \mathbb{Z} \rightarrow \mathcal{O} \rightarrow \mathcal{O}^\times \rightarrow 0$ , on extrait la suite exacte longue de cohomologie :

$$0 \rightarrow H^1(\Sigma, \mathbb{Z}) \rightarrow H^1(\Sigma, \mathcal{O}) \rightarrow H^1(\Sigma, \mathcal{O}^\times) \xrightarrow{\delta} H^2(\Sigma, \mathbb{Z}) \rightarrow H^2(\Sigma, \mathcal{O}) = 0.$$

L'application  $c_1 : H^1(\Sigma, \mathcal{O}^\times) \xrightarrow{\delta} H^2(\Sigma, \mathbb{Z}) \hookrightarrow H^2(\Sigma, \mathbb{R})$  associe à tout fibré en droites une classe de Čech, appelée première classe de Chern. Cette terminologie est justifiée car la classe de de Rham qui représente cette classe de Čech est exactement  $c_1(L)$ , comme définie auparavant. On vérifie que  $\deg \mathcal{O}(D) = \deg D$ . Le noyau de  $c_1$  est le quotient

$$\text{Pic}^0 \Sigma = H^1(\Sigma, \mathcal{O}) / H^1(\Sigma, \mathbb{Z}),$$

le sous-groupe de  $\text{Pic } \Sigma$  des fibrés de degré zéro qui est isomorphe à  $\text{Div}^0 \Sigma / \sim$ .

Le fibré canonique  $K_\Sigma$  (ou simplement  $K$ ) est le fibré cotangent holomorphe  $T^{*1,0}\Sigma$ . Les sections méromorphes de  $K$  sont juste les 1-formes méromorphes. Le **théorème de Riemann-Roch** pour un fibré en droite  $L$  dit :  $\dim H^0(\Sigma, L) - \dim H^1(\Sigma, L) = \deg L + 1 - g$ . On écrit toujours cette égalité accompagnée du théorème de **dualité de Serre** :  $H^0(\Sigma, K \otimes L^{-1}) \cong$



$H^1(\Sigma, L)^*$ . En fait, on peut aussi écrire un théorème de Riemann-Roch pour un fibré vectoriel  $E$  de rang  $r$ . Si  $h^0(\Sigma, E) \equiv \dim H^0(\Sigma, E)$  et  $h^1(\Sigma, E) \equiv \dim H^1(\Sigma, E)$ , alors

$$h^0(\Sigma, E) - h^1(\Sigma, E) = \deg E + r(1 - g).$$

Le théorème de dualité de Serre reste valable :  $H^0(\Sigma, K \otimes E^*) \cong H^1(\Sigma, E)^*$ . La dualité est simplement

$$H^1(\Sigma, E) \times H^0(\Sigma, K \otimes E^*) \ni (\zeta, s) \mapsto \int_{\Sigma} \langle s \wedge \zeta \rangle \in \mathbb{C}$$

où  $s$  est vue comme une  $(1, 0)$ -forme à valeurs dans  $E^*$  et  $\zeta$  comme une  $(0, 1)$ -forme à valeurs dans  $E$  par l'isomorphisme de Dolbeaut entre  $H^1(\Sigma, E)$  et  $H_{\text{Dol}}^{0,1}(\Sigma, E)$ .

### 3.5. Jacobienne

Soit  $\Sigma$  une surface de Riemann de genre  $\geq 1$ . Soit  $(a_1, \dots, a_g, b_1, \dots, b_g)$  une base symplectique canonique de  $H_1(\Sigma, \mathbb{Z})$ , c.-à-d. de nombres d'intersection  $(a_\alpha, a_\beta) = 0 = (b_\alpha, b_\beta)$  et  $(a_\alpha, b_\beta) = \delta_{\alpha, \beta} = -(b_\beta, a_\alpha)$ . Soit  $\omega \in \Omega^1(\Sigma)$ , on pose

$$A_\alpha(\omega) = \int_{a_\alpha} \omega, \quad B_\alpha(\omega) = \int_{b_\alpha} \omega.$$

Soient  $\omega, \varphi \in \Omega^1(\Sigma)$ , on montre les relations bilinéaires de Riemann

$$\sum_{\alpha=1}^g (A_\alpha(\omega) B_\alpha(\varphi) - B_\alpha(\omega) A_\alpha(\varphi)) = 0 \quad \text{et} \quad \text{Im} \sum_{\alpha=1}^g (\overline{A_\alpha(\omega)} B_\alpha(\omega)) > 0.$$

Soit  $(\omega_1, \dots, \omega_g)$  une base de  $\Omega^1(\Sigma)$ . La matrice des périodes, notée  $\Pi$ , est la matrice  $g \times 2g$  :  $\Pi = (A, B)$ , où  $A$  (resp.  $B$ ) est la matrice  $g \times g$  d'éléments  $A_{\alpha\beta} = A_\alpha(\omega_\beta)$  (resp.  $B_{\alpha\beta} = B_\alpha(\omega_\beta)$ ). D'après les relations bilinéaires de Riemann, la matrice  $A$  est inversible et  $\tau = A^{-1}B$  est une matrice symétrique de partie imaginaire, notée  $\tau_2$ , définie positive. Dorénavant, on se donne une base normalisée de  $\Omega^1(\Sigma)$ , i.e. pour laquelle  $\Pi = (I_g, \tau)$  ; c'est toujours possible car  $A$  est inversible. On appelle  $\tau$  la matrice des périodes normalisée. Si  $\alpha = 1, \dots, g$ ,  $e_\alpha$  désigne le vecteur de  $\mathbb{C}^g$  ayant des zéros partout sauf dans sa  $\alpha$ -ième ligne, où on trouve 1. Par contre, si  $\alpha = g+1, \dots, 2g$ ,  $e_\alpha$  est la  $\alpha$ -ième colonne de  $\tau$ . Comme  $\tau_2$  est définie positive, les vecteurs  $e_\alpha$  sont linéairement indépendants sur  $\mathbb{R}$ . Le  $\mathbb{Z}$ -espace vectoriel  $\Lambda_\tau$  engendré par ces vecteurs forme donc un réseau de  $\mathbb{C}^g$ . La Jacobienne de  $\Sigma$  est

$$\text{Jac } \Sigma \equiv \mathbb{C}^g / \Lambda_\tau = H^0(\Sigma, K)^* / H_1(\Sigma, \mathbb{Z}).$$

Pour identifier le terme à l'extrême gauche, il faut utiliser le plongement de  $H_1(\Sigma, \mathbb{Z})$  dans  $H^0(\Sigma, K)^*$  par l'application  $H_1(\Sigma, \mathbb{Z}) \ni \gamma \mapsto (\omega \mapsto \int_\gamma \omega) \in H^0(\Sigma, K)^*$ .

Fixons un point  $P_0$  dans  $\Sigma$ . L'application d'Abel est l'application  $I : \Sigma \rightarrow \text{Jac } \Sigma$  qui envoie  $P \in \Sigma$  sur

$$I(P) = \left( \int_{P_0}^P \omega_1, \dots, \int_{P_0}^P \omega_g \right) \text{ mod } \Lambda_\tau.$$

Cette application est bien définie indépendamment du choix du lacet allant de  $P_0$  à  $P$ . On étend  $I$  en une application  $I : \text{Div } \Sigma \rightarrow \text{Jac } \Sigma$  par :  $I(D) = \sum_i n_i I(P_i)$ , si  $D = \sum_i n_i P_i$ . La suite

$$\mathcal{M}(\Sigma)^\times \xrightarrow{(\cdot)} \text{Div}^0 \Sigma \xrightarrow{I} \text{Jac } \Sigma \longrightarrow 0$$

est exacte. D'une part, le théorème d'Abel assure l'exactitude des deux premières flèches, *i.e.* un diviseur  $D$  de degré 0 est principal si, et seulement si,  $I(D) = 0$ . D'autre part, la surjectivité de  $I$  est donnée par le théorème d'inversion de Jacobi. Ainsi, l'application  $I$  induit un isomorphisme entre  $\text{Jac } \Sigma$  et  $\text{Pic}^0 \Sigma$ , le groupe des classes d'équivalence linéaire des diviseurs de degré zéro.

## §4. Thêta dans tous ses états

Le traité de Mumford [113, 114] est incontestablement LA référence incontournable sur les fonctions thêta. En ce qui concerne les fonctions thêta de Jacobi, on pourra consulter avec bonheur les classiques [92, 145].

### 4.1. Fonction thêta de Riemann

Soit  $\tau$  appartenant au demi-plan de Siegel  $\mathbb{H}_g$ , c.-à-d. l'ensemble des matrices complexes symétriques  $g \times g$  de partie imaginaire  $\tau_2$  définie positive. Bien entendu,  $\mathbb{H}_1 = \mathbb{H}$ . Soit  $\mathbf{Th}_k$  l'espace vectoriel des fonctions entières sur  $\mathbb{C}^g$  quasi-périodiques de degré  $k$ , c.-à-d.

$$\theta(z + p + \tau q) = e^{-\pi i k q \cdot \tau q - 2\pi i k q \cdot z} \theta(z), \quad p, q \in \mathbb{Z}^g,$$

où  $q \cdot r \equiv q^t r$ , la multiplication à droite étant la multiplication matricielle. Un élément de  $\mathbf{Th}_k$  est appelé une **fonction thêta de degré  $k$** . Si  $k = 1$ ,  $\mathbf{Th}_1$  est un espace vectoriel de dimension 1 engendré par la **fonction thêta de Riemann**

$$\vartheta(z|\tau) = \sum_{n \in \mathbb{Z}^g} e^{i\pi n \cdot \tau n + 2\pi i n \cdot z}.$$

C'est une fonction paire, holomorphe sur  $\mathbb{C}^g \times \mathbb{H}_g$ .

On suppose maintenant que  $\tau$  est la matrice des périodes normalisée d'une surface de Riemann  $\Sigma$  de genre  $g$ . Afin de déterminer les zéros de  $\vartheta$ , on utilise la fonction intermédiaire :

$$\Sigma \ni x \mapsto \vartheta(z + \int_{x_0}^x \omega|\tau) \equiv f(x) \in \mathbb{C}.$$

D'après le **théorème d'annulation de Riemann** : soit  $f$  est identiquement nulle, soit il existe  $\Delta \in \mathbb{C}^g$ , appelé **vecteur des constantes de Riemann**, ne dépendant que du choix de la base d'homologie et du point base  $x_0$ , tel que  $f$  possède  $g$  zéros  $x_1, \dots, x_g$  avec

$$z + \sum_{i=1}^g \int_{x_0}^{x_i} \omega = \Delta \pmod{\Lambda_\tau}. \quad (6)$$

Réciproquement, pour tout  $g$ -uplet de points  $(x_1, \dots, x_g)$ , si  $z$  est défini par l'équation (6) alors  $f(x_i) = 0, \forall i = 1, \dots, g$ . On obtient comme corollaire :  $\vartheta(z|\tau) = 0$  si, et seulement si, il existe  $x_1, \dots, x_{g-1} \in \Sigma$  tels que

$$z = \Delta - \sum_{i=1}^{g-1} \int_{x_0}^{x_i} \omega.$$

Pour  $k > 1$ , on introduit la fonction thêta de caractéristiques  $(\delta', \delta'') \in \mathbb{Q}^g \times \mathbb{Q}^g$  :

$$\begin{aligned} \vartheta \begin{bmatrix} \delta' \\ \delta'' \end{bmatrix} (z|\tau) &= e^{i\pi \delta' \cdot \tau \delta' + 2\pi i \delta' \cdot (z + \delta'')} \vartheta(z + \tau \delta' + \delta''|\tau) \\ &= \sum_{n \in \mathbb{Z}^g} e^{i\pi (n + \delta') \cdot \tau (n + \delta') + 2\pi i (n + \delta') \cdot (z + \delta'')} . \end{aligned}$$

La fonction thêta de Riemann est juste la fonction thêta de caractéristiques nulles. On vérifie directement les transformations suivantes

$$\begin{aligned} \vartheta \begin{bmatrix} \delta' \\ \delta'' \end{bmatrix} (z + p + \tau q|\tau) &= e^{-i\pi q \cdot \tau q - 2\pi i q \cdot (z + \delta'')} e^{2\pi i \delta' \cdot p} \vartheta \begin{bmatrix} \delta' \\ \delta'' \end{bmatrix} (z|\tau) \\ \vartheta \begin{bmatrix} \delta' + p \\ \delta'' + q \end{bmatrix} (z|\tau) &= e^{2\pi i \delta' \cdot q} \vartheta \begin{bmatrix} \delta' \\ \delta'' \end{bmatrix} (z|\tau) . \end{aligned}$$

L'ensemble des  $\theta_{k,e} \equiv \vartheta \begin{bmatrix} e/k \\ 0 \end{bmatrix} (kz, k\tau)$ ,  $e \in \mathbb{Z}^g / k\mathbb{Z}^g$ , c.-à-d. concrètement

$$\theta_{k,e}(z) = \sum_{n \in \mathbb{Z}^g} e^{\pi i k (n + \frac{e}{k}) \cdot \tau (n + \frac{e}{k}) + 2\pi i k (n + \frac{e}{k}) \cdot z} ,$$

forme une base de  $\mathbf{Th}_k$ . En particulier,  $\dim \mathbf{Th}_k = k^g$ .

## 4.2. Fibré thêta

Soit  $\Lambda$  un réseau de  $\mathbb{C}^g$ . Le quotient  $\mathbb{C}^g/\Lambda$  est une variété complexe, appelée tore complexe. Au passage remarquons que la raison profonde pour laquelle on se contente de prendre  $\tau$  dans le demi-plan de Siegel est que les seuls tores pouvant être plongés dans un plan projectif sont les tores  $\mathbb{C}^g/\Lambda_\tau$  et leurs revêtements finis (théorème de Lefschetz). Comme  $H^1(\mathbb{C}^g, \mathcal{O}^\times) = 0$  [83, p.47], tout fibré holomorphe en droites au-dessus de  $\mathbb{C}^g$  est trivial. Soit  $L \rightarrow \mathbb{C}^g/\Lambda$  un fibré en droites et  $\pi : \mathbb{C}^g \rightarrow \mathbb{C}^g/\Lambda$  la projection. Le fibré préimage  $\pi^*L \rightarrow \mathbb{C}^g$  est trivial, ainsi il existe une trivialisatoin globale  $\varphi : \pi^*L \rightarrow \mathbb{C}^g \times \mathbb{C}$ . Fixons  $z \in \mathbb{C}^g$  et  $\lambda \in \mathbb{C}^g$ . Comme  $L_{\pi(z)} = (\pi^*L)_z = (\pi^*L)_{z+\lambda}$ , on obtient un automorphisme de  $\mathbb{C}$  :

$$\mathbb{C} \xleftarrow{\varphi_z} (\pi^*L)_z = L_{\pi(z)} = (\pi^*L)_{z+\lambda} \xrightarrow{\varphi_{z+\lambda}} \mathbb{C} .$$

Un automorphisme de  $\mathbb{C}$  est donné par la multiplication par un nombre complexe non-nul  $m_\lambda(z)$ . L'ensemble des multiplicateurs  $m_\lambda$ ,  $\lambda \in \Lambda$ , est appelé un facteur d'automorphie pour  $L$ . Les multiplicateurs satisfont la relation de compatibilité  $m_\mu(z + \lambda)m_\lambda(z) = m_{\lambda+\mu}(z)$ ,  $\forall z \in \mathbb{C}^g$ . Réciproquement, tout facteur d'automorphie définit un fibré en droites holomorphe sur  $\mathbb{C}^g/\Lambda$ , obtenu en quotientant  $\mathbb{C}^g \times \mathbb{C}$  par la relation d'équivalence  $(z, w) \sim (z + \lambda, e_\lambda(z)w)$ . Une section de ce fibré en droites est une fonction holomorphe  $s$  sur  $\mathbb{C}^g$  telle que  $s(z + \lambda) = m_\lambda(z) s(z)$ ,  $\forall \lambda \in \Lambda$ . De par les relations de compatibilité, il suffit de connaître les multiplicateurs sur une base  $(\lambda_1, \dots, \lambda_{2g})$  de  $\Lambda$ . On note  $m_\ell = m_{\lambda_\ell}$ .

Soit  $\Sigma$  une surface de Riemann de genre  $g$  et  $\text{Jac } \Sigma$  sa Jacobienne. On a vu que  $\text{Jac } \Sigma$  est un tore complexe modelé sur le réseau  $\Lambda_\tau$  engendré par les  $e_\alpha$ . Le **fibré thêta**, noté  $L_\Theta$ , est le fibré holomorphe en droites au-dessus de  $\text{Jac } \Sigma$ , défini par le facteur d'automorphie :

$$m_\alpha(z) = 1, \quad m_{g+\alpha}(z) = e^{-\pi i \tau_{\alpha\alpha} - 2\pi i z_\alpha}$$

pour  $\alpha = 1, \dots, g$ . On aurait donc pu définir une fonction thêta de degré  $k$  comme une section holomorphe de la  $k$ -ième puissance de  $L_\Theta$ . En particulier,  $\dim H^0(L_\Theta^k) = k^g$ . Le **diviseur thêta**, noté  $\Theta$ , est le diviseur de la section  $\vartheta$  de  $L_\Theta$ . Comme corollaire du théorème d'annulation de Riemann, le diviseur de  $L_\Theta$  est l'ensemble (\*)

$$\Theta = \left\{ \Delta - \sum_{i=1}^{g-1} \int_{x_0}^{x_i} \omega \text{ pour } x_1, \dots, x_{g-1} \in \Sigma \right\}.$$

Le fibré  $L_\Theta$  possède aussi une structure hermitienne :

$$\|s\|^2 = e^{-2\pi(z-\bar{z}) \cdot \tau_2^{-1}(z-\bar{z})} |s|^2.$$

### 4.3. Fibrés spin et caractéristiques thêta

Une classe de diviseurs  $D$  de  $\Sigma$  telle que  $2D = K$ , où  $K$  est la classe canonique, est appelée une **caractéristique** (thêta) de  $\Sigma$ . Notons  $(\text{Pic}^0 \Sigma)_2$  l'ensemble des diviseurs de degré zéro tels que  $2E = 0$ . Quels que soient  $D_1, D_2 \in \mathbf{T}$ , il existe un unique  $E \in (\text{Pic}^0 \Sigma)_2$ , tel que  $D_1 = D_2 + E$ . Comme de plus  $(\text{Pic}^0 \Sigma)_2 = (\text{Jac } \Sigma)_2 \cong (\mathbb{Z}/2\mathbb{Z})^{2g}$ , il suit  $|\mathbf{T}| = 2^{2g}$ .

Dans le langage des fibrés, pour parler de caractéristique, on utilise la notion de fibré spin. Un **fibré spin**  $L$  est une racine carré du fibré canonique, *i.e.*  $L^2 = K$ . Il n'y a pas de fibré spin privilégié. Clairement,  $\deg L = g - 1$ .

Les deux isomorphismes suivants font le lien entre les caractéristiques et les fonctions thêta :

— l'application qui à  $D \in \mathbf{T}$  associe le lieu des points  $I(x_1 + \dots + x_{g-1} - D)$  dans  $\mathbb{C}^g/\Lambda_\tau$  pour tout  $x_1, \dots, x_{g-1} \in \Sigma$ , est un isomorphisme entre  $\mathbf{T}$  et les translations du diviseur  $\Theta$  qui sont symétriques, *i.e.* les  $z + \Theta$  tels que  $z + \Theta = -(z + \Theta)$  ;

— l'application qui associe à une caractéristique (!)  $\delta = (\delta', \delta'')$  le lieu des points tels que  $\vartheta[\delta](z|\tau) = 0$  dans  $\mathbb{C}^g/\Lambda_\tau$  est un isomorphisme entre  $\frac{1}{2}\mathbb{Z}^{2g}/\mathbb{Z}^{2g}$  et les translatés de  $\Theta$  symétriques.

Si  $D_0$  est la caractéristique qui est envoyée par le premier isomorphisme sur  $\Theta$  lui-même, le vecteur des constantes de Riemann est :  $\Delta = I(D_0 + (g-1)x_0)$ . Alors que  $\Delta$  dépend à la fois du point base et de la base d'homologie, la caractéristique  $D_0$  ne dépend pas du point base. Il y a donc un fibré spin privilégié à condition de choisir une base d'homologie.

Un calcul direct montre que  $\vartheta[\delta]$  est soit paire soit impaire :

$$\vartheta[\delta](-z|\tau) = (-1)^{4\delta'\delta''} \vartheta[\delta](z|\tau).$$

On dira d'une caractéristique qu'elle est **paire** (resp. **impaire**) si  $4\delta'\delta''$  est paire (resp. impaire) partitionnant ainsi  $\mathbf{T}$  en caractéristiques impaires  $\mathbf{T}_-$  et caractéristiques paires  $\mathbf{T}_+$ . Pour les fibrés spin, on définit de manière équivalente :  $L \in \mathbf{T}$  est paire (impaire) si  $\dim H^0(L)$  l'est. Pour les dimensions, on a

$$|\mathbf{T}_-| = 2^{g-1}(2^g - 1), \quad |\mathbf{T}_+| = 2^{g-1}(2^g + 1).$$

---

\*Ici on parle de diviseur d'un fibré en droites au-dessus d'une variété complexe et non plus d'une surface de Riemann.

#### 4.4. Fonction thêta de Jacobi

On suppose ici que  $g = 1$ . Les quatre fonctions thêta de Jacobi  $\vartheta_1, \vartheta_2, \vartheta_3, \vartheta_4$  sont les fonctions thêta de Riemann de caractéristiques respectives  $(\frac{1}{2}, \frac{1}{2}), (\frac{1}{2}, 0), (0, \frac{1}{2})$  et  $(0, 0)$ , soit toutes les fonctions thêta de caractéristiques  $\delta', \delta'' \in \frac{1}{2}\mathbb{Z}$ . Dans cette section, nous utilisons exclusivement  $\vartheta_1$ . Sous forme développée, on a

$$\vartheta_1(z) = -i \sum_{\ell \in \mathbb{Z}} (-1)^\ell e^{\pi i \tau (\ell + \frac{1}{2})^2 + \pi i z (2\ell + 1)}.$$

La fonction  $\vartheta_1$  est analytique, impaire, de zéros  $\mathbb{Z} + \tau\mathbb{Z}$ , vérifie l'équation de la chaleur  $\partial_z^2 \vartheta_1 = 4\pi i \partial_\tau \vartheta_1$  et se transforme comme :  $\vartheta_1(z+1) = -\vartheta_1(z)$  et  $\vartheta_1(z+\tau) = -e^{-\pi i(\tau+2z)} \vartheta_1(z)$ . On peut obtenir  $\vartheta_1$  sous forme produit par l'intermédiaire du dénominateur de Weyl-Kac pour le groupe  $SU_2$  :

$$\vartheta_1(z) = \frac{1}{i} \Pi(\frac{z}{2} \sigma_3, \tau) = 2q^{1/8} \sin(\pi z) \prod_{\ell=1}^{+\infty} (1 - q^\ell)(1 - q^\ell e^{2\pi i z})(1 - q^\ell e^{-2\pi i z})$$

pour  $q = e^{2\pi i \tau}$ .

La fonction thêta de Jacobi permet de montrer quelques relations utiles sur le dénominateur de Weyl-Kac pour  $G$  général. On regarde  $\Pi(u, \tau)$  comme une fonction des  $u_\alpha = \alpha(u)$ ,  $\alpha \in \Delta_+$ . Pour les premières dérivées, on a

$$\Pi^{-1} \partial_{u^j} \Pi(u, \tau) = \sum_{\alpha > 0} \alpha(h^j) \rho(u_\alpha), \quad (7)$$

car  $\Pi^{-1} \partial_{u_\alpha} \Pi(u, \tau) = \rho(u_\alpha)$  pour  $\rho = \vartheta'_1 / \vartheta_1$ . Pour les dérivées secondes, on se rappelle que  $\Pi$  satisfait une équation du type de la chaleur, de laquelle on peut déduire

$$\begin{aligned} 4\pi i g^\vee \Pi^{-1} \partial_\tau \Pi(u, \tau) &= \Pi^{-1} \Delta_u \Pi(u, \tau) \\ &= \sum_{\alpha > 0} \text{tr}(\alpha^2) \rho'(u_\alpha) + \sum_{\alpha, \beta > 0} \text{tr}(\alpha\beta) \rho(u_\alpha) \rho(u_\beta), \\ &= g^\vee \left( (d - 3r) \eta_1 + \sum_{\alpha > 0} \frac{\vartheta''_1}{\vartheta_1}(u_\alpha) \right) \end{aligned} \quad (8)$$

où  $\eta_1 = -\frac{1}{6} \vartheta'''_1(0) / \vartheta'_1(0)$ ,  $d = \dim G$  et  $r = \text{rang } G$ . La deuxième égalité utilise l'équation (7). Pour obtenir la troisième équation, on calcule d'abord  $\vartheta''_1 / \vartheta_1$  en  $z$  et  $\eta_1$  par passage à la limite en 0, puis on compare avec  $4\pi i g^\vee \Pi^{-1} \partial_\tau \Pi(u, \tau)$  calculé directement. Au passage, on obtient

$$-6 \eta_1 = \frac{\vartheta'''_1}{\vartheta'_1}(0) = \pi^2 \left( 24 \sum_{\ell \geq 1} \frac{\ell q^\ell}{1 - q^\ell} - 1 \right).$$

$\eta_1$  est une constante standard de la théorie des fonctions elliptiques. Si  $\zeta$  est, par définition, donnée par  $\zeta'(z) = -\wp(z)$  alors  $2\eta_1 = \zeta(z+1) - \zeta(z) = \zeta(1/2)$ . On montre que  $\eta_1 = -\frac{1}{6} \vartheta'''_1(0) / \vartheta'_1(0)$ . Notons également les relations suivantes :  $\zeta(z) = 2\eta_1 z + \rho(z)$  et  $-\wp(z) = 2\eta_1 + \rho'(z)$ . Dans la littérature, on trouve plutôt

$$\frac{\vartheta'''_1}{\vartheta'_1}(0) = \pi^2 \left( 24 \sum_{\ell \geq 1} \frac{q^\ell}{(1 - q^\ell)^2} - 1 \right).$$

On a les transformations :  $\rho(y+1) = \rho(y)$  et  $\rho(y+\tau) = \rho(y) - 2\pi i$ . Les développements de  $\rho$  en  $y = 0$  nous seront aussi utiles

$$\rho(y) = \frac{1}{y} + 0 + \dots, \quad \rho'(y) = -\frac{1}{y^2} - 2\eta_1 + \dots.$$

La fraction suivante

$$P_x(y) = \frac{\vartheta_1'(0)\vartheta_1(x+y)}{\vartheta_1(x)\vartheta_1(y)}$$

présente de bonnes propriétés :  $P_x(y+1) = P_x(y)$  et  $P_x(y+\tau) = e^{-2\pi i x} P_x(y)$ . De plus,  $P_x(y)$  est analytique sauf en  $y = 0$  où son résidu vaut un. Précisément, on montre les développements en  $y = 0$  suivants

$$P_x(y) = \frac{1}{y} + \rho(x) + \dots, \quad P_x'(y) = -\frac{1}{y^2} + \frac{1}{2} \frac{\vartheta_1''}{\vartheta_1}(x) + \eta_1 + \dots$$

## §5. États de Chern-Simons sphériques

Sur la sphère de Riemann,  $\mathcal{A}_0^{01} \equiv \{h_0 = h^{-1}\bar{\partial}h, h \in \mathcal{G}^{\mathbb{C}}\}$  forme un ouvert dense dans  $\mathcal{A}^{01}$  — c'est la strate semi-stable. D'après l'invariance globale (4), un état  $\Psi$  de CS est entièrement déterminé par sa valeur en zéro :

$$\Psi(h^{-1}\bar{\partial}h) = e^{kS(h)} \otimes_{\ell} h(\xi_{\ell})_{R_{\ell}}^{-1} \Psi(0). \quad (9)$$

En reprenant cette équation avec  $h$  constante, on constate que  $\Psi(0)$  est un tenseur invariant sous l'action diagonale de  $G$ , *i.e.*  $\Psi(0) \in V_{\underline{\lambda}}^G$ . On obtient ainsi un plongement

$$\mathcal{W}(\mathbb{C}P^1, \underline{\xi}, \underline{R}) \hookrightarrow V_{\underline{\lambda}}^G,$$

en envoyant un état  $\Psi$  sur  $\Psi(0)$ . En particulier,  $\mathcal{W}(\mathbb{C}P^1, \underline{\xi}, \underline{R})$  est de dimension finie. On peut voir que  $\Psi$  défini sur  $\mathcal{A}_0^{01}$  par la relation (9) pour tous  $\Psi(0) \in V_{\underline{\lambda}}^G$  est holomorphe (au sens de Fréchet). L'espace des états de CS est donc le sous-espace de  $V_{\underline{\lambda}}^G$  formé de telles fonctionnelles  $\Psi$  s'étendant holomorphiquement sur tout  $\mathcal{A}^{01}$ . Les conditions algébriques que l'on doit imposer sur  $\Psi(0)$  pour assurer l'existence du prolongement sont les **règles de fusion**. Pour les étudier, on a besoin d'un peu plus d'information sur  $\mathcal{A}^{01}$ .

On peut toujours écrire localement un champ sous la forme

$$A^{01} = \begin{cases} h_1^{-1}\bar{\partial}h_1, & \text{sur } D, \\ h_2^{-1}\bar{\partial}h_2, & \text{sur } D'. \end{cases}$$

Le produit  $h_1 h_2^{-1}$  est un élément du groupe des lacets  $LG^{\mathbb{C}}$  ; c'est aussi un 1-cocycle de fonction de transitions d'un  $G^{\mathbb{C}}$ -fibré holomorphe. L'orbite du champ nul correspond au fibré trivial. D'après le théorème de Birkhoff [125], pour tout élément  $g \in LG^{\mathbb{C}}$ , il existe  $q^{\vee} \in Q^{\vee}$ ,

le réseau des coracines de  $\mathfrak{g}$ , et deux application  $g_1, g_2$  holomorphes respectivement sur  $D$  et  $D'$ , telles que, sur le cercle  $S^1$ , on ait

$$g(z) = g_1(z) e^{q^\vee \ln z} g_2(z).$$

Il y a unicité de  $q^\vee$  modulo l'action du groupe de Weyl. Les lacets pour lesquels  $q^\vee = 0$  forment un ouvert dense et la strate de codimension 1 correspond à  $q^\vee = \phi^\vee$ , la coracine de la racine la plus grande  $\phi$ . L'énoncé géométrique [84] du théorème de Birkhoff est : tout fibré vectoriel holomorphe sur  $\mathbb{C}P^1$  est isomorphe à  $L^{a_1} \oplus \dots \oplus L^{a_n} - L$  étant un fibré holomorphe — la séquence d'entiers  $(a_1, \dots, a_n)$  étant unique à permutation près. On continue la discussion uniquement pour le groupe  $G = \mathrm{SU}_2$ . Tout  $\mathrm{SL}_2$ -fibré principal holomorphe au-dessus de  $\mathbb{C}P^1$  est une somme directe  $L \oplus L^{-1}$ , où  $L$  est un fibré en droites holomorphe. En d'autres termes, si  $n$  désigne le degré de  $L$ , les fonctions de transition d'un  $\mathrm{SL}_2$ -fibré principal holomorphe au-dessus de  $\mathbb{C}P^1$  sont de la forme

$$\begin{pmatrix} z^n & 0 \\ 0 & z^{-n} \end{pmatrix}.$$

Les orbites dans  $\mathcal{A}^{01}/\mathcal{G}^{\mathbb{C}}$  peuvent donc être énumérées par les entiers  $|n|$ . On les note  $\mathcal{O}_{|n|}$ . L'orbite dense est  $\mathcal{O}_0$ . L'ensemble des  $\mathcal{O}_n$  forme une stratification de  $\mathcal{A}^{01}$  car

$$\mathcal{U}_{n_0} = \bigcup_{|n| \leq n_0} \mathcal{O}_{|n|}$$

est un sous-ensemble ouvert de  $\mathcal{A}^{01}$  et  $\mathcal{O}_{n_0} = \mathcal{U}_{n_0+1} \setminus \mathcal{U}_{n_0}$  est une sous-variété fermée de codimension  $2n_0 - 1$  dans  $\mathcal{U}_{n_0}$ . D'après le théorème de Hartogs [83], si  $\Psi$  est holomorphe sur  $\mathcal{U}_{n_0}$ , elle s'étend en une application holomorphe sur  $\mathcal{U}_{n_0+1}$  dès que la codimension de  $\mathcal{U}_{n_0+1} \setminus \mathcal{U}_{n_0}$  est supérieure ou égale à deux. C'est toujours le cas sauf si  $n_0 = 1$ . Par induction, il suffit donc de montrer que  $\Psi$  est holomorphe sur  $\mathcal{U}_1 = \mathcal{O}_0 \cup \mathcal{O}_1$  pour obtenir une application holomorphe sur tout  $\mathcal{A}^{01}$ .

Dans [69], il est construit une famille analytique de champs à un paramètre  $\mathbb{C} \ni t \mapsto A_t^{01} \in \mathcal{U}_1$  intersectant transversalement  $\mathcal{O}_1$  à  $t = 0$ . Précisément,  $A_t^{01}$  est donné par

$$A_t^{01} = \begin{cases} 0, & \text{sur } D, \\ \begin{pmatrix} 1 & 0 \\ -tz^{-1} & 1 \end{pmatrix} g_0^{-1} \bar{\partial} g_0 \begin{pmatrix} 1 & 0 \\ tz^{-1} & 1 \end{pmatrix}, & \text{sur } D' \end{cases}$$

où  $g_0$  est une fonction  $\mathcal{C}^\infty$  à valeurs dans  $\mathrm{SL}_2$  qui, autour de l'équateur, vaut

$$g_0 = \begin{pmatrix} z^{-1} & 0 \\ 0 & z \end{pmatrix}.$$

Si  $t = 0$ ,  $A_0^{01}$  est dans la strate de codimension un. Par contre, si  $t \neq 0$ , le champ  $A_t^{01}$  est dans l'orbite dense car il peut se mettre sous la forme  $h_t^{-1} \bar{\partial} h_t$ , avec

$$h_t = \begin{cases} \begin{pmatrix} 1 & t^{-1}z \\ 0 & 1 \end{pmatrix}, & \text{sur } D, \\ \begin{pmatrix} 0 & t^{-1} \\ -t & z^{-1} \end{pmatrix} g_0 \begin{pmatrix} 1 & 0 \\ tz^{-1} & 1 \end{pmatrix}, & \text{sur } D', \end{cases}$$

fonction  $\mathcal{C}^\infty$  sur  $\mathbb{C}P^1$  à valeurs dans  $SL_2$ . Une fonctionnelle  $\Psi$  s'étend holomorphiquement sur  $\mathcal{U}_1$  si, et seulement si,

$$t \mapsto \Psi(A_t^{01})$$

est holomorphe en  $t = 0$ . Pour expliciter complètement cette propriété, on utilise la représentation (cohérente [123]) de spin  $j$  de  $SL_2$ , c.-à-d. les polynômes  $P$  de degré  $\leq 2j$ , de variable  $u$ , sur lesquels  $SL_2$  agit par

$$\begin{pmatrix} a & b \\ c & d \end{pmatrix}_j^{-1} P(v) = (cv + d)^{2j} P\left(\frac{av + b}{cv + d}\right).$$

Les générateurs (infinitésimaux) de  $SL_2$  sont

$$\begin{aligned} t_j^1 &= \frac{1}{2}(v^2 - 1)\partial_v - jv, \\ t_j^2 &= \frac{i}{2}(v^2 + 1)\partial_v - ijv, \\ t_j^3 &= -v\partial_v + j. \end{aligned} \tag{10}$$

Le produit scalaire rendant l'action de  $SU_2$  unitaire est donné par

$$\|P\|^2 = \frac{2j+1}{\pi} \int_{\mathbb{C}} \frac{|P(v)|^2}{(1+|v|^2)^{2j+2}} d^2v.$$

Les tenseurs invariants dans l'action diagonale de  $SL_2$  sont alors les polynômes en  $\underline{v} = (v_\ell)$ , de degré  $\leq j_\ell$  en  $v_\ell$ , et tels que

$$P(\underline{v}) = \prod_{\ell} (cv_\ell + d)^{2j_\ell} P\left(\left(\frac{av_\ell + b}{cv_\ell + d}\right)\right).$$

Notons que  $P$  est un polynôme homogène de degré  $|\underline{j}| = \sum_{\ell} j_\ell$ , invariant par translation.

Commençons par supposer que tous les points d'insertion sont dans  $D$ . D'après l'invariance globale des états  $\Psi$ , on a

$$\Psi(A_t^{01}) = e^{kS(h_t)} P(\underline{v} + \frac{1}{t}\underline{\xi}) = t^{-|\underline{j}|} e^{kS(h_t)} P(\underline{\xi} + t\underline{v})$$

où  $P$  représente  $\Psi(0)$ . Partant de l'équation (2.3), on peut montrer que  $e^{kS(h_t)} \sim t^k$  quand  $t \mapsto 0$ . L'application  $t \mapsto \Psi(A_t^{01})$  est donc holomorphe en zéro si, et seulement si,  $P(\underline{\xi} + t\underline{v})$  s'annule à l'ordre  $|\underline{j}| - k - 1$  en  $t$ . L'espace  $\mathcal{W}(\mathbb{C}P^1, \underline{\xi}, \underline{R})$  est invariant par transformation de Möbius — le groupe d'automorphismes de  $\mathbb{C}P^1$  — donc, les points d'insertion étant deux à deux distincts, la restriction de départ  $\xi_\ell \in D$  n'est pas importante. La condition d'annulation est également invariante par transformation de Möbius. Par contre le raisonnement ne marche que si les points d'insertion sont différents de l'infini. Ainsi, si aucun des points d'insertion n'est à l'infini,

$$\mathcal{W}(\mathbb{C}P^1, \underline{\xi}, \underline{j}) = \left\{ P \in V_{\underline{j}}^{SU_2} \mid D^{\underline{n}}P(\underline{\xi}) = 0, |\underline{n}| \leq |\underline{j}| - k - 1 \right\} \tag{11}$$

où  $D^{\underline{n}} = \prod_{\ell} \partial_{v_\ell}^{n_\ell}$ ,  $\underline{n} = (n_\ell)$  et  $|\underline{n}| = \sum_{\ell} n_\ell$ .

Si un des points d'insertion est à l'infini, par exemple  $\xi_1 = \infty$ , on déduit le résultat de la configuration précédente. Supposons que les autres points d'insertion sont non-nuls. On



peut se ramener à l'étude pour la séquence  $\underline{\zeta}$ , avec  $\zeta_1 = 0$  et  $\zeta_\ell = -\xi_\ell^{-1} \neq \infty$ , puisque  $\mathscr{W}(\mathbb{C}P^1, \underline{\xi}, \underline{j}) = \mathscr{W}(\mathbb{C}P^1, \underline{\zeta}, \underline{j})$ . On sait que  $t^{-|\underline{j}|} e^{kS(ht)} P(\underline{\zeta} + t\underline{v})$  est régulier en zéro si, et seulement si,

$$D^{\underline{n}}P(\underline{\zeta}) = 0 \quad \text{pour} \quad |\underline{n}| \leq |\underline{j}| - k - 1.$$

Pour obtenir un critère portant sur les dérivées en  $(0, \xi_2, \dots, \xi_N)$ , on utilise

$$\begin{aligned} D^{\underline{n}}P|_{\underline{\zeta}} &= D^{\underline{n}} \prod_{\ell} v_{\ell}^{j_{\ell}} P\left(\left(\frac{-1}{v_{\ell}}\right)\right)|_{\underline{\zeta}} \\ &= \frac{n_1!}{(2j_1 - n_1)!} \partial_{v_1}^{2j_1 - n_1} \partial_{u_2}^{n_2} \dots \partial_{u_N}^{n_N} \prod_{\ell \neq 1} v_{\ell}^{2j_{\ell}} P\left(-v_1, \frac{-1}{v_2}, \dots, \frac{-1}{v_N}\right)|_{\underline{\zeta}} \end{aligned} \quad (12)$$

Par conséquent, la condition cherchée est :  $D^{\underline{n}}P(0, \xi_2, \dots, \xi_N) = 0$ , pour  $|\underline{n}| + 2(j_1 - n_1) \leq |\underline{j}| - k - 1$ . La restriction  $\xi_{\ell} \neq 0$ ,  $\ell \neq 1$ , n'est pas importante car l'espace est invariant par translation, cette remarque s'appliquant aussi à la condition trouvée. Ainsi, les calculs précédents conduisent à la description suivante de l'espace des états de CS

$$\mathscr{W}(\mathbb{C}P^1, \underline{\xi}, \underline{j}) = \left\{ P \in V_{\underline{j}}^{\text{SU}_2} \mid D^{\underline{n}}P(0, \xi_2, \dots, \xi_N) = 0, |\underline{n}| + 2(j_1 - n_1) \leq |\underline{j}| - k - 1 \right\} \quad (13)$$

si  $\xi_1 = \infty$ . De ces résultats, on peut extraire  $\mathscr{W}(\mathbb{C}P^1, \underline{\xi}, \underline{j}) = \{0\}$  si un des spins est  $> k/2$ . On peut toujours supposer que  $j_1 > k/2$  et  $\xi_1 = \infty$ . Comme  $P$  est un polynôme homogène de degré  $|\underline{j}|$ , les dérivées  $D^{|\underline{n}|}P$  sont nulles pour  $|\underline{n}| > |\underline{j}|$ . D'autre part, si  $n_1 = 2j_1$  et  $|\underline{n}| \leq |\underline{j}|$ , on a d'après l'équation (13)  $D^{\underline{n}}P(0, \xi_2, \dots, \xi_N) = 0$ . Par conséquent  $\partial_{u_1}^{2j_1} P$  est identiquement nulle en  $u_1 = 0$ . Vu l'équation (12), cela entraîne que  $P$  est nulle en  $u_1 = 0$ . Comme  $P$  est invariant par translation il suit  $P \equiv 0$ . Ainsi, on a la **règle d'exclusion** suivante :  $\mathscr{W}(\mathbb{C}P^1, \underline{\xi}, \underline{j}) = \{0\}$  si un des spins est  $> k/2$ , *i.e.* si une des représentations  $R_{\ell}$  n'est pas intégrable ; on verra que les fonctions de Green sont automatiquement nulles (cf. équation (21)). Ce résultat s'accorde avec la construction de l'espace des états de la section 1.8.

De ce qui précède, on déduit les espaces explicites pour deux et trois points d'insertion. Les espaces  $\mathscr{W}(\mathbb{C}P^1, \underline{\xi}, \underline{j})$  ne doivent pas dépendre des points d'insertion à cause de l'invariance de Möbius. Pour deux points d'insertion, on a  $V_{\underline{j}}^{\text{SU}_2} = \mathbb{C}(u_1 - u_2)^k$ , si  $j_1 = j_2 = k/2$ , et  $\{0\}$  sinon. Ainsi

$$\mathscr{W}(\mathbb{C}P^1; \xi_1, \xi_2; j_1, j_2) = \begin{cases} V_{\underline{j}}^{\text{SU}_2}, & \text{si } j_1 = j_2 = k/2, \\ \{0\}, & \text{sinon.} \end{cases}$$

Pour trois points d'insertion, l'espace des tenseurs invariants est  $\mathbb{C}\{j_1 j_2 j_3\}$  si  $j_{12}, j_{13}, j_{23}$  sont des entiers non-négatifs et zéro sinon. On a noté  $\{j_1 j_2 j_3\}$  les polynômes de Clebsch-Gordan :  $\{j_1 j_2 j_3\} = (u_1 - u_2)^{j_{12}} (u_1 - u_3)^{j_{13}} (u_2 - u_3)^{j_{23}}$ , où  $j_{12} = j_1 + j_2 - j_3$ ,  $j_{13} = j_1 - j_2 + j_3$  et  $j_{23} = -j_1 + j_2 + j_3$ . Il suit

$$\mathscr{W}(\mathbb{C}P^1; \xi_1, \xi_2, \xi_3; j_1, j_2, j_3) = \begin{cases} V_{\underline{j}}^{\text{SU}_2}, & \text{si } j_1 + j_2 + j_3 \leq k, \\ \{0\}, & \text{sinon.} \end{cases}$$

Dans la section 2.1.2, on a remarqué que la racine la plus grande définit un plongement de  $\mathfrak{sl}_2$  dans  $\mathfrak{g}^{\mathbb{C}}$  et de  $\text{SU}_2$  dans  $G$ . On peut alors décomposer  $V_{\lambda}$  via l'action de  $\text{SU}_2$  (cf. la section 1.5)

$$V_{\lambda_G} \cong \bigoplus_j M_j^{\lambda_G} \otimes V_j.$$

Un tenseur invariant pour  $G$  l'est en particulier pour  $SU_2$ , donc

$$V_{\underline{\lambda}}^G \subset \bigoplus_{\underline{j}} \left( \bigotimes_{\ell} M_{j_{\ell}}^{\lambda_{\ell}} \right) \otimes V_{\underline{j}}^{SU_2}.$$

Pour trouver quels sont les états de CS parmi ces tenseurs, il suffit de recommencer l'étude précédente en regardant la famille à un paramètre  $t \mapsto A_t^{01}$  où les champs sont vus comme prenant leurs valeurs dans  $\mathfrak{g}^{\mathbb{C}}$ . Il suit

$$\mathscr{W}(\mathbb{C}P^1; \underline{\xi}; \underline{R}) = V_{\underline{\lambda}}^G \cap \left( \bigoplus_{\underline{j}} \left( \bigotimes_{\ell} M_{j_{\ell}}^{\lambda_{\ell}} \right) \otimes \mathscr{W}(\mathbb{C}P^1; \underline{\xi}; \underline{j}) \right). \quad (14)$$

Ainsi, chaque composante de  $\Psi$  doit correspondre à un état de CS pour  $SU_2$  [75, 76]. À l'aide du cas  $SU_2$ , on obtient la même règle d'exclusion : l'espace des états de CS est réduit à zéro si une des représentations n'est pas intégrable.

## §6. États de Chern-Simons elliptiques

En genre un, on peut utiliser  $E_{\tau} = \mathbb{C}/(\mathbb{Z} + \tau\mathbb{Z})$  pour représenter  $\Sigma$ . Il n'y a pas de strates de codimension 1, donc il suffit de regarder la strate semi-stable  $\mathscr{A}_{ss}^{01}$ . L'analyse de la strate semi-stable requiert une stratification plus fine de  $\mathscr{A}_{ss}^{01}$ . Les détails peuvent être trouvés dans [41, 68]. Dans chaque orbite, il existe une connexion plate [85], *i.e.* il existe  $h \in \mathscr{G}^{\mathbb{C}}$  telle que  $\hat{A} = {}^h A$  soit plate. Remarquons qu'il n'y a pas unicité de  $\hat{A}$ . Regardons le transport parallèle  $\gamma$  de  $\hat{A}$  :

$$\gamma(\mathbf{x}) = \overleftarrow{\text{Pe}} \int_0^{\mathbf{x}} \hat{A}$$

qui est une application du revêtement universel de  $\Sigma$  dans  $G^{\mathbb{C}}$ . On peut toujours conjuguer l'holonomie, cette opération donnant un fibré isomorphe au fibré initial. Le groupe fondamental étant engendré par deux éléments commutants, l'holonomie est donnée par une paire de matrices commutantes  $(\gamma_1, \gamma_2)$  telles que  $\gamma(z+1) = \gamma(z)\gamma_1$  et  $\gamma(z+\tau) = \gamma(z)\gamma_2$ . Les champs  $A^{01}$  sont donc de la forme  $(\gamma h)^{-1} \overleftarrow{\partial}(\gamma h)$ , cette représentation étant unique modulo la multiplication à gauche de  $\gamma h$  par un élément constant de  $\mathscr{G}^{\mathbb{C}}$ .

Si on peut conjuguer simultanément les deux matrices  $\gamma_i$  à un élément de  $T^{\mathbb{C}}$ , on peut se ramener à  $\gamma_1 = e^{-2\pi i \Phi}$  et  $\gamma_2 = e^{-2\pi i \Theta}$ , avec  $\Phi, \Theta \in \mathfrak{t}^{\mathbb{C}}$ . On utilise la liberté laissée dans le choix de  $\hat{A}$  pour prendre  $\gamma' \gamma$  avec  $\gamma' = e^{2\pi i \Phi z}$ . L'holonomie est alors donnée par  $\gamma_1 = 1$  et  $\gamma_2 = e^{-2\pi i u}$ , avec  $u = \Theta - \tau \Phi \in \mathfrak{t}^{\mathbb{C}}$ . Pour le champ plat, on utilise

$$\hat{A}_u = A_u^{10} + A_u^{01} = \frac{\pi u}{\tau_2} (dz - d\bar{z}).$$

Introduisons les applications

$$h_v = e^{\pi(v\bar{z} - \bar{v}z)/\tau_2}.$$

Les  $h_v$  sont dans  $\mathscr{G}^{\mathbb{C}}$  si elles sont monovaluées, ce qui n'arrive que pour  $v \in Q^{\vee} + \tau Q^{\vee}$ . En tous les cas, on a  $h_v^{-1} A_u^{01} = A_{u+v}^{01}$ . Si  $u \notin P^{\vee} + \tau P^{\vee}$ , les seules transformations de jauge reliant les  $A_u^{01}$  sont  $h = wh_v$  où  $v \in Q^{\vee} + \tau Q^{\vee}$  et  $w \in W$ , le groupe de Weyl. L'ensemble de ces champs forment une strate  $\mathscr{A}_0^{01}$  ouverte dense dans  $\mathscr{A}_{ss}^{01}$  et donc dans  $\mathscr{A}^{01}$ . Cette section

mise à part, on s'intéresse surtout à la strate  $\mathcal{A}_0^{01}$ . Notons que  $A_u^{01}$  s'écrit aussi  $\gamma_u^{-1} \bar{\partial} \gamma_u$  avec  $\gamma_u$  la fonction multivaluée, donnée par

$$\gamma_u = e^{-\pi u(z-\bar{z})/\tau_2}, \quad \gamma_u(z+1) = \gamma_u(z), \quad \gamma_u(z+\tau) = e^{-2\pi i u} \gamma_u(z). \quad (15)$$

Presque tous les champs de jauge sont donc de la forme

$$A^{01} = h^{-1} A_u^{01} = (\gamma_u h)^{-1} \bar{\partial} (\gamma_u h)$$

avec  $u_\alpha = \alpha(u) \notin \mathbb{Z} + \tau\mathbb{Z}$ , quel que soit  $\alpha \in \Delta$ . On vérifie que la seule ambiguïté restante réside dans la multiplication à gauche par une transformation de jauge constante à valeurs dans le sous-groupe de Cartan  $T^{\mathbb{C}}$ . Si  $u \in P^\vee + \tau P^\vee$ , on obtient des strates disjointes de codimension  $> 1$ . Si les matrices de l'holonomie ne sont pas conjuguables simultanément à  $T^{\mathbb{C}}$ , les strates sont de codimension  $\geq 1$ .

À tout état de CS, on associe une application holomorphe  $\gamma : \mathfrak{t}^{\mathbb{C}} \rightarrow V_\lambda$  définie par

$$\gamma(u) = e^{-\pi k |u|^2 / (2\tau_2)} \otimes_\ell \left( e^{-\pi(z_\ell - \bar{z}_\ell)u/\tau_2} \right)_{R_\ell} \Psi(A_u^{01})$$

où  $|u|^2 = \text{tr } u^2$ . Au niveau de  $\gamma$ , les conditions assurant que  $\Psi$  est un état de CS sont

$$\gamma(u + q^\vee) = \gamma(u), \quad \text{si } q^\vee \in Q^\vee, \quad (16.a)$$

$$\gamma(u + \tau q^\vee) = e^{-\pi i k \text{tr } q^\vee (\tau q^\vee + 2u)} \otimes_\ell \left( e^{-2\pi i z_\ell q^\vee} \right)_{R_\ell} \gamma(u), \quad \text{si } q^\vee \in Q^\vee, \quad (16.b)$$

$$0 = \sum_\ell h_\ell \gamma(u), \quad \text{si } h \in \mathfrak{t}, \quad (16.c)$$

$$\gamma(u w w^{-1}) = \otimes_\ell w_{R_\ell} \gamma(u), \quad \text{si } w \in N(T), \quad (16.d)$$

et

$$\left( \sum_\ell e^{2\pi i s z_\ell (e_\alpha)_{R_\ell}} \right)^p \gamma(u + t p^\vee) = \mathcal{O}(t^p), \quad (17)$$

pour tout  $\alpha \in \Delta$ ,  $p^\vee \in Q^\vee$  avec  $\alpha(p^\vee) = 1$ ,  $u$  tel que  $u_\alpha = m + \tau s$  pour  $m, s \in \mathbb{Z}$ ,  $p = 1, 2, \dots$  et  $t \mapsto 0$ . Les équations (16.a,b,d) sont la traduction de l'action de  $W \rtimes (Q^\vee + \tau Q^\vee)$ . L'équation (16.c) reflète l'ambiguïté de notre paramétrisation. Elle dit aussi que  $\gamma$  est dans  $V_\lambda^T$ . La dernière équation assure la possibilité d'étendre  $\gamma$  aux strates de codimension 1. Pour  $G = \text{SU}_2$ , elles sont explicitement données dans l'article [41, éq. (4.10)].

Sans points d'insertion, les états de CS sont donc obtenus à partir des applications  $\gamma$  holomorphes satisfaisant les équations (16.a-b). Une base de solutions est fournie par les caractères  $\chi_\lambda^k(u, \tau)$  de l'algèbre de Kac-Moody affine  $\widehat{L\mathfrak{g}^{\mathbb{C}}}$ . En particulier, la dimension de  $\mathcal{W}(E_\tau, \emptyset, \emptyset)$  est égale au nombre de poids dominants intégrables de niveau  $k$ .

## §7. États de Chern-Simons en genre supérieur

La situation en genre  $g \geq 2$  est nettement plus difficile. On ne regarde que le cas  $G = \text{SU}_2$  sans points d'insertion. On s'intéresse donc aux fibrés vectoriels holomorphes  $E$  de rang 2 et de

déterminant trivial. L'étude nécessite une certaine familiarité avec le langage des extensions de fibrés [7, 115], voir aussi [24, 139].

Soient  $E'$  et  $E''$  deux fibrés vectoriels holomorphes au-dessus de  $\Sigma$ . Une *extension* de  $E''$  par  $E'$  est un fibré vectoriel holomorphe  $E$  au-dessus de  $\Sigma$  tel que la suite  $0 \rightarrow E' \rightarrow E \rightarrow E'' \rightarrow 0$  soit exacte. Deux extensions de  $E''$  par  $E'$  sont *équivalentes* s'il existe une application  $g : E \rightarrow F$  telle que le diagramme suivant

$$\begin{array}{ccccccccc} 0 & \rightarrow & E' & \rightarrow & E & \rightarrow & E'' & \rightarrow & 0 \\ & & \parallel & & \downarrow & & \parallel & & \\ 0 & \rightarrow & E' & \rightarrow & F & \rightarrow & E'' & \rightarrow & 0 \end{array}$$

soit commutatif. En vertu du lemme des cinq [131],  $g$  est nécessairement un isomorphisme. On dit qu'une séquence  $0 \rightarrow E' \xrightarrow{i} E \xrightarrow{p} E'' \rightarrow 0$  est *triviale* («split») si l'une des trois conditions suivantes est remplie : (1)  $p$  admet un inverse à droite, (2)  $i$  admet un inverse à gauche, (3) la séquence est équivalente à  $0 \rightarrow E' \rightarrow E' \oplus E'' \rightarrow E'' \rightarrow 0$ . Si  $\delta$  est l'application qui envoie  $H^0(\text{Hom}(E'', E''))$  dans  $H^1(\text{Hom}(E'', E'))$ , l'image de l'identité par  $\delta$  est appelée la classe d'extension, notée  $\delta(E)$ . On obtient alors une correspondance bijective entre l'ensemble des classes d'équivalence d'extensions de  $E''$  par  $E'$  et  $H^1(\text{Hom}(E'', E'))$ . En particulier, si  $\ell$  est un fibré en droites,  $E' = \ell^{-1}$ ,  $E'' = \ell$ , alors les extensions sont énumérées par  $H^1(\ell^{-2})$ . D'après le théorème de Riemann-Roch,

$$\dim H^1(\ell^{-2}) = g - 1 + 2 \deg \ell$$

si  $\deg \ell > 0$ .

On fixe une bonne fois pour toutes un fibré en droites holomorphe  $L$  de degré  $g$ . On suppose que  $L(-x)^2 \not\cong K$ . D'après le lemme 5.5 de [115], si  $E$  est un fibré vectoriel holomorphe de rang 2 et de déterminant trivial, il existe  $x \in \Sigma$  tel que  $H^0(\text{Hom}(L(-x)^{-1}, E)) \neq 0$ . Notons  $\phi$  un tel homomorphisme. Soient  $x_1, \dots, x_r$  les zéros de  $\phi$ , comptés avec leurs multiplicités, alors  $\phi$  induit un plongement de  $L(-x-x_1-\dots-x_r)^{-1}$  dans  $E$ . Notons  $X_r = x+x_1+\dots+x_r$ . Tout en dualisant,  $E$  devient une extension de  $L(-X_r)$  par son dual  $L(-X_r)^{-1}$ . On a  $\deg L(-X_r) = g - 1 - r$ . Si on suppose en plus que  $E$  est stable, nécessairement  $0 \leq r < g - 1$ .

Soit  $\mathcal{L}_r$  une famille  $(L(-X_r))$  de fibrés holomorphes en droites. C'est un fibré holomorphe en droites au-dessus de  $\Sigma^{r+1} \times \Sigma$  (\*), dont la restriction à  $pr_1^{-1}(\{x, x_1, \dots, x_r\})$  est isomorphe à  $L(-X_r)$ , c.-à-d.

$$\mathcal{L}_r|_{\{x, x_1, \dots, x_r\} \times \Sigma} \cong L(-X_r).$$

Il n'y a pas unicité de la famille. On peut prendre  $pr_1^*(M) \mathcal{L}_r$  pour tout fibré holomorphe en droites  $M$  au-dessus de  $\Sigma^{r+1}$ . D'une certaine manière, on souhaite construire une famille de  $H^1(L(-X_r))$ . L'objet mathématique qui résout le problème est l'*image directe*. Posons  $W_r = R^1 pr_{1*}(\mathcal{L}_r^{-2})$ , la première image directe de  $\mathcal{L}_r^{-2}$  par  $pr_1$ . C'est un fibré vectoriel holomorphe au-dessus de  $\Sigma^{r+1}$  de fibre  $H^1(L(-X_r)^{-2})$  au-dessus de  $x, x_1, \dots, x_r$  :

$$R^1 pr_{1*}(\mathcal{L}_r^{-2})|_{\{x, x_1, \dots, x_r\}} = H^1(\mathcal{L}_r^{-2}|_{\{x, x_1, \dots, x_r\} \times \Sigma}) \cong H^1(L(-X_r)^{-2})$$

qui est de dimension  $3g - 3 - 2r$ . Par  $\mathbb{P}W_r$ , on entend le même fibré mais avec  $\mathbb{P}H^1(L(-x)^{-2})$ . La dimension totale de  $\mathbb{P}W_r$  est  $3g - 3 - r$ . Pour  $G = \text{SU}_2$ , la dimension de l'espace des

---

\* $\Sigma^{r+1}$  est le produit cartésien symétrisé. On note  $pr_1$  la projection sur le premier facteur pour le fibré  $\mathcal{L}_r$ .

modules est  $3g - 3$ . Génériquement,  $r = 0$ , *i.e.*  $E$  est (à isomorphisme près) une extension de  $L(-x)$  par  $L(-x)^{-1}$ . On sait alors (loc. cit.) que le sous-espace de  $\mathbb{P}W_0$  constitué des points correspondant à des fibrés stables est un revêtement ramifié à  $2g$  feuillets d'un sous-espace dense de  $\mathcal{N}_g$ . On verra deux constructions pour  $\mathcal{L}_0$ . L'une est due à Bertram [24], voir aussi [139], l'autre est due à Gawędzki [67]. Bien entendu, c'est la deuxième qui est importante pour nous puisqu'elle associe aux points de  $\mathbb{P}W_0$  un champ de jauge, c.-à-d. une découpe  $s : \mathbb{P}W_0 \mapsto \mathcal{A}^{01}$ , rencontrant  $2g$  fois une orbite générique.

Fixons un point  $x_0$  de  $\Sigma$  et une base normalisée de formes holomorphes (cf. section 3.5). On note  $L_0 = L(-x_0)$ . Définissons une  $(0, 1)$ -forme  $a_{\mathbf{x}}$  par

$$a_{\mathbf{x}} \equiv \pi \left( \int_{x_0}^{\mathbf{x}} \omega \right) \tau_2^{-1} \bar{\omega}.$$

Par construction,  $a_{\mathbf{x}}$  dépend du relèvement  $\mathbf{x}$  de  $x$  à  $\tilde{\Sigma}$ . Notons  $L_{\mathbf{x}}$  le fibré en droites topologiquement équivalent à  $L_0$  muni de la structure holomorphe donnée par l'opérateur  $\bar{\partial}_{L_{\mathbf{x}}} \equiv \bar{\partial} + a_{\mathbf{x}}$ . Les fibrés  $L_{\mathbf{x}}$  pour des relèvements du même point de  $\Sigma$  sont tous isomorphes à  $L(-x)$  (\*). On considère ensuite le fibré  $\tilde{\Sigma} \times L_0$  au-dessus de  $\tilde{\Sigma} \times \Sigma$  muni de la structure holomorphe induite par l'opérateur  $\bar{\delta} + \bar{\partial}$ , où  $\bar{\delta}$  est la dérivée dans la direction triviale de  $\tilde{\Sigma}$ . On note  $\tilde{\mathcal{L}}_0$  le fibré précédent obtenu en tordant la structure holomorphe par  $\bar{\delta} + \bar{\partial} + a_{\mathbf{x}}$ . On a

$$\tilde{\mathcal{L}}_0|_{\{\bar{x}\} \times \Sigma} = L_{\mathbf{x}} \cong L(-x).$$

Pour obtenir un fibré au-dessus de  $\Sigma \times \Sigma$ , on relève l'action du groupe fondamental à  $\tilde{\mathcal{L}}_0$ . Soit  $p \in \pi_1 \equiv \pi_1(\Sigma)$ .

$$(\mathbf{x}, \ell_y) \mapsto (p\mathbf{x}, c_p(y)^{-1} \ell_y)$$

où  $\ell_y$  est un élément de la fibre  $L_{\mathbf{x}}$  au-dessus de  $y \in \Sigma$  et  $c_p$  est la fonction monovaluée sur  $\Sigma$  donnée par

$$c_p(y) = e^{2\pi i \operatorname{Im} \left[ \left( \int_p \omega \right) \tau_2^{-1} \left( \int_{x_0}^y \bar{\omega} \right) \right]}.$$

L'action préserve la structure holomorphe, *i.e.* si  $s$  est une section holomorphe de  $\tilde{\mathcal{L}}_0$  au-dessus de  $(\mathbf{x}, y)$ ,  $c_p(y)^{-1} s(p^{-1}\mathbf{x}, y)$  l'est aussi. En quotientant  $\tilde{\mathcal{L}}_0$  par l'action de  $\pi_1$ , on obtient un fibré holomorphe en droites  $\mathcal{L}_0$  au-dessus de  $\Sigma \times \Sigma$ , réalisant ainsi explicitement la famille  $(L(-x))$ .

Soit  $\tilde{W}_0$  la première image directe de  $\tilde{\mathcal{L}}_0^{-2}$  par la première projection. On peut également réaliser  $\tilde{W}_0$  par une construction «Dolbeaut», en considérant le quotient du fibré trivial  $\tilde{\Sigma} \times \mathcal{E}^{0,1}(L_0^{-2})$  par le sous-fibré dont la fibre au-dessus de  $\{\mathbf{x}\} \times \Sigma$  est  $\bar{\partial}_{L_{\mathbf{x}}^{-2}} \Gamma(L_0^{-2})$ , où  $\bar{\partial}_{L_{\mathbf{x}}^{-2}} = \bar{\partial} - 2a_{\mathbf{x}}$  — c'est juste l'isomorphisme entre  $H^1(L_{\mathbf{x}}^{-2})$  et  $H_{\text{Dol}}^{0,1}(L_{\mathbf{x}}^{-2})$ . On obtient  $W_0$  en quotientant  $\tilde{W}_0$  par l'action du groupe fondamental.

Pour obtenir la découpe  $s$ , on introduit un isomorphisme  $\mathcal{C}^\infty$  entre  $L_0^{-1} \oplus L_0$  et le fibré trivial  $\Sigma \times \mathbb{C}^2$  :

$$U : L_0^{-1} \oplus L_0 \rightarrow \Sigma \times \mathbb{C}^2.$$

---

\* Le fibré  $\mathcal{O}(x_0 - x)$  est isomorphe au fibré trivial  $\Sigma \times \mathbb{C}^2$  muni de la structure holomorphe  $\bar{\partial} + a_{\mathbf{x}}$ .

On note  $E$  le fibré topologiquement équivalent à  $L_0^{-1} \oplus L_0$  muni de la structure holomorphe induite par

$$\bar{\partial} + B_{\mathbf{x},b}^{01}, \quad B_{\mathbf{x},b}^{01} = \begin{pmatrix} -a_{\mathbf{x}} & b \\ 0 & a_{\mathbf{x}} \end{pmatrix}$$

où  $b \in \mathcal{E}^{0,1}(L_0^{-2})$ . Le fibré  $E$  est une extension de  $L_{\mathbf{x}}$  par  $L_{\mathbf{x}}^{-1}$ . L'opérateur  $\bar{\partial} + A_{\mathbf{x},b}^{01}$ , avec

$$A_{\mathbf{x},b}^{01} = UB_{\mathbf{x},b}^{01}U^{-1} + U\bar{\partial}U^{-1},$$

définit la structure holomorphe sur le fibré trivial induite via l'isomorphisme  $U$  par la structure holomorphe de  $E$ . Soit  $c$  une constante non-nulle ou  $c = c_p$ . Pour  $v \in \Gamma(L_0^{-2})$ , on pose

$$g_{c,v} = \begin{pmatrix} c^{-1} & cv \\ 0 & c \end{pmatrix}.$$

Cette dernière est une section  $\mathcal{C}^\infty$  de  $\text{Aut}(L_0^{-1} \oplus L_0)$ . La transformation de jauge  $B_{\mathbf{x},b}^{01} \mapsto g_{c,v}^{-1} B_{\mathbf{x},b}^{01}$  qui en suit préserve la forme du champ tout en changeant ses composantes par

$$a_{\mathbf{x}} \mapsto a_{\mathbf{x}} + c^{-1}\bar{\partial}c, \quad b \mapsto c^2(b + (\bar{\partial} - 2a_{\mathbf{x}})v).$$

Quant aux champs  $A_{\mathbf{x},b}^{01}$  ils sont reliés par la transformation de jauge

$$h_{c,v} = Ug_{c,v}U^{-1} \in \mathcal{G}^{\mathbb{C}}. \quad (18)$$

En particulier, pour  $c = c_p$ ,  $a_{\mathbf{x}}$  devient  $a_{p\mathbf{x}}$ . Avec  $c$  constante non-nulle, on ne change pas  $a_{\mathbf{x}}$  et la classe de  $b$  dans  $\mathbb{P}H^1(L_{\mathbf{x}}^{-2})$ . La classe de  $b$  décrit les fibrés  $E$  de rang 2 et de déterminant trivial, extensions de  $L_{\mathbf{x}}$ , associés à l'orbite de  $A_{\mathbf{x},b}^{01}$ . En choisissant  $\mathbf{x}$  dans un domaine fondamental de  $\tilde{\Sigma}$  et un représentant  $b$  dans chaque classe de  $\mathbb{P}H^1(L_{\mathbf{x}}^{-2})$ , on obtient la découpe  $s : \mathbb{P}W_0 \rightarrow \mathcal{A}^{01}$ .

Choisissons une structure hermitienne sur  $L_0$ . Elle induit une structure hermitienne sur  $L_0^{-1} \oplus L_0$  et une connexion métrique  $\nabla$ . On peut supposer que l'isomorphisme  $U$  transporte la métrique sur  $L_0^{-1} \oplus L_0$  vers la structure hermitienne standard sur  $\Sigma \times \mathbb{C}^2$ . La connexion métrique sur  $\Sigma \times \mathbb{C}^2$  induite par  $U$  est alors

$$U\nabla U^{-1} = \nabla + U\nabla^{10}U^{-1} + U\bar{\partial}U^{-1} = \nabla + A_0$$

où  $\bar{\partial}$  est l'opérateur anti-holomorphe pour  $L_0^{-1} \oplus L_0$ . La connexion  $A_0$  est unitaire.

On associe à tout état de CS une application holomorphe  $\psi$

$$\psi(\mathbf{x}, b) \equiv e^{\frac{ik}{2\pi} \int_{\Sigma} \text{tr} A_0^{10} \wedge A_{\mathbf{x},b}^{01}} \Psi(A_{\mathbf{x},b}^{01})$$

avec  $\mathbf{x} \in \tilde{\Sigma}$  et  $b \in \mathcal{E}^{0,1}(L_0^{-2})$ . Seule la normalisation de  $\psi$  dépend du choix de la structure hermitienne sur  $L_0$  et du choix de  $U$  [67, App. F]. La fonction  $\Psi$  est entièrement déterminée par  $\psi$ , puisque les orbites des  $A_{\mathbf{x},b}^{01}$  forment un sous-espace dense de  $\mathcal{A}^{01}$ . Par transformation de jauge sur  $A_{\mathbf{x},b}^{01}$ , on obtient des contraintes sur  $\psi$ . Prenant  $h_{c,v}$  comme dans l'équation (18), successivement avec  $h_v = h_{1,v}$ ,  $h_c = h_{c,0}$ ,  $c \in \mathbb{C}^*$ , et  $h_{c_p} = h_{c_p,0}$ , on trouve

$$\begin{aligned} \psi(\mathbf{x}, b + (\bar{\partial} - 2a_{\mathbf{x}})v) &= e^{kS(h_v, A_0^{10} + A_{\mathbf{x},b}^{01})} \psi(\mathbf{x}, b), \\ \psi(\mathbf{x}, c^2b) &= e^{kS(h_c, A_0^{10} + A_{\mathbf{x},b}^{01})} \psi(\mathbf{x}, b), \\ \psi(\mathbf{x}, c_p^2b) &= e^{kS(h_{c_p}, A_0^{10} + A_{\mathbf{x},b}^{01})} \psi(\mathbf{x}, b). \end{aligned}$$

En calculant explicitement les facteurs, on trouve que les fonctions  $\psi$  doivent se transformer comme

$$\psi(\mathbf{x}, \lambda b + (\bar{\partial} - 2a_{\mathbf{x}})v) = \lambda^{k(g-1)}\psi(\mathbf{x}, b), \quad (19.a)$$

$$\psi(p\mathbf{x}, c_p^2 b) = \mu(p, \mathbf{x}) \nu(c_p)^k \psi(\mathbf{x}, b) \quad (19.b)$$

où, si  $F_0$  est la forme de courbure de la connexion métrique sur  $L_0$ ,  $a_i, b_j$  est une base symplectique canonique,  $\tau_2$  est la partie imaginaire de la matrice des périodes normalisée,  $W_a$  est l'holonomie de la connexion métrique sur  $L_0$  suivant le cycle  $a$ , on a posé

$$\nu(c) = e^{\frac{i}{2\pi} \int_{\Sigma} F_0 \ln c} \prod_{i=1}^g \left( W_{a_j}^{-\frac{i}{2\pi} \int_{b_j} c^{-1} dc} W_{b_j}^{\frac{i}{2\pi} \int_{a_j} c^{-1} dc} \right),$$

$$\mu(p, \mathbf{x}) = e^{\pi \left( \int_p \bar{\omega} \right) \tau_2^{-1} \left( \int_p \omega \right) + 2\pi \left( \int_p \bar{\omega} \right) \tau_2^{-1} \left( \int_{x_0} \omega \right)}.$$

Géométriquement, les propriétés (19.a-b) disent que  $\psi$  est une section holomorphe de la  $k$ -ième puissance d'un fibré holomorphe en droites DET au-dessus de  $\mathbb{P}W_0$  :

$$\text{DET} = \varpi^*(L^2 K \mathcal{O}(-x_0)^{2(g-1)}) \text{Hf}(W_0)^{1-g}$$

où  $\varpi$  est la projection associée au fibré  $\mathbb{P}W_0$  et  $\text{Hf}(W_0)$  est le fibré de Hopf au-dessus de  $\mathbb{P}W_0$  (\*). Le diagramme suivant «résumé» le contenu de la section.

$$\begin{array}{ccc} & \text{DET}^k & \\ & \uparrow & \\ & \psi & \\ \mathbb{P}W_0 & \xrightarrow{s} & \mathcal{A}^{01} \\ & \downarrow & \\ & \varpi & \\ & \downarrow & \\ & \Sigma & \end{array}$$

On a noté DET ce fibré car il est isomorphe au quotient par  $\pi_1$  du fibré déterminant de la famille d'opérateurs  $\bar{\partial} + B_{\mathbf{x},b}^{01}$  sur  $L_0^{-1} \oplus L_0$ . On a donc construit un plongement  $\Psi \mapsto \psi$  de  $\mathcal{W}(\Sigma, \emptyset, \emptyset)$  dans  $H^0(\text{DET}^k)$ . Ce dernier espace étant de dimension finie, l'espace des états de CS l'est aussi. Pour le cas avec points d'insertion, on se reportera à l'article [65].

Comme on l'a déjà dit il n'y a pas unicité de  $\mathcal{L}_0$  et  $W_0$ . Dans les articles [24, 139], les auteurs proposent une autre réalisation, avec laquelle on peut identifier l'espace des états de CS. Leur famille est plus naturelle, mais moins explicite. On pose

$$\mathcal{L}'_0 = p_2^*(L)(-\Delta)$$

où  $\Delta$  est la diagonale. Clairement,  $\mathcal{L}'_0$  est une famille  $(L(-x))$ . Le passage entre  $\mathcal{L}_0$  et  $\mathcal{L}'_0$  est explicité par

$$\mathcal{L}'_0 \cong p_1^*(\mathcal{O}(-x_0)) \mathcal{L}_0.$$

Ceci permet [139] de trouver la dimension de  $\mathcal{W}(\Sigma, \emptyset, \emptyset)$ , leur résultat s'accordant avec celui de Verlinde. Pour plus de détails, on consultera avec avantage [67, section 4].

---

\* Si  $V$  est un espace vectoriel sur  $\mathbb{C}$  de dimension finie. La puissance  $n$ -ième du fibré (tautologique) de Hopf est  $V^* \times \mathbb{C}$  modulo la relation d'équivalence  $(v, z) \sim (\lambda v, \lambda^{-n} z)$  pour  $\lambda \in \mathbb{C}^*$ . On obtient donc un fibré au-dessus de  $\mathbb{P}V = V^*/\mathbb{C}^*$ .

### §8. Formule de Verlinde

La formule de Verlinde [142] donne la dimension de l'espace des états de CS  $\mathscr{W}(\Sigma, \underline{\xi}, \underline{R})$ . Bien que ce dernier dépende de la structure complexe de  $\Sigma$  et des points d'insertion, sa dimension  $N(g)_{\underline{R}}$  ne devrait pas en dépendre (la dépendance de niveau  $k$  est sous-entendue dans la notation). L'affirmation en question est : l'ensemble des états de CS devrait former un fibré vectoriel holomorphe  $\mathscr{W}_{g, \underline{R}}$  au-dessus de l'espace des modules  $\mathscr{M}_{g, N}$  des surfaces de Riemann de genre  $g$  avec  $N$  points marqués. Avec le langage utilisé dans la section 7, on définit un fibré vectoriel holomorphe  $\mathscr{L}$  au-dessus de l'espace des modules des  $G^{\mathbb{C}}$ -fibres holomorphes et des surfaces de Riemann avec des points. Les sections holomorphes de  $\mathscr{L}$  sur la sous-variété à surface de Riemann et points fixes donnent les états de CS. Le **fibré de Friedan-Shenker** est alors le fibré  $\mathscr{W}_{g, \underline{R}} = R^0 pr_{\mathscr{M}_{g, N}} \mathscr{L}$  au-dessus de  $\mathscr{M}_{g, N}$  — cf. chapitre 4 pour une plus ample discussion. Avec notre définition de l'espace des états de CS, pour  $G = \text{SU}_2$ , ceci est démontré rigoureusement dans les articles [69] pour le genre zéro et [41] pour le genre un. En fait, les résultats de [69] entraînent par récurrence [126] la formule de Verlinde en genre quelconque, toujours pour le groupe  $\text{SU}_2$ . Déjà  $N(g)_{\underline{R}}$  ne dépend pas de l'ordre dans  $\underline{R}$ , et ajouter ou enlever la représentation triviale ne modifie pas la dimension. On utilise  $N_{R, R'} = \delta_{\underline{R}, R'} = N^{R, R'}$  pour monter ou descendre les indices de  $N$ . On note  $N_{\underline{R}}$  la dimension en genre zéro.

Pour  $\Sigma = \mathbb{C}P^1$ , on a vu que l'espace des états de CS est un sous-espace de  $V_{\underline{R}}^G$  donné par l'équation (14). Dans la limite  $k \mapsto \infty$ , c'est tout  $V_{\underline{R}}^G$ . Notons  ${}^{\infty}N_{\underline{R}}$  la dimension de  $V_{\underline{R}}^G$ . On peut calculer  ${}^{\infty}N_{\underline{R}}$  à partir de la théorie des représentations de  $G$ . L'ingrédient principal est l'anneau des représentations introduit dans la section 1.1.2 et la formule d'intégration de Weyl. On trouve

$${}^{\infty}N_{\underline{R}} = |\mathfrak{t}/(2\pi Q^{\vee})|^{-1} \int_{\mathfrak{t}/2\pi Q^{\vee}/W} \prod_{\ell} \chi_{\lambda_{\ell}}(u) |\Pi(u)|^2 d^{2r}u$$

où  $\chi_{\lambda_{\ell}}$  est le caractère de la représentation  $R_{\ell}$ , dans  $\underline{R}$ , de plus haut poids  $\lambda_{\ell}$ .

Pour obtenir la formule de Verlinde, c.-à-d. comprendre ce qui se passe avec  $k$  fini, on doit faire appel au **principe de factorisation** dû à Friedan et Shenker [55]. On commence par étendre le fibré  $\mathscr{W}_{g, \underline{R}}$  à la compactification  $\overline{\mathscr{M}}_{g, N}$  de l'espace des modules [29, 100]. Cette compactification autorise à prendre des surfaces singulières en des points doubles (ordinaires). Pour obtenir un point double, on peut sur une surface lisse réduire à un point (double) un cycle de deux manières différentes :

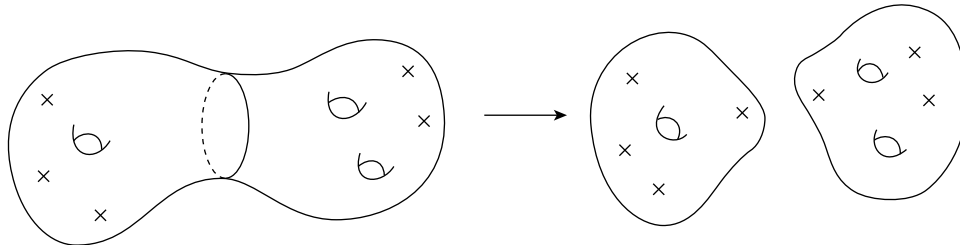


Figure 2.— Compactification de l'espace des modules I



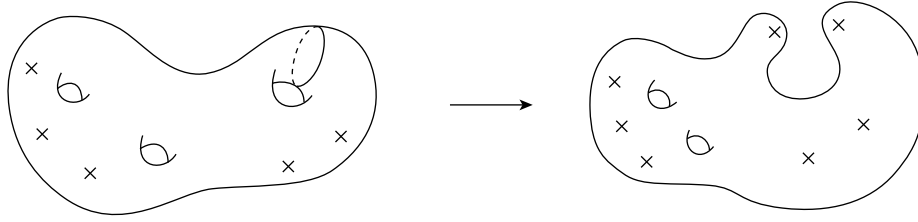


Figure 3.— Compactification de l'espace des modules II

En enlevant les points doubles, dans le premier cas, on obtient deux surfaces  $\Sigma'$  et  $\Sigma''$  de genre  $g_1$  et  $g_2$  avec  $g_1 + g_2 = g$  et marquées respectivement par  $(\underline{\xi}', \xi_0)$  et  $(\underline{\xi}'', \xi_\infty)$  avec  $(\underline{\xi}', \underline{\xi}'') = \underline{\xi}$ , dans le second cas, on obtient une surface  $\Sigma'$  de genre  $g - 1$  avec deux points marqués en plus  $\xi_0, \xi_\infty$ . Le principe de factorisation affirme que

$$\mathscr{W}(\Sigma, \underline{\xi}, \underline{R}) \cong \bigoplus_{\substack{R \\ \text{intégrable}}} \mathscr{W}(\Sigma', (\underline{\xi}', \xi_0), (\underline{R}', R)) \otimes \mathscr{W}(\Sigma'', (\underline{\xi}'', \xi_\infty), (\underline{R}'', \overline{R})),$$

où bien sûr  $(\underline{R}', \underline{R}'') = \underline{R}$ , et

$$\mathscr{W}(\Sigma, \underline{\xi}, \underline{R}) \cong \bigoplus_{\substack{R \\ \text{intégrable}}} \mathscr{W}(\Sigma', (\underline{\xi}, \xi_0, \xi_\infty), (\underline{R}, R, \overline{R})).$$

Ce principe a été montré, dans le contexte présent, en genre zéro et un (loc. cit.) pour certains cas. En admettant sa validité, on a les relations de récurrence suivantes

$$N(g)_{\underline{R}} = \sum_{\substack{r \\ g_1 + g_2 = g}} N(g_1)_{(\underline{R}', R)} N(g_2)_{\underline{R}''}^R,$$

$$N(g)_{\underline{R}} = \sum_R N(g - 1)_{(\underline{R}', R)}^R.$$

Pour trouver  $N_{\underline{R}}$ , on n'utilise plus l'anneau des représentations, mais sa contrepartie : l'**anneau de fusion**. Sans entrer dans les détails, l'anneau  $\mathbf{K}(G)$  a pour constantes de structure les entiers  ${}^\infty N$  pour trois représentations et l'anneau de fusion utilise plutôt les entiers  $N$ .

Si  $R$  est une représentation intégrable de niveau  $k$ , on pose  $\widehat{R} = 2\pi(\lambda_R + \rho)/(k + g^\vee)$ . On montre alors que

$$N_{\underline{R}} = |P^\vee / (k + g^\vee) Q^\vee|^{-1} \sum_{\substack{R \\ \text{intégrable}}} \prod_{\ell} \chi_{\lambda_\ell}(\widehat{R}) |\Pi(\widehat{R})|^2.$$

En genre supérieur, on déduit la formule de Verlinde par récurrence et

$$N(g)_{\underline{R}} = \sum_{\substack{\underline{R}' \\ \text{intégrables}}} N^{\underline{R}'}_{(\underline{R}', \underline{R})}$$

où  $\underline{R}'$  est une séquence de  $g$  représentations intégrables. Il suit

$$N(g)_{\underline{R}} = |P^\vee / (k + g^\vee) Q^\vee|^{-1+g} \sum_{\substack{R \\ \text{intégrable}}} \prod_{\ell} \chi_{\lambda_\ell}(\widehat{R}) |\Pi(\widehat{R})|^{2(1-g)}.$$

La quantité d'articles sur le sujet est proportionnelle à l'intérêt qu'il a suscité : [28, 110] pour les théories conformes rationnelles, [17, 75] pour l'anneau de fusion, par exemple [45] pour un traitement rigoureux du point de vue de la géométrie algébrique, [147] pour la théorie de CS et [140] pour une preuve du principe de factorisation. En physique, la formule de Verlinde est écrite souvent un peu différemment. Écrivons-la pour  $G = \text{SU}_2$ . On introduit la matrice  $S$  donnant la transformation modulaire  $\tau \mapsto -1/\tau$  des caractères de Kac-Moody affines :

$$S^j_{j'} = \sqrt{\frac{2}{k+2}} \sin \frac{\pi(2j+1)(2j'+1)}{k+2}.$$

On a alors la formule à trois points

$$N^{j_1}_{j_2, j_3} = \sum_{2j=0}^k S^j_{j_1} S^j_{j_2} S^j_{j_3} / S^j_0,$$

forme sous laquelle la formule de Verlinde apparut pour la première fois [142]. Par récurrence, on trouve

$$N(g)_{j_1, \dots, j_N} = \sum_{2j=0}^k (S^j_0)^{2(1-g)} \prod_{\ell} (S^j_{j_\ell} / S^j_0).$$

Sans points d'insertion, on trouve

$$\dim \mathscr{W}(\Sigma, \emptyset, \emptyset) = N(g) = \left(\frac{k+2}{2}\right)^{g-1} \sum_{2j=0}^k \left(\sin \frac{\pi(2j+1)}{k+2}\right)^{2-2g},$$

le résultat confirmé dans [139] par des considérations sur les espaces de modules  $\mathcal{N}$ .

## §9. Factorisation holomorphe

On note  $\underline{\xi}$  une séquence de  $N$  points sur  $\Sigma$  et  $\underline{R}$  une séquence de  $N$  représentations irréductibles de  $G$ . Chaque espace de représentation  $V_{\lambda_\ell}$  peut être muni d'un produit scalaire hermitien canonique, ainsi  $V_{\underline{\lambda}} = \otimes_{\ell} V_{\lambda_\ell}$  hérite d'un produit scalaire noté  $\langle \cdot, \cdot \rangle$ . On définit un **produit scalaire (formel) sur l'espace des états de CS**  $\mathscr{W}(\Sigma, \underline{\xi}, \underline{R})$  :

$$(\Psi, \Psi') = \int_{\mathscr{A}} \langle \Psi(A^{01}), \Psi'(A^{01}) \rangle e^{\frac{ik}{2\pi} \int \text{tr} A^{10} \wedge A^{01}} DA \quad (20)$$

où  $DA$  est une mesure de Lebesgue formelle sur l'espace  $\mathscr{A}$  des connexions unitaires.

On a vu qu'une propriété importante de l'espace des états de CS est qu'il est de dimension finie ; ce résultat a des conséquences très importantes pour le modèle de WZNW. Formellement, les fonctions de Green modifiées sont analytiques en  $A^{10}$  et en  $A^{01}$ . En plus, d'après l'équation (2), pour tout  $\mathbf{v} \in V_{\underline{\lambda}}$ ,  $\tilde{\Gamma}(A)\mathbf{v}$  vérifie la contrainte requise pour qu'une fonctionnelle de  $A^{01}$  — à  $A^{10}$  fixé — soit un état de CS. Soit  $(\Psi_p)$  une base de l'espace  $\mathscr{W}(\Sigma, \underline{\xi}, \underline{R})$ .

La constatation précédente nous permet d'affirmer que les fonctions de Green modifiées se décomposent comme suit

$$\tilde{\Gamma}(A) = \sum_p \Upsilon_p(A^{10}) \otimes \Psi_p(A^{01}) \in \overline{V}_\lambda \otimes V_\lambda \cong \bigotimes_\ell \text{End}(V_{\lambda_\ell})$$

où  $\Upsilon_p(A^{10}) \in \overline{V}_\lambda \cong V_\lambda$ .

Au cours du précédent chapitre, on a vu que les fonctions de Green sont invariantes par une transformation PCT. Si on ne tient pas compte du changement de structure complexe, on a donc

$$\tilde{\Gamma}(A)^\dagger = \tilde{\Gamma}(-A^\dagger).$$

En conséquence, grâce à l'indépendance linéaire des  $\Psi_q$ , les  $\overline{\Upsilon_p(-(A^{10})^\dagger)}$  sont aussi des états de CS. Il existe donc une matrice hermitienne  $h$  telle que

$$\tilde{\Gamma}(A) = \sum_{p,q} h^{pq} \overline{\Psi_q(-(A^{10})^\dagger)} \otimes \Psi_p(A^{01}). \quad (21)$$

Il est important de noter que le choix de la base est fait pour  $\xi$  et  $\mathbb{J}$  fixés. L'équation (21) est la **factorisation holomorphe** de la dépendance de  $\tilde{\Gamma}(A)$  pour le champ de jauge  $A$ .

Pour fixer la matrice  $h$ , on peut procéder par manipulations fonctionnelles [148]. Soit  $B$  un champ de jauge unitaire auxiliaire. On s'intéresse à la quantité suivante :

$$\int \tilde{\Gamma}(B^{10} + A^{01}) \tilde{\Gamma}(A^{10} + B^{01}) e^{\frac{ik}{2\pi} \int \text{tr } B^{10} \wedge B^{01}} DB.$$

Commençons par remplacer les fonctions de Green par des intégrales fonctionnelles :

$$\int \bigotimes_\ell (g_1 g_2)(\xi_\ell)_{R_\ell} e^{-k S(g_1, B^{10} + A^{01}) - k S(g_2, A^{10} + B^{01})} e^{\frac{ik}{2\pi} \int \text{tr } B^{10} \wedge B^{01}} Dg_1 Dg_2 DB$$

avec

$$\begin{aligned} & e^{-k S(g_1, B^{10} + A^{01})} e^{-k S(g_2, A^{10} + B^{01})} e^{\frac{ik}{2\pi} \int \text{tr } B^{10} \wedge B^{01}} \\ &= e^{-k S(g_1) - k S(g_2)} e^{-\frac{ik}{2\pi} \int \text{tr} \{g_1 \partial g_1^{-1} \wedge A^{01} + A^{10} \wedge g_2^{-1} \bar{\partial} g_2\}} \\ & \quad e^{-\frac{ik}{2\pi} \int \text{tr} \{B^{10} \wedge g_1^{-1} \bar{\partial} g_1 + g_1 B^{10} g_1^{-1} \wedge A^{01} + g_2 \partial g_2^{-1} \wedge B^{01} + g_2 A^{10} g_2^{-1} \wedge B^{01} - B^{10} \wedge B^{01}\}}. \end{aligned}$$

L'intégrale sur  $B$  est gaussienne. Elle est donc calculable. On obtient

$$\begin{aligned} & \int \bigotimes_\ell (g_1 g_2)(\xi_\ell)_{R_\ell} e^{-k S(g_1) - k S(g_2)} e^{-\frac{ik}{2\pi} \int \text{tr} \{g_1 \partial g_1^{-1} \wedge A^{01} + A^{10} \wedge g_2^{-1} \bar{\partial} g_2\}} \\ & \quad e^{-\frac{ik}{2\pi} \int \text{tr} (g_2 \partial g_2^{-1} + g_2 A^{10} g_2^{-1}) \wedge (g_1^{-1} \partial g_1 + g_1^{-1} A^{01} g_1)} Dg_1 Dg_2 \\ &= \int \bigotimes_\ell (g_1 g_2)(\xi_\ell)_{R_\ell} e^{-k S(g_1, g_2, A)} e^{\frac{ik}{2\pi} \int \text{tr } A^{10} \wedge A^{01}} Dg_1 Dg_2. \end{aligned}$$

Pour obtenir la dernière égalité, on utilise l'invariance de la mesure de Haar (formelle). On trouve ainsi la fonction de Green modifiée  $\tilde{\Gamma}(A)$ .

Reprenons l'intégrale de départ, mais remplaçons cette fois les fonctions de Green par leurs expressions en fonction d'une base des états de CS :

$$\begin{aligned} \sum_{p,q,r,s} h^{pq} h^{rs} \overline{\Psi_s(-(A^{10})^\dagger)} \left( \int \langle \Psi_q(B^{01}), \Psi_r(B^{01}) \rangle e^{\frac{ik}{2\pi} \int \text{tr } B^{10} \wedge B^{01}} DB \right) \otimes \Psi_p(A^{01}) \\ = \sum_{p,q,r,s} h^{pq} H_{qr} h^{rs} \overline{\Psi_s(-(A^{10})^\dagger)} \otimes \Psi_p(A^{01}) \end{aligned}$$

où  $H_{pq} \equiv (\Psi_p, \Psi_q)$ . La comparaison des deux résultats nous donne  $hHh = h$ . Si on suppose que la matrice  $h$  est inversible, on obtient l'équation

$$h^{pq} = (H^{-1})^{pq}. \quad (22)$$

On peut réécrire ce résultat indépendamment du choix de la base  $(\Phi_p)$ . Soit  $e(A^{01})$  l'application d'évaluation :  $\mathscr{W}(\Sigma, \underline{\xi}, \underline{R}) \ni \Psi \mapsto \Psi(A^{01}) \in V_{\underline{\lambda}}$ . On peut identifier  $e(A^{01})$  avec un élément de  $\mathscr{W}(\Sigma, \underline{\xi}, \underline{R})^* \otimes V_{\underline{\lambda}}$ , noté  $\gamma(\underline{\xi}, \underline{R}, A^{01})$ . On appellera  $\gamma$  la **fonction de Green chirale**. Étant donné une base de  $\mathscr{W}(\Sigma, \underline{\xi}, \underline{R})$ , on a

$$\gamma(\underline{\xi}, \underline{R}, A^{01}) = \sum_p \Psi^{p*} \otimes \Psi_p(A^{01})$$

où  $\Psi^{p*}$  est une base de  $\mathscr{W}(\Sigma, \underline{\xi}, \underline{R})^*$ . On obtient alors :

$$\tilde{\Gamma}(A) = \langle \gamma(\underline{\xi}, \underline{R}, -(A^{10})^\dagger), \gamma(\underline{\xi}, \underline{R}, A^{01}) \rangle$$

où  $\langle \cdot, \cdot \rangle$  est le produit scalaire sur  $\mathscr{W}(\Sigma, \underline{\xi}, \underline{R})^*$ , induit par le produit scalaire sur  $\mathscr{W}(\Sigma, \underline{\xi}, \underline{R})$  défini par (20) et on a  $h^{pq} = \langle \Psi^{q*}, \Psi^{p*} \rangle$ .

## §10. Modèle de WZNW hyperbolique

D'après ce qui précède, il suffit de calculer le produit scalaire des états de CS pour obtenir les fonctions de Green du modèle de WZNW, c.-à-d.

$$\|\Psi\|^2 = \int |\Psi(B^{01})|^2 e^{-\frac{ik}{2\pi} \int \text{tr } (B^{01})^\dagger \wedge B^{01}} DB.$$

On commence par étudier la situation en genre  $\geq 2$  [65, 66, 67]. Les genres zéro [44, 62, 68] et un [43, 68] seront traités séparément. On effectue le changement de variables

$$B^{01} = h^{-1} A^{10}(n)$$

où  $n \mapsto A^{01}(n)$  est la découpe de l'espace des champs de jauge évoquée auparavant, qui choisit localement un champ de jauge dans chaque orbite, et  $n$  est un paramètre sur l'espace des modules  $\mathcal{N}_s$ . Pour  $G = \text{SU}_2$ , c'est l'application  $(\mathbf{x}, b) \mapsto A_{\mathbf{x},b}^{01}$  construite dans la section 7. Pour simplifier un peu les notations, on utilise  $A^{01}$  pour  $A^{01}(n)$ . La fonction  $h$  est unique. Au niveau infinitésimal, cela signifie que  $\bar{\partial}_{A^{01}}$  n'a pas de modes zéro. Une telle manipulation restera

formelle mais sera particulièrement soignée. On espère ainsi arriver à des intégrales gaussiennes (toujours de dimension infinie) qu'on sait alors parfaitement définir. On décompose l'intégrale en une intégrale sur  $\mathcal{G}^{\mathbb{C}}$  et une intégrale sur l'espace des modules  $\mathcal{A}^{01}/\mathcal{G}^{\mathbb{C}}$ . Ainsi,

$$\|\Psi\|^2 = \int |\Psi(h^{-1}A^{10})|^2 e^{-\frac{ik}{2\pi} \int \text{tr}(h^{-1}A^{10})^\dagger \wedge h^{-1}A^{10}} j(h, n) Dh \prod_{\alpha} d^2 n^{\alpha}$$

où  $Dh$  est la mesure de Haar formelle sur  $G^{\mathbb{C}}$  et  $j(h, n)$  est le Jacobien du changement de variables. Pour une variation infinitésimale de  $h$  et de  $n$ , on a

$$\delta B^{01} = \delta(h^{-1}A^{10}(n)) = h^{-1}\bar{\partial}_{A^{01}}(h^{-1}\delta h) + h^{-1}(\partial_{n^{\alpha}}A^{01}\delta n^{\alpha})h$$

où  $h^{-1}\bar{\partial}_{A^{01}} \equiv \text{Ad}_{h^{-1}}\bar{\partial}_{A^{01}}\text{Ad}_h$ . On munit l'espace  $\mathcal{A}^{01}$  de la norme naturelle  $L^2$ , c.-à-d.

$$\|A^{01}\|^2 = i \int_{\Sigma} \text{tr}(A^{01})^\dagger \wedge A^{01}.$$

Grâce au produit scalaire  $\langle | \rangle$  induit par cette norme, on peut décomposer  $\mathcal{A}^{01}$  en une somme d'espaces orthogonaux :  $\mathcal{A}^{01} = F \oplus F^{\perp}$ ,  $F$  étant  $\text{Im}(h^{-1}\bar{\partial}_{A^{01}})$ . Soit  $\phi$  une  $(1, 0)$ -forme à valeurs dans  $\mathfrak{g}^{\mathbb{C}}$  telle que

$$\int_{\Sigma} \text{tr} \phi \wedge h^{-1}\bar{\partial}_{A^{01}}\Lambda = 0$$

pour toute fonction  $\Lambda$  lisse sur  $\Sigma$  prenant ses valeurs dans  $\mathfrak{g}^{\mathbb{C}}$ . Après intégration par parties, on constate que c'est complètement équivalent à dire que  $\phi$  est un mode zéro de  $h^{-1}\bar{D}$ , où  $\bar{D}$  est l'opérateur  $\bar{\partial} + [A^{01}, \cdot]_+ - [\cdot, \cdot]_+$  agissant sur les  $(1, 0)$ -formes sur  $\Sigma$  à valeurs dans  $\mathfrak{g}^{\mathbb{C}}$  pour donner une 2-forme sur  $\Sigma$  à valeurs dans  $\mathfrak{g}^{\mathbb{C}}$ . On a encore  $h^{-1}\bar{D} = \text{Ad}_{h^{-1}}\bar{D}\text{Ad}_h$ . De là, on voit qu'une base de  $F^{\perp}$  est donnée par les vecteurs  $(h^{-1}\phi_{\alpha}h)^{\dagger}$ , pour  $(\phi_{\alpha})$  une base du noyau de  $\bar{D}$ . Les  $\phi_{\alpha}$  dépendent du paramètre  $n$ , comme  $\bar{D}$ . On peut assimiler ceux-ci à des éléments de l'espace cotangent à l'espace des modules. On suppose que les  $\phi_{\alpha}$  varient holomorphiquement avec  $n$ . La dérivée holomorphe du changement de variables est de la forme

$$\frac{\delta(h^{-1}A^{10}(n))}{\delta(h, n)} = \begin{pmatrix} h^{-1}\bar{\partial}_{A^{01}} & \dots \\ 0 & (h^{-1}\partial_{n^{\alpha}}A^{01}h)^{\perp} \end{pmatrix} \leftarrow \begin{matrix} h^{-1}\delta h \\ \delta n^{\alpha} \end{matrix}$$

où la partie «  $\perp$  » est la projection de  $h^{-1}\partial_{n^{\alpha}}A^{01}h$  sur  $F^{\perp}$ , i.e.

$$(h^{-1}\partial_{n^{\alpha}}A^{01}h)^{\perp} = \sum_{\gamma, \beta} (h^{-1}\phi_{\gamma}h)^{\dagger} (\Delta^{-1})_{\gamma\beta} \langle (h^{-1}\phi_{\beta}h)^{\dagger} | h^{-1}\partial_{n^{\alpha}}A^{01}h \rangle$$

où  $\Delta_{\gamma\beta} = \langle (h^{-1}\phi_{\gamma}h)^{\dagger} | (h^{-1}\phi_{\beta}h)^{\dagger} \rangle$ . On obtient sans problème

$$\begin{aligned} (h^{-1}\partial_{n^{\alpha}}A^{01}h)^{\perp} &= i \sum_{\gamma, \beta} (h^{-1}\phi_{\gamma}h)^{\dagger} (\Delta^{-1})_{\gamma\beta} \int_{\Sigma} \text{tr} \phi_{\beta} \wedge \partial_{n^{\alpha}}A^{01}, \\ \Delta(hh^{\dagger}, n)_{\gamma\beta} &= i \int_{\Sigma} \text{tr} (hh^{\dagger})^{-1} \phi_{\gamma} \wedge hh^{\dagger} \phi_{\beta}^{\dagger}. \end{aligned}$$

Le Jacobien du changement de variables est donc

$$\begin{aligned} j(h, n) &= \left| \frac{\partial(h^{-1}A^{10}(n))}{\partial(h, n)} \right|^2 = \det((h^{-1}\bar{\partial}_{A^{01}})^{\dagger} h^{-1}\bar{\partial}_{A^{01}}) \det((h^{-1}\partial_{n^{\alpha}}A^{01}h)^{\perp\dagger} (h^{-1}\partial_{n^{\alpha}}A^{01}h)^{\perp}) \\ &= \det((h^{-1}\bar{\partial}_{A^{01}})^{\dagger} h^{-1}\bar{\partial}_{A^{01}}) \det \Delta(hh^{\dagger}, n)^{-1} \left| \det \left( \int_{\Sigma} \text{tr} \phi_{\beta} \wedge \partial_{n^{\alpha}}A^{01} \right) \right|^2. \end{aligned}$$

Dans ce produit, le déterminant  $\det((h^{-1}\bar{\partial}_{A^{01}})^\dagger h^{-1}\bar{\partial}_{A^{01}})$  doit être régularisé, par exemple on peut utiliser une régularisation zéta [128]. On extrait la dépendance en  $h$  à l'aide de l'anomalie chirale (\*) :

$$\det'((h^{-1}\bar{\partial}_{A^{01}})^\dagger h^{-1}\bar{\partial}_{A^{01}}) \det \Delta(hh^\dagger, n)^{-1} = e^{2g^\vee S(hh^\dagger, A)} \det'(\bar{\partial}_{A^{01}}^\dagger \bar{\partial}_{A^{01}}) \det \Delta(1, n)^{-1}$$

où  $A$  est le champ de jauge complet  $-(A^{01})^\dagger + A^{01}$ . On note  $\Delta(n)$  la matrice  $\Delta(1, n)$ . D'autre part, de l'invariance globale des états de CS on tire

$$|\Psi(h^{-1}A^{10})|^2 e^{\frac{ik}{2\pi} \int \text{tr}(h^{-1}A^{10})^\dagger \wedge h^{-1}A^{10}} = \langle \Psi(A^{01}), \otimes_\ell(hh^\dagger)(\xi_\ell)_{R_\ell}^{-1} \Psi(A^{01}) \rangle e^{-\frac{ik}{2\pi} \int \text{tr}(A^{01})^\dagger \wedge A^{01} + k S(hh^\dagger, A)}.$$

En fin de compte, après le changement de variables  $B^{01} \mapsto h^{-1}A^{01}(n)$ , le produit scalaire est

$$\begin{aligned} \|\Psi\|^2 &= \int \langle \Psi(A^{01}), \otimes_\ell(hh^\dagger)(\xi_\ell)_{R_\ell}^{-1} \Psi(A^{01}) \rangle e^{-\frac{ik}{2\pi} \int \text{tr}(A^{01})^\dagger \wedge A^{01}} e^{(k+2g^\vee) S(hh^\dagger, A)} \\ &\quad \det'(\bar{\partial}_{A^{01}}^\dagger \bar{\partial}_{A^{01}}) \det \Delta(n)^{-1} \left| \det \left( \int_\Sigma \text{tr} \phi_\beta \wedge \partial_{n^\alpha} A^{01} \right) \right|^2 D(hh^\dagger) \prod_\alpha d^2 n^\alpha. \end{aligned} \quad (23)$$

Dans l'intégrande  $h$  n'intervient que sous la forme  $hh^\dagger$ . On peut donc réduire l'intégration sur  $h$  en une intégration sur  $hh^\dagger$  qui prend ses valeurs dans l'espace symétrique  $G^{\mathbb{C}}/G$  non-compact. La mesure  $D(hh^\dagger)$  est donc le produit local des mesures  $G^{\mathbb{C}}$ -invariantes sur  $G^{\mathbb{C}}/G$ . Ce n'est pas étonnant car au début, on intègre sur les champs de jauge unitaires. Ceci ne fait que refléter l'invariance initiale du produit scalaire. Il apparaît que le produit scalaire est exprimé par une intégrale fonctionnelle sur un modèle de WZNW pour le groupe  $G^{\mathbb{C}}/G$ , de niveau  $-(k+2g^\vee)$ , et par la fonction de partition des fantômes. Si  $G = \text{SU}_2$ , le quotient  $\text{SL}_2/\text{SU}_2$  est l'espace hyperbolique tridimensionnel  $H_3^+$ . Pour cette raison, on appelle **modèle de WZNW hyperbolique** le modèle basé sur  $G^{\mathbb{C}}/G$ .

## Genre zéro

Sur la sphère de Riemann, l'orbite du champ nul est dense, donc génériquement on peut trouver  $h \in \mathcal{G}^{\mathbb{C}}$  tel que

$$A^{01} = h^{-1}\bar{\partial}h.$$

Pour une variation infinitésimale de  $h$ , on a

$$\delta A^{01} = \bar{\partial}_{h^{-1}\bar{\partial}h}(h^{-1}\delta h).$$

La paramétrisation en question n'est pas univoque. Il reste la liberté de multiplier à gauche  $h$  par un champ constant  $h_0 \in G^{\mathbb{C}}$ . Une autre manière de dire est : l'opérateur  $\bar{\partial}_{h^{-1}\bar{\partial}h}$  a des modes zéro. En effet, le noyau de  $\bar{\partial}_{h^{-1}\bar{\partial}h} = \text{Ad}_{h^{-1}} \bar{\partial} \text{Ad}_h$  est engendré par les vecteurs  $h^{-1}t^a h$ . Pour résoudre l'ambiguïté de la paramétrisation, on multiplie l'intégrale du produit scalaire par  $1 = \int \delta(h(\xi_0)) dh(\xi_0)$ , pour un point  $\xi_0$  de  $\mathbb{C}P^1$ .

$$\|\Psi\|^2 = \int |\Psi(h^{-1}\bar{\partial}h)|^2 e^{-\frac{ik}{2\pi} \int \text{tr}(h^{-1}\bar{\partial}h)^\dagger \wedge h^{-1}\bar{\partial}h} \delta(h(\xi_0)) j(h) Dh.$$

---

\* Cette formule mériterait à elle seule une longue discussion. Il s'agit de calculer l'anomalie chirale à partir du théorème de Riemann-Roch-Grothendieck-Quillen pour le fibré déterminant  $\text{DET} \bar{\partial}_{A^{01}}$  de la famille d'opérateurs  $\bar{\partial}_{A^{01}}$  muni de la métrique de Quillen. On trouve une explication détaillée dans [57] (cf. aussi [4, 25, 124]).

Le Jacobien du changement de variables est [68, App. C]

$$j(h) = \text{const.} \det'(\bar{\partial}_{h^{-1}}^\dagger \bar{\partial}_h \bar{\partial}_{h^{-1}}) / \det_{a,b} \left( \int_{\Sigma} \text{tr} h h^\dagger t^a (h h^\dagger)^{-1} t^b d^2 z \right).$$

Le symbole «const.» désigne une constante tampon ne dépendant que de  $G$  qu'on peut absorber dans la forme volume. Grâce à l'anomalie chirale, on peut extraire la dépendance en  $h$ . Ainsi,

$$j(h) = \text{const.} e^{2g^\vee S(hh^\dagger)} \left( \frac{\det'(-\Delta)}{\text{aire}} \right)^{-\dim G}.$$

Après le changement de variables, le produit scalaire en géométrie sphérique est donc

$$\begin{aligned} \|\Psi\|^2 = \text{const.} \left( \frac{\det'(-\Delta)}{\text{aire}} \right)^{-\dim G} \int \langle \Psi(0), \otimes_{\ell}(hh^\dagger)(\xi_\ell)_{R_\ell}^{-1} \Psi(0) \rangle \\ e^{(k+2g^\vee) S(hh^\dagger)} \delta(hh^\dagger(\xi_0)) D(hh^\dagger). \end{aligned} \quad (24)$$

## Genre un

En genre un, presque tous les champs de jauge sont dans l'orbite de  $A_u^{01} = \pi u d\bar{z}/\tau_2$ ,  $u$  étant dans un domaine fondamental de  $\mathfrak{t}^{\mathbb{C}} \setminus P^\vee + \tau P^\vee$  pour l'action de  $W \rtimes (Q^\vee + \tau Q^\vee)$ . Il y a encore une ambiguïté résidant dans la multiplication à gauche de  $h$  par un champ constant  $h_0$  dans le sous-groupe de Cartan  $T^{\mathbb{C}}$ . Encore une fois, cela se voit sur l'opérateur  $\bar{\partial}_{A_u^{01}}$  qui a des modes zéro. On comprend a posteriori pourquoi on doit traiter les genres 0 et 1 séparément. Pour résoudre l'ambiguïté, on utilise la **décomposition d'Iwasawa** de  $G^{\mathbb{C}}$  : pour tout  $h \in G^{\mathbb{C}}$ , il existe une seule manière d'écrire  $h$  sous la forme

$$h = e^{\sum_{\alpha>0} v_\alpha e_\alpha} e^{\varphi/2} g$$

avec  $g$  dans le groupe compact  $G$ ,  $g g^\dagger = 1$ ,  $v_\alpha \in \mathbb{C}$  et  $\varphi \in \mathfrak{t}$ . On pose  $n = e^\varphi$ ,  $v = \sum v_\alpha e_\alpha$  et  $b = n e^{\varphi/2}$ . On contrôle la liberté de  $h(\xi_0)$ , en fixant  $\varphi(\xi_0)$ . Le produit scalaire est

$$\begin{aligned} \|\Psi\|^2 = \int \langle \Psi(A_u^{01}), \otimes_{\ell}(hh^\dagger)(\xi_\ell)_{R_\ell}^{-1} \Psi(A_u^{01}) \rangle e^{-\frac{ik}{2\pi} \int \text{tr}(A_u^{01})^\dagger \wedge A_u^{01}} \\ e^{k S(hh^\dagger, A_u)} j(h, u) \delta(\varphi(\xi_0)) D(hh^\dagger) d^{2r}u \end{aligned}$$

où le Jacobien est (après l'anomalie chirale pour extraire la dépendance en  $h$ )

$$j(h, u) = \text{const.} \tau_2^{-2r} e^{2g^\vee S(hh^\dagger, A_u)} \det'(\bar{\partial}_{A_u^{01}}^\dagger \bar{\partial}_{A_u^{01}}).$$

On montre en plus [68] que

$$\det'(\bar{\partial}_{A_u^{01}}^\dagger \bar{\partial}_{A_u^{01}}) = \text{const.} \tau_2^{2r} e^{\pi g^\vee |u-u^\dagger|^2/\tau_2} |\Pi(u, \tau)|^4$$

où  $\Pi$  est le dénominateur de Weyl-Kac. On amène tous ces résultats dans l'intégrale et

$$\begin{aligned} \|\Psi\|^2 = \text{const.} \int \langle \Psi(A_u^{01}), \otimes_{\ell}(hh^\dagger)(\xi_\ell)_{R_\ell}^{-1} \Psi(A_u^{01}) \rangle e^{-\frac{ik}{2\pi} \int \text{tr}(A_u^{01})^\dagger \wedge A_u^{01}} \\ e^{(k+2g^\vee) S(hh^\dagger, A_u)} e^{\pi g^\vee |u-u^\dagger|^2/\tau_2} |\Pi(u, \tau)|^4 \delta(\varphi(\xi_0)) D(hh^\dagger) d^{2r}u. \end{aligned} \quad (25)$$

## §11. Représentation en gaz de Coulomb

Pour le moment, rien ne nous permet d'affirmer que le changement de variables conduit à des intégrables plus faciles à traiter. Bien sûr, c'est le cas. En paramétrisant  $h$  par l'intermédiaire de la décomposition d'Iwasawa, on tombe sur des intégrales gaussiennes. Pour le cas le plus simple  $G = \text{SU}_2$ , on l'imagine très facilement vu la forme de l'action

$$S(hh^\dagger) = \frac{i}{2\pi} \int \partial\varphi \wedge \bar{\partial}\varphi - \frac{i}{2\pi} \int e^{-2\varphi} \partial\bar{v} \wedge \bar{\partial}v$$

pour

$$h = \begin{pmatrix} 1 & v \\ 0 & 1 \end{pmatrix} \begin{pmatrix} e^{\varphi/2} & 0 \\ 0 & e^{-\varphi/2} \end{pmatrix} g$$

avec  $v \in \mathbb{C}$ ,  $\varphi \in \mathbb{R}$  et  $g \in \text{SU}_2$ . Maintenant, on continue l'étude en groupe général uniquement pour les genres 0 et 1. On n'aborde pas le dernier cas connu : genre  $\geq 2$ ,  $G = \text{SU}_2$ . Au passage, c'est le seul cas où on a construit une découpe explicite de l'espace des modules en genre supérieur. Les références les plus abouties sur le calcul du produit scalaire sont [44] pour le genre zéro, [43] pour le genre un — les deux articles traitant le groupe quelconque avec points d'insertion — et [65, 67] pour le genre supérieur, dans ce dernier cas uniquement pour  $\text{SU}_2$ . Dans les nouvelles coordonnées, la mesure invariante  $D(hh^\dagger)$  est

$$D(bb^\dagger) = \prod_{j=1}^r d\varphi^j \prod_{\alpha>0} d^2(e^{-\varphi_\alpha/2} v_\alpha)$$

où  $\varphi^j = \text{tr } \varphi h^j$  et  $\varphi_\alpha = \alpha(\varphi)$ .

En genre zéro, l'action de WZNW dans les coordonnées d'Iwasawa devient :

$$S(hh^\dagger) = -\frac{i}{4\pi} \int \text{tr } \partial\varphi \wedge \bar{\partial}\varphi - \frac{i}{2\pi} \int \text{tr } e^\varphi (n^{-1}\bar{\partial}n)^\dagger e^{-\varphi} \wedge n^{-1}\bar{\partial}n$$

avec, en plus,  $(hh^\dagger)^{-1} = (n e^\varphi n^\dagger)^{-1}$ . Pour le moment, on a donc

$$\begin{aligned} \|\Psi\|^2 &= \text{const.} \left( \frac{\det'(-\Delta)}{\text{aire}} \right)^{-\dim G} \int \langle \Psi(0), \otimes_{\ell} (n e^\varphi n^\dagger)(\xi_\ell)_{R_\ell}^{-1} \Psi(0) \rangle \\ &e^{-\frac{i(k+2g^\vee)}{4\pi} \int \text{tr } \partial\varphi \wedge \bar{\partial}\varphi} e^{-\frac{i(k+2g^\vee)}{2\pi} \int \text{tr } e^\varphi (n^{-1}\bar{\partial}n)^\dagger e^{-\varphi} \wedge n^{-1}\bar{\partial}n} \delta(hh^\dagger(\xi_0)) D(hh^\dagger). \end{aligned} \quad (26)$$

En genre un, le calcul est pratiquement identique. On montre [68, App. B] qu'il est toujours possible de définir une action de WZNW pour des champs tordus. La formule de Polyakov-Wiegmann jaugée reste valable. Ainsi, bien que  $\gamma_u$  soit multivaluée (cf. équation (15)), on peut quand même écrire

$$S(hh^\dagger, A_u) = S(\gamma_u b b^\dagger \gamma_u^\dagger) - S(\gamma_u \gamma_u^\dagger).$$

Pour calculer ces deux actions, on introduit les fonctions intermédiaires

$$\begin{aligned} n_u &= \gamma_u n \gamma_u^{-1}, & n_u(z + \tau) &= e^{-2\pi i u} n_u(z) e^{2\pi i u}, \\ \varphi_u &= \varphi + \chi_u + \chi_u^\dagger, & e^{\varphi_u(z+\tau)} &= e^{-2\pi i u} e^{\varphi_u(z)} e^{2\pi i u^\dagger} \end{aligned}$$



où  $\chi_u = -\pi u(z - \bar{z})/\tau_2$ . Dans ces coordonnées, on a  $\gamma_u b b^\dagger \gamma_u^\dagger = n_u e^{\varphi_u} n_u^\dagger$ . La formule de Polyakov-Wiegmann (2.4) reste valable pour des champs tordus uniquement dans la direction  $\tau$  par

$$g_1(z + \tau) = a g_1(z) b, \quad g_2(z + \tau) = b^{-1} g_2(z) c.$$

Par conséquent,

$$S(\gamma_u b b^\dagger \gamma_u^\dagger) = S(n_u) + S(n_u^\dagger) + S(e^{\varphi_u}) - \Gamma(n_u, e^{\varphi_u} n_u^\dagger) - \Gamma(e^{\varphi_u}, n_u^\dagger).$$

Le dernier terme est nul car  $e^{\varphi_u} \perp n_u^\dagger$  pour la forme de Killing. On montre (loc. cit.) que  $S(n_u) = S(n_u^\dagger) = 0$  et

$$S(e^{\varphi_u}) = -\frac{i}{4\pi} \int_{\Sigma} \text{tr} \partial \varphi_u \wedge \bar{\partial} \varphi_u.$$

On trouve alors que, dans les coordonnées d'Iwasawa, l'action de WZNW est donnée par

$$S(hh^\dagger, A_u) = -\frac{i}{4\pi} \int_{\Sigma} \text{tr} \partial \varphi \wedge \bar{\partial} \varphi - \frac{i}{2\pi} \int_{\Sigma} \text{tr} e^{\varphi_u} (n_u^{-1} \bar{\partial} n_u)^\dagger e^{-\varphi_u} \wedge n_u^{-1} \bar{\partial} n_u.$$

Pour la mesure invariante, comme on a

$$n_u = e^{\sum_{\alpha>0} v'_\alpha e_\alpha} \quad \text{où} \quad v'_\alpha = e^{-\pi(z-\bar{z})u_\alpha/\tau_2} v_\alpha,$$

il suit

$$D(hh^\dagger) = \prod_{j=1}^r d\varphi^j \prod_{\substack{\alpha>0 \\ z}} d^2(e^{-\alpha(\varphi_u(z))/2} v'_\alpha(z)).$$

On change ensuite la fonction  $\Psi(A_u^{01})$  en la fonction holomorphe  $\gamma : \mathfrak{t}^{\mathbb{C}} \rightarrow V_{\Delta}$  :

$$\langle \Psi(A_u^{01}), \otimes_{\ell} (hh^\dagger) (\xi_{\ell})_{R_{\ell}}^{-1} \Psi(A_u^{01}) \rangle = e^{\pi k(|u|^2 + |u^\dagger|^2)/(2\tau_2)} \langle \gamma(u), \otimes_{\ell} (n_u e^{\varphi_u} n_u^\dagger) (\xi_{\ell})_{R_{\ell}}^{-1} \gamma(u) \rangle.$$

À la fin, on trouve

$$\begin{aligned} \|\Psi\|^2 &= \text{const.} \int \langle \gamma(u), \otimes_{\ell} (n_u e^{\varphi_u} n_u^\dagger) (\xi_{\ell})_{R_{\ell}}^{-1} \gamma(u) \rangle e^{-\frac{i(k+2g^{\vee})}{4\pi} \int \text{tr} \partial \varphi \wedge \bar{\partial} \varphi} \\ &\quad e^{-\frac{i(k+2g^{\vee})}{2\pi} \int \text{tr} e^{\varphi_u} (n_u^{-1} \bar{\partial} n_u)^\dagger e^{-\varphi_u} \wedge n_u^{-1} \bar{\partial} n_u} e^{\frac{\pi(k+2g^{\vee})}{2\tau_2} |u-u^\dagger|^2} \\ &\quad |\Pi(u, \tau)|^4 \delta(\varphi(\xi_0)) \prod_{j=1}^r d\varphi^j \prod_{\substack{\alpha>0 \\ z}} d^2(e^{-\alpha(\varphi_u(z))/2} v'_\alpha(z)) d^{2r}u. \end{aligned}$$

Pour rendre les intégrales quadratiques, on utilise de nouvelles variables  $(\eta_\alpha)_{\alpha>0}$  définies par

$$n^{-1} \bar{\partial} n = \sum_{\alpha>0} \bar{\partial} \eta_\alpha e_\alpha. \quad (27)$$

Le changement de variables  $(v_\alpha) \mapsto (\eta_\alpha)$ , pour le genre zéro, ou  $(v'_\alpha) \mapsto (\eta_\alpha)$ , pour le genre un, est clairement expliqué dans les articles originaux. On utilise alors un «truc» qui permet d'inverser la relation (27). Ainsi,  $n_u$  est obtenu en fonction des  $\eta_\alpha$  par l'intermédiaire d'intégrales en  $y_s$  sur les fonctions de Green de l'opérateur  $\bar{\partial}$ , éventuellement tordu. On intègre

alors sur les  $\eta_\alpha$ . On appelle l'intégrale résiduelle sur les  $\varphi^j$  une **représentation en gaz de Coulomb**. On utilise cette terminologie à cause de la ressemblance avec la représentation en intégrale fonctionnelle des poids de Boltzmann pour un gaz de Coulomb. Dans ce langage, on a des charges externes aux points  $\xi_\ell$ , des charges d'écran aux points  $y_s$ , et une charge à l'infini en  $\xi_0$ . Après intégration sur les  $\varphi^j$ , on tombe enfin sur des intégrales de dimension finie.

Si  $\lambda_1, \dots, \lambda_N$  est la séquence de plus hauts poids, on note  $\langle \lambda | = \otimes_\ell \langle \lambda_\ell |$ ,  $\underline{\alpha}$  une séquence  $(\alpha_{1,1}, \dots, \alpha_{1,K_1}, \alpha_{2,1}, \dots, \alpha_{N,K_N}) \equiv (\alpha_1, \dots, \alpha_K)$  de  $K = \sum_\ell K_\ell$  racines simples telles que

$$\sum_{s=1}^K \alpha_s = \sum_{\ell=1}^N \lambda_\ell$$

et  $\underline{y} = (y_{1,1}, \dots, y_{1,K_1}, \alpha_{2,1}, \dots, y_{N,K_N}) \equiv (y_1, \dots, y_K)$  une séquence de  $K$  points sur  $\Sigma$ . Deux séquences  $\underline{\alpha}$  de racines simples ne diffèrent que par une permutation  $\sigma \in \mathfrak{S}_K$ . On introduit la constante  $\kappa = k + g^\vee$ .

En genre zéro, le produit scalaire est

$$\|\Psi\|^2 = \text{const.} \int \left| e^{-\frac{1}{\kappa} S^{(0)}(\underline{z}, \underline{y})} \langle G^{(0)}(\underline{z}, \underline{y}), \Psi(0) \rangle \right|^2 \prod_{s=1}^K d^2 y_s$$

avec

$$S^{(0)}(\underline{z}, \underline{y}) = \sum_{\ell < \ell'} \text{tr}(\lambda_\ell \lambda_{\ell'}) \ln(z_\ell - z_{\ell'}) - \sum_{\ell, s} \text{tr}(\lambda_\ell \alpha_s) \ln(z_\ell - y_s) + \sum_{s < s'} \text{tr}(\alpha_s \alpha_{s'}) \ln(y_s - y_{s'})$$

mais aussi

$$G^{(0)}(\underline{z}, \underline{y}) = \sum_{\underline{K}} \sum_{\sigma \in \mathfrak{S}_K} F_{\underline{K}}(\underline{z}, \sigma \underline{y}) \langle \lambda | \otimes_\ell (e_{(\sigma\alpha)_{\ell,1}} \cdots e_{(\sigma\alpha)_{\ell, K_\ell}})_\ell,$$

prenant ses valeurs dans l'espace dual à  $V_{\underline{\lambda}}$ , et

$$F_{\underline{K}}(\underline{z}, \underline{y}) = \frac{1}{\pi^K} \prod_{\ell} \frac{1}{z_\ell - y_{\ell,1}} \frac{1}{y_{\ell,1} - y_{\ell,2}} \cdots \frac{1}{y_{\ell, K_\ell - 1} - y_{\ell, K_\ell}}.$$

En genre un, on obtient une expression tout à fait semblable

$$\|\Psi\|^2 = \text{const.} \tau_2^{-r/2} \int e^{\frac{\pi\kappa}{2\tau_2} |w - \bar{w}|^2} \left| e^{-\frac{1}{\kappa} S^{(1)}(\tau, \underline{z}, \underline{y})} \langle G^{(1)}(\tau, u, \underline{z}, \underline{y}), \theta(u) \rangle \right|^2 d^2 r u \prod_{s=1}^K d^2 y_s$$

avec  $\theta(u) = \Pi(u, \tau) \gamma(u)$ ,  $\Pi$  étant le dénominateur de Weyl-Kac, et

$$w \equiv u + \frac{1}{\kappa} \sum_{\ell=1}^N z_\ell \lambda_\ell - \frac{1}{\kappa} \sum_{s=1}^K y_s \alpha_s.$$

La fonction  $S^{(1)}$  est holomorphe et multivaluée en  $\tau$ ,  $z_\ell$  et  $y_s$ , la fonction  $G^{(1)}$  est holomorphe multivaluée et prend ses valeurs dans l'espace dual à  $V_{\underline{\lambda}}$ . Explicitement, on a

$$S^{(1)}(\tau, \underline{z}, \underline{y}) = \sum_{\ell < \ell'} \text{tr}(\lambda_\ell \lambda_{\ell'}) \tilde{\vartheta}_1(z_\ell - z_{\ell'}) - \sum_{\ell, s} \text{tr}(\lambda_\ell \alpha_s) \tilde{\vartheta}_1(z_\ell - y_s) + \sum_{s < s'} \text{tr}(\alpha_s \alpha_{s'}) \tilde{\vartheta}_1(y_s - y_{s'})$$

avec  $\tilde{\vartheta}_1(z) \equiv \vartheta_1(z)/\vartheta_1'(0)$ ,

$$G^{(1)}(\tau, u, \underline{z}, \underline{y}) = \sum_{\underline{K}} \sum_{\sigma \in \mathfrak{S}_K} F_{\underline{K}, \sigma \underline{\alpha}}(\tau, u, \underline{z}, \sigma \underline{y}) \langle \lambda | \otimes_{\ell} (e_{(\sigma \alpha)_{\ell,1}} \cdots e_{(\sigma \alpha)_{\ell, K_{\ell}}})_{\ell}$$

où

$$F_{\underline{K}, \underline{\alpha}}(\tau, u, \underline{z}, \underline{y}) = \frac{1}{\pi^K} \prod_{\ell} P_{\alpha_{\ell,1}(u) + \cdots + \alpha_{\ell, K_{\ell}}(u)}(z_{\ell} - y_{\ell,1}) P_{\alpha_{\ell,2}(u) + \cdots + \alpha_{\ell, K_{\ell}}(u)}(y_{\ell,1} - y_{\ell,2}) \\ \times \cdots P_{\alpha_{\ell, K_{\ell}}(u)}(y_{\ell, K_{\ell}-1} - y_{\ell, K_{\ell}})$$

où  $P_x(y)$  est la fonction définie dans la section 4.4. Les fonctions sont multivaluées séparément, mais mises ensemble, on obtient un intégrand monovalué.

Le problème de la convergence de ces intégrales reste ouvert. Il a été montré dans un certain nombre de cas [42, 62] et il a été conjecturé pour le cas général [61] que le produit scalaire converge si, et seulement si, on le calcule sur des états de CS qui satisfont les règles de fusion.

# SYSTÈMES DE HITCHIN

## CONNEXION DE KNIZHNIK-ZAMOLODCHIKOV-BERNARD

### §1. Géométrie symplectique

Comme références sur le sujet, j'utilise les ouvrages [1, 107] et l'article [26].

#### 1.1. Structure symplectique

Une *variété de Poisson* est une variété  $M$  éventuellement de dimension infinie — par commodité, on utilise la catégorie réelle mais l'exposé reste valable dans la catégorie complexe — munie d'un *crochet de Poisson*, c.-à-d. d'une application bilinéaire antisymétrique  $\{.,.\}$  sur l'espace  $\mathcal{C}^\infty(M)$  vérifiant la règle de Leibniz et l'identité de Jacobi :

- 1)  $\{\varphi_1, \varphi_2\} = -\{\varphi_2, \varphi_1\}$  (antisymétrie) ;
- 2)  $\{\varphi, \varphi_1 \varphi_2\} = \{\varphi, \varphi_1\} \varphi_2 + \varphi_1 \{\varphi, \varphi_2\}$  (règle de Leibniz) ;
- 3)  $\{\varphi_1, \{\varphi_2, \varphi_3\}\} + \{\varphi_2, \{\varphi_3, \varphi_1\}\} + \{\varphi_3, \{\varphi_1, \varphi_2\}\} = 0$  (identité de Jacobi).

Le *tenseur de Poisson*  $J \in \Lambda^2 TM$  est défini par  $\{\varphi, \psi\} = J(d\varphi \wedge d\psi)$ . On considère aussi l'application  $\tilde{J} : T^*M \rightarrow TM$  telle que  $\langle \tilde{J}(d\varphi), d\psi \rangle = \{\varphi, \psi\}$  avec des notations évidentes. Deux fonctions  $\varphi, \psi \in \mathcal{C}^\infty(M)$  sont dites *en involution* si leur crochet de Poisson est nul. Une *feuille symplectique* est une sous-variété maximale de  $M$  sur laquelle toute fonction  $\varphi$  en involution avec tous les  $\psi \in \mathcal{C}^\infty(M)$  est constante.

Une *variété symplectique*  $M$  est une variété — de dimension paire si  $M$  est de dimension finie — munie d'une 2-forme  $\omega$  fermée ( $d\omega = 0$ ) et non-dégénérée, appelée *forme symplectique*. On dit que  $\omega$  est non-dégénérée si l'application  $\lambda : TM \rightarrow T^*M$  définie par  $\omega(v, w) = \langle w, \lambda(v) \rangle$  est inversible. On note  $\tilde{J}$  son inverse. Une variété symplectique est toujours une variété de Poisson avec

$$\{\varphi, \psi\} \equiv \langle \tilde{J}(d\varphi), d\psi \rangle = \omega(\tilde{J}(d\psi), \tilde{J}(d\varphi)).$$

Une feuille symplectique d'une variété de Poisson  $M$  possède une structure symplectique naturelle telle que son crochet de Poisson coïncide avec la restriction du crochet de Poisson de  $M$ . Si  $\varphi \in \mathcal{C}^\infty(M)$ , son champ de vecteurs hamiltonien est  $v_\varphi = \tilde{J}(d\varphi)$ , soit  $d\varphi = i(v_\varphi)\omega$ . Plus généralement, on dit qu'un *champ de vecteurs*  $v$  est *hamiltonien* (resp. *canonique*) si  $i(v)\omega$  est exacte (resp. fermée). Lorsque  $v$  est hamiltonien, une fonction  $H_v \in \mathcal{C}^\infty(M)$ , telle que  $dH_v = i(v)\omega$ , est appelée un *Hamiltonien* associé à  $v$ . Soit  $\mathfrak{X}(M)$  l'algèbre de Lie des champs de vecteurs sur  $M$ , munie du crochet de Lie  $[\cdot, \cdot]$  défini par le commutateur. L'application  $\mathbf{v} : \mathcal{C}^\infty(M) \rightarrow \mathfrak{X}(M)$  qui envoie une fonction sur son champ de vecteurs hamiltonien est un homomorphisme d'algèbres de Lie.

### 1.2. Dual d'une algèbre de Lie

Soit  $G$  un groupe de Lie et  $\mathfrak{g}$  son algèbre de Lie identifiée avec  $T_e G$ . L'action du groupe  $G$  sur lui-même ( $h \mapsto ghg^{-1}$ ) induit une action naturelle de  $G$  sur  $\mathfrak{g}$ , l'action adjointe  $\text{Ad}$ , et, par transposition, l'action coadjointe  $\text{Ad}^*$  sur  $\mathfrak{g}^*$ . Les générateurs infinitésimaux (cf. p. 110) de ces deux actions sont l'action adjointe  $\text{ad}$  de  $\mathfrak{g}$  sur  $\mathfrak{g}$  et l'action coadjointe  $\text{ad}^*$  de  $\mathfrak{g}$  sur  $\mathfrak{g}^*$ . Afin de rendre les choses plus explicites, posons  $L_g : h \mapsto gh$  la translation à gauche par  $g$  et  $R_g : h \mapsto hg$  la translation à droite par  $g$ . Si  $X, Y \in \mathfrak{g}$ ,  $\xi \in \mathfrak{g}^*$ ,

$$\begin{aligned} \text{Ad}_g X &= T_e(R_{g^{-1}}L_g) X, & \text{ad}_X Y &= [X, Y], \\ \langle Y, \text{Ad}_g^* \xi \rangle &= \langle \text{Ad}_{g^{-1}} Y, \xi \rangle, & \langle Y, \text{ad}_X^* \xi \rangle &= -\langle [X, Y], \xi \rangle. \end{aligned}$$

Pour simplifier, on note

$$\text{Ad}_g X = gXg^{-1}, \quad \text{Ad}_g^* \xi = g\xi g^{-1}, \quad \text{ad}_X^* \xi = [X, \xi].$$

Les **orbites coadjointes**  $\mathcal{O}$  possèdent une structure naturelle de variété symplectique. Soit  $\xi$  pris dans l'orbite  $\mathcal{O}$ . On note  $G_\xi$  le groupe d'isotropie de  $\xi$  et  $\mathfrak{g}_\xi$  son algèbre de Lie :

$$G_\xi = \{g \in G \mid g\xi g^{-1} = \xi\} \quad \text{et} \quad \mathfrak{g}_\xi = \{X \in \mathfrak{g} \mid [X, \xi] = 0\}.$$

L'orbite  $\mathcal{O}$  est naturellement isomorphe au quotient  $G/G_\xi$ , d'où  $T_\xi \mathcal{O} \cong \mathfrak{g}/\mathfrak{g}_\xi$ . La forme bilinéaire antisymétrique sur  $\mathfrak{g}$

$$\omega_\xi(X, Y) = \langle [X, Y], \xi \rangle = -\langle Y, [X, \xi] \rangle$$

descend bien sur  $\mathfrak{g}/\mathfrak{g}_\xi$  car  $\omega_\xi(X, \cdot) = 0$  équivaut à  $X \in \mathfrak{g}_\xi$ . L'application  $\xi \mapsto \omega_\xi$  définit une 2-forme sur  $\mathcal{O}$ . Utilisant l'identité de Jacobi, on vérifie ensuite que  $\omega$  est fermée.

Le dual d'une algèbre de Lie est un exemple de variété qui n'est pas symplectique mais qui admet une structure de Poisson. Soient  $\varphi, \psi \in \mathcal{C}^\infty(\mathfrak{g}^*)$  et  $\xi \in \mathfrak{g}^*$ , le **crochet de Lie-Poisson** est

$$\{\varphi, \psi\}_{\text{L.P.}}(\xi) = \langle [d\varphi(\xi), d\psi(\xi)], \xi \rangle$$

où on a identifié une différentielle  $d\varphi$  en un point  $\xi$  avec une fonction linéaire sur  $\mathfrak{g}^*$ , *i.e.* un élément de  $\mathfrak{g}^{**} \cong \mathfrak{g}$ . Si  $(t^a)$  est une base de  $\mathfrak{g}$ ,  $[t^a, t^b] = i f^{abc} t^c$ , les fonctions  $\xi^a = \langle t^a, \cdot \rangle$  sur  $\mathfrak{g}^*$  forment un système de coordonnées sur  $\mathfrak{g}^*$ . On obtient

$$\{\varphi, \psi\}_{\text{L.P.}} = \sum_{a,b,c} i f^{abc} \frac{\partial \varphi}{\partial \xi^a} \frac{\partial \psi}{\partial \xi^b} \xi^c.$$

Les feuilles symplectiques de  $(\mathfrak{g}^*, \{.,.\}_{\text{L.P.}})$  sont les orbites coadjointes.

## §2. Moments

Soit  $(M, \omega)$  une variété symplectique,  $\{.,.\}$  le crochet de Poisson associé,  $G$  un groupe de Lie d'algèbre de Lie  $\mathfrak{g}$ . Le groupe  $G$  agit sur  $M$  par  $\Phi : G \times M \ni (g, x) \mapsto \Phi(g, x) = \Phi_g(x) \in M$ . On suppose que l'**action** est **symplectique**, c.-à-d. que  $\Phi_g$  est un symplectomorphisme,

c.-à-d.  $\Phi_g^* \omega = \omega$  pour tout  $g \in G$ . L'action infinitésimale induit un homomorphisme d'algèbres de Lie  $\theta : \mathfrak{g} \rightarrow \mathfrak{X}(M)$  associant à tout  $X \in \mathfrak{g}$  le champ de vecteurs

$$\theta(X) = - \left. \frac{d}{dt} \right|_{t=0} \Phi_{\exp tX},$$

appelé *générateur infinitésimal* de l'action. On vérifie aisément que  $(\Phi_g)_* \theta(X) = \theta(\text{Ad}_g X)$  et  $\theta([X, Y]) = [\theta(X), \theta(Y)]$ . Notons que l'image de  $\theta$  est formée de champs de vecteurs symplectiques.

On suppose en plus que l'*action* est *hamiltonienne* c.-à-d. qu'il existe une application  $\tilde{\mu} : \mathfrak{g} \rightarrow \mathcal{C}^\infty(M)$  factorisant  $\theta$  par l'intermédiaire de  $\mathbf{v}$  :

$$\theta : \mathfrak{g} \xrightarrow{\tilde{\mu}} \mathcal{C}^\infty(M) \xrightarrow{\mathbf{v}} \mathfrak{X}(M), \quad (1)$$

soit  $d\tilde{\mu}(X) = i(\theta(X))\omega$ . En clair, on suppose que l'image de  $\theta$  est formée de champs de vecteurs hamiltoniens. Si  $\tilde{\nu}$  factorise  $\theta$  suivant (1), il est clair que toute autre application factorisant  $\theta$  est de la forme  $\tilde{\mu} = \tilde{\nu} + \sigma$ , où  $\sigma : \mathfrak{g} \rightarrow \mathbb{R}$  est une application linéaire. On adjoint à  $\tilde{\mu}$  l'application  $\mu : M \rightarrow \mathfrak{g}^*$  définie par

$$\langle X, \mu(x) \rangle \equiv \tilde{\mu}(X)(x). \quad (2)$$

L'application  $\mu$  est donc déterminée à une constante  $\sigma \in \mathfrak{g}^*$  près. Lorsque l'action est hamiltonienne, on dit que  $\mu$  est un *moment pour l'action*.

On a remarqué que  $\theta$  et  $\mathbf{v}$  sont des homomorphismes d'algèbres, il est donc naturel de trouver sous quelles contraintes on peut factoriser  $\theta$  par un homomorphisme d'algèbres  $\tilde{\mu}$ . Si c'est possible, on dit que l'*action* de  $G$  est *poissonnienne*. Notons que  $\tilde{\mu}$  est un homomorphisme d'algèbres si, et seulement si, l'application  $\mu : M \rightarrow \mathfrak{g}^*$  est un morphisme de Poisson, c.-à-d.  $\{\varphi \circ \mu, \psi \circ \mu\} = \{\varphi, \psi\}_{\text{L.P.}} \circ \mu$ . Fixons un  $\tilde{\mu}$  factorisant  $\theta$ . On a

$$v_{\tilde{\mu}([X, Y])} = \theta([X, Y]) = [\theta(X), \theta(Y)] = [v_{\tilde{\mu}(X)}, v_{\tilde{\mu}(Y)}] = v_{\{\tilde{\mu}(X), \tilde{\mu}(Y)\}}.$$

Il existe donc une application  $\chi : \mathfrak{g} \times \mathfrak{g} \rightarrow \mathbb{R}$  telle que

$$\{\tilde{\mu}(X), \tilde{\mu}(Y)\} = \tilde{\mu}([X, Y]) + \chi(X, Y).$$

À partir de l'identité de Jacobi pour  $\{.,.\}$  et de  $\{\tilde{\mu}([X, Y]), \tilde{\mu}(Z)\} = \{\{\tilde{\mu}(X), \tilde{\mu}(Y)\}, \tilde{\mu}(Z)\}$ , on déduit

$$\chi([X, Y], Z) + \chi([Y, Z], X) + \chi([Z, X], Y) = 0,$$

c.-à-d.  $\chi$  est un 2-cocycle de l'algèbre de Lie  $\mathfrak{g}$ . Si on change  $\mu$  en  $\mu + \sigma$  alors  $\chi(X, Y)$  est remplacé par  $\chi(X, Y) - \sigma([X, Y])$ . L'action de  $G$  permet donc de fixer  $\chi$  à un cobord près, *i.e.* une action hamiltonienne détermine une classe  $[\chi]$  dans  $H^2(\mathfrak{g}, \mathbb{R})$ . En effet, un cobord est un cocycle de la forme  $\chi(X, Y) = \sigma([X, Y])$ , où  $\sigma : \mathfrak{g} \rightarrow \mathbb{R}$  est une application linéaire. Clairement, l'action est poissonnienne si, et seulement si,  $[\chi] = 0$ , *i.e.*  $\chi$  est un certain cobord  $\sigma$ . L'application  $\tilde{\mu} + \sigma$  réalise l'homomorphisme d'algèbres désiré. Cet homomorphisme n'est pas unique. La liberté est cette fois donnée par une application linéaire  $\sigma : \mathfrak{g} \rightarrow \mathbb{R}$  telle que  $\sigma([X, Y]) = 0$ . Ainsi, une action poissonnienne détermine une classe dans  $H^1(\mathfrak{g}, \mathbb{R})$ . De ce qui précède, on constate que si  $H^1(\mathfrak{g}, \mathbb{R}) = H^2(\mathfrak{g}, \mathbb{R}) = 0$ , condition réalisée si  $\mathfrak{g}$  est semi-simple, alors l'action est poissonnienne et un moment pour l'action est unique.

On se propose de reformuler la notion de moment. Soient  $M$  et  $N$  deux variétés quelconques. Soient  $\Phi$  et  $\Psi$  deux actions de  $G$  sur respectivement  $M$  et  $N$ . Soit  $f : M \rightarrow N$  une application  $\mathcal{C}^\infty$ . On dit que  $f$  est **équivariante** pour ces deux actions de  $G$  si, pour tout  $g \in G$ , on a  $f \circ \Phi_g = \Psi_g \circ f$ . On dit que l'action est (infinitésimalement)  **$\epsilon$ -équivariante** si  $Tf \circ \theta_\Phi = \theta_\Psi \circ f$ , où  $\theta_\Phi$  et  $\theta_\Psi$  sont les générateurs infinitésimaux des actions  $\Phi$  et  $\Psi$ . On se replace dans le cadre d'une action hamiltonienne factorisant  $\theta$  par un certain  $\tilde{\mu}$ . On va montrer le résultat suivant

$$\text{équivariance de } \mu \implies \epsilon\text{-équivariance de } \mu \iff \text{action poissonnienne.}$$

La première implication est générale. Dans le contexte qui nous intéresse, l'équivariance de  $\mu$  dit :  $\mu \circ \Phi_g = \text{Ad}_g^* \circ \mu$  et l' $\epsilon$ -équivariance dit :  $T\mu \circ \theta(X) = \text{ad}_X^* \circ \mu$ . Pour obtenir la partie  $\iff$ , on commence par dériver l'équation (2) :  $d\tilde{\mu}(X).v = \langle X, T\mu \circ v \rangle$ . On en déduit facilement

$$\langle Y, T\mu \circ \theta(X) \rangle = -\{\tilde{\mu}(X), \tilde{\mu}(Y)\} = -\tilde{\mu}([X, Y]) = \langle Y, [X, \mu] \rangle,$$

d'où l'équivalence annoncée. En résumé, étant donnée une action hamiltonienne, pour montrer qu'elle est poissonnienne, il suffit de trouver une application  $\tilde{\mu}$  factorisant  $\theta$  telle que  $\mu$  est équivariante.

Par la suite, on considère l'action du groupe  $\mathcal{G}^{\mathbb{C}}$  des transformations de jauge qui est de dimension infinie. On est alors surtout intéressé par une application moment équivariante.

### 2.1. Réduction symplectique

Soient  $G$  un groupe de Lie,  $\Phi$  une action hamiltonienne de  $G$  sur une variété symplectique  $(M, \omega)$ . On se donne  $\mu : M \rightarrow \mathfrak{g}^*$  un moment pour l'action, supposé équivariant. Le quotient  $\mathcal{P}_\xi \equiv \mu^{-1}(\xi)/G_\xi = \mu^{-1}(\mathcal{O})/G$ , appelé **espace des phases réduit**, est correctement défini. Dans le cas particulier  $\xi = 0$ ,  $\mu^{-1}(0)/G$  est appelé le **quotient de Marsden-Weinstein**, parfois noté  $M//G$ . On suppose que l'action de  $G$  et le moment sont tels que  $\mathcal{P}_\xi$  est une variété. L'espace des phases réduit supporte une unique structure symplectique  $\omega_{\text{red}}$  telle que

$$\pi^* \omega_{\text{red}} = i^* \omega \tag{3}$$

où  $\pi : \mu^{-1}(\xi) \rightarrow \mathcal{P}_\xi$  est la projection canonique et  $i : \mu^{-1}(\xi) \rightarrow M$  est l'injection naturelle. Soit  $m \in \mu^{-1}(\xi)$ . Si  $v$  appartient à  $T_m \mu^{-1}(\xi)$ , on note  $\tilde{v}$  son image par  $T\pi$ . La formule (3) dit seulement  $\omega_{\text{red}}(\tilde{v}, \tilde{w}) = \omega(v, w)$ , pour  $v, w \in T_m \mu^{-1}(\xi)$ . Comme  $\pi$  et  $T\pi$  sont surjectives, l'unicité de  $\omega_{\text{red}}$  est immédiate. Si  $\xi$  et  $\xi'$  sont dans la même orbite coadjointe  $\mathcal{O}$ , alors de façon naturelle  $\mathcal{P}_\xi \cong \mathcal{P}_{\xi'} \cong \mu^{-1}(\mathcal{O})/G \equiv \mathcal{P}_\mathcal{O}$  et cet isomorphisme préserve la structure symplectique.

### 2.2. Espaces cotangents

On a déjà vu que tout espace cotangent  $M = T^*N$  à une variété  $N$  admet une structure symplectique canonique. Notons  $\pi$  la projection canonique  $\pi : M \rightarrow N$  et  $T\pi$  son application tangente  $T\pi : TM \rightarrow TN$ . Soient  $x \in N$  et  $\tau \in T_x^*N$ . Si  $v \in T_\tau M$ , on pose  $\alpha_0(v) = \langle T\pi(v), \tau \rangle$ . La 2-forme  $\omega_0 = d\alpha_0$  sur  $M$  est automatiquement fermée.  $\omega_0$  n'est pas dégénérée. Suivant le **théorème de Darboux**, toute variété symplectique de dimension finie est localement symplectomorphe à un fibré cotangent muni de sa structure symplectique canonique.

Soit  $G$  un groupe de Lie agissant sur  $N$  via un difféomorphisme  $\Phi$ . L'application  $\Phi_{g^{-1}}$  se relève en un symplectomorphisme  $\Psi_g \equiv T^*\Phi_{g^{-1}} : M \rightarrow M$ . C'est un fait beaucoup plus général puisque tout difféomorphisme  $f : N \rightarrow N$  se relève en un symplectomorphisme de  $(M, \omega_0)$ , mieux :  $(T^*f)^*\alpha_0 = \alpha_0$ . On a donc une action symplectique de  $G$  sur  $M$ . Soient  $x \in N$  et  $\tau \in T_x^*N$ , d'où  $\Psi_g(\tau) \in T_{\Phi_g(x)}^*N$ . En fait, l'action  $\Psi$  est hamiltonienne et l'application  $\mu : M \rightarrow \mathfrak{g}^*$  définie par

$$\langle X, \mu(\tau) \rangle = -\alpha_0(\theta_\Psi(X))_\tau \quad (4.a)$$

est un moment équivariant pour l'action. En effet, comme  $\Psi$  préserve la 1-forme  $\alpha_0$  et  $\Psi_{\exp tX}$  est un flot pour  $\theta_\Psi(X)$ , on a  $\mathcal{L}_{\theta_\Psi(X)}\alpha_0 = 0$ . D'après la formule de Cartan,  $d\tilde{\mu}(X) = -i(\theta_\Psi(X))d\alpha_0 = i(\theta_\Psi(X))\omega_0$ . Ainsi  $v_{\tilde{\mu}(X)} = \theta_\Psi(X)$  et l'action est hamiltonienne. Comme  $\Psi_g = T^*\Phi_{g^{-1}}$ , on a  $\pi \circ \Psi_g = \Phi_g \circ \pi$  et  $T\pi \circ \theta_\Psi = \theta_\Phi \circ \pi$ . Il suit

$$\tilde{\mu}(X)(\tau) = -\langle T\pi \circ \theta_\Psi(X), \tau \rangle = -\langle \theta_\Phi(X) \circ \pi(\tau), \tau \rangle = -\langle \theta_\Phi(X)(x), \tau \rangle. \quad (4.b)$$

L'équivariance de  $\mu$ , c.-à-d.  $\mu \circ \Psi_g = g\mu g^{-1}$ , s'écrit aussi  $\tilde{\mu}(X)(\Psi_g(\tau)) = \tilde{\mu}(g^{-1}Xg)(\tau)$ . Or

$$\begin{aligned} \tilde{\mu}(g^{-1}Xg)(\tau) &= -\langle \theta_\Phi(g^{-1}Xg)(x), \tau \rangle = -\langle \Phi_g^*\theta_\Phi(X)(x), \tau \rangle \\ &= -\langle (T\Phi_{g^{-1}}) \circ \theta_\Phi(X) \circ \Phi_g(x), \tau \rangle = -\langle \theta_\Phi(X) \circ \Phi_g(x), (T^*\Phi_{g^{-1}})(\tau) \rangle \\ &= \tilde{\mu}(X)(\Psi_g(\tau)), \end{aligned}$$

donc  $\mu$  est équivariante. En conclusion, toute action d'un groupe sur une variété se relève en une action hamiltonienne sur le fibré cotangent, un moment pour l'action — équivariant par construction — étant donné par l'équation (4.a) ou l'équation (4.b).

On peut regarder la réduction symplectique de  $M$ . Soit  $\xi \in \mathfrak{g}^*$ . Le quotient  $\mu^{-1}(\xi)/G_\xi$  admet une structure symplectique. En plus, on montre que

$$\mu^{-1}(\xi)/G_\xi \cong T^*(N/G_\xi)$$

si, et seulement si,  $\mathfrak{g}_\xi = \mathfrak{g}$ .

### 2.3. Systèmes intégrables

Suivant le contexte, on peut définir de plusieurs façons un système intégrable : système algébrique complètement intégrable [31], intégrabilité par quadrature, etc... L'intégrabilité qui nous intéresse est l'intégrabilité par quadrature. Les systèmes intégrables constituent le parfait exemple de l'interaction entre physique [13] et mathématiques [5, vol. 4 et 16]. Soit  $(\mathcal{M}, \omega)$  une variété symplectique de dimension  $2n$ . On dit qu'un système — ayant pour espace des phases  $\mathcal{M}$  — est **intégrable** si on peut résoudre ses équations du mouvement par **quadrature**, c.-à-d. par un nombre fini d'opérations algébriques et de calculs intégraux. Liouville a montré qu'il suffit de trouver  $n$  fonctions indépendantes (dont le Hamiltonien) en involution. L'énoncé précis, dû à Arnold [6], est le suivant :

**THÉORÈME (Liouville-Arnold).** — *Soient  $n$  fonctions lisses  $f_1, \dots, f_n$  sur  $\mathcal{M}$ , en involution. On suppose que les fonctions  $f_i$  sont indépendantes sur les surfaces de niveau  $\mathcal{M}_\lambda = \{x \in \mathcal{M} \mid f_i(x) = \lambda_i, i = 1, \dots, n\}$ , i.e.  $df_1 \wedge \dots \wedge df_n \neq 0$  en tout point de  $\mathcal{M}_\lambda$ . Si  $\mathcal{M}_\lambda$  est compacte et connexe alors*



- 1)  $\mathcal{M}_\lambda$  est une variété difféomorphe à un tore de dimension  $n$ , le **tore de Liouville**  $\mathbb{T}^n$  ;
- 2) dans un voisinage de  $\mathcal{M}_\lambda$ , on peut introduire des coordonnées  $I_1, \dots, I_n, \varphi_1, \dots, \varphi_n$ ,  $0 \leq \varphi_i \leq 2\pi$ , appelées **variables d'action-angle**, telles que la forme symplectique soit de la forme  $\omega = \sum_{i=1}^n dI_i \wedge d\varphi_i$ . Les  $\varphi_i$  sont des coordonnées sur  $\mathbb{T}^n$ . Les  $I_i$  sont des coordonnées dans la direction transverse à  $\mathbb{T}^n$ , ne dépendant que des  $f_i$ . On choisit pour le Hamiltonien  $H$  une des  $f_i$  par exemple  $f_1$ . Dans les coordonnées  $(I_i, \varphi_i)$ , les équations du mouvement sont de la forme :

$$\dot{I}_i = 0, \quad \dot{\varphi}_i = \{H, I_i\} = \omega_i(I_1, \dots, I_n) ;$$

- 3) un système intégrable peut être intégré par quadrature.

Un concept particulièrement performant dans l'analyse des systèmes intégrables est dû à Lax. Une **paire de Lax** est formée de deux fonctions  $L$  et  $M$  sur  $\mathcal{M}$  à valeurs dans une algèbre de Lie  $\mathfrak{g}$  telle que la dynamique du système se réduit à l'équation différentielle suivante

$$\frac{dL}{dt} = [L, M]$$

où le crochet  $[\cdot, \cdot]$  est le crochet de  $\mathfrak{g}$ . On montre facilement qu'un système intégrable au sens de Liouville possède toujours une paire de Lax. Notons que, même si elle existe, une paire de Lax n'est pas unique — l'algèbre  $\mathfrak{g}$  peut même changer.

Les puissances de  $L$  satisfont également l'équation différentielle précédente. Ainsi, si  $I$  est une fonction Ad-invariante sur  $\mathfrak{g}$ , les fonctions  $I(L^n)$  sont des intégrales du mouvement, *i.e.* sont en involution avec le Hamiltonien du système. Pour obtenir un système intégrable, on doit trouver suffisamment de fonctions indépendantes en involution. On commence par supposer que  $L$  dépend d'un **paramètre spectral**  $\lambda$ . Les quantités intéressantes sont alors les coefficients dans le développement en  $\lambda$  des  $\text{tr } L^n(\lambda)$ . On suppose que celles-ci sont indépendantes. Il faut en plus que les intégrales soient en involution, *i.e.*

$$\{\text{tr } L^n(\lambda), \text{tr } L^m(\mu)\} = 0.$$

La seule équation de Lax ne garantit pas cette propriété. Par contre, on montre [14] que la propriété d'involution des valeurs propres d'une matrice de Lax  $L$  est équivalente à l'existence d'une fonction sur l'espace des phases à valeurs dans  $\mathfrak{g} \otimes \mathfrak{g}$ , notée  $r$ , telle que

$$\{L_1(\lambda), L_2(\mu)\} = [r_{12}(\lambda, \mu), L_1(\lambda)] - [r_{21}(\lambda, \mu), L_2(\mu)].$$

On a utilisé les notations fixées p. 27. En plus,  $r_{12}(\lambda, \mu) = r_{ab}(\lambda, \mu) t^a \otimes t^b$  et  $r_{21}$  est obtenue en échangeant les espaces 1 et 2. Là encore la matrice  $r$  n'est pas unique. Ainsi, les  $H_n(\lambda) = \text{tr } L^n(\lambda)$  sont en involution. On obtient facilement que

$$\{H_n(\lambda), L(\mu)\} = [L(\mu), M_n(\lambda, \mu)]$$

où  $M_n(\lambda, \mu) = n \text{tr}_1 L(\lambda)_1^{n-1} r_{21}(\lambda, \mu)$ . Le cas le plus simple est celui pour lequel la matrice  $r$  est constante et vérifie l'**équation de Yang-Baxter classique** (EYBC) :

$$[r_{12}, r_{13}] + [r_{12}, r_{23}] + [r_{32}, r_{13}] = 0.$$

Il existe bien des généralisations de cette équation : EYBC modifiée, EYBC dynamique avec une matrice  $r$  dynamique, EYBQuantique avec une matrice  $R$  quantique, etc...

### §3. Systèmes de Hitchin

La construction de Hitchin commence par la réduction symplectique de  $T^*\mathcal{A}^{01}$  (de dimension infinie) par le groupe des transformations de jauge (de dimension infinie) pour obtenir un espace symplectique de dimension finie, l'espace cotangent à  $\mathcal{N}_g$ . On regarde l'espace cotangent  $T^*\mathcal{A}^{01}$  comme l'ensemble des paires  $(A^{01}, \varphi^{10})$ , où  $A^{01} \in \mathcal{A}^{01}$  et  $\varphi^{10}$  est une  $(1,0)$ -forme sur  $\Sigma$  à valeurs dans  $\mathfrak{g}^{\mathbb{C}}$ , appelée **champ de Higgs**. Il existe une 1-forme canonique  $\alpha$  sur  $T^*\mathcal{A}^{01}$  donnée par

$$\langle \delta A^{01}, \delta \varphi^{10} | \alpha \rangle = \int_{\Sigma} \text{tr} \varphi^{10} \wedge \delta A^{01}$$

où  $\delta A^{01}$  représente un vecteur tangent à  $\mathcal{A}^{01}$  en  $A^{01}$  et  $\delta \varphi^{10}$  est un vecteur tangent en  $\varphi^{10}$ . L'espace cotangent  $T^*\mathcal{A}^{01}$  muni de la 2-forme  $\Omega \equiv d\alpha$  est un espace symplectique de dimension infinie. Concrètement, on a

$$\langle \delta A_1^{01}, \delta \varphi_1^{10}, \delta A_2^{01}, \delta \varphi_2^{10} | \Omega \rangle = \int_{\Sigma} \text{tr} (\delta \varphi_1^{10} \wedge \delta A_2^{01} - \delta \varphi_2^{10} \wedge \delta A_1^{01}).$$

On peut relever l'action  $\Phi_h : A^{01} \mapsto {}^h A^{01}$  de  $\mathcal{G}^{\mathbb{C}}$  sur  $\mathcal{A}^{01}$  en une action hamiltonienne  $\Psi_h (= T^*\Phi_{h^{-1}})$  sur l'espace cotangent  $T^*\mathcal{A}^{01}$  par  $(A^{01}, \varphi^{10}) \mapsto ({}^h A^{01}, {}^h \varphi^{10})$  où  ${}^h \varphi^{10} = h \varphi^{10} h^{-1}$  (\*). Soit  $\lambda$  un élément de l'algèbre de Lie de  $\mathcal{G}^{\mathbb{C}}$ . Le générateur infinitésimal de l'action  $\Phi$  est  $\theta(\lambda)(A^{01}) = \bar{\partial}\lambda + A^{01}\lambda - \lambda A^{01}$ . Par conséquent, un moment  $\mu : T^*\mathcal{A}^{01} \rightarrow (\text{Lie } \mathcal{G}^{\mathbb{C}})^*$  est donné par

$$\langle \lambda, \mu(A^{01}, \varphi^{10}) \rangle = -\langle \theta(\lambda)(A^{01}), (A^{01}, \varphi^{10}) \rangle.$$

Ainsi, on a

$$\langle \lambda, \mu(A^{01}, \varphi^{10}) \rangle = - \int_{\Sigma} \text{tr} \varphi^{10} \wedge (\bar{\partial}\lambda + A^{01}\lambda - \lambda A^{01})$$

Après intégration par parties, on constate qu'un moment pour l'action de  $\mathcal{G}^{\mathbb{C}}$  sur  $T^*\mathcal{A}^{01}$  est

$$\mu(A^{01}, \varphi^{10}) = -[\bar{\partial}\varphi^{10} + A^{01} \wedge \varphi^{10} + \varphi^{10} \wedge A^{01}].$$

Cette dernière prend ses valeurs dans l'espace des 2-formes sur  $\Sigma$  à valeurs dans  $\mathfrak{g}^{\mathbb{C}}$ , *i.e.* dans le dual de l'algèbre de Lie de  $\mathcal{G}^{\mathbb{C}}$ . Par construction, le moment est équivariant vis à vis de  $\mathcal{G}^{\mathbb{C}}$ . Par réduction symplectique, la 2-forme  $\Omega$  descend en une forme symplectique  $\omega$  sur  $\mathcal{P} \equiv \mu^{-1}(0)/\mathcal{G}^{\mathbb{C}}$ . Comme un champ de Higgs tel que  $\mu(A^{01}, \varphi^{10}) = 0$  induit une forme linéaire sur  $\mathcal{A}^{01}$  nulle sur les vecteurs de  $\mathcal{A}^{01}$  tangents à l'orbite de  $\mathcal{G}^{\mathbb{C}}$ , on a  $\mathcal{P} \cong T^*\mathcal{N}$ . Pour obtenir un espace des phases lisse, on doit se restreindre à la strate stable de  $\mathcal{A}^{01}$ , opération toujours sous-entendue même si cela n'apparaît pas explicitement dans les notations.

On peut généraliser cette construction. Soient  $\xi$  une séquence de  $N$  points distincts sur  $\Sigma$  et  $(\mathcal{O}_{\ell})$  une séquence d'orbites coadjointes dans la sous-algèbre de Cartan  $\mathfrak{t}^{\mathbb{C}}$ . On pose

$$\mathcal{O} = \left\{ \sum_{\ell} \lambda_{\ell} \delta_{\xi_{\ell}} \mid \lambda_{\ell} \in \mathcal{O}_{\ell} \right\}$$

---

\* En effet, pour tout  $v = h \delta A^{01} h^{-1}$ , vecteur tangent à  $\mathcal{A}^{01}$  en  ${}^h A^{01}$ , on doit avoir  $\langle v, \Psi_h(A^{01}, \varphi^{10}) \rangle = \langle T\Phi_{h^{-1}}(v), (A^{01}, \varphi^{10}) \rangle$ . Ainsi, comme  $T\Phi_{h^{-1}}(\delta A^{01}) = h^{-1} \delta A^{01} h$ , on a  $\langle h \delta A^{01} h^{-1}, ({}^h A^{01}, {}^h \varphi^{10}) \rangle = \langle \delta A^{01}, (A^{01}, \varphi^{10}) \rangle$ . On trouve immédiatement  ${}^h \varphi^{10} = h \varphi^{10} h^{-1}$ .

où  $\delta_{\xi_\ell}$  est la mesure de Dirac en  $\xi_\ell$ . On peut réduire symplectiquement  $T^*\mathcal{A}^{01}$  suivant

$$\mathcal{P}_\sigma = \mu^{-1}(\{\mathcal{O}\})/\mathcal{G}^{\mathbb{C}} \cong \mu^{-1}\left(\sum_{\ell} \lambda_{\ell} \delta_{\xi_{\ell}}\right) / \mathcal{G}_{\xi, \lambda}^{\mathbb{C}}$$

où  $\mathcal{G}_{\xi, \lambda}^{\mathbb{C}}$  est le sous-groupe de  $\mathcal{G}^{\mathbb{C}}$  fixant  $\sum_{\ell} \lambda_{\ell} \delta_{\xi_{\ell}}$  dans l'action coadjointe de  $\mathcal{G}^{\mathbb{C}}$ . Il existe une généralisation des notions de stabilité et semi-stabilité à des paires de Higgs  $(A^{01}, \varphi^{10})$  (\*). En ne considérant que des paires de Higgs stables, on obtient un espace  $\mathcal{P}_\sigma$  lisse admettant une compactification (semi-stable). La forme  $\Omega$  descend sur la partie lisse de  $\mathcal{P}_\sigma$  pour donner une forme symplectique  $\omega$ .

Soit  $p$  un polynôme homogène sur  $\mathfrak{g}^{\mathbb{C}}$ ,  $G^{\mathbb{C}}$ -invariant, de degré  $d_p$ . Par exemple, pour  $G = \text{SU}_2$ , on a un seul choix  $p_2(X) = \text{tr } X^2$ . L'application  $T^*\mathcal{A}^{01} \rightarrow \Gamma(K^{d_p})$  qui envoie un point  $(A^{01}, \varphi^{10}) \in T^*\mathcal{A}^{01}$  en la différentielle  $p(\varphi^{10})$  de degré  $d_p$  sur  $\Sigma$ , est constante sur les  $\mathcal{G}^{\mathbb{C}}$ -orbites comme  $p$  est  $G^{\mathbb{C}}$ -invariant. Si  $\mu(A^{01}, \varphi^{10}) = 0$ , alors  $p(\varphi^{10})$  est holomorphe. On obtient ainsi une **application de Hitchin**

$$h_p : \mathcal{P} \rightarrow H^0(K^{d_p}).$$

Les composantes de  $h_p$  sont en involution sur  $\mathcal{P}$  — elles sont déjà en involution sur  $T^*\mathcal{A}^{01}$  puisqu'elles ne dépendent que de  $\varphi^{10}$ . En prenant un système complet de polynômes invariants, Hitchin a montré qu'on obtient un système complet de Hamiltoniens en involution sur  $\mathcal{P}$ , appelé **système de Hitchin** [88]. Pour les groupes matriciels, les valeurs des Hamiltoniens en un point de  $\mathcal{P}$  sont codées dans la **courbe spectrale**  $\mathcal{S}$ . La courbe spectrale est l'ensemble des  $\lambda \in K$  tels que

$$\det(\lambda - \varphi^{10}) = 0.$$

La courbe spectrale est un revêtement ramifié de  $\Sigma$ . Par exemple, pour  $G^{\mathbb{C}} = \text{GL}_r\mathbb{C}$ ,

$$\det(\lambda - \varphi^{10}) = \sum_{i=1}^r \lambda^{r-i} \text{tr } \Lambda^i \varphi^{10}$$

et  $\mathcal{S}$  est un revêtement ramifié à  $r$  feuillets de genre  $g(\mathcal{S}) = \dim \mathcal{N}_s (= r^2(g-1) + 1$  si  $g \geq 2$ ). Les espaces propres  $\ell_\lambda$  forment un fibré en droites holomorphe  $\ell$  au-dessus de  $\mathcal{S}$ . Le fibré  $\ell$  est un point dans une variété jacobienne de  $\mathcal{S}$  sur laquelle les Hamiltoniens induisent des flots linéaires. En clair, la courbe spectrale contient l'information qui permet de trouver les variables d'action et la variété jacobienne contient celle qui permet de trouver les variables d'angle. Pour les autres groupes  $G^{\mathbb{C}}$ , les tores de Liouville sont des sous-variétés des variétés jacobiniennes des courbes spectrales.

Avec des points d'insertion sur  $\Sigma$ , on obtient de même une application de Hitchin

$$h_p : \mathcal{P}_\sigma \mapsto H^0(K^{d_p}(d_p \sum_{\ell} \xi_{\ell}))$$

prenant ses valeurs dans l'espace des  $d_p$ -formes méromorphes avec éventuellement des pôles d'ordre  $\leq d_p$  en  $\xi_{\ell}$ . On obtient encore un système intégrable sur  $\mathcal{P}_\sigma$ .

---

\* La généralisation du système de Hitchin au cas avec points d'insertion est présentée dans [19, 37, 106, 119]. Géométriquement, une paire de Higgs tordue par  $L$ , fibré en droites de degré positif, est formée d'un fibré  $E$  et d'un homomorphisme  $\varphi : E \rightarrow E \otimes L$ . Un sous-fibré de Higgs est une paire de Higgs  $(F, \psi)$  telle que  $F$  est un sous-fibré  $\varphi$ -invariant de  $E$  et  $\psi$  est la restriction de  $\varphi$ . La paire  $(E, \varphi)$  est stable (resp. semi-stable) si pour tout sous-fibré de Higgs  $\mu(F) < \mu(E)$  (resp.  $\mu(F) \leq \mu(E)$ ). Il existe alors un espace des modules des fibrés de Higgs tordus par  $L$  lisse, en ne considérant que la partie stable, avec une compactification semi-stable.

## §4. Espace des modules des surfaces de Riemann

L'**espace des modules**  $\mathcal{M}_{g,N}$  est l'ensemble des classes d'isomorphismes d'objets  $(\Sigma, S)$  où  $\Sigma$  est une surface de Riemann (compacte, connexe) de genre  $g$  et  $S$  est une séquence ordonnée de  $N$  points  $\xi_1, \dots, \xi_N$  deux à deux distincts sur  $\Sigma$ .

Soit  $\pi_{g,N}$  le groupe libre engendré par les générateurs  $a_1, \dots, a_g, b_1, \dots, b_g, c_1, \dots, c_N$  et la relation

$$\left( \prod_{i=1}^g a_i b_i a_i^{-1} b_i^{-1} \right) c_1 \cdots c_N = 1.$$

Une surface de Riemann marquée de genre  $g$  est une classe d'équivalence de triplets  $(\Sigma, \alpha, S)$  où  $\alpha : \pi_{g,N} \rightarrow \pi_1(\Sigma \setminus S)$  est un isomorphisme tel que  $\alpha(c_i)$  est proprement homotope à un lacet orienté positivement autour de  $\xi_i$  et si  $N = 0$  tel que la forme d'intersection  $(\alpha(a_i), \alpha(b_i)) = +1$ . Deux triplets  $(\Sigma, \alpha, S)$  et  $(\Sigma', \alpha', S')$  sont équivalents s'il existe un isomorphisme  $\iota : \Sigma \rightarrow \Sigma'$  tel que  $\iota(\xi_i) = \xi'_i$  et  $\iota_* \alpha$  diffère de  $\alpha'$  par un automorphisme intérieur, où  $\iota_*$  est l'application induite par  $\iota$  sur les groupes fondamentaux. L'**espace de Teichmüller**  $\mathcal{T}_{g,N}$  est l'ensemble de toutes les surfaces de Riemann marquées de genre  $g$ .

Le **groupe modulaire**  $\Gamma_{g,N}$  est l'ensemble des automorphismes  $\sigma$  de  $\pi_{g,N}$  tels que  $\sigma(c_i)$  est conjugué à  $c_i$  et, si  $N = 0$ ,  $\sigma$  préserve l'orientation modulo les automorphismes intérieurs. Le groupe  $\Gamma_{g,N}$  est un sous-groupe discret des automorphismes de  $\mathcal{T}_{g,N}$  agissant sur  $\mathcal{T}_{g,N}$  via  $(\Sigma, \alpha, S) \mapsto (\Sigma, \alpha \circ \sigma, S)$ . L'espace des modules  $\mathcal{M}_{g,N}$  est alors le quotient de  $\mathcal{T}_{g,N}$  par le groupe modulaire et a pour dimension  $3g - 3 + N$  tant que  $2g - 2 + N > 0$ . Les cas exotiques sont  $(g, N) = (0, 0), (0, 1), (0, 2), (1, 0)$  :

— en genre zéro, les automorphismes de  $\mathbb{C}P^1$  sont les transformations de Möbius. On peut donc envoyer trois points sur  $0, 1, \infty$ . L'espace des modules est donc réduit à un point pour  $N \leq 3$ . Par contre,  $\mathcal{M}_{0,4} = \mathbb{C}P^1 \setminus \{0, 1, \infty\}$  et  $\mathcal{M}_{0,N} \cong (\mathbb{C}P^1 \setminus \{0, 1, \infty\})^{N-3} \setminus \{\text{diagonales}\}$ , si  $N \geq 5$  ;

— les rappels sur les courbes elliptiques montrent que  $\mathcal{M}_{1,0}$  est égal à  $\mathbb{H}/\text{PSL}_2\mathbb{Z}$ . L'application  $j$  établit un isomorphisme entre  $\mathcal{M}_{1,0}$  et le plan complexe  $\mathbb{C}$ . Il est facile de compactifier l'espace des modules. On utilise une compactification à la Alexandroff de  $\mathcal{M}_{1,0}$ , alors  $\overline{\mathcal{M}}_{1,0}$  est la sphère de Riemann. Trivialement,  $\mathcal{M}_{1,1} = \mathcal{M}_{1,0}$ .

Enfin, signalons que l'espace  $\mathcal{M}_{g,N}$  possède une compactification naturelle : l'**espace des modules des surfaces de Riemann stables**  $\overline{\mathcal{M}}_{g,N}$ , due à Knudsen-Deligne-Mumford. Cette présentation inspirée par celle de Mumford [112] n'est pas très adaptée à notre travail.

Soit  $\Sigma$  une variété bidimensionnelle (compacte, connexe, orientée, sans points marqués) de genre  $g$ . Soient  $\text{MET}$  l'ensemble des métriques Riemanniennes sur  $\Sigma$ ,  $\text{WEYL}$  le groupe des transformations de Weyl — c.-à-d. les application  $e^\sigma$  où  $\sigma \in \mathcal{C}^\infty(\Sigma, \mathbb{R})$  —  $\text{Diff}_+$  l'ensemble des difféomorphismes de  $\Sigma$  sur lui-même préservant l'orientation et  $\text{Diff}_{+,0}$  la composante connexe de l'identité dans  $\text{Diff}_+$  — c'est un sous-groupe normal de  $\text{Diff}_+$ . Soit  $\text{WEYL} \rtimes \text{Diff}_+$  le produit semi-direct où la loi de groupe est

$$(f, e^\sigma)(f', e^{\sigma'}) = (f \circ f', e^{\sigma'}(e^\sigma \circ f')).$$

Ce groupe agit sur  $\text{MET}$  par  $\gamma \mapsto e^\sigma(f^*\gamma)$ . Le groupe de Weyl agissant librement sur l'espace des métriques, l'espace quotient  $\text{CONF} = \text{MET}/\text{WEYL}$  n'a pas de points singuliers. D'après

le chapitre 2, c'est l'ensemble des classes conformes de métriques sur  $\Sigma$ , mais aussi l'ensemble COMPL des structures complexes sur  $\Sigma$ . Pour ce dernier, deux structures complexes  $\mathbb{J}$  et  $\mathbb{J}'$  sont équivalentes si, et seulement si, il existe un élément  $f$  de  $\text{Diff}_+$  tel que  $f : (\Sigma, \mathbb{J}') \rightarrow (\Sigma, \mathbb{J})$  soit un automorphisme pour les structures complexes sous-jacentes. On voit facilement que si  $\gamma$  et  $\gamma'$  sont des métriques compatibles avec respectivement  $\mathbb{J}$  et  $\mathbb{J}'$  alors  $f^*\gamma$  et  $\gamma'$  sont dans la même classe conforme. Clairement, les quotients  $\text{CONF}/\text{Diff}_+$  et  $\text{COMPL}/\text{Diff}_+$  sont identiques, c'est l'**espace des modules**

$$\mathcal{M}_\Sigma = \text{MET}/\text{WEYL} \rtimes \text{Diff}_+.$$

L'espace des modules n'est pas une variété complexe. On dit que  $\mathcal{M}_\Sigma$  est une «orbifold». En effet, l'existence d'isométries implique que l'action de  $\text{Diff}_+$  sur  $\text{MET}$  n'est pas libre. Sur  $\text{CONF}$  ou  $\text{COMPL}$ , c'est l'existence d'automorphismes conformes qui fait que l'action n'est pas libre — un automorphisme conforme est un difféomorphisme  $f$  de  $\Sigma$  tel que  $f^*\gamma$  et  $\gamma$  soient dans la même classe conforme. Par contre, l'**espace de Teichmüller**

$$\mathcal{T}_\Sigma = \text{MET}/\text{WEYL} \rtimes \text{Diff}_{+,0} \tag{5}$$

est une variété complexe dès que  $g \geq 2$ . Dans ce cas, il n'y a qu'un nombre fini d'automorphismes conformes ( $\leq 84(g-1)$ ) et aucun n'est dans  $\text{Diff}_{+,0}$ . Pour pallier le petit handicap sur le genre, on introduit l'espace GAUSS des métriques de courbure gaussienne constante :

$$\text{GAUSS} \equiv \begin{cases} \{\gamma \in \text{MET} \mid K_\gamma = +1\}, & \text{si } g = 0, \\ \{\gamma \in \text{MET} \mid K_\gamma = 0 \text{ et } \text{vol } \Sigma = 1\}, & \text{si } g = 1, \\ \{\gamma \in \text{MET} \mid K_\gamma = -1\}, & \text{si } g \geq 2. \end{cases}$$

En genre un, on introduit la condition supplémentaire car, la caractéristique d'Euler étant nulle, on ne dispose pas de normalisation sur le volume. L'espace des métriques MET est un WEYL-fibré principal au-dessus de l'espace contractile CONF. Ce fibré est donc trivial. Par exemple, une trivialisatoin associée à une classe conforme est une métrique de courbure gaussienne égale à 1 (resp. 0, resp. -1) en genre 0 (resp. 1, resp.  $\geq 2$ ). L'existence est assurée par le théorème d'uniformisation de Riemann. Par contre on a unicité uniquement en genre  $\geq 2$  et l'espace CONF se confond donc avec l'espace GAUSS. Pour obtenir une construction «agréable» en n'importe quel genre de l'espace de Teichmüller, on peut poser  $\mathcal{T}_\Sigma = \text{GAUSS}/\text{Diff}_{+,0}$ . En quotientant l'espace de Teichmüller par le **groupe modulaire de Teichmüller**  $\Gamma_\Sigma = \text{Diff}_+/\text{Diff}_{+,0}$ , on retombe sur l'espace des modules, i.e.  $\mathcal{M}_\Sigma = \mathcal{T}_\Sigma/\Gamma_\Sigma$ .

Pour décrire l'espace tangent à l'espace des modules  $\mathcal{M}_{g,0}$ , on utilise la représentation  $\text{COMPL}/\text{Diff}_{+,0}$ . Soit  $\mathbb{J}$  une structure presque complexe sur  $\Sigma$  et  $z$  un système de coordonnées complexes pour  $\mathbb{J}$ , c.-à-d.  $\mathbb{J} = -i\partial_z \otimes dz + i\partial_{\bar{z}} \otimes d\bar{z}$ . Faisons varier la structure complexe  $\mathbb{J} \mapsto \mathbb{J}' = \mathbb{J} + \delta\mathbb{J}$ , où  $\delta\mathbb{J} = \delta\nu_z^z \partial_z \otimes dz + \delta\nu_{\bar{z}}^{\bar{z}} \partial_{\bar{z}} \otimes d\bar{z} + \delta\mu_z^{\bar{z}} \partial_z \otimes d\bar{z} + \delta\mu_{\bar{z}}^z \partial_{\bar{z}} \otimes dz$ . On a utilisé le fait que  $\mathbb{J}$  est vraiment la complexification d'un automorphisme du fibré tangent réel. Comme  $\mathbb{J}^2 = -1$ , on a aussi  $\mathbb{J}\delta\mathbb{J} + \delta\mathbb{J}\mathbb{J} = 0$ , ce qui donne  $\delta\nu_z^z = 0$ . Notons  $\delta\mu = \delta\mu_z^{\bar{z}} \partial_z \otimes d\bar{z}$ , donc  $\mathbb{J}' = \mathbb{J} + \delta\mu + \overline{\delta\mu}$ . Si  $z' = z + \delta z$  est un système de coordonnées complexes pour  $\mathbb{J}'$ , i.e.  $\mathbb{J}' = -i\partial_{z'} \otimes dz' + i\partial_{\bar{z}'} \otimes d\bar{z}'$ , on obtient facilement :  $\delta\mu_z^{\bar{z}} = -2i\partial_{\bar{z}}(\delta z)$ . Il faut encore déterminer les variations provenant d'une reparamétrisation. L'algèbre de Lie de  $\text{Diff}_{+,0}$  est l'algèbre des champs de vecteurs sur  $\Sigma$ . Par conséquent, les variations dues à l'action de  $\text{Diff}_{+,0}$  sont les éléments de la forme  $\delta\mu = \bar{\partial}(\delta\nu)$ , où  $\delta\nu$  est un  $(1,0)$ -champ de vecteur  $\mathcal{C}^\infty$ . Si on utilise

le langage de la cohomologie de Dolbeaut, on a montré que  $T_{\mathbb{J}}\mathcal{M}_{g,0} \cong H_{\text{Dol}}^{0,1}(K^{-1}) \cong H^1(K^{-1})$ . Par dualité de Serre, l'espace cotangent est isomorphe à  $H^0(K^2)$ , *i.e.* les formes quadratiques holomorphes. D'après la formule de Riemann-Roch,

$$h^0(K^2) - h^1(K^2) = \deg K^2 + 1 - g.$$

Or,  $\deg K^2 = 4g - 4 > 2g - 2$  si  $g \geq 2$ , donc  $h^1(K^2) = 0$ . Par conséquent,  $\dim \mathcal{M}_{g,0} = 3g - 3$  en genre  $\geq 2$ .

Si on utilise  $\text{CONF}/\text{Diff}_{+,0}$ , on raisonne comme suit. On choisit une métrique  $\gamma$  et  $\mathbf{x} = (x, y)$  un système de coordonnées isothermes pour  $\gamma$ , *i.e.*  $\gamma = e^\sigma |dz|^2$  avec  $z = x + iy$ . Dans un autre système de coordonnées,  $\gamma + \delta\gamma = e^{\sigma+\delta\sigma} |dz + \delta\mu d\bar{z}|^2$ . Il suit immédiatement que  $\delta\mu = \delta\gamma_{\bar{z}\bar{z}}/2\gamma_{\bar{z}\bar{z}}$ . Un vecteur tangent à  $\text{CONF}$  est donc un élément de  $\Lambda^{0,1}(K^{-1})$ . Il faut encore déterminer les variations dues à l'action de  $\text{Diff}_{+,0}$ . La variation de la métrique due à l'action infinitésimale de  $\text{Diff}_{+,0}$  est  $\gamma + \delta\gamma = \gamma(\mathbf{x} + \delta\mathbf{x})_{\mu\nu} d(x + \delta x)^\mu d(y + \delta y)^\nu$ , d'où  $\delta\gamma = \nabla_\mu \delta v_\nu + \nabla_\nu \delta v_\mu$  avec  $\delta v_\mu = \gamma_{\mu\nu} \delta x^\nu$  et  $\nabla_\mu$  la connexion de Levi-Cevita de  $\gamma$ . On a juste montré que  $\delta\gamma = \mathcal{L}_{\delta v}\gamma$ , ce qui est immédiat quand on remarque que l'algèbre de Lie de  $\text{Diff}_{+,0}$  est l'algèbre des champs de vecteurs sur  $\Sigma$ . On isole le terme de trace non-nulle qui peut être absorbé par transformation de Weyl, ainsi  $\delta\gamma = \text{div}(\delta v)\gamma + P(\delta v)$ , où  $(PX)_{\mu\nu} = \nabla_\mu X_\nu + \nabla_\nu X_\mu - (\text{div } X)\gamma_{\mu\nu}$ . Ainsi,  $P$  envoie les champs de vecteurs sur les vecteurs tangents à l'orbite de  $\text{Diff}_{+,0}$  à  $\gamma$ . La variation de structure complexe correspondante est  $\delta\mu = (P\delta v)_{\bar{z}\bar{z}}/2\gamma_{\bar{z}\bar{z}} = \partial_{\bar{z}}\delta v^z$ , si  $\delta v = \delta v^z \partial_z + \delta v^{\bar{z}} \partial_{\bar{z}}$ . L'espace tangent à l'espace des modules est donc  $\Lambda^{0,1}(K^{-1})/\bar{\partial}\Gamma(K^{-1})$ , *c.-à-d.*  $H^1(K^{-1})$ . Au passage, on voit que le noyau de  $P$  est formé des champs de vecteurs qui engendrent les automorphismes conformes pour  $\gamma$ , appelés champs de Killing conformes. On voit facilement que  $\text{Ker } P = H^0(K^{-1})$ . En genre 0,  $h^0(K^{-1}) = 3$ , il y a donc 6 vecteurs de Killing conformes (réels), qui engendrent  $\text{SL}_2$ . En genre 1,  $h^0(K^{-1}) = 1$ . Si  $g \geq 2$ ,  $h^0(K^{-1}) = 0$ , il n'y a donc pas de champs de Killing conformes.

On conserve les hypothèses précédentes, mais on suppose en plus donnée une séquence  $S = \xi$  de  $N$  points sur la surface avec  $N > 0$ . Soit  $\text{Diff}_+^S$  le sous-groupe des difféomorphismes de  $\Sigma$  préservant l'orientation et laissant  $S$  invariante point par point. Soit  $\text{Diff}_{+,0}^S$  la composante connexe de l'identité dans  $\text{Diff}_{+,0}^S$ . Le groupe modulaire est  $\Gamma_\Sigma^S = \text{Diff}_+^S/\text{Diff}_{+,0}^S$ , l'espace des modules est le quotient  $\mathcal{M}_\Sigma^S = \text{CONF}/\text{Diff}_+^S$  et l'espace de Teichmüller est  $\mathcal{T}_\Sigma^S = \text{CONF}/\text{Diff}_{+,0}^S$ . On a toujours l'identification  $\mathcal{M}_\Sigma^S = \mathcal{T}_\Sigma^S/\Gamma_\Sigma^S$ . Les espaces tangents et cotangents à l'espace des modules sont

$$T\mathcal{M}_{g,N} = H^1(K^{-1}(-\sum_\ell \xi_\ell)), \quad T^*\mathcal{M}_{g,N} = H^0(K^2(\sum_\ell \xi_\ell)).$$

Le théorème de Riemann-Roch donne la dimension de  $\mathcal{M}_{g,N}$  pour  $2g - 2 + N > 0$  :  $\dim \mathcal{M}_{g,N} = 3g - 3 + N$ .

On utilise aussi un troisième espace des modules : l'espace des modules  $\mathcal{M}_{g,N}^*$  des surfaces de Riemann de genre  $g$ , étant donnés  $N$  points distincts  $\xi_1, \dots, \xi_N$  sur  $\Sigma$  et, en chacun de ces points, un 1-jet de paramètre holomorphe local, centré en  $\xi_\ell$ . On identifie  $\mathcal{M}_{g,N}^*$  avec l'espace des structures complexes sur  $\Sigma$  et des suites de  $N$  éléments du fibré cotangent  $T^*\Sigma$  se projetant sur  $\Sigma$  en des points différents, le tout modulo l'action des difféomorphismes préservant l'orientation. Si  $(z, \bar{z})$  sont les coordonnées pour un  $\mathbb{J}$ , un élément du fibré cotangent est  $(\xi_\ell, \alpha dz(\xi_\ell) + \bar{\alpha} d\bar{z}(\xi_\ell))$  et  $\alpha dz(\xi_\ell)$  est le 1-jet de paramètre local en  $\xi_\ell$ . Un vecteur tangent à  $\mathcal{M}_{g,N}^*$  est un élément  $\delta\mathbb{J}$  et  $N$  vecteurs  $Y_i$  tangents à  $T^*\Sigma$ , cette fois modulo les vecteurs

provenant de l'action des champs de vecteurs  $\delta v = \delta v^z \partial_z + \delta v^{\bar{z}} \partial_{\bar{z}}$  sur  $\Sigma$ . On a vu que, localement,  $\delta \mathbb{J} = \delta \mu + \overline{\delta \mu}$  avec  $\delta \mu_{\bar{z}}^z = -2i \partial_{\bar{z}}(\delta z)$ ,  $\delta z$  étant déterminé modulo les  $\delta v^z$  holomorphes. On peut choisir  $\delta \mu$  nulle au voisinage des  $\xi_\ell$ , puis utiliser la liberté holomorphe pour annuler les  $Y_i$ . L'action du groupe des difféomorphismes revient à supprimer les  $\delta \mu_{\bar{z}}^z$  de la forme  $\partial_{\bar{z}} \delta v^z$  où  $\delta v^z$  est un  $(1,0)$ -champ de vecteurs. On peut toujours choisir  $\delta v^z$  telle que  $\delta v^z / (z - z_\ell)^2$  soit lisse au voisinage de  $\xi_\ell$  et, ensuite, choisir  $\delta \mu$  telle que  $\delta \mu_{\bar{z}}^z / (z - z_\ell)^2$  soit lisse au voisinage de  $\xi_\ell$ . Finalement,

$$T \mathcal{M}_{g,N}^* = H_{\text{Dol}}^{0,1}(K^{-1}(-2 \sum_{\ell} \xi_\ell)) \cong H^1(K^{-1}(-2 \sum_{\ell} \xi_\ell)), \quad T^* \mathcal{M}_{g,N}^* = H^0(K^2(2 \sum_{\ell} \xi_\ell)).$$

En particulier, si  $g - 1 + N > 0$ , on trouve  $\dim \mathcal{M}_{g,N}^* = 3g - 3 + 2N$ .

## §5. Connexion de KZB

À partir de l'espace des états de Chern-Simons  $\mathcal{W}(\Sigma, \underline{\xi}, \underline{R})$  on construit un fibré vectoriel  $\mathfrak{W}_{g,\underline{R}}$  au-dessus de l'espace des modules  $\mathcal{M}_{g,N}$  des surfaces de Riemann de genre  $g$  marquées par  $N$  points. Ici, il s'agit d'analyser le comportement d'un état de Chern-Simons quand on fait varier la structure complexe de  $\Sigma$  ainsi que les points. Formellement, la fibre au-dessus du point  $(\mathbb{J}, \underline{\xi}) \in \mathcal{M}_{g,N}$  est l'espace  $\mathcal{W}(\Sigma, \underline{\xi}, \underline{R})$ , *i.e.*

$$\mathfrak{W}_{g,\underline{R}} \Big|_{\mathbb{J}, \underline{\xi}} = \mathcal{W}(\Sigma, \underline{\xi}, \underline{R}).$$

Une section de  $\mathfrak{W}_{g,\underline{R}}$  est une application

$$\Psi : \mathcal{M}_{g,N} \ni (\mathbb{J}, \underline{\xi}) \rightarrow \Psi(\mathbb{J}, \underline{\xi}, \cdot) \in \mathcal{W}(\Sigma, \underline{\xi}, \underline{R}).$$

Un état de Chern-Simons sera donc une fonctionnelle  $\Psi(\mathbb{J}, \underline{\xi}, \cdot)$  holomorphe de  $A^{01}$ , vérifiant l'identité de Ward (chirale) :

$$\frac{\delta}{\delta A^{10}} \Psi = 0 \quad \text{et} \quad \Psi(\mathbb{J}, \underline{\xi}, A^{01}) = e^{-k S(h, A^{01})} \otimes_{\ell} h(\xi_\ell)_{R_\ell} \Psi(\mathbb{J}, \underline{\xi}, h^{-1} A^{01}). \quad (6)$$

Jusqu'à maintenant, on a écrit  $\Psi$  comme une fonctionnelle de  $A^{01}$ . Dans la plupart des cas, on garde cette notation. Néanmoins, le fait même de considérer  $A^{01}$  sous-entend qu'on utilise la structure complexe. Quand on fait varier  $\mathbb{J}$ , on doit impérativement rétablir la dépendance en  $A = A^{10} + A^{01}$  où  $A^{10} = -(A^{01})^\dagger$ .

Dans la section suivante, on construit une structure holomorphe sur  $\mathfrak{W}_{g,\underline{R}}$ , *i.e.* un opérateur  $\overline{\partial}$  comme défini au chapitre 3. D'autre part, le produit scalaire de Bargman sur  $\mathcal{W}(\Sigma, \underline{\xi}, \underline{R})$  induit une structure hermitienne naturelle sur  $\mathfrak{W}_{g,\underline{R}}$ . Le fibré  $\mathfrak{W}_{g,\underline{R}}$  devient (formellement) un fibré vectoriel holomorphe hermitien.

Si  $E$  est un fibré vectoriel holomorphe, donc déjà muni d'une structure holomorphe, on dit qu'une connexion est **compatible avec une structure holomorphe**  $\overline{\partial}$  si  $\nabla^{01} = \overline{\partial}$ . Une **structure hermitienne** sur  $E$  est la donnée d'un produit hermitien  $(\cdot, \cdot)_x$  sur toute fibre  $E_x$  de  $E$ , tel que pour tout ouvert  $U$  de  $X$  et pour toutes sections  $\xi, \eta$  de  $E$  au-dessus de  $U$ , l'application  $U \ni x \mapsto (\xi(x), \eta(x))_x \in \mathbb{C}$  est  $\mathcal{C}^\infty$ . Tout fibré vectoriel admet une structure

hermitienne. On dit qu'une connexion est *compatible avec une structure hermitienne* sur  $E$  si  $d(\xi, \eta) = (\nabla\xi, \eta) + (\xi, \nabla\eta)$ ,  $\forall \xi, \eta \in \Gamma(E)$ .

Soit  $E$  un fibré vectoriel holomorphe hermitien. Il existe une unique connexion  $\nabla$  sur  $E$  compatible avec les structures hermitienne et holomorphe, appelée *connexion métrique*. La courbure de la connexion métrique est une  $(1, 1)$ -forme à valeurs dans  $\text{End } E$ .

La *connexion de Knizhnik-Zamolodchikov-Bernard*, notée  $\nabla$ , est la connexion métrique sur  $\mathfrak{W}_{g, \underline{R}}$ . Ainsi, la connexion de KZB est l'unique connexion compatible avec la structure complexe :

$$\nabla_{\bar{\delta}\mu} = \partial_{\bar{\delta}\mu}, \quad \nabla_{\bar{z}_\ell} = \partial_{\bar{z}_\ell} \quad (7)$$

et avec la structure hermitienne :  $\partial(\Psi', \Psi) = (\bar{\partial}\Psi', \Psi) + (\Psi', \nabla^{10}\Psi)$  si  $\Psi$  et  $\Psi'$  appartiennent à  $\Gamma(\mathfrak{W}_{g, \underline{R}})$  (on dira aussi que la connexion de KZB est *unitaire*). Cette dernière condition va nous permettre d'extraire  $\nabla_{z_\ell}$  et  $\nabla_{\delta\mu}$ . La façon dont on dérive la connexion est parallèle à la démarche de Axelrod, Della Pietra et Witten [12]. La différence majeure réside dans l'utilisation de la géométrie complexe, comme cela a été proposé dans [61]. On construit la connexion de KZB par des manipulations sur les intégrales fonctionnelles. Ensuite, on utilise une découpe de l'espace des modules  $s : \mathcal{N} \mapsto \mathcal{A}^{01}$ . Ainsi, si on connaît une découpe explicite, on devrait être en mesure de décrire complètement la connexion de KZB. On fera cela explicitement en genres zéro et un. On utilise le produit scalaire des états de Chern-Simons dont, en général, on ne peut pas démontrer la convergence. Néanmoins, notre construction conduit à des expressions ne posant quant à elles aucun problème de convergence. Une fois qu'on a obtenu le produit scalaire des états de Chern-Simons et la connexion de KZB, la question la plus importante est : **la connexion de KZB est-elle unitaire pour une structure hermitienne sur  $\mathfrak{W}_{g, \underline{R}}$  ?** Notre construction est bien basée sur l'unitarité de la connexion mais uniquement au niveau formel. Si on admet que le produit scalaire converge pour les états de Chern-Simons, la réponse est oui : en genre un pour  $G = \text{SU}_2$  avec un point d'insertion [42] — dans ce cas on montre aussi que le produit scalaire converge — et pour la situation générale [43]. La condition d'unitarité de la connexion révèle d'intéressantes relations avec l'*Ansatz de Bethe* [15, 16, 42, 43, 44, 130].

La connexion en question apparut pour la première fois dans un article de Knizhnik et Zamolodchikov [99] pour le genre zéro (cf. section 2.4.8), puis elle fut obtenue en genre supérieur par Bernard [22, 23]. Comme pour l'espace des états de Chern-Simons, il existe d'autres constructions de la connexion de KZB [47, 89]. En genre un, notre connaissance de la connexion de KZB a été considérablement améliorée par les travaux [38, 41, 50, 51]. En genre 2, van Geemen et de Jong ont trouvé une formule explicite pour la connexion [72]. Leur approche est un peu différente puisqu'ils étudient la connexion de Hitchin [89]. Cette dernière devrait, au moins pour ce qui nous intéresse, coïncider avec la connexion de KZB. Hitchin considère un fibré vectoriel au-dessus de l'espace de Teichmüller dont les fibres sont les sections globales d'une puissance du fibré déterminant au-dessus de  $\mathcal{N}_s$ . La connexion de Hitchin est une connexion projectivement plate sur ce fibré vectoriel. En genre  $\geq 2$ , il n'existe pas de description complète de la connexion de KZB. D'autres versions de la connexion de KZB existent comme la « connexion » déformée  $q\text{KZB}$  [46].



### 5.1. Structure holomorphe sur $\mathfrak{W}_{g,\underline{R}}$

Pour simplifier, on sous-entend la dépendance en  $\mathbb{J}$  et  $\underline{\xi}$  de  $\Psi$ . Commençons par rappeler quelques propriétés élémentaires de la dérivation fonctionnelle. Par définition,

$$\begin{aligned} \delta\Psi(A) &= \int_{\Sigma} \text{tr} \frac{\delta\Psi}{\delta A} \wedge \delta A = \int_{\Sigma} \text{tr} \frac{\delta\Psi}{\delta A^{01}} \wedge \delta A^{01} + \int_{\Sigma} \text{tr} \frac{\delta\Psi}{\delta A^{10}} \wedge \delta A^{10} \\ &= \int_{\Sigma} \frac{\delta\Psi}{\delta A_z^a} \delta A_z^a d^2 z + \int_{\Sigma} \frac{\delta\Psi}{\delta A_{\bar{z}}^a} \delta A_{\bar{z}}^a d^2 z. \end{aligned}$$

Les identités

$$\begin{aligned} \frac{\delta\Psi}{\delta A^{10}} &= \left( \frac{\delta\Psi}{\delta A} \right)^{01} = -i \frac{\delta\Psi}{\delta A_z} d\bar{z} = -i \frac{\delta\Psi}{\delta A_z^a} t^a d\bar{z}, \\ \frac{\delta\Psi}{\delta A^{01}} &= \left( \frac{\delta\Psi}{\delta A} \right)^{10} = i \frac{\delta\Psi}{\delta A_{\bar{z}}} dz = i \frac{\delta\Psi}{\delta A_{\bar{z}}^a} t^a dz \end{aligned}$$

clarifient le passage entre ces trois définitions. On utilise  $d_{\delta\mu}$  (resp.  $d_{\overline{\delta\mu}}$ ) pour la dérivée holomorphe (resp. anti-holomorphe) dans la direction  $\mathbb{J}$  à  $\underline{\xi}$  et  $A$  fixés, et  $\partial_{z_\ell}$  (resp.  $\partial_{\bar{z}_\ell}$ ) pour la dérivée holomorphe (resp. anti-holomorphe) dans la direction  $\xi_\ell$ . Comme la décomposition  $A = A^{10} + A^{01}$  dépend du choix d'une structure complexe, la dérivée fonctionnelle par rapport à  $A^{10}$  ne commute pas avec les dérivées dans la direction  $\mathbb{J}$ . Effectivement, on a

$$\left[ d_{\delta\mu}, \frac{\delta}{\delta A^{10}} \right] \Psi = -\frac{i}{2} \frac{\delta\Psi}{\delta A^{01}} \delta\mu, \quad (8.a)$$

$$\left[ d_{\overline{\delta\mu}}, \frac{\delta}{\delta A^{10}} \right] \Psi = -\frac{i}{2} \frac{\delta\Psi}{\delta A^{10}} \overline{\delta\mu}. \quad (8.b)$$

Montrons par exemple la première de ces deux égalités :

$$\begin{aligned} \left[ d_{\delta\mu}, \frac{\delta}{\delta A^{10}} \right] \Psi &= \left[ d_{\delta\mu}, \frac{\delta}{\delta A} \frac{1-i\mathbb{J}}{2} \right] \Psi = d_{\delta\mu} \left( \frac{\delta\Psi}{\delta A} \frac{1-i\mathbb{J}}{2} \right) - \frac{\delta}{\delta A} (d_{\delta\mu} \Psi) \frac{1-i\mathbb{J}}{2} \\ &= \frac{\delta\Psi}{\delta A} \left( -\frac{i}{2} \delta\mu \right) = -\frac{i}{2} \frac{\delta\Psi}{\delta A^{01}} \delta\mu. \end{aligned}$$

Se donner une structure holomorphe sur  $\mathfrak{W}_{g,\underline{R}}$  revient à définir un opérateur  $\overline{\partial} : \Gamma(\mathfrak{W}_{g,\underline{R}}) \rightarrow \Lambda^{01}(\mathfrak{W}_{g,\underline{R}})$ . Soit  $\Psi \in \Gamma(\mathfrak{W}_{g,\underline{R}})$ , on pose

$$\begin{aligned} \partial_{\overline{\delta\mu}} \Psi &= d_{\overline{\delta\mu}} \Psi + \frac{k}{8\pi} \int_{\Sigma} \text{tr} A^{01} \wedge (A^{01} \overline{\delta\mu}) \Psi, \\ \partial_{\bar{z}_\ell} \Psi &= \partial_{\bar{z}_\ell} \Psi + (A_{\bar{z}_\ell})_\ell \Psi \end{aligned}$$

où  $(A_{\bar{z}_\ell})_\ell \equiv A_{\bar{z}_\ell}^a(\xi_\ell) t_\ell^a$  agit sur le  $\ell$ -ième facteur de  $V_{\underline{\lambda}}$ . Pour que cette définition ait un sens, il faut que l'opérateur  $\overline{\partial}$  envoie une section de  $\mathfrak{W}_{g,\underline{R}}$  en une forme de  $\Lambda^{01}(\mathfrak{W}_{g,\underline{R}})$ . Soit  $\Psi \in \Gamma(\mathfrak{W}_{g,\underline{R}})$ . Commençons par nous occuper de  $\partial_{\overline{\delta\mu}} \Psi$ . La dépendance en  $A^{10}$  est vite réglée puisque

$$\begin{aligned} \frac{\delta}{\delta A^{10}} (\partial_{\overline{\delta\mu}} \Psi) &= - \left[ d_{\overline{\delta\mu}}, \frac{\delta}{\delta A^{10}} \right] \Psi + d_{\overline{\delta\mu}} \left( \frac{\delta\Psi}{\delta A^{10}} \right) + \frac{\delta}{\delta A^{10}} \left( \frac{k}{8\pi} \int_{\Sigma} \text{tr} A^{01} \wedge (A^{01} \overline{\delta\mu}) \right) \\ &= \frac{i}{2} \frac{\delta\Psi}{\delta A^{10}} \overline{\delta\mu} = 0. \end{aligned}$$

Si on utilise l'équation définissant  $\bar{\partial}$  et l'identité de Ward pour l'état  $\Psi$ ,

$$\partial_{\bar{\delta}\mu} \Psi(A^{01}) = \left( d_{\bar{\delta}\mu} + \frac{k}{8\pi} \int_{\Sigma} \text{tr} A^{01} \wedge (A^{01} \bar{\delta}\mu) \right) \left( e^{-kS(h,A^{01})} \otimes_{\ell} h(\xi_{\ell})_{R_{\ell}} \Psi(h^{-1}A^{01}) \right).$$

Sans entrer dans les détails, disons qu'on a besoin de deux ingrédients pour mener à bien les calculs. La dérivée de l'action par rapport à  $\bar{\delta}\mu$  est

$$\begin{aligned} d_{\bar{\delta}\mu} (kS(h,A^{01})) &= d_{\bar{\delta}\mu} \left( -\frac{ik}{4\pi} \int_{\Sigma} \text{tr} (h^{-1}dh) \frac{1+i\mathbb{J}}{2} \wedge (h^{-1}dh) \frac{1-i\mathbb{J}}{2} \right. \\ &\quad \left. + \frac{ik}{2\pi} \int_{\Sigma} \text{tr} (h dh^{-1}) \frac{1+i\mathbb{J}}{2} \wedge A \frac{1-i\mathbb{J}}{2} \right) \\ &= \frac{k}{8\pi} \int_{\Sigma} \text{tr} (h^{-1}\bar{\partial}h) \bar{\delta}\mu \wedge h^{-1}\bar{\partial}h - \frac{k}{4\pi} \int_{\Sigma} \text{tr} (h\bar{\partial}h^{-1}) \bar{\delta}\mu \wedge A^{01}. \end{aligned}$$

Afin de calculer les dérivées par rapport à la structure complexe de  $\Psi(h^{-1}A^{01})$ , on doit rétablir la dépendance en  $A = A^{10} + A^{01}$ . Ainsi,

$$\Psi(h^{-1}A^{01}) = \Psi(h^{\dagger}A^{10} + h^{-1}A^{01}) = \Psi\left(h^{\dagger}A \frac{1+i\mathbb{J}}{2} + h^{-1}A \frac{1-i\mathbb{J}}{2}\right)$$

et

$$d_{\bar{\delta}\mu} \Psi(h^{-1}A^{01}) = (d_{\bar{\delta}\mu} \Psi)(h^{-1}A^{01}) + \int_{\Sigma} \text{tr} \frac{\delta\Psi}{\delta A^{10}} \wedge (h^{\dagger}A \frac{i}{2} \bar{\delta}\mu) + \int_{\Sigma} \text{tr} \frac{\delta\Psi}{\delta A^{01}} \wedge (h^{-1}A \frac{-i}{2} \bar{\delta}\mu).$$

Les deux intégrales sont nulles donc  $d_{\bar{\delta}\mu} \Psi(h^{-1}A^{01}) = (d_{\bar{\delta}\mu} \Psi)(h^{-1}A^{01})$ . Si on regroupe tous ces résultats, on trouve l'identité de Ward pour  $\partial_{\bar{\delta}\mu} \Psi$  :

$$(\partial_{\bar{\delta}\mu} \Psi)(A^{01}) = e^{-kS(h,A^{01})} \otimes_{\ell} h(\xi_{\ell})_{R_{\ell}} (\partial_{\bar{\delta}\mu} \Psi)(h^{-1}A^{01}).$$

L'holomorphie de  $\partial_{\bar{z}_{\ell}} \Psi$  est immédiate. Pour obtenir l'identité de Ward, on raisonne exactement comme avec  $\partial_{\bar{\delta}\mu} \Psi$  :

$$\begin{aligned} \partial_{\bar{z}_{\ell}} \Psi(A^{01}) &= e^{-kS(h,A^{01})} \left( \otimes_{\ell' < \ell} h(\xi_{\ell'})_{R_{\ell'}} \right) \otimes h(\xi_{\ell})_{R_{\ell}} (h^{-1}\partial_{\bar{z}_{\ell}} h)(\xi_{\ell})_{\ell} \otimes \left( \otimes_{\ell' > \ell} h(\xi_{\ell'})_{R_{\ell'}} \right) \Psi(h^{-1}A^{01}) \\ &\quad + e^{-kS(h,A^{01})} \otimes_{\ell'} h(\xi_{\ell'})_{R_{\ell'}} (\partial_{\bar{z}_{\ell}} \Psi)(h^{-1}A^{01}) + e^{-kS(h,A^{01})} (A_{\bar{z}_{\ell}})_{\ell} \otimes_{\ell'} h(\xi_{\ell'})_{R_{\ell'}} \Psi(h^{-1}A^{01}) \\ &= e^{-kS(h,A^{01})} \otimes_{\ell'} h(\xi_{\ell'})_{R_{\ell'}} (\partial_{\bar{z}_{\ell}} \Psi)(h^{-1}A^{01}). \end{aligned}$$

En résumé, les composantes  $\nabla_{\bar{\delta}\mu}$  et  $\nabla_{\bar{z}_{\ell}}$  de la connexion de KZB sont

$$\nabla_{\bar{\delta}\mu} = d_{\bar{\delta}\mu} + \frac{k}{8\pi} \int_{\Sigma} \text{tr} A^{01} \wedge (A^{01} \bar{\delta}\mu), \quad (9.a)$$

$$\nabla_{\bar{z}_{\ell}} = \partial_{\bar{z}_{\ell}} + (A_{\bar{z}_{\ell}})_{\ell}. \quad (9.b)$$

## 5.2. Unitarité. Calcul formel de $\nabla$

Encore une fois, rappelons que les calculs sont effectués sur un plan formel. En particulier, on ne prête pas attention aux problèmes de convergence. Pour trouver  $\nabla_{\delta\mu}$ , on utilise l'unitarité de la connexion :  $(\Psi', \nabla_{\delta\mu} \Psi) = d_{\delta\mu}(\Psi', \Psi) - (\nabla_{\overline{\delta\mu}} \Psi', \Psi)$ . Le principe est simple. On transforme le côté droit de l'égalité afin d'obtenir le produit scalaire de  $\Psi'$  avec un état de Chern-Simons. Par dérivation sous le signe intégral du premier terme, on a

$$\begin{aligned} d_{\delta\mu} \int \langle \Psi'(A), \Psi(A) \rangle e^{\frac{ik}{2\pi} \int \text{tr } A^{10} \wedge A^{01}} DA \\ = \int \left( \langle (d_{\overline{\delta\mu}} \Psi')(A), \Psi(A) \rangle + \langle \Psi'(A), (d_{\delta\mu} \Psi)(A) \rangle \right) \\ + \frac{k}{4\pi} \int_{\Sigma} \text{tr } A^{10} \wedge (A^{10} \delta\mu) \langle \Psi'(A), \Psi(A) \rangle e^{\frac{ik}{2\pi} \int \text{tr } A^{10} \wedge A^{01}} DA. \end{aligned}$$

Si on utilise ce résultat et l'équation (9.a), on obtient

$$\begin{aligned} (\Psi', \nabla_{\delta\mu} \Psi) &= \int \left( \langle \Psi'(A), (d_{\delta\mu} \Psi)(A) \rangle \right. \\ &\quad \left. + \frac{k}{8\pi} \int_{\Sigma} \text{tr } A^{10} \wedge (A^{10} \delta\mu) \langle \Psi'(A), \Psi(A) \rangle \right) e^{\frac{ik}{2\pi} \int \text{tr } A^{10} \wedge A^{01}} DA. \end{aligned}$$

Ensuite, on intègre par parties (en  $A$ ) le second terme. Pour cela, il suffit de remarquer que

$$\left( \int_{\Sigma} \text{tr } A^{10} \wedge (A^{10} \delta\mu) \right) e^{\frac{ik}{2\pi} \int \text{tr } A^{10} \wedge A^{01}} = -\frac{4\pi i}{k} \int_{\Sigma} \text{tr } A_z \frac{\delta}{\delta A_{\overline{z}}} \left( e^{\frac{ik}{2\pi} \int \text{tr } A^{10} \wedge A^{01}} \right) \delta\mu_{\overline{z}} d^2 z.$$

Ici, il est techniquement plus aisé de travailler en coordonnées :

$$(\Psi', \nabla_{\delta\mu} \Psi) = \int \langle \Psi'(A), \left( d_{\delta\mu} + \frac{i}{2} \int_{\Sigma} \text{tr } A_z \frac{\delta}{\delta A_{\overline{z}}} \delta\mu_{\overline{z}} d^2 z \right) \Psi(A) \rangle e^{\frac{ik}{2\pi} \int \text{tr } A^{10} \wedge A^{01}} DA.$$

On ne peut pas conclure car  $(d_{\delta\mu} + \frac{i}{2} \int \text{tr } A_z \frac{\delta}{\delta A_{\overline{z}}} \delta\mu_{\overline{z}} d^2 z) \Psi$  n'est pas un état de Chern-Simons. Par exemple, il n'y a pas holomorphicité. On ne s'est pas trompé de méthode, on s'est juste arrêté trop tôt. D'après l'équation (8.a), c'est plutôt  $(d_{\delta\mu} + i \int \text{tr } A_z \frac{\delta}{\delta A_{\overline{z}}} \delta\mu_{\overline{z}} d^2 z) \Psi$  qui est holomorphe. On laisse momentanément ce terme de côté et on intègre par parties une seconde fois le terme résiduel :

$$\begin{aligned} (\Psi', \nabla_{\delta\mu} \Psi) &= \int \langle \Psi'(A), \left( d_{\delta\mu} + i \int_{\Sigma} \text{tr } A_z \frac{\delta}{\delta A_{\overline{z}}} \delta\mu_{\overline{z}} d^2 z \right. \right. \\ &\quad \left. \left. + \frac{i\pi}{k} \int_{\Sigma} \text{tr } \frac{\delta}{\delta A_{\overline{z}}} \frac{\delta}{\delta A_{\overline{z}}} \delta\mu_{\overline{z}} d^2 z \right) \Psi(A) \right\rangle e^{\frac{ik}{2\pi} \int \text{tr } A^{10} \wedge A^{01}} DA. \end{aligned}$$

On obtient donc une expression (formelle) pour la composante  $\nabla_{\delta\mu}$  de la connexion,

$$\nabla_{\delta\mu} \Psi = \left( d_{\delta\mu} + i \int_{\Sigma} \text{tr } A_z \frac{\delta}{\delta A_{\overline{z}}} \delta\mu_{\overline{z}} d^2 z + \frac{i\pi}{k} \int_{\Sigma} \text{tr } \frac{\delta}{\delta A_{\overline{z}}} \frac{\delta}{\delta A_{\overline{z}}} \delta\mu_{\overline{z}} d^2 z \right) \Psi.$$

Le résultat fait intervenir le Laplacien sur l'espace des champs de jauge, par essence singulier. Pour que la démonstration soit tout à fait complète, on doit montrer que le côté gauche est

bien un état de Chern-Simons — c'est l'objet de la fin de cette section. Parfois, il est plus pratique d'utiliser la connexion sous la forme suivante

$$\nabla_{\delta\mu}\Psi = \left( d_{\delta\mu} + \frac{i}{2} \int_{\Sigma} \text{tr} A^{10} \wedge \left( \frac{\delta}{\delta A^{01}} \delta\mu \right) + \frac{\pi}{2k} \int_{\Sigma} \text{tr} \frac{\delta}{\delta A^{01}} \wedge \left( \frac{\delta}{\delta A^{01}} \delta\mu \right) \right) \Psi. \quad (10)$$

Pour calculer  $\nabla_{z_\ell}$ , on procède de la même façon. Suivant l'unitarité de la connexion, on a  $(\Psi', \nabla_{z_\ell} \Psi) = \partial_{z_\ell} (\Psi', \Psi) - (\nabla_{z_\ell} \Psi', \Psi)$ . Le calcul est nettement plus simple. Il repose sur l'équation (9.b) et  $\langle (A_{z_\ell})_\ell \Psi'(A), \Psi(A) \rangle = -\langle \Psi'(A), (A_{z_\ell})_\ell \Psi(A) \rangle$ . On obtient

$$(\Psi', \nabla_{z_\ell} \Psi) = \int \langle \Psi'(A), (\partial_{z_\ell} + (A_{z_\ell})_\ell) \Psi(A) \rangle e^{\frac{ik}{2\pi} \int \text{tr} A^{10} \wedge A^{01}} DA.$$

Comme précédemment, on intègre par parties. À la fin, on trouve

$$\nabla_{z_\ell} \Psi = \left( \partial_{z_\ell} - \frac{2\pi}{k} t_\ell^a \frac{\delta}{\delta A_{z_\ell}^a} \right) \Psi.$$

Cette composante de la connexion est également singulière. On expliquera dans la prochaine section comment traiter les termes divergents.

Montrons la propriété laissée en suspens : si  $\Psi \in \Gamma(\mathfrak{W}_{g,\underline{R}})$  alors aussi  $\nabla_{\delta\mu}\Psi, \nabla_{z_\ell}\Psi \in \Gamma(\mathfrak{W}_{g,\underline{R}})$ . L'holomorphie ne pose aucun problème. L'obtention des identités de Ward pour  $\nabla_{\delta\mu}\Psi$  est relativement longue, mais elle suit le même chemin que pour  $\nabla_{\delta\mu}\Psi$ . En conséquence, on ne donne que les points saillants de la preuve. Pour commencer,

$$\begin{aligned} \nabla_{\delta\mu}\Psi(A^{01}) &= \left( d_{\delta\mu} + \frac{i}{2} \int_{\Sigma} \text{tr} A^{10} \wedge \left( \frac{\delta}{\delta A^{01}} \delta\mu \right) + \frac{\pi}{2k} \int_{\Sigma} \text{tr} \frac{\delta}{\delta A^{01}} \wedge \left( \frac{\delta}{\delta A^{01}} \delta\mu \right) \right) \\ &\quad \left( e^{-kS(h,A^{01})} \otimes_{\ell} h(\xi_\ell)_{R_\ell} \Psi(h^{-1}A^{01}) \right). \end{aligned}$$

Faisant agir  $\nabla_{\delta\mu}$  sur  $e^{-kS(h,A^{01})} \otimes_{\ell} h(\xi_\ell)_{R_\ell}$ , on arrive à

$$\begin{aligned} \nabla_{\delta\mu}\Psi(A^{01}) &= e^{-kS(h,A^{01})} \otimes_{\ell} h(\xi_\ell)_{R_\ell} \left\{ d_{\delta\mu} + \frac{i}{2} \int_{\Sigma} \text{tr} (A^{10} - h\partial h^{-1}) \wedge \left( \frac{\delta}{\delta A^{01}} \delta\mu \right) \right. \\ &\quad \left. + \frac{\pi}{2k} \int_{\Sigma} \text{tr} \frac{\delta}{\delta A^{01}} \wedge \left( \frac{\delta}{\delta A^{01}} \delta\mu \right) \right\} \Psi(h^{-1}A^{01}). \end{aligned}$$

Si on revient à la définition de la dérivée fonctionnelle, on montre facilement que

$$\frac{\delta}{\delta A^{01}} \Psi(h^{-1}A^{01}) = h \frac{\delta\Psi}{\delta A^{01}}(h^{-1}A^{01}) h^{-1}.$$

On vérifie alors que

$$\frac{i}{2} \int_{\Sigma} \text{tr} (A^{10} - h\partial h^{-1}) \wedge \left( \frac{\delta}{\delta A^{01}} \delta\mu \right) \Psi(h^{-1}A^{01}) = \frac{i}{2} \int_{\Sigma} \text{tr} h^\dagger A^{10} \wedge \left( \frac{\delta\Psi}{\delta A^{01}} \delta\mu \right).$$

Pour obtenir la dérivée par rapport à  $\delta\mu$ , on rétablit la dépendance complète en  $A$  et

$$d_{\delta\mu}\Psi(h^\dagger A^{10} + h^{-1}A^{01}) = (d_{\delta\mu}\Psi)(h^{-1}A^{01}) + \frac{i}{2} \int_{\Sigma} \text{tr} (h^{-1}A^{01} - h^\dagger A^{10}) \wedge \left( \frac{\delta\Psi}{\delta A^{01}} \delta\mu \right).$$

À la fin, les termes se compensent bien pour donner l'identité de Ward :

$$(\nabla_{\delta\mu}\Psi)(A^{01}) = e^{-kS(h,A^{01})} \otimes_{\ell} h(\xi_\ell)_{R_\ell} (\nabla_{\delta\mu}\Psi)(h^{-1}A^{01}).$$

Il va sans dire qu'on doit procéder de même avec  $\nabla_{z_\ell}\Psi$ .

### 5.3. Régularisation

Nous venons de construire la connexion de KZB par des manipulations fonctionnelles. Comme nous avons oublié (volontairement) les problèmes de convergences posés par l'intégrale fonctionnelle, on a trouvé des termes singuliers. Néanmoins, on a obtenu au chapitre 2 des comportements à courtes distances qui permettent de convenablement régulariser la connexion de KZB. Les termes qui nous embêtent correspondent à l'insertion d'un ou deux courants, or

$$\begin{aligned} \frac{\delta}{\delta A_{\bar{z}}^a} \Psi &= \left( -\frac{1}{\pi} \frac{t_\ell^a}{z-z_\ell} + \dots \right) \Psi, \\ \frac{\delta}{\delta A_{\bar{z}}^a} \frac{\delta}{\delta A_{\bar{w}}^b} \Psi &= \left( \frac{k}{2\pi^2} \frac{\delta^{ab}}{(z-w)^2} - \frac{i}{\pi} \frac{f^{abc}}{z-w} + \dots \right) \Psi, \end{aligned} \quad (11)$$

si  $A$  est un champ de jauge nul autour des points d'insertion soit  $z$ ,  $w$  et  $z_\ell$ . En particulier,

$$\text{tr} \left( \frac{\delta}{\delta A_{\bar{z}}} \frac{\delta}{\delta A_{\bar{w}}} \right) \Psi = \left( \frac{k}{4\pi^2} \frac{\dim G}{(z-w)^2} + \dots \right) \Psi.$$

Pour obtenir une expression valable pour n'importe quel champ de jauge, on utilise le transport parallèle le long du segment  $[z, w] : e_{z,w} = \overrightarrow{\text{Pe}}^{f_z^w A^{01}}$ . Rappelons que l'exponentielle ordonnée  $f(t) = \overrightarrow{\text{Pe}}^{\int_0^t \rho(\sigma) d\sigma}$  est la solution de l'équation différentielle  $f'(t) = f(t) \rho(t)$ ,  $t \in [0, 1]$ , avec la condition initiale  $f(0) = 1$ . Soit  $h \in \mathcal{G}^C$  telle que  $h^{-1} A^{01} = 0$  autour de  $z$ , c.-à-d.  $A^{01} = h \bar{\partial} h^{-1}$  au voisinage de  $z$ . Un calcul classique conduit à

$$h(z)^{-1} e_{z,w} h(w) = \overrightarrow{\text{Pe}}^{f_z^w h^{-1} \partial h}$$

si  $w$  est au voisinage de  $z$ . On en déduit le développement limité suivant

$$\begin{aligned} h(z)^{-1} e_{z,w} h(w) &= \exp \left\{ (w-z) (h^{-1} \partial_z h)(z) + \frac{1}{2} (w-z)^2 \partial_z (h^{-1} \partial_z h)(z) \right. \\ &\quad \left. + \frac{1}{2} (w-z) (\bar{w} - \bar{z}) \partial_{\bar{z}} (h^{-1} \partial_z h)(z) + o(|w-z|^2) \right\}. \end{aligned} \quad (12)$$

Dans la suite, on note  $e'_{z,w}$  le développement limité, c.-à-d.  $e_{z,w} = h(z) e'_{z,w} h(w)^{-1}$ . On obtient alors les développements à courtes distances en champ de jauge arbitraire

$$\begin{aligned} \text{tr} \left( t^a \text{Ad}_{e_{z_\ell, z}} \frac{\delta}{\delta A_{\bar{z}}} \right) \Psi &= \left( \frac{1}{2\pi} \frac{t_\ell^a}{z-z_\ell} + \dots \right) \Psi, \\ \text{tr} \left( \text{Ad}_{e_{z,w}} \left( \frac{\delta}{\delta A_{\bar{w}}} \right) \frac{\delta}{\delta A_{\bar{z}}} \right) \Psi &= \left( \frac{k}{4\pi^2} \frac{\dim G}{(z-w)^2} + \dots \right) \Psi. \end{aligned} \quad (13)$$

Il est maintenant facile de définir la régularisation des opérateurs (11) :

$$\begin{aligned} \bullet \frac{\delta}{\delta A_{\bar{z}_\ell}^a} \bullet &\equiv \lim_{z \rightarrow z_\ell} \left( 2 \text{tr} \left( t^a \text{Ad}_{e_{z_\ell, z}} \frac{\delta}{\delta A_{\bar{z}}} \right) - \frac{1}{\pi} \frac{1}{z-z_\ell} t_\ell^a \right), \\ \text{tr} \bullet \frac{\delta}{\delta A_{\bar{z}}} \frac{\delta}{\delta A_{\bar{z}}} \bullet &\equiv \lim_{w \rightarrow z} \left( \text{tr} \text{Ad}_{e_{z,w}} \left( \frac{\delta}{\delta A_{\bar{w}}} \right) \frac{\delta}{\delta A_{\bar{z}}} - \frac{k}{4\pi^2} \frac{\dim G}{(z-w)^2} \right). \end{aligned} \quad (14)$$

Ces deux opérateurs sont finis — dans la dernière équation on suppose que  $z \neq z_\ell$ . La renormalisation du produit scalaire des états de Chern-Simons introduit une dépendance dans la métrique. Par conséquent, la connexion dépend aussi de la métrique. On utilise une métrique localement plate, c.-à-d. compatible avec la structure complexe et plate autour des points

d'insertion et du support de  $\delta\mu_{\bar{z}}$ . Dans un changement de structure complexe infinitésimal, on suppose que la métrique change par  $\delta\gamma = \frac{i}{2} \delta\mu_{\bar{z}} d\bar{z}^2 - \frac{i}{2} \overline{\delta\mu_{\bar{z}}} dz^2$ . Ainsi,

$$\delta\gamma_{z\bar{z}} = 0, \quad \delta\gamma^{zz} = \frac{2}{i} \delta\mu_{\bar{z}}. \quad (15)$$

Pour obtenir les bonnes expressions pour la connexion, on doit changer  $k : k \mapsto \kappa = k + g^\vee$ . Si on ne translate pas  $k$ , on n'a plus une connexion. La connexion de KZB régularisée

$$\nabla_{\delta\mu} = d_{\delta\mu} + i \int_{\Sigma} \text{tr} A_z \frac{\delta}{\delta A_{\bar{z}}} \delta\mu_{\bar{z}} d^2z + \frac{i\pi}{\kappa} \int_{\Sigma} \text{tr} \bullet \frac{\delta}{\delta A_{\bar{z}}} \frac{\delta}{\delta A_{\bar{z}}} \bullet \delta\mu_{\bar{z}} d^2z, \quad (16.a)$$

$$\nabla_{z_\ell} = \partial_{z_\ell} - \frac{2\pi}{\kappa} t_\ell^a \bullet \frac{\delta}{\delta A_{\bar{z}_\ell}^a} \bullet \quad (16.b)$$

préserve bien l'espace des sections de  $\mathfrak{W}_{g,R}$ . Dans la première équation, les opérateurs  $\frac{\delta}{\delta A_{\bar{z}}}$  et  $\text{tr} \bullet \frac{\delta}{\delta A_{\bar{z}}} \frac{\delta}{\delta A_{\bar{z}}} \bullet$  sont singuliers quand on fait tendre  $z$  vers  $z_\ell$ . On commence donc par intégrer sur  $\Sigma$  privé de «petits» voisinages autour des points d'insertion, qu'on fait ensuite tendre vers zéro.

#### 5.4. Construction de Sugawara

Au chapitre 2, on a utilisé la construction de Sugawara sans démonstration. Ce qui manquait alors était la connexion de KZB. D'après la factorisation holomorphe des fonctions de Green modifiées,

$$\tilde{\Gamma}(0) = \sum_{p,q} h^{pq} \Psi_p(0) \otimes \overline{\Psi_q(0)} \quad (17)$$

où  $\Psi_p$  est une base de l'espace des états de Chern-Simons et  $(h^{pq})$  est la matrice inverse de  $(\Psi_p, \Psi_q)$ . On choisit la base de telle sorte que  $\nabla \Psi_p = 0$  en  $(\mathbb{J}, \underline{\xi}) \in \mathcal{M}_{g,N}$ . En dérivant la dernière équation dans la direction holomorphe en  $\mathbb{J}$ , on trouve facilement (\*)

$$\begin{aligned} d_{\delta\mu} \tilde{\Gamma}(0) &= \sum_{p,q} h^{pq} d_{\delta\mu} \Psi_p(0) \otimes \overline{\Psi_q(0)} \\ &= -\frac{i\pi}{\kappa} \tilde{Z} \int_{\Sigma} \text{tr} \bullet \frac{\delta}{\delta A_{\bar{z}}} \frac{\delta}{\delta A_{\bar{z}}} \bullet \tilde{\Gamma}(0) \delta\mu_{\bar{z}} d^2z. \end{aligned}$$

D'après l'équation (15) :  $\delta\mu_{\bar{z}} = \frac{i}{2} \delta\gamma^{zz}$ . Ceci et les définitions du tenseur d'énergie-impulsion et des courants nous amènent directement à la construction de Sugawara :

$$\langle T_{zz} \otimes_\ell g(\xi_\ell)_{R_\ell} \rangle = \frac{2}{\kappa} \langle \lim_{w \rightarrow z} \left( \text{tr} J_w J_z - \frac{k \dim G}{4(w-z)^2} \right) \otimes_\ell g(\xi_\ell)_{R_\ell} \rangle. \quad (18)$$

Un autre point laissé de côté était : les champs  $g(\xi_\ell)_{R_\ell}$  sont des champs primaires de poids conformes  $(\Delta_\ell, \Delta_\ell)$ . Pour démontrer cette assertion, il suffit de démontrer les développements (2.22.a-b). Dérivons l'équation (17) dans la direction holomorphe en  $\xi_\ell$  :

$$\partial_{z_\ell} \tilde{\Gamma}(0) = \frac{2\pi}{\kappa} t_\ell^a \bullet \frac{\delta}{\delta A_{\bar{z}_\ell}^a} \bullet \tilde{\Gamma}(0)$$

---

\* Au chapitre 2, on avait remarqué que le développement à courtes distances (26) nous échappait. Pour l'obtenir, il faudrait reprendre ce qui suit en champ non-nul.

d'où

$$\partial_{z_\ell} \langle \otimes_m g(\xi_m)_{R_m} \rangle = -\frac{2}{\kappa} t_\ell^a \langle \lim_{z \rightarrow z_\ell} \left( J_z^a + \frac{1}{z-z_\ell} t_\ell^a \right) \otimes_m g(\xi_m)_{R_m} \rangle. \quad (19)$$

Les équations (18-19) sont les versions quantiques de  $T_{zz} = \frac{2}{k} \text{tr} (J_z)^2$  et  $J_z = -\frac{k}{2} \partial_z g g^{-1}$  (cf. p. 40). Reprenons l'équation (2.15), symétrisée en  $z$  et  $w$ , après sommation en  $a = b$ ,

$$\begin{aligned} \langle J_w^a J_z^a \otimes_m g(\xi_m)_{R_m} \rangle &= \frac{k \dim G/2}{(z-w)^2} \langle \otimes_m g(\xi_m)_{R_m} \rangle + \frac{1}{z-z_\ell} \frac{1}{w-z_\ell} t_\ell^a t_\ell^a \langle \otimes_m g(\xi_m)_{R_m} \rangle \\ &- \sum_\ell \frac{t_\ell^a}{z-z_\ell} \langle (J_w^a + \frac{1}{w-z_\ell}) \otimes_m g(\xi_m)_{R_m} \rangle - \sum_\ell \frac{t_\ell^a}{w-z_\ell} \langle (J_z^a + \frac{1}{z-z_\ell}) \otimes_m g(\xi_m)_{R_m} \rangle + \dots \end{aligned}$$

On prend la limite quand  $w$  tend vers  $z$ . Il apparaît le tenseur d'énergie d'impulsion :

$$\langle T_{zz} \otimes_m g(\xi_m)_{R_m} \rangle = \frac{1}{(z-z_\ell)^2} \frac{C_\ell}{\kappa} \langle \otimes_m g(\xi_m)_{R_m} \rangle - \frac{1}{z-z_\ell} \frac{2}{\kappa} \langle (J_z^a + \frac{1}{z-z_\ell} t_\ell^a) \otimes_m g(\xi_m)_{R_m} \rangle + \dots$$

où  $C_\ell$  est le Casimir quadratique  $t_\ell^a t_\ell^a$  dans la représentation  $R_\ell$ . Cette équation et l'égalité (19) donnent le développement (2.22.a)

$$T(z) g(\xi_\ell)_{R_\ell} = \frac{\Delta_\ell}{(z-z_\ell)^2} g(\xi_\ell)_{R_\ell} + \frac{1}{z-z_\ell} \partial_{z_\ell} g(\xi_\ell)_{R_\ell} + \dots$$

On a donc démontré que  $g(\xi_\ell)_{R_\ell}$  est un champ primaire de poids conformes  $(\Delta_\ell, \Delta_\ell)$  avec  $\Delta_\ell = C_\ell/\kappa$ . Ainsi, la connexion de KZB est la source géométrique du tenseur d'énergie-impulsion et des champs primaires  $g(\xi_\ell)_{R_\ell}$  du modèle de WZNW.

### 5.5. La connexion en métrique générale

Jusqu'à maintenant, on s'est intéressé à la connexion de KZB dans une métrique localement plate et satisfaisant les équations (15). Il est possible d'extraire des résultats précédents la connexion en métrique générale — cf. aussi [35] pour les théories conformes en métrique générale. Lorsqu'on change la métrique par transformation de Weyl, le produit scalaire est multiplié par (cf. éq. (2.18) et (2.19))

$$e^{-\frac{ic}{24\pi} S_L(\sigma)} \prod_\ell e^{\Delta_\ell \sigma(\xi_\ell)}$$

où  $c$  est la charge centrale du modèle de WZNW, c.-à-d.  $c = k \dim G/\kappa$ . On doit alors rajouter

$$d_{\delta\mu} \left( -\frac{ic}{24\pi} S_L(\sigma) + \sum_\ell \Delta_\ell \sigma(\xi_\ell) \right) \quad (20)$$

à  $\nabla_{\delta\mu}$  et  $\Delta_\ell \partial_{z_\ell} \sigma$  à  $\nabla_{z_\ell}$ . La forme la plus générale de la connexion de KZB est donc

$$\begin{aligned} \nabla_{\delta\mu} &= d_{\delta\mu} + i \int_\Sigma \text{tr} A_z \frac{\delta}{\delta A_{\bar{z}}} \delta \mu_{\bar{z}}^z d^2 z + \frac{i\pi}{\kappa} \int_\Sigma \text{tr} \bullet \frac{\delta}{\delta A_{\bar{z}}} \frac{\delta}{\delta A_{\bar{z}}} \bullet \delta \mu_{\bar{z}}^z d^2 z, \\ &- \frac{ic}{24\pi} \int_\Sigma \left( \delta(\ln \gamma_{z\bar{z}}) R_\gamma + t_{zz} \delta \mu_{\bar{z}}^z d^2 z \right) + \sum_\ell \Delta_\ell \delta(\ln \gamma_{z\bar{z}})(\xi_\ell), \end{aligned} \quad (21.a)$$

$$\nabla_{z_\ell} = \partial_{z_\ell} - \frac{2\pi}{\kappa} t_\ell^a \bullet \frac{\delta}{\delta A_{\bar{z}_\ell}^a} \bullet + \Delta_\ell \partial_{z_\ell} (\ln \gamma_{z\bar{z}})(\xi_\ell). \quad (21.b)$$

Dans ces équations,  $\gamma_{z\bar{z}}$  est une métrique riemannienne  $\gamma = 2\gamma_{z\bar{z}}dzd\bar{z}$  sur  $\Sigma$  pour une certaine structure complexe et changeant avec celle-ci suivant

$$\delta\gamma = \gamma_{z\bar{z}} \left( \frac{i}{2} \delta\mu_{\bar{z}}^z d\bar{z}^2 + 2\delta(\ln \gamma_{z\bar{z}}) dzd\bar{z} - \frac{i}{2} \overline{\delta\mu_{\bar{z}}^z} dz^2 \right).$$

La courbure de  $\gamma$  est  $R_\gamma = \bar{\partial}\partial \ln \gamma_{z\bar{z}}$  et  $t_{zz} = \partial_z^2 \ln \gamma_{z\bar{z}} - \frac{1}{2} (\partial_z \ln \gamma_{z\bar{z}})^2$ . Les termes complémentaires dans l'équation (21.a) sont égaux ensemble à la dérivée (20) en  $\sigma = \ln \gamma_{z\bar{z}}$ . Le second terme correspond à un changement de classe conforme de métrique et les autres au changement dans la classe conforme par  $\delta\sigma = \delta(\ln \gamma_{z\bar{z}})$ .

La contrepartie géométrie des développements à courtes distances (2.25) ou leurs équivalents algébriques (2.44) est : **la connexion de KZB est projectivement plate**, c.-à-d.

$$\nabla^2 = \frac{c}{2} \nabla_{\text{Quillen}}^2 - \sum_{\ell} \Delta_{\ell} R_{\gamma}(\xi_{\ell}).$$

Ici,  $\nabla_{\text{Quillen}}^2$  est la courbure de la connexion (métrique) de Quillen sur le fibré déterminant de la famille d'opérateurs  $\bar{\partial}$  agissant sur les fonctions sur  $\Sigma$ .

## 5.6. Quantification des systèmes de Hitchin

Si  $p$  est le polynôme quadratique  $p_2 = \text{tr}$ , alors l'application de Hitchin  $h_{p_2}$  prend ses valeurs dans  $H^0(K^2)$  — dans le cas sans points d'insertion. On a vu que c'est aussi l'espace cotangent à l'espace des modules  $\mathcal{M}_g$ . On peut coupler une classe  $[\delta\mu]$  de différentielles de Beltrami dans  $H^1(K^{-1}) = T\mathcal{M}_g$  avec une différentielle quadratique  $\rho$  dans  $H^0(K^2)$  par

$$\int_{\Sigma} \rho \delta\mu.$$

Les différentielles de la forme  $\partial_z \otimes \bar{\partial}(\delta v^z)$  se couplent avec un  $\rho$  pour donner zéro, donc on a une bonne définition sur les classes  $[\delta\mu]$ . En particulier, pour  $\rho = h_{p_2}$ , on peut définir un nouveau Hamiltonien par

$$h_{\delta\mu} = \int_{\Sigma} h_{p_2} \delta\mu. \quad (22)$$

Si on admet des points d'insertion, le Hamiltonien de Hitchin est une forme quadratique dans  $H^0(K^2(2\sum_{\ell} \xi_{\ell})) = T^*\mathcal{M}_{g,N}^*$ , c.-à-d. méromorphe avec éventuellement des pôles d'ordre  $\leq 2$  en  $\xi_{\ell}$ . On peut encore coupler  $h_{p_2}$  avec une classe  $[\delta\mu] \in H^1(K^{-1}(-2\sum_{\ell} \xi_{\ell})) = T\mathcal{M}_{g,N}^*$  de formes de Beltrami par l'équation (22). Les Hamiltoniens  $h_{\delta\mu}$ , pour différentes  $\delta\mu$ , sont en involution sur  $\mathcal{P}_{\emptyset}$  — sur  $\mathcal{P}$  s'il n'y a pas de points d'insertion.

L'espace des phases  $\mathcal{P} \cong T^*\mathcal{N}_s$  peut être quantifié (géométriquement). L'espace des sections holomorphes de la  $k$ -ième puissance du fibré déterminant  $\mathcal{L}$  au-dessus de  $\mathcal{N}_{ss}$  est notre espace des états quantiques. Ce n'est rien d'autre que l'espace des états de Chern-Simons  $\mathcal{W}(\Sigma, \emptyset, \emptyset)$ . La connexion de KZB  $\nabla_{\delta\mu}$  donnée par l'équation (10) est un opérateur du second ordre de symbole principal proportionnel au Hamiltonien  $h_{\delta\mu}$  — on remplace  $\frac{\delta}{\delta A^{01}}$  par  $\frac{2k}{\pi i} \varphi^{10}$ . On peut donc considérer la connexion  $\nabla_{\delta\mu}$  comme la quantification de  $\frac{2k}{\pi} h_{\delta\mu}$  reliant deux  $H^0(\mathcal{L}^k)$  pour des structures complexes qui diffèrent d'un  $\delta\mu$ . Par le changement d'échelle



$\delta\mu \rightarrow \kappa \delta\mu$  dans  $\nabla_{\delta\mu}$ , on obtient dans la limite  $\kappa \mapsto 0$  des opérateurs agissant dans un seul  $H^0(\mathcal{L}^{-g^\vee})$ , c.-à-d. à structure complexe fixe.

On peut aussi quantifier l'espace des phases  $\mathcal{P}_{\mathcal{O}}$ . À l'orbite coadjointe  $\mathcal{O}_\ell$  au point  $\xi_\ell$  on associe l'espace de représentation  $V_{\lambda_\ell}$  de  $G$ . L'espace des états quantiques est l'espace des états de Chern-Simons  $\mathcal{W}(\Sigma, \underline{\xi}, \underline{R})$ . La connexion  $\nabla_{\delta\mu}$  est toujours la quantification du Hamiltonien  $\frac{2k}{\pi} h_{\delta\mu}$ . Cette façon de procéder permet de traiter en même temps les deux parties de la connexion, c.-à-d.  $\nabla_{z_\ell}$  et  $\nabla_{\delta\mu}$ .

## §6. Formules basses

Au chapitre 3, on a construit une découpe  $s : \mathcal{N} \ni n \mapsto A^{01}(n) \in \mathcal{A}^{01}$  de l'espace des modules. On se propose de réécrire les opérateurs apparaissant dans la connexion de KZB en fonction des dérivées de  $\Psi$  par rapport à  $n$ . L'étape suivante consistera à utiliser des découpes explicites.

### 6.1. Première variation

Calculons la variation de  $\Psi(h^{-1}A^{01})$  par rapport à  $\delta(h^{-1}A^{01}) = h^{-1}(\bar{\partial}_{A^{01}}(\delta h h^{-1}) + \delta A^{01})h$  — on sous-entend le point  $z$  où le champ  $A^{01}$  est évalué. L'opérateur  $\bar{\partial}_{A^{01}} = \bar{\partial} + [A^{01}, \cdot]$  agit sur les fonctions  $\mathcal{C}^\infty$  sur  $\Sigma$  à valeurs dans  $\mathfrak{g}^{\mathbb{C}}$  pour donner une  $(0, 1)$ -forme sur  $\Sigma$  à valeurs dans  $\mathfrak{g}^{\mathbb{C}}$ . On utilise deux méthodes distinctes afin de trouver le premier ordre de  $\delta(\Psi(h^{-1}A^{01}))$ , ensuite on compare les résultats. D'une part, d'après l'identité de Ward sur  $\Psi$ , c'est

$$\begin{aligned} \delta(e^{kS(h, A^{01})} \otimes_\ell h(\xi_\ell)_{R_\ell}^{-1} \Psi(A^{01})) &= e^{kS(h, A^{01})} \otimes_\ell h(\xi_\ell)_{R_\ell}^{-1} (\delta\Psi)(A^{01}) - \sum_m (h^{-1}\delta h)(\xi_m)_m \Psi(h^{-1}A^{01}) \\ &+ \frac{ik}{2\pi} \int_\Sigma \text{tr} \left( h \partial(h^{-1}A^{01}) h^{-1} \delta h h^{-1} + h \partial h^{-1} \wedge \delta A^{01} \right) \Psi(h^{-1}A^{01}). \end{aligned}$$

D'autre part, d'après la définition de la dérivation fonctionnelle, c'est aussi

$$\begin{aligned} \int_\Sigma \text{tr} \frac{\delta\Psi}{\delta A^{01}}(h^{-1}A^{01}) \wedge \delta(h^{-1}A^{01}) &= \int_\Sigma \text{tr} \bar{D} \left( h \frac{\delta\Psi}{\delta A^{01}}(h^{-1}A^{01}) h^{-1} \right) \delta h h^{-1} \\ &+ \int_\Sigma \text{tr} h \frac{\delta\Psi}{\delta A^{01}}(h^{-1}A^{01}) h^{-1} \wedge \delta A^{01} \end{aligned}$$

où  $\bar{D} = \bar{\partial} + [A^{01}, \cdot]_+$  —  $[\cdot, \cdot]_+$  est l'anticommutateur — c'est l'opérateur agissant sur les  $(1, 0)$ -formes sur  $\Sigma$  à valeurs dans  $\mathfrak{g}^{\mathbb{C}}$  pour donner une 2-forme sur  $\Sigma$  à valeurs dans  $\mathfrak{g}^{\mathbb{C}}$ . Cet opérateur intervient quand on intègre par parties un terme en  $\bar{\partial}_{A^{01}}$ . Le noyau de  $\bar{D}$  est isomorphe à l'espace cotangent en  $A^{01}$  à  $\mathcal{N}$  et son conoyau est vide. On note  $(\phi_\alpha)$  une base de  $\ker \bar{D}$ . Soit enfin l'opérateur inverse  $\bar{D}^{-1} : \Lambda^2(\Sigma, \mathfrak{g}^{\mathbb{C}}) \rightarrow \Lambda^{1,0}(\Sigma, \mathfrak{g}^{\mathbb{C}})$  défini par  $\bar{D} \bar{D}^{-1} \varpi = \varpi$  et

$$\int_\Sigma \text{tr} (\bar{D}^{-1} \varpi) \wedge \partial_{n^\alpha} A^{01} = 0, \quad \alpha = 1, \dots, \dim \mathcal{N}. \quad (23)$$

Comparons les résultats précédents : avec  $\delta h h^{-1}$  arbitraire et  $\delta A^{01}$  nulle, on obtient

$$\begin{aligned} \overline{D} \left( h \frac{\delta \Psi}{\delta A^{01}}(h^{-1} A^{01}) h^{-1} \right) &= \frac{ik}{2\pi} h \partial(h^{-1} A^{01}) h^{-1} \Psi(h^{-1} A^{01}) \\ &\quad - 2 \sum_m h t^a h^{-1} \delta^{(2)}(z - z_m) d^2 z t_m^a \Psi(h^{-1} A^{01}), \end{aligned} \quad (24)$$

— sauf mention contraire  $h$  et  $A^{01}$  sont pris en  $z$  — tandis qu'avec  $\delta h h^{-1}$  nulle et  $\delta A^{01}$  arbitraire,

$$\begin{aligned} \int_{\Sigma} \text{tr} h \frac{\delta \Psi}{\delta A^{01}}(h^{-1} A^{01}) h^{-1} \wedge \partial_{n^\alpha} A^{01} &= e^{k S(h, A^{01})} \otimes_{\ell} h(\xi_{\ell})_{R_{\ell}}^{-1} (\partial_{n^\alpha} \Psi)(A^{01}) \\ &\quad + \frac{ik}{2\pi} \left( \int_{\Sigma} \text{tr} h \partial h^{-1} \wedge \partial_{n^\alpha} A^{01} \right) \Psi(h^{-1} A^{01}). \end{aligned} \quad (25)$$

Appliquons  $\overline{D}^{-1}$  à l'équation (24) :

$$\begin{aligned} h \frac{\delta \Psi}{\delta A^{01}}(h^{-1} A^{01}) h^{-1} &= \frac{ik}{2\pi} \overline{D}^{-1} \left( h \partial(h^{-1} A^{01}) h^{-1} \right) \Psi(h^{-1} A^{01}) \\ &\quad - 2 \sum_m \overline{D}^{-1} \left( h t^a h^{-1} \delta^{(2)}(z - z_m) d^2 z \right) t_m^a \Psi(h^{-1} A^{01}) + c^\alpha \phi_\alpha \end{aligned}$$

où  $c^\alpha$  sont des nombres complexes. Afin de déterminer ces derniers, on introduit l'égalité précédente dans l'équation (25) :

$$\begin{aligned} c^\alpha \int_{\Sigma} \text{tr} \phi_\alpha \wedge \partial_{n^\beta} A^{01} &= e^{k S(h, A^{01})} \otimes_{\ell} h(\xi_{\ell})_{R_{\ell}}^{-1} (\partial_{n^\beta} \Psi)(A^{01}) \\ &\quad + \frac{ik}{2\pi} \int_{\Sigma} \text{tr} (h \partial h^{-1}) \wedge \partial_{n^\beta} A^{01} \Psi(h^{-1} A^{01}). \end{aligned}$$

Soit  $\Omega$  l'inverse de la matrice d'éléments  $\int \text{tr} \phi_\alpha \wedge \partial_{n^\beta} A^{01}$ . On trouve  $c^\alpha$  en multipliant la dernière égalité à droite par  $\Omega^{\beta\alpha}$ . Ensuite, on réinjecte  $c^\alpha$

$$\begin{aligned} \frac{\delta \Psi}{\delta A^{01}}(h^{-1} A^{01}) &= h^{-1} \left\{ \frac{ik}{2\pi} \overline{D}^{-1} \left( h \partial(h^{-1} A^{01}) h^{-1} \right) \Psi(h^{-1} A^{01}) \right. \\ &\quad - 2 \sum_m \overline{D}^{-1} \left( h t^a h^{-1} \delta^{(2)}(z - z_m) d^2 z \right) t_m^a \Psi(h^{-1} A^{01}) \\ &\quad \left. + \left( e^{k S(h, A^{01})} \otimes_{\ell} h(\xi_{\ell})_{R_{\ell}}^{-1} (\partial_{n^\beta} \Psi)(A^{01}) + \frac{ik}{2\pi} \int_{\Sigma} \text{tr} (h \partial h^{-1}) \wedge \partial_{n^\beta} A^{01} \Psi(h^{-1} A^{01}) \right) \Omega^{\beta\alpha} \phi_\alpha \right\} h, \end{aligned}$$

c.-à-d. la première variation de  $\Psi$  en  $h^{-1} A^{01}$ . En  $h = 1$ , on obtient la dérivée fonctionnelle de  $\Psi$  en  $A^{01}$  :

$$\frac{\delta \Psi}{\delta A^{01}} = \frac{ik}{2\pi} \overline{D}^{-1} (\partial A^{01}) \Psi - 2 \sum_m \overline{D}^{-1} (t^a \delta^{(2)}(z - z_m) d^2 z) t_m^a \Psi + \Omega^{\beta\alpha} \phi_\alpha \partial_{n^\beta} \Psi. \quad (26)$$

## 6.2. Seconde variation

Étudions la variation de l'avant-dernière équation par rapport à  $\delta(h^{-1}A^{01})$  en  $w \neq z$  pour  $h = 1$ ,  $\delta h \neq 0$  et  $\delta A^{01} = 0$ , c.-à-d.  $\delta(h^{-1}A^{01}) = \bar{\partial}_{A^{01}}(\delta h)(w)$ . On introduit la notation tensorielle afin de distinguer les deux copies de  $\mathfrak{g}^{\mathbb{C}}$  entrant dans le calcul, ainsi que la trace  $\text{tr}_1$  dans le premier espace. Pour commencer, on a

$$\delta(\Psi(h^{-1}A^{01})) = \frac{ik}{2\pi} \int_{\Sigma} \text{tr} \delta h \partial A^{01} \Psi(A^{01}) - \sum_m \delta h(\xi_m)_m \Psi(A^{01}).$$

Ensuite, comme pour obtenir la première variation, on calcule de deux façons la quantité  $\delta\left(\frac{\delta\Psi(h^{-1}A^{01})}{\delta A^{01}(z)}\right)$ .

$$\begin{aligned} & \int_{\Sigma} \text{tr}_1 \frac{\delta}{\delta A^{01}(w)} \otimes \frac{\delta\Psi}{\delta A^{01}(z)}(A^{01}) \wedge \bar{\partial}_{A^{01}}(\delta h)(w) = - \left[ \delta h, \frac{\delta\Psi}{\delta A^{01}(z)} \right] \\ & + \frac{ik}{2\pi} \bar{D}^{-1}([\delta h, \partial A^{01}] + \partial \bar{\partial}_{A^{01}}(\delta h)) \Psi - 2 \sum_m \bar{D}^{-1}([\delta h, t^a] \delta^{(2)}(z - z_m) d^2 z) t_m^a \Psi \\ & - \frac{ik}{2\pi} \left( \int_{\Sigma} \text{tr} \partial \delta h \wedge \partial_{n^\beta} A^{01} \right) \Omega^{\beta\alpha} \phi_\alpha \Psi + \left\{ \frac{ik}{2\pi} \int_{\Sigma} \text{tr} \delta h \partial A^{01} - \sum_m \delta h(\xi_m)_m \right\} \\ & \times \left\{ \frac{ik}{2\pi} \bar{D}^{-1}(\partial A^{01}) - 2 \sum_{m'} \bar{D}^{-1}(t^a \delta^{(2)}(z - z_{m'}) d^2 z) t_{m'}^a + \Omega^{\beta\alpha} \phi_\alpha \partial_{n^\beta} \right\} \Psi \tag{27} \\ & = - \left[ \delta h, \frac{\delta\Psi}{\delta A^{01}(z)} \right] + \left\{ \frac{ik}{2\pi} \int_{\Sigma} \text{tr} \delta h \partial A^{01} - \sum_m \delta h(\xi_m)_m \right\} \frac{\delta\Psi}{\delta A^{01}(z)} \\ & - \frac{ik}{2\pi} \left\{ \bar{D}^{-1} \bar{D}(\partial \delta h) + \left( \int_{\Sigma} \text{tr} \partial \delta h \wedge \partial_{n^\beta} A^{01} \right) \Omega^{\beta\alpha} \phi_\alpha \right\} \Psi \\ & - 2 \sum_m \bar{D}^{-1}([\delta h, t^a] \delta^{(2)}(z - z_m) d^2 z) t_m^a \Psi, \end{aligned}$$

après avoir utilisé l'équation (26) ainsi que l'égalité  $[\delta h, \partial A^{01}] + \partial \bar{\partial}_{A^{01}}(\delta h) = -\bar{D}(\partial \delta h)$ . Notons également que la définition de  $\bar{D}^{-1}$  entraîne que

$$\phi = \bar{D}^{-1} \bar{D} \phi + \left( \int_{\Sigma} \text{tr} \phi \wedge \partial_{n^\beta} A^{01} \right) \Omega^{\beta\alpha} \phi_\alpha \tag{28}$$

pour tout  $\phi \in \Lambda^{1,0}(\Sigma, \mathfrak{g}^{\mathbb{C}})$ . En particulier, cette égalité avec  $\phi = \partial \delta h$  permet de simplifier encore l'équation (27) :

$$\begin{aligned} & \int_{\Sigma} \text{tr}_1 \frac{\delta}{\delta A^{01}(w)} \otimes \frac{\delta\Psi}{\delta A^{01}(z)}(A^{01}) \wedge \bar{\partial}_{A^{01}}(\delta h)(w) \\ & = - \left[ \delta h, \frac{\delta\Psi}{\delta A^{01}(z)} \right] + \left\{ \frac{ik}{2\pi} \int_{\Sigma} \text{tr} \delta h \partial A^{01} - \sum_m \delta h(\xi_m)_m \right\} \frac{\delta\Psi}{\delta A^{01}(z)} \\ & - \left\{ \frac{ik}{2\pi} \partial \delta h + 2 \sum_m \bar{D}^{-1}([\delta h, t^a] \delta^{(2)}(z - z_m) d^2 z) t_m^a \right\} \Psi. \end{aligned}$$

La variation  $\delta h$  étant arbitraire, on peut l'éliminer. Par exemple, montrons comment transformer le dernier terme à cet effet. Soit  $\mathbf{G}$  le noyau de  $\bar{D}^{-1}$ , c.-à-d. l'application à valeurs

dans  $\text{End } \mathfrak{g}^{\mathbb{C}}$  telle que

$$\overline{D}^{-1} \varpi(z) = \left( \int_{\Sigma} \mathbf{G}(z, v) (\varpi(v)) \right) dz$$

pour  $\varpi \in \Lambda^2(\Sigma, \mathfrak{g}^{\mathbb{C}})$ . Le dernier terme devient  $-2 \sum_m \mathbf{G}(z, z_m) ([\delta h(z_m), t^a]) dz t_m^a \Psi$ , soit après transformation

$$4i f^{abc} \sum_m \int_{\Sigma} \text{tr}_1 \delta^{(2)}(w - z_m) d^2 w t^b \otimes \mathbf{G}(z, z_m)(t^c) dz t_m^a \Psi \delta h(w).$$

Des considérations similaires nous conduisent à

$$\begin{aligned} \overline{D}_w \frac{\delta}{\delta A^{01}(w)} \otimes \frac{\delta \Psi}{\delta A^{01}(z)} &= -2 \delta^{(2)}(w - z) t^a d^2 w \otimes \left[ t^a, \frac{\delta \Psi}{\delta A^{01}(z)} \right] + \frac{ik}{2\pi} \partial A^{01}(w) \otimes \frac{\delta \Psi}{\delta A^{01}(z)} \\ &\quad - 2 \sum_m \delta^{(2)}(w - z_m) t^a d^2 w \otimes t_m^a \frac{\delta \Psi}{\delta A^{01}(z)} - \frac{ik}{\pi} \partial_z \delta(w - z) t^a d^2 w \otimes t^a dz \Psi \\ &\quad + 4i f^{abc} \sum_m \delta^{(2)}(w - z_m) t^a d^2 w \otimes \mathbf{G}(z, z_m)(t^b) dz t_m^c \Psi \end{aligned} \quad (29)$$

où  $\overline{D}_w$  est l'opérateur  $\overline{D}$  correspondant à l'insertion de  $A^{01}$  en  $w$ . Appliquons l'opérateur  $\overline{D}_w^{-1}$  à l'équation (29).

$$\begin{aligned} \frac{\delta}{\delta A^{01}(w)} \otimes \frac{\delta \Psi}{\delta A^{01}(z)} &= -2 \left( \int_{\Sigma} \mathbf{G}(w, u) (t^a) \delta^{(2)}(u - z) d^2 u \right) dw \otimes \left[ t^a, \frac{\delta \Psi}{\delta A^{01}(z)} \right] \\ &\quad + \frac{ik}{2\pi} \left( \int_{\Sigma} \mathbf{G}(w, u) (\partial A^{01}(u)) \right) dw \otimes \frac{\delta \Psi}{\delta A^{01}(z)} \\ &\quad - 2 \sum_m \left( \int_{\Sigma} \mathbf{G}(w, u) (t^a) \delta^{(2)}(u - z_m) d^2 u \right) dw \otimes t_m^a \frac{\delta \Psi}{\delta A^{01}(z)} \\ &\quad - \frac{ik}{\pi} \left( \int_{\Sigma} \mathbf{G}(w, u) (t^a) \partial_z \delta^{(2)}(u - z) d^2 u \right) dw \otimes t^a dz \Psi \\ &\quad + 4i f^{abc} \sum_m \left( \int_{\Sigma} \mathbf{G}(w, u) (t^a) \delta^{(2)}(u - z_m) d^2 u \right) dw \otimes \mathbf{G}(z, z_m)(t^b) dz t_m^c \Psi \\ &\quad - \phi_{\rho}(w) \otimes c^{\rho}(z) dz \end{aligned}$$

où les  $c^{\rho}$  sont des fonctions à valeurs dans  $\mathfrak{g}^{\mathbb{C}}$  à déterminer. La seconde variation est donc donnée par l'équation

$$\begin{aligned} \frac{\delta}{\delta A^{\overline{w}}} \otimes \frac{\delta \Psi}{\delta A^{\overline{z}}} &= 2i \mathbf{G}(w, z) (t^a) \otimes \left[ t^a, \frac{\delta \Psi}{\delta A^{\overline{z}}} \right] + \frac{k}{2\pi} \left( \int_{\Sigma} \mathbf{G}(w, \cdot) (\partial A^{01}) \right) \otimes \frac{\delta \Psi}{\delta A^{\overline{z}}} \\ &\quad + 2i \sum_m \mathbf{G}(w, z_m) (t^a) \otimes t_m^a \frac{\delta \Psi}{\delta A^{\overline{z}}} + \frac{ik}{\pi} \partial_z \mathbf{G}(w, z) (t^a) \otimes t^a \Psi \\ &\quad - 4i f^{abc} \sum_m \mathbf{G}(w, z_m) (t^a) \otimes \mathbf{G}(z, z_m)(t^b) t_m^c \Psi + \phi_{\rho, w} \otimes c^{\rho}(z) \end{aligned} \quad (30)$$

où  $\phi_{\rho}(w) = \phi_{\rho, w} dw$ ,  $\phi_{\rho, w}$  à valeurs dans  $\mathfrak{g}^{\mathbb{C}}$ . Pour conclure, il suffit de déterminer les  $c^{\rho}$ . On organise le calcul en deux étapes. Déjà, la dérivée suivante fait apparaître  $c^{\rho}$  en fonction d'une dérivée fonctionnelle :

$$\partial_{n\gamma} \left( \frac{\delta \Psi}{\delta A^{\overline{z}}} \right) = \int_{\Sigma} \text{tr}_1 \frac{\delta}{\delta A^{01}(w)} \otimes \frac{\delta \Psi}{\delta A^{\overline{z}}} \wedge \partial_{n\gamma} A^{01}(w) = i c^{\rho}(z) \int_{\Sigma} \text{tr} \phi_{\rho}(w) \wedge \partial_{n\gamma} A^{01}(w) ;$$

en effet, à droite dans l'équation (30), les autres termes appartiennent à l'image de  $\overline{D}_w^{-1}$  et donnent zéro quand on les intègre contre  $\partial_{n^\gamma} A^{01}(w)$ , vu l'équation (23). Il suit

$$c^\rho(z) = -i \partial_{n^\gamma} \left( \frac{\delta \Psi}{\delta A_{\bar{z}}} \right) \Omega^{\gamma\rho}. \quad (31)$$

Ensuite, d'après l'équation (26), on a

$$\begin{aligned} \partial_{n^\gamma} \left( \frac{\delta \Psi}{\delta A^{01}(z)} \right) &= \frac{ik}{2\pi} \partial_{n^\gamma} \overline{D}^{-1} (\partial A^{01}) \Psi + \frac{ik}{2\pi} \overline{D}^{-1} (\partial_{n^\gamma} \partial A^{01}) \Psi + \frac{ik}{2\pi} \overline{D}^{-1} (\partial A^{01}) \partial_{n^\gamma} \Psi \\ &\quad + \partial_{n^\gamma} \Omega^{\beta\alpha} \phi_\alpha \partial_{n^\beta} \Psi + \Omega^{\beta\alpha} \partial_{n^\gamma} \phi_\alpha \partial_{n^\beta} \Psi + \Omega^{\beta\alpha} \phi_\alpha \partial_{n^\gamma} \partial_{n^\beta} \Psi \\ &\quad - 2 \sum_m \partial_{n^\gamma} \overline{D}^{-1} (t^a \delta^{(2)}(z - z_m) d^2 z) t_m^a \Psi \\ &\quad - 2 \sum_m \overline{D}^{-1} (t^a \delta^{(2)}(z - z_m) d^2 z) t_m^a \partial_{n^\gamma} \Psi. \end{aligned}$$

Le côté droit de cette équation contient trois termes qu'on peut expliciter complètement. D'après l'équation (28), on a

$$(\partial_{n^\gamma} \overline{D}^{-1}) \varpi = \overline{D}^{-1} \overline{D} (\partial_{n^\gamma} \overline{D}^{-1}) \varpi + \left( \int_\Sigma \text{tr} (\partial_{n^\gamma} \overline{D}^{-1}) \varpi \wedge \partial_{n^\nu} A^{01} \right) \Omega^{\nu\alpha} \phi_\alpha$$

pour  $\varpi = \partial A^{01} \in \Lambda^2(\Sigma, \mathfrak{g}^{\mathbb{C}})$ . Or, après dérivation par rapport à  $n^\gamma$  des équations définissant l'opérateur  $\overline{D}^{-1}$ , on trouve

$$\begin{aligned} \left[ \partial_{n^\gamma} A^{01}, \overline{D}^{-1} \varpi \right]_+ + \overline{D} (\partial_{n^\gamma} \overline{D}^{-1}) \varpi &= 0, \\ \int_\Sigma \text{tr} (\partial_{n^\gamma} \overline{D}^{-1}) \varpi \wedge \partial_{n^\nu} A^{01} + \int_\Sigma \text{tr} \overline{D}^{-1} \varpi \wedge \partial_{n^\gamma} \partial_{n^\nu} A^{01} &= 0, \end{aligned}$$

par conséquent

$$(\partial_{n^\gamma} \overline{D}^{-1}) \varpi = -\overline{D}^{-1} \left( [\overline{D}^{-1} \varpi, \partial_{n^\gamma} A^{01}]_+ \right) - \left( \int_\Sigma \text{tr} \overline{D}^{-1} \varpi \wedge \partial_{n^\gamma} \partial_{n^\nu} A^{01} \right) \Omega^{\nu\alpha} \phi_\alpha.$$

Ensuite,  $\Omega$  est l'inverse de la matrice d'éléments  $\int \text{tr} \phi_\alpha \wedge \partial_{n^\beta} A^{01}$  donc

$$\partial_{n^\gamma} \Omega^{\beta\alpha} = -\Omega^{\beta\mu} \int_\Sigma \text{tr} (\partial_{n^\gamma} \phi_\mu \wedge \partial_{n^\nu} A^{01} + \phi_\mu \wedge \partial_{n^\gamma} \partial_{n^\nu} A^{01}) \Omega^{\nu\alpha}.$$

Enfin,  $\phi_\alpha$  étant un mode zéro de  $\overline{D}$ , on a  $\overline{D} \phi_\alpha = 0$ . On dérive cette dernière équation par rapport à  $n^\gamma$  puis on utilise l'équation (28) ; on trouve

$$\partial_{n^\gamma} \phi_\alpha = -\overline{D}^{-1} ([\phi_\alpha, \partial_{n^\gamma} A^{01}]_+) + \left( \int_\Sigma \text{tr} \partial_{n^\gamma} \phi_\alpha \wedge \partial_{n^\nu} A^{01} \right) \Omega^{\nu\mu} \phi_\mu.$$

En fin de compte, on a montré que

$$\begin{aligned}
\partial_{n^\gamma} \left( \frac{\delta \Psi}{\delta A^{01}} \right) &= \frac{ik}{2\pi} \left\{ -\overline{D}^{-1} \left( [\overline{D}^{-1}(\partial A^{01}), \partial_{n^\gamma} A^{01}]_+ \right) - \left( \int_{\Sigma} \text{tr} \overline{D}^{-1}(\partial A^{01}) \wedge \partial_{n^\gamma} \partial_{n^\nu} A^{01} \right) \Omega^{\nu\alpha} \phi_\alpha \right\} \Psi \\
&\quad + \frac{ik}{2\pi} \overline{D}^{-1}(\partial_{n^\gamma} \partial A^{01}) \Psi + \frac{ik}{2\pi} \overline{D}^{-1}(\partial A^{01}) \partial_{n^\gamma} \Psi \\
&\quad - \Omega^{\beta\mu} \left\{ \int_{\Sigma} \text{tr} \left( \partial_{n^\gamma} \phi_\mu \wedge \partial_{n^\nu} A^{01} + \phi_\mu \wedge \partial_{n^\gamma} \partial_{n^\nu} A^{01} \right) \right\} \Omega^{\nu\alpha} \phi_\alpha \partial_{n^\beta} \Psi \\
&\quad + \Omega^{\beta\mu} \left\{ -\overline{D}^{-1}([\phi_\mu, \partial_{n^\gamma} A^{01}]_+) + \left( \int_{\Sigma} \text{tr} \partial_{n^\gamma} \phi_\mu \wedge \partial_{n^\nu} A^{01} \right) \Omega^{\nu\alpha} \phi_\alpha \right\} \partial_{n^\beta} \Psi \\
&\quad + \Omega^{\beta\alpha} \phi_\alpha \partial_{n^\gamma} \partial_{n^\beta} \Psi + 2 \sum_m \left\{ \overline{D}^{-1}([\overline{D}^{-1}(t^a \delta^{(2)}(z - z_m) d^2 z), \partial_{n^\gamma} A^{01}]_+) \right. \\
&\quad \left. + \left( \int_{\Sigma} \text{tr} \overline{D}^{-1}(t^a \delta^{(2)}(z - z_m) d^2 z) \wedge \partial_{n^\gamma} \partial_{n^\nu} A^{01} \right) \Omega^{\nu\alpha} \phi_\alpha \right\} t_m^a \Psi.
\end{aligned}$$

À nouveau, on fait intervenir la dérivée fonctionnelle de  $\Psi$  :

$$\begin{aligned}
\partial_{n^\gamma} \left( \frac{\delta \Psi}{\delta A^{01}} \right) &= -\overline{D}^{-1} \left( \left[ \frac{\delta \Psi}{\delta A^{01}}, \partial_{n^\gamma} A^{01} \right]_+ \right) - \left( \int_{\Sigma} \text{tr} \frac{\delta \Psi}{\delta A^{01}} \wedge \partial_{n^\gamma} \partial_{n^\nu} A^{01} \right) \Omega^{\nu\alpha} \phi_\alpha \\
&\quad + \frac{\delta}{\delta A^{01}}(\partial_{n^\gamma} \Psi) + \frac{ik}{2\pi} \overline{D}^{-1}(\partial_{n^\gamma} \partial A^{01}) \Psi \\
&= - \int_{\Sigma} \mathbf{G}(z, u) \left( \left[ \frac{\delta \Psi}{\delta A^{01}(u)}, \partial_{n^\gamma} A^{01}(u) \right]_+ \right) dz - \left( \int_{\Sigma} \text{tr} \frac{\delta \Psi}{\delta A^{01}} \wedge \partial_{n^\gamma} \partial_{n^\nu} A^{01} \right) \Omega^{\nu\alpha} \phi_\alpha \\
&\quad + \frac{\delta}{\delta A^{01}}(\partial_{n^\gamma} \Psi) + \frac{ik}{2\pi} \left( \int_{\Sigma} \mathbf{G}(z, u) (\partial_{n^\gamma} \partial A^{01}(u)) \right) dz \Psi.
\end{aligned}$$

De ces équations, on tire une expression pour  $c^\rho$ . On injecte alors cette dernière dans l'équation (30) pour arriver à

$$\begin{aligned}
\frac{\delta}{\delta A^{\overline{w}}} \otimes \frac{\delta \Psi}{\delta A^{\overline{z}}} &= 2i \mathbf{G}(w, z) (t^a) \otimes \left[ t^a, \frac{\delta \Psi}{\delta A^{\overline{z}}} \right] + \frac{k}{2\pi} \left( \int_{\Sigma} \mathbf{G}(w, \cdot) (\partial A^{01}) \right) \otimes \frac{\delta \Psi}{\delta A^{\overline{z}}} \\
&\quad + 2i \sum_m \mathbf{G}(w, z_m) (t^a) \otimes t_m^a \frac{\delta \Psi}{\delta A^{\overline{z}}} + \frac{ik}{\pi} \partial_z \mathbf{G}(w, z) (t^a) \otimes t^a \Psi \\
&\quad - 4i f^{abc} \sum_m \mathbf{G}(w, z_m) (t^a) \otimes \mathbf{G}(z, z_m) (t^b) t_m^c \Psi + \phi_{\rho, w} \otimes \left\{ \int_{\Sigma} \mathbf{G}(z, \cdot) \left( \left[ \frac{\delta \Psi}{\delta A^{01}}, \partial_{n^\gamma} A^{01} \right]_+ \right) \right. \\
&\quad \left. + \left( \int_{\Sigma} \text{tr} \frac{\delta \Psi}{\delta A^{01}} \wedge \partial_{n^\gamma} \partial_{n^\nu} A^{01} \right) \Omega^{\nu\alpha} \phi_{\alpha, z} - i \frac{\delta}{\delta A^{\overline{z}}} (\partial_{n^\gamma} \Psi) - \frac{ik}{2\pi} \left( \int_{\Sigma} \mathbf{G}(z, \cdot) (\partial_{n^\gamma} \partial A^{01}) \right) \Psi \right\} \Omega^{\gamma\rho}.
\end{aligned}$$

Rappelons enfin la formule donnant la première dérivée de  $\Psi$  :

$$\frac{\delta \Psi}{\delta A^{\overline{z}}} = -i \Omega^{\mu\rho} \phi_{\rho, z} \partial_{n^\mu} \Psi + \frac{k}{2\pi} \int_{\Sigma} \mathbf{G}(z, \cdot) (\partial A^{01}) \Psi + 2i \sum_m \mathbf{G}(z, z_m) (t^a) t_m^a \Psi. \quad (32)$$

### 6.3. Régularisation

On a déjà analysé le comportement singulier de ces dérivées quand  $w$  tend vers  $z$  ou  $z$  tend vers  $z_\ell$ . On se propose d'appliquer le même processus de régularisation aux termes divergents

intervenant dans le membre droit de ces formules. Clairement, il suffit de se concentrer sur la fonction de Green de  $\overline{D}$  et sur sa dérivée par rapport à la seconde variable. Soit  $\varpi \in \Lambda^2(\Sigma, \mathfrak{g}^{\mathbb{C}})$ . Par construction, on a

$$(\partial_{\overline{w}} + [A_{\overline{w}}, \cdot]) \int_{\Sigma} \mathbf{G}(w, \cdot)(\varpi) d\overline{w} \wedge dw = \varpi(w).$$

Soit  $h \in \mathcal{G}^{\mathbb{C}}$  une transformation de jauge telle que  $h^{-1}A^{01} = 0$  au voisinage de  $z$ . À cette condition, on a  $\partial_{\overline{w}} + [A_{\overline{w}}, \cdot] = \text{Ad}_{h(w)} \partial_{\overline{w}} \text{Ad}_{h(w)}^{-1}$ . Notons  $\mathbf{id}$  l'application identité de  $\text{End } \mathfrak{g}^{\mathbb{C}}$ . Il suit  $\partial_{\overline{w}} \text{Ad}_{h(w)}^{-1} \mathbf{G}(w, z) = \frac{1}{2i} \text{Ad}_{h(z)}^{-1} \delta^{(2)}(w-z) \mathbf{id}$ , pour  $w$  au voisinage de  $z$ . On sait aussi que  $\pi \delta^{(2)}(w-z) = \partial_{\overline{w}}(w-z)^{-1}$ , d'où

$$\mathbf{G}(w, z) = \frac{1}{2\pi i} \text{Ad}_{h(w)} \text{Ad}_{h(z)}^{-1} \frac{\mathbf{id}}{w-z} + \dots$$

et les pointillés symbolisent toujours des termes réguliers en  $w$  au voisinage de  $z$ . Après dérivation,

$$\partial_z \mathbf{G}(w, z) = \frac{1}{2\pi i} \text{Ad}_{h(w)} \text{Ad}_{h(z)}^{-1} \frac{\mathbf{id}}{(w-z)^2} + \frac{1}{2\pi i} \text{Ad}_{h(w)} \text{Ad}_{h(z)}^{-1} \text{ad}_{(h\partial_z h^{-1})(z)} \frac{\mathbf{id}}{w-z} + \dots$$

Utilisons le transport parallèle  $e_{z,w}$  pour réécrire ces deux développements limités sans faire appel à  $h$  :

$$\begin{aligned} \text{Ad}_{e_{z,w}} \mathbf{G}(w, z) &= \frac{1}{2\pi i} \frac{\mathbf{id}}{w-z} + \widetilde{\mathbf{G}}(w, z), \\ \text{Ad}_{e_{z,w}} \partial_z \mathbf{G}(w, z) &= \frac{1}{2\pi i} \frac{\mathbf{id}}{(w-z)^2} - \frac{1}{4\pi i} \frac{\overline{w}-\overline{z}}{w-z} [\partial_z A_{\overline{z}}(z), \cdot] + \widetilde{\partial_z \mathbf{G}}(w, z) \end{aligned} \quad (33)$$

où  $\widetilde{\mathbf{G}}$  et  $\widetilde{\partial_z \mathbf{G}}$  sont des fonctions régulières en  $w$  au voisinage de  $z$ . Montrons par exemple la seconde égalité. L'ingrédient principal de la démonstration est l'équation (12) :  $e_{z,w} = h(z) e'_{z,w} h(w)^{-1}$ . Ainsi,

$$\begin{aligned} \text{Ad}_{e_{z,w}} \partial_z \mathbf{G}(w, z) &= \frac{1}{2\pi i} \text{Ad}_{h(z)} \text{Ad}_{e'_{z,w}} \text{Ad}_{h(z)}^{-1} \frac{\mathbf{id}}{(w-z)^2} \\ &\quad + \frac{1}{2\pi i} \text{Ad}_{h(z)} \text{Ad}_{e'_{z,w}} \text{Ad}_{h(z)}^{-1} \text{ad}_{(h\partial_z h^{-1})(z)} \frac{\mathbf{id}}{w-z} + \dots \end{aligned}$$

Or  $e'_{z,w} = e^{\chi}$ , donc  $\text{Ad}_{e'_{z,w}} = e^{\text{ad}_{\chi}} = 1 + \text{ad}_{\chi} + \frac{1}{2} \text{ad}_{\chi}^2 + \dots$ . Ainsi,

$$\begin{aligned} \text{Ad}_{e_{z,w}} \partial_z \mathbf{G}(w, z) &= \frac{1}{2\pi i} \frac{\mathbf{id}}{(w-z)^2} + \frac{1}{2\pi i} \text{Ad}_{h(z)} \text{ad}_{(h^{-1}\partial_z h)(z)} \text{Ad}_{h(z)}^{-1} \frac{\mathbf{id}}{w-z} \\ &\quad + \frac{1}{4\pi i} \text{Ad}_{h(z)} \text{ad}_{\partial_{\overline{z}}(h^{-1}\partial_z h)(z)} \text{Ad}_{h(z)}^{-1} \frac{\overline{w}-\overline{z}}{w-z} \mathbf{id} + \frac{1}{2\pi i} \text{ad}_{(h\partial_z h^{-1})(z)} \frac{\mathbf{id}}{w-z} + \dots \end{aligned}$$

Or  $\text{Ad}_{h(z)} \text{ad}_{(h^{-1}\partial_z h)(z)} \text{Ad}_{h(z)}^{-1} = \text{ad}_{\text{Ad}_{h(z)}(h^{-1}\partial_z h)(z)} = -\text{ad}_{(h\partial_z h^{-1})(z)}$ , donc le deuxième terme compense le dernier. On traite de la même façon le troisième terme, la conclusion est alors immédiate. Pour la première dérivée de  $\Psi$ , on s'intéresse à la quantité suivante

$$\begin{aligned} \text{tr} \left( t^a \text{Ad}_{e_{z_\ell, z}} \frac{\delta \Psi}{\delta A_{\overline{z}}} \right) &= -i \Omega^{\mu\rho} \text{tr} \left( t^a \text{Ad}_{e_{z_\ell, z}} \phi_{\rho, z} \right) \partial_{n^\mu} \Psi + \frac{k}{2\pi} \text{tr} t^a \text{Ad}_{e_{z_\ell, z}} \int_{\Sigma} \mathbf{G}(z, \cdot) (\partial A^{01}) \Psi \\ &\quad + 2i \sum_{m \neq \ell} \text{tr} t^a \text{Ad}_{e_{z_\ell, z}} \mathbf{G}(z, z_m) (t^b) t_m^b \Psi + 2i \text{tr} t^a \left( \frac{1}{2\pi i} \frac{t^b}{z-z_\ell} + \widetilde{\mathbf{G}}(z, z_\ell) (t^b) \right) t_\ell^b \Psi. \end{aligned}$$

Le seul terme singulier restant est compensé par la régularisation proposée. En fin de compte,

$$\begin{aligned} \bullet \frac{\delta \Psi}{\delta A_{z_\ell}^a} \bullet &= -2i \Omega^{\mu\rho} \operatorname{tr} (t^a \phi_{\rho, z_\ell}) \partial_{n^\mu} \Psi + \frac{k}{\pi} \operatorname{tr} t^a \int_{\Sigma} \mathbf{G}(z_\ell, \cdot) (\partial A^{01}) \Psi \\ &+ 4i \sum_{m \neq \ell} \operatorname{tr} t^a \mathbf{G}(z_\ell, z_m) (t^b) t_m^b \Psi + 4i \operatorname{tr} t^a \widetilde{\mathbf{G}}(z_\ell, z_\ell) (t^b) t_\ell^b \Psi. \end{aligned} \quad (34.a)$$

Ensuite, la régularisation du Laplacien donne

$$\begin{aligned} \operatorname{tr} \bullet \frac{\delta}{\delta A_{z^\alpha}} \frac{\delta \Psi}{\delta A_{z^\alpha}} \bullet &= 2i \operatorname{tr} \widetilde{\mathbf{G}}(z, z) (t^a) \left[ t^a, \frac{\delta \Psi}{\delta A_{z^\alpha}} \right] + \frac{k}{2\pi} \operatorname{tr} \left( \int_{\Sigma} \mathbf{G}(z, \cdot) (\partial A^{01}) \right) \frac{\delta \Psi}{\delta A_{z^\alpha}} \\ &+ 2i \sum_m \operatorname{tr} \mathbf{G}(z, z_m) (t^a) t_m^a \frac{\delta \Psi}{\delta A_{z^\alpha}} + \frac{ik}{\pi} \operatorname{tr} \widetilde{\partial_z \mathbf{G}}(z, z) (t^a) t^a \Psi \\ &- 4i f^{abc} \sum_m \operatorname{tr} \mathbf{G}(z, z_m) (t^a) \mathbf{G}(z, z_m) (t^b) t_m^c \Psi + \operatorname{tr} \phi_{\rho, z} \left\{ \int_{\Sigma} \mathbf{G}(z, \cdot) \left( \left[ \frac{\delta \Psi}{\delta A^{01}}, \partial_{n^\gamma} A^{01} \right]_+ \right) \right. \\ &\left. + \left( \int_{\Sigma} \operatorname{tr} \frac{\delta \Psi}{\delta A^{01}} \wedge \partial_{n^\gamma} \partial_{n^\nu} A^{01} \right) \Omega^{\nu\alpha} \phi_{\alpha, z} - i \frac{\delta}{\delta A_{z^\alpha}} (\partial_{n^\gamma} \Psi) - \frac{ik}{2\pi} \left( \int_{\Sigma} \mathbf{G}(z, \cdot) (\partial_{n^\gamma} \partial A^{01}) \right) \Psi \right\} \Omega^{\gamma\rho}. \end{aligned}$$

Finalement, pour obtenir une formule ne comportant que des dérivées de  $\Psi$  par rapport aux paramètres  $n^\nu$ , on combine la dernière équation avec l'équation (26) :

$$\operatorname{tr} \bullet \frac{\delta}{\delta A_{z^\alpha}} \frac{\delta \Psi}{\delta A_{z^\alpha}} \bullet = -\Omega^{\alpha\gamma} \Omega^{\nu\rho} \operatorname{tr} (\phi_{\gamma, z} \phi_{\rho, z}) \partial_{n^\alpha} \partial_{n^\nu} \Psi + \Xi^\alpha(z) \partial_{n^\alpha} \Psi + \Upsilon(z) \Psi \quad (34.b)$$

avec

$$\begin{aligned} \Xi^\alpha(z) &= 2 \Omega^{\alpha\gamma} \operatorname{tr} \widetilde{\mathbf{G}}(z, z) (t^a) [t^a, \phi_{\gamma, z}] - \frac{ik}{\pi} \Omega^{\alpha\gamma} \operatorname{tr} \phi_{\gamma, z} \int_{\Sigma} \mathbf{G}(z, \cdot) (\partial A^{01}) \\ &+ \Omega^{\alpha\gamma} \Omega^{\nu\rho} \operatorname{tr} \phi_{\rho, z} \int_{\Sigma} \mathbf{G}(z, \cdot) \left( [\phi_\gamma, \partial_{n^\nu} A^{01}]_+ \right) \\ &+ \Omega^{\alpha\gamma} \Omega^{\nu\rho} \Omega^{\epsilon\mu} \left( \int_{\Sigma} \operatorname{tr} \phi_\gamma \wedge \partial_{n^\nu} \partial_{n^\epsilon} A^{01} \right) \operatorname{tr} \phi_{\rho, z} \phi_{\mu, z} \\ &+ 4 \Omega^{\alpha\gamma} \sum_m \operatorname{tr} \phi_{\gamma, z} \mathbf{G}(z, z_m) (t^a) t_m^a \end{aligned}$$

et

$$\begin{aligned} \Upsilon(z) &= \frac{ik}{\pi} \operatorname{tr} \widetilde{\partial_z \mathbf{G}}(z, z) (t^a) t^a + \frac{ik}{\pi} \operatorname{tr} \widetilde{\mathbf{G}}(z, z) (t^a) \left[ t^a, \int_{\Sigma} \mathbf{G}(z, \cdot) (\partial A^{01}) \right] \\ &+ \frac{k^2}{4\pi^2} \operatorname{tr} \left( \int_{\Sigma} \mathbf{G}(z, \cdot) (\partial A^{01}) \right)^2 - \frac{ik}{2\pi} \Omega^{\alpha\gamma} \operatorname{tr} \phi_{\gamma, z} \int_{\Sigma} \mathbf{G}(z, \cdot) (\partial \partial_{n^\alpha} A^{01}) \\ &+ \frac{ik}{2\pi} \Omega^{\alpha\gamma} \operatorname{tr} \phi_{\gamma, z} \int_{\Sigma} \mathbf{G}(z, \cdot) \left( [\overline{D}^{-1}(\partial A^{01}), \partial_{n^\alpha} A^{01}]_+ \right) \\ &+ \frac{ik}{2\pi} \Omega^{\alpha\gamma} \Omega^{\nu\rho} \operatorname{tr} \phi_{\gamma, z} \phi_{\rho, z} \int_{\Sigma} \operatorname{tr} \overline{D}^{-1}(\partial A^{01}) \wedge \partial_{n^\alpha} \partial_{n^\nu} A^{01} \\ &- 4 \sum_m \operatorname{tr} \widetilde{\mathbf{G}}(z, z) (t^a) [t^a, \mathbf{G}(z, z_m) (t^b)] t_m^b + \frac{2ik}{\pi} \sum_m \operatorname{tr} \mathbf{G}(z, z_m) (t^a) \int_{\Sigma} \mathbf{G}(z, \cdot) (\partial A^{01}) t_m^a \end{aligned}$$



$$\begin{aligned}
 & -4 \sum_{m,m'} \text{tr} \mathbf{G}(z, z_m)(t^a) \mathbf{G}(z, z_{m'})(t^b) t_m^a t_{m'}^b \\
 & -2 \Omega^{\alpha\gamma} \sum_m \text{tr} \phi_{\gamma,z} \int_{\Sigma} \mathbf{G}(z, w) ([\mathbf{G}(w, z_m)(t^a) dw, \partial_{n^\alpha} A^{01}(w)]_+) t_m^a \\
 & -2 \Omega^{\alpha\gamma} \Omega^{\nu\rho} \text{tr} \phi_{\gamma,z} \phi_{\rho,z} \sum_m \int_{\Sigma} \mathbf{G}(u, z_m)(t^a) du \wedge \partial_{n^\alpha} \partial_{n^\nu} A^{01}(u) t_m^a.
 \end{aligned}$$

En résumé, les formules utiles pour le calcul de la connexion de KZB sont celles données par les équations (32), (33), (34.a-b).

## §7. Connexion de KZB sphérique

En genre zéro, l'orbite du champ nul est dense dans  $\mathcal{A}^{01}$ , *i.e.* presque tous les champs sont de la forme  $A^{01} = h^{-1} \bar{\partial} h$ , avec  $h \in \mathcal{G}^{\mathbb{C}}$  fixée à une constante près :  $h \mapsto h_0 h$ . L'espace des états de Chern-Simons est un sous-fibré du fibré trivial de fibre  $V_{\Delta}^G$ . On sait aussi qu'il n'existe qu'une structure complexe, donc seules  $\nabla_{z_\ell}$  et  $\nabla_{\bar{z}_\ell}$  ont un sens. Sur la sphère, la fonction de Green de  $\bar{D}$  est  $\mathbf{G}(z, w) = \frac{1}{2\pi i} \frac{1}{z-w}$ . Comme en plus le transport parallèle est trivial, on a  $\tilde{\mathbf{G}} \equiv 0$  d'où

$$\bullet \frac{\delta \Psi}{\delta A_{z_\ell}^a} \bullet = \frac{1}{\pi} \sum_{m \neq \ell} \frac{1}{z_\ell - z_m} t_m^a \Psi.$$

On retrouve bien la connexion de Knizhnik-Zamolodchikov déjà aperçue au chapitre 2

$$\nabla_{z_\ell} \Psi = \partial_{z_\ell} \Psi - \frac{1}{\kappa} H_\ell^{(0)} \Psi, \quad \nabla_{\bar{z}_\ell} \Psi = \partial_{\bar{z}_\ell} \Psi.$$

où  $H_\ell^{(0)}$  est le Hamiltonien de Gaudin :

$$H_\ell^{(0)}(\underline{z}) = 2 \sum_{m \neq \ell} \frac{t_\ell^a t_m^a}{z_\ell - z_m}. \tag{35}$$

L'exposant (0) est là pour signaler qu'on travaille en genre zéro. La platitude de la connexion est une conséquence de l'équation  $[H_\ell^{(0)}, H_{\ell'}^{(0)}] = 0$ , équation équivalente à l'EYBC pour  $t_1^a t_2^a / z$ :

$$\left[ \frac{t_n^a t_m^a}{z_n - z_m}, \frac{t_m^a t_\ell^a}{z_m - z_\ell} \right] + \text{permutations cycliques} = 0.$$

## §8. Systèmes de Hitchin sphériques

Pour identifier le système de Hitchin, on doit résoudre l'équation  $\mu(A^{01}, \varphi^{10}) = \sum_\ell \lambda_\ell \delta_{z_\ell}$ , c.-à-d.

$$\bar{\partial}({}^h \varphi^{10}) = \sum_\ell \nu_\ell \delta_{z_\ell}$$

où  $\nu_\ell = h(z_\ell)\lambda_\ell h(z_\ell)^{-1}$  appartient à l'orbite coadjointe de  $\lambda_\ell$  dans  $\mathfrak{g}^{\mathbb{C}}$  :  $\mathcal{O}_\ell = \{h_0\lambda_\ell h_0^{-1} \mid h_0 \in G^{\mathbb{C}}\}$ . Cette équation admet des solutions si, et seulement si, l'intégrale sur  $\Sigma$  du terme de droite est nulle, *i.e.* si la somme des résidus est nulle :  $\sum_\ell \nu_\ell = 0$ . On a alors

$${}^h\varphi^{10}(z) = \frac{1}{2\pi i} \sum_\ell \frac{\nu_\ell}{z - z_\ell} dz.$$

Soit  $G_\ell^{\mathbb{C}}$  le sous-groupe de  $G^{\mathbb{C}}$  fixant  $\lambda_\ell$  pour l'action adjointe. Il suit

$$\mathcal{G}_{z,\Delta}^{\mathbb{C}} = \left\{ h \in \mathcal{G}^{\mathbb{C}} \mid h(z_\ell) \in G_\ell^{\mathbb{C}}, \forall \ell \right\}.$$

L'espace des phases réduit est

$$\mathcal{P}_\mathcal{O}^{(0)} \cong \left\{ \underline{\nu} \in \prod_{\ell=1}^N \mathcal{O}_\ell \mid \sum_\ell \nu_\ell = 0 \right\} / G^{\mathbb{C}}.$$

Chaque orbite coadjointe peut être munie d'une structure symplectique naturelle donnant le crochet de Poisson  $\{\nu^a, \nu^b\} = if^{abc}\nu^c$  si  $\nu = \nu^a t^a$  et  $(t^a)$  est la base orthogonale de  $\mathfrak{g}^{\mathbb{C}}$ . La structure symplectique induite sur  $\mathcal{P}_\mathcal{O}^{(0)}$  coïncide avec celle qu'on obtient après réduction symplectique de  $\times_\ell \mathcal{O}_\ell$  par l'action diagonale de  $G^{\mathbb{C}}$ .

Comme  $p$  est un polynôme  $G^{\mathbb{C}}$ -invariant, on a  $p(\varphi^{10}) = p({}^h\varphi^{10})$ . L'application de Hitchin est donc

$$h_p(\underline{\nu})(z) = p\left(\frac{1}{2\pi i} \sum_\ell \frac{\nu_\ell}{z - z_\ell}\right) (dz)^{d_p},$$

soit encore

$$h_p(\underline{\nu})(z) = \sum_{n_1, \dots, n_{d_p}} \frac{p(\nu_{n_1}, \dots, \nu_{n_{d_p}})}{(z - z_1) \cdots (z - z_{d_p})} \left(\frac{dz}{2\pi i}\right)^{d_p}.$$

En particulier, si  $p = p_2$ ,  $h_{p_2}$  prend ses valeurs dans l'espace des formes quadratiques méromorphes et

$$h_{p_2}(\underline{\nu})(z) = \frac{1}{2} \sum_\ell \left( \frac{1}{(z - z_\ell)^2} \delta_\ell + \frac{1}{z - z_\ell} h_\ell^{(0)} \right) \left(\frac{dz}{2\pi i}\right)^2$$

où, à une constante multiplicative près,  $h_\ell^{(0)}$  est le résidu en  $z = z_\ell$ , *c.-à-d.*

$$h_\ell^{(0)}(\underline{\nu}) = 2 \sum_{m \neq \ell} \frac{\nu_\ell^a \nu_m^a}{z_\ell - z_m} \quad \text{et} \quad \delta_\ell = \nu_\ell^a \nu_\ell^a.$$

Soit  $\delta\mu$  une différentielle de Beltrami lisse à l'infini et se comportant comme  $\mathcal{O}((z - z_\ell)^2)$  autour des points d'insertion. Sur la sphère de Riemann,  $\delta\mu = \bar{\partial}(\delta v)$  avec  $\delta v = \delta v^z \partial_z$  un champ de vecteur lisse sur  $\mathbb{C}P^1$ . Ce dernier est complètement déterminé modulo les sections holomorphes de  $K^{-1}$ . Sur la sphère de Riemann,  $h^0(K^{-1}) = 3$  ; les éléments de  $H^0(K^{-1})$  engendrent  $SL_2 : (a + bz + cz^2)\partial_z$ . La nouvelle coordonnée complexe sur  $\mathbb{C}P^1$  est donnée par  $z' = z + \delta v^z$ . La coordonnée du point  $\xi_\ell$  change donc de  $\delta z_\ell = \delta v^z(\xi_\ell)$  et le 1-jet en  $\xi_\ell$  change de  $\delta\chi_\ell = \chi_\ell \partial_z(\delta v^z)(\xi_\ell)$ . On peut alors calculer  $h_{\delta\mu}$  en scindant l'intégration en une intégrale sur de petites boules autour des points d'insertion et une intégrale sur le reste de  $\Sigma$  :

$$\begin{aligned} h_{\delta\mu} &= \frac{1}{2} \sum_\ell \int_\Sigma \left( \frac{1}{(z - z_\ell)^2} \delta_\ell + \frac{1}{z - z_\ell} h_\ell^{(0)} \right) \left(\frac{dz}{2\pi i}\right)^2 \bar{\partial}(\delta v) \\ &= \frac{1}{4\pi i} \sum_\ell \left( \delta_\ell \chi_\ell^{-1} \delta\chi_\ell + h_\ell^{(0)} \delta z_\ell \right). \end{aligned}$$

On sait que la connexion de KZ est donnée par

$$\begin{aligned}\nabla_{\delta\mu}\Psi &= \sum_{\ell} \left( \delta\chi_{\ell} (\partial_{\chi_{\ell}} - \chi_{\ell}^{-1}\Delta_{\ell}) + \delta z_{\ell} (\partial_{z_{\ell}} - \frac{1}{\kappa}H_{\ell}^{(0)}) \right) \Psi, \\ \nabla_{\bar{\delta}\mu}\Psi &= \sum_{\ell} \left( \delta\bar{\chi}_{\ell} \partial_{\bar{\chi}_{\ell}} + \delta\bar{z}_{\ell} \partial_{\bar{z}_{\ell}} \right) \Psi\end{aligned}$$

où

$$H_{\ell}^{(0)}(\underline{\xi}) = 2 \sum_{m \neq \ell} \frac{t_{\ell}^a t_m^a}{z_{\ell} - z_m} \quad \text{et} \quad \Delta_{\ell} = C_{\ell}/\kappa.$$

Mise à part la translation  $k \mapsto \kappa = k + g^{\vee}$ , on déduit  $\Delta_{\ell}$  et  $\frac{1}{\kappa}H_{\ell}^{(0)}$  de  $\frac{2k}{\pi} \frac{1}{4\pi i} \delta_{\ell}$  et  $\frac{2k}{\pi} \frac{1}{4\pi i} h_{\ell}^{(0)}$  par la quantification géométrique des orbites coadjointes, c.-à-d. le remplacement des  $\nu_{\ell}^a$  par les opérateurs  $\frac{\sqrt{2i\pi}}{k} t_{\ell}^a$ . Le crochet de Poisson devient  $\frac{k}{\sqrt{2i\pi}}$  fois le commutateur —  $\frac{1}{k}$  joue le rôle de la constante de Planck.

## §9. Connexion de KZB elliptique

On calcule la connexion de KZB en genre un, c.-à-d. définie sur une courbe elliptique  $\Sigma = E_{\tau} = \mathbb{C}/(\mathbb{Z} + \tau\mathbb{Z})$ . On sait que l'orbite de  $A_u^{01} = \pi u \tau_2^{-1} d\bar{z}$ ,  $u \in \mathfrak{t}^{\mathbb{C}} \setminus P^{\vee} + \tau P^{\vee}$ , est dense dans  $\mathcal{A}^{01}$ . On utilise la base  $\mathfrak{B}$  formée des  $e_{\alpha}$ ,  $\alpha \in \Delta$ , et des  $h^j$ ,  $j = 1, \dots, r$ , base orthonormale de la sous-algèbre de Cartan  $\mathfrak{t}^{\mathbb{C}}$ . Remarquons que les formules donnant la connexion sont obtenues pour une base orthogonale  $\mathfrak{A} = (t^a)$ ,  $\text{tr } t^a t^b = \delta^{ab}/2$ . Une partie du jeu consiste à jongler entre  $\mathfrak{A}$  et  $\mathfrak{B}$ .

L'opérateur  $\bar{D} = \bar{\partial} + [A_u^{01}, \cdot]_+$  agit sur les  $(1,0)$ -formes  $\phi$  sur  $\Sigma$  à valeurs dans  $\mathfrak{g}^{\mathbb{C}}$ . On décompose  $\phi$  sur la base  $\mathfrak{B}$ ,  $\phi = \phi^{\alpha} e_{\alpha} + \phi^j h^j$ , ainsi  $\bar{D}\phi = \bar{\partial}\phi^j h^j + \bar{\partial}_{\alpha}\phi^{\alpha} e_{\alpha}$ , où  $\bar{\partial}_{\alpha} = \bar{\partial} + (\pi u_{\alpha}/\tau_2) d\bar{z}$ . Si  $\phi$  est un mode zéro de  $\bar{D}$ ,  $\phi^j$  est constante en tant que fonction anti-analytique et  $(\mathbb{Z} + \tau\mathbb{Z})$ -périodiques. Ensuite, l'égalité

$$\bar{\partial}_{\alpha} = e^{\pi u_{\alpha}(z-\bar{z})/\tau_2} \bar{\partial} e^{-\pi u_{\alpha}(z-\bar{z})/\tau_2}$$

permet de déduire que  $\phi^{\alpha} = 0$ , dès que  $u \notin P^{\vee} + \tau P^{\vee}$ , ce qu'on a supposé au début. Ainsi, le noyau de  $\bar{D}$  est engendré par les  $\phi_0^j = h^j dz$ . Maintenant, on s'intéresse à la fonction de Green  $\mathbf{G}$  de  $\bar{D}^{-1}$ . Décomposons la fonction de Green sur  $\mathfrak{B}$  :  $\mathbf{G}(w, z) = \mathbf{g}_{\alpha}(w, z) e_{\alpha} + \mathbf{g}_j(w, z) h^j$ . Chaque composante est une fonction  $(\mathbb{Z} + \tau\mathbb{Z})$ -périodiques à valeurs dans  $\mathbb{C}$ . Seules  $\mathbf{g}_j(w, z)(h^j)$ ,  $\mathbf{g}_{\alpha}(w, z)(e_{\alpha})$  ne sont pas nulles — on les note simplement  $G_j, G_{\alpha}$  — elles satisfont les équations suivantes

$$\begin{aligned}\partial_{\bar{w}} G_j(w, z) &= \frac{1}{2i} \delta^{(2)}(w - z) + \text{cte}, & \int_{\Sigma} G_j(w, z) d^2w &= 0, \\ (\partial_{\bar{w}} + \frac{\pi u_{\alpha}}{\tau_2}) G_{\alpha}(w, z) &= \frac{1}{2i} \delta^{(2)}(w - z).\end{aligned}\tag{36}$$

Une manière économique d'obtenir  $G_{\alpha}$  utilise la fraction  $P$  construite à partir de la fonction thêta de Jacobi  $\vartheta_1$  :

$$G_{\alpha}(w, z) = \frac{1}{2\pi i} e^{\pi u_{\alpha}(w-\bar{w}-z+\bar{z})/\tau_2} P_{u_{\alpha}}(w - z).$$

La fonction de Green de  $\bar{\partial}$  sur  $E_\tau$  n'est pas unique. Par contre, la deuxième condition de (36) assure l'unicité de  $G_j$ . Le résultat est

$$G_j(w, z) = \frac{1}{2\pi i} \rho(w - z) + \frac{w - \bar{w} - z + \bar{z}}{2i\tau_2}.$$

Celui-ci ne dépendant pas de  $j$ , on le note  $H$ . Cette fonction vérifie la première condition de (36) puisque  $\partial_{\bar{w}} H(w, z) = \frac{1}{2i} \delta^{(2)}(w - z) - \frac{1}{2i\tau_2}$ . Remarquons que le deuxième critère imposé par (36) est aussi rempli car  $\frac{1}{2\pi i} \rho(y) + \frac{1}{2i\tau_2} (y - \bar{y})$  est la dérivée totale de la fonction monovaluée :  $\frac{1}{2\pi i} \ln |\vartheta_1(y)|^2 + \frac{1}{4i\tau_2} (y - \bar{y})^2$ . Pour régulariser les fonctions de Green on utilise les équations (33) pour le transport parallèle de  $A_u^{01}$  :

$$\begin{aligned} \tilde{\mathbf{G}}(w, z) &= e^{\nu u_\alpha} \mathbf{g}_\alpha(w, z) e_\alpha + \mathbf{g}_j(w, z) h^j - \frac{1}{2\pi i} \frac{i\mathbf{d}}{w-z} \\ \partial_z \tilde{\mathbf{G}}(w, z) &= e^{\nu u_\alpha} \partial_z \mathbf{g}_\alpha(w, z) e_\alpha + \partial_z \mathbf{g}_j(w, z) h^j - \frac{1}{2\pi i} \frac{i\mathbf{d}}{(w-z)^2} \end{aligned}$$

où  $\nu = \pi(\bar{w} - \bar{z})/\tau_2$ . On note  $\tilde{G}_\alpha$  la partie régulière de  $G_\alpha$  et ainsi de suite avec les autres fonctions. On trouve sans problème :

$$\begin{aligned} \tilde{H} &= 0, & \tilde{G}_\alpha &= -\frac{i u_\alpha}{2\tau_2} + \frac{1}{2\pi i} \rho(u_\alpha), & \partial_z \tilde{H} &= \frac{1}{\pi i} \eta_1 - \frac{1}{2i\tau_2}, \\ \partial_z \tilde{G}_\alpha &= \frac{\pi i u_\alpha^2}{4\tau_2^2} + \frac{i u_\alpha}{2\tau_2} \rho(u_\alpha) - \frac{1}{4\pi i} \frac{\vartheta_1''}{\vartheta_1}(u_\alpha) - \frac{1}{2\pi i} \eta_1 ; \end{aligned}$$

pour des raisons triviales, on a supprimé la dépendance en  $z$ .

Maintenant, on possède tous les ingrédients nécessaires au calcul de la connexion. Reprenons l'équation (34.a) :

$$\begin{aligned} \bullet \frac{\delta \Psi}{\delta A_{z_\ell}^a} \bullet &= -2i \Omega^{j\ell} \operatorname{tr}(t^a \phi_{0, z_\ell}^\ell) \partial_{u^j} \Psi + 4i \sum_{m \neq \ell} \operatorname{tr} t^a \mathbf{G}(z_\ell, z_m) (t^b) t_m^b \Psi \\ &+ 4i \operatorname{tr} t^a \tilde{\mathbf{G}}(z_\ell, z_\ell) (t^b) t_\ell^b \Psi \end{aligned}$$

où  $u = u^j h^j$ . On vérifie simplement que  $\Omega = \frac{i}{2\pi} 1$ . Cela dit, dans ces formules, on utilise une base orthogonale, en l'occurrence  $\mathfrak{A}$ . Or, on a calculé les fonctions de Green par rapport à  $\mathfrak{B}$ . On doit donc d'abord effectuer le changement adéquat. On n'a pas besoin de connaître explicitement les matrices de passage entre  $\mathfrak{A}$  et  $\mathfrak{B}$ . Si  $e_\alpha = P^{\alpha a} t^a$ ,  $h^j = P^{j a} t^a$  et inversement  $t^a = P_{a\alpha} e_\alpha + P_{aj} h^j$ , on montre que

$$\operatorname{tr}(t^a h^j) t^a = P_{aj} t^a = \frac{1}{2} h^j, \quad \operatorname{tr}(t^a e_\alpha) t^a = \operatorname{tr}(e_\alpha e_{-\alpha}) P_{a, -\alpha} t^a = \frac{1}{2} e_\alpha. \quad (37)$$

À l'aide de ces formules, on trouve

$$\begin{aligned} -\frac{2\pi}{\kappa} t_\ell^a \bullet \frac{\delta \Psi}{\delta A_{z_\ell}^a} \bullet &= -\frac{1}{\kappa} \sum_{j=1}^r (h^j)_\ell \partial_{u^j} \Psi - \frac{2\pi i}{\kappa} \sum_{m \neq \ell} \left\{ \sum_{\alpha} G_\alpha(z_\ell, z_m) (e_\alpha)_\ell (e_{-\alpha})_m \right. \\ &+ \left. \sum_{j=1}^r H(z_\ell, z_m) (h^j)_\ell (h^j)_m \right\} \Psi - \frac{2\pi i}{\kappa} \sum_{\alpha > 0} \tilde{G}_\alpha(X_\alpha)_\ell \Psi. \end{aligned}$$

Au chapitre 3, on a représenté les états de Chern-Simons par des applications holomorphes  $\gamma : \mathfrak{t}^{\mathbb{C}} \rightarrow V_{\underline{\lambda}}$ , avec

$$\Psi(A_u^{01}) = e^{\pi k |u|^2 / (2\tau_2)} \otimes_{\ell} \left( e^{\pi(z_{\ell} - \bar{z}_{\ell})u / \tau_2} \right)_{R_{\ell}} \gamma(u)$$

et  $\gamma$  satisfait les conditions de la p. 91. La connexion de KZB est considérablement plus simple quand on regarde son action sur  $\gamma$ . En fait, on utilise même la description en termes de fonctions thêta :  $\theta(u) = \Pi(u, \tau) \gamma(u)$ . On note  $\delta(\tau, u, \underline{\xi})$  la fonction qui réalise le changement de fonction  $\Psi(A_u^{01}) = \delta(\tau, u, \underline{\xi}) \theta(u)$ . Le résultat est :

$$\nabla_{z_{\ell}} \theta \equiv \delta^{-1} \nabla_{z_{\ell}} \Psi = \partial_{z_{\ell}} \theta - \frac{1}{\kappa} H_{\ell}^{(1)} \theta$$

où  $H_{\ell}^{(1)}$  est une généralisation du Hamiltonien de Gaudin :

$$H_{\ell}^{(1)}(\tau, \underline{\xi}) = \sum_{j=1}^r (h^j)_{\ell} \partial_{u_j} + \sum_{m \neq \ell} \left\{ \sum_{\alpha} P_{u_{\alpha}}(z_{\ell} - z_m) (e_{\alpha})_{\ell} (e_{-\alpha})_m + \sum_{j=1}^r \rho(z_{\ell} - z_m) (h^j)_{\ell} (h^j)_m \right\}.$$

Le lecteur désireux de refaire le chemin menant à  $\nabla_{z_{\ell}} \theta$  pourra regarder attentivement ce qui suit ; il y trouvera tous les ingrédients nécessaires pour mener à bien les calculs. Dans la partie  $\nabla_{\delta\mu}$  de la connexion, entre autres, intervient la première dérivée de  $\Psi$  donnée par l'équation (32), qui dans le cas en question se lit

$$\frac{\delta \Psi}{\delta A_{\bar{z}}} = \frac{1}{2\pi} h^j \partial_{u_j} \Psi + i \sum_m \left\{ G_{\alpha}(z, z_m) e_{\alpha} (e_{-\alpha})_m + G_j(z, z_m) h^j (h^j)_m \right\} \Psi.$$

Pour une surface elliptique  $E_{\tau}$ , la variation de la structure complexe est représentée par

$$\delta \mathbb{J} = \frac{\delta \tau}{\tau_2} \partial_z \otimes d\bar{z} + \frac{\delta \bar{\tau}}{\tau_2} \partial_{\bar{z}} \otimes dz.$$

En particulier,  $\delta \mu_{\bar{z}}^z = \delta \tau / \tau_2$  est constante. Comme de plus  $A_u^{10} = -(A_u^{01})^{\dagger} = -\pi u^{\dagger} / \tau_2 dz$ ,  $u^{\dagger} = \bar{u}^j h^j \in \mathfrak{t}^{\mathbb{C}}$ , la première dérivée contribue dans  $\nabla_{\delta\mu}$  par

$$i \int_{\Sigma} \text{tr} A_z \frac{\delta \Psi}{\delta A_{\bar{z}}} \delta \mu_{\bar{z}}^z d^2 z = -\frac{i}{2\tau_2} \delta \tau \sum_{j=1}^r \bar{u}^j \partial_{u_j} \Psi.$$

D'autre part, le Laplacien sur l'espace des champs de jauge est donné par l'équation (34.b) :

$$\text{tr} \bullet \frac{\delta}{\delta A_{\bar{z}}} \frac{\delta \Psi}{\delta A_{\bar{z}}} \bullet = \frac{1}{4\pi^2} \Delta_u \Psi + \Xi^j(z) \partial_{u_j} \Psi + \Upsilon(z) \Psi,$$

où  $\Delta_u = \sum_j (\partial_{u_j})^2$  et

$$\begin{aligned} \Xi^j(z) &= 2 \Omega^{jk} \text{tr} \tilde{\mathbf{G}}(z, z) (t^a) \left[ t^a, \phi_{0,z}^k \right] + \Omega^{jk} \Omega^{\ell m} \text{tr} \phi_{0,z}^m \int_{\Sigma} \mathbf{G}(z, \cdot) \left( \left[ \phi_{0,z}^k, \partial_{u^{\ell}} A^{01} \right]_{+} \right) \\ &\quad + 4 \Omega^{jk} \sum_m \text{tr} \phi_{0,z}^k \mathbf{G}(z, z_m) (t^a) t_m^a, \\ &= \frac{i}{2\pi} \sum_{\alpha} \alpha^j \tilde{G}_{\alpha} + \frac{i}{\pi} \sum_{\ell} H(z, z_{\ell}) (h^j)_{\ell}, \end{aligned}$$

où  $\alpha^j = \alpha(h^j)$  — à ne pas confondre avec la racine simple  $\alpha_j$  — ainsi que

$$\begin{aligned} \Upsilon(z) &= \frac{ik}{\pi} \operatorname{tr} \partial_z \widetilde{\mathbf{G}}(z, z) (t^a) t^a - 4 \sum_m \operatorname{tr} \widetilde{\mathbf{G}}(z, z) (t^a) [t^a, \mathbf{G}(z, z_m) (t^b)] t_m^b \\ &\quad - 4 \sum_{m, m'} \operatorname{tr} \mathbf{G}(z, z_m) (t^a) \mathbf{G}(z, z_{m'}) (t^b) t_m^a t_{m'}^b \\ &\quad - 2 \Omega^{jk} \sum_m \operatorname{tr} \phi_{0, z}^k \int_{\Sigma} \mathbf{G}(z, w) ([\mathbf{G}(w, z_m) (t^a) dw, \partial_{u^j} A^{01}(w)]_+) t_m^a, \\ &= \frac{ik}{2\pi} \left\{ \sum_{\alpha} \partial_z \widetilde{G}_{\alpha} + \sum_{j=1}^r \partial_z \widetilde{H} \right\} - \sum_{\alpha} \widetilde{G}_{\alpha} \sum_{\ell} H(z, z_{\ell}) (X_{\alpha})_{\ell} \\ &\quad - \sum_{\ell, m} \left\{ \sum_{\alpha} G_{-\alpha}(z, z_{\ell}) G_{\alpha}(z, z_m) (e_{\alpha})_{\ell} (e_{-\alpha})_m + \sum_{j=1}^r H(z, z_{\ell}) H(z, z_m) (h^j)_{\ell} (h^j)_m \right\}. \end{aligned}$$

Bien que relativement long, le calcul utilise uniquement les équations (37). La contribution du Laplacien dans  $\nabla_{\delta\mu}$  est alors

$$\begin{aligned} \frac{i\pi}{\kappa} \int_{\Sigma} \operatorname{tr} \bullet \frac{\delta}{\delta A_{\bar{z}}} \frac{\delta \Psi}{\delta A_{\bar{z}}} \bullet \delta \mu_{\bar{z}} d^2 z &= \frac{1}{\kappa} \delta \tau \left\{ \frac{i}{4\pi} \Delta_u \Psi - \sum_{\alpha > 0} \alpha^j \widetilde{G}_{\alpha} \partial_{u^j} \Psi \right. \\ &\quad \left. - \frac{k}{2} \left( \sum_{\alpha} \partial_z \widetilde{G}_{\alpha} + \sum_{j=1}^r \partial_z \widetilde{H} \right) \Psi + i\pi \mathcal{I} \right\}. \end{aligned}$$

On a isolé la partie  $\mathcal{I}$  comportant des intégrales non-triviales :

$$\begin{aligned} -\tau_2 \mathcal{I} &= \sum_{\ell, m} \left\{ \sum_{\alpha} \int_{\Sigma} G_{-\alpha}(z, z_{\ell}) G_{\alpha}(z, z_m) d^2 z (e_{\alpha})_{\ell} (e_{-\alpha})_m \right. \\ &\quad \left. + \sum_{j=1}^r \int_{\Sigma} H(z, z_{\ell}) H(z, z_m) d^2 z (h^j)_{\ell} (h^j)_m \right\}. \end{aligned}$$

On calculera ces intégrales après le changement de fonction  $\Psi \mapsto \theta$ . Pour le moment, utilisant la forme explicite des fonctions de Green, on peut écrire

$$\nabla_{\delta\mu} \Psi = d_{\delta\mu} \Psi + \delta \tau \left( \frac{1}{\kappa} \frac{i}{4\pi} \Delta_u \Psi + \sum_{j=1}^r X^j \partial_{u^j} \Psi + X \Psi \right)$$

avec

$$\begin{aligned} X^j &= \frac{i}{2\tau_2} (u^j - \bar{u}^j) + \frac{1}{\kappa} \frac{1}{2\pi i} \varphi^j, \\ X &= -\frac{k}{\kappa} \left\{ \sum_{\alpha > 0} \left( \frac{\pi i u_{\alpha}^2}{4\tau_2^2} + \frac{i u_{\alpha}}{2\tau_2} \rho(u_{\alpha}) - \frac{1}{4\pi i} \frac{\vartheta_1''}{\vartheta_1}(u_{\alpha}) - \frac{1}{2\pi i} \eta_1 \right) \right. \\ &\quad \left. + \sum_{j=1}^r \left( \frac{1}{2\pi i} \eta_1 - \frac{1}{4i\tau_2} \right) \right\} + \frac{i\pi}{\kappa} \mathcal{I}. \end{aligned}$$

Il est commode d'introduire les deux variables

$$\varphi^j = \frac{\pi k u^j}{\tau_2} - \sum_{\alpha > 0} \alpha^j \rho(u_{\alpha}) \quad \text{et} \quad \sigma^j = \sum_{\ell} (z_{\ell} - \bar{z}_{\ell}) (h^j)_{\ell}$$

car elles interviennent tout le temps, par exemple avec  $\delta^{-1}\partial_{u^j}\delta = \varphi^j + \frac{\pi}{\tau_2}\sigma^j$ . Comme pour  $\nabla_{z_\ell}\Psi$ , on effectue le changement de fonction  $\Psi \mapsto \theta$ . Après un peu de calculs, on obtient

$$\delta^{-1}\nabla_{\delta\mu}\Psi = \delta^{-1}d_{\delta\mu}(\delta\theta) + \delta\tau\left(\frac{1}{\kappa}\frac{i}{4\pi}\Delta_u\Psi + \sum_{j=1}^r Y^j\partial_{u^j}\theta + Y\theta\right)$$

avec

$$\begin{aligned} Y^j &= \frac{1}{\kappa}\frac{i}{2\tau_2}\sigma^j + \frac{i}{2\tau_2}(u^j - \bar{u}^j), \\ Y &= \frac{i}{2\tau_2}\sum_{j=1}^r(u^j - \bar{u}^j)\delta^{-1}\partial_{u^j}\delta - \frac{\pi ik}{4\tau_2^2}|u|^2 + \frac{1}{\kappa}\frac{i\pi}{4\tau_2^2}\sum_{j=1}^r(\sigma^j)^2 + \frac{i\pi}{\kappa}\delta^{-1}\mathcal{J}\delta \\ &\quad + \frac{1}{\kappa}\frac{1}{4\pi i}\left(\sum_{\alpha>0}|\alpha|^2\rho'(u_\alpha) + \sum_{\alpha,\beta>0}\text{tr}\alpha\beta\rho(u_\alpha)\rho(u_\beta)\right) \\ &\quad + \frac{k}{\kappa}\frac{1}{4\pi i}\left((d-3r)\eta_1 + \sum_{\alpha>0}\frac{\vartheta_1''}{\vartheta_1}(u_\alpha)\right) \end{aligned}$$

où  $d$  est la dimension de  $\mathfrak{g}$  et  $r$  son rang. À première vue, les deux derniers termes sont surprenants. Toutefois d'après la section 4.4 ce ne sont que des formes déguisées du dénominateur de Weyl-Kac. Ainsi  $Y$  vaut

$$Y = \frac{i}{2\tau_2}\sum_{j=1}^r(u^j - \bar{u}^j)\delta^{-1}\partial_{u^j}\delta - \frac{\pi ik}{4\tau_2^2}|u|^2 + \frac{1}{\kappa}\frac{i\pi}{4\tau_2^2}\sum_{j=1}^r(\sigma^j)^2 + \Pi^{-1}\partial_\tau\Pi + \frac{i\pi}{\kappa}\delta^{-1}\mathcal{J}\delta.$$

Il est plus astucieux de ne pas chercher à calculer immédiatement les intégrales dans  $\delta^{-1}\mathcal{J}\delta$  et d'attendre d'avoir fini de débroussailler la zone. On en vient maintenant à un point clé du calcul. À la fin on désire exprimer  $\nabla_\tau\theta \equiv \delta^{-1}\nabla_\tau\Psi$  en fonction des dérivées partielles  $\partial_\tau$ ,  $\partial_{u^j}$ ,  $\partial_{\bar{u}^j}$ ,  $\partial_{z_\ell}$  et  $\partial_{\bar{z}_\ell}$  de  $\theta$ . Il faut donc connaître le passage de  $\nabla_{\delta\mu}$  à  $\nabla_\tau$  ainsi que celui de  $d_{\delta\mu}$  à  $\partial_\tau$ , ... Naïvement, on pourrait croire que cette transformation est simplement  $d_{\delta\mu} = \delta\tau\partial_\tau$ . En fait, la dérivation de  $\delta\mu$  agit comme une dérivée totale sur la structure complexe alors que les dérivées partielles en  $u$ , ... supposent un choix préalable de structure complexe. En effet, le choix d'une décomposition en parties analytiques et anti-analytiques du champ et des coordonnées des points d'insertion présuppose une structure complexe. En principe, on a

$$d_{\delta\mu} = \delta\tau\partial_\tau + \sum_j \delta u^j \partial_{u^j} + \sum_j \delta \bar{u}^j \partial_{\bar{u}^j} + \sum_\ell (\delta z_\ell \partial_{z_\ell} + \delta \bar{z}_\ell \partial_{\bar{z}_\ell}).$$

Par exemple, pour trouver les variations de  $u^j$  et  $\bar{u}^j$ , il suffit de trouver quelles  $\delta u^j$  et  $\delta \bar{u}^j$  sont telles que la variation du champ complet  $A_u$  par rapport à celles-ci compense la variation du champ par rapport à la structure complexe ( $\delta\bar{\tau} = 0$ ), c.-à-d.  $\delta_u A_u + \delta_\tau A_u = 0$ . On finit par trouver

$$\begin{aligned} \delta\tau\nabla_\tau &= \nabla_{\delta\mu} - \delta\tau\sum_\ell \frac{z_\ell - \bar{z}_\ell}{2i\tau_2}\nabla_{z_\ell}, \\ d_{\delta\mu} &= \delta\tau\left(\partial_\tau + \sum_j \frac{u^j - \bar{u}^j}{2i\tau_2}\partial_{u^j} + \sum_\ell \frac{z_\ell - \bar{z}_\ell}{2i\tau_2}\partial_{z_\ell}\right). \end{aligned}$$

Quand on effectue ces quelques changements, presque tous les termes disparaissent et

$$\begin{aligned} \nabla_{\tau}\theta &= \partial_{\tau}\theta + \frac{1}{\kappa} \frac{i}{4\pi} \Delta_u \theta + \frac{1}{\kappa} \frac{i\pi}{4\tau_2^2} \sum_j (\sigma^j)^2 \theta + \frac{i\pi}{\kappa} \delta^{-1} \mathcal{I} \delta \theta \\ &+ \frac{1}{\kappa} \frac{1}{2i\tau_2} \sum_{\ell} (z_{\ell} - \bar{z}_{\ell}) \sum_{m \neq \ell} \left\{ \sum_{\alpha} P_{u_{\alpha}}(z_{\ell} - z_m) (e_{\alpha})_{\ell} (e_{-\alpha})_m \right. \\ &\left. + \sum_{j=1}^r \rho(z_{\ell} - z_m) (h^j)_{\ell} (h^j)_m \right\} \theta. \end{aligned}$$

Il ne reste plus qu'à calculer  $\delta^{-1} \mathcal{I} \delta$ . Déjà, l'action adjointe de  $\delta$  sur  $\mathcal{I}$  n'intervient que sur  $(e_{\alpha})_{\ell} (e_{-\alpha})_m$  et supprime les exponentielles dans le produit  $G_{-\alpha}(z, z_{\ell}) G_{\alpha}(z, z_m)$ . Par conséquent,

$$\delta^{-1} \mathcal{I} \delta = \sum_{\ell, m} \left\{ \frac{1}{4\pi^2 \tau_2} \sum_{\alpha} \Delta_{\alpha}(z_{\ell}, z_m) (e_{\alpha})_{\ell} (e_{-\alpha})_m - \frac{1}{\tau_2} \sum_{j=1}^r \Delta(z_{\ell}, z_m) (h^j)_{\ell} (h^j)_m \right\}$$

où

$$\begin{aligned} \Delta_{\alpha}(z_{\ell}, z_m) &= \int_{\Sigma} P_{-u_{\alpha}}(z - z_{\ell}) P_{u_{\alpha}}(z - z_m) d^2 z, \\ \Delta(z_{\ell}, z_m) &= \int_{\Sigma} H(z, z_{\ell}) H(z, z_m) d^2 z. \end{aligned}$$

Ces quantités ne dépendent que de la différence  $y = z_{\ell} - z_m$ . En cherchant leur dérivée par rapport à  $\bar{y}$ , on déduit aisément que, si  $y \neq 0$ ,

$$\begin{aligned} \Delta(y) &= -\frac{1}{8\tau_2} (y - \bar{y})^2 - \frac{1}{4\pi} (y - \bar{y}) \rho(y) - \frac{\tau_2}{8\pi^2} \frac{\vartheta_1''}{\vartheta_1}(y) + C, \\ \Delta_{\alpha}(y) &= \pi (y - \bar{y}) P_{u_{\alpha}}(y) - \tau_2 \partial_x P_{u_{\alpha}}(y). \end{aligned}$$

La constante  $C$  est fixée par la condition  $\int_{\Sigma} \Delta(y) d^2 y = 0$ . On peut déduire de ces résultats les intégrales aux points coïncidents en prenant la limite  $y \rightarrow 0$  sur la droite réelle

$$\Delta(0) = \frac{3\tau_2}{4\pi^2} \eta_1 + C, \quad \Delta_{\alpha}(0) = \tau_2 \rho'(u_{\alpha}).$$

On peut peut-être calculer explicitement la constante  $C$  mais, comme elle disparaît d'elle-même dans le calcul, ce n'est pas important. La fin ne pose aucun problème. Il suffit de scinder  $\delta^{-1} \mathcal{I} \delta$  en deux sommes, l'une portant sur toutes les configurations et l'autre évitant les points coïncidents. La première somme contient les trois termes contenant  $y - \bar{y}$  — *i.e.* les termes nuls par passage à la limite  $y \rightarrow 0$ ,  $y \in \mathbb{R}$  — et la seconde le prolongement analytique des trois autres. Presque tous les termes se compensent et  $\nabla_{\tau}\theta = \partial_{\tau}\theta - \frac{1}{\kappa} H_0^{(1)} \theta$  où

$$H_0^{(1)}(\tau, \underline{\xi}) = -\frac{i}{4\pi} \Delta_u - \frac{i}{4\pi} \sum_{\ell, m} \left\{ \sum_{\alpha} \partial_x P_{u_{\alpha}}(z_{\ell} - z_m) (e_{\alpha})_{\ell} (e_{-\alpha})_m + \frac{1}{2} \sum_{j=1}^r \frac{\vartheta_1''}{\vartheta_1}(z_{\ell} - z_m) (h^j)_{\ell} (h^j)_m \right\}.$$

Enfin, il reste le calcul de  $\bar{\partial}$ . On trouve sans difficulté  $\partial_{\bar{z}_{\ell}} \theta = \partial_{z_{\ell}} \theta$  et  $\partial_{\bar{\tau}} \theta = \partial_{\tau} \theta + \sum_j \frac{u^j - \bar{u}^j}{2i\tau_2} \partial_{\bar{u}^j} \theta$ . En plus,  $\gamma$  est une fonction holomorphe donc de dérivée  $\partial_{\bar{u}^j} \gamma$  nulle. En résumé,



la connexion de KZB exprimée dans son action sur les fonctions thêta est

$$\begin{aligned} \nabla_{\bar{z}_\ell} &= \partial_{\bar{z}_\ell}, & \nabla_{\bar{\tau}} &= \partial_{\bar{\tau}}, \\ \nabla_{z_\ell} &= \partial_{z_\ell} - \frac{1}{\kappa} H_\ell^{(1)}, & \nabla_{\tau} &= \partial_{\tau} - \frac{1}{\kappa} H_0^{(1)} \end{aligned}$$

où

$$\begin{aligned} H_\ell^{(1)}(\tau, \underline{\xi}) &= \sum_{j=1}^r (h^j)_\ell \partial_{u^j} + \sum_{m \neq \ell} \left\{ \sum_{\alpha} P_{u_\alpha}(z_\ell - z_m) (e_\alpha)_\ell (e_{-\alpha})_m + \sum_{j=1}^r \rho(z_\ell - z_m) (h^j)_\ell (h^j)_m \right\}, \\ H_0^{(1)}(\tau, \underline{\xi}) &= -\frac{i}{4\pi} \Delta_u - \frac{i}{4\pi} \sum_{\ell, m} \left\{ \sum_{\alpha} \partial_x P_{u_\alpha}(z_\ell - z_m) (e_\alpha)_\ell (e_{-\alpha})_m + \frac{1}{2} \sum_{j=1}^r \frac{\vartheta_1''}{\vartheta_1}(z_\ell - z_m) (h^j)_\ell (h^j)_m \right\}. \end{aligned}$$

La platitude de la connexion est assurée par les relations :  $[H_\ell^{(1)}, H_{\ell'}^{(1)}] = 0$ , pour  $\ell, \ell' = 0, 1, \dots, N$ , équations équivalentes à l'EYBC dynamique [51]. Le cas le plus simple est  $G = \text{SU}_2$  avec l'insertion d'un spin  $j$  en  $z$ . La seule partie non-triviale est

$$\nabla_{\tau} = \partial_{\tau} + \frac{i}{2\pi\kappa} \partial_v^2 - \frac{ij(j+1)}{2\pi\kappa} (\varphi(v) + 2\eta_1)$$

où  $\kappa = k + 2$ ,  $\varphi$  est la fonction de Weierstraß et  $u = vh/\sqrt{2}$ . On a utilisé l'égalité  $\partial_x P_v(0) = \rho'(v) = -\varphi(v) - 2\eta_1$ . Il apparaît l'opérateur de Lamé  $\partial_v^2 + c\varphi(v)$  — pour le groupe  $G = \text{SU}_n$  c'est l'opérateur de Calogero-Sutherland elliptique (généralisé).

## §10. Systèmes de Hitchin elliptiques

On reprend les notations de la section 3.6. Les champs sont paramétrisés par  $u \in \mathfrak{t}^{\mathbb{C}} \setminus (P^\vee + \tau P^\vee)$  et  $h \in \mathcal{G}^{\mathbb{C}} : A^{01} = h^{-1} A_u^{01} = (\gamma_u h)^{-1} \bar{\partial}(\gamma_u h)$ . Pour éviter les ambiguïtés dans la paramétrisation, on doit identifier les paires suivantes

$$(u, h) \sim (wuw^{-1}, wh) \sim (u + q^\vee, h_{q^\vee}^{-1} h) \sim (u + \tau q^\vee, h_{\tau q^\vee}^{-1} h),$$

avec  $q^\vee$  dans le réseau des coracines  $Q^\vee$  et  $w$  dans le groupe de Weyl  $W$ . Comme en genre zéro, on doit résoudre l'équation

$$\bar{\partial}(\gamma_u h \varphi^{01}) = \sum_{\ell} \nu_{\ell} \delta_{z_{\ell}} \quad (38)$$

où  $\nu_{\ell} = (\gamma_u h)(z_{\ell}) \lambda_{\ell} (\gamma_u h)(z_{\ell})^{-1}$ . On décompose  $\nu_{\ell}$  sur la base  $\mathfrak{B} : \nu_{\ell} = \sum_{\alpha} \nu_{\ell}^{-\alpha} e_{\alpha} + \nu_{\ell}^0$  où  $\nu_{\ell}^0 = \nu_{\ell}^j h^j \in \mathfrak{t}^{\mathbb{C}}$ . On peut résoudre l'équation (38) à condition que  $\sum_{\ell} \nu_{\ell}^0 = 0$ . Dans ce cas

$$\gamma_u h \varphi^{01}(z) = \left( \varphi_0 + \sum_{\ell} \left( \sum_{\alpha} P_{u_{\alpha}}(z - z_{\ell}) \nu_{\ell}^{-\alpha} e_{\alpha} + \rho(z - z_{\ell}) \nu_{\ell}^0 \right) \right) \frac{dz}{2\pi i}$$

où  $\varphi_0 = \varphi_0^j h^j$  est une constante arbitraire. La réduction symplectique donne

$$\mathcal{P}_{\mathcal{O}}^{(1)} \cong \left\{ (u, \varphi_0, \underline{\nu}) \in T^* \mathfrak{t}^{\mathbb{C}} \times \left( \times_{\ell=1}^N \mathcal{O}_{\ell} \right) \mid \sum_{\ell} \nu_{\ell}^0 = 0 \right\} / W \rtimes (Q^\vee + \tau Q^\vee)$$

où l'action du groupe  $W \rtimes (Q^\vee + \tau Q^\vee)$  identifie les paires

$$\begin{aligned} (u, \varphi_0, \underline{\nu}) &\sim (uwu^{-1}, w\varphi_0w^{-1}, w\underline{\nu}w^{-1}) \sim (u + q^\vee, \varphi_0, (h_{q^\vee}^{-1}(z_\ell)\nu_\ell h_{q^\vee}(z_\ell))) \\ &\sim (u + \tau q^\vee, \varphi_0, (h_{\tau q^\vee}^{-1}(z_\ell)\nu_\ell h_{\tau q^\vee}(z_\ell))). \end{aligned}$$

La réduction symplectique de  $\mathcal{P}_\sigma^{(1)}$  est aussi celle de  $T^*\mathfrak{t}^\mathbb{C} \times (\times_\ell \mathcal{O}_\ell)$  par le groupe  $W \rtimes (Q^\vee + \tau Q^\vee)$ . Maintenant on déduit aisément l'application de Hitchin pour  $p = p_2$

$$\begin{aligned} h_{p_2}(u, \varphi_0, \underline{\nu})(z) &= p_2 \left( \varphi_0 + \sum_\ell \left( \sum_\alpha P_{u_\alpha}(z - z_\ell) \nu_\ell^{-\alpha} e_\alpha + \rho(z - z_\ell) \nu_\ell^0 \right) \right) \left( \frac{dz}{2\pi i} \right)^2 \\ &= \left( -\frac{1}{2} \sum_\ell \rho'(z - z_\ell) \delta_\ell + 2 \sum_\ell \rho(z - z_\ell) h_\ell^{(1)} + 4\pi i h_0^{(1)} \right) \left( \frac{dz}{2\pi i} \right)^2 \end{aligned}$$

où, comme en genre zéro,  $\delta_\ell = \nu_\ell^a \nu_\ell^a$  et

$$\begin{aligned} h_\ell^{(1)}(u, \varphi_0, \underline{\nu}) &= \sum_{j=1}^r \nu_\ell^j \varphi_0^j + \sum_{m \neq \ell} \left\{ \sum_\alpha P_{u_\alpha}(z_\ell - z_m) \nu_\ell^\alpha \nu_m^{-\alpha} + \sum_{j=1}^r \rho(z_\ell - z_m) \nu_\ell^j \nu_m^j \right\}, \\ h_0^{(1)}(u, \varphi_0, \underline{\nu}) &= -\frac{i}{4\pi} \sum_{j=1}^r \varphi_0^j \varphi_0^j - \frac{i}{4\pi} \sum_{\ell, m} \left\{ \sum_\alpha \partial_x P_{u_\alpha}(z_\ell - z_m) \nu_\ell^\alpha \nu_m^{-\alpha} + \frac{1}{2} \sum_{j=1}^r \frac{\vartheta_1''}{\vartheta_1} (z_\ell - z_m) \nu_\ell^j \nu_m^j \right\}. \end{aligned}$$

Soit  $\delta\mu = \delta\mu_{\bar{z}}^z \partial_z \otimes d\bar{z}$  une différentielle de Beltrami se comportant comme  $\mathcal{O}((z - z_\ell)^2)$  au voisinage des points d'insertion. Pour la nouvelle structure complexe, la coordonnée complexe est  $z' = z + \frac{z - \bar{z}}{2i\tau_2} \delta\tau + \delta v^z$  avec  $\partial_{\bar{z}} z' = \delta\mu_{\bar{z}}^z$ . On exige que  $\delta v^z(z+1) = \delta v^z(z+\tau) = \delta v^z(z)$ . La variation  $\delta\tau$  est déterminée par la condition que l'intégrale de  $\delta\mu_{\bar{z}}^z$  sur  $\Sigma$  est égale à  $\frac{i}{2\tau_2} \delta\tau$ . La variation  $\delta v^z$  est unique à une constante multiplicative près. On a  $z'(z+1) = z'(z) + 1$  tandis que  $z'(z+\tau) = z' + \tau'$  pour  $\tau' = \tau + \delta\tau$ . La nouvelle courbe elliptique est donc isomorphe à  $E_{\tau'}$ . Les coordonnées des points d'insertion changent en  $z'_\ell = z_\ell + \delta z_\ell$  et les 1-jets de paramètre local changent en  $\chi'_\ell = \chi_\ell + \delta\chi_\ell$ , avec

$$\delta z_\ell = \frac{z_\ell - \bar{z}_\ell}{2i\tau_2} \delta\tau + \delta v^z(\xi_\ell), \quad \chi_\ell^{-1} \delta\chi_\ell = \frac{\delta\tau}{2i\tau_2} + \partial_z \delta v^z(\xi_\ell).$$

En intégrant  $h_{p_2}$  contre  $\delta\mu$  sur  $\Sigma$  privée de petites boules autour des points d'insertion et après une intégration par parties, on trouve

$$h_{\delta\mu} = \int_\Sigma h_{p_2} \delta\mu = \frac{1}{2\pi i} \sum_\ell \left( \frac{1}{2} \delta_\ell \chi_\ell^{-1} \delta\chi_\ell + 2 h_\ell^{(1)} \delta z_\ell + 2 h_0^{(1)} \delta\tau \right).$$

La connexion de KZB en genre un est donnée par

$$\begin{aligned} \nabla_{\delta\mu} &= \sum_\ell \left( \delta\chi_\ell (\partial_{\chi_\ell} - \chi_\ell^{-1} \Delta_\ell) + \delta z_\ell (\partial_{z_\ell} - \frac{1}{\kappa} H_\ell^{(1)}) + \delta\tau (\partial_\tau - \frac{1}{\kappa} H_0^{(1)}) \right), \\ \nabla_{\delta\bar{\mu}} &= \sum_\ell \left( \delta\bar{\chi}_\ell \partial_{\bar{\chi}_\ell} + \delta\bar{z}_\ell \partial_{\bar{z}_\ell} + \delta\bar{\tau} \partial_{\bar{\tau}} \right) \end{aligned}$$

où  $\Delta_\ell$  est le poids conforme en  $\xi_\ell$ . Mis à part la translation  $k \mapsto \kappa$ , on déduit  $\Delta_\ell$ ,  $\frac{1}{\kappa} H_\ell^{(1)}$  et  $\frac{1}{\kappa} H_0^{(1)}$  de  $\frac{2k}{\pi} \frac{1}{4\pi i} \delta_\ell$ ,  $\frac{2k}{\pi} \frac{1}{\pi i} h_\ell^{(1)}$  et  $\frac{2k}{\pi} \frac{1}{\pi i} h_0^{(1)}$  par la quantification géométrique des orbites coadjointes, c.-à-d.

$$\nu_\ell^a \mapsto \frac{\pi\sqrt{2i}}{k} t_\ell^a, \quad \varphi_o^j \mapsto \frac{\pi\sqrt{2i}}{2k} \partial_{u^j}, \quad \nu_\ell^\alpha \mapsto \frac{\pi\sqrt{2i}}{2k} (e_\alpha)_\ell, \quad \nu_\ell^j \mapsto \frac{\pi\sqrt{2i}}{2k} (h^j)_\ell.$$

Les différences dans les facteurs multiplicatifs viennent de celles dans les normalisations des bases de  $\mathfrak{g}^{\mathbb{C}}$ .

## SYSTÈMES DE HITCHIN (ARTICLES)

Dans ce chapitre, on reproduit les deux articles écrits avec K. Gawędzki :

**1997** *Self-duality of the  $SL_2$  Hitchin integrable system at genus two*, prépublication IHES/P/97/80 et solv-int/9710025, accepté pour publication dans Communications in Mathematical Physics.

**1998** *Hitchin systems at low genera*, prépublication IHES/P/98/21 et hep-th/9803101.

Certaines parties du deuxième article sont aussi présentées dans le texte en français.

### Résumé

On se place exclusivement en genre deux. Le groupe  $G$  est  $SU_2$ . Une surface de Riemann de genre deux est toujours hyperelliptique, *i.e.*  $\Sigma$  est la normalisation de la courbe algébrique plane d'équation

$$y^2 = (x - a_1) \cdots (x - a_6).$$

Dorénavant, on ne marque plus la différence entre  $\Sigma$  et la courbe hyperelliptique  $C$ . La courbe  $C$  est le revêtement ramifié  $C \ni (x, y) \mapsto x \in \mathbb{C}P^1$  du plan projectif, à deux feuillets, au-dessus des points  $a_1, \dots, a_6$ . On suppose que les  $a_\ell$  sont tous finis. Les formes holomorphes et les formes quadratiques holomorphes sont de la forme

$$\omega = (a + bx) \frac{dx}{y}, \quad \beta = (a + bx + cx^2) \left( \frac{dx}{y} \right)^2.$$

On note  $(\omega^a)$  la base de  $H^0(K)$ . La Jacobienne de  $C$  est  $\text{Jac } C = \mathbb{C}^2 / (\mathbb{Z}^2 + \tau \mathbb{Z}^2)$ , où  $\tau$  est la matrice des périodes normalisée. Il y a 16 structures spin  $\delta = \delta' + \tau \delta''$  — c.-à-d. des fibrés en droites holomorphes  $L$  de degré 1 tels que  $L^2 = K$  — avec  $\delta', \delta'' \in \frac{1}{2} \mathbb{Z}^2 / \mathbb{Z}^2$ . Les structures spin impaires  $\delta_\ell = \delta'_\ell + \tau \delta''_\ell$  sont au nombre de 6 et sont énumérées par les points de Weierstraß  $a_\ell$ , c.-à-d. les zéros de leurs sections holomorphes. Les structures paires sont au nombre de 10, ce sont celles qui n'admettent pas de section holomorphe.

En genre deux, l'espace des fonctions thêta de degré deux  $\Theta_2 \equiv \mathbf{Th}_2$  est de dimension 4. Une base de  $\Theta_2$  est donnée par

$$\theta_e(z) = \sum_{n \in \mathbb{Z}^g} e^{2\pi i (n+e) \cdot \tau (n+e) + 4\pi i (n+e) \cdot z},$$

où  $e \in \frac{1}{2} \mathbb{Z}^2 / \mathbb{Z}^2$ . La fonction

$$\vartheta(u+v)\vartheta(u-v) = \sum_e \theta_e(u)\theta_e(v) \quad (1)$$

est une fonction thêta de degré deux en  $u$  mais aussi en  $v$ . L'application  $v \mapsto \vartheta(\cdot+v)\vartheta(\cdot-v)$  détermine un plongement de la **surface de Kummer**  $\text{Jac } C/\mathbb{Z}^2$  sur la quartique  $\mathcal{K}$  dans l'espace projectif tridimensionnel  $\mathbb{P}\Theta_2$  —  $\mathbb{Z}^2$  est l'involution  $L \mapsto L^{-1}K$  ou  $v \mapsto -v$ . La fonction thêta (1) détermine une forme quadratique non-dégénérée sur l'espace  $\Theta_2^*$  dual à  $\Theta_2$ . On peut alors identifier  $\Theta_2^*$  et  $\Theta_2$  en envoyant  $\phi \in \Theta_2^*$  vers  $\iota(\phi) \in \Theta_2$  par

$$\iota(\phi)(u) = \langle \vartheta(u+\cdot)\vartheta(u-\cdot), \phi \rangle.$$

Cette identification échange la base  $(\theta_e)$  de  $\Theta_2$  et la base duale  $(\theta_e^*)$  de  $\Theta_2^*$ , mais aussi la surface de Kummer  $\mathcal{K}$  avec sa forme duale  $\mathcal{K}^* \subset \mathbb{P}\Theta_2^*$ . La surface de Kummer duale est composée des formes linéaires proportionnelles aux formes d'évaluation  $\phi_u$  :

$$\langle \theta, \phi_u \rangle = \theta(u).$$

Le groupe des structures de spin  $(\mathbb{Z}/2\mathbb{Z})^4$  agit sur  $\mathbf{Th}_k$ , pour  $k$  pair, par les endomorphismes  $[\delta]$ ,  $\delta = (\delta', \delta'')$ , définis par

$$([\delta]\theta)(u) = e^{\pi i k \delta'' \cdot \tau \delta'' + 2\pi i k \delta'' \cdot u} \theta(u + \delta' + \tau \delta'').$$

Si  $k$  n'est pas divisible par 4, l'action est seulement projective :  $[\delta_1][\delta_2] = (-1)^{4\delta'_1 \cdot \delta'_2} [\delta_1 + \delta_2]$  ; cette action se relève au groupe de Heisenberg. Pour  $k = 2$ ,

$$[\delta]\theta_e = (-1)^{4\delta' \cdot e} \theta_{e+\delta''}. \quad (2)$$

L'action  $[\delta]$  préserve la surface de Kummer  $\mathcal{K}$  et l'action transposée  $[\delta]^t$  préserve la surface de Kummer duale  $\mathcal{K}^*$ .

En genre deux, l'espace des modules des fibrés vectoriels stables de rang deux et de déterminant trivial est canoniquement isomorphe à  $\mathbb{P}\Theta_2 \setminus \mathcal{K}$  [115]. L'isomorphisme associé à un  $\text{SL}_2$ -fibré  $E$  la fonction thêta de degré deux s'annulant aux points  $u \in \mathbb{C}^2$  correspondant aux duaux des sous-fibrés en droites de  $E$ . Contrairement au cas général, la compactification semi-stable est lisse et

$$\mathcal{N}_{ss} \cong \mathbb{P}\Theta_2.$$

Les points dans la surface de Kummer représentent donc les classes de Seshadri de fibrés semi-stables non-stables. L'espace des phases du système de Hitchin pour  $G = \text{SU}_2$ , sans points d'insertion, est donc

$$T^*\mathcal{N}_{ss} \cong T^*\mathbb{P}\Theta_2 \cong \{ (\theta, \phi) \in \Theta_2 \times \Theta_2^* \mid \theta \neq 0, \langle \theta, \phi \rangle = 0 \} / \mathbb{C}^*,$$

où  $t \in \mathbb{C}^*$  identifie les paires par  $(\theta, \phi) \sim (t\theta, t^{-1}\phi)$ . En tant qu'espace symplectique, c'est la réduction symplectique de  $T^*(\Theta_2 \setminus \{0\})$  par l'action de  $\mathbb{C}^*$ . En utilisant les bases  $(\theta_e)$  et  $(\theta_e^*)$ , on a les décompositions

$$\theta = \sum_e q_e \theta_e, \quad \phi = \sum_e p_e \theta_e^*.$$

On peut alors représenter  $T^*\mathcal{N}_{ss}$  par l'espace des paires  $(q, p) \in \mathbb{C}^4 \times \mathbb{C}^4$ ,  $q \neq 0$ ,  $q \cdot p = 0$ , avec l'identification  $(q, p) \sim (tq, t^{-1}p)$ , muni de la forme symplectique  $dp \wedge dq$ .

On montre que l'application de Hitchin  $h_{p_2} : T^*\mathbb{P}\Theta_2 \rightarrow H^0(K^2)$  a une forme particulièrement simple :

$$h_{p_2} = \frac{1}{2} \sum_{\substack{\ell, \ell'=1 \\ \ell \neq \ell'}}^6 \frac{r_{\ell\ell'}}{(x - a_\ell)(x - a_{\ell'})} \left( \frac{dx}{2\pi i} \right)^2 = \sum_{\ell=1}^6 \frac{h_\ell^{(2)}}{x - a_\ell} \left( \frac{dx}{2\pi i} \right)^2 \quad (3)$$

où

$$r_{\ell\ell'}(\theta, \phi) = \frac{1}{16} \langle [\delta_\ell] \theta, [\delta_{\ell'}]^t \phi \rangle \langle [\delta_{\ell'}] \theta, [\delta_\ell]^t \phi \rangle$$

où  $\delta_\ell, \delta_{\ell'}$  sont les structures spin impaires aux points  $a_\ell$  et  $a_{\ell'}$  et

$$h_\ell^{(2)}(\underline{a}, \theta, \phi) = \sum_{\ell' \neq \ell}^6 \frac{r_{\ell\ell'}}{a_\ell - a_{\ell'}}.$$

Grâce à l'équation (2), on peut récrire les  $r_{\ell\ell'}$  en fonction de  $q$  et  $p$ . On obtient des polynômes homogènes de degré 2 en  $q_e$  et  $p_e$ . L'égalité  $\sum_{\ell' \neq \ell} r_{\ell\ell'} = 0$ , pour tout  $\ell$ , garantie que  $h_{p_2}$  est une forme quadratique holomorphe. Des identités similaires montrent que les  $h_\ell^{(2)}$  ne sont pas tous indépendants. Comme on sait que le système est intégrable, il y a bien entendu 3 Hamiltoniens indépendants.

La démonstration du résultat (3) se fait en quatre étapes. Les deux premières sont le fait de van Geemen et Previato [73]. Ceux-ci montrent que pour tout  $\theta \neq 0$  et pour tout  $u \in \mathbb{C}^2$  tel que  $\theta(u) = 0$ , on a

$$h_{p_2}(\theta, \phi_u) = -\frac{1}{16\pi^2} (\partial_{u^a} \theta(u) \omega^a)^2.$$

Cette équation donne le polynôme quadratique  $h_{p_2}(\theta, \cdot)$  sur la quartique  $\mathcal{K}_\theta^* = \mathcal{K}^* \cap \mathbb{P}\theta^\perp$  dans le sous-espace projectif de  $\Theta_2^*$  perpendiculaire à  $\theta$ . En principe cela fixe complètement l'application de Hitchin. Ensuite, ils observent que, pour chaque point de Weierstraß, la conique

$$\mathcal{C}_\ell = \{ \mathbb{C}^* \phi \in \mathbb{P}\theta^\perp \mid h_{p_2}(\theta, \phi)|_{a_\ell} = 0 \}$$

est la réunion de deux bitangentes à  $\mathcal{K}_\theta^*$ . Les équations des bitangentes à la surface de Kummer sont connues depuis bien longtemps. On peut alors obtenir l'application de Hitchin modulo un facteur multiplicatif ne dépendant que de  $\theta$ . Les dernières étapes sont celles décrites dans l'article reproduit ci-après. On montre que l'application de Hitchin possède une propriété d'**auto-dualité** :

$$h_{p_2}(\iota(\phi), \iota^{-1}(\theta)) = h_{p_2}(\theta, \phi),$$

i.e.  $h_{p_2}(p, q) = h_{p_2}(q, p)$ . Cette propriété n'est pas du tout évidente quand on regarde l'espace des modules. Maintenant, on sait que le facteur multiplicatif est une constante. Celle-ci est fixée par un calcul assez triste de  $h_{p_2}$  en des points spéciaux de  $\mathcal{K} \times \mathcal{K}^*$ .

La propriété d'involution des Hamiltoniens de Hitchin  $h_\ell^{(2)}$  est équivalente aux équations de type Yang-Baxter

$$\left\{ \frac{r_{\ell\ell'}}{a_\ell - a_{\ell'}}, \frac{r_{\ell'\ell''}}{a_{\ell'} - a_{\ell''}} \right\} + \text{per. cycl.} = 0, \quad \left\{ \frac{r_{\ell\ell'}}{a_\ell - a_{\ell'}}, \frac{r_{nn'}}{a_n - a_{n'}} \right\} = 0$$

avec  $\{\ell, \ell'\} \cap \{n, n'\} = \emptyset$ . Les résultats de [72] sur la connexion de KZB — avec les mêmes hypothèses de départ — permet de voir que les Hamiltoniens  $h_\ell^{(2)}$  sont une version modifiée du **système de Neumann** [11, 120] dont on peut trouver la trace dans la Jacobienne des courbes hyperelliptiques [114]. L'espace des phases  $T^*\mathbb{P}^3$  peut être identifié avec l'orbite coadjointe  $\mathcal{O}$  du groupe complexe  $\mathrm{SL}_4$  composée des matrices de rang 1 sans trace  $|q\rangle\langle p|$ . En utilisant le revêtement double  $\mathrm{SL}_4 \rightarrow \mathrm{SO}_6$  et l'identification  $\mathfrak{sl}_4 \cong \mathfrak{so}_6$ , l'orbite  $\mathcal{O}$  devient l'orbite composée des matrices antisymétriques  $J = (J_{\ell\ell'})$  de rang 2 et de carré nul :  $J^2 = 0$ . Ces matrices sont de la forme  $J_{\ell\ell'} = Q_\ell P_{\ell'} - P_\ell Q_{\ell'}$  avec  $P, Q$  vecteurs de  $\mathbb{C}^6$  engendrant un sous-espace isotrope :  $Q^2 = Q \cdot P = P^2 = 0$ . La forme symplectique est  $dP \wedge dQ$ . Les fonctions  $J_{\ell\ell'}$  sur  $\mathcal{O}$  ont pour crochets de Poisson

$$\begin{cases} \{J_{\ell\ell'}, J_{\ell'\ell''}\} = -J_{\ell\ell''} & \text{si } \ell, \ell', \ell'' \text{ sont différents,} \\ \{J_{\ell\ell'}, J_{nn'}\} = 0 & \text{si } \ell, \ell', n, n' \text{ sont différents.} \end{cases} \quad (4)$$

Les formules donnant le passage de  $p, q$  à  $P, Q$  sont explicitées dans [70]. On trouve

$$r_{\ell\ell'} = -\frac{1}{4} J_{\ell\ell'}^2, \quad h_\ell^{(2)}(\underline{a}) = -\frac{1}{4} \sum_{m \neq \ell} \frac{J_{\ell m}^2}{a_\ell - a_m}. \quad (5)$$

L'involution des Hamiltoniens  $h_\ell^{(2)}$  est une conséquence directe des relations algébriques dans  $\mathfrak{so}_6$ . Le système de Neumann bien que très proche est différent du système de Hitchin. Il prend en compte l'orbite coadjointe de  $\mathrm{SO}_N$  formée des matrices antisymétriques de rang 2 et de carré non-nul. Contrairement à nos orbites, les orbites  $y$  ont des formes réelles non-triviales.

On peut adapter la méthode de Lax sur le système de Neumann [11] pour traiter notre système de Hitchin. La matrice de Lax  $L(\lambda) = (L(\lambda)_{\ell\ell'})$  est donnée par

$$L(\lambda)_{\ell\ell'} = \lambda J_{\ell\ell'} + a_\ell \delta_{\ell\ell'}.$$

Les crochets de Poisson prennent la forme

$$\{L(\lambda)_1, L(\mu)\}_2 = [L(\lambda)_1, r^-(\lambda, \mu)] - [L(\mu)_2, r^+(\lambda, \mu)]$$

où les matrices  $r$  sont

$$r^\pm(\lambda, \mu) = \frac{\lambda\mu}{\lambda+\mu} C \pm \frac{\lambda\mu}{\lambda-\mu} T,$$

avec  $T(v_\ell \otimes v_{\ell'}) = v_{\ell'} \otimes v_\ell$  et  $C(v_\ell \otimes v_{\ell'}) = \delta_{\ell\ell'} \sum_k v_k \otimes v_k$  pour une base orthonormale de  $\mathbb{C}^6$ , et  $r^\pm$  satisfont l'EYBC. La connaissance d'une matrice de Lax permet de faire beaucoup de choses. Dans [70], on utilise celle-ci pour trouver les variables d'angles. La courbe spectrale  $\mathcal{S}$   $y$  est une courbe hyperelliptique de genre 3. Les solutions du problème aux vecteurs propres pour la matrice de Lax, sont codées dans un sous-fibré holomorhe en droites  $L$  de degré 4 du fibré de rang 2  $W = \mathbb{C}^2 \otimes \mathcal{O}(4\infty_1 + 4\infty_2)$  au-dessus de  $\mathcal{S}$  —  $\infty_1$  et  $\infty_2$  sont les points au-dessus de l'infini dans la courbe hyperelliptique  $\mathcal{S}$ . En plongeant  $L$  dans la Jacobienne  $J^4(\mathcal{S})$  de  $\mathcal{S}$  par l'application d'Abel, on déduit que les Hamiltoniens  $h_\ell^{(2)}$  engendrent un flot constant sur  $J^4(\mathcal{S})$ . Ainsi, les **variables d'angle** sont les coordonnées sur la Jacobienne de  $\mathcal{S}$  et les **variables d'action** sont les Hamiltoniens  $h_\ell^{(2)}$ . Dans le langage originel de Hitchin, la courbe spectrale est la courbe  $\mathcal{S}'$  d'équation

$$y^2 = (x - a_1) \cdots (x - a_6), \quad \sigma^2 = -4 \sum_{\substack{\ell, \ell' \\ \ell \neq \ell'}}^6 J_{\ell\ell'}^2 \prod_{m \neq \ell, \ell'} (x - a_m)$$

et de genre 5. C'est un revêtement double de  $\Sigma$ . La construction générale donnerait pour les variables d'angle des points dans une variété Prym tridimensionnelle, dans la Jacobienne de dimension 5 des fibrés en droites de degré  $-2$  sur  $\mathcal{S}'$ .

Comme en genre zéro et un, on peut coupler  $h_{p_2}$  avec une différentielle de Beltrami. Le changement de structure complexe  $\delta\mu$  bouge les points de ramification  $a_\ell$ . Soit  $\omega'^a = \omega^a + \delta\omega^a + \bar{\delta}\omega^a$  représentant la nouvelle base de  $H^0(K)$  avec  $\delta\omega^a$  une  $(0,1)$ -forme et  $\bar{\delta}\omega^a$  une  $(1,0)$ -forme. Pour que  $\omega'^a$  soit bien une  $(1,0)$ -forme pour la nouvelle structure complexe et pour qu'elle soit bien fermée, on doit nécessairement avoir

$$\bar{\delta}\omega^a = \omega^a \delta\mu, \quad \bar{\partial}\delta\omega^a = -\partial(\omega^a \delta\mu).$$

L'équation sur  $\delta\omega^a$  a toujours des solutions. Les solutions sont obtenues modulo les formes abéliennes. Pour fixer cette liberté on demande que  $\int_{a_\alpha} \omega'^\beta = \delta^{\alpha\beta}$ . On peut réaliser  $\Sigma$  comme un revêtement de  $\mathbb{C}P^1$  par l'application  $\Sigma \ni \xi \mapsto x(\xi) = \omega^2(\xi)/\omega^1(\xi)$ . Le nouveau revêtement est

$$x'(\xi) = \frac{\omega'^2}{\omega'^1}(\xi) = x(\xi) + \frac{\delta\omega^2}{\omega^1}(\xi) - x(\xi) \frac{\delta\omega^1}{\omega^1}(\xi).$$

On obtient les points de ramification  $\zeta'_\ell$  de  $x'$  en cherchant les solutions de l'équation  $\partial'x'(\zeta'_\ell) = 0$ . En utilisant  $\zeta'_\ell = \zeta_\ell + \delta\zeta_\ell$ , on obtient

$$\partial^2 x(\zeta_\ell) \delta\zeta_\ell + \partial\left(\frac{\delta\omega^2}{\omega^1}\right)(\zeta_\ell) - \partial\left(x \frac{\delta\omega^1}{\omega^1}\right)(\zeta_\ell) = 0.$$

Comme  $\bar{\partial}x(\zeta_\ell) = 0$  la forme quadratique  $\partial^2 x(\zeta_\ell)$  est bien définie. Les points de ramifications sont isolés et  $\partial^2 x(\zeta_\ell) \neq 0$ . On peut donc résoudre l'équation précédente pour  $\delta\zeta_\ell$ . Les points de ramification  $\zeta'_\ell$  sont envoyés sur

$$a'_\ell = x(\zeta_\ell + \delta\zeta_\ell) = a_\ell + \frac{\delta\omega^2}{\omega^1}(\zeta_\ell) - a_\ell \frac{\delta\omega^1}{\omega^1}(\zeta_\ell).$$

Il suit

$$\delta a_\ell = a'_\ell - a_\ell = \frac{\delta\omega^2}{\omega^1}(\zeta_\ell) - a_\ell \frac{\delta\omega^1}{\omega^1}(\zeta_\ell).$$

On est en mesure de coupler  $h_{p_2}$  avec une différentielle de Beltrami  $\delta\mu$ . Déjà, de ce qui précède, on trouve

$$\begin{aligned} \bar{\partial}\delta x &= \bar{\partial}(x' - x) = \frac{\bar{\partial}\delta\omega^2}{\omega^1} - x \frac{\bar{\partial}\delta\omega^1}{\omega^1} = -\frac{\partial(\omega^2 \delta\mu)}{\omega^1} + x \frac{\partial(\omega^1 \delta\mu)}{\omega^1} \\ &= -\frac{\bar{\partial}(x \omega^1 \delta\mu)}{\omega^1} + x \frac{\partial(\omega^1 \delta\mu)}{\omega^1} = dx \delta\mu. \end{aligned}$$

On intègre alors  $h_{p_2}$  contre  $\delta\mu$  sur  $\Sigma$  privé de petites boules autour des points de ramification et de deux points à l'infini, on trouve

$$h_{\delta\mu} = \int_{\Sigma} h_{p_2} \delta\mu = \frac{1}{\pi i} \sum_{\ell=1}^6 h_\ell^{(2)} \delta a_\ell.$$

La différence dans le facteur multiplicatif provient du revêtement double.



Le fibré déterminant  $\mathcal{L}$  au-dessus de l'espace des modules  $\mathcal{N}_{ss} \cong \mathbb{P}\Theta_2$  s'identifie à l'espace dual au fibré tautologique au-dessus de  $\mathbb{P}\Theta_2$ . Ainsi  $H^0(\mathcal{L}^k)$  est l'espace des polynômes homogènes  $\psi$  de degré  $k$  au-dessus de  $\Theta_2$ . L'algèbre  $\mathfrak{so}_6$  agit sur  $\Theta_2$  par les opérateurs différentiels, toujours notés  $J_{\ell\ell'}$ , satisfaisant les relations de commutations (4) où crochets de Poisson sont remplacés par commutateurs. Dans le langage de  $(p, q)$ , les opérateurs sont obtenus après le remplacement des  $p_\ell = p_{\delta_\ell}$  dans  $J_{\ell\ell'}$  par  $-\partial_{a_\ell}$  — on ne l'a pas écrit mais on peut obtenir les éléments de  $J$  en fonction des  $p_\ell$  [70]. La connexion de KZB a été obtenue indirectement par van Geemen et de Jong [72]. On trouve qu'à une 1-forme près — van Geemen et de Jong définissent seulement la classe projective de connexions —

$$\begin{aligned}\nabla_{\delta_\mu} \psi &= \sum_{\ell=1}^6 \delta a_\ell (\partial_{a_\ell} - \frac{1}{\kappa} H_\ell^{(2)}) \psi, \\ \nabla_{\bar{\delta}_\mu} \psi &= \sum_{\ell} \delta \bar{a}_\ell \partial_{\bar{a}_\ell} \psi\end{aligned}$$

où

$$H_\ell^{(2)}(\underline{a}) = -\frac{1}{2} \sum_{m \neq \ell} \frac{J_{\ell m}^2}{a_\ell - a_m}.$$

On peut alors retrouver  $\frac{1}{\kappa} H_\ell^{(2)}$  en quantifiant le Hamiltonien  $\frac{2k}{\pi} \frac{1}{\pi i} h_\ell^{(2)}$  par le remplacement  $J_{\ell m} \mapsto \frac{\sqrt{i}\pi}{k} J_{\ell m}$ . Les Hamiltoniens quantiques sont des opérateurs différentiels d'ordre 2 sur  $\Theta_2 \cong \mathbb{C}^4$ . La connexion  $\nabla$  est projectivement plate.

---

## Self-duality of the $SL_2$ Hitchin integrable system at genus 2

KRZYSZTOF GAWĘDZKI

I.H.E.S., C.N.R.S., F-91440 Bures-sur-Yvette, France

PASCAL TRAN-NGOC-BICH

Université de Paris-Sud, F-91405 Orsay, France

**Abstract.** We revisit the Hitchin integrable system [88][73] whose phase space is the bundle cotangent to the moduli space  $\mathcal{N}$  of holomorphic  $SL_2$ -bundles over a smooth complex curve of genus 2. As shown in [115],  $\mathcal{N}$  may be identified with the 3-dimensional projective space of theta functions of the 2<sup>nd</sup> order, i.e.  $\mathcal{N} \cong \mathbb{P}^3$ . We prove that the Hitchin system on  $T^*\mathcal{N} \cong T^*\mathbb{P}^3$  possesses a remarkable symmetry: it is invariant under the interchange of positions and momenta. This property allows to complete the work of van Geemen-Previato [73] which, basing on the classical results on geometry of the Kummer quartic surfaces, specified the explicit form of the Hamiltonians of the Hitchin system. The resulting integrable system resembles the classic Neumann systems which are also self-dual. Its quantization produces a commuting family of differential operators of the 2<sup>nd</sup> order acting on homogeneous polynomials in four complex variables. As recently shown by van Geemen-de Jong [72], these operators realize the Knizhnik-Zamolodchikov-Bernard-Hitchin connection for group  $SU_2$  and genus 2 curves.

### §1. Introduction

In [88], Nigel Hitchin has discovered an interesting family of classical integrable models related to modular geometry of holomorphic vector bundles or to 2-dimensional gauge fields. The input data for Hitchin's construction are a complex Lie group  $G$  and a complex curve  $\Sigma$  of genus  $\gamma$ . The configuration space of the integrable system is the moduli space  $\mathcal{N}$  of (semi)stable holomorphic  $G$ -bundles over  $\Sigma$ . This is a finite-dimensional complex variety and Hitchin's construction is done in the holomorphic category. It exhibits a complete family of Poisson-commuting Hamiltonians on the (complex) phase space  $T^*\mathcal{N}$ . The Hitchin Hamiltonians have open subsets of abelian varieties as generic level sets on which they induce additive flows [88]. More recently, Hitchin's construction was extended to the case of singular or punctured curves [106][119][37] providing a unified construction of a vast family of classical integrable systems. For  $\Sigma = \mathbb{C}P^1$  with punctures, one obtains this way the so called Gaudin chains and for  $G = SL_N$  and  $\Sigma$  of genus 1 with one puncture, the elliptic Calogero-Sutherland models which found an unexpected application in the supersymmetric 4-dimensional gauge theories [32].

In Section 2 of the present paper we briefly recall the basic idea of Hitchin’s construction. The main aim of this contribution is to treat in detail the case of  $G = \mathrm{SL}_2$  and  $\Sigma$  of genus 2 (no punctures). The genus 2 curves are hyperelliptic, i.e. given by the equation

$$\zeta^2 = \prod_{s=1}^6 (\lambda - \lambda_s) \tag{1.6}$$

where  $\lambda_s$  are 6 different complex numbers. The semistable moduli space  $\mathcal{N}$  has a particularly simple form for genus 2, [115]: it is the projectivized space of theta functions of the 2<sup>nd</sup> order:

$$\mathcal{N} = \mathbb{P}H^0(L_\Theta^2) \tag{1.7}$$

where  $L_\Theta$  is the theta-bundle over the Jacobian  $J^1$  of (the isomorphism classes of) degree  $\gamma - 1 = 1$  line bundles\*  $l$  over  $\Sigma$ .  $\dim_{\mathbb{C}} H^0(L_\Theta^2) = 4$  so that  $\mathcal{N} \cong \mathbb{P}^3$ . This picture of  $\mathcal{N}$  is related to the realization of  $\mathrm{SL}_2$ -bundles as extensions of degree 1 line bundles. We review some of the results in this direction in Section 3 using a less sophisticated language than that of the original work [115]. The relation between the extensions and the theta functions is lifted to the level of the cotangent bundle  $T^*\mathcal{N}$  in Section 4. The language of extensions proves suitable for a direct description of the Hitchin Hamiltonians on  $T^*\mathcal{N}$ . The main aim is, however, to present the Hitchin system as an explicit 3-dimensional family of integrable systems on  $T^*\mathbb{P}^3$ , parametrized by the moduli of the curve. This was first attempted, and almost achieved, in reference [73].

Let us recall that the Hitchin Hamiltonians are components of the map

$$\mathcal{H} : T^*\mathcal{N} \longrightarrow H^0(K^2) \tag{1.8}$$

with values in the (holomorphic) quadratic differentials ( $K$  denotes the canonical bundle of  $\Sigma$ ). Due to relation (1.7), the map  $\mathcal{H}$  may be viewed as a  $H^0(K^2)$ -valued function of pairs  $(\theta, \phi)$  where  $\theta \in H^0(L_\Theta^2)$  and  $\phi$  from the dual space  $H^0(L_\Theta^2)^*$  are s.t.  $\langle \theta, \phi \rangle = 0$ . Fix a holomorphic trivialization of  $L_\Theta$  around  $l \in J^1$  and denote by  $\phi_l$  the linear form that computes the value of the theta function at  $l$ . As was observed in [73],

$$\mathcal{H}(\theta, \phi_l) = -\frac{1}{16\pi^2} (d\theta(l))^2 \tag{1.9}$$

(with appropriate normalizations). In the above formula,  $\theta$  is viewed as a function on  $J^1$  and  $d\theta(l)$  as an element of  $H^0(K)$ . Since  $\theta(l) = 0$ , the equation is consistent with changes of the trivialization of  $L_\Theta$ .

The map  $J^1 \ni l \mapsto \phi_l$  induces an embedding of the Kummer surface  $J^1/\mathbb{Z}_2$  with  $l$  and  $l^{-1}K$  identified into a quartic  $\mathcal{K}^*$  in  $\mathbb{P}H^0(L_\Theta^2)^*$ . The Kummer quartic is a carrier of a rich but classical structure, a subject of an intensive study of the nineteenth century geometers, see [91] and also the last chapter of [83]. The reference [73] used the relation (1.9) and a mixture of the classical results and of more modern algebraic geometry to recover an explicit form of the components of the Hitchin map  $\mathcal{H}$  up to a multiplication by a function on the configuration space. The authors of [73] checked that the simplest way to fix this ambiguity leads to Poisson-commuting functions but they fell short of showing that the latter coincide with the ones of the Hitchin construction.

---

\*we use the multiplicative notation for the tensor product of line bundles

Among the aims of the present paper is to fill the gap left in [73]. We observe that the proposal of [73] has a remarkable **self-duality** property: it is invariant under the interchange of the positions and momenta in  $T^*\mathbb{P}^3$ . We show that the Hitchin construction leads to a system with the same symmetry. This limits the ambiguity left by the analysis of [73] to a multiplication of the components of  $\mathcal{H}$  by constants. A direct check based on Eq. (1.9) fixes the normalizations and results in a formula for the Hitchin map which uses the hyperelliptic description (1.6) of the curve. Namely,

$$\mathcal{H} = -\frac{1}{128\pi^2} \sum_{1 \leq s \neq t \leq 6} \frac{r_{st}}{(\lambda - \lambda_s)(\lambda - \lambda_t)} (d\lambda)^2 \quad (1.10)$$

where  $r_{st}$  are explicit polynomials in  $(\theta, \phi)$  given, upon representation of  $(\theta, \phi)$  by pairs  $(q, p) \in \mathbb{C}^4 \times \mathbb{C}^4$ , by Eqs. (7.7) below. The above expression for  $\mathcal{H}$  has a similar form as that for the Hitchin map on the Riemann sphere with 6 insertion points  $\lambda_s$ , see e.g. Sect. 4 of [43], except for the structure of the terms  $r_{st}$ . This is not an accident but is connected to the reduction of conformal field theory on genus 2 surfaces to an orbifold theory in genus 0 [98][149]. We plan to return to this relation in a future publication.

Let us discuss in more details how we establish the self-duality of the Hitchin Hamiltonians. The main tool here is an explicit expression for the values of the Hitchin map off the Kummer quartic  $\mathcal{K}^*$  which we obtain in Section 5. Our formula for  $\mathcal{H}(\theta, \phi)$  requires a choice of a pair of perpendicular 2-dimensional subspaces  $(\Pi, \Pi^\perp)$  where  $\theta \in \Pi \subset H^0(L_\Theta^2)$  and  $\phi \in \Pi^\perp \subset H^0(L_\Theta^2)^*$  (there is a complex line of such choices). The plane  $\Pi^\perp$  corresponds to a line  $\mathbb{P}\Pi^\perp$  in  $\mathbb{P}H^0(L_\Theta^2)^*$  which intersects the Kummer quartic  $\mathcal{K}^*$  in four points  $\mathbb{C}^*\phi_{l_j}$ ,  $j = 1, 2, 3, 4$ , (counting with multiplicity). Whereas the analysis of [73] was mainly concerned with the geometry of bitangents to  $\mathcal{K}^*$  with two pairs of coincident  $\phi_{l_j}$ 's, we concentrate on the generic situation with  $\phi_{l_j}$ 's different. Then any two of them, say  $\mathbb{C}^*\phi_{l_1}$  and  $\mathbb{C}^*\phi_{l_2}$ , span  $\Pi^\perp$ .  $\Pi$  is composed of the 2<sup>nd</sup> order theta functions vanishing at  $l_1$  and  $l_2$ . In particular,

$$\phi = a_1\phi_{l_1} + a_2\phi_{l_2} \quad \text{and} \quad \theta(l_1) = 0 = \theta(l_2). \quad (1.11)$$

Let  $x_1 + x_2$  and  $x_3 + x_4$  be the divisors of  $l_1l_2$  and of  $l_1l_2^{-1}K$ , respectively, where  $x_i$  are four points\* in  $\Sigma$ . If  $l_1^2 \neq K$ , which holds in a general situation, then the quadratic differential  $\mathcal{H}(\theta, \phi)$  is determined by its values at  $x_i$  which, as we show in Section 5, are

$$\mathcal{H}(\theta, \phi)(x_i) = -\frac{1}{16\pi^2} (a_1 d\theta(l_1) \pm a_2 d\theta(l_2))^2(x_i). \quad (1.12)$$

Sign plus is taken for  $x_1$  and  $x_2$  and sign minus for  $x_3$  and  $x_4$ . Note that for  $\phi = \phi_l$  with  $\theta(l) = 0$  the above equation reproduces the result (1.9).

As we recall at the end of Section 3, there exists an almost natural linear isomorphism  $\iota$  between  $H^0(L_\Theta^2)^*$  and  $H^0(L_\Theta^2)$ . What follows is independent of the remaining ambiguity in the choice of  $\iota$ . The identity  $\langle \theta, \phi \rangle = \langle \iota(\phi), \iota^{-1}(\theta) \rangle$  implies that if  $(\theta, \phi)$  is a perpendicular pair then so is  $(\theta', \phi')$  where  $\theta' = \iota(\phi)$  and  $\phi' = \iota^{-1}(\theta)$ . Thus  $\iota$  interchanges the positions and momenta in  $T^*\mathcal{N}$ . We may take  $(\Pi', \Pi'^\perp) = (\iota(\Pi^\perp), \iota^{-1}(\Pi))$  as a pair of perpendicular subspaces containing  $(\theta', \phi')$ . The line  $\mathbb{P}\Pi'^\perp$  meets  $\mathcal{K}^*$  in four points  $\mathbb{C}^*\phi_{l'_j}$ . Equivalently,

---

\*the other two lines of intersection of  $\mathbb{P}\Pi^\perp$  with  $\mathcal{K}^*$  correspond to  $l_3$  and  $l_4$  with  $l_1l_3 = \mathcal{O}(x_1 + x_3)$ ,  $l_1l_3^{-1}K = \mathcal{O}(x_2 + x_4)$ ,  $l_1l_4 = \mathcal{O}(x_1 + x_4)$ ,  $l_1l_4^{-1}K = \mathcal{O}(x_2 + x_3)$

$\mathbb{C}^* \iota(\phi_{l'_j})$  are the points of intersection of  $\mathbb{P}\Pi$  with the Kummer quartic  $\mathcal{K} = \iota(\mathcal{K}^*) \subset \mathbb{P}H^0(L_{\Theta}^2)$ . In general situation,  $\Pi'^{\perp}$  is spanned by any pair of  $\phi_{l'_j}$ 's so that

$$\phi' = a'_1 \phi_{l'_1} + a'_2 \phi_{l'_2} \quad \text{and} \quad \theta'(l'_1) = 0 = \theta'(l'_2) \tag{1.13}$$

which is the dual version of relations (1.11). Equivalently,

$$\theta = a'_1 \iota(\phi_{l'_1}) + a'_2 \iota(\phi_{l'_2}) \quad \text{and} \quad \langle \iota(\phi_{l'_1}), \phi \rangle = 0 = \langle \iota(\phi_{l'_2}), \phi \rangle. \tag{1.14}$$

Let  $y_i$  be the points associated to  $l'_j$  the same way as the points  $x_i$  were associated to  $l_j$ .  $l'_j$  may be chosen so that  $y_i$  and  $x_i$  coincide modulo the natural involution of  $\Sigma$  fixing the six Weierstrass points. Formula (1.12) implies then that

$$\mathcal{H}(\theta', \phi')(y_i) = -\frac{1}{16\pi^2} (a'_1 d\theta'(l'_1) \pm a'_2 d\theta'(l'_2))^2 (y_i). \tag{1.15}$$

Points  $y_i$  in Eq. (1.15) may be replaced by  $x_i$  since the quadratic differentials are equal at point  $x$  if and only if they are equal at the image of  $x$  by the involution of  $\Sigma$ . A direct calculation of the coefficients  $a_1, a_2$  and  $a'_1, a'_2$  appearing on the right hand sides of Eqs. (1.12) and (1.15) shows then that both expressions coincide, establishing the self-duality of  $\mathcal{H}$ . The verification of this equality is the subject of Section 6.

In Section 7, we recall the main result of reference [73] and show how the self-duality may be used to complete the analysis performed there and to obtain the explicit form (1.10) of the Hitchin map. We briefly discuss the relation of that form to the classical Yang-Baxter equation.

An appropriate quantization of Hitchin Hamiltonians leads to operators acting on holomorphic sections of powers of the determinant line bundle over  $\mathcal{N}$  and defining the Knizhnik-Zamolodchikov-Bernard-Hitchin [99][23][22][89] connection. In our case, the sections of the powers of the determinant bundle are simply homogeneous polynomials on  $H^0(L_{\Theta}^2)$ . It is easy to quantize the Hamiltonians corresponding to the components of the Hitchin map (1.10) in such a way that one obtains an explicit family of commuting 2<sup>nd</sup> order differential operators acting on such polynomials. The corresponding connection coincides with the explicit form of the (projective) KZBH connection worked out recently\* in [72].

The quantization of the genus 2 Hitchin system is briefly discussed in Conclusions, where we also mention other possible directions for further research. Four appendices which close the paper contain some of more technical material.

We would like to end the presentation of our paper by expressing some regrets. We apologize to Ernst Eduard Kummer and other nineteenth century giants for our insufficient knowledge of their classic work. The apologies are also due to few contemporary algebraic geometers who could be interested in the present work for an analytic character of our arguments. To the specialist in integrability we apologize for the yet incomplete analysis of the integrable system studied here and, finally, we apologize to ourselves for not having finished this work 2 years ago.

---

\*we thank B. van Geemen for attracting our attention to ref. [72] and for pointing out that this work may be used to fix indirectly the precise form of the Hitchin map

## §2. Hitchin's construction

Let us assume, for simplicity, that the complex Lie group  $G$  is simple, connected and simply connected. We shall denote by  $\mathfrak{g}$  its Lie algebra. The complex curve  $\Sigma$  will be assumed smooth, compact and connected. Topologically, all  $G$ -bundles on  $\Sigma$  are trivial and the complex structures in the trivial bundle may be described by giving operators  $\bar{\partial} + A$  where  $A$  are smooth  $\mathfrak{g}$ -valued 0,1-forms on  $\Sigma$  [9]. Let  $\mathcal{A}$  denote the space of such forms (i.e. of chiral gauge fields). The group  $\mathcal{G}$  of local (chiral) gauge transformations composed of smooth maps  $h$  from  $\Sigma$  to  $G$  acts on operators  $\bar{\partial} + A$  by conjugation and on the gauge fields  $A$  by

$$A \longmapsto {}^h A \equiv h A h^{-1} + h \bar{\partial} h^{-1}.$$

Two holomorphic  $G$ -bundles are equivalent iff the corresponding gauge fields are in the same orbit of  $\mathcal{G}$ . Hence the space of orbits  $\mathcal{A}/\mathcal{G}$  coincides with the (moduli) space of inequivalent holomorphic  $G$ -bundles. It may be supplied with a structure of a variety provided one gets rid of bad orbits. This may be achieved by limiting the considerations to (semi)stable bundles, i.e. such that the vector bundle associated with the adjoint representations of  $G$  contains only holomorphic subbundles with negative (non-positive) first Chern number. For  $\gamma > 1$ , the moduli space  $\mathcal{N}_s \equiv \mathcal{A}_s/\mathcal{G}$  of stable  $G$ -bundles is a smooth complex variety with a natural compactification to a variety  $\mathcal{N}_{ss}$ , the (Seshadri-)moduli space of semistable bundles [115].

The complex cotangent bundle  $T^*\mathcal{N}_s$  may be obtained from the infinite-dimensional bundle  $T^*\mathcal{A}_s$  by the symplectic reduction.  $T^*\mathcal{A}_s$  may be realized as the space of pairs  $(A, \Phi)$  where  $\Phi$  is a (possibly distributional)  $\mathfrak{g}$ -valued 1,0-form on  $\Sigma$ ,  $A \in \mathcal{A}_s$  and the duality with the vectors  $\delta A$  tangent to  $\mathcal{A}$  is given by

$$\int_{\Sigma} \text{tr } \Phi \wedge \delta A$$

with  $tr$  standing for the Killing form. The action of the local gauge group  $\mathcal{G}$  on  $\mathcal{A}_s$  lifts to a symplectic action on  $T^*\mathcal{A}_s$  by

$$\Phi \longmapsto {}^h \Phi \equiv h \Phi h^{-1}.$$

The moment map  $\mu$  for the action of  $\mathcal{G}$  on  $T^*\mathcal{N}_s$  is

$$\mu(A, \Phi) = \bar{\partial}\Phi + A \wedge \Phi + \Phi \wedge A \equiv \bar{\partial}_A \Phi.$$

Note that it takes values in  $\mathfrak{g}$ -valued 2-forms on  $\Sigma$ . These may be naturally viewed as elements of the space dual to the Lie algebra of  $\mathcal{G}$ . The symplectic reduction of  $T^*\mathcal{A}_s$  realizes  $T^*\mathcal{N}_s$  as the space of  $\mathcal{G}$ -orbits in the zero level of  $\mu$ :

$$T^*\mathcal{N}_s \cong \mu^{-1}(\{0\})/\mathcal{G}.$$

For a homogeneous  $G$ -invariant polynomial  $P$  on  $\mathfrak{g}$  of degree  $d_P$ , the gauge invariant expression  $P(\Phi)$  defines a section of the bundle  $K^{d_P}$  of  $d_P$ -differentials on  $\Sigma$ . If  $\Phi$  is in the zero level of  $\mu$  then  $P(\Phi)$  is also holomorphic. Hence the map  $\Phi \mapsto P(\Phi)$  induces a map

$$\mathcal{H}_P : T^*\mathcal{N}_s \longrightarrow H^0(K^{d_P})$$

into the finite dimensional vector space of holomorphic differentials of degree  $d_P$  on  $\Sigma$ . The components of such vector-valued Hamiltonians clearly Poisson-commute since upstairs (on  $T^*\mathcal{A}_s$ ) they depend only on the momentum variables  $\Phi$ . By a beautiful argument, Hitchin showed [88] that taking all polynomials  $P$  one obtains a complete system of Hamiltonians in involution and that the collection of maps  $\mathcal{H}_P$  defines in generic points a foliation of  $T^*\mathcal{A}_s$  into (open subsets of) abelian varieties.

Let us briefly sketch Hitchin's argument for  $G = SL_2$ . There is only one (up to normalization) non-trivial invariant polynomial  $P_2$  on  $\mathfrak{sl}_2$  given by, say, half of the Killing form.  $\mathcal{H} \equiv \mathcal{H}_{P_2}$  maps into the space of quadratic differentials. A non-trivial holomorphic quadratic differential  $\rho$  determines a (spectral) curve  $\Sigma' \subset K$  given by the equation

$$\xi^2 = \rho(\pi(\xi)) \tag{2.1}$$

where  $\xi \in K$  and  $\pi$  is the projection of  $K$  on  $\Sigma$ . The map  $\xi \mapsto -\xi$  gives an involution  $\sigma$  of  $\Sigma'$ . Restriction of  $\pi$  to  $\Sigma'$  is a 2-fold covering of  $\Sigma$  ramified over  $4(\gamma - 1)$  points fixed by  $\sigma$ , the zeros of  $\rho$ .  $\Sigma'$  has genus  $\gamma' = 4\gamma - 3$ . If  $\rho = \frac{1}{2} \text{tr}(\Phi)^2$  then relation (2.1) coincides with the eigen-value equation

$$\det(\Phi - \xi \cdot I) = 0$$

for the Lax matrix  $\Phi$ . Let for each  $0 \neq \xi \in \Sigma'$ ,  $l_\xi$  denote the corresponding eigen-subspace of  $\Phi$ . By continuity,  $l_\xi$  extend to vanishing  $\xi$  in  $\Sigma'$  and  $\cup_\xi l_\xi$  forms a line subbundle  $l$  of  $\Sigma' \times \mathbb{C}^2$ . In fact,  $l$  is a holomorphic subbundle with respect to the complex structure defined on  $\Sigma' \times \mathbb{C}^2$  by  $\bar{\partial} + A \circ \pi$ . The degree of  $l$  is  $-2(\gamma - 1)$ . Besides,

$$l(\sigma^*l) = \pi^*K^{-1}. \tag{2.2}$$

Conversely, given  $\Sigma'$  and a holomorphic line bundle  $l$  of degree  $-2(\gamma - 1)$  on it satisfying (2.2), we may recover a rank 2 holomorphic bundle  $E$  of trivial determinant over  $\Sigma$  as a pushdown of  $l$  to  $\Sigma$ . Thus for  $0 \neq \xi \in \Sigma'$ ,  $E_{\pi(\xi)} = l_\xi \oplus l_{-\xi}$ .  $E$  corresponds to a unique holomorphic  $SL_2$ -bundle which, if stable (what happens on an open subset of  $l$ 's) defines a point in the moduli space  $\mathcal{A}_s$ . A holomorphic 1,0-form with values in the traceless endomorphisms of  $E$  acting as multiplication by  $\pm\xi$  on  $l_{\pm\xi} \subset E_{\pi(\xi)}$  defines then a unique covector of  $T^*\mathcal{A}_s$ . Thus  $\Sigma'$  encodes the values of the quadratic Hitchin Hamiltonian  $\mathcal{H}$  (i.e. of the action variables) whereas the line bundles  $l$  satisfying relation (2.2) form the abelian (Prym) variety (of the angle variables) describing the level set of  $\mathcal{H}$ .

### §3. $SL_2$ moduli space at genus 2

We shall present briefly the description of the moduli space  $\mathcal{A}_s$  for  $G = SL_2$  and  $\gamma = 2$  which was worked out in [115].

Let us start by recalling some basic facts about theta functions. We shall use a coordinate rather than an abstract language. The space of degree  $\gamma - 1$  holomorphic line bundles forms a Jacobian torus  $J^{\gamma-1}$  of complex dimension  $\gamma$ . Fixing a marking (a symplectic homology basis  $(A_a, B_b)$ ,  $a, b = 1, \dots, \gamma$ ), we may identify  $J^{\gamma-1}$  with  $\mathbb{C}^\gamma / (\mathbb{Z}^\gamma + \tau\mathbb{Z}^\gamma)$ .  $\tau \equiv (\tau^{ab})$  is the period

matrix, i.e.  $\tau^{ab} = \int_{B_b} \omega^a$  where  $\omega^a$  are the basic holomorphic forms on  $\Sigma$  normalized so that  $\int_{A_a} \omega^b = \delta^{ab}$ . The point  $0 \in \mathbb{C}^\gamma$  corresponds in  $J^{\gamma-1}$  to a (marking dependent) spin structure  $S_0$ , i.e. a degree 1 bundle such that  $S_0^2 = K$ .  $u \in \mathbb{C}^\gamma$  describes the line bundle  $V(u)S_0$  where  $V(u)$  is the flat line bundle with the twists  $e^{2\pi i u^b}$  along the  $B_b$  cycles. The set of degree 1 bundles  $l$  with non-trivial holomorphic sections forms a divisor  $\Theta$  of a holomorphic line bundle  $L_\Theta$  over  $J^{\gamma-1}$ . Holomorphic sections of the  $k$ -th power ( $k > 0$ ) of  $L_\Theta$  are called theta function of order  $k$ . With the use of a marking, they may be represented by holomorphic functions  $u \mapsto \theta(u)$  on  $\mathbb{C}^2$  satisfying

$$\theta(u + p + \tau q) = e^{-\pi i k q \cdot \tau q - 2\pi i k q \cdot u} \theta(u) \quad (3.1)$$

for  $p, q \in \mathbb{Z}^\gamma$ . The functions

$$\theta_{k,e}(u) = \sum_{n \in \mathbb{Z}^\gamma} e^{\pi i k (n+e/k) \cdot \tau (n+e/k) + 2\pi i k (n+e/k) \cdot u} \quad (3.2)$$

where  $e \in \mathbb{Z}^\gamma / k\mathbb{Z}^\gamma$  form a basis of the theta functions of order  $k$ . Hence  $\dim H^0(L_\Theta^k) = k^\gamma$ . In particular, the Riemann theta function  $\theta_{1,0}(u) \equiv \vartheta(u)$  represents the unique (up to normalization) non-trivial holomorphic section of  $L_\Theta$ . It vanishes on the set

$$\left\{ \sum_{i=1}^{\gamma-1} \int_{x_0}^{x_i} \omega - \Delta \mid x_1 \in \Sigma, \dots, x_{\gamma-1} \in \Sigma \right\}$$

representing the divisor  $\Theta$ . Here  $\Delta \in \mathbb{C}^\gamma$  denotes the ( $x_0$ -dependent) vector of Riemann constants. All theta functions of order 1 and 2 are even functions of  $u$ .

For  $\gamma = 2$ , the divisor  $\Theta$  is formed by the bundles  $\mathcal{O}(x)$  with divisors  $x \in \Sigma$ .  $\mathcal{O}(x) = V(\int_{x_0}^x \omega - \Delta)S_0$ . The pullback of the theta bundle  $L_\Theta$  by means of the map  $x \mapsto \mathcal{O}(x)$  is equivalent to the canonical bundle  $K$ . The equivalence assigns 1,0-forms to functions representing sections of the pullback of  $L_\Theta$ :

$$\epsilon^{ab} \partial_b \vartheta \left( \int_{x_0}^x \omega - \Delta \right) \mapsto \omega^a(x). \quad (3.3)$$

This is consistent since vanishing of  $\vartheta \left( \int_{x_0}^x \omega - \Delta \right)$  implies that

$$\partial_a \vartheta \left( \int_{x_0}^x \omega - \Delta \right) \omega^a(x) = 0.$$

Hence any multivalued function on  $\Sigma$  picking up a factor  $e^{-\pi i \tau^{aa} - 2\pi i (\int_{x_0}^x \omega^a - \Delta^a)}$  when  $x$  goes around the  $B_a$  cycle and univalued around the  $A_a$  cycles may be identified with a 1,0-form on  $\Sigma$ .

As already suggested by the discussion at the end of Sect. 2, for the  $SL_2$  group it is more convenient to use the language of holomorphic vector bundles (of rank 2 and trivial determinant) than to work with principal  $SL_2$ -bundles. Of course the first ones are just associated to the second ones by the fundamental representation of  $SL_2$ . Any stable rank 2 bundle  $E$  with



trivial determinant is an extension of a degree 1 line bundle  $l$  ([115], Lemmas 5.5 and 5.8), i.e. it appears in an exact sequence of holomorphic vector bundles

$$0 \longrightarrow l^{-1} \xrightarrow{\sigma} E \xrightarrow{\varpi} l \longrightarrow 0 . \quad (3.4)$$

The inequivalent extensions (3.4) are classified by the cohomology classes in  $H^1(l^{-2})$ . This may be seen as follows. Taking a section of  $\varpi$ , i.e. a smooth bundle homomorphism  $s : l \rightarrow E$  such that  $\varpi \circ s = id_l$ , we infer that  $\varpi \bar{\partial}s = 0$  and hence that  $\bar{\partial}s = \sigma b$  for  $b$  a 0,1-form with values in  $\text{Hom}(l, l^{-1}) = l^{-2}$ , i.e.  $b \in \wedge^{0,1}(l^{-2})$ .  $b$  is determined up to  $\bar{\partial}\varphi$  where  $\varphi$  is a smooth section of  $l^{-2}$ , i.e.  $\varphi \in \Gamma(l^{-2})$ . The class  $[b]$  in  $\wedge^{0,1}(l^{-2})/\Gamma(l^{-2}) \cong H^1(l^{-2})$  determines the extension (3.4) up to equivalence. Each  $b$  corresponds to an extension: one may simply take  $E$  equal to  $l^{-1} \oplus l$  with the  $\bar{\partial}$ -operator given by  $\bar{\partial}_{l^{-1} \oplus l} + \begin{pmatrix} 0 & b \\ 0 & 0 \end{pmatrix}$ . Proportional  $[b]$  correspond to equivalent bundles  $E$ . If  $E$  is a stable bundle then the extension (3.4) is necessarily nontrivial, i.e.  $[b] \neq 0$ .

Let  $C_E$  denote the set of degree 1 line bundles  $l$  s.t.  $H^0(l \otimes E) \neq 0$  (equivalently, s.t.  $E$  is an extension of  $l$ ). This is a complex 1-dimensional variety. It was shown in [115] that  $C_E$  characterizes the bundle  $E$  up to isomorphism and that there exists a theta function  $\theta$  of the 2<sup>nd</sup> order which vanishes exactly on  $C_E$ . The assignment  $E \mapsto \mathbb{C}^* \theta$  gives an injective map

$$m : \mathcal{N}_s \longrightarrow \mathbb{P}H^0(L_\Theta^2) . \quad (3.5)$$

Let  $V(u_1)S_0 \equiv l_{u_1} \in C_E$ .  $E$  may be realized as an extension of  $l_{u_1}$  which is characterized by  $[b] \in H^1(l_{u_1}^{-2})$ . Then one may take

$$\theta(u) = \int_{\Sigma} K(x; u_1, u) \wedge b(x) . \quad (3.6)$$

where

$$K(x; u_1, u) = \vartheta\left(\int_{x_0}^x \omega - u_1 - u - \Delta\right) \vartheta\left(\int_{x_0}^x \omega - u_1 + u - \Delta\right) \cdot \left(\epsilon^{ab} \partial_b \vartheta\left(\int_{x_0}^x \omega - \Delta\right)\right)^{-1} \omega^a(x) \quad (3.7)$$

(it does not depend on the choice of  $a = 1, 2$ ). Let us explain the above formulae.  $K(x; u_1, u)$ , in its dependence on  $x$ , is a multivalued holomorphic 1,0-form. More exactly, the function

$$x \mapsto \vartheta\left(\int_{x_0}^x \omega - u_1 - u - \Delta\right) \quad (3.8)$$

is multivalued around the  $B_a$ -cycles picking up the factor

$$e^{-\pi i \tau a^2 - 2\pi i \left(\int_{x_0}^x \omega^a - u_1^a - u^a - \Delta^a\right)}$$

when  $x$  goes around  $B_a$  so that it describes an element  $s_2 \in H^0(l_{u_1} l_u)$  (non-vanishing if  $u_1 + u \notin \mathbb{Z}^2 + \tau \mathbb{Z}^2$ ). Similarly,

$$x \mapsto \vartheta\left(\int_{x_0}^x \omega - u_1 + u - \Delta\right) \left(\epsilon^{ab} \partial_b \vartheta\left(\int_{x_0}^x \omega - \Delta\right)\right)^{-1} \omega^a(x)$$

picks up the factor

$$e^{2\pi i(u_1^a - u^a)}$$

when  $x$  goes around  $B_a$  and describes a holomorphic 1,0-form  $\chi$  with values in  $l_{u_1} l_u^{-1}$  (non-vanishing if  $u_1 - u \notin \mathbb{Z}^2 + \tau\mathbb{Z}^2$ ). The product  $s_2\chi = K(\cdot; u_1, u)$  is a holomorphic 1,0-form with values in  $l_{u_1}^2$  and it may be paired with  $b \in \wedge^{01}(l_{u_1}^{-2})$  via the integral over  $x$  on the r.h.s. of Eq. (3.6). The integral is independent of the choice of the representative  $b$  of the cohomology class  $[b]$ . In its dependence on  $u$ ,  $K(x; u_1, u)$  is a theta function of the 2<sup>nd</sup> order and so is  $\theta(u)$ . In Appendix 1 we check explicitly that  $\theta$  given by Eq. (3.6) possesses the required property.

The product of the two shifted Riemann theta functions  $\vartheta(u' - u)\vartheta(u' + u)$  is a theta function of the 2<sup>nd</sup> order both in  $u'$  and in  $u$  (and it is invariant under the interchange  $u' \leftrightarrow u$ ). Let  $\iota$  denote the (marking dependent) linear isomorphism between the spaces  $H^0(L_\Theta^2)^*$  and  $H^0(L_\Theta^2)$  defined by

$$\iota(\phi)(u) = \langle \vartheta(\cdot - u)\vartheta(\cdot + u), \phi \rangle \quad (3.9)$$

An easy calculation shows that

$$\vartheta(u' - u)\vartheta(u' + u) = \sum_e \theta_{2,e}(u') \theta_{2,e}(u). \quad (3.10)$$

Hence  $\iota$  interchanges the basis  $(\theta_{2,e})$  of  $H^0(L_\Theta^2)$  with the dual basis  $(\theta_{2,e}^*)$  of  $H^0(L_\Theta^2)^*$ . Denote by  $\phi_u$  the linear form on  $H^0(L_\Theta^2)$  that computes the value of the theta function at point  $u \in \mathbb{C}^2$ . The Kummer quartic  $\mathcal{K}^* \subset H^0(L_\Theta^2)^*$ ,  $\mathcal{K}^* = \{\mathbb{C}^*\phi_{u'} \mid u' \in \mathbb{C}^2\}$  is mapped by the isomorphism  $\iota$  into a quartic  $\mathcal{K} \subset H^0(L_\Theta^2)$  of theta functions proportional to

$$u \mapsto \vartheta(u' - u)\vartheta(u' + u)$$

for some  $u' \in \mathbb{C}^2$ .

One may define a projective action of  $(\mathbb{Z}/2\mathbb{Z})^4$  on  $H^0(L_\Theta^2)$  by assigning to an element  $(e, e') \in (\mathbb{Z}/2\mathbb{Z})^4$ , with  $e, e' = (0, 0), (1, 0), (0, 1)$  or  $(1, 1)$ , a linear transformation  $U_{e,e'}$  s.t.

$$(U_{e,e'}\theta)(u) = e^{\frac{1}{2}\pi i e' \cdot \tau e' + 2\pi i e' \cdot u} \theta(u + \frac{1}{2}(e + \tau e')). \quad (3.11)$$

The relation  $U_{e_1,e'_1} U_{e_2,e'_2} = (-1)^{e_1 \cdot e'_2} U_{e_1+e_2, e'_1+e'_2}$  holds so that  $U$  lifts to the Heisenberg group. In the action on the basic theta functions,

$$U_{e_1,e'_1} \theta_{2,e} = (-1)^{e_1 \cdot e} \theta_{2,e+e'_1}. \quad (3.12)$$

The marking-dependence of the isomorphism  $\iota$  of Eq. (3.9) is given by the action of  $(\mathbb{Z}/2\mathbb{Z})^4$ . It is easy to check that this action preserves  $\mathcal{K}$  and that the transposed action of  $(\mathbb{Z}/2\mathbb{Z})^4$  preserves  $\mathcal{K}^*$ . The  $(\mathbb{Z}/2\mathbb{Z})^4$  symmetry of the Kummer quartics allows to find easily their defining equation, see Appendix 3.

It was shown in [115] that the image of  $\mathcal{N}_s$  under the map (3.5) contains all non-zero theta functions of the 2<sup>nd</sup> order except the ones in the the Kummer quartic  $\mathcal{K}$ . The latter correspond, however, to the (Seshadri equivalence classes of) semistable but not stable bundles so that the map  $m$  extends to an isomorphism between  $\mathcal{N}_{ss}$  and  $\mathbb{P}H^0(L_\Theta^2)$  showing that  $\mathcal{N}_{ss}$  is a smooth projective variety.

### §4. Cotangent bundle

Let us describe the cotangent space of  $\mathcal{N}_s$  at point  $E$ . The covectors tangent to  $\mathcal{N}_s$  at  $E$  may be identified with holomorphic 1,0-forms  $\Psi$  with values in the bundle of traceless endomorphisms of  $E$ . We may assume that  $E$  is an extension of a line bundle  $l$  of degree 1 realized as  $l^{-1} \oplus l$  with  $\bar{\partial}_E = \bar{\partial}_{l^{-1} \oplus l} + B$  where  $B = \begin{pmatrix} 0 & b \\ 0 & 0 \end{pmatrix}$ . Then

$$\Psi = \begin{pmatrix} -\mu & \nu \\ \eta & \mu \end{pmatrix} \tag{4.1}$$

where  $\mu \in \wedge^{1,0}$ ,  $\nu \in \wedge^{1,0}(l^{-2})$ ,  $\eta \in \wedge^{1,0}(l^2)$  and

$$\bar{\partial}_{l^2} \eta = 0, \quad \bar{\partial} \mu = -\eta \wedge b, \quad \bar{\partial}_{l^{-2}} \nu = 2\mu \wedge b. \tag{4.2}$$

It is easy to relate the above description of covectors tangent to  $\mathcal{N}_s$  to the one of Sect. 2. Let  $\mathcal{U} : l^{-1} \oplus l \rightarrow \Sigma \times \mathbb{C}^2$  be a smooth isomorphism of rank 2 bundles with trivial determinant. Then  $\mathcal{U} \bar{\partial}_E \mathcal{U}^{-1} = \bar{\partial} + A$  for a certain  $\mathfrak{sl}_2$ -valued 0,1-form  $A$  and  $\Phi = \mathcal{U} \Psi \mathcal{U}^{-1}$  satisfies  $\bar{\partial}_A \Phi = 0$ . The  $\mathcal{G}$  orbit of  $(A, \Phi)$  is independent of the choice of  $\mathcal{U}$  and the quadratic Hitchin Hamiltonian takes value  $\frac{1}{2} \text{tr}(\Phi)^2$  on it. The latter expression is clearly equal to  $\frac{1}{2} \text{tr}(\Psi)^2 = \mu^2 + \eta \nu$  which, as easily follows from relations (4.2), defines a holomorphic quadratic differential. Hence

$$\mathcal{H}(E, \Psi) = \mu^2 + \eta \nu. \tag{4.3}$$

We would like to express the latter using the theta function description of  $T^* \mathcal{N}_{ss} = T^* \mathbb{P}H^0(L_{\Theta}^2)$  where the covectors tangent to  $\mathcal{N}_{ss}$  at  $\mathbb{C}^* \theta$  are represented by linear forms  $\phi$  on  $H^0(L_{\Theta}^2)$  s.t.  $\langle \theta, \phi \rangle = 0$ .

Let  $l = l_{u_1} \in C_E$ , i.e.  $\theta(u_1) = 0$  for the theta function corresponding to  $E$ . We shall assume that  $l^2 \neq K$  i.e. that  $2u_1 \notin \mathbb{Z}^2 + \tau \mathbb{Z}^2$ . An infinitesimal variation  $\delta E$  of the bundle  $E$  in  $\mathcal{N}_s$  may be achieved by changing  $\bar{\partial}_E = \bar{\partial}_{l^{-1} \oplus l} + B$  with  $B = \begin{pmatrix} 0 & b \\ 0 & 0 \end{pmatrix}$  to

$$\bar{\partial}_{l^{-1} \oplus l} + \begin{pmatrix} \pi \delta u_1 (\text{Im } \tau)^{-1} \bar{\omega} & b + \delta b \\ 0 & -\pi \delta u_1 (\text{Im } \tau)^{-1} \bar{\omega} \end{pmatrix} \equiv \bar{\partial}_E + \delta B \tag{4.4}$$

(all other variations of  $\bar{\partial}_E$  may be obtained from (4.4) by infinitesimal gauge transformations). Clearly

$$\langle \delta E, \Psi \rangle = \int_{\Sigma} \text{tr } \Psi \wedge \delta B = -2\pi \delta u_1 (\text{Im } \tau)^{-1} \int_{\Sigma} \mu \wedge \bar{\omega} + \int_{\Sigma} \eta \wedge \delta b. \tag{4.5}$$

Note that the line bundle  $l_{u_1}$  with the  $\bar{\partial}$ -operator changed to  $\bar{\partial}_{l_{u_1}} - \pi \delta u_1 (\text{Im } \tau)^{-1} \bar{\omega}$  is equivalent to  $l_{u_1 + \delta u_1} \equiv l'$  and the equivalence is established by multiplication by the multivalued function  $x \mapsto e^{2\pi i \delta u_1 (\text{Im } \tau)^{-1} \int_{x_0}^x \text{Im } \omega}$ . Hence  $l^{-1} \oplus l$  with the  $\bar{\partial}$ -operator given by Eq. (4.4) is equivalent to  $l'^{-1} \oplus l'$  with the  $\bar{\partial}$ -operator  $\bar{\partial}_{l'^{-1} \oplus l'} + \begin{pmatrix} 0 & b + \delta' b \\ 0 & 0 \end{pmatrix}$  where  $\delta' b(x) =$

$\delta b - 4\pi i \delta u_1 (\text{Im } \tau)^{-1} \left( \int_{x_0}^x \text{Im } \omega \right) b(x)$ . The last bundle corresponds by the relation (3.6) to the theta function

$$(\theta + \delta\theta)(u) = \int_{\Sigma} K(x; u_1 + \delta u_1, u) \wedge (b(x) + \delta' b(x)) .$$

Hence  $\delta E$  is represented by the variation

$$\delta\theta(u) = -2\pi \delta u_1^a (\text{Im } \tau)_{ab}^{-1} \int_{\Sigma} L^b(x; u_1, u) \wedge b(x) + \int_{\Sigma} K(x; u_1, u) \wedge \delta b(x) \quad (4.6)$$

of the theta function, where

$$L^a(x; u_1, u) = K(x; u_1, u) \int_{x_0}^x (\omega^a - \bar{\omega}^a) - \frac{1}{2\pi} \text{Im } \tau^{ab} \partial_{u_1^b} K(x; u_1, u) . \quad (4.7)$$

Note that as functions of  $x$ ,  $L^a(x; u_1, u)$  are 1,0-forms with values in  $l_{u_1}^2$  (as are  $K(x; u_1, u)$ ). They are not holomorphic:

$$\bar{\partial}_x L^a(x; u_1, u) = K(x; u_1, u) \wedge \bar{\omega}^a(x) .$$

As functions of  $u$ ,  $L^a(x; u_1, u)$  are theta functions of the 2<sup>nd</sup> order.

We would like to find an explicit form of the Lax matrix  $\Psi$  representing the linear form  $\phi$  on  $H^0(L_{\Theta}^2)$  s.t.  $\langle \theta, \phi \rangle = 0$ . We shall achieve this goal partially, finding the entries  $\eta$  and  $\mu$  of the matrix (4.1). The correspondence between  $\Psi$  and  $\phi$  is determined by the equality

$$\langle \delta E, \Psi \rangle = \langle \delta\theta, \phi \rangle$$

Since the left hand side is given by Eq. (4.5) and  $\delta\theta$  by Eq. (4.6), we obtain

$$\begin{aligned} & -2\pi \delta u_1 (\text{Im } \tau)^{-1} \int_{\Sigma} \mu \wedge \bar{\omega} + \int_{\Sigma} \eta \wedge \delta b \\ &= -2\pi \delta u_1^a (\text{Im } \tau)_{ab}^{-1} \int_{\Sigma} \langle L^b(x; u_1, \cdot), \phi \rangle \wedge b(x) + \int_{\Sigma} \langle K(x; u_1, \cdot), \phi \rangle \wedge \delta b(x) . \end{aligned} \quad (4.8)$$

Taking  $\delta u_1 = 0$  we infer that

$$\eta(x) = \langle K(x; u_1, \cdot), \phi \rangle \quad (4.9)$$

is the lower left entry of the matrix  $\Psi$  corresponding to the linear form  $\phi$ .

It is easy to find the entry  $\mu$  of  $\Psi$  representing the linear form  $\phi_{u_1}$  (recall that  $\phi_{u_1}$  computes the value of a theta function in  $H^0(L_{\Theta}^2)$  at point  $u_1$ ). Since  $K(x; u_1, u_1) = 0$ , it follows from Eq. (4.9) that  $\eta = 0$  in this case. Eq. (4.8) reduces then to

$$\begin{aligned} & -2\pi \delta u_1 (\text{Im } \tau)^{-1} \int_{\Sigma} \mu \wedge \bar{\omega} = \delta u_1^a \int_{\Sigma} \partial_{u_1^a} K(x; u_1, u_1) \wedge b(x) \\ &= -\delta u_1^a \int_{\Sigma} \partial_{u_1^a} K(x; u_1, u_1) \wedge b(x) = -\delta u_1^a \partial_a \theta(u_1) . \end{aligned}$$

This fixes  $\mu$  uniquely:

$$\mu = \frac{i}{4\pi} \partial_a \theta(u_1) \omega^a . \quad (4.10)$$

Let us check that there exists  $\nu \in \wedge^{1,0}(l_{u_1}^{-2})$  such that the last equation of (4.2) holds. For this it is necessary and sufficient that

$$\int_{\Sigma} \kappa \mu \wedge b = 0 \tag{4.11}$$

for a non-zero holomorphic section  $\kappa$  of  $l_{u_1}^2 = V(2u_1)K$  ( $\dim H^0(l_{u_1}^2) = 1$  if  $2u_1 \notin \mathbb{Z}^2 + \tau\mathbb{Z}^2$ ). But such a section may be represented by the function

$$x \mapsto \vartheta \left( \int_{x_0}^x \omega - 2u_1 - \Delta \right)$$

so that, recalling the definition (3.7), we obtain

$$\int_{\Sigma} \kappa \omega^a \wedge b = \int_{\Sigma} \epsilon^{ab} \partial_{u^b} K(x; u_1, u_1) \wedge b(x) = \epsilon^{ab} \partial_b \theta(u_1). \tag{4.12}$$

Hence the relation (4.11) follows for  $\mu$  given by Eq. (4.10). The 1,0-form  $\nu$  satisfying the last relation of (4.2) is now unique since  $H^0(l_{u_1}^{-2}K) = \{0\}$ .

We would like to find the entry  $\mu$  of  $\Psi$  corresponding to more general linear forms  $\phi$  s.t.  $\langle \theta, \phi \rangle = 0$ . Recall that  $\theta$  with  $\theta(u_1) = 0$  may be given by formula (3.6) with  $b \in \wedge^{0,1}(l_{u_1}^{-2})$ . Note that any 2<sup>nd</sup>-order theta function  $\delta\theta$  vanishing at  $u_1$  and not in the Kummer quartic  $\mathcal{K}$  may be written as

$$\delta\theta(u) = \int_{\Sigma} K(x; u_1, u) \wedge \delta b(x) \tag{4.13}$$

with  $\delta b \in \wedge^{0,1}(l_{u_1}^{-2})$  since it corresponds to an extension of  $l_{u_1}$ . The space of  $\delta\theta$  vanishing at  $u_1$  is 3-dimensional, as well as the space  $H^1(l_{u_1}^{-2})$  of classes  $[\delta b]$  and the assumption that  $\delta\theta \notin \mathcal{K}$  is obviously superfluous. Set for a linear form  $\psi$  on  $H^0(L_{\Theta}^2)$ ,

$$\eta_{\psi}(x) = \langle K(x; u_1, \cdot), \psi \rangle. \tag{4.14}$$

$\eta_{\psi}$  defines a holomorphic 1,0-form with values in  $l_{u_1}^2$ . We have

$$\langle \delta\theta, \psi \rangle = \int_{\Sigma} \eta_{\psi} \wedge \delta b \tag{4.15}$$

for  $\delta\theta$  given by Eq. (4.13). By dimensional count, the map  $\psi \mapsto \eta_{\psi}$  is onto  $H^0(l_{u_1}^2 K)$  with the 1-dimensional kernel spanned by  $\phi_{u_1}$ . Specifying Eq. (4.15) to  $\delta\theta \propto \theta$ , we obtain the relation

$$\langle \theta, \psi \rangle = \int_{\Sigma} \eta_{\psi} \wedge b \tag{4.16}$$

which determines the class  $[b] \in H^1(l_{u_1}^{-2})$  in terms of  $\theta$ . On the other hand, taking  $\psi = \phi$  in Eq. (4.14), we infer that  $\eta = 0$  if and only if  $\phi$  is proportional to  $\phi_{u_1}$ , the case studied before.

If  $\eta_{\phi} \neq 0$  then  $\mu$  depends on the choice of the representative  $b$  in the class  $[b] \in H^1(l_{u_1}^{-2})$  characterizing  $E$  as the extension of  $l_{u_1}$ . Under the transformation  $b \mapsto b + \bar{\partial}\varphi$  where  $\varphi$  is a section of  $l_{u_1}^{-2}$ ,

$$\eta \mapsto \eta, \quad \mu \mapsto \mu + \varphi\eta, \quad \nu \mapsto \nu - 2\varphi\mu - \varphi^2\eta.$$

The pairing of the theta functions  $L^a(x; u_1, \cdot)$  of Eq. (4.7) with the linear form  $\phi$  gives two 1,0-forms with values in  $l_{u_1}^2$ :

$$\chi^a(x) = \langle L^a(x; \cdot, u_1), \phi \rangle \quad \text{s.t.} \quad \bar{\partial}\chi^a = \eta \wedge \bar{\omega}^a. \quad (4.17)$$

Specifying the equality (4.8) to the case with  $\delta b = 0$ , we infer the relation

$$\int_{\Sigma} \mu \wedge \bar{\omega}^a = \int_{\Sigma} \chi^a \wedge b \quad (4.18)$$

which, together with the equation

$$\bar{\partial}\mu = -\eta \wedge b \quad (4.19)$$

determines  $\mu$  completely. In Appendix 2, we show that  $\mu$  fixed this way satisfies the relation  $\int_{\Sigma} \kappa \mu \wedge b = 0$  and hence defines a unique 1,0-form  $\nu$  with values in  $l_{u_1}^{-2}$  s.t.  $\bar{\partial}\nu = 2\mu \wedge b$ .

## §5. Hitchin Hamiltonians

From the relation (4.3) and the explicit form of  $\Psi$  corresponding to  $\phi_{u_1}$  ( $\eta$  vanishing,  $\mu$  given by Eq. (4.10)), one obtains

$$\mathcal{H}(\theta, a_1 \phi_{u_1}) = -\frac{1}{16\pi^2} a_1^2 (\partial_a \theta(u_1) \omega^a)^2. \quad (5.1)$$

The right hand side is a quadratic differential. Eq. (5.1), whose projective version was first obtained in [73], is consistent with the rescaling  $\theta \mapsto t\theta$  and  $\phi \mapsto t^{-1}\phi$  for  $t \in \mathbb{C}^*$ . It describes the value of the Hitchin map  $\mathcal{H}$  on the special covectors, namely those represented by the pairs  $(\theta, \phi)$  s.t.  $\mathbb{C}^*\phi$  is in the intersection  $\mathcal{K}_E^*$  of the Kummer quartic  $\mathcal{K}^*$  with the plane  $\langle \theta, \phi \rangle = 0$ . The linear span of  $\mathcal{K}_E^*$  gives the whole cotangent space  $T_E^* \mathcal{N}_{ss}$ . Indeed, any theta function of the 2<sup>nd</sup> order  $\delta\theta$  which vanishes on  $C_E$  has to be proportional to  $\theta$  and defines a zero vector in  $T_E^* \mathcal{N}_{ss}$ .  $\mathcal{K}_E^*$  is itself a quartic. Hence the restriction of the quadratic polynomial  $\mathcal{H}$  to six lines in  $\mathcal{K}_E^*$  in a general position determines  $\mathcal{H}$  completely.

It is possible to find a more explicit description of the values of  $\mathcal{H}$  away from  $\mathcal{K}_E^*$  and this is the main aim of the rest of the present section. Suppose then that the entry  $\eta$  in  $\Psi$  does not vanish. Let  $x_i$ ,  $i = 1, \dots, 4$ , be its four zeros. We shall assume that  $\eta$  cannot be written as  $\kappa\omega$  for  $\kappa \in H^0(l_{u_1}^2)$  and  $\omega \in H^0(K)$ . This is true for generic  $\phi$ . In this case,  $\eta = a_2 \eta_{\phi_{u_2}}$  for some  $a_2 \in \mathbb{C}^*$  and for  $u_2$  satisfying

$$u_1 + u_2 = \int_{x_0}^{x_1} \omega + \int_{x_0}^{x_2} \omega - 2\Delta \quad \text{and} \quad u_1 - u_2 = \int_{x_0}^{x_3} \omega + \int_{x_0}^{x_4} \omega - 2\Delta, \quad (5.2)$$

$u_1 \pm u_2 \notin \mathbb{Z} + \tau\mathbb{Z}$ . Indeed,  $\eta_{\phi_{u_2}}(x)$  is a holomorphic section of  $l_{u_1}^2 K$  represented by the multivalued function  $\vartheta(\int_{x_0}^x \omega - u_1 - u_2 - \Delta) \vartheta(\int_{x_0}^x \omega - u_1 + u_2 - \Delta)$  vanishing exactly at  $x_i$  and such a section is unique up to normalization. We infer that in the action on the theta functions of Eq. (4.13), the linear forms  $\phi$  and  $a_2 \phi_{u_2}$  coincide. Since Eq. (4.13) gives all theta functions vanishing at  $u_1$ , it follows that

$$\phi = a_1 \phi_{u_1} + a_2 \phi_{u_2} \quad (5.3)$$

for some  $a_1 \in \mathbb{C}$ . Let us stress that, to fix normalizations,  $u_1$  and  $u_2$  should be viewed as elements of  $\mathbb{C}^2$  with  $x_i$  in relations (5.2) belonging to the covering space  $\tilde{\Sigma}$  of  $\Sigma$ . The relation  $\langle \theta, \phi \rangle = 0$  implies that  $\theta(u_2) = 0$ .

Summarizing, we have shown that a generic pair  $(\theta, \phi)$  s.t.  $\langle \theta, \phi \rangle = 0$  may be obtained by first choosing  $u_1$  and  $u_2$  s.t.  $2u_1, 2u_2, u_1 \pm u_2 \notin \mathbb{Z} + \tau\mathbb{Z}$  and then taking  $\theta$  from the 2-dimensional space of theta functions vanishing at  $u_1$  and  $u_2$  and  $\phi$  from the orthogonal subspace. The zeros  $x_i$  of  $\eta$  are determined from Eqs. (5.2) (as the zeros of  $\vartheta(\int_{x_0}^x \omega - u_1 \pm u_2 - \Delta)$ ). For simplicity, we shall assume that they are distinct (this is true for generic  $\phi$ ). Then the differentials  $\partial\eta(x_i) \in (l_{u_1}^2 K^2)_{x_i}$  do not vanish.

A quadratic differential  $\rho \in H^0(K^2)$  is determined by its values at four points  $x_i$  which form a divisor of  $l_{u_1}^2 K \neq K^2$ . Since  $\dim H^0(K^2) = 3$ , there is one linear relation satisfied by all  $\rho(x_i)$ :

$$\sum_{i=1}^4 \rho(x_i) \kappa(x_i) \partial\eta(x_i)^{-1} = 0$$

for  $0 \neq \kappa \in H^0(l_{u_1}^2)$ . It expresses the fact that the sum of residues of the meromorphic 1,0-form  $\rho\kappa\eta^{-1}$  has to vanish. For  $\rho = \mathcal{H}(\theta, \phi) = \mu^2 + \eta\nu$ ,

$$\rho(x_i) = \mu(x_i)^2$$

so that it is enough to know  $\mu(x_i)$  in order to determine  $\mathcal{H}(\theta, \phi)$ . Note that although the 1,0-form  $\mu$  depends on the choice of the representative  $b$  of the class  $[b] \in H^1(l_{u_1}^{-2})$  defined by Eq. (4.16), the values  $\mu(x_i)$  are invariant since under  $b \mapsto b + \bar{\partial}\varphi$  the 1,0-form  $\mu$  changes to  $\mu + \varphi\eta$ .

It remains to find  $\mu(x_i)$ . Consider the meromorphic function  $\eta_\psi\eta^{-1}$ . Viewed as a distribution,  $\bar{\partial}(\eta_\psi\eta^{-1})$  is supported at the poles of  $\eta_\psi\eta^{-1}$  and

$$\int_{\Sigma} \mu \wedge \bar{\partial}(\eta_\psi\eta^{-1}) = -2\pi i \sum_{i=1}^4 \mu(x_i) \eta_\psi(x_i) \partial\eta(x_i)^{-1}$$

for any (smooth) 1,0-form  $\mu$ . In particular, for  $\mu$  satisfying Eq. (4.19) we obtain

$$\sum_{i=1}^4 \mu(x_i) \eta_\psi(x_i) \partial\eta(x_i)^{-1} = \frac{1}{2\pi i} \int_{\Sigma} \eta_\psi \wedge b = \frac{1}{2\pi i} \langle \theta, \psi \rangle. \tag{5.4}$$

Recall that  $\eta_\psi$  run through the three-dimensional space  $H^0(l_{u_1}^2 K)$ . If  $\eta_\psi(x_i) = 0$  for all  $i$  then  $\eta_\psi$  has to be proportional to  $\eta = a_2\eta_{\phi_{u_2}}$ . Hence vectors  $(\eta_\psi(x_i))$  form a 2-dimensional subspace in  $\bigoplus_i (l_{u_1}^2 K)_{x_i}$  and equations (5.4) determine vector  $(\mu(x_i)) \in \bigoplus_i K_{x_i}$  up to a 2-dimensional ambiguity spanned by  $(\omega^a(x_i))$  (indeed, as the residues of the meromorphic 1,0-form  $\eta_\psi\eta^{-1}\omega^a$ , the numbers  $\omega^a(x_i)\eta_\psi(x_i)\partial\eta(x_i)^{-1}$  sum to zero). It is clearly enough to take for  $\psi$  in Eq. (5.4) any two linear forms independent of  $\phi_{u_1}$  and  $\phi_{u_2}$ . In the generic situation, we may choose the forms  $\partial_a\phi_{u_1}$  defined by

$$\langle \theta, \partial_a\phi_{u_1} \rangle = \partial_a\theta(u_1).$$

Denoting the corresponding 1,0-forms  $\eta_\psi$  by  $\eta'_a$ , we obtain 2 relations for  $\mu(x_i)$ :

$$\sum_{i=1}^4 \mu(x_i) \eta'_a(x_i) \partial \eta(x_i)^{-1} = \frac{1}{2\pi i} \partial_a \theta(u_1). \quad (5.5)$$

Alternatively, we may choose for  $\psi$  the linear forms  $\partial_a \phi_{u_2}$  corresponding to 1,0-forms  $\eta''_a$ . This gives the relations

$$\sum_{i=1}^4 \mu(x_i) \eta''_a(x_i) \partial \eta(x_i)^{-1} = \frac{1}{2\pi i} \partial_a \theta(u_2). \quad (5.6)$$

$\eta''_a$  must be linearly dependent from  $\eta'_a$  and  $\eta$  (in the generic situation):

$$\eta''_a = D_a^b \eta'_b + \eta \quad (5.7)$$

leading via Eqs. (5.5) and (5.6) to the relation

$$\partial_a \theta(u_2) = D_a^b \partial_b \theta(u_1).$$

We need 2 more equations to determine  $\mu(x_i)$ . They may be obtained from Eqs. (4.18) fixing the holomorphic contributions to  $\mu$ . Indeed, using the 2<sup>nd</sup> equation in (4.17), and Eq. (4.19) we infer that

$$\begin{aligned} \int_{\Sigma} \mu \wedge \bar{\omega}^a &= \int_{\Sigma} (\mu \eta^{-1}) \eta \wedge \bar{\omega}^a = \int_{\Sigma} (\mu \eta^{-1}) \bar{\partial} \chi^a = \int_{\Sigma} \chi^a \wedge \bar{\partial} (\mu \eta^{-1}) \\ &= \int_{\Sigma} \chi^a \wedge b - 2\pi i \sum_{i=1}^4 \mu(x_i) \chi^a(x_i) \partial \eta(x_i)^{-1} \end{aligned} \quad (5.8)$$

so that Eq. (4.18) implies that

$$\sum_{i=1}^4 \mu(x_i) \chi^a(x_i) \partial \eta(x_i)^{-1} = 0. \quad (5.9)$$

These are the two missing equations. To see this, repeat the calculation (5.8) for  $\mu$  replaced by  $\omega^b$ . This gives the relation

$$\frac{1}{\pi} \text{Im} \tau^{ab} = \sum_{i=1}^4 \omega^b(x_i) \chi^a(x_i) \partial \eta(x_i)^{-1}.$$

Suppose now that  $d_a \chi^a(x_i) + e \eta_\psi(x_i) = 0$  for  $i = 1, \dots, 4$ . It follows that

$$0 = \sum_{i=1}^4 \omega^b(x_i) (d_a \chi^a(x_i) + e \eta_\psi(x_i)) \partial \eta(x_i)^{-1} = \frac{1}{\pi} \text{Im} \tau^{ab} d_a$$

so that  $d_a = 0$ . Hence the vectors  $(\chi^a(x_i))$  span a 2-dimensional subspace of  $\bigoplus_i K_{x_i}$  transversal to the 2-dimensional subspace spanned by the vectors  $(\eta_\psi(x_i))$  and the linear equations (5.4) and (5.9) determine  $\mu(x_i)$  completely.



It is enough to consider the case  $\phi = \phi_{u_2}$ . Indeed, the shift  $\phi \mapsto \phi + a_1 \phi_{u_1}$  results in the change

$$\mu \mapsto \mu + \frac{i}{4\pi} a_1 \partial_a \theta(u_1) \omega^a,$$

see Eq. (4.10). Identifying 1,0-forms with multivalued functions by the relation (3.3) and setting  $\chi_a = 2\pi(\text{Im}\tau)_{ab}^{-1} \chi^b$ ,  $w_i = \int_{x_0}^{x_i} \omega - \Delta$ ,  $G_1 = G_{12} = -G_2$  and  $G_3 = G_{34} = -G_4$  where

$$G_{ij} = \det \begin{pmatrix} \partial_1 \vartheta(w_i) & \partial_1 \vartheta(w_j) \\ \partial_2 \vartheta(w_i) & \partial_2 \vartheta(w_j) \end{pmatrix},$$

we obtain

$$\begin{aligned} \partial \eta(x_1) &= G_1 \vartheta(w_1 - w_3 - w_4), & \chi_a(x_1) &= -\partial_a \vartheta(w_2) \vartheta(w_1 - w_3 - w_4), \\ \partial \eta(x_2) &= G_2 \vartheta(w_2 - w_3 - w_4), & \chi_a(x_2) &= -\partial_a \vartheta(w_1) \vartheta(w_2 - w_3 - w_4), \\ \partial \eta(x_3) &= G_3 \vartheta(w_3 - w_1 - w_2), & \chi_a(x_3) &= -\partial_a \vartheta(w_4) \vartheta(w_3 - w_1 - w_2), \\ \partial \eta(x_4) &= G_4 \vartheta(w_4 - w_1 - w_2), & \chi_a(x_4) &= -\partial_a \vartheta(w_3) \vartheta(w_4 - w_1 - w_2), \\ \\ \eta'_a(x_1) &= \partial_a \vartheta(w_1) \vartheta(w_2 + w_3 + w_4), & \eta''_a(x_1) &= \partial_a \vartheta(w_2) \vartheta(w_1 - w_3 - w_4), \\ \eta'_a(x_2) &= \partial_a \vartheta(w_2) \vartheta(w_1 + w_3 + w_4), & \eta''_a(x_2) &= \partial_a \vartheta(w_1) \vartheta(w_2 - w_3 - w_4), \\ \eta'_a(x_3) &= \partial_a \vartheta(w_3) \vartheta(w_1 + w_2 + w_4), & \eta''_a(x_3) &= -\partial_a \vartheta(w_4) \vartheta(w_3 - w_1 - w_2), \\ \eta'_a(x_4) &= \partial_a \vartheta(w_4) \vartheta(w_1 + w_2 + w_3), & \eta''_a(x_4) &= -\partial_a \vartheta(w_3) \vartheta(w_4 - w_1 - w_2). \end{aligned}$$

Given these values, it is easy to find the explicit form of the matrix  $(D_a^b)$  appearing in the relation between the derivatives of  $\partial_a \theta$  at  $u_1$  and  $u_2$  by specifying Eq. (5.7) to two of the points  $x_i$ . One form of these relations is

$$\begin{aligned} & \partial_2 \vartheta(w_3) \partial_1 \theta(u_2) - \partial_1 \vartheta(w_3) \partial_2 \theta(u_2) \\ &= -\frac{\vartheta(w_3 - w_1 - w_2)}{\vartheta(w_1 + w_2 + w_4)} (\partial_2 \vartheta(w_4) \partial_1 \theta(u_1) - \partial_1 \vartheta(w_4) \partial_2 \theta(u_1)), \\ & \partial_2 \vartheta(w_4) \partial_1 \theta(u_2) - \partial_1 \vartheta(w_4) \partial_2 \theta(u_2) \\ &= -\frac{\vartheta(w_4 - w_1 - w_2)}{\vartheta(w_1 + w_2 + w_3)} (\partial_2 \vartheta(w_3) \partial_1 \theta(u_1) - \partial_1 \vartheta(w_3) \partial_2 \theta(u_1)). \end{aligned}$$

Let us denote  $\tilde{\mu}(x_i) = \mu(x_i)/G_i$ . Eqs. (5.9) have the general solution

$$(\tilde{\mu}(x_1), \dots, \tilde{\mu}(x_4)) = g_1 (G_{34}, 0, G_{23}, -G_{24}) + g_2 (0, G_{34}, G_{13}, -G_{14})$$

and Eqs. (5.6) fix the values of  $g_1$  and  $g_2$  to

$$\begin{aligned} g_1 &= -\frac{\partial_2 \vartheta(w_1) \partial_1 \theta(u_2) - \partial_1 \vartheta(w_1) \partial_2 \theta(u_2)}{4\pi i G_{12} G_{34}} \\ g_2 &= \frac{\partial_2 \vartheta(w_2) \partial_1 \theta(u_2) - \partial_1 \vartheta(w_2) \partial_2 \theta(u_2)}{4\pi i G_{12} G_{34}}. \end{aligned}$$

This leads to the following simple result:

$$\mu(x_i) = \pm \frac{i}{4\pi} (\partial_2 \vartheta(w_i) \partial_1 \theta(u_2) - \partial_1 \vartheta(w_i) \partial_2 \theta(u_2)) \quad (5.10)$$

or, in a more abstract notation from the introduction,

$$\mu(x_i) = \pm \frac{i}{4\pi} d\theta(l_{u_2})$$

with the plus sign for  $i = 1, 2$  and the minus one for  $i = 3, 4$ .

Since the Hitchin Hamiltonian is quadratic in  $\phi$  and its values on  $\phi_{u_1}$  and  $\phi_{u_2}$  are given by Eq. (5.1), it follows that

$$\begin{aligned} \mathcal{H}(\theta, a_1 \phi_{u_1} + a_2 \phi_{u_2}) \\ = a_1^2 \mathcal{H}(\theta, \phi_{u_1}) + a_2^2 \mathcal{H}(\theta, \phi_{u_2}) + 2a_1 a_2 (c_1(\omega^1)^2 + c_2 \omega^1 \omega^2 + c_3(\omega^2)^2). \end{aligned}$$

The mixed term may be found from the linear equations

$$\begin{aligned} \frac{i}{4\pi} (\partial_2 \vartheta(w_i) \partial_1 \theta(u_1) - \partial_1 \vartheta(w_i) \partial_2 \theta(u_1)) \tilde{\mu}(x_i) G_i \\ = c_1 \partial_2 \vartheta(w_i) \partial_2 \vartheta(w_i) - c_2 \partial_2 \vartheta(w_i) \partial_1 \vartheta(w_i) + c_3 \partial_1 \vartheta(w_i) \partial_1 \vartheta(w_i). \end{aligned}$$

Their explicit solution leads to the expression

$$\begin{aligned} \mathcal{H}(\theta, a_1 \phi_{u_1} + a_2 \phi_{u_2}) = & -\frac{1}{16\pi^2} (a_1 \partial_a \theta(u_1) \omega^a + a_2 \partial_a \theta(u_2) \omega^a)^2 \\ & + \frac{a_1 a_2}{4\pi^2 G_{13} G_{23}} (\partial_2 \vartheta(w_3) \partial_1 \theta(u_1) - \partial_1 \vartheta(w_3) \partial_2 \theta(u_1)) \\ & \cdot (\partial_2 \vartheta(w_3) \partial_1 \theta(u_2) - \partial_1 \vartheta(w_3) \partial_2 \theta(u_2)) \partial_a \vartheta(w_1) \partial_b \vartheta(w_2) \omega^a \omega^b. \end{aligned} \quad (5.11)$$

The second term on the right hand side is a quadratic differential that vanishes at  $x_1$  and  $x_2$  and is equal to  $\frac{a_1 a_2}{4\pi^2} \partial_a \theta(u_1) \partial_b \theta(u_2) \omega^a \omega^b$  at  $x_3$  and  $x_4$  so that

$$\mathcal{H}(\theta, \phi)(x_i) = -\frac{1}{16\pi^2} (a_1 \partial_a \theta(u_1) \omega^a(x_i) \pm a_2 \partial_a \theta(u_2) \omega^a(x_i))^2 \quad (5.12)$$

where sign plus should be taken for  $x_1$  and  $x_2$  and sign minus for  $x_3$  and  $x_4$ . This is the result (1.12) described in Introduction.

## §6. Self-duality

We would like to compare the values of the Hitchin Hamiltonians on the dual pairs  $(\theta, \phi)$  and  $(\theta', \phi')$  where  $\theta' = \iota(\phi)$  and  $\phi' = \iota^{-1}(\theta)$  with  $\iota$  defined by Eq. (3.9). Recall that, given  $u_1$  s.t.  $\theta(u_1) = 0$ , we associated to the linear form  $\phi$  a 1,0-form  $\eta$  by Eq. (4.9). Viewed as a holomorphic section of  $l_{u_1}^2 K$ ,

$$\eta(x) = \left\langle \vartheta \left( \int_{x_0}^x \omega - u_1 - \cdot - \Delta \right) \vartheta \left( \int_{x_0}^x \omega - u_1 + \cdot - \Delta \right), \phi \right\rangle.$$

Let us denote

$$u'_i = \int_{x_0}^{x_i} \omega - u_1 - \Delta. \quad (6.1)$$

The vanishing of  $\eta(x_i)$  implies then that the linear form  $\phi$  annihilates the theta functions

$$u \mapsto \vartheta(u'_i - u) \vartheta(u'_i + u) = \iota(\phi_{u'_i})(u) \quad (6.2)$$

and also, if we rewrite  $\eta(x_i)$  as  $\iota(\phi)(u'_i)$ , that  $\theta'(u'_i) = 0$ . Since  $\phi = a_1 \phi_{u_1} + a_2 \phi_{u_2}$  and  $\phi_{u_1}$  annihilates the theta functions (6.2) as well, it follows that they belong to  $\Pi$ . Hence  $\mathbb{C}^* \iota(\phi_{u'_i})$  are the 4 points of intersection of the line  $\mathbb{P}\Pi$  with the Kummer quartic  $\mathcal{K}$ . Equivalently,  $\mathbb{C}^* \phi_{u'_i}$  are the points of intersection of  $\mathbb{P}\Pi'^\perp$  with  $\mathcal{K}^*$ . In the generic situation, any pair of theta functions  $\phi_{u'_i}$  spans  $\Pi'^\perp$  and since  $\phi' \in \Pi'^\perp$ , we may write

$$\phi' = a'_1 \phi_{v_1} + a'_2 \phi_{v_2} \quad (6.3)$$

or, equivalently,

$$\theta = a'_1 \iota(\phi_{v_1}) + a'_2 \iota(\phi_{v_2}). \quad (6.4)$$

The involution  $l \mapsto l^{-1}K$  of the Jacobian  $J^1$  lifts to  $\mathbb{C}^2$  to the flip of sign of  $u$ . By restriction to the bundles  $\mathcal{O}(x)$ , it induces the involution  $x \mapsto x'$  of  $\Sigma$  which leaves 6 Weierstrass points invariant. The latter involution lifts to an involution (without fixed points) of the covering space  $\tilde{\Sigma}$  determined by the equation

$$\int_{x_0}^x \omega - \Delta = - \int_{x_0}^{x'} \omega + \Delta. \quad (6.5)$$

Definitions (6.1) together with Eqs. (5.2) give the relations

$$u'_1 - u'_2 = \int_{x_0}^{x_1} \omega - \int_{x_0}^{x_2} \omega \quad \text{and} \quad u'_1 + u'_2 = - \int_{x_0}^{x_3} \omega - \int_{x_0}^{x_4} \omega + 2\Delta$$

holding in  $\mathbb{C}^2$ , with  $x_i \in \tilde{\Sigma}$ . They may be rewritten as

$$u'_1 - u'_2 = \int_{x_0}^{x_1} \omega + \int_{x_0}^{x_2} \omega - 2\Delta \quad \text{and} \quad u'_1 + u'_2 = \int_{x_0}^{x_3} \omega + \int_{x_0}^{x_4} \omega - 2\Delta, \quad (6.6)$$

which, upon the flip of the sign of  $u'_2$  leaving  $\phi_{u'_2}$  unchanged, provides the dual version of relations (5.2) corresponding to points  $x_1, x_2, x'_3, x'_4 \in \tilde{\Sigma}$ . Applying the previous result (5.12) and using the possibility to exchange a point with its image under the involution of  $\Sigma$  in the argument of a quadratic differential, we infer that

$$\mathcal{H}(\theta', \phi')(x_i) = -\frac{1}{16\pi^2} (a'_1 \partial_a \theta'(u'_1) \omega^a(x_i) \mp a_2 \partial_a \theta'(u'_2) \omega^a(x_i))^2. \quad (6.7)$$

The sign minus should be taken for  $x_1$  and  $x_2$  and sign plus for  $x_3$  and  $x_4$ . The exchange of signs in comparison with Eq. (5.12) is due to the flip  $u'_2 \mapsto -u'_2$ .

In order to compare expressions (5.12) and (6.7) we shall calculate the coefficients  $a_{1,2}$  and  $a'_{1,2}$  of the linear combinations (5.3) and (6.3). Note that the definition  $\theta' = \iota(\phi)$  implies that

$$\theta' \left( \int_{x_0}^x \omega - u_1 - \Delta \right) = a_2 \vartheta \left( \int_{x_0}^x \omega - u_1 - u_2 - \Delta \right) \vartheta \left( \int_{x_0}^x \omega - u_1 + u_2 - \Delta \right).$$

Taking the derivative over  $x$  at  $x_1$ , we obtain

$$\partial_a \theta'(u'_1) \omega^a(x_1) = -a_2 \vartheta(w_1 - w_3 - w_4) \partial_a \vartheta(w_2) \omega^a(x_1)$$

where we employed Eqs. (5.2) and the abbreviated notations  $w_i = \int_{x_0}^{x_i} \omega - \Delta$ . Hence

$$a_2 = -\frac{\partial_a \theta'(u'_1) \omega^a(x_1)}{\vartheta(w_1 - w_3 - w_4) \partial_a \vartheta(w_2) \omega^a(x_1)}. \quad (6.8)$$

Similarly,

$$\theta'(\int_{x_0}^x \omega - u_2 - \Delta) = a_1 \vartheta(\int_{x_0}^x \omega - u_1 - u_2 - \Delta) \vartheta(\int_{x_0}^x \omega + u_1 - u_2 - \Delta).$$

Taking the derivative at  $x = x_1$  and noting that  $w_1 - u_2 = -u'_2$ , we infer that

$$a_1 = \frac{\partial_a \theta'(u'_2) \omega^a(x_1)}{\vartheta(w_1 + w_3 + w_4) \partial_a \vartheta(w_2) \omega^a(x_1)}. \quad (6.9)$$

To calculate  $a'_{1,2}$ , we note that Eq. (6.4) implies that

$$\theta(\int_{x_0}^x \omega - v_1 - \Delta) = a'_2 \vartheta(\int_{x_0}^x \omega - u'_1 - u'_2 - \Delta) \vartheta(\int_{x_0}^x \omega - u'_1 + u'_2 - \Delta).$$

Upon derivation at  $x = x_1$  and with the use of relations (6.6) and (6.5), this gives

$$a'_2 = -\frac{\partial_a \theta(u_1) \omega^a(x_1)}{\vartheta(w_1 + w_3 + w_4) \partial_a \vartheta(w_2) \omega^a(x_1)}. \quad (6.10)$$

Finally, since

$$\theta(\int_{x_0}^x \omega + v_2 - \Delta) = a'_1 \vartheta(\int_{x_0}^x \omega - u'_1 + u'_2 - \Delta) \vartheta(\int_{x_0}^x \omega + u'_1 + u'_2 - \Delta).$$

and  $w_1 + u'_2 = u_2$  we infer that

$$a'_1 = -\frac{\partial_a \theta(u_2) \omega^a(x_1)}{\vartheta(w_1 - w_3 - w_4) \partial_a \vartheta(w_2) \omega^a(x_1)}. \quad (6.11)$$

Substitution of expressions (6.9),(6.8),(6.11) and (6.10) shows equality of the right hand sides of Eqs. (5.12) and (6.7) for  $x_i = x_1$ . Since there is a full symmetry between points  $x_i$  (hidden in our arbitrary choices of the order and the signs of  $u_j$ 's and  $u'_j$ 's), the self-duality

$$\mathcal{H}(\theta, \phi) = \mathcal{H}(\theta', \phi') \quad (6.12)$$

follows.

## §7. van Geemen-Previato's result and beyond

The genus 2 curves are hyperelliptic. The map  $H^0(K) \ni \omega \mapsto \omega(x)$  defines an element of  $\mathbb{P}H^0(K)^*$  and varying  $x \in \Sigma$  one obtains a realization of  $\Sigma$  as a ramified double cover

$\mathbb{P}H^0(K)^* \cong \mathbb{P}^1$ . One may use the 1,0-forms  $\omega^a \in H^0(K)$  to define the homogeneous coordinates on  $\mathbb{P}H^0(K)^*$ . Then

$$\lambda(x) = \frac{\omega^2(x)}{\omega^1(x)} = -\frac{\partial_1 \vartheta(\int_{x_0}^x \omega - \Delta)}{\partial_2 \vartheta(\int_{x_0}^x \omega - \Delta)} \quad (7.1)$$

becomes the inhomogeneous coordinate of the image in  $\mathbb{P}^1$  of the point  $x \in \Sigma$ . If  $x'$  is the image of  $x$  under the involution  $\mathcal{O}(x) \mapsto \mathcal{O}(-x)K = \mathcal{O}(x')$ , i.e. if

$$\int_{x_0}^x \omega + \int_{x_0}^{x'} \omega - 2\Delta \in \mathbb{Z} + \tau\mathbb{Z} \quad \text{then} \quad \lambda(x) = \lambda(x').$$

Hence the involution  $x \mapsto x'$  permutes the sheets of the covering  $\Sigma \mapsto \mathbb{P}^1$  ramified over the 6 Weierstrass points  $x_s$ ,  $s = 1, \dots, 6$ , fixed by the involution.  $\mathcal{O}(x_s)$  is an odd spin structure. i.e.

$$\int_{x_0}^{x_s} \omega - \Delta = E_s \pmod{(\mathbb{Z}^2 + \tau\mathbb{Z}^2)}$$

and

$$\lambda_s \equiv \lambda(x_s) = -\frac{\partial_1 \vartheta(E_s)}{\partial_2 \vartheta(E_s)} \quad (7.2)$$

where  $E_s = \frac{1}{2}(e_s + \tau e'_s)$  with  $e_s, e'_s = (1, 0), (0, 1)$  or  $(1, 1)$  such that  $e_s \cdot e'_s$  is odd. The possibilities are:

$$\begin{aligned} e_1 = (1, 0), e'_1 = (1, 0); \quad e_2 = (1, 1), e'_2 = (1, 0); \quad e_3 = (0, 1), e'_3 = (0, 1); \\ e_4 = (1, 1), e'_4 = (0, 1); \quad e_5 = (0, 1), e'_5 = (1, 1); \quad e_6 = (1, 0), e'_6 = (1, 1). \end{aligned} \quad (7.3)$$

and we shall number the Weierstrass points (in a marking-dependent way) in agreement with this list.  $\Sigma$  may be identified with the hyperelliptic curve given by the equation

$$\zeta^2 = \prod_{s=1}^6 (\lambda - \lambda_s) \quad (7.4)$$

with the involution mapping  $(\lambda, \zeta)$  to  $(\lambda, -\zeta)$ . The expressions

$$\omega^1 = C \frac{d\lambda}{\zeta} \quad \text{and} \quad \omega^2 = C \frac{\lambda d\lambda}{\zeta}, \quad (7.5)$$

where  $C$  is a constant, give the basis of holomorphic 1,0-forms of  $\Sigma$  (the right hand sides vanish exactly where the left hand sides do).

Let us recall the main result of [73] based on the analysis of the formula (5.1) for the Hitchin Hamiltonians on the Kummer quartic  $\mathcal{K}^*$ . It will be convenient to identify the pairs  $(\theta, \phi)$  s.t.  $\langle \theta, \phi \rangle = 0$  with pairs  $(q, p) \in \mathbb{C}^4 \times \mathbb{C}^4$  s.t.  $q \cdot p = 0$  by the relations

$$\begin{aligned} \theta &= q_1 \theta_{2,(0,0)} + q_2 \theta_{2,(1,0)} + q_3 \theta_{2,(0,1)} + q_4 \theta_{2,(1,1)}, \\ \phi &= p_1 \theta_{2,(0,0)}^* + p_2 \theta_{2,(1,0)}^* + p_3 \theta_{2,(0,1)}^* + p_4 \theta_{2,(1,1)}^*. \end{aligned}$$

The symplectic form of  $T^*\mathbb{P}^3$  is the standard  $dp \wedge dq$  and the isomorphism  $\iota$  interchanges  $p$  and  $q$ . By examining the values of the quadratic differentials given by  $\mathcal{H}$  at the Weierstrass points  $x_s$ , van Geemen and Previato showed that

$$\mathcal{L}_s(q) = \{p \mid q \cdot p = 0, \mathcal{H}(q, p)(x_s) = 0\}$$

is a union of a pair of bitangents to  $\mathcal{K}^*$ . Then classical results giving the equations for bitangents to the Kummer surface permitted the authors of [73] to write an almost explicit formula for  $\mathcal{H}(x_s)$  in the form

$$\mathcal{H}(q, p)(x_s) = h_s \sum_{t \neq s} \frac{r_{st}(q, p)}{\lambda_s - \lambda_t} \quad (7.6)$$

where  $r_{st} = r_{ts}$  are homogeneous polynomials,

$$\begin{aligned} r_{12}(q, p) &= (q_1 p_1 + q_2 p_2 - q_3 p_3 - q_4 p_4)^2, \\ r_{13}(q, p) &= (q_1 p_4 - q_2 p_3 - q_3 p_2 + q_4 p_1)^2, \\ r_{14}(q, p) &= -(q_1 p_4 + q_2 p_3 - q_3 p_2 - q_4 p_1)^2, \\ r_{15}(q, p) &= -(q_1 p_3 - q_2 p_4 - q_3 p_1 + q_4 p_2)^2, \\ r_{16}(q, p) &= (q_1 p_3 + q_2 p_4 + q_3 p_1 + q_4 p_2)^2, \\ r_{23}(q, p) &= -(q_1 p_4 - q_2 p_3 + q_3 p_2 - q_4 p_1)^2, \\ r_{24}(q, p) &= (q_1 p_4 + q_2 p_3 + q_3 p_2 + q_4 p_1)^2, \\ r_{25}(q, p) &= (q_1 p_3 - q_2 p_4 + q_3 p_1 - q_4 p_2)^2, \\ r_{26}(q, p) &= -(q_1 p_3 + q_2 p_4 - q_3 p_1 - q_4 p_2)^2, \\ r_{34}(q, p) &= (q_1 p_1 - q_2 p_2 + q_3 p_3 - q_4 p_4)^2, \\ r_{35}(q, p) &= (q_1 p_2 + q_2 p_1 + q_3 p_4 + q_4 p_3)^2, \\ r_{36}(q, p) &= -(q_1 p_2 - q_2 p_1 - q_3 p_4 + q_4 p_3)^2, \\ r_{45}(q, p) &= -(q_1 p_2 - q_2 p_1 + q_3 p_4 - q_4 p_3)^2, \\ r_{46}(q, p) &= (q_1 p_2 + q_2 p_1 - q_3 p_4 - q_4 p_3)^2, \\ r_{56}(q, p) &= (q_1 p_1 - q_2 p_2 - q_3 p_3 + q_4 p_4)^2 \end{aligned} \quad (7.7)$$

and  $h_s \in K_{x_s}^2$  could still depend on  $q$ . In the original language of pairs  $(\theta, \phi)$ , and of the  $(\mathbb{Z}/2\mathbb{Z})^4$ -action (3.12) on  $H^0(L_\Theta^2)$  one has

$$r_{st}(\theta, \phi) = \langle U_{e_s, e'_s} U_{e_t, e'_t} \theta, \phi \rangle \langle U_{e_t, e'_t} U_{e_s, e'_s} \theta, \phi \rangle$$

with  $e_s, e'_s$  from the list (7.3). The polynomials  $r_{st}$  are self-dual:

$$r_{st}(q, p) = r_{st}(p, q) \quad (7.8)$$

and the self-duality of  $\mathcal{H}$  proven in the present paper forces coefficients  $h_s$  in Eq. (7.6) to be  $q$ -independent filling partially the gap left in [73]. An easy but important identity is

$$\sum_{t \neq s} r_{st}(q, p) = (q \cdot p)^2 = 0 \quad (7.9)$$

for any fixed  $s$ . It implies that the Hamiltonians (7.6) are preserved up to normalization by the isomorphisms of the hyperelliptic surfaces induced by the fractional action  $\lambda \mapsto \lambda' = \frac{a\lambda+b}{c\lambda+d}$  of  $\mathrm{SL}_2$  on  $\mathbb{P}^1$ .

We would still like to fix the values of the constants  $h_s$  in Eqs. (7.6). We claim that they are such that the Hitchin map is given by Eq. (1.10), i.e. that

$$\mathcal{H}(q, p) = -\frac{1}{128\pi^2} \sum_{\substack{s,t=1,\dots,6, \\ s \neq t}} \frac{r_{st}(q, p)}{(\lambda - \lambda_s)(\lambda - \lambda_t)} (d\lambda)^2. \quad (7.10)$$

First note that the above formula is consistent with the  $SL_2$  transformations. Indeed, relations (7.9) imply that

$$\sum_{s \neq t} \frac{r_{st}}{(\lambda' - \lambda'_s)(\lambda' - \lambda'_t)} (d\lambda')^2 = \sum_{s \neq t} \frac{r_{st}}{(\lambda - \lambda_s)(\lambda - \lambda_t)} (d\lambda)^2$$

for  $\lambda' = \frac{a\lambda+b}{c\lambda+d}$ . Taking, in particular,  $\lambda' = \lambda^{-1}$  one verifies that the quadratic differentials (7.10) are regular at infinity. They are also regular at the branching points since  $\frac{d\lambda}{\sqrt{\lambda-\lambda_s}}$  is a local holomorphic differential around  $x_s$ . Hence the r.h.s. of Eq. (7.10) is indeed a (holomorphic) quadratic differential. Thus Eq. (7.10) is equivalent to relations (7.6) with  $h_s = \frac{(d\lambda)^2}{(\lambda-\lambda_s)}|_{x_s}$ , modulo an overall normalization. To prove Eq. (7.10) we shall verify it at a point of the phase space for which  $\mathcal{H}(q, p)(x_s) \neq 0$  for  $s \neq 1$ . This will fix  $h_s$  for  $s \neq 1$  and hence all of them (two quadratic differentials equal at points  $x_s$  with  $s \neq 1$  have to coincide).

Consider a pair  $(\theta, \phi_{u_1})$  lying in the product  $\mathcal{K} \times \mathcal{K}^*$  of the Kummer quartics with

$$\begin{aligned} \theta(u) &= e^{\frac{1}{2}\pi i e'_1 \cdot \tau e'_1 + 2\pi i e'_1 \cdot u_1} \vartheta(u_1 + E_1 - u) \vartheta(u_1 + E_1 + u) \\ &= \sum_e (U_{e_1, e'_1} \theta_{2,e})(u_1) \theta_{2,e}(u) \end{aligned} \quad (7.11)$$

for  $e_1 = e'_1 = (1, 0)$ . Note that  $\langle \theta, \phi_{u_1} \rangle = 0$ . Eq. (5.1) together with the relations (7.5) and the equation

$$\partial_a \theta(u_1) = -e^{\frac{1}{2}\pi i e'_1 \cdot \tau e'_1 + 2\pi i e'_1 \cdot u_1} \partial_a \vartheta(E_1) \vartheta(2u_1 + E_1)$$

results in the identity

$$\mathcal{H}(\theta, \phi_{u_1}) = -\frac{C^2}{16\pi^2} e^{\pi i e'_1 \cdot \tau e'_1 + 4\pi i e'_1 \cdot u_1} (\partial_2 \vartheta(E_1))^2 \vartheta(2u_1 + E_1)^2 (\lambda - \lambda_1)^2 \frac{(d\lambda)^2}{\zeta^2} \quad (7.12)$$

where  $C$  is the constant appearing in Eq. (7.5). Note that  $\mathcal{H}(\theta, \phi_{u_1}) \neq 0$  as long as  $\vartheta(2u_1 + E_1) \neq 0$ . It follows that  $\mathcal{H}(\theta, \phi_{u_1})$  is a quadratic differential proportional to  $(\lambda - \lambda_1)^2 \frac{(d\lambda)^2}{\zeta^2}$  which has the 4<sup>th</sup> order zero at  $x_1$ . The latter property characterizes it uniquely up to normalization.

It is not difficult to check that Eq. (7.10) gives a quadratic differential with the same property. Indeed, in the language of  $q$ 's and  $p$ 's, the linear form  $\phi_{u_1}$  corresponds to a vector  $p \in \mathbb{C}^4$  and  $\theta$  to  $q = (p_2, -p_1, p_4, -p_3)$ . A straightforward verification shows that  $r_{1t}(q, p) = 0$  for all  $t \neq 1$ . This implies that the quadratic differential given by Eq. (7.10) vanishes to the second order at  $x_1$ . The condition that it vanishes to the fourth order is

$$\sum_{\substack{s \neq t, \\ s, t \neq 1}} r_{st}((p_2, -p_1, p_4, -p_3), p) \prod_{v \neq 1, s, t} (\lambda_1 - \lambda_v) = 0.$$

A direct calculation shows that this is exactly the equation (A3.2) of the Kummer quartic with the coefficients (A3.4) so that it holds for  $p$  corresponding to  $\phi_{u_1}$ . This establishes proportionality between the Hitchin map and the right hand side of Eq. (7.10) with a coefficient that may be still curve-dependent.

Fixing the overall normalization of the Hitchin map is more involved. We shall calculate the value of the quadratic differential on the right hand side of Eq. (7.12) at  $\lambda = \lambda_2$  and compare it to the value given by Eq. (7.10). Since this is somewhat technical, we defer the argument to Appendix 4.

The system with Hamiltonians (7.6) bears some similarity to the classic Neumann systems\*, also anchored in modular geometry [114][11]. The Hamiltonians of a Neumann system have the form

$$\mathcal{H}_s = \sum_{1 \leq t \neq s \leq n} \frac{J_{st}^2}{\lambda_s - \lambda_t} \quad (7.13)$$

where  $J_{st} = q_s p_t - q_t p_s$  are the functions on  $T^*\mathbb{C}^n$  generating the infinitesimal action of the complex group  $\mathrm{SO}_n$ :

$$\begin{aligned} \{J_{st}, J_{tv}\} &= -J_{sv} && \text{for } s, t, v \text{ different,} \\ \{J_{st}, J_{vw}\} &= 0 && \text{for } s, t, v, w \text{ different.} \end{aligned} \quad (7.14)$$

The fact that the Hamiltonians (7.6) (with constant  $h_s$ ) Poisson commute reduces, as is well known, to the identities

$$\begin{aligned} \{r_{st} + r_{sv}, r_{tv}\} &= 0 && \text{and cyclic permutations thereof,} \\ \{r_{st}, r_{vw}\} &= 0 && \text{for } \{s, t\} \cap \{v, w\} = \emptyset. \end{aligned} \quad (7.15)$$

If we set  $r_{st} = J_{st}^2$  for the Neumann system, then Eqs. (7.15) follow from the relations (7.14). It appears that the same algebra stands behind the fact<sup>†</sup> that  $r_{st}$  given by Eq. (7.7) verify (7.15). The phase space  $T^*\mathcal{N}_{ss} \cong \{(q, p) \mid q \cdot p = 0\} / \mathbb{C}^*$ , where  $\mathbb{C}^*$  acts by  $(q, p) \mapsto (tq, t^{-1}p)$ , may be identified with the coadjoint orbit of the group  $\mathrm{SL}_4$  composed of the traceless complex  $4 \times 4$  matrices  $|p\rangle\langle q|$  of rank 1. Using the isomorphism of the complex Lie algebras  $\mathfrak{sl}_4 \cong \mathfrak{so}_6$ , we obtain the functions  $J_{st} = -J_{ts}$  on this  $\mathrm{SL}_4$ -orbit which generate the action of  $\mathfrak{so}_6$  and have the Poisson brackets given by (7.14). A straightforward check shows that, for  $r_{st}$  of Eq. (7.7),

$$r_{st} = -4J_{st}^2 \quad (7.16)$$

so that Eq. (7.15) follows from the  $\mathfrak{so}_6$ -algebra (7.14).

Upon the introduction of the rational functions  $\frac{r_{st}}{\lambda}$ , Eqs. (7.15) take the form

$$\left\{ \frac{r_{st}}{\lambda_s - \lambda_t}, \frac{r_{sv}}{\lambda_s - \lambda_v} \right\} + \left\{ \frac{r_{st}}{\lambda_s - \lambda_t}, \frac{r_{tv}}{\lambda_t - \lambda_v} \right\} + \left\{ \frac{r_{sv}}{\lambda_s - \lambda_v}, \frac{r_{tv}}{\lambda_t - \lambda_v} \right\} = 0,$$

---

\*we thank M. Olshanetsky for attracting our attention to this fact

<sup>†</sup>this is the classical version of the observation of [72]



$$\left\{ \frac{r_{st}}{\lambda_s - \lambda_t}, \frac{r_{vw}}{\lambda_v - \lambda_w} \right\} = 0 \quad \text{for} \quad \{s, t\} \cap \{v, w\} = \emptyset. \quad (7.17)$$

The first of these identities is, essentially, the classical Yang-Baxter equation. Note, however, that  $r_{st}$ , unlike in the Gaudin and Neumann systems, is not an element of a product of two copies of a Poisson algebra of functions: there is no sign of an explicit product structure, or of a reduction thereof, in our phase space. The important question is whether  $r_{st}$  come from a rational solution of the CYBE. The conformal field theory work [98][149] suggests that the answer may be positive, at least in some sense.

The knowledge of the explicit form of the quadratic differentials  $\mathcal{H}(q, p)$  allows to write the explicit equations for the genus 5 spectral curve of the  $SL_2$  Hitchin system at genus 2, see Eq. (2.1). They take the form

$$\zeta^2 = \prod_{s=1}^6 (\lambda - \lambda_s), \quad \xi^2 = \sum_{s \neq t} r_{st}(q, p) \prod_{v \neq s, t} (\lambda - \lambda_v). \quad (7.18)$$

The involution of the spectral curve flips the sign of  $\xi$ . To extract explicit formulae for the angle variables describing the point on the Prym variety of the spectral curve, we would need, however, a more explicit knowledge of the entire Lax matrix  $\Psi$ .

## §8. Conclusions

The main result of the present paper is the proof of self-duality of the Hitchin Hamiltonians on the cotangent bundle to the moduli space of the holomorphic  $SL_2$  bundles on a genus 2 complex curve. The result was based on an expression for the Hitchin Hamiltonians off the Kummer quartic on which the values of the Hamiltonians were determined in [73]. Using the self-duality, we were able to complete the analysis of [73] and to obtain the explicit formula (1.10) for the Hitchin map (1.8) giving the action variables of the integrable system. The explicit formula for the angle variables remains still to be found. An interesting open problem is an extension of the present work to the case with insertion points.

Another important problem related to Hitchin's construction is the quantization of the corresponding integrable systems. For the  $SL_2$  case such a quantization is essentially provided by the Knizhnik-Zamolodchikov-Bernard-Hitchin connection [99][23][22] which describes the variation of conformal blocks of the  $SU_2$  WZW conformal field theory under the change of the complex structure of the curve. The (partition function) conformal blocks are holomorphic sections of the  $k^{\text{th}}$ -power of the determinant line bundle over the moduli space  $\mathcal{N}_{ss}$  ( $k$  is the level of the WZW theory). In our case, they are simply  $k^{\text{th}}$ -order homogeneous polynomials on  $H^0(L_\theta^2)$ . It is easy to quantize the Hitchin Hamiltonians

$$H_s = \sum_{t \neq s} \frac{r_{st}}{\lambda_s - \lambda_t}.$$

If one keeps the original formulae (7.7) for  $r_{st}$  in which  $p_i$  stands now for  $\frac{1}{i} \partial_{q_i}$ , the relations (7.15) or (7.17) still hold after the replacement of the Poisson brackets by the commutators.

One obtains this way the commuting operators  $H_s$  mapping the space of homogeneous, degree  $k$  polynomials in variables  $q$  into itself. Note, however, that now

$$\sum_{t \neq s} r_{st} = -k(k+4)$$

for each fixed  $s$  so that the quantization changes the conformal properties of the Hamiltonians. A direct construction of the projective version of the KZBH connection for group  $SU_2$  and genus 2 has been recently given in ref. [72] by following Hitchin's approach [89]. It is consistent with the above *ad hoc* quantization of the classical Hitchin Hamiltonians.

The integral formulae for the conformal blocks [16, 130, 38] or, equivalently, the integral formulae for the scalar product of the conformal blocks [43] have been used at genus 0 and 1 to extract the Bethe Ansatz eigen-vectors and eigen-values of the quantized version of the quadratic Hitchin Hamiltonians. The Bethe-Ansatz type diagonalization of the quantization of the genus 2 Hitchin Hamiltonians is among the issues that will have to be examined.

Finally, as we stressed in the text, the relations between the conformal WZW field theory on a genus 2 surface and an orbifold theory in genus 0 requires further study.

## Appendix 1

Let us check that  $\theta$  given by Eq. (3.6) vanishes if and only if

$$H^0(l_u \otimes E) = \{(s_1, s_2) \mid s_2 \in H^0(l_u l_{u_1}), \bar{\partial}_{l_u^{-1} l_{u_1}} s_1 + s_2 b = 0\} \neq 0.$$

For  $u - u_1 \in \mathbb{Z}^2 + \tau\mathbb{Z}^2$  the 1<sup>st</sup> theta function on the r.h.s. of Eq. (3.7) vanishes but  $l_u = l_{u_1}$  and  $l_{u_1} \in C_E$ . Assume now that  $u - u_1 \notin \mathbb{Z}^2 + \tau\mathbb{Z}^2$ . Then  $\dim H^0(l_u^{-1} l_{u_1} K) = 1$  with a non-zero  $\chi \in H^0(l_u^{-1} l_{u_1} K)$ . The necessary and sufficient condition for the solvability of the equation  $\bar{\partial}_{l_u l_{u_1}^{-1}} s_1 + s_2 b = 0$  for a given  $s_2 \in H^0(l_u l_{u_1})$  is

$$\int_{\Sigma} \chi s_2 b = 0. \tag{A1.1}$$

If  $u + u_1 \in \mathbb{Z}^2 + \tau\mathbb{Z}^2$  then  $l_u l_{u_1} = K$  and  $\dim H^0(l_u l_{u_1}) = 2$  so that there always is a non-zero solution but also  $\theta(u) = 0$  in this case due to the vanishing of the 2<sup>nd</sup> theta function on the r.h.s. of Eq. (3.7). Finally, if  $u \pm u_1 \notin \mathbb{Z}^2 + \tau\mathbb{Z}^2$  then  $s_2 \in H^0(l_u l_{u_1})$  has to be proportional to the element defined by (3.8) and the condition (A1.1) coincides with the equation  $\theta(u) = 0$ .

## Appendix 2

Let us show that the 1,0-form  $\mu$  satisfying relations (4.18) and (4.19) automatically fulfills the condition

$$\int_{\Sigma} \kappa \mu \wedge b = 0. \tag{A2.1}$$

Among the infinitesimal gauge field variations  $\delta B$  given by Eq. (4.4) there are ones which are equivalent to infinitesimal gauge transformations:

$$\delta B = \bar{\partial}\Lambda + [B, \Lambda].$$

Explicitly, for  $\Lambda = \begin{pmatrix} -\sigma & \varphi \\ \kappa & \sigma \end{pmatrix}$  with  $\sigma$  a function,  $\varphi$  a section of  $l_{u_1}^{-2}$  and  $\kappa$  a section of  $l_{u_1}^2$ , this requires that

$$\bar{\partial}\kappa = 0, \quad \pi \delta u_1 (\text{Im}\tau)^{-1} \bar{\omega} = -\bar{\partial}\sigma + \kappa b, \quad \delta b = \bar{\partial}\varphi + 2\sigma b. \quad (\text{A2.2})$$

Such variations may only change the normalization of the theta function  $\theta$ . Integrating the second of the above relations against forms  $\omega^a$  and using Eq. (4.12) we find that

$$\delta u_1^a = -\frac{1}{2\pi i} \epsilon^{ab} \partial_b \theta(u_1) \quad (\text{A2.3})$$

for the proper normalization of  $\kappa$ . For such  $\delta u_1$  the first term on the right hand side of Eq. (4.6) gives a theta function vanishing at  $u = u_1$  and may be compensated by the second term. The 3<sup>rd</sup> equation of (A2.2) gives the compensating  $\delta b \in \wedge^{01}(l_{u_1}^{-2})$ . Pairing Eq. (4.6) with the above  $\delta u_1$  and  $\delta b$  with the linear form  $\phi$ , we obtain the identity

$$\frac{1}{i} \epsilon^{ab} \partial_b \theta(u_1) (\text{Im}\tau)_{ac}^{-1} \int_{\Sigma} \chi^c \wedge b + 2 \int_{\Sigma} \sigma \eta \wedge b = 0. \quad (\text{A2.4})$$

On the other hand,

$$\begin{aligned} \int_{\Sigma} \kappa \mu \wedge b &= \int_{\Sigma} \mu \wedge \bar{\partial}\sigma - \frac{1}{2i} \epsilon^{ab} \partial_b \theta(u_1) (\text{Im})_{ac}^{-1} \int_{\Sigma} \mu \wedge \bar{\omega}^c \\ &= - \int_{\Sigma} \sigma \eta \wedge b - \frac{1}{2i} \epsilon^{ab} \partial_b \theta(u_1) (\text{Im})_{ac}^{-1} \int_{\Sigma} \chi^c \wedge b = 0 \end{aligned}$$

where we have subsequently used the 2<sup>nd</sup> equation in (A2.2) with  $\delta u_1$  given by Eq. (A2.3), the relation  $\bar{\partial}\mu = -\eta \wedge b$  and Eq. (4.18) fixing  $\mu$  and, finally, the identity (A2.4).

### Appendix 3

It is not difficult to see that there exist a non-zero element  $P \in S^4 H^0(L_{\Theta}^2)$ , a homogeneous polynomial of degree 4 on  $H^0(L_{\Theta}^2)^*$ , s.t.

$$P(\phi_{u'}) = 0$$

for all  $u' \in \mathbb{C}^2$ . Indeed,  $\dim S^4 H^0(L_{\Theta}^2) = \binom{7}{3} = 35$  but the map  $u' \mapsto P(\phi_{u'})$  defines an even theta function of order 8 and  $\dim H_{\text{even}}^0(L_{\Theta}^8) = 34$ .  $P$  is a quartic expression in  $\theta_{2,e}(u')$  which vanishes for all  $u'$ . It has to be preserved by the  $(\mathbb{Z}/2\mathbb{Z})^4$ -action (3.12) and hence it must be of the form

$$P = c_1 (\theta_{2,(0,0)}^4 + \theta_{2,(1,0)}^4 + \theta_{2,(0,1)}^4 + \theta_{2,(1,1)}^4)$$

$$\begin{aligned}
& + c_2 (\theta_{2,(0,0)}^2 \theta_{2,(1,0)}^2 + \theta_{2,(0,1)}^2 \theta_{2,(1,1)}^2) \\
& + c_3 (\theta_{2,(0,0)}^2 \theta_{2,(0,1)}^2 + \theta_{2,(1,0)}^2 \theta_{2,(1,1)}^2) \\
& + c_4 (\theta_{2,(0,0)}^2 \theta_{2,(1,1)}^2 + \theta_{2,(1,0)}^2 \theta_{2,(0,1)}^2) \\
& + c_5 \theta_{2,(0,0)} \theta_{2,(1,0)} \theta_{2,(0,1)} \theta_{2,(1,1)}.
\end{aligned}$$

It is not difficult to calculate the values of coefficients  $c_i$ . Denoting  $\alpha \equiv \theta_{2,(0,0)}(0)$ ,  $\beta \equiv \theta_{2,(1,0)}(0)$ ,  $\gamma \equiv \theta_{2,(0,1)}(0)$  and  $\delta \equiv \theta_{2,(1,1)}(0)$ , one has

$$\begin{aligned}
c_1 &= (\alpha^2 \beta^2 - \gamma^2 \delta^2)(\alpha^2 \gamma^2 - \beta^2 \delta^2)(\alpha^2 \delta^2 - \beta^2 \gamma^2), \\
c_2 &= -(\alpha^4 + \beta^4 - \gamma^4 - \delta^4)(\alpha^2 \gamma^2 - \beta^2 \delta^2)(\alpha^2 \delta^2 - \beta^2 \gamma^2), \\
c_3 &= -(\alpha^4 - \beta^4 + \gamma^4 - \delta^4)(\alpha^2 \beta^2 - \gamma^2 \delta^2)(\alpha^2 \delta^2 - \beta^2 \gamma^2), \\
c_4 &= -(\alpha^4 - \beta^4 - \gamma^4 + \delta^4)(\alpha^2 \beta^2 - \gamma^2 \delta^2)(\alpha^2 \gamma^2 - \beta^2 \delta^2), \\
c_5 &= 2\alpha\beta\gamma\delta[(\alpha^4 - \beta^4 + \gamma^4 - \delta^4)^2 - 4(\alpha^2 \gamma^2 - \beta^2 \delta^2)^2]. \tag{A3.1}
\end{aligned}$$

If we use the basis dual to  $(\theta_{2,e})$  to identify  $\phi \in H^0(L_\Theta^2)^*$  with a vector  $p = (p_1, p_2, p_3, p_4) \in \mathbb{C}^4$ , the equation of the Kummer quartic  $\mathcal{K}^*$  becomes

$$\begin{aligned}
c_1 (p_1^4 + p_2^4 + p_3^4 + p_4^4) + c_2 (p_1^2 p_2^2 + p_3^2 p_4^2) + c_3 (p_1^2 p_3^2 + p_2^2 p_4^2) \\
+ c_4 (p_1^2 p_4^2 + p_2^2 p_3^2) + c_5 p_1 p_2 p_3 p_4 = 0. \tag{A3.2}
\end{aligned}$$

Similarly, identifying  $\theta \in H^0(L_\Theta^2)$  with  $q = (q_1, q_2, q_3, q_4) \in \mathbb{C}^4$  with the help of the basis  $(\theta_{2,e})$ , the same equation with  $p$  replaced by  $q$  defines the Kummer quartic  $\mathcal{K}$ , compare [91], page 81.

We shall also need another well known presentation of the above equation using the inhomogeneous coordinates of the Weierstrass points  $\lambda_s$  given by Eq. (7.2). It is usually obtained by beautiful geometric considerations about quadratic line complexes, see [83]. It may be also obtained analytically by observing that the multivalued functions

$$x \mapsto \theta_{2,e} \left( \int_{x_0}^x \omega - \Delta \right)$$

transform like bilinears in  $\partial_a \vartheta \left( \int_{x_0}^x \omega - \Delta \right)$ , i.e. that they represent quadratic differentials. It follows that

$$\begin{aligned}
\sum_e \theta_{2,e}(E_s) \theta_{2,e} \left( \int_{x_0}^x \omega - \Delta \right) &= \vartheta(E_s + \int_{x_0}^x \omega - \Delta) \vartheta(E_s - \int_{x_0}^x \omega + \Delta) \\
&= D_s \left( \partial_1 \vartheta(E'_s) \partial_2 \vartheta \left( \int_{x_0}^x \omega - \Delta \right) - \partial_2 \vartheta(E'_s) \partial_1 \vartheta \left( \int_{x_0}^x \omega - \Delta \right) \right) \\
&\quad \cdot \left( \partial_1 \vartheta(E''_s) \partial_2 \vartheta \left( \int_{x_0}^x \omega - \Delta \right) - \partial_2 \vartheta(E''_s) \partial_1 \vartheta \left( \int_{x_0}^x \omega - \Delta \right) \right) \tag{A3.3}
\end{aligned}$$

where  $E_s = \frac{1}{2}(e_s + \tau e'_s)$  is an odd characteristics from the list (7.3) and  $E'_s, E''_s$  are the two other ones s.t.  $E_s + E'_s = E''_s \pmod{\mathbb{Z}^2 + \tau\mathbb{Z}^2}$ . The odd characteristics  $E_s, E'_s, E''_s$  are either a permutation of  $E_1, E_4, E_5$  or a permutation of  $E_2, E_3, E_6$ . The relations (A3.3) hold since both sides represent a quadratic differential with double zeros at the Weierstrass points corresponding to  $E'_s$  and  $E''_s$ . One may obtain expressions for the coefficients  $D_s$  by the de l'Hospital rule applied twice at those points. Specifying then  $\int_{x_0}^x \omega - \Delta$  to  $E_s$  or to 3 remaining odd characteristics one obtains relations for quadratic combinations of  $\theta_{2,e}(0)$  of the form  $\pm\alpha^2 \pm \beta^2 \pm \gamma^2 \pm \delta^2$  with 2 plus and 2 minus signs as well as for  $\alpha\beta \pm \gamma\delta$ ,  $\alpha\gamma \pm \beta\delta$  and  $\alpha\delta \pm \beta\gamma$ . These relations may be used to compute the ratios of the coefficients  $c_i$  (A3.1) which become functions of  $\lambda_s$  only. One obtains this way an alternative expression for the coefficients  $c_i$

$$\begin{aligned}
 c_1 &= (\lambda_1 - \lambda_2)(\lambda_3 - \lambda_4)(\lambda_5 - \lambda_6), \\
 c_2 &= 2(\lambda_1 - \lambda_2)((\lambda_3 - \lambda_5)(\lambda_4 - \lambda_6) + (\lambda_3 - \lambda_6)(\lambda_4 - \lambda_5)), \\
 c_3 &= -2(\lambda_3 - \lambda_4)((\lambda_1 - \lambda_5)(\lambda_2 - \lambda_6) + (\lambda_1 - \lambda_6)(\lambda_2 - \lambda_5)), \\
 c_4 &= 2(\lambda_5 - \lambda_6)((\lambda_1 - \lambda_3)(\lambda_2 - \lambda_4) + (\lambda_1 - \lambda_4)(\lambda_2 - \lambda_3)), \\
 c_5 &= -2(\lambda_1 - \lambda_3)((\lambda_4 - \lambda_5)(\lambda_2 - \lambda_6) + (\lambda_4 - \lambda_6)(\lambda_2 - \lambda_5)) \\
 &\quad -2(\lambda_1 - \lambda_4)((\lambda_3 - \lambda_5)(\lambda_2 - \lambda_6) + (\lambda_3 - \lambda_6)(\lambda_2 - \lambda_5)) \\
 &\quad -2(\lambda_1 - \lambda_5)((\lambda_2 - \lambda_4)(\lambda_3 - \lambda_6) + (\lambda_2 - \lambda_3)(\lambda_4 - \lambda_6)) \\
 &\quad -2(\lambda_1 - \lambda_6)((\lambda_2 - \lambda_4)(\lambda_3 - \lambda_5) + (\lambda_2 - \lambda_3)(\lambda_4 - \lambda_5)). \tag{A3.4}
 \end{aligned}$$

equivalent to the previous one up to normalization. Note that the  $SL_2$  transformations  $\lambda_s \mapsto \frac{a\lambda_s + b}{c\lambda_s + d}$  preserve the form the quartic equation. The virtue of the analytic approach is that it also provides useful expressions for the non-homogeneous ratios like e.g.

$$\frac{\alpha\beta + \gamma\delta}{\alpha^2\gamma^2 - \beta^2\delta^2} = -\frac{e^{-\frac{1}{2}\pi i(1,0)\cdot\tau(1,0)}}{2C^2(\partial_2\vartheta(E_1))^2} \frac{(\lambda_2 - \lambda_5)(\lambda_2 - \lambda_6)(\lambda_3 - \lambda_4)}{\lambda_1 - \lambda_2}. \tag{A3.5}$$

$C^2$  is given by the equations

$$C^2 = \frac{1}{2} \frac{(\partial_1\vartheta)^3 \partial_2^3\vartheta - 3(\partial_1\vartheta)^2 \partial_2\vartheta \partial_1 \partial_2^2\vartheta + 3\partial_1\vartheta (\partial_2\vartheta)^2 \partial_1^2 \partial_2\vartheta - (\partial_2\vartheta)^3 \partial_1^3\vartheta}{(\partial_2\vartheta)^4} \Bigg|_{E_s} \prod_{t \neq s} (\lambda_s - \lambda_t)$$

holding for any fixed  $s$ . It is not difficult to see by differentiating twice Eq. (7.1) at  $x = x_s$  that  $C$  is the same constant that appears in Eq. (7.5). The expression (A3.5) is used below to fix the normalization of the Hitchin map.

## Appendix 4

We shall show here that the overall normalization of the Hitchin map is as in Eq. (7.10). Since

$$e^{\pi i e'_1 \cdot \tau e'_1 + 4\pi i e'_1 \cdot u_1} \vartheta(2u_1 + E_1)^2$$

$$\begin{aligned}
&= -e^{\pi i e'_1 \cdot \tau e'_1} \vartheta(2u_1 + E_1) \vartheta(2u_1 - E_1) = -e^{\pi i e'_1 \cdot \tau e'_1} \sum_e \theta_{2,e}(E_1) \theta_{2,e}(2u_1) \\
&= -e^{\frac{1}{2} \pi i (1,0) \cdot \tau (1,0)} \sum_e (-1)^{(1,0) \cdot e} \theta_{2,e+(1,0)}(0) \theta_{2,e}(2u_1),
\end{aligned}$$

the coefficient of  $\frac{(d\lambda)^2}{\zeta^2}$  on the right hand side of Eq. (7.12) takes at  $\lambda = \lambda_2$  the value

$$\begin{aligned}
\frac{C^2}{16\pi^2} e^{\frac{1}{2} \pi i (1,0) \cdot \tau (1,0)} (\partial_2 \vartheta(E_1))^2 (\lambda_1 - \lambda_2)^2 (\beta \theta_{2,(0,0)}(2u_1) - \alpha \theta_{2,(1,0)}(2u_1) \\
+ \delta \theta_{2,(0,1)}(2u_1) - \gamma \theta_{2,(1,1)}(2u_1)) \quad (A4.1)
\end{aligned}$$

in the notations of Appendix 3. This coefficient should coincide with the one obtained from the right hand side of Eq. (7.10) which is equal to

$$- \frac{1}{64\pi^2} \sum_{t \neq 2} r_{2t}(q, p) \prod_{v \neq 2, t} (\lambda_2 - \lambda_v) \quad (A4.2)$$

calculated at  $(q, p)$  corresponding to  $(\theta, \phi_{u_1})$  with  $\theta$  given by Eq. (7.11). The respective values of  $r_{st}$  are:

$$\begin{aligned}
r_{1t} &= 0, \\
r_{23} &= 2(-\alpha\gamma^2 \theta_{2,(0,0)}(2u_1) - \beta\delta^2 \theta_{2,(1,0)}(2u_1) - \gamma\alpha^2 \theta_{2,(0,1)}(2u_1) \\
&\quad - \delta\beta^2 \theta_{2,(1,1)}(2u_1) - \beta\gamma\delta \theta_{2,(0,0)}(2u_1) - \alpha\gamma\delta \theta_{2,(1,0)}(2u_1) \\
&\quad - \alpha\beta\delta \theta_{2,(0,1)}(2u_1) - \alpha\beta\gamma \theta_{2,(1,1)}(2u_1)), \\
r_{24} &= 2(\alpha\gamma^2 \theta_{2,(0,0)}(2u_1) + \beta\delta^2 \theta_{2,(1,0)}(2u_1) + \gamma\alpha^2 \theta_{2,(0,1)}(2u_1) \\
&\quad + \delta\beta^2 \theta_{2,(1,1)}(2u_1) - \beta\gamma\delta \theta_{2,(0,0)}(2u_1) - \alpha\gamma\delta \theta_{2,(1,0)}(2u_1) \\
&\quad - \alpha\beta\delta \theta_{2,(0,1)}(2u_1) - \alpha\beta\gamma \theta_{2,(1,1)}(2u_1)), \\
r_{25} &= 2(\alpha\delta^2 \theta_{2,(0,0)}(2u_1) + \beta\gamma^2 \theta_{2,(1,0)}(2u_1) + \gamma\beta^2 \theta_{2,(0,1)}(2u_1) \\
&\quad + \delta\alpha^2 \theta_{2,(1,1)}(2u_1) + \beta\gamma\delta \theta_{2,(0,0)}(2u_1) + \alpha\gamma\delta \theta_{2,(1,0)}(2u_1) \\
&\quad + \alpha\beta\delta \theta_{2,(0,1)}(2u_1) + \alpha\beta\gamma \theta_{2,(1,1)}(2u_1)), \\
r_{26} &= 2(-\alpha\delta^2 \theta_{2,(0,0)}(2u_1) - \beta\gamma^2 \theta_{2,(1,0)}(2u_1) - \gamma\beta^2 \theta_{2,(0,1)}(2u_1) \\
&\quad - \delta\alpha^2 \theta_{2,(1,1)}(2u_1) + \beta\gamma\delta \theta_{2,(0,0)}(2u_1) + \alpha\gamma\delta \theta_{2,(1,0)}(2u_1) \\
&\quad + \alpha\beta\delta \theta_{2,(0,1)}(2u_1) + \alpha\beta\gamma \theta_{2,(1,1)}(2u_1)).
\end{aligned}$$

Multiplying the coefficients at subsequent  $\theta_{2,e}(2u_1)$  in expression (A4.1) by  $\alpha$ ,  $-\beta$ ,  $\gamma$  and  $-\delta$ , respectively, and summing them up we obtain

$$\frac{C^2}{8\pi^2} e^{\frac{1}{2} \pi i (1,0) \cdot \tau (1,0)} (\partial_2 \vartheta(E_1))^2 (\lambda_1 - \lambda_2)^2 (\alpha\beta + \gamma\delta).$$

A similar operation on expression (A4.2) gives

$$- \frac{1}{16\pi^2} (\lambda_1 - \lambda_2)(\lambda_2 - \lambda_5)(\lambda_2 - \lambda_6)(\lambda_3 - \lambda_4) (\alpha^2\gamma^2 - \beta^2\delta^2).$$

The equality of the two expressions follows from Eq. (A3.5). This verifies the correctness of the overall normalization of the Hitchin map in Eq. (7.10).

## Hitchin systems at low genera

KRZYSZTOF GAWĘDZKI  
I.H.E.S., C.N.R.S., F-91440 Bures-sur-Yvette, France

PASCAL TRAN-NGOC-BICH  
Université de Paris-Sud, F-91405 Orsay, France

**Abstract.** The paper gives a quick account of the simplest cases of the Hitchin integrable systems and of the Knizhnik-Zamolodchikov-Bernard connection at genus 0, 1 and 2. In particular, we construct the action-angle variables of the genus 2 Hitchin system with group  $SL_2$  by exploiting its relation to the classical Neumann integrable systems.

### §1. Hitchin systems

As was realized by Hitchin in [88], a large family of integrable systems may be obtained by a symplectic reduction of a chiral 2-dimensional gauge theory. Let  $\Sigma$  denote a closed Riemann surface of genus  $g$  and let  $G$  be a complex Lie group which we shall assume simple, connected and simply connected. We shall denote by  $\mathcal{A}$  the space of  $\mathfrak{g}$ -valued 0,1-gauge fields\*  $A = A_{\bar{z}} d\bar{z}$  on  $\Sigma$ . Hitchin's construction [88] associates to  $\Sigma$  and  $G$  an integrable system obtained by a symplectic reduction of the infinite-dimensional complex symplectic manifold  $T^*\mathcal{A}$  of pairs  $(A, \Phi)$  where  $\Phi = \Phi_z dz$  is a  $\mathfrak{g}$ -valued 1,0-Higgs field. The holomorphic symplectic form on  $T^*\mathcal{A}$  is

$$\int_{\Sigma} \text{tr } \delta\Phi \delta A \tag{1.1}$$

where  $\text{tr}$  stands for the Killing form on  $\mathfrak{g}$  normalized so that  $\text{tr } \phi^2 = 2$  for the long roots  $\phi$ . The local gauge transformations  $h \in \mathcal{G} \equiv \text{Map}(\Sigma, G)$  act on  $T^*\mathcal{A}$  by

$$A \mapsto {}^h A \equiv hAh^{-1} + h\bar{\partial}h^{-1}, \quad \Phi \mapsto {}^h \Phi \equiv h\Phi h^{-1} \tag{1.2}$$

preserving the symplectic form. The corresponding moment map  $\mu : T^*\mathcal{A} \rightarrow \text{Lie}(\mathcal{G})^* \cong \Lambda^2(\Sigma) \otimes \mathfrak{g}$  takes the form

$$\mu(A, \Phi) = \bar{\partial}\Phi + A\Phi + \Phi A. \tag{1.3}$$

The symplectic reduction gives the reduced phase space

$$\mathcal{P} = \mu^{-1}(\{0\}) / \mathcal{G} \tag{1.4}$$

\*one may work in a fixed smoothness class and use the Sobolev norms to define topology in  $\mathcal{A}$

with the symplectic structure induced from that of  $T^*\mathcal{A}$ .  $\mathcal{P}$  may be identified with the complex cotangent bundle  $T^*\mathcal{N}$  to the orbit space  $\mathcal{N} = \mathcal{A}/\mathcal{G}$  and  $\mathcal{N}$ , in turn, with the moduli space of holomorphic  $G$ -bundles on  $\Sigma$ . More precisely, care should be taken to avoid non-generic bad orbits in order to obtain tractable orbit spaces. This may be done by considering only gauge fields  $A$  leading to stable  $G$ -bundles forming smooth moduli space  $\mathcal{N}_s$  or those leading to semi-stable bundles giving rise to a, generally singular, compactification  $\mathcal{N}_{ss}$  of  $\mathcal{N}_s$ . In what follows we shall be somewhat cavalier about such details.

The Hitchin system has  $\mathcal{P}$  as its phase space. Its Hamiltonians are obtained the following way. Let  $p$  be a homogeneous Ad-invariant polynomial on  $\mathfrak{g}$  of degree  $d_p$ . Then

$$h_p(A, \Phi) = p(\Phi) = p(\Phi_z)(dz)^{d_p} \quad (1.5)$$

defines a  $d_p$ -differential on  $\Sigma$  which is holomorphic if  $\mu(A, \Phi) = 0$ . Since  $h_p$  is constant on the orbits of  $\mathcal{G}$ , it descends to the reduced phase space:

$$h_p : \mathcal{P} \longrightarrow H^0(K^{d_p}). \quad (1.6)$$

Here  $K$  stands for the canonical bundle (of covectors  $\propto dz$ ) and  $H^0(K^{d_p})$  is the (finite-dimensional) vector space of the holomorphic  $d_p$ -differentials on  $\Sigma$ . The (components of)  $h_p$  Poisson-commute (they Poisson-commute already as functions on  $T^*\mathcal{A}$  since they depend only on the "momenta"  $\Phi$ ). The point of Hitchin's construction is that, by taking a complete system of polynomials  $p$ , one obtains on  $\mathcal{P}$  a complete system of Hamiltonians in involution. For the matrix groups, the values of Hamiltoniens  $h_p$  at a point of  $\mathcal{P}$  may be encoded in the spectral curve  $\mathcal{C}$  obtained by solving the characteristic equation

$$\det(\Phi - \xi) = 0 \quad (1.7)$$

for  $\xi \in K$ . The spectral curve of the eigenvalues  $\xi$  is a ramified cover of  $\Sigma$ . The corresponding eigenspaces of  $\Phi$  form then a holomorphic line bundle over  $\mathcal{C}$  belonging to a subspace of the Jacobian of  $\mathcal{C}$  on which the Hamiltonians  $h_p$  induce linear flows.

For the quadratic polynomial  $p_2 = \frac{1}{2}\text{tr}$ , the map  $h_{p_2}$  takes values in the space of holomorphic quadratic differentials  $H^0(K^2)$ . This is the space cotangent to the moduli space of complex curves  $\Sigma$ . Variations of the complex structure of  $\Sigma$  are described by Beltrami differentials  $\delta\mu = \delta\mu_{\bar{z}}^z \partial_z d\bar{z}$  such that  $z' = z + \delta z$  with  $\partial_{\bar{z}}\delta z = \delta\mu_{\bar{z}}^z$  gives new complex coordinates. The Beltrami differentials  $\delta\mu$  may be paired with quadratic differentials  $\beta$  by

$$(\beta, \delta\mu) \mapsto \int_{\Sigma} \beta \delta\mu. \quad (1.8)$$

The differentials  $\delta\mu = \bar{\partial}(\delta\xi)$ , where  $\delta\xi$  is a vector field on  $\Sigma$ , describe variations of the complex structure due to diffeomorphisms of  $\Sigma$  and they pair to zero with  $\beta$ . The quotient space  $H^1(K^{-1})$  of differentials  $\delta\mu$  modulo  $\bar{\partial}(\delta\xi)$  is the tangent space to the moduli space of curves  $\Sigma$  and  $H^0(K^2)$  is its dual. The pairing (1.8) defines then for each  $[\delta\mu] \in H^1(K^{-1})$  a Hamiltonian

$$h_{\delta\mu} \equiv \int_{\Sigma} h_{p_2} \delta\mu. \quad (1.9)$$

The Hamiltonians  $h_{\delta\mu}$  Poisson-commute for different  $\delta\mu$ .



Hitchin's construction possesses a natural generalization [106][119][37][43]. Let  $x_n \in \Sigma$  be a finite family of distinct points in  $\Sigma$  and  $\mathcal{O}_n$  a family of (co)adjoint orbits in  $\mathfrak{g}^* \cong \mathfrak{g}$ .

$$\mathcal{O} = \left\{ \sum_n \lambda_n \delta_{x_n} \mid \lambda_x \in \mathcal{O}_n \right\}, \tag{1.10}$$

where  $\delta_x$  stands for the Dirac delta measure at  $x$ , forms a coadjoint orbit of the group  $\mathcal{G}$  of local gauge transformations. In the symplectic reduction we may replace definition (1.4) with

$$\mathcal{P}_\mathcal{O} = \mu^{-1}(\{\mathcal{O}\}) / \mathcal{G} \cong \mu^{-1}(\sum \lambda_n \delta_{x_n}) / \mathcal{G}_{\underline{\lambda}, \underline{x}} \tag{1.11}$$

where  $\mathcal{G}_{\underline{\lambda}, \underline{x}}$  is the subgroup of  $\mathcal{G}$  fixing  $\sum \lambda_n \delta_{x_n}$ . Upon restriction to properly defined stable pairs  $(A, \Phi)$ ,  $\mathcal{P}_\mathcal{O}$  gives a smooth space with a semi-stable compactification [106]. Its second representation in (1.11) allows to equip  $\mathcal{P}_\mathcal{O}$  with the symplectic structure inherited from  $T^*\mathcal{A}$ . The reduced Hamiltonians  $h_p$  take now values in  $H^0(K^{d_p}(d_p \sum x_n))$ , i.e. define meromorphic  $d_p$ -differentials with possible poles at  $x_n$  of order  $\leq d_p$  and they still define an integrable system on  $\mathcal{P}_\mathcal{O}$ . In particular,  $h_{p_2}$  takes values in  $H^0(K^2(2 \sum x_n))$  which is dual to  $H^1(K^{-1}(-2 \sum x_n))$ , the tangent space to the moduli space of curves  $\Sigma$  with fixed punctures  $x_n$  and first jets at  $x_n$  of holomorphic local parameters  $z_n$ ,  $z_n(x_n) = 0$ . The corresponding Beltrami differentials  $\delta\mu$  behave like  $\mathcal{O}(z_n^2)$  around  $x_n$  and they are taken modulo  $\bar{\partial}(\delta\xi)$  where the vector fields  $\xi$  are also  $\mathcal{O}(z_n^2)$  around  $x_n$  (such vector fields do not change the first jets at  $x_n$  of the local parameters  $z_n$ ).  $\delta\mu$  may still be coupled to quadratic differentials  $\beta \in H^0(K^2(2 \sum x_n))$  by (1.8) and Eq. (1.9) defines for  $[\delta\mu] \in H^1(K^{-1}(-2 \sum x_n))$  Hamiltonians on  $\mathcal{P}_\mathcal{O}$  that are in involution.

## §2. Knizhnik-Zamolodchikov-Bernard connection

The phase space  $\mathcal{P} \cong T^*\mathcal{N}$  may be (geometrically) quantized by considering the space  $H^0(\mathcal{L}^k)$  of holomorphic sections of the  $k^{\text{th}}$  power of the determinant line bundle  $\mathcal{L}$  over  $\mathcal{N}$  (more exactly, over its semi-stable version  $\mathcal{N}_{ss}$ ) as the space of quantum states. Such sections are given by holomorphic functions  $\psi$  on  $\mathcal{A}$  satisfying the Ward identity

$$\psi(A) = e^{-kS(h,A)} \psi(h^{-1}A) \tag{2.1}$$

for  $h \in \mathcal{G}$  and with  $S(h, A)$  standing for the action of the gauged Wess-Zumino-Novikov-Witten (WZNW) model. The identity (2.1) expresses the gauge invariance on the quantum level. The vector spaces  $H^0(\mathcal{L}^k)$  arise naturally in the context of the WZNW model and of the Chern-Simons theory [147]. They are finite-dimensional and their dimension is given by the Verlinde formula [142]. Put together for different complex structures of  $\Sigma$ , they form a holomorphic vector bundle  $\mathcal{W}$  over the moduli space of complex curves. In the language of functions  $\psi$ , the  $\bar{\partial}$ -operator of this bundle is given by

$$\bar{\partial}_{\delta\mu} \psi = \left( d_{\delta\mu} + \frac{k}{4\pi i} \int_{\Sigma} \text{tr} (A \bar{\delta\mu} A) \right) \psi \tag{2.2}$$

where  $d_{\delta\mu}$  differentiates  $\psi$  viewed as a function of the unitary gauge field  $B = -A^* + A = -A_z^* dz + A_{\bar{z}} d\bar{z}$  (functions of  $B$  are naturally identified for different complex structures on  $\Sigma$ ).

The bundle  $\mathscr{W}$  may be equipped with a projectively flat connection  $\nabla^{\text{KZB}}$  [147][89] which may be traced back to the works of Knizhnik-Zamolodchikov [99] and Bernard [23][22]. In the present description of  $\mathscr{W}$ , the KZB connection takes the form [61]

$$\nabla_{\delta\mu}^{\text{KZB}}\psi = \left( d_{\delta\mu} - \int_{\Sigma} \text{tr} A^* \left( \frac{\delta}{\delta A} \delta\mu \right) - \frac{\pi i}{\kappa} \int_{\Sigma} \text{tr} \bullet \bullet \frac{\delta}{\delta A} \left( \frac{\delta}{\delta A} \delta\mu \right) \bullet \bullet \right) \psi, \quad (2.3)$$

$$\nabla_{\bar{\delta}\mu}^{\text{KZB}}\psi = \bar{\partial}_{\bar{\delta}\mu} \psi \quad (2.4)$$

where  $\kappa = k + g^{\vee}$  with  $g^{\vee}$  denoting the dual Coxeter number of  $G$ . The symbol  $\bullet \bullet$  indicates that one should remove the singularity at the coinciding points of  $\frac{\delta}{\delta A(x)} \frac{\delta}{\delta A(y)} \psi$  before setting  $x = y$ . How this is precisely done depends on some choices (e.g. of a projective connection or a metric on each  $\Sigma$ ) but the choices lead to connections differing by addition of a scalar form.

The second order operator on the right hand side of Eq. (2.3) has the principal symbol (obtained by replacement of  $\frac{\delta}{\delta A}$  by  $\frac{k}{2\pi i} \Phi$ ) proportional to the Hitchin Hamiltonian  $h_{\delta\mu}$ . The KZB connection  $\nabla_{\delta\mu}^{\text{KZB}}$  may be considered a quantization of  $\frac{k}{2\pi i} h_{\delta\mu}$  which, instead of acting in a fixed space  $H^0(\mathscr{L}^k)$  relates two such spaces for the complex structures differing by  $\delta\mu$ [89]. Note that if we rescale  $\delta\mu \mapsto \kappa\delta\mu$ , we should obtain from the KZB connection in the limit  $\kappa \rightarrow 0$  operators acting in the space  $H^0(\mathscr{L}^{-g^{\vee}})$  corresponding to a fixed complex structure. This space becomes non-trivial if we admit singular sections of  $\mathscr{L}$  or work with higher cohomologies of  $\mathscr{L}^{-g^{\vee}}$ . It also admits a quantization of the non-quadratic Hitchin Hamiltonians [20][52]. For  $k \neq -g^{\vee}$  we may also obtain from Eq. (2.3) operators in a single space if we chose a local trivialization of the bundle  $\mathscr{W}$  (or of a bundle  $\mathscr{W}' \supset \mathscr{W}$ ).

The above quantization extends to the case of the phase space  $\mathscr{P}_{\mathfrak{o}}$  if the coadjoint orbits  $\mathcal{O}_n$  associated to points  $x_n \in \Sigma$  correspond to irreducible holomorphic representations of  $G$  in vector spaces  $V_n$  (i.e. to irreducible unitary representations of the compact form of  $G$ ). The quantum states are now represented by holomorphic maps on  $\mathscr{A}$  with values in  $V = \otimes_n V_n$  satisfying the Ward identities

$$\psi(A) = e^{-k S(h,A)} \otimes_n h(x_n) \psi(h^{-1}A) \quad (2.5)$$

for  $h \in \mathscr{G}$  generalizing Eq. (2.1). The spaces of solutions are still finite-dimensional and form a holomorphic vector bundle over the moduli space of punctured curves with first jets of local parameters at the punctures. The complex structure and the KZB connection are given by the same formulae with Beltrami differentials  $\delta\mu$  restricted to behave like  $\mathcal{O}(z_n^2)$  at the punctures. Since  $\frac{\delta}{\delta A(x)} \psi = \mathcal{O}(z_n^{-1})$  and  $\text{tr} \bullet \bullet \frac{\delta}{\delta A(x)} \frac{\delta}{\delta A(x)} \bullet \bullet \psi = \mathcal{O}(z_n^{-2})$  around  $x_n$ , there is no problem of convergence of the integrals over  $\Sigma$ . Again,  $\nabla_{\delta\mu}^{\text{KZB}}$  may be viewed as the quantization of the Hitchin Hamiltonian  $\frac{k}{2\pi i} h_{\delta\mu}$  and all the above remarks apply.

### §3. Genus zero

Up to diffeomorphisms, there is only one Riemann surface of genus zero: the Riemann sphere  $\mathbb{P}^1 = \mathbb{C} \cup \{\infty\}$ . On  $\mathbb{P}^1$ , the gauge orbit of the zero gauge field is open and dense in  $\mathscr{A}$ , i.e. the generic gauge field takes the form

$$A = h^{-1} \bar{\partial} h \quad (3.1)$$

where  $h \in \mathcal{G}$  is determined up to left multiplication by a constant  $g \in G$ . The equation  $\mu(A, \Phi) = \sum_n \lambda_n \delta_{z_n}$ , with  $\lambda_n$  belonging to the (co)adjoint orbit  $\mathcal{O}_n$  associated to the puncture  $z_n$ , becomes

$$\bar{\partial}({}^h\Phi) = \sum_n \nu_n \delta_{z_n} \quad (3.2)$$

where  $\nu_n = h(z_n) \lambda_n h(z_n)^{-1} \in \mathcal{O}_n$ . This equation has a (unique) solution

$${}^h\Phi(z) = \sum_n \frac{\nu_n}{z - z_n} \frac{dz}{2\pi i} \quad (3.3)$$

if and only if the sum of residues is zero, i.e. if  $\sum_n \nu_n = 0$ . We obtain then for  $\mathcal{P}_\sigma$  defined by Eq. (1.11):

$$\mathcal{P}_\sigma \cong \left\{ \nu \in \times_n \mathcal{O}_n \mid \sum_n \nu_n = 0 \right\} / G. \quad (3.4)$$

The (co)adjoint orbits carry a natural symplectic structure leading to the Poisson bracket  $\{\nu^a, \nu^b\} = i f^{abc} \nu^c$  for  $\nu^a = \text{tr } t^a \nu$  where  $t^a$  are the generators of  $\mathfrak{g}$  s.t.  $\text{tr } t^a t^b = \delta^{ab}$  and  $[t^a, t^b] = i f^{abc} t^c$ . It is easy to check that the complex symplectic structure on  $\mathcal{P}_\sigma$  coincides with the one obtained by the symplectic reduction of  $\times_n \mathcal{O}_n$  with respect to the diagonal action of  $G$ .

The Hamiltonians  $h_p$  are

$$h_p(z) = p \left( \sum_n \frac{\nu_n}{z - z_n} \right) \left( \frac{dz}{2\pi i} \right)^{d_p}. \quad (3.5)$$

In the special case  $p_2 = \frac{1}{2} \text{tr}$ ,

$$h_{p_2} = \frac{1}{2} \sum_{n,m} \frac{\nu_n^a \nu_m^a}{(z - z_n)(z - z_m)} \left( \frac{dz}{2\pi i} \right)^2 = \sum_n \left( \frac{1}{(z - z_n)^2} \delta_n + \frac{1}{z - z_n} h_n \right) \left( \frac{dz}{2\pi i} \right)^2 \quad (3.6)$$

where

$$\delta_n = \frac{1}{2} \nu_n^a \nu_n^a, \quad h_n = \sum_{m \neq n} \frac{\nu_n^a \nu_m^a}{z_n - z_m}. \quad (3.7)$$

Let  $\delta\mu$  be a Beltrami differential regular at infinity and behaving like  $\mathcal{O}((z - z_n)^2)$  around the insertions. Necessarily,  $\delta\mu = \bar{\partial}(\delta\xi)$  for a regular vector field  $\delta\xi = \delta\xi^z \partial_z$  on  $\mathbb{P}^1$ .  $\delta\xi$  is determined up to infinitesimal Möbius transformations  $(a + bz + cz^2) \partial_z$ . We may take  $z' = z + \delta\xi^z$  as the new complex coordinate on  $\mathbb{P}^1$  with the modified complex structure. The modification is then equivalent to the shift  $\delta z_n = \delta\xi^z(z_n)$  of the insertion points and the shift  $\delta\chi_n = \chi_n \partial_z(\delta\xi^z)(z_n)$  of the first jet of the local parameter at the punctures parametrized by the  $\partial_z$ -derivative  $\chi_n$  of the parameter at  $z_n$ . An easy calculation involving cutting out small balls around the insertions and integration by parts shows that

$$h_{\delta\mu} = \sum_n \int_\Sigma \left( \frac{1}{(z - z_n)^2} \delta_n + \frac{1}{z - z_n} h_n \right) \left( \frac{dz}{2\pi i} \right)^2 \bar{\partial}(\delta\xi)$$

$$= \frac{1}{2\pi i} \sum_n (\delta_n \chi_n^{-1} \delta \chi_n + h_n \delta z_n). \tag{3.8}$$

The quantum states  $\psi$  at genus zero may be labeled by their values  $\psi(0)$  at  $A = 0$  which belong to the subspace  $V^G$  of the  $G$ -invariant tensors in  $V \equiv \otimes_n V_n$ . Indeed,  $\psi$  is determined by its values on the dense  $\mathcal{G}$ -orbit of  $A = 0$ . Hence the bundle  $\mathcal{W}$  is a subbundle of the trivial bundle with the fiber  $V^G$ . The KZ(B) connection reduces in this case [99] to the formula

$$\nabla_{\delta\mu}^{\text{KZ}} \psi(0) = \sum_n \left( \delta \chi_n (\partial_{\chi_n} - \chi_n^{-1} \Delta_n) + \delta z_n (\partial_{z_n} - \frac{1}{\kappa} H_n) \right) \psi(0), \tag{3.9}$$

$$\nabla_{\bar{\delta}\mu}^{\text{KZ}} \psi(0) = \sum_n (\bar{\delta} \chi_n \partial_{\bar{\chi}_n} + \bar{\delta} z_n \partial_{\bar{z}_n}) \psi(0) \tag{3.10}$$

where

$$\Delta_n = \frac{1}{2\kappa} t_n^a t_n^a, \quad H_n = \sum_{m \neq n} \frac{t_n^a t_m^a}{z_n - z_m} \tag{3.11}$$

with  $t_n^a$  denoting the action of the generator  $t^a$  in the factor  $V_n$  of  $V$ .  $\Delta_n$  is a number, the *conformal weight* assigned in the WZNW theory to the irreducible representation of  $G$  in  $V_n$  [99]. Note that, modulo the shift  $k \mapsto \kappa = k + g^\vee$ ,  $\Delta_n$  and  $\frac{1}{\kappa} H_n$  may be obtained from  $\frac{k}{(2\pi i)^2} \delta_n$  and  $\frac{1}{(2\pi i)^2} h_n$ , respectively, by the (geometric) quantization of the coadjoint orbits which replaces the functions  $\nu_n^a$  by the operators  $\frac{2\pi}{k i} t_n^a$  so that the Poisson bracket turns into  $\frac{k i}{2\pi}$  times the commutator ( $\frac{2\pi}{k}$  plays the role of the Planck constant). The flatness of the connection  $\nabla^{\text{KZ}}$ ,  $(\nabla^{\text{KZ}})^2 = 0$ , follows from the equation  $[H_n, H_m] = 0$ , equivalent to the classical Yang-Baxter equation (CYBE) for  $\frac{t_1^a t_2^a}{z}$ :

$$\left[ \frac{t_n^a t_m^a}{z_n - z_m}, \frac{t_m^a t_p^a}{z_m - z_p} \right] + \text{cyclic permutations} = 0. \tag{3.12}$$

### §4. Genus one

At genus one, every Riemann surface is isomorphic to an elliptic curve  $E_\tau \equiv \mathbb{C}/(\mathbb{Z} + \tau\mathbb{Z})$  where  $\tau$  is a complex number of positive imaginary part  $\tau_2$ . Denote by  $\Delta$  ( $\Delta_+$ ) the set of (positive) roots of  $\mathfrak{g}$ , by  $e_\alpha$  the step generators attached to the roots  $\alpha$  and let  $(\eta^j)$  be an orthonormal basis of the Cartan algebra  $\mathfrak{t}$ . We set  $u_\alpha = \text{tr } u\alpha$  and  $u^j = \text{tr } u\eta^j$  for  $u \in \mathfrak{t}$ . We shall need some elliptic functions: the Jacobi theta function

$$\vartheta_1(z) = -i \sum_{\ell=-\infty}^{\infty} (-1)^\ell e^{\pi i \tau (\ell + \frac{1}{2})^2 + \pi i z (2\ell + 1)}, \tag{4.1}$$

the Green function  $P_x$  of the twisted  $\bar{\partial}$ -operator

$$P_x(z) = \frac{\vartheta_1'(0) \vartheta_1(x+z)}{\vartheta_1(x) \vartheta_1(z)}, \tag{4.2}$$

with the properties  $P_x(z+1) = P_x(z)$ ,  $P_x(z+\tau) = e^{-2\pi ix} P_x(z)$  and  $P_x(z) = \frac{1}{z} + \mathcal{O}(1)$  around  $z = 0$ , the function

$$\rho = \vartheta'_1 / \vartheta_1 \quad (4.3)$$

s.t.  $\rho(z+1) = \rho(z)$ ,  $\rho(z+\tau) = \rho(z) - 2\pi i$ ,  $\rho(z) = \frac{1}{z} + \mathcal{O}(1)$  around  $z = 0$  and, finally, the Weyl-Kac denominator

$$\Pi(u) = e^{2\pi i \tau d / 24} \prod_{\alpha \in \Delta_+} (e^{\pi i u \alpha} - e^{-\pi i u \alpha}) \prod_{\ell=1}^{\infty} \left[ (1 - e^{2\pi i \ell \tau})^r \prod_{\alpha \in \Delta_+} (1 - e^{2\pi i \ell \tau} e^{2\pi i u \alpha}) \right] \quad (4.4)$$

where  $d$  denotes the dimension and  $r$  the rank of  $G$ .

On  $E_\tau$  a generic gauge field is in the orbit of  $A_u = \pi u d\bar{z} / \tau_2$ , for  $u \in \mathfrak{t}$ , i.e.

$$A = h^{-1} A_u^{01} = (h_u h)^{-1} \bar{\partial} (h_u h) \quad (4.5)$$

where  $h_u = e^{\pi(u\bar{z} - \bar{u}z) / \tau_2}$ . Consequently, the gauge fields may be parametrized by  $u$  and  $h$ . To avoid ambiguities, we have to identify the pairs as follows

$$(u, h) \sim (wuw^{-1}, wh) \sim (u + q^\vee, h_{q^\vee}^{-1} h) \sim (u + \tau q^\vee, h_{\tau q^\vee}^{-1} h), \quad (4.6)$$

for  $q^\vee$  in the coroot lattice  $Q^\vee$  and  $w$  in the the normalizer  $N$  of  $\mathfrak{t}$  in  $G$ . Similarly to the genus zero case, we have to solve the equation

$$\bar{\partial} (h_u h \Phi) = \sum_n \nu_n \delta_{z_n} \quad (4.7)$$

where  $\nu_n = (h_u h)(z_n) \lambda_n (h_u h)(z_n)^{-1}$ . Decomposing  $\nu_n = \sum_\alpha \nu_n^{-\alpha} e_\alpha + \nu_n^0$  with  $\nu_n^0 = \nu_n^j \eta^j \in \mathfrak{t}$ , we can solve the above equation if and only if  $\sum_n \nu_n^0 = 0$ . In that case,

$$h_u h \Phi(z) = \left( \varphi_0 + \sum_n \left( \sum_\alpha P_{u_\alpha}(z - z_n) \nu_n^{-\alpha} e_\alpha + \rho(z - z_n) \nu_n^0 \right) \right) \frac{dz}{2\pi i} \quad (4.8)$$

for an arbitrary constant  $\varphi_0 = \varphi_0^j \eta^j$ . Performing the symplectic reduction, we find

$$\mathcal{P}_\sigma \simeq \left\{ (u, \varphi_0, \underline{\nu}) \in T^* \mathfrak{t} \times \left( \times_n \mathcal{O}_n \right) \mid \sum_n \nu_n^0 = 0 \right\} / N \rtimes (Q^\vee + \tau Q^\vee) \quad (4.9)$$

where the action of  $N \rtimes (Q^\vee + \tau Q^\vee)$  implements the identifications

$$\begin{aligned} (u, \varphi_0, \underline{\nu}) &\sim (wuw^{-1}, w\varphi_0 w^{-1}, w\underline{\nu} w^{-1}) \sim \left( u + q^\vee, \varphi_0, (h_{q^\vee}^{-1}(z_n) \nu_n h_{q^\vee}(z_n)) \right) \\ &\sim \left( u + \tau q^\vee, \varphi_0, (h_{\tau q^\vee}^{-1}(z_n) \nu_n h_{\tau q^\vee}(z_n)) \right). \end{aligned}$$

The symplectic structure of  $\mathcal{P}_\sigma$  is that of the reduction of  $T^* \mathfrak{t} \times \left( \times_n \mathcal{O}_n \right)$  by the group  $N \rtimes (Q^\vee + \tau Q^\vee)$ . Now it is easy to write down the Hitchin Hamiltonians. Let us do it for  $p_2 = \frac{1}{2} \text{tr}$ . A straightforward computation identifying the pole terms leads to

$$h_{p_2} = \left\{ - \sum_n \rho'(z - z_n) \delta_n + \sum_n \rho(z - z_n) h_n + h_0 \right\} \left( \frac{dz}{2\pi i} \right)^2 \quad (4.10)$$

where, as before,  $\delta_n = \frac{1}{2}\nu_n^\alpha \nu_n^\alpha$  and

$$h_0 = \frac{1}{2} \sum_{j=1}^r \varphi_0^j \varphi_0^j + \frac{1}{2} \sum_{m,n} \left\{ \sum_{\alpha} \partial_x P_{u_\alpha}(z_n - z_m) \nu_n^\alpha \nu_m^{-\alpha} + \frac{1}{2} \sum_{j=1}^r \frac{\vartheta_1''}{\vartheta_1}(z_n - z_m) \nu_n^j \nu_m^j \right\}, \quad (4.11)$$

$$h_n = \sum_{j=1}^r \nu_n^j \varphi_0^j + \sum_{m \neq n} \left( \sum_{\alpha} P_{u_\alpha}(z_n - z_m) \nu_n^\alpha \nu_m^{-\alpha} + \sum_{j=1}^r \rho(z_n - z_m) \nu_n^j \nu_m^j \right). \quad (4.12)$$

Note the similarity to the genus 0 case (3.6).

Let  $\delta\mu = \delta\mu_{\bar{z}}^z \partial_z d\bar{z}$  be a Beltrami differential on  $E_\tau$  behaving like  $\mathcal{O}((z - z_n)^2)$  around the insertions. The modified complex structure corresponds to the complex coordinate  $z' = z + \frac{z - \bar{z}}{2i\tau_2} \delta\tau + \delta\xi^z$  s.t.  $\partial_{\bar{z}} z' = \delta\mu_{\bar{z}}^z$ . We require that  $\delta\xi^z(z+1) = \delta\xi^z(z+\tau) = \delta\xi^z(z)$ .  $\delta\tau$  is determined from the condition that the integral of  $\delta\mu_{\bar{z}}^z$  over  $E_\tau$  is equal to that of  $\frac{i}{2\tau_2} \delta\tau$ .  $\delta\xi^z$  is unique up to an additive constant. Note that  $z'(z+1) = z'(z)+1$  whereas  $z'(z+\tau) = z'+\tau'$  where  $\tau' = \tau + \delta\tau$ . Hence the deformed curve is isomorphic to  $E_{\tau'}$  with the punctures moved to  $z'_n = z_n + \delta z_n$  and the first jets of local parameters changed to  $\chi'_n = \chi_n + \delta\chi_n$  with

$$\delta z_n = \frac{z_n - \bar{z}_n}{2i\tau_2} \delta\tau + \delta\xi^z(z_n), \quad \chi_n^{-1} \delta\chi_n = \frac{\delta\tau}{2i\tau_2} + \partial_z \delta\xi^z(z_n). \quad (4.13)$$

Again by a straightforward calculation substituting  $\delta\mu_{\bar{z}}^z = \partial_{\bar{z}} z'$ , cutting out small balls around points  $z_n$  and integrating by parts, we obtain

$$h_{\delta\mu} = \int_{E_\tau} h_{p_2} \delta\mu = \frac{1}{2\pi i} \sum_n \left( \delta_n \chi_n^{-1} \delta\chi_n + h_n \delta z_n + \frac{1}{2\pi i} h_0 \delta\tau \right). \quad (4.14)$$

The quantum states  $\psi$  at genus one may be characterized by giving holomorphic functions  $\tilde{\psi}(u)$  on  $\mathfrak{t}$  with values in  $V^T$ , the subspace of  $T$ -invariant tensors in the product  $V$  of the representation spaces,

$$\tilde{\psi}(u) = \Pi(u) e^{-\pi k \operatorname{tr} u^2 / (2\tau_2)} \otimes_n \left( e^{-\pi(z_n - \bar{z}_n)u / \tau_2} \right)_n \psi(A_u). \quad (4.15)$$

The KZB connection takes the form [38, 41, 51, 50, 43]

$$\nabla_{\delta\mu}^{\text{KZB}} \tilde{\psi} = \sum_n \left( \delta\chi_n (\partial_{\chi_n} - \chi_n^{-1} \Delta_n) + \delta z_n (\partial_{z_n} - \frac{1}{\kappa} H_n) + \delta\tau (\partial_\tau - \frac{1}{2\pi i \kappa} H_0) \right) \tilde{\psi}, \quad (4.16)$$

$$\nabla_{\delta\mu}^{\text{KZB}} \tilde{\psi} = \sum_n \left( \overline{\delta\chi_n} \partial_{\overline{\chi_n}} + \overline{\delta z_n} \partial_{\overline{z_n}} + \overline{\delta\tau} \partial_{\overline{\tau}} \right) \tilde{\psi} \quad (4.17)$$

where  $\Delta_n$  is as before and the operators  $\frac{1}{\kappa} H_0$  and  $\frac{1}{\kappa} H_n$  are obtained from the Hamiltonians  $\frac{k}{(2\pi i)^2} h_0$  and  $\frac{k}{(2\pi i)^2} h_n$  by the replacement

$$\varphi_0^j \mapsto \frac{2\pi}{\kappa i} \partial_{u^j}, \quad \mu_n^\alpha \mapsto \frac{2\pi}{\kappa i} e_{\alpha n}, \quad \mu_n^j \mapsto \frac{2\pi}{\kappa i} \eta_n^j, \quad (4.18)$$

i.e. by the geometric quantization. The resulting Hamiltonians  $H_0$  and  $H_n$  act on general meromorphic functions on  $\mathfrak{t}$  with values in  $V^T$ . The flatness of the KZB connection is ensured by their commutation:  $[H_n, H_m] = 0$ , for  $n, m = 0, 1, \dots$ , following from the so called dynamical CYBE [51].

## §5. Genus two

### 5.1. Curve and its Jacobian

Let  $\Sigma$  be a curve of genus 2. Choosing a marking, i.e. a symplectic homology basis  $(A^a, B^a)$ ,  $a = 1, 2$ , on  $\Sigma$ , we may fix the corresponding basis  $(\omega^a)$  of the holomorphic 1,0-forms (abelian differentials) s.t.  $\int_{A^a} \omega^b = \delta^{ab}$ . The  $B^a$ -periods of the abelian differentials give rise to the symmetric period matrix  $\tau$ ,  $\tau^{ab} = \int_{B^a} \omega^b$ , with a positive imaginary part. The map

$$\Sigma \ni x \mapsto z(x) = \frac{\omega^2(x)}{\omega^1(x)} \tag{5.1}$$

realizes  $\Sigma$  as a double covering of  $\mathbb{P}^1$  ramified over six Weierstrass points  $x_n$  or as a hyperelliptic curve given by the equation

$$y^2 = \prod_{n=1}^6 (z - z_n). \tag{5.2}$$

The coordinates  $z_n = z(x_n)$  are assumed to be finite. This may be always achieved by an appropriate choice of the marking. Curve  $\Sigma$  may be viewed as composed of the points  $(y, z)$  and of two points at infinity. The covering of  $\mathbb{P}^1$  is  $(y, z) \mapsto z$ . In this representation, the holomorphic 1,0-forms and the holomorphic quadratic differentials on  $\Sigma$  have the form

$$\omega = (a + bz)dz/y, \quad \beta = (a + bz + cz^2)(dz)^2/y^2, \tag{5.3}$$

respectively. In particular,

$$\omega^1 \propto dz/y, \quad \omega^2 \propto z dz/y \tag{5.4}$$

with the same proportionality constant.

The Jacobian  $J^1$  of the degree 1 holomorphic line bundles may be represented as  $\mathbb{C}^2/(\mathbb{Z}^2 + \tau\mathbb{Z}^2)$ . In particular, the spin structures  $L, L^2 = K$ , correspond to points  $e + \tau e'$  with  $e \in \frac{1}{2}\mathbb{Z}^2/\mathbb{Z}^2$ . There are 6 odd spin structures  $e_n + \tau e'_n$  labeled by the Weierstrass points  $z_n$ , the zeros of the holomorphic sections they admit, and 10 even spin structures without holomorphic sections.

### 5.2. Theta functions

The degree 1 bundles with holomorphic sections form the theta-divisor in  $J^1$ . The holomorphic sections of the  $k^{\text{th}}$ -power of the corresponding theta bundle over  $J^1$  may be represented by the holomorphic theta functions of degree  $k$  on  $\mathbb{C}^2$  defined by the relations

$$e^{\pi i k n \cdot \tau n + 2\pi i k n \cdot u} \theta(u + m + \tau n) = \theta(u) \tag{5.5}$$

for  $m, n \in \mathbb{Z}^2$ . They form the space  $\Theta_k$  of dimension  $k^2$ . For  $k = 1$  there is a single (up to normalization) theta function

$$\vartheta(u) = \sum_{n \in \mathbb{Z}^2} e^{\pi i n \cdot \tau n + 2\pi i n \cdot u}, \tag{5.6}$$

the Riemann theta function. For  $k = 2$  there are four independent  $\theta$ -functions. One can take them as

$$\theta_e(u) = \sum_{n \in \mathbb{Z}^2} e^{2\pi i(n+e) \cdot \tau(n+e) + 4\pi i(n+e) \cdot u} \quad (5.7)$$

for  $e \in \frac{1}{2}\mathbb{Z}^2/\mathbb{Z}^2$ .

$$\vartheta(u+v)\vartheta(u-v) = \sum_e \theta_e(u)\theta_e(v) \quad (5.8)$$

is a second order theta function in both  $u$  and  $v$ . The map  $v \mapsto \vartheta(\cdot+v)\vartheta(\cdot-v)$  determines an embedding of the Kummer surface  $J^1/\mathbb{Z}_2 \cong \mathbb{C}^2/(\mathbb{Z}^2 + \tau\mathbb{Z}^2)/\mathbb{Z}_2$  onto a quartic surface  $\mathcal{K}$  in the 3-dimensional projective space  $\mathbb{P}\Theta_2$  ( $\mathbb{Z}_2$  maps the degree 1 line bundles  $L$  into  $L^{-1}K$  or  $v \in \mathbb{C}^2$  into  $-v$ ).

The double theta function (5.8) determines a non-degenerate symmetric quadratic form on the space  $\Theta_2^*$  dual to  $\Theta_2$ . It permits to identify  $\Theta_2^*$  with  $\Theta_2$  by sending  $\phi \in \Theta_2^*$  to  $\iota(\phi) \in \Theta_2$  defined by

$$\iota(\phi)(u) = \langle \vartheta(u+\cdot)\vartheta(u-\cdot), \phi \rangle. \quad (5.9)$$

The identification exchanges the basis  $(\theta_e)$  of  $\Theta_2$  with the dual basis  $(\theta_e^*)$  and the Kummer quartic  $\mathcal{K}$  with its dual version  $\mathcal{K}^* \subset \mathbb{P}\Theta_2^*$ .  $\mathcal{K}^*$  is composed of linear forms proportional to the evaluation forms  $\phi_u$  defined by

$$\langle \theta, \phi_u \rangle = \theta(u). \quad (5.10)$$

The group  $(\frac{1}{2}\mathbb{Z}/\mathbb{Z})^4$  of spin structures acts on  $\Theta_k$  for even  $k$  by endomorphisms  $U_{e,e'}$  defined by

$$(U_{e,e'}\theta)(u) = e^{\pi i k e' \cdot \tau e' + 2\pi i k e' \cdot u} \theta(u+e+\tau e'). \quad (5.11)$$

For  $k$  not divisible by 4 this action is only projective:  $U_{e,e'}U_{f,f'} = (-1)^{4e \cdot f'} U_{e+f, e'+f'}$  and it lifts to a Heisenberg group. For  $k = 2$ ,

$$U_{e,e'}\theta_{e''} = (-1)^{4e \cdot e''} \theta_{e'+e''}. \quad (5.12)$$

The action of  $U_{e,e'}$  preserves the Kummer quartic  $\mathcal{K} \subset \mathbb{P}\Theta_2$  and the action of the transposed endomorphisms  $U_{e,e'}^t$  preserves  $\mathcal{K}^*$ .

### 5.3. Moduli space of $\mathrm{SL}_2$ -bundles

In the fundamental paper [115], Narasimhan and Ramanan proved that the moduli space  $\mathcal{N}_S$  of the stable  $\mathrm{SL}_2$  holomorphic bundles is canonically isomorphic to  $\mathbb{P}\Theta_2 \setminus \mathcal{K}$ . The isomorphism associates to an  $\mathrm{SL}_2$ -bundle  $E$  the second order theta function  $\theta$  vanishing at the points  $u \in \mathbb{C}^2$  corresponding to the duals of the line-subbundles of the rank 2 bundle associated to  $E$ . In other words, if  $A$  is the gauge field whose  $\mathcal{G}$ -orbit corresponds to  $E$  and if  $L_u$  denotes the degree 1 line bundle corresponding to  $u \in \mathbb{C}^2/(\mathbb{Z}^2 + \tau\mathbb{Z}^2)$  then the theta function  $\theta$  associated



to  $E$  vanishes at  $u$  if and only if there exists a pair  $s = (s_1, s_2)$  composed of sections of  $L_u$  s.t.  $(\bar{\partial} + A)s = 0$ . The semistable compactification of the moduli space  $\mathcal{N}_s$  is

$$\mathcal{N}_{ss} \cong \mathbb{P}\Theta_2 \tag{5.13}$$

and, exceptionally, it is smooth. The points of the Kummer quartic  $\mathcal{K}$  represent (classes of) the semistable but not stable bundles. Hence for  $G = \mathrm{SL}_2$  the phase space of the Hitchin system on the genus 2 curve with no insertions is

$$T^*\mathcal{N}_{ss} \cong T^*\mathbb{P}\Theta_2 \cong \{(\theta, \phi) \in \Theta_2 \times \Theta_2^* \mid \theta \neq 0, \langle \theta, \phi \rangle = 0\} / \mathbb{C}^\times \tag{5.14}$$

with the action of  $t \in \mathbb{C}^\times$  given by  $(\theta, \phi) \mapsto (t\theta, t^{-1}\phi)$ . As a symplectic space, it is the symplectic reduction of  $T^*(\Theta_2 \setminus \{0\})$  by the action of  $\mathbb{C}^\times$ . Using the bases  $(\theta_e)$  and  $(\theta_e^*)$  to decompose

$$\theta = \sum q_e \theta_e, \quad \phi = \sum p_e \theta_e^*, \tag{5.15}$$

we may represent  $T^*\mathcal{N}_{ss}$  as the space of pairs  $(q, p) \in \mathbb{C}^4 \times \mathbb{C}^4$ ,  $q \neq 0$ ,  $q \cdot p = 0$ , with the identification  $(q, p) \sim (tq, t^{-1}p)$  and the symplectic form induced from  $dp \cdot dq$ .

#### 5.4. Hitchin map for $G = \mathrm{SL}_2$

The Hitchin map  $h_{p_2} : T^*\mathbb{P}\Theta_2 \rightarrow H^0(K^2)$  appears to take a particularly simple form resembling the genus 0 formula (3.6):

$$h_{p_2} = \frac{1}{2} \sum_{\substack{n,m=1 \\ n \neq m}}^6 \frac{r_{nm}}{(z - z_n)(z - z_m)} \left(\frac{dz}{2\pi i}\right)^2 = \sum_{n=1}^6 \frac{h_n}{z - z_n} \left(\frac{dz}{2\pi i}\right)^2 \tag{5.16}$$

where

$$r_{nm}(\theta, \phi) = \frac{1}{16} \langle U_{e_n, e'_n} \theta, U_{e_m, e'_m}^t \phi \rangle \langle U_{e_m, e'_m} \theta, U_{e_n, e'_n}^t \phi \rangle \tag{5.17}$$

(the last two factors on the right hand side coincide modulo sign) and

$$h_n = \sum_{m \neq n}^6 \frac{r_{nm}}{z_n - z_m}. \tag{5.18}$$

With the help of Eq. (5.12),  $r_{nm}$ 's may be rewritten in the language of  $q$ 's and  $p$ 's as explicit homogeneous polynomials of order 2 in  $q_e$  and in  $p_e$ , see below. The identity

$$\sum_{m \neq n} r_{nm} = 0 \tag{5.19}$$

holding for each  $n$  guarantees that  $\prod_{n=1}^6 (z - z_n) \sum_{\substack{n,m=1 \\ n \neq m}}^6 \frac{r_{nm}}{(z - z_n)(z - z_m)}$  is a quadratic polynomial in  $z$ . It follows that the right hand side of Eq. (5.16) determines a quadratic differential on  $\Sigma$  of the general form given by Eq. (5.3).

The equality (5.16) is not immediate. It was established in four steps. We shall only enumerate them here. The two first crucial steps were performed in [73]. It was shown there that for any  $\theta \neq 0$  and  $u \in \mathbb{C}^2$  s.t.  $\theta(u) = 0$ ,

$$h_{p_2}(\theta, \phi_u) = -\frac{1}{16\pi^2} (\partial_{u^a} \theta(u) \omega^a)^2. \quad (5.20)$$

The above equation describes the quadratic polynomial  $h_{p_2}(\theta, \cdot)$  (with values in  $H^0(K^2)$ ) on the quartic  $\mathcal{K}_\theta^* = \mathcal{K}^* \cap \mathbb{P}\theta^\perp$  in the projectivized subspace of  $\Theta_2^*$  perpendicular to  $\theta$ . In principal, it determines  $h_{p_2}$  completely. It was observed then that the above formula implies that for each Weierstrass point  $z_n$  the conic

$$\mathcal{C}_n = \{\mathbb{C}^\times \phi \in \mathbb{P}\theta^\perp \mid h_{p_2}(\theta, \phi)|_{z_n} = 0\} \quad (5.21)$$

is in fact the union of two bitangents to  $\mathcal{K}_\theta^*$ . The explicit equations for the bitangents to the Kummer quartics known since about a century permitted then to establish Eq. (5.16) up to multiplication by a  $\theta$ -dependent factor [73]. The other steps in the proof of the formula (5.16) were taken in [71] where it was established that the Hitchin map  $h_{p_2}$  possesses the important self-duality property:

$$h_{p_2}(\iota(\phi), \iota^{-1}(\theta)) = h_{p_2}(\theta, \phi) \quad (5.22)$$

or that  $h_{p_2}(q, p) = h_{p_2}(p, q)$  in the language of (5.15). This property, far from obvious in the original formulation of the Hitchin system, restricted the ambiguity on the right hand side of Eq. (5.16) to a (possibly curve-dependent) constant factor. The latter was fixed in [71] by a tedious calculation of  $h_{p_2}$  at special points of  $\mathcal{K} \times \mathcal{K}^*$ .

## 5.5. Deformations of complex structure

For the hyperelliptic curve, the variations of the complex structure described by the Beltrami differentials  $\delta\mu$  on  $\Sigma$  change the images  $z_n$  of the ramification points of the covering of  $\mathbb{P}^1$ . Let us find these changes. Let

$$\omega'^a = \omega^a + \delta\omega^a + \bar{\delta}\omega^a \quad (5.23)$$

denote a deformed basis ( $\omega'^a$ ) of the abelian differentials with  $\delta\omega^a$  of 1,0-type and  $\bar{\delta}\omega^a$  of 0,1-type in the original complex structure.  $\delta\omega^a$  and  $\bar{\delta}\omega^a$  have to satisfy the relations

$$\bar{\delta}\omega^a = \omega^a \delta\mu, \quad \bar{\partial}(\delta\omega^a) = -\partial(\omega^a \delta\mu) \quad (5.24)$$

stating, respectively, that  $\omega'^a$  is of the 1,0-type in the deformed structure and that it is a closed form. The equation for  $\delta\omega^a$  always has solutions. They are defined modulo abelian differentials and the ambiguity may be fixed by demanding that  $\int_{A^a} \omega'^b = \delta^{ab}$ . The deformed covering map onto  $\mathbb{P}^1$  is then

$$z'(x) = \frac{\omega'^2(x)}{\omega'^1(x)} = z(x) + \frac{\delta\omega^2}{\omega^1}(x) - z(x) \frac{\delta\omega^1}{\omega^1}(x). \quad (5.25)$$

The ramification points  $x'_n$  of the map  $z'$  are determined by solving the equation

$$\partial' z'(x'_n) = 0 \quad (5.26)$$

which, upon rewriting  $x'_n = x_n + \delta x_n$  becomes

$$(\partial)^2 z(x_n) \delta x_n + \partial\left(\frac{\delta\omega^2}{\omega^1}\right)(x_n) - \partial\left(z\frac{\delta\omega^1}{\omega^1}\right)(x_n) = 0. \quad (5.27)$$

Since  $\bar{\partial}z(x_n) = 0$ , the quadratic differential  $(\partial)^2 z(x_n)$  is well defined. Besides, since the ramification points are isolated, it does not vanish so that one may solve the above equations for  $\delta x_n$ . The ramification points  $x'_n$  are mapped to

$$z'_n = z'(x_n + \delta x_n) = z_n + \frac{\delta\omega^2}{\omega^1}(x_n) - z_n \frac{\delta\omega^1}{\omega^1}(x_n). \quad (5.28)$$

We infer that

$$\delta z_n \equiv z'_n - z_n = \frac{\delta\omega^2}{\omega^1}(x_n) - z_n \frac{\delta\omega^1}{\omega^1}(x_n) \quad (5.29)$$

are the variations of  $z_n$  corresponding to the Beltrami differential  $\delta\mu$ .

We may now find the values of the Hitchin Hamiltonians  $h_{\delta\mu} = \int_{\Sigma} h_{p_2} \delta\mu$  related to the Beltrami differentials. Note that, by virtue of Eqs. (5.25) and (5.24),

$$\begin{aligned} \bar{\partial}(\delta z) &\equiv \bar{\partial}(z' - z) = \bar{\partial}(\delta\omega^2)/\omega^1 - z\bar{\partial}(\delta\omega^1)/\omega^1 = -\partial(\omega^2\delta\mu)/\omega^1 \\ &+ z\partial(\omega^1\delta\mu)/\omega^1 = -\partial(z\omega^1\delta\mu)/\omega^1 + z\partial(\omega^1\delta\mu)/\omega^1 = (dz)\delta\mu. \end{aligned} \quad (5.30)$$

A straightforward integration by parts over the region in  $\Sigma$  without small balls around the Weierstrass points  $x_n$  and around 2 points at infinity gives now:

$$\begin{aligned} h_{\delta\mu} &= \int_{\Sigma} \sum_{n=1}^6 \frac{h_n}{z - z_n} \left(\frac{dz}{2\pi i}\right)^2 \delta\mu = \left(\frac{1}{2\pi i}\right)^2 \int_{\Sigma} \sum_{n=1}^6 \frac{h_n}{z - z_n} dz \bar{\partial}(\delta z) \\ &= \frac{1}{\pi i} \sum_{n=1}^6 h_n \delta z_n. \end{aligned} \quad (5.31)$$

The comparison with Eq. (3.8) shows an additional factor 2 which comes from the double covering.

### 5.6. Relation to Neumann systems

The Poisson-commutation of the Hamiltonians  $h_n$  (of which any 3 give independent action variables of our integrable system) is equivalent to the CYB-like equations

$$\left\{ \frac{r_{nm}}{z_n - z_m}, \frac{r_{mp}}{z_m - z_p} \right\} + \text{cycl.} = 0, \quad \left\{ \frac{r_{nm}}{z_n - z_m}, \frac{r_{pq}}{z_p - z_q} \right\} = 0 \quad (5.32)$$

for  $\{n, m\} \cap \{p, q\} = \emptyset$ . The above relations may be directly checked, as noticed in [73]. The more recent observations of the paper [72] on the Knizhnik-Zamolodchikov-Bernard connection in the same setup (see below) permit to identify the integrable system with the Hamiltonians  $h_n$  of Eq. (5.18): it is a modified version of the classical genus 2 Neumann systems [120, 114, 11] whose original version is also rooted in the modular geometry of hyperelliptic curves. This goes as follows.

The phase space  $T^*\mathbb{P}^3$  (without the zero section) may be identified with the coadjoint orbit  $\mathcal{O}_1$  of the complex group  $\mathrm{SL}_4$  composed of the traceless rank 1 matrices  $|q\rangle\langle p|$ . The action of  $\mathrm{SL}_4$  in  $\wedge^2\mathbb{C}^4$  preserves the quadratic form induced by the exterior product on  $\wedge^2\mathbb{C}^4$  and the identification  $\wedge^4\mathbb{C}^4 \cong \mathbb{C}^1$ . It leads to the double covering  $\mathrm{SL}_4 \rightarrow \mathrm{SO}_6$  if we choose in  $\wedge^2\mathbb{C}^4$  the Plücker basis turning the quadratic form into the sum of squares. The inverse relation is the complexified version of the twistor calculus. Upon the identification of  $\mathfrak{sl}_4$  with  $\mathfrak{so}_6$ , the coadjoint orbit  $\mathcal{O}_1$  becomes the one composed of (complex) rank 2 antisymmetric matrices  $J = (J_{nm})$  of square zero:  $J^2 = 0$ . Such matrices are of the form  $J_{nm} = Q_n P_m - P_n Q_m$  with vectors  $P, Q \in \mathbb{C}^6$  spanning an isotropic subspace, i.e. with  $Q^2 = Q \cdot P = P^2 = 0$ . Given  $(q, p)$  with  $q \cdot p = 0$ , in order to find the corresponding pair  $(Q, P)$ , it is enough to complete vector  $q$  to a basis  $(q, f_1, f_2, f_3)$  of  $\mathbb{C}^4$  s.t.  $f_1 \cdot p = f_2 \cdot p = 0$  and  $f_3 \cdot p = 1$  and to set

$$Q = q \wedge f_1, \quad R = f_2 \wedge f_3, \quad P = q \wedge f_2 / Q \cdot R \quad (5.33)$$

in the language of  $\wedge^2\mathbb{C}^4 \cong \mathbb{C}^6$ . In the Plücker coordinates, we may take

$$\begin{aligned} Q_1 &= -(q_1 p_3 + q_4 p_2), & Q_2 &= i(q_1 p_3 - q_4 p_2), & Q_3 &= -i(q_1 p_2 + q_4 p_3), \\ Q_4 &= q_1 p_2 - q_4 p_3, & Q_5 &= q_2 p_2 + q_3 p_3, & Q_6 &= i(q_2 p_2 + q_3 p_3), \\ P_1 &= -\frac{1}{2} \frac{q_2 p_4 + q_3 p_1}{q_2 p_2 + q_3 p_3}, & P_2 &= \frac{i}{2} \frac{q_2 p_4 - q_3 p_1}{q_2 p_2 + q_3 p_3}, & P_3 &= \frac{i}{2} \frac{q_3 p_4 + q_2 p_1}{q_2 p_2 + q_3 p_3}, \\ P_4 &= -\frac{1}{2} \frac{q_3 p_4 - q_2 p_1}{q_2 p_2 + q_3 p_3}, & P_5 &= \frac{1}{2}, & P_6 &= -\frac{i}{2} \end{aligned}$$

where  $q_1 \equiv q_{(0,0)}$ ,  $q_2 \equiv q_{(\frac{1}{2},0)}$ ,  $q_3 \equiv q_{(0,\frac{1}{2})}$ ,  $q_4 \equiv q_{(\frac{1}{2},\frac{1}{2})}$  and similarly for  $p$ 's. In terms of  $(Q, P)$ , the symplectic form is  $dP \cdot dQ$ . The functions  $J_{nm}$  on  $\mathcal{O}_1$  have the Poisson bracket

$$\{J_{nm}, J_{mp}\} = -J_{np} \quad \text{for } n, m, p \text{ different}, \quad (5.34)$$

$$\{J_{nm}, J_{pq}\} = 0 \quad \text{for } n, m, p, q \text{ different} \quad (5.35)$$

A straightforward check shows now that

$$\begin{aligned} J_{12} &= \frac{i}{2}(q_1 p_1 + q_2 p_2 - q_3 p_3 - q_4 p_4), & J_{13} &= -\frac{i}{2}(q_1 p_4 - q_2 p_3 - q_3 p_2 - q_4 p_1), \\ J_{14} &= \frac{1}{2}(q_1 p_4 + q_2 p_3 - q_3 p_2 - q_4 p_1), & J_{15} &= -\frac{1}{2}(q_1 p_3 - q_2 p_4 - q_3 p_1 + q_4 p_2), \\ J_{16} &= \frac{i}{2}(q_1 p_3 + q_2 p_4 + q_3 p_1 + q_4 p_2), & J_{23} &= -\frac{1}{2}(q_1 p_4 - q_2 p_3 + q_3 p_2 - q_4 p_1), \\ J_{24} &= -\frac{i}{2}(q_1 p_4 + q_2 p_3 + q_3 p_2 + q_4 p_1), & J_{25} &= \frac{i}{2}(q_1 p_3 - q_2 p_4 + q_3 p_1 - q_4 p_2), \\ J_{26} &= \frac{1}{2}(q_1 p_3 + q_2 p_4 - q_3 p_1 - q_4 p_2), & J_{34} &= -\frac{i}{2}(q_1 p_1 - q_2 p_2 + q_3 p_3 - q_4 p_4), \\ J_{35} &= -\frac{i}{2}(q_1 p_2 + q_2 p_1 + q_3 p_4 + q_4 p_3), & J_{36} &= -\frac{1}{2}(q_1 p_2 - q_2 p_1 - q_3 p_4 + q_4 p_3), \\ J_{45} &= \frac{1}{2}(q_1 p_2 - q_2 p_1 + q_3 p_4 - q_4 p_3), & J_{46} &= -\frac{i}{2}(q_1 p_2 + q_2 p_1 - q_3 p_4 - q_4 p_3), \\ J_{56} &= \frac{i}{2}(q_1 p_1 - q_2 p_2 - q_3 p_3 + q_4 p_4) \end{aligned} \quad (5.36)$$

and that

$$r_{nm} = -\frac{1}{4} (J_{nm})^2. \quad (5.37)$$

The equations (5.32) assuring that the Hamiltonians  $h_n = -\frac{1}{4} \sum_{m \neq n} \frac{J_{nm}^2}{z_n - z_m}$  Poisson-commute follow directly from the  $\mathfrak{so}_6$  algebra (5.34), (5.35). The original Neumann systems are very similar but involve the coadjoint orbits of  $SO_N$  composed from rank 2 antisymmetric matrices of square  $\neq 0$  [11]. Such orbits, contrary to the one we consider, have nontrivial standard real forms.

### 5.7. Lax matrix approach

Although the change of the orbit modifies dimensional counts and many details, the methods used in the analysis of the Neumann systems, in particular the Lax method developed in [11], generalize with minor variations to our system and permit to find explicitly the angle variables of the genus 2 Hitchin system. The Lax matrix may be taken as  $L(\zeta) = (L_{nm}(\zeta))$  with

$$L_{nm}(\zeta) = \zeta J_{nm} + z_n \delta_{nm}. \quad (5.38)$$

As in [11], the Poisson brackets (5.34), (5.35) may be rewritten in the matrix form as

$$\{L(\zeta) \otimes 1, 1 \otimes L(\zeta')\} = [L(\zeta) \otimes 1, r^-(\zeta, \zeta')] - [1 \otimes L(\zeta'), r^+(\zeta, \zeta')] \quad (5.39)$$

where the  $r$ -matrices

$$r^\pm(\zeta, \zeta') = \frac{\zeta \zeta'}{\zeta + \zeta'} C \pm \frac{\zeta \zeta'}{\zeta - \zeta'} T \quad (5.40)$$

with  $C_{mn,qp} = \delta_{mq} \delta_{np}$  and  $T_{mn,qp} = \delta_{mp} \delta_{nq}$  satisfy the CYBE. The above form of the Poisson bracket implies immediately that

$$\{\text{tr } L(\zeta)^\ell, \text{tr } L(\zeta')^{\ell'}\} = 0 \quad (5.41)$$

for all  $\zeta, \zeta'$ . Since

$$\frac{d^2}{d^2 \zeta} \text{tr } L(0)^\ell = 2\ell \sum_{\substack{n,m=1 \\ n \neq m}}^6 z_n^{\ell-1} \frac{J_{nm}^2}{z_n - z_m}, \quad (5.42)$$

the Hamiltonians  $h_n = -\frac{1}{4} \sum_{m \neq n} \frac{J_{nm}^2}{z_n - z_m}$  may be expressed as combinations of the quantities  $\text{tr } L(\zeta)^\ell$ . It is not difficult to see that the converse is also true.

More generally, Eq. (5.40) implies that

$$\{\text{tr } L(\zeta)^\ell, L(\zeta')\} = [M_\ell(\zeta, \zeta'), L(\zeta')] \quad (5.43)$$

with

$$M_\ell(\zeta, \zeta') = \ell \frac{\zeta \zeta'}{\zeta - \zeta'} L(\zeta)^{\ell-1} + \ell \frac{\zeta \zeta'}{\zeta + \zeta'} L(-\zeta)^{\ell-1}. \quad (5.44)$$

It follows that the commuting time evolutions of the Lax matrix  $L(\zeta)$  generated by the Hamiltonians  $h_n$ ,

$$\delta_n L(\zeta) = \{h_n, L(\zeta)\} \delta t_n, \quad (5.45)$$

are isospectral. In other words, the spectral curve  $\mathcal{S}$  given by the characteristic equation

$$\det(L(\zeta) - z) = 0 \quad (5.46)$$

is left invariant by the dynamics generated by any of the Hamiltonians  $h_n$ . An easy calculation using the fact that the matrix  $J$  has rank 2 gives

$$\det(L(\zeta) - z) = \prod_{n=1}^6 (z - z_n) \left( 1 + \frac{1}{2} \zeta^2 \sum_{\substack{n,m=1 \\ n \neq m}}^6 \frac{J_{nm}^2}{(z - z_n)(z - z_m)} \right). \quad (5.47)$$

Upon the substitution  $\sigma = \frac{1}{i\zeta} \prod_n (z - z_n)$ , the characteristic equation (5.46) becomes

$$\sigma^2 = \frac{1}{2} \prod_{n=1}^6 (z - z_n)^2 \sum_{\substack{n,m=1 \\ n \neq m}}^6 \frac{J_{nm}^2}{(z - z_n)(z - z_m)} \equiv P(z). \quad (5.48)$$

Since  $P(z)$  is a polynomial in  $z$  of order 8 (see the remark after Eq. (5.19)), this is the equation of a hyperelliptic curve  $\mathcal{S}$  of genus 3 composed of pairs  $(\sigma, z)$  and 2 points  $p_\infty^\pm$  corresponding to  $z = \infty$ . We shall consider only such points of the phase space that  $\mathcal{S}$  is smooth. The 1,0-forms

$$\Omega^b = z^b dz / \sigma \quad (5.49)$$

with  $b = 0, 1, 2$  form a basis of the abelian differentials on  $\mathcal{S}$ .

We shall search for the eigenvectors  $X = (X_n)$  of the Lax matrix. This will allow to adapt the arguments described in great detail in Sect. 4 of [114] to the present case. The eigenvector equations

$$\zeta J_{nm} X_m = \zeta Q_n (P \cdot X) - \zeta P_n (Q \cdot X) = (z - z_n) X_n \quad (5.50)$$

imply that

$$(z - z_n) X_n = a Q_n + b P_n. \quad (5.51)$$

Upon multiplication by  $\sigma = \frac{1}{i} \zeta^{-1} \prod_n (z - z_n)$ , Eq. (5.50) becomes a system of 2 linear equations for  $a$  and  $b$ :

$$\begin{aligned} (\sigma + V) a + iW b &= 0, \\ -iU a + (\sigma - V) b &= 0 \end{aligned} \quad (5.52)$$

where

$$\begin{aligned} U(z) &= \prod_{n=1}^6 (z - z_n) \sum_{n=1}^6 \frac{Q_n^2}{z - z_n}, \\ V(z) &= i \prod_{n=1}^6 (z - z_n) \sum_{n=1}^6 \frac{Q_n P_n}{z - z_n}, \\ W(z) &= \prod_{n=1}^6 (z - z_n) \sum_{n=1}^6 \frac{P_n^2}{z - z_n} \end{aligned} \quad (5.53)$$

are 4<sup>th</sup>-order polynomials in  $z$ . The non-trivial solution exists if

$$\sigma^2 = U(z)W(z) + V(z)^2 = P(z) \tag{5.54}$$

where the last equality follows by a straightforward check. The system (5.52) of linear equations defines a holomorphic line subbundle  $L$  of the rank 2 bundle  $W = \mathbb{C}^2 \otimes \mathcal{O}(4p_\infty^+ + 4p_\infty^-)$  over the hyperelliptic curve  $\mathcal{S}$  (the coefficients behave as  $z^4$  at infinity). As solutions of (5.52) we may take for example

$$a = \sigma - V(z), \quad b = iU(z) \quad \text{or} \quad a = -iW(z), \quad b = \sigma + V(z). \tag{5.55}$$

Since  $a$  and  $b$  are proportional to  $z^4$  at infinity, they define holomorphic sections of  $L \subset W$  regular at  $p_\infty^\pm$ . They vanish at four points

$$p'_\alpha = (V(z'_\alpha), z'_\alpha) \quad \text{or} \quad p''_\alpha = (-V(z''_\alpha), z''_\alpha), \tag{5.56}$$

respectively, where  $z'_\alpha$  are the roots of  $U$  and  $z''_\alpha$  are those of  $W$ . Hence the degree of the line bundle  $L$  is equal to 4.  $H^0(L)$  has dimension 2 and is spanned by the two solutions (5.55).

### 5.8. Angle variables

The knowledge of the bundle  $L$  may be encoded in the image  $w$  of  $L$  in the Jacobian  $J^4(\mathcal{S})$  under the Abel map:

$$w = \sum_{\alpha=1}^4 \int_{p_0}^{p'_\alpha} \Omega = \sum_{\alpha=1}^4 \int_{p_0}^{p''_\alpha} \Omega \tag{5.57}$$

where  $\Omega = (\Omega^b)$  is the vector of the abelian differentials (5.49) on  $\mathcal{S}$  and  $p_0$  is a fixed point of  $\mathcal{S}$ . Under the infinitesimal time evolution (5.45) inducing the changes  $\delta_n U$ ,  $\delta_n V$ ,  $\delta_n W$ , of the polynomials  $U, V, W$ , the image of the Abel map changes by

$$\delta_n w^b = \sum_{\alpha=1}^4 \frac{z'_\alpha{}^b \delta_n z'_\alpha}{V(z'_\alpha)} = - \sum_{\alpha=1}^4 \frac{z''_\alpha{}^b \delta_n z''_\alpha}{V(z''_\alpha)}. \tag{5.58}$$

The variations of the zeros of  $U$  are

$$\delta_n z'_\alpha = - \frac{\delta_n U(z'_\alpha)}{U'(z'_\alpha)} \tag{5.59}$$

and similarly for  $\delta_n z''_\alpha$ . A direct calculation gives

$$\delta_n U(z) = \{h_n, U(z)\} \delta t_n = 4i \prod_{m \neq n} (z_n - z_m)^{-1} \frac{V(z_n)U(z) - U(z_n)V(z)}{z - z_n} \delta t_n, \tag{5.60}$$

see [114], page 3.69. Hence

$$\delta_n w^b = 4i \prod_{m \neq n} (z_n - z_m)^{-1} U(z_n) \delta t_n \sum_{\alpha=1}^4 \frac{z'_\alpha{}^b}{(z'_\alpha - z_n) U'(z'_\alpha)}. \tag{5.61}$$

The vanishing of the sum of residues of the meromorphic form  $\frac{z^b dz}{(z-z_n)U(z)}$  implies that the last sum is equal to  $-z_n^b U(z_n)^{-1}$  so that

$$\delta w^b = \{w^b, h_n\} \delta t_n = \frac{4}{i} \prod_{m \neq n} (z_n - z_m)^{-1} z_n^b \delta t_n \quad (5.62)$$

which does not depend on the phase-space variables. We infer that the Hamiltonians  $h_n$  generate constant flows on the complex torus  $J^4(\mathcal{S}) \cong \mathbb{C}^3/\Lambda$  where  $\Lambda$  is the lattice of periods of  $\Omega$ . Modulo a constant linear transformation, the coordinates  $w^b$ ,  $b = 0, 1, 2$ , provide together with 3 of the Hamiltonians  $h_n$  a Darboux coordinate system for  $T^*\mathbb{P}^3$ . We have thus found the angle variables of the Hitchin system (as the angles of  $J^4(\mathcal{S})$ ).

It should be stressed that the above approach based on the Lax matrix is simpler than the one obtained by following the general procedure for the Hitchin systems. In particular, Eq. (1.7) giving the spectral curve  $\mathcal{C}$  in the general approach is, as shown in [71],

$$\xi^2 = -4 \prod_{n=1}^6 (z - z_n) \sum_{\substack{n,m=1 \\ n \neq m}}^6 \frac{J_{nm}^2}{(z - z_n)(z - z_m)} \quad (5.63)$$

to which one has to add the equation (5.2) of the original curve  $\Sigma$  of genus 2.  $\mathcal{C}$  is of genus 5 and it is a ramified cover of both  $\Sigma$  (by forgetting  $\xi$ ) and  $\mathcal{S}$  (by setting  $\sigma = \frac{i}{2\sqrt{2}} \xi y$ ). While the general construction would give the angle variables as those of a 3-dimensional Prym variety in the 5-dimensional Jacobian of degree  $-2$  line bundles on  $\mathcal{C}$ , the Lax approach gave them as the angles of the degree 4 Jacobian of  $\mathcal{S}$ .

### 5.9. KZB connection

The determinant bundle  $\mathcal{L}$  over the moduli space  $\mathcal{N}_{ss} \cong \mathbb{P}\Theta_2$  of the holomorphic  $\mathrm{SL}_2$ -bundles over the genus 2 curve coincides with the dual of the tautological bundle on  $\mathbb{P}\Theta_2$  so that  $H^0(\mathcal{L}^k)$  is the space of homogeneous polynomials  $\Psi$  of degree  $k$  on the space  $\Theta_2$ . The Lie algebra  $\mathfrak{so}_6$  acts in the space  $\Theta_2$  by the first order differential operators, still denoted by  $J_{nm}$ , satisfying the commutation relations (5.34), (5.35) with the Poisson bracket replaced by the commutator. In the  $(p, q)$ -language they are obtained by replacing  $p_n$ 's in the expressions (5.36) for  $J_{nm}$  by  $-\partial_{x_n}$ . The KZB connection for the case in question has been worked out in [72]. It takes the form (up to a scalar 1-form)

$$\nabla_{\delta\mu}^{\mathrm{KZB}} \Psi = \sum_{n=1}^6 \delta z_n \left( \partial_{z_n} - \frac{1}{\kappa} H_n \right) \Psi, \quad (5.64)$$

$$\nabla_{\delta\mu}^{\mathrm{KZB}} \Psi = \sum_n \bar{\delta z}_n \partial_{\bar{z}_n} \Psi \quad (5.65)$$

where

$$H_n = -\frac{1}{2} \sum_{m \neq n}^6 \frac{J_{nm}^2}{z_n - z_m} \quad (5.66)$$

so that  $\frac{1}{k} H_n$  is a quantization of  $\frac{2k}{(2\pi i)^2} h_n$  obtained by the replacement  $J_{nm} \mapsto \frac{2\pi}{k i} J_{nm}$  in the classical expression for  $h_n$ . The quantum Hamiltonians  $H_n$ ,  $n = 1, \dots, 6$ , are commuting second order differential operators on  $\Theta_2 \cong \mathbb{C}^4$ .



## §6. Conclusions

We have described above in explicit terms the Hitchin integrable systems and the Knizhnik-Zamolodchikov-Bernard connection in the genus 0, 1 and 2 geometries, the last case only for  $G = \mathrm{SL}_2$  and with no punctures. The main original contribution of the paper is the construction of the angle variables of the genus 2 system. It is a modification of a similar construction, based on the use of a Lax matrix, for the classical Neumann system. The diagonalization of the quantized Hamiltonians  $H_n$  entering the genus 2 KZB connection for  $G = \mathrm{SL}_2$  as well as the identification of the genus 2 Hitchin systems with punctures and for different groups remain open problems.

## BIBLIOGRAPHIE

- [1] R. Abraham and J.E. Marsden, *Foundations of mechanics*, The Benjamin/Cummings publishing company, inc., 1978.
- [2] J.F. Adams, *Lectures on Lie groups*, Midway reprint, The university of Chicago press, 1982.
- [3] L.V. Ahlfors and L. Sario, *Riemann surfaces*, Princeton university press, 1960.
- [4] L. Alvarez-Gaumé, J.-B. Bost, G. Moore, P. Nelson, and C. Vafa, *Bosonization on higher genus Riemann surfaces*, Commun. Math. Phys. **112** (1987), 503–552.
- [5] V. Arnold and S.P. Novikov (eds.), *Dynamical systems*, Encyclopedia of mathematical sciences, Springer-Verlag, 1990.
- [6] V.I. Arnold, *Mathematical methods of classical mechanics*, Graduate texts in mathematics, vol. 60, Springer-Verlag, 1978.
- [7] M.F. Atiyah, *Complex analytic connections in fibre bundles*, Trans. Amer. Math. Soc. **85** (1957), 181–207.
- [8] ———, *Vector bundles on an elliptic curve*, Proc. London Math. Soc. **7** (1959), 414–452.
- [9] M.F. Atiyah and R. Bott, *The Yang-Mills equations over Riemann surfaces*, Phil. Trans. R. Soc. Lond. A **308** (1982), 523–615.
- [10] M.F. Atiyah, N.J Hitchin, and I.M. Singer, *Self-duality in four-dimensional Riemannian geometry*, Proc. R. Soc. Lond. A **362** (1978), 425–461.
- [11] J. Avan and M. Talon, *Poisson structure and integrability of the Neumann-Moser-Uhlenbeck model*, Int. J. Mod. Phys. A **5** (1990), 4477–4488.
- [12] S. Axelrod, S. Della Pietra, and E. Witten, *Geometric quantization of Chern-Simons gauge theory*, J. Diff. Geom. **33** (1991), 787–902.
- [13] O. Babelon and D. Bernard, *Resolution methods for integrable systems*, notes de cours, 1994.
- [14] O. Babelon and C.M. Viallet, *Hamiltonian structures and Lax equations*, Phys. Lett. B **237** (1989), 411.
- [15] H.M. Babujian, *Off-shell Bethe Ansatz equation and N-point correlators in the  $SU_2$  WZNW theory*, prépublication Bonn-HE-93-22.
- [16] H.M. Babujian and R. Flume, *Off-shell Bethe Ansatz equation for Gaudin magnets and solutions of Knizhnik-Zamolodchikov equations*, Mod. Phys. Lett. A **9** (1994), 2029–2040.
- [17] A. Beauville, *Conformal blocks, fusion rules and the Verlinde formula*, prépublication alg-geom/9405001.
- [18] A. Beauville and Y. Laszlo, *Conformal blocks and generalized theta functions*, Commun. Math. Phys. **164** (1994), 385–419.
- [19] A. Beauville, M.S. Narasimhan, and S. Ramanan, *Spectral curves and the generalized theta divisor*, J. reine angew. Math. **398** (1989), 169–179.

- [20] A. Beilinson and V. Drinfeld, *Quantization of Hitchin's fibration and Langlands program*, prépublication, 1994.
- [21] A.A. Belavin, A.M. Polyakov, and A.B. Zamolodchikov, *Infinite conformal symmetry in two-dimensional quantum field theory*, Nucl. Phys. B **241** (1984), 333–380.
- [22] D. Bernard, *On the Wess-Zumino-Witten model on Riemann surfaces*, Nucl. Phys. B **309** (1988), 145–174.
- [23] ———, *On the Wess-Zumino-Witten model on the torus*, Nucl. Phys. B **303** (1988), 77–93.
- [24] A. Bertram, *Moduli of rank-2 vector bundles, theta divisors and the geometry of curves in projective space*, J. Diff. Geom. **35** (1992), 429–469.
- [25] J.-B. Bost, *Fibrés déterminants, déterminants régularisés et mesures sur l'espace des modules des courbes complexes*, Séminaire Bourbaki, no. 676, février 1987.
- [26] P. Cartier, *Some fundamental techniques in the theory of integrable systems*, prépublication IHES/M/94/23.
- [27] E. Charpentier and K. Gawędzki, *Wess-Zumino-Witten conformal field theory for simply laced groups at level one*, Annals of Physics **213** (1992), 233–294.
- [28] P. Degiovanni, *Théories des champs en dimension 2 et 3*, Ph.D. thesis, Université Paris 6, décembre 1992.
- [29] P. Deligne and D. Mumford, *The irreducibility of the space of curves of given genus*, Publ. Math. I.H.E.S. **36** (1969), 75–109.
- [30] U.V. Desale and S. Ramanan, *Classification of vector bundles of rank 2 on hyperelliptic curves*, Inventiones Math. **38** (1976), 161–185.
- [31] R. Donagi and E. Markman, *Spectral covers, algebraically completely integrable Hamiltonian systems and moduli of bundles*, Integrable systems and quantum groups, 1996, Lect. Not. Math. 1620.
- [32] R. Donagi and E. Witten, *Supersymmetric Yang-Mills theory and integrable systems*, Nucl. Phys. B **460** (1996), 299–350.
- [33] S.K. Donaldson, *A new proof of a theorem of Narasimhan and Seshadri*, J. Diff. Geom. **18** (1983), 269–277.
- [34] S.K. Donaldson and P.B. Kronheimer, *The geometry of four-manifolds*, Oxford mathematical monographs, Clarendon press, 1990.
- [35] T. Eguchi and H. Ooguri, *Conformal and current algebras on a general Riemann surface*, Nucl. Phys. B **282** (1987), 308–328.
- [36] S. Elitzur, G. Moore, A. Schwimmer, and N. Seiberg, *Remarks on the canonical quantization of the Chern-Simons-Witten theory*, Nucl. Phys. B **326** (1989), 108–134.
- [37] B. Enriquez and V. Rubtsov, *Hitchin systems, higher Gaudin operators and r-matrices*, Math. Res. Lett. **3** (1996), 343–357.
- [38] P. Etingof and A. Kirillov Jr., *Representations of affine Lie algebras, parabolic differential equations and Lamé functions*, Duke Math. J. **74** (1994), 585–614.
- [39] F. Falceto and K. Gawędzki, *On quantum group symmetries of conformal field theories*, Diff. Geom. Meth. (1991), 972–985.
- [40] ———, *Lattice Wess-Zumino-Witten model and quantum groups*, J. Geom. Phys. (1993), 251–279.
- [41] ———, *Chern-Simons states at genus one*, Commun. Math. Phys. **159** (1994), 549–579.

- [42] ———, *Elliptic Wess-Zumino-Witten model from elliptic Chern-Simons theory*, Lett. Math. Phys. **38** (1996), 155–175.
- [43] ———, *Unitarity of the Knizhnik-Zamolodchikov-Bernard connection and the Bethe Ansatz for the elliptic Hitchin systems*, Commun. Math. Phys. **183** (1997), 267–290.
- [44] F. Falceto, K. Gawędzki, and A. Kupiainen, *Scalar product of current blocks in WZW theory*, Phys. Lett. B **260** (1991), 101–108.
- [45] G. Faltings, *A proof of the Verlinde formula*, J. Alg. Geom. **3** (1994), 347–374.
- [46] G. Felder, *Conformal field theories and integrable systems associated to elliptic curves*, Proceedings of the International Congress of Mathematicians, Zürich 1994 (S.D. Chatterji, ed.), Birkhäuser, 1995.
- [47] ———, *The KZB equations on Riemann surfaces*, Quantum symmetries (A. Connes and K. Gawędzki, eds.), Les Houches summer school, session LXIV, 1995, hep-th/9609153.
- [48] G. Felder, K. Gawędzki, and A. Kupiainen, *Spectra of Wess-Zumino-Witten models with arbitrary simple groups*, Commun. Math. Phys. **117** (1988), 127–158.
- [49] ———, *The spectrum of Wess-Zumino-Witten models*, Nucl. Phys. B **299** (1988), 355–366.
- [50] G. Felder and A. Varchenko, *Integral representation of solutions of the elliptic Knizhnik-Zamolodchikov-Bernard equations*, Int. Math. Res. Notices **5** (1995), 221–233.
- [51] G. Felder and C. Wierczkowski, *Conformal blocks on elliptic curves and the Knizhnik-Zamolodchikov-Bernard equations*, Commun. Math. Phys. **176** (1996), 133–162.
- [52] E. Frenkel, *Affine algebras, Langlands duality and Bethe ansatz*, XI<sup>th</sup> international congress of mathematical physics, Boston 1995 (D. Iagolnitzer, ed.), International Press, 1995.
- [53] D. Friedan, Z. Qiu, and S. Shenker, *Conformal invariance, unitarity and critical exponents in two dimensions*, Phys. Rev. Lett. **52** (1984), 1575–1578.
- [54] ———, *Details of the non-unitarity proof for highest weight representations of the Virasoro algebra*, Commun. Math. Phys. **107** (1986), 535–542.
- [55] D. Friedan and S. Shenker, *The analytic geometry of two-dimensional conformal field theory*, Nucl. Phys. B **281** (1987), 509–545.
- [56] H. Garland, *The arithmetic theory of loop algebras*, J. Algebra **53** (1978), 480–551.
- [57] K. Gawędzki, *Conformal field theory*, livre en préparation.
- [58] ———, *Lectures on conformal field theory*, prépublication IHES/P/97/02.
- [59] ———, *Conformal field theory*, Séminaire Bourbaki, no. 704, novembre 1988.
- [60] ———, *Topological actions in two-dimensional quantum field theories*, Non-perturbative quantum field theory (G. t’Hooft, A. Jaffe, G. Mack, P. K. Mitter, and R. Stora, eds.), Plenum press, 1988.
- [61] ———, *Constructive conformal field theory*, Functional integration, geometry, and strings (Z. Haba and J. Sobczyk, eds.), Birkhäuser, 1989, pp. 277–302.
- [62] ———, *Quadrature of conformal field theories*, Nucl. Phys. B **328** (1989), 733–752.
- [63] ———, *Wess-Zumino-Witten conformal field theory*, Constructive quantum field theory II (A. Wightman and A. S. Velo, eds.), Plenum Press, 1990, pp. 89–120.
- [64] ———, *Classical origin of quantum symmetries in Wess-Zumino-Witten conformal field theory*, Commun. Math. Phys. **139** (1991), 201–213.

- [65] ———, *Coulomb gas representation of  $SU(2)$  WZW correlators at higher genera*, Lett. Math. Phys. **33** (1995), 335–345.
- [66] ———,  *$SU(2)$  WZNW model at higher genera from the gauge field functional integral*, St. Petersburg Math. J. **6** (1995), 541–551.
- [67] ———,  *$SU(2)$  WZW theory at higher genera*, Commun. Math. Phys. **169** (1995), 329–371.
- [68] K. Gawędzki and A. Kupiainen, *Coset construction from functional integrals*, Nucl. Phys. B **320** (1989), 625–668.
- [69] ———,  *$SU(2)$  Chern-Simons theory at genus zero*, Commun. Math. Phys. **135** (1991), 531–546.
- [70] K. Gawędzki and P. Tran-Ngoc-Bich, *Hitchin systems at low genera*, prépublication IHES/P/98/21.
- [71] ———, *Self-duality of the  $SL_2$  Hitchin integrable system at genus two*, prépublication IHES/P/97/80.
- [72] B. van Geemen and A. de Jong, *On Hitchin's connection*, prépublication alg-geom/9701007.
- [73] B. van Geemen and E. Previato, *On the Hitchin system*, Duke Math. J. **85** (1996), 659–683.
- [74] I.M. Gelfand and D.B. Fuchs, *The cohomologies of the Lie algebra of the vector fields in a circle*, Funct. Anal. Appl. **2** (1968), 342–343.
- [75] D. Gepner, *Fusion rings and geometry*, Commun. Math. Phys. **141** (1991), 381–411.
- [76] D. Gepner and E. Witten, *String theory on group manifolds*, Nucl. Phys. B **278** (1986), 493–549.
- [77] J. Glimm and A. Jaffe, *Quantum physics — a functional integral point of view*, third ed., Springer-Verlag, 1987.
- [78] P. Goddard, A. Kent, and D. Olive, *Virasoro algebras and coset space models*, Phys. Lett. B **152** (1985), 88–92.
- [79] ———, *Unitary representations of the Virasoro and super-Virasoro algebras*, Nucl. Phys. B **103** (1986), 105–119.
- [80] R. Goodman and N.R. Wallach, *Structure and unitarity cocycle representations of loop groups and the group of diffeomorphisms of the circle*, J. Reine Angew. Math. **347** (1984), 69–133.
- [81] ———, *Projective unitarity positive-energy representations of  $\text{Diff}_+S^1$* , J. Func. Anal. **63** (1985), 299–321.
- [82] P. Griffiths, *Introduction to algebraic curves*, Translations of mathematical monographs, vol. 76, American mathematical society, 1989.
- [83] P. Griffiths and J. Harris, *Principles of algebraic geometry*, Wiley classics library, John Wiley & Sons Inc., 1978.
- [84] A. Grothendieck, *Sur la classification des fibrés holomorphes sur la sphère de Riemann*, Amer. Jour. of Math. **79** (1957), 121–138.
- [85] R.C. Gunning, *Lectures on vector bundles over Riemann surfaces*, Mathematical notes, Princeton university press, 1967.
- [86] R. Hamilton, *The inverse function theorem of Nash and Moser*, Bull. Am. Math. Soc. **7** (1982), 65–222.
- [87] G. Harder and M.S. Narasimhan, *On the cohomology of moduli spaces of vector bundles on curves*, Math. Ann. **212** (1975), 215–248.
- [88] N. Hitchin, *Stable bundles and integrable systems*, Duke Math. J. **54** (1987), 91–114.

- [89] ———, *Flat connections and geometric quantization*, Commun. Math. Phys. **131** (1990), 347–380.
- [90] Y.Z. Huang, *Two-dimensional conformal geometry and vertex operator algebras*, Progress in mathematics, vol. 148, Birkhäuser, 1997.
- [91] R. Hudson, *Kummer's quartic surface*, Cambridge University Press, 1990.
- [92] C. Jordan, *Cours d'analyse de l'école polytechnique tome deuxième*, Gauthiers-Villars, 1913.
- [93] V.G. Kac, *Infinite dimensional Lie algebras*, third ed., Cambridge university press, 1990.
- [94] ———, *Vertex algebras for beginners*, University lectures series, vol. 10, American mathematical society, 1997.
- [95] C. Kassel, *Quantum groups*, Graduate texts in mathematics, vol. 155, Springer-Verlag, 1995.
- [96] J. Kijowski and W. Szczyrba, *A canonical structure for classical field theories*, Commun. Math. Phys. **46** (1976), 183–206.
- [97] A.W. Knap, *Lie groups beyond an introduction*, Progress in mathematics, vol. 140, Birkhäuser, 1996.
- [98] V. Knizhnik, *Analytic fields on Riemann surfaces II*, Commun. Math. Phys. **112** (1987), 567–590.
- [99] V. Knizhnik and A. B. Zamolodchikov, *Current algebra and Wess-Zumino model in two dimensions*, Nucl. Phys. B **247** (1984), 83–103.
- [100] F.F. Knudsen, *The projectivity of moduli spaces of stable  $n$ -pointed curves II. The stacks  $\mathcal{M}_{g,n}$* , Math. Scand. **52** (1983), 161–199.
- [101] S. Kobayashi, *Differential geometry of complex vector bundles*, vol. 5, Iwanami shoten, publishers & Princeton university press, 1987.
- [102] S. Kobayashi and K. Nomizu, *Foundations of differential geometry* (2 vols), John Wiley & Sons Inc., 1963 and 1969.
- [103] S. Kumar, M.S. Narasimhan, and A. Ramanathan, *Infinite Grassmannians and moduli spaces of  $G$ -bundles*, Math. Ann. **300** (1994), 41–75.
- [104] S. Lang, *Real and functional analysis*, third ed., Graduate texts in mathematics, vol. 142, Springer-Verlag, 1993.
- [105] J. Le Potier, *Lectures on vector bundles*, Cambridge studies in advanced mathematics, vol. 54, Cambridge university press, 1997, translated by A. Maciocia.
- [106] E. Markman, *Spectral curves and integrable systems*, Comp. Math. **93** (1994), 255–290.
- [107] D. McDuff and D. Salamon, *Introduction to symplectic topology*, Oxford mathematical monographs, Clarendon press, 1995.
- [108] J. Milnor, *Remarks on infinite dimensional Lie groups*, Relativity, groups and topology II (B.S. de Witt et al., ed.), Les Houches summer school, session XL, North-Holland, 1984.
- [109] R. Miranda, *Algebraic curves and Riemann surfaces*, Graduate studies in mathematics, vol. 5, American mathematical society, 1995.
- [110] G. Moore and N. Seiberg, *Classical and quantum conformal field theory*, Commun. Math. Phys. **123** (1989), 177–254.
- [111] D. Mumford, *Projective invariants of projective structures and applications*, Proc. Intern. Cong. Math., Stockholm, 1962, pp. 526–530.
- [112] ———, *Curves and their Jacobians*, The university of Michigan press, 1975.

- [113] ———, *Tata lectures on theta I*, Progress in mathematics, vol. 28, Birkhäuser, 1983.
- [114] ———, *Tata lectures on theta II*, Progress in mathematics, vol. 43, Birkhäuser, 1984.
- [115] M.S. Narasimhan and S. Ramanan, *Moduli of vector bundles on a compact Riemann surface*, Ann. of Math. **89** (1969), 15–51.
- [116] ———, *2 $\theta$ -linear systems on Abelian varieties*, Vector bundles on algebraic varieties, Oxford university press, 1987, pp. 415–427.
- [117] R. Narasimhan, *Analysis on real and complex manifolds*, Advances studies in pure mathematics, vol. 1, Masson & Cie, North-Holland, 1968.
- [118] ———, *Compact Riemann surfaces*, Lectures in mathematics-ETH Zürich, Birkhäuser, 1992.
- [119] N. Nekrasov, *Holomorphic bundles and many-body systems*, Commun. Math. Phys. **180** (1996), 587–603.
- [120] C. Neumann, *De problemate quodam mechanico, quod ad primam integralium ultraellipticorum classem revocatur*, J. Reine Angew. Math. **56** (1859), 46–63.
- [121] K. Osterwalder and R. Schrader, *Axioms for Euclidian Green's functions 1*, Commun. Math. Phys. **31** (1973), 83–112.
- [122] ———, *Axioms for Euclidian Green's functions 2*, Commun. Math. Phys. **42** (1975), 281–305.
- [123] A. Perelomov, *Generalized coherent states and their applications*, Texts and monographs in physics, Springer Verlag, 1986.
- [124] A.M. Polyakov and P.B. Wiegmann, *Theory of non-abelian Goldstone bosons in two dimensions*, Phys. Lett. B **131** (1983), 121–126.
- [125] A. Pressley and G. Segal, *Loop groups*, Oxford mathematical monographs, Clarendon press, 1986.
- [126] T.R. Ramadas, *Factorisation of generalised theta functions ii: the Verlinde formula*, Topology **35** (1996), 641–654.
- [127] A. Ramanathan, *Stable principal bundles on a compact Riemann surface*, Math. Ann. **213** (1975), 129–152.
- [128] D. Ray and I.M. Singer, *R-torsion and the Laplacian on Riemannian manifolds*, Adv. in Math. **7** (1971), 145–210.
- [129] M. Reed and B. Simon, *Methods of modern mathematical physics vol II*, Academic press, 1975.
- [130] N. Reshetikhin and A. Varchenko, *Quasiclassical asymptotics of solutions of the KZ equation*, Geometry, topology and physics for Raoul Bott (S.-T. Yau, ed.), International Press, Cambridge MA, 1995, pp. 293–332.
- [131] J.J. Rotman, *An introduction to algebraic topology*, Graduate texts in mathematics, vol. 119, Springer-Verlag, 1988.
- [132] G. Segal, *The definition of conformal field theory*, Oxford university preprint, 1987.
- [133] ———, *Two dimensional conformal field theories and modular functor*, IXth international congress on mathematical physics (B. Simon, A. Truman, and I. M. Davies, eds.), Adam Hilger, 1989, pp. 22–37.
- [134] ———, *Geometric aspects of quantum field theory*, International congress of mathematicians (I. Satake, ed.), Springer Verlag, 1991, pp. 1387–1396.
- [135] C.S. Seshadri, *Space of unitary vector bundles on a compact Riemann surface*, Ann. of Math. **85** (1967), 303–336.

- [136] ———, *Fibrés vectoriels sur les courbes algébriques*, Astérisque, vol. 96, Société mathématique de France, 1982, rédigé par J.-M. Drezet.
- [137] C. Sorger, *La formule de Verlinde*, Séminaire Bourbaki, no. 794, novembre 1994.
- [138] H. Sugawara, *A field theory of currents*, Phys. Rev. **68** (1968), 1659–1662.
- [139] M. Thaddeus, *Stable pairs, linear systems and the Verlinde formula*, Inv. Math. **117** (1994), 317–353.
- [140] A. Tsuchiya, Y. Ueno, and Y. Yamada, *Conformal field theory on universal family of stable curves with gauge symmetries*, Adv. Stud. Pure Math. **19** (1989), 459–566.
- [141] A.N. Tyurin, *On periods of quadratic differentials*, Russian mathematical surveys **33** (1978), 169–221.
- [142] E. Verlinde, *Fusion rules and modular transformations in 2D conformal field theory*, Nucl. Phys. B **300** (1988), 360–376, FS 22.
- [143] S. Weinberg, *The quantum theory of fields : the foundations*, Cambridge university press, 1995.
- [144] R.O. Wells Jr, *Differential geometry on complex manifolds*, Graduate texts in mathematics, vol. 65, Springer-Verlag, 1979.
- [145] E.T. Whittaker and G.N. Watson, *A course of modern analysis*, fourth ed., Cambridge university press, 1962.
- [146] E. Witten, *Non-Abelian bosonization in two dimensions*, Commun. Math. Phys. **92** (1984), 455–472.
- [147] ———, *Quantum field theory and the Jones polynomial*, Commun. Math. Phys. **121** (1989), 351–399.
- [148] ———, *On holomorphic factorization of WZW and cosets models*, Commun. Math. Phys. **144** (1992), 185–212.
- [149] Al. B. Zamolodchikov, *Selected topics in conformal field theory*, Functional integration, geometry and strings (Z. Haba and J. Sobczyk, eds.), Birkhäuser, 1989, pp. 303–347.